

CALCUL SPINORIEL
en Physique des Particules

Christian Carimalo

Chapitre 1

Formalisme d'hélicité

1.1 Spin-Hélicité

Le spin, ou l'hélicité selon le cas, d'une particule est défini à l'aide de l'opérateur de Pauli-Lubanski

$$W_\mu(p) = \frac{1}{2} \epsilon_{\mu\nu\rho\sigma} p^\nu J^{\rho\sigma} \quad (1.1)$$

où p est la 4-impulsion¹ de la particule et $J^{\rho\sigma}$ la représentation hermitique des générateurs du groupe de Lorentz L_+^\uparrow dans l'espace des états de la particule. Les opérateurs $W_\mu(p)$ sont simplement les générateurs du *petit groupe* de p , qui laisse ce vecteur invariant. Sous L_+^\uparrow , ils se transforment selon

$$U(\Lambda) W_\mu(p) U(\Lambda)^{-1} = W_\mu(\Lambda p) \quad (1.2)$$

Λ étant une tranformation de Lorentz, $U(\Lambda)$ sa représentation (unitaire) pour la particule considérée.

Pour une particule massive réelle de masse m , son impulsion est du genre temps - futur. On a en effet $p_\mu p^\mu = p_0^2 - \vec{p}^2 = p^2 = m^2 > 0$, $p^0 > 0$. On peut alors attacher à chacune des impulsions p de la particule une triade de vecteurs unitaires du genre espace, soit $n_i(p)$ avec $i = 1, 2, 3$, formant avec $n_0(p) = \hat{p} = p/m$ une base de l'espace de Minkowski :

$$\begin{aligned} n_i(p) \cdot n_j(p) &= -\delta_{ij} \ , \quad n_0(p) \cdot n_i(p) = 0 \ , \quad n_0(p)^2 = 1 \\ \epsilon_{\mu\nu\rho\sigma} n_0(p)^\mu n_1(p)^\nu n_2(p)^\rho n_3(p)^\sigma &= 1 \end{aligned} \quad (1.3)$$

Les opérateurs de spin sont alors définis comme

$$S_i(p) = -n_i(p) \cdot W(p) \quad (1.4)$$

Ils engendrent le groupe $SO(3)(p)$ des rotations dans l'hyperplan orthogonal à p et satisfont aux relations de commutation de l'algèbre de Lie de $SU(2)$. Comme

$$W_\mu p^\mu = 0 \quad (1.5)$$

l'opérateur de Pauli-Lubanski peut être écrit sous la forme

1. Dans la suite, sauf indication contraire, les termes de "impulsion" et de "vecteur" seront utilisés pour "4-impulsion" et "4-vecteur", respectivement.

$$W(p) = \sum_{i=1}^3 n_i(p) S_i(p) \quad (1.6)$$

et l'invariant $W^2 = W^\mu W_\mu$ s'exprime en fonction du spin s de la particule comme

$$W^2 = -m^2 \overrightarrow{S}^2(p) = -m^2 s(s+1) \quad (1.7)$$

Les divers petits groupe $SO(3)(p)$ se déduisent les uns des autres par des transformations de L_+^\uparrow , soit, symboliquement,

$$U(\Lambda) SO(3)(p) U(\Lambda)^{-1} = SO(3)(\Lambda p) \quad (1.8)$$

mais les opérateurs $S_i(p)$ ont, en général, une loi de transformation compliquée :

$$U(\Lambda) S_i(p) U(\Lambda)^{-1} = -\sum_j [n_j(\Lambda p) \cdot \Lambda n_i(p)] S_j(\Lambda p) \quad (1.9)$$

du fait qu'il n'y a pas a priori de relation simple entre les vecteurs $n_j(\Lambda p)$ de la triade associée à Λp et les transformés $\Lambda n_i(p)$ des vecteurs de la triade associée à p . Ici, les $S_j(\Lambda p)$ sont les opérateurs de spin associés à Λp , définis par

$$S_j(\Lambda p) = -n_j(\Lambda p) \cdot W(\Lambda p) \quad (1.10)$$

Lorsque la masse de la particule est nulle ($p^2 = 0$, $p_0 > 0$), son impulsion p ne peut plus être utilisée pour définir elle-même un vecteur unitaire de base et la démarche précédente ne convient plus. On associe alors à p , d'une part, deux vecteurs unitaires du genre espace $n_i(p)$ ($i = 1, 2$) orthogonaux entre eux et orthogonaux à p et, d'autre part, un vecteur unitaire du genre temps $n_0(p)$ orthogonal aux $n_i(p)$:

$$n_i(p) \cdot n_j(p) = -\delta_{ij} \ , \quad n_i(p) \cdot p = 0 \ , \quad n_i(p) \cdot n_0(p) = 0 \ , \quad n_0^2(p) = 1$$

Pour une telle particule, on a maintenant

$$W_\mu(p) = \lambda(p) p_\mu + \sum_{i=1}^2 n_i(p)_\mu W_i(p) \quad \text{avec} \quad W_i(p) = -n_i(p) \cdot W(p) \quad (1.11)$$

On montre que les trois opérateurs $\lambda(p)$, $W_1(p)$ et $W_2(p)$ constituent un ensemble isomorphe à l'algèbre de Lie de $P(2)$. On a en effet

$$[W_1, W_2] = 0 \ , \quad [\lambda, W_1] = iW_2 \ , \quad [\lambda, W_2] = -iW_1$$

Le sous-groupe abélien invariant et engendré par W_1 et W_2 s'appelle le "groupe de jauge" de p . Ses représentations physiques sont telles que W_1 et W_2 y prennent la valeur zéro (jauge invariante). On a alors

$$W(p) = \lambda(p) p \ , \quad W^2(p) = 0 \ , \quad U(\Lambda) \lambda(p) U^{-1}(\Lambda) = \lambda(\Lambda p) \quad (1.12)$$

où Λ est une transformation de L_+^\uparrow et $U(\Lambda)$ sa représentation unitaire dans l'espace des états de la particule. La dernière relation dans 1.12 montre que $\lambda(p)$ est un opérateur *scalaire* qui représente donc un invariant relativiste.

Une particule de masse nulle est associée à une valeur propre particulière λ de cet opérateur ou, dans le cas du photon, à deux valeurs propres opposées, à savoir $+1$ et -1 . Le nombre λ , appelé *hélicité* ou encore, polarisation circulaire de la particule, est conservé dans les transformations

de L_+^\uparrow , celles-ci se réduisant alors à une simple multiplication des états de la particule par des facteurs de phase $e^{-i\lambda\psi}$ et à la transformation de p en Λp . Il représente en quelque sorte le “spin” de la particule et caractérise complètement celle-ci du point de vue du groupe de Lorentz.

Alors que l'hélicité d'une particule de masse nulle est un invariant relativiste, une composante de spin $S_i(p)$ pour une particule massive seule n'est jamais invariante. Pour qu'elle le fût, il aurait fallu, d'après 1.9, que l'on eût

$$\Lambda \{n_i(p)\} = n_i(\Lambda p) \tag{1.13}$$

relation qui impose au vecteur $n_i(p)$ de satisfaire à une certaine covariance sous L_+^\uparrow .

Pour une particule unique, c'est-à-dire lorsqu'on ne dispose que d'une seule impulsion, celle de la particule, on ne peut satisfaire cette relation. En revanche, lorsqu'on effectue, au minimum, un produit tensoriel de deux espaces d'états à une particule chacun et que l'on peut alors disposer de deux impulsions, il est possible de construire à partir de celles-ci et pour chacune des particules un vecteur ayant la covariance requise. C'est le principe du *couplage d'hélicité*, pour deux particules réelles². Les composantes de spin suivant ces vecteurs particuliers, appelées aussi *hélicités*, sont des invariants relativistes dans l'espace produit tensoriel. Cette circonstance se rencontre tout particulièrement en théorie quantique des champs où la description de processus élémentaires fait intervenir des *vertex* à trois particules impliquant de tels produits tensoriels.

1.2 Vertex à trois particules - Tétrades d'hélicité

Considérons d'une manière générale un vertex comportant trois “lignes entrantes” d'impulsions P_1, P_2 et P_3 , correspondant chacune à une particule, réelle ou virtuelle (fig 1.1).

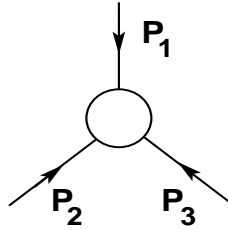


FIGURE 1.1 – Vertex à trois lignes entrantes

La conservation de l'impulsion à ce vertex sera exprimée sous la forme

$$P_1 + P_2 + P_3 = 0 \tag{1.14}$$

Pour simplifier, nous supposons que les normes des impulsions sont différentes de zéro

$$P_i^2 = (P_{i0})^2 - (\vec{P}_i)^2 = s_i \neq 0 \tag{1.15}$$

Notons $P_{ij} = -P_k$ ($i \neq j \neq k$) la somme des impulsions P_i et P_j et par \hat{P}_i le vecteur unitaire correspondant. En introduisant la “fonction signe” $\varepsilon(x)$, on a

2. Voir : P. Moussa, R. Stora, *Methods in subnuclear Physics*, Hercegnovi 1966, vol II, p. 265 (Gordon and Breach); P. Moussa, Thèse d'état, Orsay (1968); G. Mahoux, cours de 2nde année de troisième cycle de Physique théorique, faculté d'Orsay, 1970-1971.

$$\hat{P}_{ij} = -\hat{P}_k = -\frac{P_k}{\sqrt{|s_k|}}, \quad \hat{P}_{ij}^2 = \varepsilon(s_k), \quad \hat{P}_i^2 = \varepsilon(s_i) \quad (1.16)$$

Nous définirons ensuite "l'impulsion relative" de P_i et P_j de la manière habituelle :

$$Q_{ij} = \frac{1}{2} \left\{ P_i - P_j + \frac{s_i - s_j}{s_k} P_k \right\} = P_i - \frac{P_i \cdot P_k}{s_k} = -P_j + \frac{P_j \cdot P_k}{s_k} = -Q_{ji} \quad (1.17)$$

Ce vecteur, que nous appellerons aussi "vecteur d'hélicité" de P_k , est orthogonal à P_k et sa norme est

$$Q_{ij}^2 = -\frac{1}{4s_k} \Lambda(s_1, s_2, s_3) \quad (1.18)$$

où $\Lambda(x, y, z)$ est la fonction symétrique en ses trois arguments x, y et z , définie par

$$\Lambda(x, y, z) = x^2 + y^2 + z^2 - 2xy - 2yz - 2zx \quad (1.19)$$

On notera que

$$\Lambda(s_1, s_2, s_3) = 4 \{ (P_1 \cdot P_2)^2 - s_1 s_2 \} \quad (1.20)$$

et que, de l'orthogonalité de Q_{ij} et P_k on déduit les relations

$$Q_{ij} \cdot P_i = Q_{ij} \cdot P_j = Q_{ij}^2, \quad Q_{ij} \cdot Q_{ik} = \frac{(P_i \cdot P_j)}{4s_j s_k} \Lambda(s_1, s_2, s_3) \quad (1.21)$$

Nous ne considérerons que les cas où la fonction Λ (eq. 1.19) prend une valeur positive ou à la limite nulle. Le vecteur unitaire porté par le vecteur d'hélicité 1.17 aura alors pour norme $-\varepsilon(s_k)$. Par suite, l'un des deux vecteurs \hat{Q}_{ij} ou \hat{P}_k sera du genre temps et l'autre du genre espace. Au besoin, nous changerons le signe du vecteur du genre temps afin que celui-ci pointe vers le futur et nous le noterons provisoirement $e_{t,k}$ tandis que le vecteur du genre espace sera noté $e_{s,k}$.

Introduisons ensuite deux nouveaux vecteurs réels, e_1 et e_2 , unitaires et du genre espace, orthogonaux entre eux et orthogonaux à $e_{t,k}$ et $e_{s,k}$ et formant avec ceux-ci une base orthogonale, normée et directe de l'espace-temps. Par la suite, nous utiliserons plutôt les vecteurs de "polarisation circulaire"

$$e^{(\pm)} = \mp \frac{1}{\sqrt{2}} [e_1 \pm ie_2] \quad (1.22)$$

Pour désigner la tétrade ainsi formée, nous adopterons également la notation générale $e_k^{(\lambda)}$ et écrirons alors les relations d'orthogonalité et de fermeture de cette base sous la forme

$$e_k^{(\lambda')\star} \cdot e_k^{(\lambda)} = \eta_{\lambda\lambda'} \delta_{\lambda\lambda'}, \quad \sum_{\lambda} \eta_{\lambda} e_k^{(\lambda)\star\mu} e_k^{(\lambda)\nu} = g^{\mu\nu} \quad (1.23)$$

où $\eta_{\lambda} = 1$ pour $\lambda = 0_t$ et $\eta_{\lambda} = -1$ pour $\lambda = 0_s, \pm 1$, $\lambda = 0_t$ ou $= 0_s$ signifiant que λ prend effectivement la valeur 0 lorsque le vecteur correspondant est du genre temps (t) ou du genre espace (s), respectivement. La raison de cette notation vient du fait bien connu que la tétrade $e_k^{(\lambda)}$ est associée à la représentation quadri-vectorielle du groupe de Lorentz. L'indice λ correspond aux valeurs propres de l'opérateur $W(e_{t,k}) \cdot e_{s,k}$, où $W(e_{t,k})$ est la représentation quadri-vectorielle de l'opérateur de Pauli-Lubansky correspondant au vecteur $e_{t,k}$, soit

$$\{W_\mu(e_{t,k})\}_{\alpha\beta} = i\varepsilon_{\mu\nu\alpha\beta} e_{t,k}^\nu \quad (1.24)$$

On a en effet

$$W_{\alpha\beta} = \{W(e_{t,k}) \cdot e_{s,k}\}_{\alpha\beta} = i\varepsilon_{\mu\nu\alpha\beta} e_{s,k}^\mu e_{t,k}^\nu, \quad \text{et} \quad W(e_k^{(\lambda)}) = \lambda e_k^{(\lambda)}$$

La triade $(e_{s,k}, e^{(\pm)}_k)$ est quant à elle associée à une représentation unitaire de spin 1 du petit groupe de $e_{t,k}$, tandis que ce dernier vecteur est associé à une représentation scalaire de ce même petit groupe.

Remarquons que puisque les vecteurs $e^{(\pm)}$ sont orthogonaux aux vecteurs P_k et Q_{ij} , ils sont également orthogonaux aux deux autres impulsions P_i et P_j ainsi qu'aux impulsions relatives. Par suite, tous les vecteurs de polarisations circulaires $e_i^{(\pm)}$ ($i = 1, 2, 3$) des diverses impulsions sont situés dans le biplan orthogonal au plan défini par les impulsions, appelé "plan du vertex", et ne diffèrent donc entre eux que par des rotations qui se réduisent ici à de simples multiplications par des facteurs de phase $e^{-i\lambda\psi}$.

Nous appellerons de manière générale "tétrades d'hélicité" les tétrades ainsi définies. Nous verrons par la suite la signification de cette dénomination.

1.3 Les couplages d'hélicité

Revenons au vertex à trois "particules", réelles ou virtuelles de la figure 1.1, chacune ayant une impulsion donnée et correspondant à une représentation particulière du groupe de Lorentz.

Nous dirons que nous effectuons un *couplage d'hélicité* entre ces trois particules si nous attribuons à chacune d'elles sa propre tétrade d'hélicité, où les vecteurs de polarisation circulaire ne pourront différer que par un signe global d'une tétrade à une autre. Nous examinerons ici les trois situations suivantes :

- ♣ celle où les trois impulsions P_1, P_2 et $-P_3$ sont du genre temps futur ;
- ♣ celle où les deux impulsions P_1 et $-P_2$ sont du genre temps futur, P_3 étant du genre espace ;
- ♣ enfin, celle où P_1 et P_2 sont du genre espace, $-P_3$ étant du genre temps.

1.3.1 Premier cas (fig 1.2)

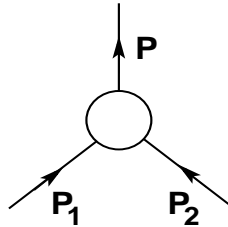


FIGURE 1.2 – Vertex à deux particules entrantes réelles

Nous supposons que les lignes entrantes 1 et 2 représentent ici deux particules réelles, d'impulsions données, chacune étant caractérisée par un espace de représentation irréductible $[m, s, \eta]$

du groupe de Poincaré, m étant la masse, supposée non nulle, de la particule considérée, s son spin et η sa parité. Nous poserons

$$-P_3 = p = p_1 + p_2, \quad p_i^2 = m_i^2 \quad (i = 1, 2), \quad p^2 = s > 0 \quad (1.25)$$

Le couplage envisagé ici est le couplage usuel entre deux particules réelles 1 et 2 dans l'espace E , produit tensoriel des espaces d'états associés respectivement à chacune des particules. On peut également le qualifier de "couplage d'hélicité dans la voie s ". Nous allons l'expliciter brièvement, en renvoyant, pour plus de détails, le lecteur aux travaux déjà cités de P. Moussa et R. Stora, dont nous adoptons les notations.

Un état d'une particule d'impulsion p et de composante de spin σ , valeur propre de l'opérateur $S_3(p)$, dépend du choix de l'axe $n_3(p)$ sur lequel est mesuré le spin, c'est-à-dire, en fait, de la triade de vecteurs que l'on associe à p . Pour cette raison, cet état est noté $[[p], \sigma >$, où $[p]$ est, modulo \pm , la matrice 2×2 de $SL(2, \mathbb{C})$ représentant la transformation de Lorentz $\Lambda_{\hat{p} \rightarrow p}$ qui permet de passer d'une tétrade de référence, choisie une fois pour toutes et pour laquelle p est orientée suivant l'axe des temps :

$$p \equiv \hat{p} = (m, 0, 0, 0) = n_0(\hat{p}), \quad n_i(\hat{p}), \quad i = 1, 2, 3 \quad (1.26)$$

en une tétrade particulière associée à p , définie comme

$$\Lambda_{\hat{p} \rightarrow p}(n_\alpha(\hat{p})) = n_\alpha(p), \quad \alpha = 0, 1, 2, 3 \quad (1.27)$$

Dans $SL(2, \mathbb{C})$, cette dernière relation est traduite sous la forme

$$[p] n_\alpha(\hat{p}) [p]^\dagger = n_\alpha(p) \quad (1.28)$$

Dans cette notation, $\underset{\sim}{x}$ est une matrice 2×2 associée à un vecteur x définie par

$$\underset{\sim}{x} = x_0 \tau_0 + \vec{x} \cdot \vec{\tau} \quad (1.29)$$

τ_0 étant la matrice 2×2 unité et $\vec{\tau}$ l'ensemble des trois matrices de Pauli :

$$\tau_1 = \begin{pmatrix} 0 & 1 \\ 1 & 0 \end{pmatrix}, \quad \tau_2 = \begin{pmatrix} 0 & -i \\ i & 0 \end{pmatrix}, \quad \tau_3 = \begin{pmatrix} 1 & 0 \\ 0 & -1 \end{pmatrix} \quad (1.30)$$

Par définition, on a $[\hat{p}] = \tau_0$. Par extension, la matrice $[p]$ sera aussi appelée *tétrade de p* . Les états de la particule sont définis par

$$[[p], \sigma > = U([p]) [[\hat{p}], \sigma > \quad (1.31)$$

où $U([p])$ est, dans l'espace des états de la particule, la représentation unitaire de $[p]$. Pour simplifier les notations, nous identifierons par la suite une transformation de Lorentz $\Lambda(A)$ avec sa représentation A dans $SL(2, \mathbb{C})$.

Soit $U(a, A)$ la représentation unitaire de la transformation (a, A) du groupe de Poincaré restreint, a étant une translation des vecteurs et A une transformation de Lorentz. On a

$$U(a, A) [[p], \sigma > = e^{ia \cdot Ap} \mathcal{D}^s(R_A)_{\sigma' \sigma} [[Ap], \sigma' > \quad (1.32)$$

où

$$R_A = [Ap]^{-1} A [p] \quad (1.33)$$

est la *rotation de Wigner* associée à A , et qui appartient au petit groupe de p , et \mathcal{D}^s sa représentation agissant sur les variables de spin de la particule.

Dans l'espace produit tensoriel E des espaces des états des particules 1 et 2, l'état

$$|[p_1], \sigma_1; [p_2], \sigma_2 \rangle = |[p_1], \sigma_1 \rangle \otimes |[p_2], \sigma_2 \rangle \quad (1.34)$$

se transforme donc selon la loi

$$U(a, A) |[p_1], \sigma_1; [p_2], \sigma_2 \rangle = e^{ia \cdot A(p_1 + p_2)} \mathcal{D}^{s_1}(R_{A1})_{\sigma'_1 \sigma_1} \mathcal{D}^{s_2}(R_{A2})_{\sigma'_2 \sigma_2} |[Ap_1], \sigma'_1; [Ap_2], \sigma'_2 \rangle \quad (1.35)$$

avec

$$R_{Ai} = [Ap_i]^{-1} A [p_i], \quad i = 1, 2 \quad (1.36)$$

En général, les deux rotations de Wigner 1.36 sont différentes. Le problème de la réduction de l'espace E en sous-espaces de représentations irréductibles du type $[\sqrt{s}, J, \eta]$ consiste alors à rechercher, pour chacune des particules, des tétrades particulières telles que ces rotations soient identiques, ou, au moins, reliées simplement l'une à l'autre, de telle sorte que l'on puisse effectuer le plus simplement possible la réduction du produit tensoriel $\mathcal{D}^{s_1} \otimes \mathcal{D}^{s_2}$.

Il s'avère que l'on peut effectivement construire des tétrades de ce type. Remarquons tout d'abord qu'une identité entre les deux rotations de Wigner indique que celles-ci ne doivent plus dépendre ni de p_1 ou de p_2 , ni des tétrades qui leur sont attachées. Cette constatation suggère de construire les tétrades à partir d'une tétrade arbitraire $[p]$ associée à l'impulsion totale $p = p_1 + p_2$ de l'état 1.34 en posant

$$R_{A1} = R_{A2} = R_A = [Ap]^{-1} A [p] \quad (1.37)$$

Cette dernière équation impose à la transformation $[p_i] [p]^{-1}$, qui permet de passer de la tétrade associée à p à celle associée à p_i , de satisfaire à une certaine covariance sous L_+^\uparrow , à savoir :

$$A [p_i] [p]^{-1} A^{-1} = [Ap_i] [Ap]^{-1}, \quad \text{ou} \quad A A_{p \rightarrow p_i} A^{-1} = A_{Ap \rightarrow Ap_i} \quad (1.38)$$

Or, la transformation de Lorentz pure $[\hat{p} \rightarrow \hat{p}_i]$, transformant \hat{p} en \hat{p}_i , possède cette propriété. On trouve alors deux solutions au problème de la réduction.

✓ La première consiste à poser

$$[p_i] = [\hat{p} \rightarrow \hat{p}_i] [p] \quad i = 1, 2 \quad (1.39)$$

et conduit au couplage appelé *couplage $\ell - s$* , avec une définition relativiste du moment orbital ; elle satisfait la relation 1.37.

✓ La seconde solution, donnant des formules de réduction plus simples, consiste à poser

$$[p_i] \equiv [p_i]_h = [\hat{p} \rightarrow \hat{p}_i] R(n_3(p) \rightarrow \hat{q}_{12}) [p] \quad (1.40)$$

q_{12} étant l'impulsion relative de p_1 et p_2 et $R(n_3(p) \rightarrow \hat{q}_{12})$ la rotation du petit groupe de p amenant $n_3(p)$ sur \hat{q}_{12} (vecteur unitaire porté par q_{12}). Posant

$$\hat{q} = [p]^{-1} \hat{q}_{12}, \quad n_3 = [p]^{-1} n_3(p) \quad (1.41)$$

on a aussi

$$[p]^{-1} R(n_3(p) \rightarrow \hat{q}_{12}) [p] = R(n_3 \rightarrow \hat{q}) \quad (1.42)$$

On voit que la transformation

$$[p]_h = R(n_3(p) \rightarrow \hat{q}_{12}) [p] \quad (1.43)$$

associe à p une tétrade d'hélicité, puisque

$$e_s(p) = [p]_h n_3 = \hat{q}_{12}, \quad e_t(p) = [p]_h n_0 = \hat{p} \quad (1.44)$$

En outre, il est facile de vérifier (voir Appendice A) que la transformation de Lorentz pure $[\hat{p} \rightarrow \hat{p}_1]$ transforme \hat{q}_{12} en l'impulsion relative unitaire de $-p$ et p_2 , c'est-à-dire, en vecteur d'hélicité de p_1 :

$$e_s(p_1) = h(p_1, p) = \frac{2m_1}{\sqrt{\Lambda}} \left(-p + p_1 \frac{p_1 \cdot p}{m_1^2} \right) = \frac{2m_1}{\sqrt{\Lambda}} \left(-p_2 + p_1 \frac{p_1 \cdot p_2}{m_1^2} \right) \\ \text{avec } \Lambda = \Lambda(s, m_1^2, m_2^2) \quad (1.45)$$

Ainsi, $[p_1]_h$ associe bien à p_1 une tétrade d'hélicité. Pour ce qui concerne la particule 2, comme $\hat{q}_{12} = -\hat{q}_{21}$, la transformation de Lorentz pure $[\hat{p} \rightarrow \hat{p}_2]$ transforme \hat{q}_{12} en l'opposé de l'impulsion relative unitaire de $-p$ et p_2 , c'est-à-dire, en vecteur d'hélicité de p_2 :

$$e_s(p_2) = [\hat{p} \rightarrow \hat{p}_2] \hat{q}_{21} = h(p_2, p) \\ = \frac{2m_2}{\sqrt{\Lambda}} \left(-p + p_2 \frac{p_2 \cdot p}{m_2^2} \right) = \frac{2m_2}{\sqrt{\Lambda}} \left(-p_1 + p_2 \frac{p_1 \cdot p_2}{m_2^2} \right) \quad (1.46)$$

Aussi, d'après Jacob et Wick³, la tétrade associée à p_2 est-elle plutôt définie comme

$$[p_2] = [p_2]_h = [\hat{p} \rightarrow \hat{p}_2] [p]_h Y \quad (1.47)$$

Y étant la rotation d'angle π autour de l'axe $n_2(\hat{p}) = n_2$, qui renverse donc n_3 et permet d'obtenir ainsi $n_3(p_2) = h(p_2, p)$. En outre, les vecteurs de polarisation circulaire de la tétrade de p sont conservés dans les deux transformations $[\hat{p} \rightarrow \hat{p}_1]$ et $[\hat{p} \rightarrow \hat{p}_2]$, ce qui fait que :

$$e^{(\pm)}(p_1) = e^{(\pm)}(p) = e^{(\mp)}(p_2) \quad (1.48)$$

Ainsi, cette définition des tétrades correspond bien à un couplage d'hélicité entre les trois lignes du vertex. L'intérêt majeur de celui-ci réside dans les deux faits suivants :

☞ Bien que les deux rotations de Wigner 1.36 ne soient pas identiques, elles sont néanmoins reliées simplement puisqu'elles sont inverses l'une de l'autre :

$$R_{A1} = R_{A2}^{-1} = R^{-1}(\hat{q}_A) R_A R(\hat{q}) = [Ap]_h^{-1} A [p]_h \\ \text{avec } R_A = [Ap]^{-1} A [p], \quad \hat{q}_A = R_A \hat{q} \\ R(\hat{q}) = R(n_3 \rightarrow \hat{q}), \quad R(\hat{q}_A) = R(n_3 \rightarrow \hat{q}_A) \quad (1.49)$$

♣ R_{A1} est une rotation d'angle ψ_A dans le bi-plan (n_1, n_2) et conserve donc n_3 . Par conséquent, on a

3. M. Jacob, G. C. Wick, Ann. Phys. 7, 404 (1959).

$$\mathcal{D}_{\lambda'_1 \lambda_1}^{s_1}(R_{A1}) = \delta_{\lambda_1 \lambda'_1} e^{-i\lambda_1 \psi_A}, \quad \mathcal{D}_{\lambda'_2 \lambda_2}^{s_2}(R_{A2}) = \delta_{\lambda_2 \lambda'_2} e^{i\lambda_2 \psi_A} \quad (1.50)$$

ce qui montre que les indices respectifs λ_1 et λ_2 des deux particules sont ici des invariants relativistes. Nous pouvons retrouver ce résultat en remarquant que les vecteurs d'hélicité $h(p_1, p)$ et $h(p_2, p)$ satisfont la relation de covariance 1.13 :

$$\Lambda\{h(p_i, p)\} = h(\Lambda p_i, \Lambda p) \quad i = 1, 2 \quad (1.51)$$

et que, comme nous l'avons indiqué plus haut, les composantes de spin suivant ces vecteurs sont des invariants relativistes dans l'espace E . C'est par analogie avec l'invariance relativiste de l'hélicité d'une particule de masse nulle que ces indices de spin particuliers sont appelés aussi *hélicités* et le couplage obtenu *couplage d'hélicité*. Par rapport au couplage $\ell - s$ standard, ce couplage présente l'immense avantage de ramener chacune des rotations de Wigner à une rotation autour de l'axe n_3 dans le référentiel où la particule considérée est au repos, auquel cas les matrices \mathcal{D}^{s_i} sont diagonales et les indices de spin correspondants de la particule apparaissent alors comme des invariants relativistes. Devant l'extrême simplification apporté par ce dernier résultat, le problème de la réduction devient secondaire et pour étudier les deux autres cas annoncés nous nous laisserons guider par ce qui vient d'être fait ici.

Sous les transformations du groupe de Poincaré restreint, les états à deux particules en couplage d'hélicité se transforment donc de la manière suivante :

$$U(a, A) |[p_1]_h, \lambda_1; [p_2]_h, \lambda_2 \rangle = e^{ia\dot{A}p} e^{i(\lambda_2 - \lambda_1)\psi_A} |[Ap_1]_h, \lambda_1; [Ap_2]_h, \lambda_2 \rangle \quad (1.52)$$

En particulier, si A est une rotation dans le plan orthogonal au "plan de vertex", plan défini par les trois impulsions du vertex, les impulsions restent inchangées et, dans cette transformation, l'état des deux particules est simplement multiplié par un facteur de phase :

$$U(A) |[p_1]_h, \lambda_1; [p_2]_h, \lambda_2 \rangle = e^{i(\lambda_2 - \lambda_1)\psi} |[p_1]_h, \lambda_1; [p_2]_h, \lambda_2 \rangle \quad (1.53)$$

Il s'agit ici d'une rotation des vecteurs de polarisation circulaire $e^{(\pm)}(p)$, ou encore, d'un changement de tétrade associée à p qui se traduit, dans le système du centre de masse des deux particules où \vec{p}_1 et \vec{p}_2 sont colinéaires à n_3 , par une rotation d'angle ψ dans le plan (n_1, n_2) .

Pour ce qui concerne les vecteurs constituant les tétrades d'hélicité, on a aussi

$$A e^{(\lambda)}(p_i) = [Ap_1]_h R_{A_i} e^{(\lambda)}(\hat{p}) = e^{-i\lambda\psi_i} e^{(\lambda)}(Ap_i) \quad (1.54)$$

avec $\psi_p = \psi_A = \psi_{p_i} = -\psi_{p_2}$. Par conséquent, l'indice λ lui-même est un invariant relativiste. Ce résultat peut être retrouvé simplement en considérant à nouveau l'équation aux valeurs propres de l'opérateur d'hélicité

$$\lambda_{\alpha\beta}(p_i) = i \varepsilon_{\alpha\beta\mu\nu} e_s(p_i)^\mu e_t(p_i)^\nu \quad (1.55)$$

opérateur qui, les deux vecteurs $e_s(p_i)$ et $e_t(p_i)$ ayant ici la covariance requise, possède lui aussi des valeurs propres invariantes relativistes. On a en particulier

$$\lambda_{\alpha\beta}(p) = i \varepsilon_{\alpha\beta\mu\nu} \hat{q}_{12}^\mu \hat{p}^\nu \quad (1.56)$$

1.3.2 Deuxième cas (fig 1.3)

Nous supposons ici que la ligne entrante 1 et la ligne sortante 2 du vertex représentent encore deux particules réelles d'impulsions p_1 et p_2 respectivement, tandis que la troisième ligne sortante représente une particule virtuelle émise à ce vertex et dont l'impulsion $p = p_1 - p_2$, du genre espace : $p^2 = -t < 0$, est le quadri-transfert d'impulsion entre les deux particules 1 et 2.

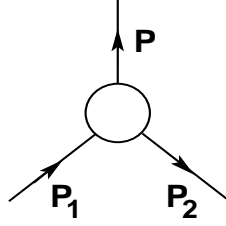


FIGURE 1.3 – Vertex à deux particules réelles, l'une entrante, l'autre sortante

Le cas envisagé ici correspond, en quelque sorte, à un “couplage d'hélicité dans la voie t ” pour les deux particules 1 et 2. Pour définir ce couplage, nous procéderons par analogie avec le cas précédent.

Ici, p est l'impulsion totale de p_1 et $-p_2$ et son vecteur unitaire \hat{p} est du genre espace

$$\hat{p} = \frac{p}{\sqrt{t}}, \quad \hat{p}^2 = -1$$

Son vecteur d'hélicité, que nous noterons encore q_{12} , est l'impulsion relative de p_1 et $-p_2$, soit

$$q_{12} = q_{21} = \frac{1}{2} \left(p_1 + p_2 + \frac{m_1^2 - m_2^2}{t} p \right) = p_1 + \frac{p_1 \cdot p}{t} p \quad (1.57)$$

Il s'agit d'un vecteur du genre temps car

$$q_{12}^2 = \frac{\Lambda(-t, m_1^2, m_2^2)}{4t} > 0 \quad (1.58)$$

et qui pointe vers le futur, puisque $(q_{12} \cdot (p_1 - p_2) = 0)^4$

$$q_{12} \cdot p_1 = q_{12} \cdot p_2 = \frac{1}{2} q_{12} \cdot (p_1 + p_2) = q_{12}^2 > 0 \quad (1.59)$$

Les rôles de p et q_{12} étant échangés par rapport au cas précédent, nous définirons une tétrade d'hélicité de p de la manière suivante. Choisissons en premier lieu une tétrade quelconque $[q_{12}]$ associée à q_{12} . Effectuons ensuite la rotation du petit groupe de ce vecteur qui amène $n_3(q_{12})$ sur \hat{p} . La tétrade

$$[p]_h = R(n_3(q_{12}) \rightarrow \hat{p}) [q_{12}] \quad (1.60)$$

donne

$$[p]_h n_0 = e_t(p) = \hat{q}_{12}, \quad [p]_h n_3 = e_s(p) = \hat{p} \quad (1.61)$$

4. Rappelons que si un vecteur du genre temps pointe vers le futur dans un référentiel donné, alors il pointe aussi vers le futur dans tout autre référentiel qui s'en déduit par une transformation de L_+^\uparrow . Or, la relation 1.59 montre que dans le référentiel où la particule 1 est au repos, $q_{12}^0 = q_{12} \cdot p_1 / m_1 > 0$. Par suite, q_{12} est bien du genre temps futur.

D'après une remarque précédente, pour satisfaire l'égalité entre les trois rotations de Wigner associées respectivement aux trois particules du vertex, il suffit d'utiliser des transformations de Lorentz pures appropriées. Il est facile de vérifier (voir appendice A) que celle, $[\hat{q}_{12} \rightarrow \hat{p}_1]$, transformant \hat{q}_{12} en \hat{p}_1 transforme \hat{p} en l'impulsion relative de p_2 et p , c'est-à-dire, en vecteur d'hélicité de p_1 :

$$[\hat{q}_{12} \rightarrow \hat{p}_1] \hat{p} = e_s(p_1) = h(p_1, p) = \frac{2m_1}{\sqrt{\Lambda}} \left(p - \frac{p_1 \cdot p}{m_1^2} p_1 \right) \quad (1.62)$$

avec $\Lambda = \Lambda(-t, m_1^2, m_2^2)$

Par ailleurs, puisque $h(p_2, -p) = -h(p_2, p)$, on a

$$[\hat{q}_{12} \rightarrow \hat{p}_2] \hat{p} = e_s(p_2) = -h(p_2, p_2 - p_1) = h(p_2, p) \quad (1.63)$$

c'est-à-dire, la transformation de Lorentz pure $[\hat{q}_{12} \rightarrow \hat{p}_2]$ transforme \hat{p} en l'impulsion relative unitaire de $-p_1$ et p , vecteur d'hélicité de p_2 . D'après 1.63, il ne sera pas nécessaire, pour construire la tétrade d'hélicité de la particule 2, de renverser les axes au départ. Nous définirons donc les tétrades d'hélicité des deux particules 1 et 2 par

$$[p_i]_h = [\hat{q}_{12} \rightarrow \hat{p}_i] [p]_h \quad i = 1, 2 \quad (1.64)$$

Cette définition conduit bien à un couplage d'hélicité entre les trois particules, pour lequel les trois rotations de Wigner sont identiques et représentent, chacune pour sa part, une rotation autour de n_3 (donc effectuée dans le bi-plan (n_1, n_2)), dans un référentiel particulier. Pour l'une et l'autre des deux particules 1 et 2, ce référentiel est celui où la particule correspondante est au repos, tandis que pour la particule virtuelle d'impulsion p , il s'agit du référentiel où q_{12} est orienté suivant l'axe des temps. Ce dernier est l'analogie du référentiel du centre de masse dans le cas précédent. Nous poserons ici

$$\hat{q} = [q_{12}]^{-1} \hat{p}, \quad R_A = [Aq_{12}]^{-1} A [q_{12}]$$

$$R(\hat{q}) = R(n_3 \rightarrow \hat{q}), \quad \hat{q}_A = R_A \hat{q} \quad (1.65)$$

On obtient donc

$$R_{A1} = R_{A2} = R_A(p) = [Ap]_h^{-1} A [p]_h = R^{-1}(\hat{q}_A) R_A R(\hat{q})$$

$$\mathcal{D}_{\lambda_i \lambda_i}^{s_i}(R_{Ai}) = \delta_{\lambda_i \lambda_i} e^{-i\lambda_i \psi_A} \quad (1.66)$$

la toute dernière relation traduisant le fait que les composantes de spin des particules 1 et 2 suivant leur propre vecteur d'hélicité, $\lambda(p_i) = W_i(\hat{p}_i) \cdot h(p_i, p)$, sont des invariants relativistes. Lorsque la transformation A est une rotation dans le plan perpendiculaire au plan de vertex, les impulsions sont inchangées et les états d'hélicité des deux particules sont simplement multipliés par un facteur de phase :

$$U(A) |[p_i]_h, \lambda_i \rangle = e^{-i\lambda_i \psi} |[p_i]_h, \lambda_i \rangle \quad (1.67)$$

Dans le référentiel où q_{12} est orienté suivant l'axe des temps et \hat{q} orienté suivant n_3 (\vec{p}_1 et \vec{p}_2 sont alors également colinéaires à n_3), cette transformation est une rotation d'angle ψ , effectuée dans le plan (n_1, n_2) , des vecteurs de polarisation circulaire, lesquels sont identiques pour les trois tétrades :

$$e^\pm(p_1) = e^\pm(p_2) = e^\pm(p) \quad (1.68)$$

Soulignons ici que le couplage dont il vient d'être question n'a de sens qu'à condition d'envisager les transformations de Lorentz simultanément dans les deux espaces d'états associés respectivement à chacune des particules 1 et 2 réelles. Cette circonstance intervient lorsqu'on étudie des éléments de matrice de la forme

$$\langle [p_2], \sigma_2 | \mathcal{O} | [p_1], \sigma_1 \rangle \quad (1.69)$$

qui représentent des *amplitudes de vertex* pour des vertex tel celui de la figure 1.4 (a) intervenant dans un diagramme en arbre tel celui de la figure 1.4 (b) décrivant un certain processus élémentaire. L'opérateur \mathcal{O} qui y figure représente le *courant* associé à ce vertex, *couplé* à une particule virtuelle que nous avons schématisée par la ligne sortante d'impulsion p dans la figure 1.3.

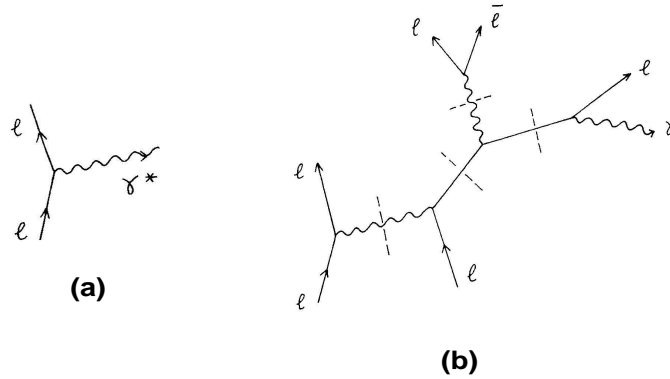


FIGURE 1.4 – Vertex (a) dans le diagramme en arbre (b)

L'introduction du couplage d'hélicité dans la voie t entre les particules 1 et 2 permet d'obtenir de nouvelles amplitudes de vertex dont la loi de transformation est, d'après 1.66, beaucoup plus simple que celle de 1.69 où les tétrades seraient choisies arbitrairement. En effet, A étant une transformation de Lorentz, on a dès lors

$$\begin{aligned} \langle [p_2]_h, \lambda_2 | U^{-1}(A) U(A) J U^{-1}(A) U(A) | [p_1]_h, \lambda_1 \rangle = \\ e^{i(\lambda_2 - \lambda_1)\psi_A} \langle [Ap_2]_h, \lambda_2 | J_A | [Ap_1]_h, \lambda_1 \rangle \end{aligned} \quad (1.70)$$

où J est le courant du vertex et $J_A = U(A) J U^{-1}(A)$ le courant transformé dont l'expression dépend de la représentation de Lorentz associée à ce courant, c'est-à-dire, en fait, de celle de la particule virtuelle à laquelle il est couplé, puisque, d'après les principes généraux de la théorie des champs, lesdites représentations doivent être identiques.

C'est en projetant ces amplitudes de vertex avec couplage d'hélicité sur les fonctions d'onde d'hélicité de la particule virtuelle que l'on obtient ce qu'on appelle des *amplitudes d'hélicité*, caractéristiques du vertex considéré et qui sont *invariantes relativistes*.

On notera que chacun des vecteurs $e^{(\lambda)}(p)$ de la tétrade d'hélicité de p est vecteur propre, avec la valeur propre λ , de l'opérateur d'hélicité quadri-vectorielle

$$\lambda_{\alpha\beta}(p) = i \varepsilon_{\alpha\beta\mu\nu} \hat{p}^\mu \hat{q}_{12}^\nu \quad (1.71)$$

qui peut être considéré comme le *prolongement analytique* de l'opérateur similaire 1.56 du cas précédent

$$\lambda_{\text{cas 1}}(p_1 + p_2) \rightarrow -\lambda_{\text{cas 2}}(p_1 - p_2) \quad (1.72)$$

On peut d'ailleurs relier facilement les vecteurs e_t et e_s obtenus dans l'un et l'autre cas par la substitution $p_2 \rightarrow -p_2$

$$e_t^{\text{cas 1}}(p_1 + p_2) \rightarrow e_t^{\text{cas 2}}(p_1 - p_2), \quad e_s^{\text{cas 1}}(p_1 + p_2) \rightarrow e_s^{\text{cas 2}}(p_1 - p_2) \quad (1.73)$$

Rappelons ici que les générateurs du petit groupe d'un vecteur p du genre espace sont donnés par

$$J(p) = n_0(p) \cdot W(p), \quad W_1(p) = -n_1(p) \cdot W(p), \quad W_2(p) = -n_2(p) \cdot W(p) \quad (1.74)$$

$W(p)$ étant l'opérateur de Pauli-Lubansky 1.1 et (n_0, n_1, n_2, \hat{p}) une base orthonormale de l'espace-temps ($n_0^2(p) = 1$, $n_1^2(p) = n_2^2(p) = -1$). L'ensemble de ces trois opérateurs satisfait aux relations de commutation de $L(2, 1)$ et $J(p)$ engendre le groupe des rotations dans le plan (n_1, n_2) . C'est précisément ce groupe de rotations que l'on retrouve aussi bien lorsque p est du genre temps que lorsque p est du genre espace : dans le premier cas, $J(p)$ est la composante du spin suivant $n_3(p)$, tandis que dans le second cas, c'est la composante du spin suivant $n_0(p)$. Dans les deux cas, $J(p)$ a le même ensemble de valeurs propres. Si la projection se fait suivant un vecteur d'hélicité de p , la composante $J(p)$ obtenue est l'opérateur d'hélicité de la particule, dont les valeurs propres possèdent alors l'invariance relativiste.

En remarque finale, notons aussi que les états de spin d'un photon virtuel sont décrits dans le cadre de la représentation quadri-vectorielle du groupe de Lorentz. Aussi, lorsque la particule virtuelle est un photon, l'hélicité quadri-vectorielle 1.56 ou 1.71 représente effectivement l'hélicité du photon. Les vecteurs propres $e^{(\lambda)}(p)$ de cet opérateur, qui constituent la tétrade de p , représentent quant à eux les *fonctions d'onde d'hélicité* de ce photon.

1.3.3 Troisième cas (figs 1.2, 1.5)

Considérons maintenant le cas où les deux particules entrantes 1 et 2 du vertex de la figure 1.2 sont virtuelles et du genre espace. La troisième ligne, sortante, dont l'impulsion du genre temps est la somme des impulsions des particules 1 et 2, représente soit un état quantique réel quelconque X comme dans la figure 1.5 (a), type de vertex que l'on trouve notamment dans le processus décrit par le diagramme de la figure 1.5, soit une particule virtuelle (du genre temps). Nous poserons ici

$$p_1^2 = -t < 0, \quad p_2^2 = -t', \quad p = p_1 + p_2, \quad p^2 = s > 0 \quad (1.75)$$

En fait, ce troisième cas diffère peu du premier quant au principe du couplage. Nous procéderons encore par analogie avec les deux cas précédents.

❶ Pour l'impulsion totale p :

$$[p]_h = R(n_3(p) \rightarrow \hat{q}_{12}) [p] \quad (1.76)$$

où $[p]$ est une tétrade arbitraire associée à $[p]$. Le vecteur d'hélicité q_{12} représente ici encore l'impulsion relative des particules 1 et 2 :

$$q_{12} = -q_{21} = p_1 - \frac{p_1 \cdot p}{s} p = -p_2 + \frac{p_2 \cdot p}{s} p \quad (1.77)$$

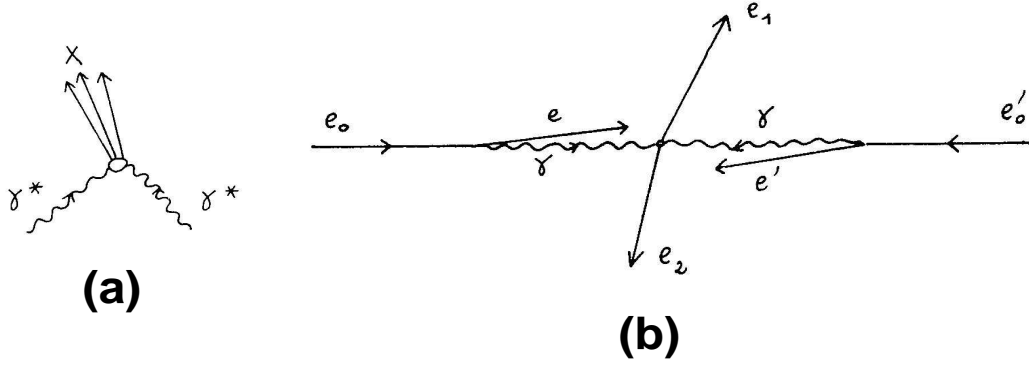


FIGURE 1.5 – (a) vertex à deux particules virtuelles entrantes; (b) exemple

On a ici

$$q_{12}^2 = -\frac{\Lambda}{s}, \quad \text{avec } \Lambda = \Lambda(s, -t, -t'), \quad \hat{q}_{12}^2 = -1$$

❶ Pour la particule 1 du genre espace :

$$[p_1]_h = [\hat{p} \rightarrow h_1] [p]_h \quad (1.78)$$

h_1 étant l'impulsion relative unitaire de p et $-p_2$:

$$h_1 = h(p_1, p) = e_t(p_1) = \frac{2\sqrt{t}}{\sqrt{\Lambda}} \left(p + \frac{p_1 \cdot p}{t} p_1 \right), \quad h_1^2 = 1, \quad h_1^0 > 0 \quad (1.79)$$

Il est facile de vérifier que l'on a

$$[\hat{p} \rightarrow h_1] \hat{q}_{12} = \hat{p}_1 \quad (1.80)$$

❷ Pour la particule 2 du genre espace :

Soit h_2 l'impulsion relative unitaire de p et $-p_1$, vecteur d'hélicité de p_2 :

$$h_2 = h(p_2, p) = e_t(p_2) = \frac{2\sqrt{t'}}{\sqrt{\Lambda}} \left(p + \frac{p_2 \cdot p}{t'} p_2 \right), \quad h_2^2 = 1, \quad h_2^0 > 0 \quad (1.81)$$

dans la transformation de Lorentz pure amenant \hat{p} sur ce vecteur, \hat{q}_{12} est transformé en $-\hat{p}_2$: $[\hat{p} \rightarrow h_2] \hat{q}_{12} = -\hat{p}_2$. Donc, ici également, il sera nécessaire de renverser au départ l'axe n_3 par la rotation Y introduite précédemment, de façon à obtenir $n_3(p_2) = \hat{p}_2$. La tétrade associée à la particule 2 sera donc définie par

$$[p_2]_h = [\hat{p} \rightarrow h_2] [p]_h Y \quad (1.82)$$

Il est clair que ces définitions conduisent bien à un couplage d'hélicité entre les trois particules. On obtient ici encore

$$e^{(\pm)}(p_1) = e^{(\pm)}(p) = e^{(\mp)}(p_2), \quad R_{A1} = R_A(p) = R_{A2}^{-1} = [Ap]_h A [p]_h$$

Du fait que l'on ne dispose plus d'espace d'états de particules réelles pour les particules 1 et 2, ce couplage doit être envisagé dans l'espace produit tensoriel des deux espaces de fonctions d'onde décrivant les états de spin respectifs de l'une ou l'autre de ces deux particules virtuelles.

1.3.4 Extension aux états à $N \geq 3$ particules du genre temps⁵

Lorsqu'on dispose de plus de deux particules, et donc de plus de deux impulsions, il devient possible de construire, à partir de ces impulsions, des bases complètes d'espace-temps, dont les vecteurs se transforment comme les impulsions, c'est-à-dire, des vecteurs possédant la propriété de covariance 1.13⁶. Dès lors, les projections des spins des particules sur l'un *quelconque* de ces vecteurs seront invariantes. Cette possibilité vient du fait que dans le référentiel du centre de masse du système des $N \geq 3$ particules, on peut former, avec les $N - 1$ tri-impulsions indépendantes, un véritable solide rigide à trois dimensions, auquel on peut attacher un système d'axes pouvant servir de base tri-dimensionnelle, ce qui ne peut être réalisé pour un état à une seule particule (tri-impulsion nulle dans le référentiel de la particule au repos) ou un état à deux particules (une seule tri-impulsion dans ce cas). Cela est évident pour $N \geq 4$ ($N - 1 \geq 3$). Pour $N = 3$, on note qu'à deux tri-vecteurs indépendants \vec{p}_1 et \vec{p}_2 formant un triangle on peut adjoindre le vecteur $\vec{p}_1 \wedge \vec{p}_2$ perpendiculaire à ce triangle pour former un tétraèdre.

Considérons justement le cas $N = 3$. A titre d'exemple, définissons la tétrade d'hélicité de l'impulsion totale $P = p_1 + p_2 + p_3$ de la manière suivante :

$$T = \hat{P} = \frac{P}{\sqrt{s}}, \quad \text{avec } s = P^2, \quad Y_\mu = N_y \varepsilon_{\mu\nu\rho\sigma} p_1^\nu p_2^\rho p_3^\sigma, \quad Z = N_z \left\{ p_3 - \frac{P \cdot p_3}{s} P \right\}$$

$$X_\mu = \varepsilon_{\mu\nu\rho\sigma} T^\nu Y^\rho Z^\sigma \quad (1.83)$$

où l'on note que dans l'échange $1 \leftrightarrow 2$, T et Z sont symétriques tandis que Y et X sont antisymétriques⁷. On vérifie sans peine que ces vecteurs sont bien orthogonaux deux à deux. Les facteurs N_y et N_z assurent la normalisation de Y et de Z , respectivement ($Y^2 = Z^2 = -1$). On les évalue le plus simplement en se plaçant dans le référentiel du centre de masse des trois impulsions où

$$Y = (0, \vec{Y}), \quad \vec{Y} = N_y \left[\vec{p}_1 \wedge \vec{p}_2 \right]_{CM} = N_y \left[\vec{p}_2 \wedge \vec{p}_3 \right]_{CM} = N_y \left[\vec{p}_3 \wedge \vec{p}_1 \right]_{CM},$$

$$Z = (0, \vec{Z}), \quad \vec{Z} = N_z (\vec{p}_3)_{CM} \quad (\vec{p}_3 = -\vec{p}_1 - \vec{p}_2)_{CM}$$

d'où l'on déduit immédiatement (à un signe près)

$$N_y^{-1} = \{p_1 p_2 | \sin \Theta_{12}\}^{CM} = \{p_2 p_3 | \sin \Theta_{23}\}^{CM} = \{p_3 p_1 | \sin \Theta_{31}\}^{CM}, \quad \text{et } N_z^{-1} = p_3^{CM}$$

où, dans ledit référentiel, Θ_{ij} est l'angle entre les tri-impulsions des particules i et j et les p_i^{CM} sont les modules de ces tri-impulsions :

$$p_i^{CM} = \frac{\Lambda^{1/2}(s, m_i^2, W_{k\ell}^2)}{2\sqrt{s}}, \quad i \neq k \neq \ell$$

$W_{k\ell}^2 = (p_k + p_\ell)^2$ étant la carré de la masse invariante du sous-système (k, ℓ) . Tenant compte de la relation

5. Cette extension est présentée sous sa forme la plus générale dans : M. Kummer, J. Math. Phys. 7, 997 (1966) ; J. Werle, "Relativistic Theory of Reactions", North-Holland Pub. Comp., Amsterdam (1966) ; P. Moussa, Thèse d'état, Orsay (1968) ; pour le cas $N = 3$, voir aussi : S. M. Berman, M. Jacob, Phys. Rev. 139 B, 1023 (1965).

6. Remarquons ici qu'il peut être utile de choisir les éléments de la base en fonction de leurs propriétés de symétrie vis-à-vis du groupe des permutations S_N .

7. En fait, sous une permutation quelconque de S_3 , T est complètement symétrique et Y complètement antisymétrique.

$$\varepsilon_{\sigma\mu\nu\rho}\varepsilon^{\sigma\alpha\beta\gamma} = -\{\delta_\mu^\alpha\delta_\nu^\beta\delta_\rho^\gamma + \delta_\nu^\alpha\delta_\rho^\beta\delta_\mu^\gamma + \delta_\rho^\alpha\delta_\mu^\beta\delta_\nu^\gamma - \delta_\mu^\alpha\delta_\rho^\beta\delta_\nu^\gamma - \delta_\rho^\alpha\delta_\nu^\beta\delta_\mu^\gamma - \delta_\nu^\alpha\delta_\mu^\beta\delta_\rho^\gamma\}$$

on trouve le vecteur X sous la forme

$$X = \frac{N_y N_z}{\sqrt{s}} \left\{ [s p_2 \cdot p_3 - P \cdot p_2 P \cdot p_3] \left(p_1 - \frac{P \cdot p_1}{s} P \right) - [s p_1 \cdot p_3 - P \cdot p_1 P \cdot p_3] \left(p_2 - \frac{P \cdot p_2}{s} P \right) \right\}$$

ou encore

$$X = \frac{N_y N_z}{\sqrt{s}} \left\{ [p_2 \cdot p_3 P \cdot p_3 - m_3^2 P \cdot p_2] \left(p_1 - \frac{p_3 \cdot p_1}{m_3^2} p_3 \right) - [p_1 \cdot p_3 P \cdot p_3 - m_3^2 P \cdot p_1] \left(p_2 - \frac{p_3 \cdot p_2}{m_3^2} p_3 \right) \right\}$$

Dans le référentiel du centre de masse global, ce vecteur s'écrit

$$X = (0, \vec{X}), \quad \text{avec} \quad \vec{X} = \frac{\vec{p}_3 \wedge \{ \vec{p}_1 \wedge \vec{p}_2 \}}{\left| \vec{p}_3 \wedge \{ \vec{p}_1 \wedge \vec{p}_2 \} \right|} \Big|_{CM}$$

A partir de cette tétrade $[P]_h$, les tétrades d'hélicité des particules seront ensuite définies comme

$$[p_i]_h = [\hat{P} \rightarrow \hat{p}_i][P]_h$$

ce qui conduit à l'égalité des rotations de Wigner. On obtient ainsi les tétrades suivantes⁸.

① Particule 1

$$\begin{aligned} T_1 &= \hat{p}_1 = \frac{p_1}{m_1}, \quad Y_1 = Y \\ Z_1 &= N_z \left\{ p_3 - \frac{p_3 \cdot p_1}{m_1^2} p_1 + \frac{1}{1 + \xi_1} \left\{ \frac{p_1 \cdot p_3}{m_1 \sqrt{s}} + \frac{P \cdot p_3}{s} \right\} \left[-P + \frac{P \cdot p_1}{m_1^2} p_1 \right] \right\} \\ X_1 &= \frac{N_y N_z}{\sqrt{s}} \left\{ [s p_2 \cdot p_3 - P \cdot p_2 P \cdot p_3] \frac{m_1}{\sqrt{s}} \left(-P + \frac{P \cdot p_1}{m_1^2} p_1 \right) \right. \\ &\quad \left. + [P \cdot p_1 P \cdot p_3 - s p_1 \cdot p_3] \left[p_2 - \frac{p_2 \cdot p_1}{m_1^2} p_1 + \frac{1}{1 + \xi_1} \left(\frac{p_1 \cdot p_2}{m_1 \sqrt{s}} + \frac{P \cdot p_2}{s} \right) \left(-P + \frac{P \cdot p_1}{m_1^2} p_1 \right) \right] \right\} \\ &\quad \text{avec} \quad \xi_1 = \cosh \chi_1 = \frac{P \cdot p_1}{m_1 \sqrt{s}} \end{aligned}$$

② Particule 2

$$\begin{aligned} T_2 &= \hat{p}_2 = \frac{p_2}{m_2}, \quad Y_2 = Y \\ Z_2 &= N_z \left\{ p_3 - \frac{p_3 \cdot p_2}{m_2^2} p_2 + \frac{1}{1 + \xi_2} \left\{ \frac{p_2 \cdot p_3}{m_2 \sqrt{s}} + \frac{P \cdot p_3}{s} \right\} \left[-P + \frac{P \cdot p_2}{m_2^2} p_2 \right] \right\} \end{aligned}$$

8. Le vérifier.

$$\begin{aligned}
 X_2 = & -\frac{N_y N_z}{\sqrt{s}} \left\{ [s p_1 \cdot p_3 - P \cdot p_1 P \cdot p_3] \frac{m_2}{\sqrt{s}} \left(-P + \frac{P \cdot p_2}{m_2^2} p_2 \right) \right. \\
 & \left. + [P \cdot p_2 P \cdot p_3 - s p_2 \cdot p_3] \left[p_1 - \frac{p_1 \cdot p_2}{m_2^2} p_2 + \frac{1}{1 + \xi_2} \left(\frac{p_2 \cdot p_1}{m_2 \sqrt{s}} + \frac{P \cdot p_1}{s} \right) \left(-P + \frac{P \cdot p_2}{m_2^2} p_2 \right) \right] \right\} \\
 & \text{avec } \xi_2 = \cosh \chi_2 = \frac{P \cdot p_2}{m_2 \sqrt{s}}
 \end{aligned}$$

③ Particule 3

$$\begin{aligned}
 T_3 = \hat{p}_3 = \frac{p_3}{m_3}, \quad X_3 = X, \quad Y_3 = Y \\
 Z_3 = N_z \frac{m_3}{\sqrt{s}} \left\{ -P + \frac{P \cdot p_3}{m_3^2} p_3 \right\}
 \end{aligned}$$

Comme on le voit, le choix 1.83 privilégie en fait la particule 3 par rapport aux deux autres, Z_3 prenant la forme d'un vecteur d'hélicité, selon la définition 1.17 que nous lui avons donnée. Comme le vecteur Y est perpendiculaire à l'hyperplan formé par les trois impulsions, un autre choix, plus symétrique bien qu'inusuel, consisterait à redéfinir l'hélicité des particules comme projection de leurs spins respectifs sur cet axe commun. On peut également opter pour le couplage d'hélicité suivant, symétrique lui aussi, qui présente l'avantage de s'adapter à un nombre quelconque de particules, mais qui ne donne pas l'égalité des rotations de Wigner.

Plaçons-nous dans le référentiel du centre de masse global des N particules, de base

$$\hat{P}|_{CM} = \hat{T} = (\sqrt{s}, \vec{0}), \quad \hat{X} = (0, \vec{e}_x), \quad \hat{Y} = (0, \vec{e}_y), \quad \hat{Z} = (0, \vec{e}_z) \quad (1.84)$$

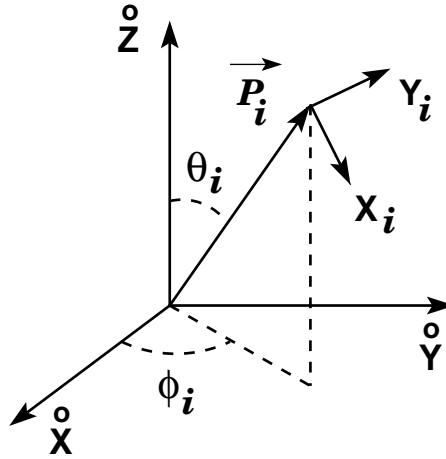


FIGURE 1.6 – Paramétrisation d'une tri-impulsion dans le référentiel du centre de masse

Utilisant la paramétrisation des coordonnées sphériques (voir figure 1.6), la tri-impulsion de la particule i sera écrite sous la forme

$$\begin{aligned}
 \vec{p}_{i CM} = \hat{p}_i \vec{e}_{ri}, \quad \text{avec} \\
 \vec{e}_{ri} = \cos \theta_i \vec{e}_z + \sin \theta_i \left(\cos \varphi_i \vec{e}_x + \sin \varphi_i \vec{e}_y \right)
 \end{aligned}$$

où θ_i est l'angle orbital et φ_i l'angle azimutal de la particules. Introduisons aussi les vecteurs

$$\begin{aligned}\vec{e}_{\theta i} &= -\sin \theta_i \vec{e}_z + \cos \theta_i \left(\cos \varphi_i \vec{e}_x + \sin \varphi_i \vec{e}_y \right) \\ \vec{e}_{\varphi i} &= -\sin \varphi_i \vec{e}_x + \cos \varphi_i \vec{e}_y\end{aligned}$$

et notons

$$X_i|_{CM} \equiv (0, \vec{e}_{\theta i}), \quad Y_i|_{CM} \equiv (0, \vec{e}_{\varphi i}), \quad Z_i|_{CM} = (0, \vec{e}_z) \quad (1.85)$$

Les quatre vecteurs $T = \hat{P}$, X_i , Y_i , Z_i forment une base reliée à la base standard 1.84 par la matrice de rotation

$$\mathcal{R}_i = \begin{pmatrix} 1 & 0 & 0 & 0 \\ 0 & \cos \theta_i & -\sin \varphi_i & \sin \theta_i \cos \varphi_i \\ 0 & \cos \theta_i \sin \varphi_i & \cos \varphi_i & \sin \theta_i \sin \varphi_i \\ 0 & -\sin \theta_i & 0 & \cos \theta_i \end{pmatrix} \quad (1.86)$$

On notera que le vecteur Z_i peut être exprimé comme

$$Z_i = \frac{1}{\dot{p}_i} \left(p_i - \frac{P \cdot p_i}{s} P \right) \quad (1.87)$$

$$\text{avec } \dot{p}_i = \frac{\Lambda^{1/2}(s, m_i^2, W_i^2)}{2\sqrt{s}}, \quad W_i^2 = (P - p_i)^2$$

et représente donc pour P un vecteur d'hélicité, dans un couplage d'hélicité entre le système global et la particule i . Nous noterons

$$[P]_{hi} = \mathcal{R}_i [\hat{P}] \quad (1.88)$$

la tétrade correspondante, que l'on peut appeler tétrade d'hélicité de P *relativement à la particule* i . A partir de cette tétrade, celle relative à p_i sera obtenue par la transformation de Lorentz pure $[\hat{P} \rightarrow \hat{p}_i]$:

$$[p_i]_h = [\hat{P} \rightarrow \hat{p}_i] [P]_{hi} :$$

$$\hat{p}_i = t_i = \cosh \chi_i T + \sinh \chi_i Z_i, \quad z_i = \sinh \chi_i T + \cosh \chi_i Z_i$$

$$x_i = X_i, \quad y_i = Y_i, \quad \cosh \chi_i = \frac{P \cdot p_i}{m_i \sqrt{s}}$$

$$\text{et donc } z_i = \frac{2m_i}{\Lambda^{1/2}(s, m_i^2, W_i^2)} \left(-P + \frac{p_i \cdot P}{m_i^2} p_i \right) \quad (1.89)$$

ce qui correspond bien à un couplage d'hélicité entre les tétrades de P et p_i .

Pour terminer, remarquons que ce formalisme peut être étendu sans difficulté au cas où certaines particules sont virtuelles et du genre espace.

1.4 Fonctions d'onde des particules virtuelles

Mis à part le cas spécial des particules, qui, telles le photon, ont une masse réelle nulle, cas qui requiert généralement une étude particulière, la construction explicite de ces fonctions d'onde, aussi appelées *amplitudes spinorielles*⁹, ne pose pas de problème majeur lorsque l'impulsion p de la particule virtuelle est du genre temps. Pour les obtenir, il suffit en effet d'effectuer un prolongement analytique des fonctions d'onde de la particule *sur-couche*, c'est-à-dire, lorsque son impulsion (du genre temps futur) vérifie $p^2 = m^2$ où m est sa masse réelle, en remplaçant partout m par $\sqrt{s} = \sqrt{p^2}$, grandeur qui représente alors la masse de la particule *hors-couche*. Ainsi, les fonctions d'onde d'un électron, resp. d'un positron, virtuel du genre temps sont simplement les spineurs $U_\sigma([p])$, resp. $V_\sigma([p])$, décrivant les états de spin d'un électron, resp. d'un positron, de masse \sqrt{s} . Ces spineurs vérifient les équations de Dirac

$$(\not{p} - \sqrt{s}) U_\sigma([p]) = 0, \quad (\not{p} + \sqrt{s}) V_\sigma([p]) = 0 \quad (1.90)$$

où $\not{p} = p_\mu \gamma^\mu$, les γ^μ , $\mu = 0, 1, 2, 3$ étant les quatre matrices de Dirac. Elles sont aussi vecteurs propres, avec la valeur propre $\sigma = \pm 1/2$, de la composante suivant $n_3(p)$ de l'opérateur de polarisation qui prend ici l'expression

$$W_\mu(\hat{p}) = \frac{i}{4} \varepsilon_{\mu\nu\alpha\beta} \hat{p}^\nu \gamma^\alpha \gamma^\beta \quad (1.91)$$

Pour une particule de spin J quelconque, les fonctions d'onde de la *représentation spinorielle* correspondant à ce spin sont des spineurs à $2(2J+1)$ composantes. Ils vérifient une équation analogue à l'équation de Dirac¹⁰ :

$$[\Gamma(\hat{p}) - 1] U_\sigma([p]) = 0, \quad \text{avec} \\ \Gamma(\hat{p}) = \begin{pmatrix} 0 & \mathcal{D}^J(\hat{p}) \\ \mathcal{D}^J(\tilde{\hat{p}}) & 0 \end{pmatrix}, \quad \text{et} \quad \tilde{\hat{p}} = \hat{p}^{-1} \hat{p}^2 = \tilde{\hat{p}}^{-1} \quad (1.92)$$

les \mathcal{D}^J étant des matrices carrées $(2J+1) \times (2J+1)$.

Les fonctions d'onde des particules virtuelles du genre espace peuvent être construites dans le même espace de représentation spinorielle que celui correspondant à la particule virtuelle du genre temps. Elles seront alors définies comme étant les vecteurs propres de la composante de l'opérateur de polarisation de cette représentation suivant le vecteur unitaire du genre temps futur $n_0(p)$. Comme nous l'avons déjà noté, cet opérateur et l'opérateur $S_3(p)$ pour la particule du genre temps sont les mêmes, au signe près, et possèdent donc le même ensemble de valeurs propres. Cependant, selon la valeur J du spin de la représentation, une difficulté se présente concernant l'équation de Dirac généralisée à laquelle doivent en principe satisfaire les fonctions d'onde. En effet, l'extension la plus immédiate de 1.92 est la suivante :

$$[\Gamma(\hat{p}) - 1] \Psi(p) = 0 \quad (1.93)$$

où cette fois \hat{p} est le vecteur unitaire du genre espace porté par p : $\hat{p} = p/\sqrt{t}$, $t = -p^2 > 0$. Mais puisque $\Gamma^2(\hat{p})\Psi(p) = \Gamma(\hat{p})\Psi(p) = \Psi(p)$ et que $\Gamma^2(\hat{p}) = (-1)^{2J}$, l'équation 1.93 ne peut être valable que si J est entier et ne peut donc être retenue pour les valeurs demi-entières du spin. Par exemple, dans le cas d'un électron, l'équation serait

9. Voir P. Moussa, R. Stora, loc. cit. ; voir aussi S. Weinberg, Phys. Rev. 133, B1318 (1964).

10. Et qui revient à 1.90 pour $J = 1/2$.

$$(\not{p} - \sqrt{t}) \Psi(p) = 0$$

d'où l'on déduirait

$$(\not{p} + \sqrt{t}) (\not{p} - \sqrt{t}) \Psi(p) = -2t\Psi(p) = 0$$

ce qui conduirait à la solution triviale (et inutile) $\Psi(p) = 0$.

Pour remédier à cette difficulté, il peut s'avérer très commode d'introduire, ainsi que l'a fait P. Kessler¹¹, le nombre $\hat{1}$, dont les propriétés sont les suivantes :

$$\hat{1}^* = \hat{1}, \quad \hat{1}^2 = -1 \tag{1.94}$$

L'emploi de ce nombre évite celui des nombres complexes et permet d'effectuer simplement certains prolongements analytiques. En particulier, la "masse" de la particule virtuelle peut être définie par

$$\sqrt{p^2} = \hat{1} \sqrt{t} \tag{1.95}$$

et le vecteur unitaire du genre espace \hat{p} peut être transformé en un vecteur unitaire du genre temps par la substitution

$$\hat{p} \rightarrow \frac{p}{\sqrt{p^2}} = \frac{p}{\hat{1}\sqrt{t}} = \hat{p}' \tag{1.96}$$

On généralisera dès lors l'équation 1.92 au cas "genre espace- spin demi-entier" par

$$[\Gamma(\hat{p}') - 1] \Psi(p) = 0 \tag{1.97}$$

Par exemple, pour un électron ou un positron, on aura maintenant

$$(\not{p} - \hat{1}\sqrt{t}) U_\sigma([p]) = 0, \quad (\not{p} + \hat{1}\sqrt{t}) V_\sigma([p]) = 0$$

Notons également que si l'on transforme simultanément le vecteur unitaire du genre temps associé à p en un vecteur unitaire du genre espace par la substitution

$$n_0(p) \rightarrow n'_0(p) = \frac{n_0(p)}{\hat{1}} \tag{1.98}$$

la tétrade $(\hat{p}', n_1(p), n_2(p), n'_0(p))$ constitue cette fois une base orthonormée et directe de l'espace-temps, ayant \hat{p}' pour vecteur unitaire du genre temps.

Dans $SL(2, C)$, on peut représenter la transformation permettant d'échanger les rôles des vecteurs n_0 et n_3 d'une tétrade de référence par la matrice

$$a = \sqrt{\hat{1}} \begin{pmatrix} \hat{1} & 0 \\ 0 & 1 \end{pmatrix} \tag{1.99}$$

qui est telle que

$$a\tau_0 a = \frac{\tau_3}{\hat{1}}, \quad a\tau_3 a = \frac{\tau_0}{\hat{1}}, \quad a\tau_i a = \tau_i \quad i = 1, 2 \tag{1.100}$$

11. P. Kessler : Nucl. Phys. B 15, 253 (1970). Voir aussi A. Jaccarini, Canadian Journ. of Phys. 51, 1304 (1973) ; Thèse d'Etat, Université Laval, Québec, Canada (1975).

Dès lors, la transformation qui permet d'amener la tétrade de référence sur celle associée à \hat{p}' définie ci-dessus pourra être représentée par la matrice

$$[p'] = [p] a \quad (1.101)$$

$[p]$ étant la tétrade de p , définie de la façon habituelle par

$$[p] \underset{\sim}{n}_\alpha [p]^\dagger = \underset{\sim}{n}_\alpha(p) \quad , \quad n_3(p) = \hat{p} \quad (1.102)$$

L'avantage que l'on retire de ces définitions est qu'elles permettent de prolonger analytiquement les fonctions d'onde d'une particule du genre temps lorsque celle-ci devient du genre espace. Ceci peut être vérifié dans le cas très simple de l'électron, pour lequel les spineurs pour $p^2 < 0$ s'obtiennent à partir des spineurs pour $p^2 > 0$ par la transformation :

$$\{U_\sigma([p])\}_{p^2>0} \rightarrow \{U_\sigma([p'])\}_{p^2<0} \quad (1.103)$$

ces spineurs étant, l'un et l'autre, normalisés à l'unité.

1.5 Première application : la méthode d'hélicité généralisée

La méthode dont il sera question ici s'appuie sur le formalisme des couplages d'hélicité¹². Elle permet de clarifier grandement le calcul de certains processus élémentaires décrits par des diagrammes de Feynman du type "arbre". Elle conduit à une factorisation de la section efficace relative à un tel diagramme en divers *facteurs dynamiques* ou *taux de vertex*, dont chacun caractérise la dynamique d'un vertex particulier du diagramme. Plus précisément, elle fournit le moyen de définir sans ambiguïté des facteurs dynamiques, caractéristiques, soit de chaque vertex, soit de chaque échange de particule virtuelle dans ce diagramme, et d'exprimer directement la section efficace (différentielle) correspondante comme un produit, en général de nature tensorielle, de ces divers facteurs. Il en résulte une très grande clarification des formules, qui se prêtent ainsi à une meilleure interprétation physique.

1.5.1 Processus avec échange d'un électron du genre espace

Le processus envisagé est schématisé par le diagramme de la figure 1.7. En mettant à part les constantes de couplage et le dénominateur du propagateur de l'électron échangé, l'amplitude de transition correspondante s'écrit

$$T = \overline{X'} (\not{p} + m) X \quad (1.104)$$

m étant la masse de l'électron sur-couche; X et X' sont les amplitudes de vertex, de nature spinorielle, se rapportant respectivement au vertex "de gauche" et au vertex "de droite" du diagramme; $\overline{X} = X^\dagger \gamma_0$ est le spineur adjoint de X .

Décomposons tout d'abord le propagateur de l'électron suivant les fonctions d'onde de cet électron virtuel. On obtient :

$$\not{p} + m = \sum_\sigma \{u U_\sigma([p']) \overline{U}_\sigma([p']) + v V_\sigma([p]) \overline{V}_\sigma([p])\} \quad , \quad V = \gamma_5 U \quad (1.105)$$

où

¹². Voir P. Kessler, loc. cit

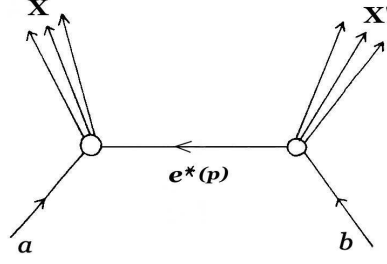


FIGURE 1.7 – Diagramme d'un processus avec échange d'un électron virtuel

$$u = \frac{1}{2}\left(1 + \frac{m}{m^*}\right), \quad v = \frac{1}{2}\left(1 - \frac{m}{m^*}\right), \quad m^* = \sqrt{p^2} = \hat{1}\sqrt{t}$$

les spineurs étant ici normalisés selon $\bar{U}_\sigma U'_\sigma = 2m^* \delta_{\sigma\sigma'}$

La tétrade $[p']$ peut être choisie arbitrairement, puisque la somme figurant dans 1.105 ne dépend pas de ce choix. Aussi, nous la prendrons comme étant la tétrade d'hélicité de p , définie relativement au vertex de gauche. Mais pour préserver la symétrie entre les deux vertex, nous exprimerons, en une deuxième étape, les spineurs adjoints \bar{U} et \bar{V} en fonction des spineurs adjoints \bar{U}' et \bar{V}' correspondant à la tétrade d'hélicité de p définie cette fois relativement au vertex de droite :

$$\bar{U}_\lambda = \sum_{\lambda'} r_{\lambda\lambda'}^* \bar{U}'_{\lambda'} \quad (1.106)$$

La matrice $r_{\lambda\lambda'}$ effectuant ce changement de tétrade représente, en fait, la transformation de Lorentz du petit groupe de p , amenant le plan du vertex de gauche sur le plan du vertex de droite ("rotation d'angle imaginaire" autour de p). Explicitement, on a (λ en indice de ligne, λ' en indice de colonne)

$$\{r_{\lambda\lambda'}(\theta)\} = \begin{pmatrix} \cos \frac{\theta}{2} & -\sin \frac{\theta}{2} \\ \sin \frac{\theta}{2} & \cos \frac{\theta}{2} \end{pmatrix} \quad (1.107)$$

On obtient ainsi

$$\not{p} + m = \sum_{\lambda, \lambda'} r_{\lambda\lambda'}^* (u U_\lambda \bar{U}'_{\lambda'} + v V_\lambda \bar{V}'_{\lambda'}) \quad (1.108)$$

Une telle décomposition du propagateur permet d'exprimer l'amplitude de transition en fonction d'amplitudes d'hélicité relatives à chacun des deux vertex :

$$T = \sum_{\lambda, \lambda'} r_{\lambda\lambda'}^* \left\{ u J_\lambda J'_{\lambda'} + v \bar{J}_\lambda \bar{J}'_{\lambda'} \right\} \quad (1.109)$$

ces amplitudes étant définies par

$$J_\lambda = \bar{X} U_\lambda, \quad \bar{J}_\lambda = \bar{X} V_\lambda \quad (1.110)$$

pour le vertex de gauche et par

$$J'_{\lambda'} = \overline{X'} U'_{\lambda'} , \quad \overline{J'}_{\lambda'} = \overline{X'} V'_{\lambda'} \quad (1.111)$$

pour le vertex de droite. Supposons que les matrices densités de spin des particules externes du diagramme soient diagonales. Le *taux d'interaction* relatif au diagramme est alors donné par

$$\begin{aligned} \mathcal{T} &= \sum_{\lambda, \lambda'} \sum_{\chi, \chi'} \sum_{g, d} \left\{ u J_{\lambda} J'_{\lambda'}^* + v \overline{J}_{\lambda} \overline{J'}_{\lambda'}^* \right\} r_{\lambda \lambda'}^* \times r_{\chi \chi'} \left\{ u J_{\chi} J'_{\chi'} + v \overline{J}_{\chi} \overline{J'}_{\chi'} \right\} \\ &= \sum_{\lambda \chi} \sum_{\lambda' \chi'} r_{\lambda \lambda'}^* r_{\chi \chi'} \left\{ u^2 \left\{ \sum_g J_{\lambda} J_{\chi}^* \right\} \left\{ \sum_d J'_{\lambda'} J'_{\chi'} \right\} + v^2 \left\{ \sum_g \overline{J}_{\lambda} \overline{J}_{\chi} \right\} \left\{ \sum_d \overline{J'}_{\lambda'} \overline{J'}_{\chi'} \right\} \right. \\ &\quad \left. + uv \left\{ \sum_g J_{\lambda} \overline{J}_{\chi} \right\} \left\{ \sum_d J'_{\lambda'} \overline{J'}_{\chi'} \right\} + uv \left\{ \sum_g \overline{J}_{\lambda} J_{\chi} \right\} \left\{ \sum_d \overline{J'}_{\lambda'} J'_{\chi'} \right\} \right\} \quad (1.112) \end{aligned}$$

où les symboles \sum_g et \sum_d signifient que l'on somme sur les indices de spin des particules externes des vertex de gauche et de droite, respectivement.

Dans le diagramme de la figure 1.7, les lignes entrantes a et b représentent habituellement deux particules allant entrer en collision, d'impulsion et de spin p_a, s_a et p_b, s_b , respectivement. Nous choisirons pour leurs tétrades celles qui réalisent le couplage d'hélicité au vertex de gauche et au vertex de droite, respectivement. Quant aux lignes sortantes X et X' , elles peuvent a priori représenter des états finals quelconques résultant de la collision, mais nous supposerons en premier lieu que ces derniers sont des états à une particule chacun, d'impulsion et de spin p_X, s_X et $p_{X'}, s_{X'}$, respectivement, et nous leur attribuerons également leurs tétrades d'hélicité respectives au vertex où ils interviennent. Ainsi, on a, par exemple,

$$J_{\lambda} = \langle X | \overline{\eta}(0) | a \rangle U_{\lambda} \equiv \langle [p_X]_h, \lambda_X | \overline{\eta}(0) | [p_a]_h, \lambda_a \rangle U_{\lambda}([p]_h) \quad (1.113)$$

avec $\overline{\eta}(0) = \eta^{\dagger}(0) \gamma_0$ où $\eta(0)$ est un certain opérateur de champ, pris au point d'espace-temps $x = 0$, qui appartient à la même représentation du groupe de Lorentz que celle de l'électron, c'est-à-dire, celle de spin 1/2. Sous une transformation de Lorentz Λ représentée par la matrice (2×2) A de $SL(2, \mathbb{C})$, on a

$$\begin{aligned} U(A) \eta(x) U^{-1}(A) &= S^{-1}(A) \eta(\Lambda x), \quad \text{soit } U(A) \eta(0) U^{-1}(A) = S^{-1}(A) \eta(0) \\ \text{et } U(A) \overline{\eta}(0) U^{-1}(A) &= \overline{\eta}(0) S(A) \end{aligned} \quad (1.114)$$

où, dans la représentation standard des matrices γ de Dirac¹³, la matrice 4×4 $S(A)$ a pour expression

$$S(A) = \frac{1}{2} \begin{pmatrix} A + A^{\dagger-1} & A - A^{\dagger-1} \\ A - A^{\dagger-1} & A + A^{\dagger-1} \end{pmatrix} \quad (1.115)$$

Tenant compte de l'unitarité de $U(A)$ ($U^{-1}(A) = U^{\dagger}(A)$) et de

13. C'est-à-dire : $\gamma_0 = \begin{pmatrix} \tau_0 & 0 \\ 0 & -\tau_0 \end{pmatrix}$, $\gamma^i = -\gamma_i = \begin{pmatrix} 0 & \tau_i \\ -\tau_i & 0 \end{pmatrix}$, $i = 1, 2, 3$, $\gamma_5 = \begin{pmatrix} 0 & \tau_0 \\ \tau_0 & 0 \end{pmatrix}$

$$S(A)U_\lambda([p]) = \mathcal{D}_{\lambda\lambda'}^{1/2}(R_A)U_{\lambda'}([Ap])$$

écrivons

$$J_\lambda = \langle X|U^{-1}(A)U(A)\bar{\eta}(0)U^{-1}(A)U(A)|a \rangle U_\lambda =$$

$$\left[\mathcal{D}_{\lambda_X \lambda_X}^{s_X}(R_{AX}) \right]^* \mathcal{D}_{\lambda_a \lambda_a}^{s_a}(R_{Aa}) \mathcal{D}_{\lambda\lambda'}^{1/2}(R_A) \langle [Ap_X], \lambda_X | \bar{\eta}(0) | [Ap_a], \lambda_a \rangle U_{\lambda'}([Ap])$$

Or, en couplage d'hélicité (dans la voie t),

$$R_{AX} = R_{Aa} = R_A, \quad \mathcal{D}_{\lambda\lambda'}^J(R_A) = \delta_{\lambda'\lambda} e^{-i\lambda\varphi}$$

d'où il résulte que

$$J_\lambda \equiv e^{i(\lambda_X - \lambda_a - \lambda)\varphi} \langle [Ap_X]_h, \lambda_X | \bar{\eta}(0) | [Ap_a]_h, \lambda_a \rangle U_\lambda([Ap]_h) \quad (1.116)$$

En considérant une rotation dans le bi-plan orthogonal au plan de vertex, $Ap_X = p_X$, $Ap_a = p_a$, $Ap = p$ et l'on trouve alors

$$J_\lambda \equiv e^{i(\lambda_X - \lambda_a - \lambda)\varphi} J_\lambda \quad (1.117)$$

ce qui implique la *conservation de l'hélicité* au vertex considéré :

$$\lambda = \lambda_X - \lambda_a \quad (1.118)$$

On en déduit par exemple que $\sum_g J_\lambda J_\lambda^* \propto \delta_{\lambda\lambda}$ et des propriétés similaires pour les autres grandeurs tensorielles apparaissant dans 1.112. Combinant 1.116 et 1.118 on en déduit

$$J_\lambda(p_X, p_a) = J_\lambda(Ap_X, Ap_a) \quad (1.119)$$

et que par conséquent cette amplitude est invariante relativiste et ne dépend donc que d'invariants relativistes du vertex de gauche ($\lambda_X, \lambda_a, t, W, m_a$, etc). Posons ensuite

$$I_\lambda = \sum_g |J_\lambda|^2, \quad I'_{\lambda'} = \sum_d |J'_{\lambda'}|^2, \quad \bar{I}_\lambda = \sum_g |\bar{J}_\lambda|^2, \quad \bar{I}'_{\lambda'} = \sum_d |\bar{J}'_{\lambda'}|^2$$

$$K_\lambda = \sum_g J_\lambda J_\lambda^*, \quad K'_{\lambda'} = \sum_d \bar{J}'_{\lambda'}^* J'_{\lambda'}, \quad R_{\lambda\lambda'} = (r_{\lambda\lambda'})^2$$

Si l'on suppose de plus que la parité est conservée à chaque vertex, on a les relations¹⁴

$$I_{1/2} = I_{-1/2} = I, \quad I'_{1/2} = I'_{-1/2} = I', \quad \bar{I}_{1/2} = \bar{I}_{-1/2} = \bar{I}, \quad \bar{I}'_{1/2} = \bar{I}'_{-1/2} = \bar{I}'$$

$$K_{1/2} = -K_{-1/2} = K, \quad K'_{1/2} = -K'_{-1/2} = K'$$

D'où, tous calculs faits,

$$\mathcal{T} = 2 \{ u^2 I I' + v^2 \bar{I} \bar{I}' + 2uv \cos \theta \operatorname{Re}(K K'^*) \} \quad (1.120)$$

C'est la formule de factorisation annoncée, où sont clairement séparés des "taux de vertex" tels I, I' etc, caractéristiques de la dynamique propre à chaque vertex, et le facteur $\cos \theta$ qui, lui, se rattache à la propagation de l'électron virtuel.

14. Voir P. Kessler, loc. cit.

Ce résultat peut être étendu dans une certaine mesure au cas où les états finals X et X' comportent plus d'une particule, et dont les états quantiques se construisent dans l'espace produit tensoriel des espaces relatifs aux particules impliquées. Il suffit en effet de procéder à la décomposition de cet espace en représentations irréductibles du groupe de Poincaré. L'état $|X\rangle$ par exemple sera alors exprimé comme une superposition d'états ("ondes partielles") attachés chacun à une telle représentation irréductible, avec des nombres quantiques, masse, spin, hélicité, parité, etc, bien définis au regard du groupe de Poincaré, comme pour une particule unique, et auquel pourra donc être appliqué le résultat précédent. On pourra ensuite rattacher les taux de vertex obtenus aux sections efficaces d'électro-production virtuelle à chaque vertex.

Notons que, l'électron échangé étant du genre espace, le facteur $\cos\theta$ est en fait un cosinus hyperbolique. Son expression générale se trouve en calculant le produit scalaire des deux vecteurs d'hélicité

$$q_g = \frac{2\sqrt{t}}{\Lambda^{1/2}(W^2, m_a^2, -t)} \left(p_a + \frac{p_a \cdot p}{t} p \right), \quad q_d = \frac{2\sqrt{t}}{\Lambda^{1/2}(W'^2, m_b^2, -t)} \left(p_b + \frac{p_b \cdot p}{t} p \right) \quad (1.121)$$

soit

$$\cos\theta = q_a \cdot q_b = \frac{t(2s - t - W^2 - m_a^2 - W'^2 - m_b^2) - (W^2 - m_a^2)(W'^2 - m_b^2)}{\Lambda^{1/2}(W^2, m_a^2, -t)\Lambda^{1/2}(W'^2, m_b^2, -t)} \quad (1.122)$$

$$\text{avec } s = (p_a + p_b)^2, \quad m_a^2 = p_a^2, \quad m_b^2 = p_b^2, \quad W^2 = p_X^2, \quad W'^2 = p_{X'}^2, \quad t = -p^2$$

1.5.2 Processus avec échange d'un photon du genre espace

Appliquons maintenant le formalisme d'hélicité au diagramme de la figure 1.8 qui décrit la réaction $1 + 2 \rightarrow 3 + 4$ dans laquelle un photon du genre espace est échangé.

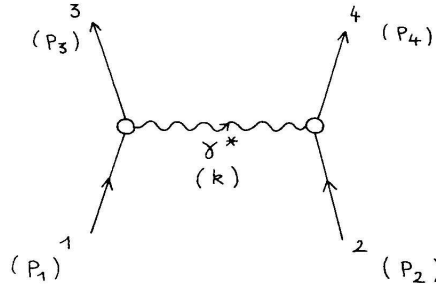


FIGURE 1.8 – Diagramme d'un processus avec échange d'un photon virtuel

Dans un premier temps, nous supposons que les deux lignes sortantes 3 et 4 de l'état final, représentent, tout comme les lignes entrantes 1 et 2 de l'état initial, des états à une seule particule réelle. Nous poserons

$$k = p_1 - p_3 = p_4 - p_2, \quad k^2 = -t < 0, \quad p_1^2 = m^2, \quad p_2^2 = m'^2 \\ p_3^2 = W^2, \quad p_4^2 = W'^2, \quad s = (p_1 + p_2)^2 = (p_3 + p_4)^2$$

L'élément de matrice de transition du diagramme s'écrit

$$T_{fi} = \frac{e^2}{t} J_\mu J'^\mu \quad (1.123)$$

e étant la valeur absolue de la charge de l'électron ; J_μ et J'_μ sont les vecteurs de courant respectifs du vertex de gauche $(1, 3, \gamma^*)$ et du vertex de droite $(2, 4, \gamma^*)$:

$$J_\mu = \langle [p_3], \sigma_3 | J_\mu(0) | [p_1], \sigma_1 \rangle, \quad J'_\mu = \langle [p_4], \sigma_4 | J_\mu(0) | [p_2], \sigma_2 \rangle \quad (1.124)$$

$J_\mu(0)$ étant l'opérateur courant électromagnétique au point d'espace-temps $x = 0$. Ici aussi, nous supposons que les particules initiales ne sont pas polarisées et qu'on ne cherche pas à mesurer les polarisations des particules finales. Le calcul de la section efficace du processus considéré passe par celui de

$$\mathcal{T} = \sum |T_{fi}|^2 = \frac{e^4}{t^2} I, \quad \text{avec } I = I_{\mu\nu} I'^{\mu\nu} \quad (1.125)$$

où le symbole \sum signifie que l'on effectue une sommation sur tous les indices de spin de toutes les particules entrantes et sortantes. Les tenseurs

$$I_{\mu\nu} = \sum_g J_\mu J_\nu^*, \quad I'_{\mu\nu} = \sum_d J'_\mu J'_\nu^* \quad (1.126)$$

relatifs au vertex de gauche et au vertex de droite respectivement sont des sommes sur les indices de spin des particules qui y sont impliquées. Ces sommes sont évidemment indépendantes du choix des tétrades choisies pour les particules¹⁵. Nous choisissons donc pour celles-ci les tétrades d'hélicité adéquates, lesquelles, comme on le sait déjà, apportent une grande simplification.

Compte tenu de l'équation de conservation du courant électromagnétique, les courants de vertex J_μ et J'_μ sont orthogonaux à l'impulsion k du photon virtuel. Ils peuvent donc être développés suivant une triade quelconque de vecteurs orthogonaux à k et formant avec ce vecteur une base de l'espace-temps. Pour des raisons évidentes de simplicité, nous choisissons pour ces triades les triades d'hélicité appropriées pour l'un et l'autre vertex. Pour le courant de gauche, on obtient ainsi

$$J_\mu = \sum_{\lambda=0_t, \pm 1} \eta_\lambda e^{(\lambda)}(k) J_\lambda, \quad \text{avec } \eta_{0_t} = +1, \eta_\pm = -1$$

$$\text{et } J_\lambda = \langle [p_3]_h, \lambda_3 | e^{(\lambda)*} J_\mu(0) | [p_1]_h, \lambda_1 \rangle \quad (1.127)$$

et de façon similaire,

$$J'_\mu = \sum_{\lambda'=0_t, \pm 1} \eta_{\lambda'} e^{(\lambda')}(k) J'_{\lambda'}, \quad \text{avec } \eta_{0_t} = +1, \eta_\pm = -1$$

$$\text{et } J'_{\lambda'} = \langle [p_4]_h, \lambda_4 | e^{(\lambda')*} J_\mu(0) | [p_2]_h, \lambda_2 \rangle \quad (1.128)$$

Utilisant la même technique que celle du paragraphe précédent, on trouve facilement la loi de conservation de l'hélicité à chacun des vertex :

$$\lambda = \lambda_1 - \lambda_3, \quad \lambda' = \lambda_2 - \lambda_4 \quad (1.129)$$

et que, les amplitudes J_λ et $J'_{\lambda'}$ sont des invariants relativistes (voir 1.118, 1.119). Ecrivons ceux-ci sous la forme

15. Un changement de tétrade laisse invariant un projecteur tel que $\sum_\sigma |[p], \sigma \rangle \langle [p], \sigma|$.

$$J_\lambda = \delta_{\lambda, \lambda_1 - \lambda_3} J_{\lambda_1 \lambda_3} , \quad J'_{\lambda'} = \delta_{\lambda', \lambda_2 - \lambda_4} J'_{\lambda_2 \lambda_4}$$

Le tenseur $I_{\mu\nu}$ dans 1.126 prend alors la forme

$$I_{\mu\nu} = \sum_{\lambda} e_{\mu}^{(\lambda)}(k) e_{\nu}^{(\lambda)\star}(k) F_{\lambda} , \quad \text{avec} \quad F_{\lambda} = \sum_{\lambda_1 \lambda_3} \delta_{\lambda, \lambda_1 - \lambda_3} |J_{\lambda_1 \lambda_3}|^2$$

La *conservation de la parité* dans les interactions électromagnétiques, combinée avec la conservation de l'hélicité, implique la relation (voir Appendice B) $F_{-\lambda} = F_{\lambda}$. Posons alors

$$F_+ = F_- = T , \quad F_0 = L \quad (1.130)$$

puis utilisons la relation de fermeture des tétrades de k :

$$-\sum_{\lambda=\pm 1} e_{\mu}^{(\lambda)}(k) e_{\nu}^{(\lambda)\star}(k) = g_{\mu\nu} - \hat{q}_{13\mu} \hat{q}_{13\nu} + \frac{k_{\mu} k_{\nu}}{t} \quad (1.131)$$

pour obtenir

$$I_{\mu\nu} = (T + L) \hat{q}_{13\mu} \hat{q}_{13\nu} - T \left(g_{\mu\nu} + \frac{k_{\mu} k_{\nu}}{t} \right) \quad (1.132)$$

Les grandeurs T et L sont les taux de vertex du vertex de gauche. Elles peuvent s'obtenir directement à partir de projections du tenseur 1.132 :

$$L = \hat{q}_{13\mu} I^{\mu\nu} \hat{q}_{13\nu} , \quad T = e_{\mu}^{(\pm)} I^{\mu\nu} e_{\nu}^{(\pm)} , \quad g_{\mu\nu} I^{\mu\nu} = L - 2T \quad (1.133)$$

Suivant l'interprétation des vecteurs d'hélicités de k comme fonctions d'onde du photon virtuel, et compte-tenu des relations précédentes, ces taux de vertex s'interprètent comme des taux d'interaction¹⁶ de la réaction virtuelle $\gamma^* + 1 \rightarrow 3$ avec un photon polarisé soit longitudinalement (pour L) soit transversalement (pour T).

Considérons ensuite le cas où les deux lignes sortantes 3 et 4 figurent des états quantiques comportant un nombre quelconque de particules. Le diagramme 1.8 représente alors, d'une façon générale, un processus à échange d'un photon du genre espace, avec deux vertex *inélastiques*.

Ecrivons la section efficace différentielle qui s'y rapporte sous la forme

$$d\sigma = \frac{1}{\Lambda^{1/2}(s, m^2, m'^2)} \frac{e^4}{t^2} \frac{I}{nn'} (2\pi)^4 \delta^{(4)}(k + p_3 - p_1) d^4k \delta^{(4)}(k + p_2 - p_4) d\rho d\rho' \quad (1.134)$$

à partir de laquelle on obtient la section efficace différentielle usuelle en effectuant l'intégration sur k . Dans cette formule, n et n' sont les nombres d'états de spin respectifs des particules entrantes 1 et 2; I est défini par 1.125; $d\rho$ et $d\rho'$ désignent les éléments d'espace des phases de 3 et 4 respectivement :

$$d\rho = \prod_{i=1}^N \frac{d^3q_i}{(2\pi)^3 q_i^0}$$

En intégrant sur l'ensemble des espaces de phases finals, on obtient

16. C'est-à-dire, une somme, sur les états de polarisation des particules externes, du carré du module d'une amplitude de transition.

$$d\sigma = \frac{1}{\Lambda^{1/2}(s, m^2, m'^2)} \frac{e^4}{t^2} \frac{d^4 k}{(2\pi i)^4} \mathcal{I}$$

où

$$\begin{aligned} \mathcal{I} &= \mathcal{I}^{\mu\nu} \mathcal{I}'_{\mu\nu} \quad \text{avec} \\ \mathcal{I}_{\mu\nu} &= \frac{1}{n} \sum \int J_\mu J_\nu^* d\text{Lips}, \quad \mathcal{I}'_{\mu\nu} = \frac{1}{n'} \sum \int J'_\mu J'^*_\nu d\text{Lips}' \end{aligned} \quad (1.135)$$

dans ces expressions, le signe \sum représente une sommation sur tous les états de spin des particules initiales et finales du vertex considéré; $d\text{Lips}$ sont les éléments d'espace de phase incluant les facteurs de conservation de l'énergie-impulsion¹⁷. Compte tenu de la relation

$$d^4 k = \frac{dW^2 dt dW'^2 d\psi}{4\Lambda^{1/2}(s, m^2, m'^2)} \quad (1.136)$$

où ψ est l'angle azimutal du photon échangé. En intégrant sur cet angle, il vient

$$\frac{d\sigma}{dW^2 dt dW'^2} = \frac{1}{64\pi^3} \frac{1}{\Lambda^{1/2}(s, m^2, m'^2)} \frac{e^4 \mathcal{I}}{t^2} \quad (1.137)$$

Il est facile de montrer que, l'état final à un vertex étant indifféremment à une ou plusieurs particules, les tenseurs 1.135 ont une structure similaire à celle de 1.132. On a en effet

$$\mathcal{I}_{\mu\nu} = \frac{1}{n} \sum_{\lambda_1} \langle [p_1]_h, \lambda_1 | J_\mu(0) \mathcal{P} J_\nu(0) | [p_1]_h, \lambda_1 \rangle$$

où

$$\mathcal{P} = \int \sum_{\sigma_1, \sigma_2, \dots, \sigma_N} d\text{Lips} | [q_1], \sigma_1; [q_2], \sigma_2; \dots; [q_N], \sigma_N \rangle \langle [q_1], \sigma_1; [q_2], \sigma_2; \dots; [q_N], \sigma_N |$$

est le projecteur sur tous les états possibles du système 3. Comme il a déjà été suggéré au paragraphe précédent, ce projecteur peut être décomposé en une somme de projecteurs dont chacun correspond à une représentation irréductible du groupe de Poincaré, ce qui conduit à une décomposition du tenseur 1.135 en ondes partielles auxquelles on peut appliquer à chacune le traitement valable lorsque le système 3 est réduit à une seule particule. Aussi, peut-on écrire

$$\begin{aligned} n \mathcal{I}_{\mu\nu} &= (T + L) \hat{q}_{13\mu} \hat{q}_{13\nu} - T \left(g_{\mu\nu} + \frac{k_\mu k_\nu}{t} \right) \\ n' \mathcal{I}'_{\mu\nu} &= (T' + L') \hat{q}_{24\mu} \hat{q}_{24\nu} - T' \left(g_{\mu\nu} + \frac{k_\mu k_\nu}{t} \right) \end{aligned} \quad (1.138)$$

Effectuant le produit scalaire de ces deux tenseurs, on obtient

$$\begin{aligned} n n' \mathcal{I} &= (1 + \cosh^2 \chi) T T' + \sinh^2 \chi (T L' + L T') + \cosh^2 \chi L L' \\ &\quad \text{avec} \quad \cosh \chi = \hat{q}_{13} \cdot \hat{q}_{24} \end{aligned} \quad (1.139)$$

17. Lips signifiant *Lorentz Invariant Phase Space*.

χ étant le paramètre de la transformation de Lorentz amenant le plan du vertex de gauche (p_1, p_3, k) sur le plan du vertex de droite (p_2, p_4, k) , et dont l'expression se déduit de 1.122.

Envisageons maintenant la réaction de photoproduction virtuelle $1 + \gamma^* \rightarrow 3$, avec un photon polarisé soit transversalement, soit longitudinalement. L'amplitude de transition correspondante s'écrit

$$-e e_{\mu}^{(\lambda)*}(k) J^{\mu}$$

où J_{μ} est le courant du vertex de gauche et $\lambda = 0_t, \pm 1$. Les matrices de polarisation des particules des systèmes 1 et 3 étant supposées diagonales, la section efficace totale correspondant à ce processus est

$$\sigma_{\lambda} = \frac{e^2}{2(W^2 - m^2)} e_{\mu}^{(\lambda)*}(k) e_{\nu}^{(\lambda)}(k) \mathcal{I}^{\mu\nu} \quad (1.140)$$

où a été introduit un "facteur de flux" $1/(W^2 - m^2)$ conformément à la définition des sections efficaces virtuelles donnée par L.N. Hand¹⁸. Les sections efficaces "transversale" et "longitudinale" seront donc définies par

$$\sigma_T = \sigma_+ = \sigma_- = \frac{e^2}{2n(W^2 - m^2)} T, \quad \sigma_L = \sigma_0 = \frac{e^2}{2n(W^2 - m^2)} L \quad (1.141)$$

Les sections efficaces relatives au vertex de droite sont définies de façon similaire. A l'aide de ces grandeurs, 1.137 prend la forme

$$\frac{d\sigma}{dW^2 dt dW'^2} = \frac{(W^2 - m^2)(W'^2 - m'^2)}{16\pi^3 \Lambda^{1/2}(s, m^2, m'^2)} \frac{1}{t^2} \times \quad (1.142)$$

$$\left\{ (1 + \cosh^2 \chi) \sigma_T \sigma'_T + \sinh^2 \chi (\sigma_T \sigma'_L + \sigma_L \sigma'_T) + \cosh^2 \chi \sigma_L \sigma'_L \right\}$$

Cette formule de factorisation de la section efficace est d'une très grande transparence physique. Elle est particulièrement bien adaptée pour effectuer de façon invariante des approximations de type "Williams-Weizsäcker"¹⁹.

Bien entendu, une démarche analogue à celle du paragraphe précédent aurait pu être utilisée ici pour aboutir à 1.142, en décomposant le numérateur du propagateur du photon suivant les fonctions d'onde d'hélicité de celui-ci :

$$g_{\mu\nu} = \sum_{m,n} e_{\mu}^{(m)}(k) r_{mm'}^{(1)*} e'_{\nu}{}^{(m')*}(k) \eta_m \eta_{m'}$$

Puisque les courants de vertex sont orthogonaux à k il suffit de ne considérer dans cette somme que les termes correspondant aux valeurs $0_t, \pm 1$ des hélicités; $r_{mm'}^{(1)}$ est la matrice 3×3 représentant, pour un spin de valeur 1, la transformation de Lorentz $\hat{q}_{13} \rightarrow \hat{q}_{24}$:

$$r_{mm'}^{(1)} = e^{(m)}(k) \cdot e'^{(m')*}(k)$$

Le produit scalaire des deux courants s'écrit donc

$$J^{\mu} g_{\mu\nu} J'^{\nu} = \sum_{m,m'} \eta_m \eta_{m'} J_m r_{mm'}^{(1)*} J'_{m'}$$

18. Phys. Rev. 129, 1834 (1963).

19. Voir notamment : C. Carimalo, G. Cochard, P. Kessler, J. Parisi, B. Roehner, Phys. Rev. D 10, 1561 (1974) ; C. Carimalo, P. Kessler, J. Parisi, Phys. Rev. D 14, 1819 (1976).

et le taux d'interaction est

$$I = \sum \eta_m \eta_{m'} \eta_n \eta_{n'} J_m J_n^* r_{mm'}^{(1)*} r_{nn'}^{(1)} J_{m'}^* J_n'$$

où la sommation est effectuée sur tous les états de polarisation des particules externes et sur celles du photon. La loi de conservation de l'hélicité à chaque vertex implique les contraintes $m = n$, $m' = n'$ et conduit à l'expression simplifiée de I :

$$I = \sum_{m,m'} F_m F_{m'} |d_{mm'}^{(1)}(\theta)|^2$$

où les $d_{mm'}^{(1)}(\theta)$ sont les éléments de la rotation d'angle imaginaire $\theta = i\chi$ autour du vecteur "charnière" k . Explicitement, avec $m = +1, 0, -1$ et $m' = +1, 0, -1$ en indices de ligne et de colonne respectivement et dans cet ordre des valeurs,

$$d_{mm'}^{(1)}(\theta) = \begin{pmatrix} \frac{1 + \cos \theta}{2} & -\frac{\sin \theta}{\sqrt{2}} & \frac{1 - \cos \theta}{2} \\ \frac{\sin \theta}{\sqrt{2}} & \cos \theta & -\frac{\sin \theta}{\sqrt{2}} \\ \frac{1 - \cos \theta}{2} & \frac{\sin \theta}{\sqrt{2}} & \frac{1 + \cos \theta}{2} \end{pmatrix}$$

En effectuant les multiplications matricielles et en tenant compte de la conservation de l'hélicité et de la parité à chaque vertex, on aboutit à la formule de factorisation 1.139, en prenant garde à la transformation des fonctions trigonométriques \cos et \sin en fonctions hyperboliques \cosh et \sinh .

A ce point, il est intéressant de noter que, d'après des principes généraux, le taux d'interaction $I(s, -t)$ (1.139) est a priori prolongeable analytiquement suivant les deux variables s et $-t$ ²⁰. Ainsi, en échangeant s et $-t$ dans 1.139 on obtient le taux d'interaction $I'(s, -t) = I(-t, s)$ du diagramme de la figure 1.9 décrivant la "voie s" de la réaction $1 + \bar{3} \rightarrow \bar{2} + 4$, $\bar{3}$ et $\bar{2}$ étant les anti-particules de 3 et 2 respectivement, tandis que celui de la figure 1.8 en représente la "voie t". Ainsi,

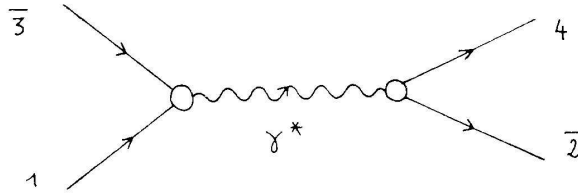


FIGURE 1.9 – Processus avec échange d'un photon du genre temps

$$I' = (1 + \cos^2 \theta) T T' + \sin^2 \theta (T L' + L T') + \cos^2 \theta L L'$$

où θ , qui est maintenant un angle réel, est simplement l'angle de diffusion des particules sortantes $\bar{2}$ et 4 dans le référentiel du centre de masse de la voie s. On a

$$\cos[\theta(s, -t)] = -\hat{q}_{1\bar{3}} \cdot \hat{q}_{\bar{2}4} = -\cosh[\theta(-t, s)]$$

20. Concernant les vertex impliquant des particules hadroniques, c'est sous réserve qu'on puisse réaliser un tel prolongement des facteurs de forme éventuellement présents.

$\cosh[\theta(-t, s)]$ étant défini par le second membre de 1.122.

La méthode d'hélicité directement appliquée au diagramme de la figure 1.9 confirme la validité du prolongement analytique. Ce résultat suggère d'uniformiser le traitement des diagrammes à échange d'une particule, que celle-ci soit du genre espace ou du genre temps. C'est précisément ce point de vue qui fut adopté par P. Kessler (loc. cit.) qui développa à cet effet une trigonométrie unifiée de l'espace-temps, utilisant abondamment le nombre $\hat{1}$.

1.5.3 Processus avec échange de deux photons virtuels du genre espace : exemple de double factorisation

Envisageons ensuite le processus décrit par le diagramme de la figure 1.10. Les états initiaux 1 et 2 d'impulsions respectives p_1 et p_2 du genre temps sont deux particules entrant en collision. Celle-ci s'effectue par un échange de deux photons virtuels γ_1 et γ_2 , d'impulsions respectives k_1 et k_2 , du genre espace. Les émissions de ces photons, le premier au vertex de gauche, le second au vertex de droite, sont accompagnées par la production simultanée des états finals 3 et 4, d'impulsions du genre temps p_3 et p_4 respectivement, ces états pouvant être à une seule ou plusieurs particules. Les deux photons virtuels entrent ensuite en collision (virtuelle) donnant lieu à la production d'un état central K d'impulsion K du genre temps.

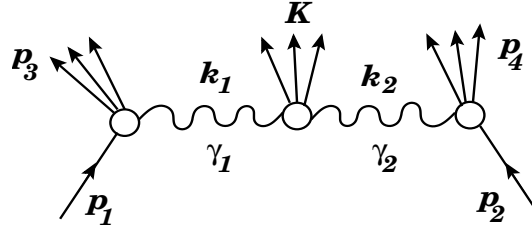


FIGURE 1.10 – Processus avec échange de deux photons virtuels du genre espace

Les notations sont les suivantes.

$$\begin{aligned} k_1 &= p_1 - p_3, \quad k_1^2 = -t_1 < 0; \quad k_2 = p_2 - p_4, \quad k_2^2 = -t_2 < 0 \\ p_1^2 &= m_1^2, \quad p_3^2 = W_3^2, \quad p_2^2 = m_2^2, \quad p_4^2 = W_4^2 \\ P &= p_1 + p_2 = p_3 + p_4 + K, \quad s = (p_1 + p_2)^2, \quad K^2 = M^2 \end{aligned}$$

Définissons ensuite les diverses tétrades d'hélicité qui vont intervenir.

☞ Vertex central

① Base attachée à K

$$T = \frac{K}{M}, \quad Z = \epsilon^{(0)}(K) = \frac{2M}{\Lambda_c^{1/2}} \left(k_1 - \frac{K \cdot k_1}{M^2} K \right)$$

$$\text{avec } \Lambda_c = \Lambda(M^2, -t_1, -t_2) = M^4 + 2M^2(t_1 + t_2) + (t_1 - t_2)^2$$

Les impulsions des photons se décompose relativement à ces vecteurs comme :

$$\begin{aligned} k_1 &= \omega_1 T + k Z, \quad k_2 = \omega_2 T - k Z \quad \text{avec} \\ \omega_1 &= \frac{M^2 - t_1 + t_2}{2M}, \quad \omega_2 = \frac{M^2 - t_2 + t_1}{2M}, \quad k = \frac{\Lambda_c^{1/2}}{2M} \end{aligned}$$

Le vecteur Y de la base est ensuite choisi comme étant :

$$Y_\mu = Y_\mu(K) = N \varepsilon_{\mu\nu\rho\sigma} K^\nu k_1^\rho q^\sigma$$

où q est l'impulsion de l'une quelconque des particules produite dans l'état final du vertex central ; N est le facteur de normalisation tel que

$$N^{-1} = M k \hat{q} \sin \theta$$

où θ est, dans le référentiel du centre de masse de K avec \vec{k}_1 selon l'axe des z , l'angle d'émission de ladite particule par rapport à ce dernier axe, et \hat{q} le module de sa tri-impulsion dans ce référentiel.

Finalement, le vecteur X de la base se déduit par la formule usuelle $X_\mu = \varepsilon_{\mu\nu\rho\sigma} T^\nu Y^\rho Z^\sigma$ et l'on définit les vecteurs de polarisations circulaires

$$\epsilon^{(\pm)} = \epsilon^{(\pm)}(K) = \mp \frac{1}{\sqrt{2}} (X \pm i Y)$$

② Base attachée à k_1

$$T_1 = \epsilon_1^{(0)} = \epsilon^{(0)}(k_1) = \frac{2\sqrt{t_1}}{\Lambda_c^{1/2}} \left(K + \frac{k_1 \cdot K}{t_1} k_1 \right), \quad Z_1 = \frac{k_1}{\sqrt{t_1}}$$

$$X_1 = X, \quad Y_1 = Y, \quad \text{soit } \epsilon_1^{(\pm)} = \epsilon^{(\pm)} \quad (1.143)$$

③ Base attachée à k_2

$$T_2 = \epsilon_2^{(0)} = \epsilon^{(0)}(k_2) = \frac{2\sqrt{t_2}}{\Lambda_c^{1/2}} \left(K + \frac{k_2 \cdot K}{t_2} k_2 \right), \quad Z_2 = \frac{k_2}{\sqrt{t_2}}, \quad \epsilon_2^{(\pm)} = \epsilon^{(\mp)} \quad (1.144)$$

☞ Vertex de gauche

On effectue un couplage d'hélicité entre p_1 , p_3 et k_1 , d'où les vecteurs de base suivants.

$$\epsilon_1^{\prime(0)} = \epsilon_1^{\prime(0)}(k_1) = T_1' = \frac{2\sqrt{t_1}}{\Lambda_g^{1/2}} \left(p_1 + \frac{k_1 \cdot p_1}{t_1} k_1 \right), \quad Z_1' = Z_1$$

avec $\Lambda_g = \Lambda(W_3^2, m_1^2, -t_1)$

$$Y_{1\mu}' = N_g \varepsilon_{\mu\nu\rho\sigma} p_1^\nu k_2^\rho k_1^\sigma, \quad X_1' = \varepsilon_{\mu\nu\rho\sigma} T_1^{\prime\nu} Y_1^{\prime\rho} Z_1^{\prime\sigma} \quad (1.145)$$

La disposition des tri-impulsions \vec{q} , \vec{k}_1 et \vec{p}_1 dans le référentiel du centre de masse du vertex central est indiquée à la figure 1.11. Le facteur de normalisation N_g est tel que

$$N_g^{-1} = M k \hat{q} \hat{p}_1 \sin \theta_1$$

où, dans ledit référentiel, θ_1 est l'angle entre \vec{p}_1 et \vec{k}_1 , $\hat{p}_1 = |\vec{p}_1|$ et φ_1 est l'angle azimutal relatif entre \vec{p}_1 et \vec{q} ²¹. On note que Y_1' s'exprime simplement comme

$$Y_1' = -\sin \varphi_1 X + \cos \varphi_1 Y \quad (1.146)$$

Exprimons T_1' dans la base T_1, X_1, Y_1, Z_1 . Nous poserons

21. Comme $\vec{p}_3 = \vec{p}_1 - \vec{k}_1$, on a aussi bien $\hat{p}_3 \sin \theta_3 = \hat{p}_1 \sin \theta$, $\varphi_3 = \varphi_1$.

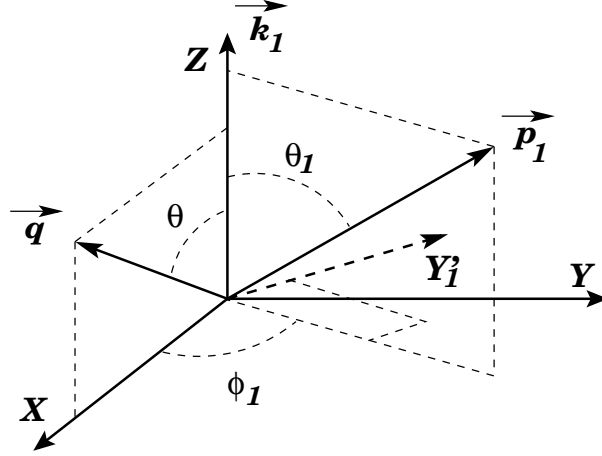


FIGURE 1.11 – Disposition des tri-impulsions dans le référentiel du centre de masse central

$$\cosh \alpha_1 = T'_1 \cdot T_1$$

Comme $(T'_1)^2 = 1$ et $T'_1 \cdot Z_1 = 0$, il vient

$$(T'_1 \cdot X_1)^2 + (T'_1 \cdot Y_1)^2 = (T'_1 \cdot T_1)^2 - 1 = \sinh^2 \alpha_1$$

Or, $X_1 = X$, $Y_1 = Y$ et $(X_1 \text{ ou } Y_1) \cdot T'_1 = \frac{2\sqrt{t_1}}{\Lambda_g^{1/2}} (X \text{ ou } Y) \cdot p_1$. D'après la figure 1.11, ceci donne

$$(X \text{ ou } Y) \cdot T'_1 = -\frac{2\sqrt{t_1}}{\Lambda_g^{1/2}} \dot{p}_1 \sin \theta_1 (\cos \varphi_1 \text{ ou } \sin \varphi_1)$$

Par suite, comme $\sinh \alpha_1 = \sqrt{(T'_1 \cdot X_1)^2 + (T'_1 \cdot Y_1)^2}$, on obtient

$$\sinh \alpha_1 = \frac{2\sqrt{t_1}}{\Lambda_g^{1/2}} \dot{p}_1 \sin \theta_1 \quad (1.147)$$

et finalement,

$$T'_1 = \cosh \alpha_1 T_1 + \sinh \alpha_1 (\cos \varphi_1 X + \sin \varphi_1 Y) \quad (1.148)$$

Utilisant 1.145, 1.146 et 1.148, on en déduit aisément

$$X'_1 = \sinh \alpha_1 T_1 + \cosh \alpha_1 (\cos \varphi_1 X + \sin \varphi_1 Y) \quad (1.149)$$

Ces résultats peuvent être réexprimés sous la forme suivante

$$T'_1 = \cosh \alpha_1 T_1 + \epsilon^{(-)} e^{i\varphi_1} \frac{\sinh \alpha_1}{\sqrt{2}} - \epsilon^{(+)} e^{-i\varphi_1} \frac{\sinh \alpha_1}{\sqrt{2}} \quad (1.150)$$

$$\epsilon'_1{}^{(\pm)} = \mp \frac{\sinh \alpha_1}{\sqrt{2}} T_1 + \epsilon^{(-)} e^{i\varphi_1} \frac{1}{2} (1 \mp \cosh \alpha_1) + \epsilon^{(+)} e^{-i\varphi_1} \frac{1}{2} (1 \pm \cosh \alpha_1)$$

Vertex de droite

Procédant de façon similaire pour le vertex de droite tout en choisissant Y'_2 comme

$$Y'_2 = -(-\sin \varphi_2 X + \cos \varphi_2 Y) \quad (1.151)$$

et donc

$$X'_2 = \sinh \alpha_2 T_2 + \cosh \alpha_2 (\cos \varphi_2 X + \sin \varphi_2 Y) \quad (1.152)$$

on obtient

$$T'_2 = \cosh \alpha_2 T_2 + \epsilon^{(-)} e^{i\varphi_2} \frac{\sinh \alpha_2}{\sqrt{2}} - \epsilon^{(+)} e^{-i\varphi_2} \frac{\sinh \alpha_2}{\sqrt{2}} \quad (1.153)$$

$$\epsilon'_2{}^{(\pm)} = \mp \frac{\sinh \alpha_2}{\sqrt{2}} T_2 - \epsilon^{(-)} e^{i\varphi_2} \frac{1}{2} (1 \pm \cosh \alpha_2) - \epsilon^{(+)} e^{-i\varphi_2} \frac{1}{2} (1 \mp \cosh \alpha_2)$$

Dans ces formules, θ_2 , φ_2 et \hat{p}_2 sont, respectivement, l'angle orbital, l'angle azimutal et le module de \vec{p}_2 dans le référentiel du centre de masse central (avec \vec{k}_1 définissant l'axe des z , \vec{q} dans le plan (x, z)) et

$$\cosh \alpha_2 = T'_2 \cdot T_2, \quad \sinh \alpha_2 = \frac{2\sqrt{t_2}}{\Lambda_d^{1/2}} \hat{p}_2 \sin \theta_2 \quad (1.154)$$

L'amplitude de transition de la réaction considérée est de la forme

$$T_{fi} = \frac{e^4}{t_1 t_2} J_g^\mu T^{\mu\nu} J_d^\nu \quad (1.155)$$

où J_d^μ et $J'_d{}^\nu$ sont les courants électromagnétiques caractéristiques des transitions $1 \rightarrow 3 + \gamma_1$ et $2 \rightarrow 4 + \gamma_2$ respectivement et $T^{\mu\nu}$ l'amplitude de la réaction $\gamma_1 + \gamma_2 \rightarrow K$. En supposant les particules externes non polarisées, le taux d'interaction correspondant est proportionnel à

$$\mathcal{I} = \mathcal{L}_{\mu\rho} F^{\mu\rho;\nu\sigma} \mathcal{R}_{\nu\sigma} \quad (1.156)$$

avec $\mathcal{L}^{\mu\rho} = \sum_g J_g^\mu J_g^{\rho\star}$, $F^{\mu\rho;\nu\sigma} = \sum_c T^{\mu\nu} T^{\rho\sigma\star}$, $\mathcal{R}^{\nu\sigma} = \sum_d J_d^\nu J_d^{\sigma\star}$

où les diverses sommations portent sur tous les états de spin des particules externes respectivement impliquées. Dans \mathcal{I} , incorporons maintenant les relations de fermeture

$$\sum_m (-1)^m \epsilon_{1\mu}^{(m)} \epsilon_{1\rho}^{(m)\star} = g_{\mu\rho} + \frac{k_{1\mu} k_{1\rho}}{t_1}, \quad \sum_n (-1)^n \epsilon_{2\nu}^{(n)} \epsilon_{2\sigma}^{(n)\star} = g_{\nu\sigma} + \frac{k_{2\nu} k_{2\sigma}}{t_2}$$

dans lesquelles m et n , qui prennent les valeurs $0, +1, -1$, sont les indices d'hélicité respectifs de γ_1 et γ_2 , relatifs à leurs couplage d'hélicité *au vertex central*. Tenant compte du fait que, grâce à la conservation des courants électromagnétiques, les tenseurs de 1.156 sont orthogonaux, suivant leurs indices, soit à k_1 (vertex de gauche), soit à k_2 (vertex de droite), soit à k_1 et k_2 (vertex central), il vient

$$\mathcal{I} = \sum_{m, \bar{m}, n, \bar{n}} \mathcal{L}_{m\bar{m}} F_{m, \bar{m}; n, \bar{n}} \mathcal{R}_{n\bar{n}}, \quad \text{avec} \quad F_{m, \bar{m}; n, \bar{n}} = \epsilon_{1\mu}^{(m)} \epsilon_{1\rho}^{(\bar{m})\star} F^{\mu\rho;\nu\sigma} \epsilon_{2\nu}^{(n)} \epsilon_{2\sigma}^{(\bar{n})\star}$$

et $\mathcal{L}_{m\bar{m}} = (-1)^{m+\bar{m}} \epsilon_{1\mu}^{(m)\star} \epsilon_{1\rho}^{(\bar{m})} \mathcal{L}^{\mu\rho}$, $\mathcal{R}_{n\bar{n}} = (-1)^{n+\bar{n}} \epsilon_{2\nu}^{(n)\star} \epsilon_{2\sigma}^{(\bar{n})} \mathcal{R}^{\nu\sigma}$ (1.157)

Supposons maintenant que chacun des états finals 3 et 4 ou bien soit un état à une seule particule, ou bien corresponde à une onde partielle d'un état plus complexe, selon le procédé indiqué au paragraphe précédent. Les tenseurs des vertex de gauche (\mathcal{L}) et de droite (\mathcal{R}) sont alors de la forme

$$\mathcal{L}_{\mu\rho} = (\mathcal{T}_1 + \mathcal{L}_1) T'_{1\mu} T'_{1\rho} - \mathcal{T}_1 \left(g_{\mu\rho} + \frac{k_{1\mu} k_{1\rho}}{t_1} \right), \quad \mathcal{R}_{\nu\sigma} = (\mathcal{T}_2 + \mathcal{L}_2) T'_{2\nu} T'_{2\sigma} - \mathcal{T}_2 \left(g_{\nu\sigma} + \frac{k_{2\nu} k_{2\sigma}}{t_2} \right)$$

On obtient ainsi

$$\begin{aligned} \mathcal{L}_{--} = \mathcal{L}_{++} &= \frac{1}{2} \{ \mathcal{T}_1 (1 + \cosh^2 \alpha_1) + \mathcal{L}_1 \sinh^2 \alpha_1 \} \\ \mathcal{L}_{0+} = -\mathcal{L}_{-0} &= -\frac{1}{\sqrt{2}} (\mathcal{T}_1 + \mathcal{L}_1) \cosh \alpha_1 \sinh \alpha_1 e^{i\varphi_1} \\ \mathcal{L}_{0-} = -\mathcal{L}_{+0} &= \frac{1}{\sqrt{2}} (\mathcal{T}_1 + \mathcal{L}_1) \cosh \alpha_1 \sinh \alpha_1 e^{-i\varphi_1} \\ \mathcal{L}_{+-} = -\frac{1}{2} (\mathcal{T}_1 + \mathcal{L}_1) \sinh^2 \alpha_1 e^{-2i\varphi_1}, \quad \mathcal{L}_{-+} &= -\frac{1}{2} (\mathcal{T}_1 + \mathcal{L}_1) \sinh^2 \alpha_1 e^{2i\varphi_1} \\ \mathcal{L}_{00} &= \mathcal{T}_1 \sinh^2 \alpha_1 + \mathcal{L}_1 \cosh^2 \alpha_1 \end{aligned}$$

et

$$\begin{aligned} \mathcal{R}_{--} = \mathcal{R}_{++} &= \frac{1}{2} \{ \mathcal{T}_2 (1 + \cosh^2 \alpha_2) + \mathcal{L}_2 \sinh^2 \alpha_2 \} \\ \mathcal{R}_{0+} = -\mathcal{R}_{-0} &= \frac{1}{\sqrt{2}} (\mathcal{T}_2 + \mathcal{L}_2) \cosh \alpha_2 \sinh \alpha_2 e^{-i\varphi_2} \\ \mathcal{R}_{0-} = -\mathcal{R}_{+0} &= -\frac{1}{\sqrt{2}} (\mathcal{T}_2 + \mathcal{L}_2) \cosh \alpha_2 \sinh \alpha_2 e^{i\varphi_2} \\ \mathcal{R}_{+-} = -\frac{1}{2} (\mathcal{T}_2 + \mathcal{L}_2) \sinh^2 \alpha_2 e^{2i\varphi_2}, \quad \mathcal{R}_{-+} &= -\frac{1}{2} (\mathcal{T}_2 + \mathcal{L}_2) \sinh^2 \alpha_2 e^{-2i\varphi_2} \\ \mathcal{R}_{00} &= \mathcal{T}_2 \sinh^2 \alpha_2 + \mathcal{L}_2 \cosh^2 \alpha_2 \end{aligned}$$

La somme exprimant \mathcal{I} dans 4.75 contient a priori $3^4 = 81$ termes. Cependant, tous ne sont pas indépendants. En effet, la conservation de la parité combinée avec celle de l'hélicité conduit aux relations

$$F_{-m-\bar{m}; -n-\bar{n}} = (-1)^{m+\bar{m}+n+\bar{n}} F_{m\bar{m}; n\bar{n}} \quad (1.158)$$

En outre, on a de façon évidente la propriété d'hermiticité

$$F_{m\bar{m}; n\bar{n}} = \{ F_{\bar{m}m; \bar{n}n} \}^* \quad (1.159)$$

On peut alors réorganiser ladite somme pour aboutir à une somme de 13 termes dont chacun présente une dépendance particulière vis-à-vis des angles azimutaux φ_1 et φ_2 . Avant d'écrire la formule correspondante, introduisons les notations suivantes.

$$\begin{aligned} \ell_{m\bar{m}} &= |\mathcal{L}_{m\bar{m}}|, \quad \ell_0 = \frac{\ell_{00}}{2\ell_{++}}, \quad \ell_1 = \frac{\ell_{0+}}{\ell_{++}}, \quad \ell_2 = \frac{\ell_{+-}}{\ell_{++}} \\ r_{n\bar{n}} &= |\mathcal{R}_{n\bar{n}}|, \quad r_0 = \frac{r_{00}}{2r_{++}}, \quad r_1 = \frac{r_{0+}}{r_{++}}, \quad r_2 = \frac{r_{+-}}{r_{++}} \end{aligned}$$

$$\mathcal{J} = \frac{\mathcal{I}}{2\mathcal{L}_{++}\mathcal{R}_{++}}, \quad \varphi = \varphi_2 - \varphi_1, \quad \varphi_a = -\varphi_1 \quad (1.160)$$

Dans le référentiel du centre de masse central, φ et φ_a représentent aussi bien les angles azimutaux respectifs de la particule 4 et de la particule choisie dans le système K , par rapport à celui de la particule 3. Une relation cinématique entre l'angle φ et son analogue Φ dans le référentiel du centre de masse global est donnée dans l'appendice C.

Avec ces notations, on a²²

$$\begin{aligned} \mathcal{J} = & F_1 - 2\ell_1 F_2 \cos \varphi_a - 2\ell_2 F_3 \cos 2\varphi_a + 2r_1 F_4 \cos(\varphi - \varphi_a) - 2r_2 F_5 \cos 2(\varphi - \varphi_a) \\ & - 2\ell_1 r_1 F_6 \cos \varphi + \ell_2 r_2 F_7 \cos 2\varphi - 2\ell_1 r_1 F_8 \cos(2\varphi_a - \varphi) + \ell_2 r_2 F_9 \cos 2(2\varphi_a - \varphi) \\ & - 2\ell_2 r_1 F_{10} \cos(\varphi + \varphi_a) + 2\ell_1 r_2 F_{11} \cos(2\varphi - \varphi_a) - 2\ell_2 r_1 F_{12} \cos(3\varphi_a - \varphi) \\ & + 2\ell_1 r_2 F_{13} \cos(3\varphi_a - 2\varphi) \end{aligned} \quad (1.161)$$

où les grandeurs F_i ($i = 1, \dots, 13$) sont des combinaisons linéaires d'éléments du tenseur d'hélicité associé au processus central $\gamma_1 + \gamma_2 \rightarrow K$ et sont données ci-après :

$$\begin{aligned} F_1 &= F_{++++} + F_{+--+} + 2\ell_0 F_{00; ++} + 2r_0 F_{++; 00} + 2\ell_0 r_0 F_{00; 00} \\ F_2 &= \text{Re} \{F_{+0; ++} - F_{0-; ++} + 2r_0 F_{0+; 00}\}, \quad F_3 = \text{Re} \{F_{+-; ++} + r_0 F_{+-; 00}\} \\ F_4 &= \text{Re} \{F_{++; +0} - F_{++; 0-} + 2\ell_0 F_{00; +0}\}, \quad F_5 = \text{Re} \{F_{++; +-} + \ell_0 F_{00; +-}\} \\ F_6 &= \text{Re} \{F_{+0; +0} - F_{+0; 0-}\}, \quad F_7 = F_{+-; +-}, \quad F_8 = \text{Re} \{F_{+0; 0+} - F_{+0; 0-}\} \\ F_9 &= F_{+-; -+}, \quad F_{10} = \text{Re} \{F_{+-; +0}\}, \quad F_{11} = \text{Re} \{F_{+0; +-}\} \\ F_{12} &= \text{Re} \{F_{+-; 0+}\}, \quad F_{13} = \text{Re} \{F_{0+; +-}\} \end{aligned} \quad (1.162)$$

La formule 1.161 est *exacte*, dans le sens où aucune approximation n'a été introduite pour l'établir. Ici encore, le procédé utilisé, la méthode d'hélicité, sépare clairement les grandeurs caractéristiques des différents vertex du diagramme, et par là même permet une meilleure interprétation physique des différents termes intervenant dans \mathcal{I} , contrairement à ce que pourrait donner une évaluation directe, non réfléchie, du produit tensoriel dans 1.156.

A ce propos, au regard des facteurs $1/t_1$ et $1/t_2$ dans 1.155, ceux-ci provenant des propagateurs des deux photons virtuels γ_1 et γ_2 respectivement, on doit s'attendre à ce que, de toutes les configurations cinématiques accessibles dans la réaction globale $1 + 2 \rightarrow 3 + K + 4$, celle pour laquelle les transferts t_1 et t_2 prennent leurs plus petites valeurs donne les plus forts taux de réaction et soit donc globalement dominante dans cette réaction. A condition que dans ce domaine $\sqrt{t_1}$ et $\sqrt{t_2}$ soient très petits vis-à-vis des diverses masses invariantes impliquées, les deux photons peuvent alors être considérés comme *quasi-réels*, et la réaction s'interprète alors comme un processus *quasi-réel* où les particules initiales 1 et 2 font office de simples *générateurs de photons quasi-réels*, photons que l'on fait ensuite entrer en collision pour produire l'état K . Cette possibilité de disposer virtuellement de collisions photon-photon, alors qu'il est très difficile de les réaliser avec des photons strictement réels, a été largement étudiée, et l'est encore, tant

22. On peut trouver la formule d'hélicité qui suit, ou des formes similaires, dans : C. E. Carlson, W. K. Tung, Phys. Rev. D4, 2873 (1971); R. W. Brown, I. J. Muzinich, Phys. Rev. D4, 1496 (1971); C. J. Brown, D. H. Lyth, Nucl. Phys. B53, 323 (1973); V. M. Budnev, I. F. Ginzburg, G. V. Medelin, V. G. Serbo, Phys. Rep. 15C, 181 (1975); C. Carimalo, P. Kessler, J. Parisi, Phys. Rev. D20, 1057 (1979); N. Arteaga, C. Carimalo, P. Kessler, S. Ong, O. Panella, Phys. Rev. 52, 4920 (1995).

théoriquement qu'expérimentalement²³. Sur ces sujets, nous renvoyons le lecteur à la littérature spécialisée²⁴. Bien entendu, dans ledit domaine des *petits transferts*, on est amené à effectuer des approximations appropriées de \mathcal{I} que l'utilisation de la formule d'hélicité 1.161 permet de bien contrôler. De ces approximations émerge une formule très simple, "lumineuse" pourrait-on dire, exprimant la section efficace différentielle par une *double factorisation*, à la *Williams-Weizsäcker* :

$$d\sigma_{1+2\rightarrow 3+K+4} \approx \mathcal{P}_1(x_1)dx_1 d\sigma_c \mathcal{P}_2(x_2)dx_2 \quad (1.163)$$

où $d\sigma_c$ est la section efficace différentielle de la réaction $\gamma_1 + \gamma_2 \rightarrow K$ avec des photons, *réels* cette fois²⁵, et $\mathcal{P}_1(x_1)$ et $\mathcal{P}_2(x_2)$ sont les *spectres* des photons quasi-réels issus respectivement du vertex de gauche et du vertex de droite et transportant la proportion x_1 ou x_2 de l'énergie de la *particule mère* 1 ou 2, respectivement. Ces spectres caractérisent à la fois le processus de production du photon au vertex considéré au moyen des taux de vertex \mathcal{T} et \mathcal{L} , et sa propagation depuis le plan dudit vertex à celui du vertex central par l'intermédiaire des fonctions hyperboliques de α_1 ou de α_2 , selon le cas²⁶.

23. Les travaux théoriques précurseurs sur les interactions photon-photon sont dûs à divers auteurs : F. Low, Phys. Rev. 120 (1960) 582; F. Calogero, C. Zemach, Phys. Rev. 120 (1960) 1860; P. Kessler et collaborateurs : C.R. Acad. Sc., Paris 269B, 113 (1969); Phys. Rev. D3, 1569 (1971); Phys. Rev. D4, 2927 (1971); S. Brodsky, T. Kinoshita, H. Terazawa, Phys. Rev. Lett. 25, 972 (1970); Phys. Rev. D4, 1532 (1971); V. E. Balakin, V. M. Budnev, I. F. Ginzburg, Zh. Exp. Teor. Fiz. Pis'ma 11, 559 (1970) - JEPT Lett. 11, 388 (1970).

24. Sur un projet futur de collisionneur à photons, voir : "TESLA, The Superconducting Electron Positron Linear Collider with an Integrated X-Ray Laser Laboratory", Technical Design Report, Part VI : Appendices, Chapter 1 : Photon Collider at TESLA, DESY-2001-011, ECFA-2001-209 March TESLA-2001-23, TESLA-FEL-2001-05, Mars 2001; disponible via : http://tesla.desy.de/new_pages/TDR_CD/PartVI/chapter1.pdf.

25. C'est-à-dire, dans laquelle on pose $t_1 = t_2 = 0$.

26. Un premier historique du développement de l'approximation du spectre de photons équivalent, dite aussi approximation de Williams-Weizsäcker et dont on peut faire remonter l'origine dans deux articles de N. Bohr (Phil. Mag. 5, p.10 (1913); 30, p.581 (1915)), fut présenté par P. Kessler au 1er colloque international sur les collisions photon-photon qui se tint au Collège de France à Paris en 1973, et dont les comptes-rendus furent publiés dans le supplément au Journal de Physique : Tome 35, Fasc. 3 C2 (1974); voir p.97.

1.6 Appendice A : transformation de Lorentz pure $T \rightarrow T'$

1.6.1 Formule générale

Par définition, la transformation de Lorentz pure $\Lambda_{T \rightarrow T'}$ appliquée à la base d'espace-temps (T, X, Y, Z) transforme celle-ci en la base (T', X', Y', Z') telle que

$$T' = \cosh \chi T + \sinh \chi Z, \quad Z' = \cosh \chi Z + \sinh \chi T, \quad X' = X, \quad Y' = Y \quad (1.164)$$

χ étant la *rapidité* de cette transformation. La méthode la plus simple pour obtenir ses éléments de matrice est sans doute la suivante. Pour simplifier l'écriture, notons-les $\Lambda_{\mu\nu}$ et posons $c = \cosh \chi = T \cdot T'$, $s = \sinh \chi$. En utilisant la relation de fermeture

$$g_{\rho\nu} = T_\rho T_\nu - Z_\rho Z_\nu - X_\rho X_\nu - Y_\rho Y_\nu$$

écrivons²⁷

$$\begin{aligned} \Lambda_{\mu\nu} &= \Lambda_\rho^\nu g_{\rho\mu} = \Lambda_\mu^\rho (T_\rho T_\nu - Z_\rho Z_\nu - X_\rho X_\nu - Y_\rho Y_\nu) = T'_\mu T_\nu - Z'_\mu Z_\nu - X_\mu X_\nu - Y_\mu Y_\nu \\ &= T'_\mu T_\nu - Z'_\mu Z_\nu + g_{\mu\nu} - T_\mu T_\nu + Z_\mu Z_\nu = g_{\mu\nu} + (T' - T)_\mu T_\nu - (Z' - Z)_\mu Z_\nu \end{aligned}$$

En remarquant que

$$Z = \frac{1}{s} (T' - cT) \quad \text{et} \quad Z' = \frac{1}{s} (-T + cT'), \quad \text{donc} \quad Z' - Z = s \frac{T' + T}{c + 1}$$

il vient

$$\Lambda_{\mu\nu} = g_{\mu\nu} + (T' - T)_\mu T_\nu - \frac{(T' + T)_\mu}{c + 1} (T' - cT)_\nu$$

En développant et en regroupant des termes, on arrive aisément au résultat :

$$\Lambda_{\mu\nu} = g_{\mu\nu} - \frac{T_\mu}{1 + c} (T_\nu + T'_\nu) + \frac{T'_\mu}{1 + c} \{(2c + 1)T_\nu - T'_\nu\} \quad (1.165)$$

Cette formule permet d'obtenir l'expression du transformé d'un vecteur W , connaissant les projections de ce dernier sur T et T' :

$$\Lambda_{T \rightarrow T'}(W) = W' = W - T \frac{W \cdot T + W \cdot T'}{T \cdot T' + 1} + T' \frac{W \cdot T(2T \cdot T' + 1) - W \cdot T'}{T \cdot T' + 1} \quad (1.166)$$

A l'aide de 1.165, on vérifie facilement la propriété de covariance d'une transformation de Lorentz pure. En effet, pour une transformation de Lorentz quelconque Λ , on trouve

$$\Lambda \Lambda_{T \rightarrow T'} \Lambda^{-1} = \Lambda_{\Lambda T \rightarrow \Lambda T'} \quad (1.167)$$

On note que pour un vecteur W orthogonal à T , on a

$$\Lambda_{T \rightarrow T'}(W) = W - \frac{W \cdot T'}{T \cdot T' + 1} (T + T') \quad (1.168)$$

et que si W est aussi orthogonal à T' , alors il est conservé dans la transformation, ce qui, bien entendu, provient du fait que la transformation laisse invariant le bi-plan orthogonal au bi-plan formé par les deux vecteurs T et T' .

²⁷. On notera ici que ce procédé permet d'exprimer les éléments de matrice d'une transformation de Lorentz quelconque comme $\Lambda_{\mu\nu} = T'_\mu T_\nu - Z'_\mu Z_\nu - X'_\mu X_\nu - Y'_\mu Y_\nu$.

1.6.2 Cas du vertex de la figure 1.2

Appliquons la formule 1.166 pour montrer que dans la transformation de Lorentz pure $\Lambda_{\hat{p} \rightarrow \hat{p}_1}$, où $p = p_1 + p_2$, l'impulsion relative unitaire \hat{q}_{12} de p_1 et p_2 est changée en vecteur d'hélicité $h(p_1, p)$ de p_1 . Comme $p \cdot q_{12} = 0$, on a

$$\Lambda_{\hat{p} \rightarrow \hat{p}_1}(q_{12}) = q' = q_{12} - \frac{p_1 \cdot q_{12}}{\frac{p_1 \cdot p}{\sqrt{s}} + m_1} \left(\frac{p_1}{m_1} + \frac{p}{\sqrt{s}} \right)$$

soit, en explicitant q_{12}

$$q' = \frac{m_1}{\sqrt{s}} \left(-p + \frac{p_1 \cdot p}{m_1^2} p_1 \right)$$

D'où

$$\Lambda_{\hat{p} \rightarrow \hat{p}_1}(\hat{q}_{12}) = \frac{2\sqrt{s}}{\Lambda^{1/2}(s, m_1^2, m_2^2)} q' = \frac{2m_1}{\Lambda^{1/2}(s, m_1^2, m_2^2)} \left(-p + \frac{p_1 \cdot p}{m_1^2} p_1 \right) = h(p_1, p) \quad (1.169)$$

qui est le résultat annoncé.

1.6.3 Cas du vertex de la figure 1.3

Ici, l'impulsion relative est donnée par 1.57. Nous voulons montrer que dans la transformation $\Lambda_{\hat{q}_{12} \rightarrow \hat{p}_1}$, \hat{p} devient le vecteur d'hélicité $h(p_1, p)$ de p_1 . Notons tout d'abord les relations utiles

$$q_{12}^2 = p_1 \cdot q_{12} = m_1^2 + \frac{(p \cdot p_1)^2}{t} = \frac{\Lambda(m_1^2, m_2^2, -t)}{4t},$$

Compte tenu de $p \cdot q_{12} = 0$, on a

$$\begin{aligned} \Lambda_{\hat{q}_{12} \rightarrow \hat{p}_1}(p) &= p' = p - \frac{p \cdot \hat{p}_1}{1 + \hat{p}_1 \cdot \hat{q}_{12}} (\hat{p}_1 + \hat{q}_{12}) = p - \frac{p \cdot p_1}{m_1 + \sqrt{q_{12}^2}} \left(\frac{p_1}{m_1} + \frac{1}{\sqrt{q_{12}^2}} (p_1 + \frac{p_1 \cdot p}{t} p) \right) \\ &= p \left(1 - \frac{(p_1 \cdot p)^2}{t \sqrt{q_{12}^2} (m_1 + \sqrt{q_{12}^2})} \right) - p_1 \frac{p_1 \cdot p}{m_1 \sqrt{q_{12}^2}} = \frac{m_1}{\sqrt{q_{12}^2}} \left(p - \frac{p_1 \cdot p}{m_1^2} p_1 \right) \end{aligned}$$

et donc

$$\Lambda_{\hat{q}_{12} \rightarrow \hat{p}_1}(\hat{q}) = \frac{2m_1}{\Lambda^{1/2}(m_1^2, m_2^2, -t)} \left(p - \frac{p_1 \cdot p}{m_1^2} p_1 \right) = h(p_1, p) \quad (1.170)$$

ce qui établit le résultat.

1.6.4 Cas du vertex 1.2 avec deux lignes entrantes virtuelles du genre espace

Il reste à considérer le cas où au vertex 1.2 les impulsions entrantes p_1 et p_2 sont du genre espace ($p_1^2 = -t < 0$, $p_2^2 = -t' < 0$), tandis que leur somme $p = p_1 + p_2$ est du genre temps futur ($p^2 = s > 0$). L'impulsion relative q_{12} et h_1 étant définis par 1.77 et 1.79 respectivement. On a

$$h_1 \cdot p = \frac{\Lambda^{1/2}}{2\sqrt{t}}, \quad h_1 \cdot q_{12} = -\frac{p_1 \cdot p \Lambda^{1/2}}{s \cdot 2\sqrt{t}}, \quad \frac{(p \cdot p_1)^2}{t} = \frac{\Lambda}{4t} - s, \quad \text{avec } \Lambda = \Lambda(s, -t, -t')$$

Calculons

$$q' = \Lambda_{\hat{p} \rightarrow h_1}(q_{12}) = q_{12} - \frac{q_{12} \cdot h_1}{1 + \hat{p} \cdot h_1} (h_1 + \hat{p}) = p_1 - \frac{p \cdot p_1}{s} p + \frac{p \cdot p_1}{s} \frac{\Lambda^{1/2}}{2\sqrt{t}} \frac{1}{1 + \frac{\Lambda^{1/2}}{2\sqrt{st}}} \times$$

$$\left\{ \frac{p}{\sqrt{s}} + \frac{2\sqrt{t}}{\Lambda^{1/2}} \left(p + \frac{p \cdot p_1}{t} p_1 \right) \right\} = p_1 \left\{ 1 + \frac{(p \cdot p_1)^2}{ts} \frac{1}{1 + \frac{\Lambda^{1/2}}{2\sqrt{st}}} \right\} = p_1 \frac{\Lambda^{1/2}}{2\sqrt{st}}$$

On a donc bien le résultat

$$\Lambda_{\hat{p} \rightarrow h_1}(\hat{q}_{12}) = \hat{p}_1 \tag{1.171}$$

1.7 Appendice B : conservation de la parité à un vertex électromagnétique

L'opération de parité donne lieu à la loi de transformation suivante des états :

$$U(\pi)|[p_i]_h, \lambda_1 \rangle = \eta_i \mathcal{D}_{\lambda'_i \lambda_i}^{s_i}(RY)|[\underline{p}_i]_h, \lambda'_i \rangle, \quad \text{avec } \underline{p}_i = (p_i^0, -\vec{p}_i) \quad (1.172)$$

$$\text{et } RY = [\underline{p}_i]_h^\dagger [p_i] = [\underline{k}]_h^\dagger [k]_h$$

où R est une rotation d'angle φ autour de n_3 ; η_i est la parité intrinsèque de la particule (i) ; Y est la rotation d'angle π autour de n_2 . On note la relation :

$$\mathcal{D}_{\lambda' \lambda}^s(RY) = (-1)^{s+\lambda} e^{i\lambda\varphi} \delta_{\lambda' - \lambda}$$

Par conservation de la parité dans les interactions électromagnétiques, on a

$$\pi J_\mu(0) = U(\pi) J_\mu(0) U^{-1}(\pi), \quad \text{avec } \pi J_0(0) = J_0(0), \quad \vec{\pi J}(0) = -\vec{J}(0) \quad (1.173)$$

Ecrivons :

$$J_\lambda = \langle [p_3]_h, \lambda_3 | e_\mu^{(\lambda)\star}(k) J^\mu(0) | [p_1]_h, \lambda_1 \rangle = \langle [\underline{p}_3]_h, -\lambda_3 | e_\mu^{(\lambda)\star}(k) \pi J^\mu(0) | [\underline{p}_1]_h, -\lambda_1 \rangle \eta$$

$$\text{avec } \eta = (-1)^{s_1+s_3+\lambda_1+\lambda_3} \eta_1 \eta_3 e^{i(\lambda_3-\lambda_1)\varphi}$$

Revenons ensuite, par application de $[\underline{k}]_h^{-1}$, au "référentiel de Breit" du vertex de gauche, dans lequel on a

$$\vec{q}_{13} = \vec{0}, \quad \hat{k} = n_3, \quad e^{(\pm)}(k) = e^{(\pm)}, \quad p_1 = \tilde{p}_1, \quad p_3 = \tilde{p}_3$$

En tenant compte de la relation

$$U(\pi) U(A) U^{-1}(\pi) = U(A^{\dagger-1})$$

il vient

$$J_\lambda = \eta \langle [\tilde{p}_3]_h, -\lambda_3 | \left([\underline{k}]_h^\dagger e_\mu^{(\lambda)\star}(k) \right) \pi J^\mu(0) | [\tilde{p}_1]_h, -\lambda_1 \rangle$$

Or, on a

$$\left([\underline{k}]_h^\dagger e_\mu^{(\lambda)\star}(k) \right) = RY e^{(\lambda)} = e^{i\varphi\lambda} e^{(-\lambda)} \quad \text{et} \quad e_\mu^{(\lambda)\star} J^\mu(0) = (-1)^\lambda e_\mu^{(-\lambda)} J^\mu(0)$$

On obtient donc

$$J_{\lambda_1 \lambda_3} = (-1)^{s_1+s_3+\lambda_1+\lambda_3+\lambda} \eta_1 \eta_3 J_{-\lambda_1, -\lambda_3}$$

et par suite

$$|J_{\lambda_1 \lambda_3}| = |J_{-\lambda_1, -\lambda_3}| \quad (1.174)$$

d'où résulte la relation $F_+ = F_-$ dans 1.130.

1.8 Appendice C : Relation entre l'angle φ (1.160) et son homologue Φ dans le référentiel du centre de masse global

Définissons la base associée au référentiel du centre de masse global (c'est-à-dire, celui du système des deux particules 1 et 2) de la façon suivante :

$$T_0 = \frac{P}{\sqrt{s}}, \quad Z_0 = \frac{2\sqrt{s}}{\Lambda_0^{1/2}} \left(p_1 - \frac{P \cdot p_1}{s} P \right), \quad \text{avec } \Lambda_0 = \Lambda(s, m_1^2, m_2^2),$$

$$Y_{0\mu} = -N_0 \varepsilon_{\mu\nu\rho\sigma} P^\nu p_3^\rho p_1^\sigma, \quad \text{avec } N_0 = \frac{2}{\Lambda_0^{1/2} p_3^0 \sin \theta_3^0}, \quad X_{0\mu} = \varepsilon_{\mu\nu\rho\sigma} T_0^\nu Y_0^\rho Z_0^\sigma$$

Dans ce référentiel, $\vec{p}_1 = -\vec{p}_2$ est selon l'axe des z , \vec{p}_3 , de module p_3^0 , est dans le plan (x, z) et a pour angle orbital θ_3^0 . L'axe des y correspondant est donc perpendiculaire au plan des deux tri-vecteurs \vec{p}_1 et \vec{p}_3 . Explicitement, les composantes de Y_0 dans ce référentiel sont

$$Y_0 = \left(0, \frac{\vec{p}_1 \wedge \vec{p}_3}{|\vec{p}_1 \wedge \vec{p}_3|} \right) = (0, 0, 1, 0)$$

Définissons ensuite la base du référentiel du centre de masse central comme

$$T_c = \frac{K}{M}, \quad Z_c = \frac{2}{\Lambda_c^{1/2}} \left(k_1 - \frac{K \cdot k_1}{M^2} K \right), \quad Y_{c\mu} = -N_c \varepsilon_{\mu\nu\rho\sigma} K^\nu p_1^\rho k_1^\sigma, \quad \text{avec } N_c = \frac{2}{\Lambda_c^{1/2} p_1^c \sin \theta_1^c}$$

$$X_{c\mu} = \varepsilon_{\mu\nu\rho\sigma} T_c^\nu Y_c^\rho Z_c^\sigma$$

Dans ce second référentiel, $\vec{k}_1 = -\vec{k}_2$ est selon l'axe des z ; les deux tri-vecteurs \vec{p}_1 et \vec{p}_3 sont dans le plan (x, z) . Leurs modules et angles orbitaux sont p_1^c, θ_1^c et p_3^c, θ_3^c , respectivement, et l'on a bien sûr (composantes selon l'axe des x)

$$p_1^c \sin \theta_1^c = p_3^c \sin \theta_3^c$$

Ici, l'axe des y correspondant à ce référentiel est perpendiculaire au plan formé par les deux tri-vecteurs \vec{p}_1 et \vec{p}_3 .

Dans le premier référentiel, le vecteur p_4 a pour composantes

$$(E_4^0, p_4^0 \sin \theta_4^0 \cos \Phi, p_4^0 \sin \theta_4^0 \sin \Phi, p_4^0 \cos \theta_4^0)_0$$

tandis que ses composantes dans le second référentiel sont²⁸ :

$$(E_4^c, p_4^c \sin \theta_4^c \cos \varphi, p_4^c \sin \theta_4^c \sin \varphi, p_4^c \cos \theta_4^c)_c$$

Ecrivons alors²⁹

$$Y^c \cdot p_4 = -p_4^c \sin \theta_4^c \sin \varphi = -N_c \varepsilon_{\mu\nu\rho\sigma} K^\nu p_1^\rho k_1^\sigma p_4^\mu$$

Mais comme $k_1 = p_1 - p_3$ et $K = P - p_3 - p_4$, on peut faire les substitutions

28. A noter que $\varphi = \varphi_2 - \varphi_1$ est aussi bien l'angle azimutal relatif entre 4 et 1.

29. Ceci équivaut au calcul d'un 4-volume.

$$\varepsilon_{\mu\nu\rho\sigma} K^\nu p_1^\rho k_1^\sigma p_4^\mu \equiv -\varepsilon_{\mu\nu\rho\sigma} K^\nu p_1^\rho p_3^\sigma p_4^\mu \equiv \varepsilon_{\mu\nu\rho\sigma} P^\nu p_3^\rho p_1^\sigma p_4^\mu = -N_0^{-1} Y_0 \cdot p_4 = N_0^{-1} p_4^\circ \sin \theta_4^\circ \sin \Phi$$

D'où la relation

$$\sin \varphi = \sin \Phi \frac{\Lambda_0^{1/2}}{\Lambda_c^{1/2}} \kappa, \quad \text{avec} \quad \kappa = \frac{p_3^\circ \sin \theta_3^\circ p_4^\circ \sin \theta_4^\circ}{p_3^c \sin \theta_3^c p_4^c \sin \theta_4^c} = \frac{p_3^\circ \sin \theta_3^\circ p_4^\circ \sin \theta_4^\circ}{p_1^c \sin \theta_1^c p_2^c \sin \theta_2^c} \quad (1.175)$$

entre φ et Φ qui paraît donc un peu compliquée dans le cas général. Elle se simplifie énormément dans la configuration où les angles d'émission respectifs θ_3° et θ_4° des particules 3 et 4 sont très petits, où les particules externes 1, 2, 3 et 4 sont ultra-relativistes (énergie \gg masse), et où les photons γ_1 et γ_2 sont alors quasi-réels. Dans ce cas, à des termes du second ordre près suivant ces faibles angles d'émission et les faibles rapports masse/énergie, on peut faire les approximations suivantes.

Tout d'abord, on a $E_1^\circ \approx \sqrt{s}/2$, $E_2^\circ \approx \sqrt{s}/2$, $\Lambda_0^{1/2} \approx s$, $\Lambda_c^{1/2} \approx M^2$, puis

$$\begin{aligned} M^2 &= (P - p_3 - p_4)^2 = s - 2\sqrt{s}(E_3^\circ + E_4^\circ) + 2p_3 \cdot p_4 \approx s - 2\sqrt{s}(E_3^\circ + E_4^\circ) + 4E_3^\circ E_4^\circ \\ &= 4(E_1^\circ - E_3^\circ)(E_2^\circ - E_4^\circ) = 4\omega_1^\circ \omega_2^\circ \end{aligned}$$

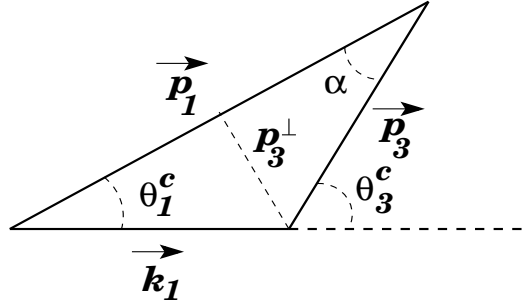


FIGURE 1.12 – Tri-impulsions dans le référentiel du centre de masse central

où ω_1° et ω_2° sont les énergies respectives des photons γ_1 et γ_2 dans le référentiel du centre de masse global. En outre, d'après la figure 1.12 représentant les tri-impulsions dans le référentiel du centre de masse central, on a

$$k_1^c \sin \theta_1^c = p_3^c \sin \alpha = p_3^\perp$$

p_3^\perp étant la projection de la tri-impulsion de la particule 3 perpendiculairement à la direction de propagation de la particule 1. À des termes du second ordre près suivant les angles θ , cette impulsion transversale se conserve dans le passage d'un référentiel à l'autre : $p_3^\perp \approx p_3^\circ \sin \theta_3^\circ (\approx E_3^\circ \theta_3^\circ)$. On a de même

$$k_2^c \sin \theta_2^c = p_4^c \sin \alpha' = p_4^\perp \approx p_4^\circ \sin \theta_4^\circ (\approx E_4^\circ \theta_4^\circ)$$

D'où

$$\kappa \approx \frac{k_1^c \sin \theta_1^c k_2^c \sin \theta_2^c}{p_1^c \sin \theta_1^c p_2^c \sin \theta_2^c} \approx \frac{M^2}{4E_1^c E_2^c}$$

Or,

$$K \cdot p_1 = ME_1^c = p_1 \cdot (P - p_3 - p_4) \approx p_1 \cdot (P - p_4) \approx 2E_1^\circ (E_2^\circ - E_4^\circ) = 2E_1^\circ \omega_2^\circ$$

$$\text{soit } E_1^c \approx E_1^\circ \sqrt{\frac{\omega_2^\circ}{\omega_1^\circ}}$$

Symétriquement, on a

$$E_1^c \approx E_1^\circ \sqrt{\frac{\omega_1^\circ}{\omega_2^\circ}}, \text{ et donc } E_1^c E_2^c \approx E_1^\circ E_2^\circ \approx s/4$$

On aboutit ainsi à

$$\frac{\Lambda_0^{1/2}}{\Lambda_c^{1/2}} \kappa \approx \frac{s}{M^2} \kappa \approx 1$$

Dans le contexte de cette approximation, la relation entre φ et Φ se simplifie donc de façon spectaculaire :

$$\sin \varphi \approx \sin \Phi, \text{ soit } \varphi \approx \Phi$$

La relation *exacte* entre φ_a et son équivalent Φ_a dans le référentiel du centre de masse global est déjà moins “simple” que 1.175. Pourtant, dans la configuration précédente des petits angles d'émission, on montre que l'on a aussi, au même ordre d'approximation :

$$\varphi_a \approx \Phi_a$$

résultat d'ailleurs prévisible puisque, comme il a été suggéré plus haut, à l'extrême limite des angles d'émission nuls des particules 3 et 4, le passage d'un référentiel à l'autre s'effectue suivant un même axe et qu'alors toutes les composantes des vecteurs qui sont transversales à cet axe restent inchangées.

Pour l'étude générale des corrélations azimutales dans les “processus photon-photon” sur la base de la formule générale 1.161, le lecteur pourra se reporter à l'article de N. Arteaga et co-auteurs déjà cité³⁰.

30. N. Arteaga, C. Carimalo, P. Kessler, S. Ong, O. Panella, Phys. Rev. 52, 4920 (1995).

Chapitre 2

Notions et outils de base

Deux types de particules sont prépondérants dans l'univers des particules élémentaires. Le premier regroupe les particules dites *vectorielles* auxquelles ont assigné généralement un rôle de médiation dans les interactions. Les unes, comme le photon ou les gluons ont une masse nulle, les autres comme les bosons W^\pm et Z^0 sont massives. On les décrit au moyen de la représentation 4-vectorielle du groupe de Lorentz, sur laquelle repose en fait la définition de ce groupe. Le second type est celui des particules que l'on décrit généralement au moyen de *spinors de Dirac* et auquel est attachée la représentation de spin 1/2 du groupe $SL(2, C)$, groupe de revêtement universel du groupe de Lorentz. Certaines de ces particules, les leptons (tels l'électron, le muon ou les neutrinos) interviennent dans les interactions électro-faibles et sont directement observables ; d'autres, comme les quarks, n'ont jamais été observées à l'état libre mais sont considérées comme les structures incontournables à partir desquelles sont construites les particules observables hadroniques, et qui décrivent les interactions de ces dernières, régies au premier chef par la Chromodynamique Quantique.

Le but de ce chapitre est de fournir le maximum de propriétés de ces deux représentations¹. On trouvera également à la fin du chapitre certaines notions complémentaires qu'il nous paraît utile de connaître.

2.1 La représentation 4-vectorielle du groupe de Lorentz

Dans ce qui suit, il est fait un usage intensif des propriétés du tenseur de Levi-Civita quadri-dimensionnel. La section (2.5) donne la définition générale et quelques propriétés des symboles de Levi-Civita d'ordres quelconques.

2.1.1 Générateurs de spin 4-vectoriels

Bien que certaines notions la concernant aient déjà été abordées au chapitre 1, nous rappelons ici certaines définitions essentielles de la représentation 4-vectorielle. Dans cette représentation, qui utilise des matrices 4×4 , les générateurs $J^{\mu\nu}$ sont définis par

$$(J_{\mu\nu})_{\alpha\beta} = i(g_{\mu\alpha} g_{\nu\beta} - g_{\nu\alpha} g_{\mu\beta}) \quad (2.1)$$

Le lecteur vérifiera que ces opérateurs vérifient bien les relations de commutations des générateurs du groupe \mathcal{L}_+^\uparrow :

1. Les notations et formules concernant les groupes de Lorentz, de Poincaré et leurs représentations sont celles des chapitres 4, 5 et 6 du cours "Introduction à la Théorie Lagrangienne", ci-après nommé ITL (<http://physique-univ.fr/physique-théorique/lagrangien.html>), et dans le chapitre 1 de ce cours.

$$[J_{\mu\nu} , J_{\rho\sigma}] = i (g_{\mu\sigma} J_{\nu\rho} - g_{\mu\rho} J_{\nu\sigma} - g_{\nu\sigma} J_{\mu\rho} + g_{\nu\rho} J_{\mu\sigma}) \quad (2.2)$$

Une transformation de Lorentz du groupe \mathcal{L}_+^\uparrow s'écrit toujours sous la forme $\Lambda = e^G$ où $G = i \omega_{\mu\nu} J^{\mu\nu} / 2$, $\omega_{\mu\nu}$ étant un tenseur antisymétrique. D'après (2.1), on a simplement $G_{\alpha\beta} = -\omega_{\alpha\beta}$. Si Λ appartient au petit groupe d'un 4-vecteur η , on a $\Lambda(\eta) = \eta$, soit $G(\eta) = 0$ et donc $\omega^{\alpha\beta} \eta_\beta = 0$. Il s'ensuit que le tenseur antisymétrique $\omega_{\mu\nu}$ est plan et doit être de la forme

$$\omega_{\mu\nu} = \epsilon_{\mu\nu\rho\sigma} p^\rho \eta^\sigma \quad (2.3)$$

Dans cette expression, le 4-vecteur p peut toujours être remplacé par un 4-vecteur de la forme $\xi = p + a\eta$. Si η n'est pas du genre lumière, le scalaire a peut être déterminé de telle sorte que ξ soit orthogonal à η . Dans ce cas, on a

$$\xi^\alpha = \frac{1}{2\eta^2} \epsilon^{\alpha\mu\nu\beta} \omega_{\mu\nu} \eta_\beta \quad (2.4)$$

En toute circonstance, on peut écrire

$$\omega_{\mu\nu} = \epsilon_{\mu\nu\rho\sigma} \xi^\rho \eta^\sigma \quad (2.5)$$

et le générateur G de la transformation est donc de la forme

$$G = i \xi^\mu W_\mu(\eta) \quad (2.6)$$

où

$$W_\mu(\eta) = \frac{1}{2} \epsilon_{\mu\nu\rho\sigma} \eta^\nu J^{\rho\sigma}, \quad [W_\mu(\eta)]_{\alpha\beta} = i \epsilon_{\mu\nu\alpha\beta} \eta^\nu \quad (2.7)$$

est l'opérateur de Pauli-Lubanski associé au 4-vecteur η .

① Cas où η est du genre temps : $\eta^2 > 0$

Posons $M = \sqrt{\eta^2}$ et définissons le 4-vecteur unitaire du genre temps $t = \pm\eta/M$, le signe étant choisi de telle sorte que t pointe vers le futur. Associons à ce 4-vecteur une triade x, y, z de 4-vecteurs du genre espace et orthogonaux entre eux se trouvant dans l'hyperplan orthogonal à t , pour former avec t une base d'orientation directe $\mathcal{B}(t)$. Ils vérifient les relations suivantes qui généralisent celles relatives aux bases de l'espace à trois dimensions.

$$t_\mu t_\nu - x_\mu x_\nu - y_\mu y_\nu - z_\mu z_\nu = g_{\mu\nu} \quad (\text{relation de fermeture}) \quad (2.8)$$

$$\epsilon_{\mu\nu\rho\sigma} t^\mu x^\nu y^\rho z^\sigma = 1 \quad (4\text{-volume})$$

$$t_\mu = \epsilon_{\mu\nu\rho\sigma} x^\nu y^\rho z^\sigma, \quad x_\mu = \epsilon_{\mu\nu\rho\sigma} t^\nu y^\rho z^\sigma \quad (2.9)$$

$$y_\mu = -\epsilon_{\mu\nu\rho\sigma} t^\nu x^\rho z^\sigma, \quad z_\mu = \epsilon_{\mu\nu\rho\sigma} t^\nu x^\rho y^\sigma$$

$$\begin{aligned} t_\mu x_\nu - t_\nu x_\mu &= -\epsilon_{\mu\nu\rho\sigma} y^\rho z^\sigma & t_\mu y_\nu - t_\nu y_\mu &= \epsilon_{\mu\nu\rho\sigma} x^\rho z^\sigma \\ t_\mu z_\nu - t_\nu z_\mu &= -\epsilon_{\mu\nu\rho\sigma} x^\rho y^\sigma \end{aligned} \quad (2.10)$$

$$x_\mu y_\nu - x_\nu y_\mu = \epsilon_{\mu\nu\rho\sigma} t^\rho z^\sigma \quad y_\mu z_\nu - y_\nu z_\mu = \epsilon_{\mu\nu\rho\sigma} t^\rho x^\sigma$$

$$z_\mu x_\nu - z_\nu x_\mu = \epsilon_{\mu\nu\rho\sigma} t^\rho y^\sigma$$

$$\begin{aligned}
 \epsilon_{\mu\nu\rho\sigma} t^\mu &= -x_\nu y_\rho z_\sigma - x_\rho y_\sigma z_\nu - x_\sigma y_\nu z_\rho + x_\nu y_\sigma z_\rho + x_\sigma y_\rho z_\nu + x_\rho y_\nu z_\sigma \\
 &= - \sum_{k\ell m} \epsilon_{k\ell m} n_{k\mu} n_{\ell\nu} n_{m\rho} \\
 \epsilon_{\mu\nu\rho\sigma} x^\mu &= -y_\nu z_\rho t_\sigma - y_\rho z_\sigma t_\nu - y_\sigma y_\nu t_\rho + y_\nu z_\sigma t_\rho + y_\sigma z_\rho t_\nu + y_\rho z_\nu t_\sigma \\
 \epsilon_{\mu\nu\rho\sigma} y^\mu &= z_\nu t_\rho x_\sigma + z_\rho t_\sigma x_\nu + z_\sigma t_\nu x_\rho - z_\nu t_\sigma x_\rho - z_\sigma t_\rho x_\nu - z_\rho t_\nu x_\sigma \\
 \epsilon_{\mu\nu\rho\sigma} z^\mu &= -t_\nu x_\rho y_\sigma - t_\rho x_\sigma y_\nu - t_\sigma x_\nu y_\rho + t_\nu x_\sigma y_\rho + t_\sigma x_\rho y_\nu + t_\rho x_\nu y_\sigma
 \end{aligned} \tag{2.11}$$

où, dans la première formule, $n_1 = x, n_2 = y, n_3 = z$. Le 4-vecteur ξ envisagé plus haut, orthogonal à t , se développe suivant les trois 4-vecteurs x, y et z :

$$\xi = \xi^1 x + \xi^2 y + \xi^3 z$$

et le générateur des transformations du petit groupe de η s'écrit

$$G = \mp i M (\xi^1 S_1(t) + \xi^2 S_2(t) + \xi^3 S_3(t)) \tag{2.12}$$

$$\text{avec } S_1(t) = -x \cdot W(t), \quad S_2(t) = -y \cdot W(t), \quad S_3(t) = -z \cdot W(t)$$

Les trois opérateurs $S_1(t), S_2(t)$ et $S_3(t)$ sont les générateurs infinitésimaux du petit groupe associé à t . On vérifie aisément qu'ils constituent une algèbre de Lie isomorphe à $\mathfrak{su}(2)^2$. Ce n'est pas étonnant, car, le 4-vecteur η étant du genre temps, les opérations du petit groupe sont des rotations dans l'hyperplan orthogonal à η . Ledit petit groupe est donc isomorphe à $SO(3)^3$. Soit $[t]$ une tétrade associée à t . En paramétrisant ce 4-vecteur de la façon suivante

$$t = (\cosh \chi, \sinh \chi \sin \theta \cos \varphi, \sinh \chi \sin \theta \sin \varphi, \sinh \chi \cos \theta)$$

cette tétrade pourra être choisie comme⁴

$$[t] = \begin{pmatrix} e^{-i\varphi/2} & 0 \\ 0 & e^{i\varphi/2} \end{pmatrix} \begin{pmatrix} \cos \frac{\theta}{2} & -\sin \frac{\theta}{2} \\ \sin \frac{\theta}{2} & \cos \frac{\theta}{2} \end{pmatrix} \begin{pmatrix} e^{\chi/2} & 0 \\ 0 & e^{-\chi/2} \end{pmatrix} \tag{2.13}$$

Toute autre tétrade $[t]'$ que l'on pourrait associer au même 4-vecteur t diffère de (2.13) par une matrice $[t]^{-1} [t]'$ faisant partie du petit groupe de t , c'est-à-dire, par une matrice de rotation R , dont on peut exprimer la forme générale au moyen des angles d'Euler (α, β, γ) :

$$R(\alpha, \beta, \gamma) = \begin{pmatrix} e^{-i\alpha/2} & 0 \\ 0 & e^{i\alpha/2} \end{pmatrix} \begin{pmatrix} \cos \frac{\beta}{2} & -\sin \frac{\beta}{2} \\ \sin \frac{\beta}{2} & \cos \frac{\beta}{2} \end{pmatrix} \begin{pmatrix} e^{-i\gamma/2} & 0 \\ 0 & e^{i\gamma/2} \end{pmatrix} \tag{2.14}$$

Nous avons vu qu'une transformation de Lorentz associée à une matrice A de $SL(2, C)$ induit une rotation de Wigner $[At]^{-1} A [t]$. Celle-ci est tout aussi bien décrite par la forme générale (2.14).

De l'expression

$$\{S_3(t)\}_{\alpha\beta} = i \epsilon_{\alpha\beta\mu\nu} t^\mu z^\nu = i \{x_\alpha y_\beta - x_\beta y_\alpha\} \tag{2.15}$$

2. Ce sont alors des opérateurs de spin, pas nécessairement hermitiques.

3. Dont le groupe de revêtement $SU(2)$ a été étudié dans ITL, chap. 4.

4. Le vérifier, et vérifier aussi que le 4-vecteur z du genre espace donné par cette tétrade est $z = (\sinh \chi, \cosh \chi \sin \theta \cos \varphi, \cosh \chi \sin \theta \sin \varphi, \cosh \chi \cos \theta)$.

et des formules relatives à la base $\mathcal{B}(t)$, on tire

$$S_3(t)[t] = 0, \quad S_3(t)[z] = 0, \quad S_3(t)[x] = i y, \quad S_3(t)[y] = -i x \quad (2.16)$$

Dans l'hyperplan orthogonal à t , les 4-vecteurs

$$e^{(0)} = z, \quad e^{(\pm)} = \mp \frac{1}{\sqrt{2}} (x \pm i y) \quad (2.17)$$

notés $e^{(\lambda)}$ avec $\lambda = 0, \pm 1$, sont vecteurs propres de $S_3(t)$ avec λ pour valeur propre respective :

$$[S_3(t)]_{\alpha\beta} e^{(\pm)\beta} = i \epsilon_{\alpha\beta\mu\nu} t^\mu z^\nu e^{(\pm)\beta} = \pm e_\alpha^{(\pm)} \quad (2.18)$$

Notant que

$$g_{\beta\gamma} = t_\beta t_\gamma - z_\beta z_\gamma - e_\beta^{(+)} e_\gamma^{(+)*} - e_\beta^{(-)} e_\gamma^{(-)*} = t_\beta t_\gamma - z_\beta z_\gamma + e_\beta^{(+)} e_\gamma^{(-)} + e_\beta^{(-)} e_\gamma^{(+)} \quad (2.19)$$

et calculant

$$[S_3(t)]_{\alpha\beta} g^{\beta\gamma} = e_\alpha^{(+)} e^{(-)\gamma} - e_\alpha^{(-)} e^{(+)\gamma} \quad (2.20)$$

on déduit les projecteurs

$$e_\mu^{(\pm)} e_\nu^{(\mp)} = \frac{1}{2} [g_{\mu\nu} - t_\mu t_\nu + z_\mu z_\nu \pm i \epsilon_{\mu\nu\rho\sigma} t^\rho z^\sigma] \quad (2.21)$$

Les opérateurs $S_+ = \frac{1}{\sqrt{2}} [S_1 + iS_2]$ et $S_- = \frac{1}{\sqrt{2}} [S_1 - iS_2]$, qui font respectivement “monter” et “descendre” le spin, ont pour éléments de matrice non nuls les expressions

$$[S_\pm]_{\alpha\beta} = \mp i \epsilon_{\alpha\beta\mu\nu} t^\mu e^{(\pm)\nu} = z_\alpha e_\beta^{(\pm)} - z_\beta e_\alpha^{(\pm)} \quad (2.22)$$

Considérons les tenseurs définis par :

$$\begin{aligned} T_0_{\mu\nu} &= g_{\mu\nu} - t_\mu t_\nu + z_\mu z_\nu = -e_\mu^{(+)} e_\nu^{(+)*} - e_\mu^{(-)} e_\nu^{(-)*} \\ T_1_{\mu\nu} &= -e_\mu^{(+)} e_\nu^{(-)*} - e_\mu^{(-)} e_\nu^{(+)*} = e_\mu^{(+)} e_\nu^{(+)} + e_\mu^{(-)} e_\nu^{(-)} \\ T_2_{\mu\nu} &= i [e_\mu^{(+)} e_\nu^{(-)*} - e_\mu^{(-)} e_\nu^{(+)*}] = i [e_\mu^{(-)} e_\nu^{(-)} - e_\mu^{(+)} e_\nu^{(+)}] \\ T_3_{\mu\nu} &= -e_\mu^{(+)} e_\nu^{(+)*} + e_\mu^{(-)} e_\nu^{(-)*} \equiv S_3(t) \end{aligned} \quad (2.23)$$

Le tenseur T_0 est en fait le projecteur dans le 2-plan (x, y) . Quant aux tenseurs T_k ($k = 1, 2, 3$), on peut les envisager comme des opérateurs agissant dans ce bi-plan, lequel, complexifié, est clairement isomorphe à un espace complexe à deux dimensions. Ils sont hermitiques car $T_k^* = T_{k\nu\mu}$ et vérifient

$$T_k T_\ell = \delta_{k\ell} T_0 + i \epsilon_{k\ell m} T_m, \quad [T_k, T_\ell] = 2i \epsilon_{k\ell m} T_m \quad (2.24)$$

Ils engendrent donc une algèbre isomorphe à celle des matrices de Pauli, ce qui n'est pas étonnant, compte tenu de l'isomorphisme mentionné plus haut.

Pour être complet, écrivons également les relations suivantes :

$$\begin{aligned} \epsilon_{\mu\nu\rho\sigma} z^\mu e^{(\pm)\nu} &= \pm i \left\{ t_\rho e_\sigma^{(\pm)} - t_\sigma e_\rho^{(\pm)} \right\} \\ \epsilon_{\mu\nu\rho\sigma} (t + \epsilon z)^\mu e^{(\pm)\nu} &= \pm i \epsilon \left\{ (t + \epsilon z)_\rho e_\sigma^{(\pm)} - (t + \epsilon z)_\sigma e_\rho^{(\pm)} \right\} \quad \text{avec } \epsilon = \pm 1 \end{aligned} \quad (2.25)$$

② **Cas où η est du genre espace : $\eta^2 < 0$**

Nous poserons ici $M = \sqrt{-\eta^2}$, puis $z = \eta/M$. Le 4-vecteur z est du genre espace et unitaire. Nous lui associerons une triade de 4-vecteurs comprenant un 4-vecteur du genre temps futur et unitaire t et deux vecteurs du genre espace et unitaires x et y de sorte à former une base orthonormée d'espace-temps $\mathcal{B}(z) : t, x, y, z$. Le 4-vecteur ξ , orthogonal à z , appartient à l'hyperplan engendré par t, x et y :

$$\xi = \xi^0 t + \xi^1 x + \xi^2 y$$

et par suite

$$\begin{aligned} G &= i M (\xi^0 W^0(z) - \xi^1 W^1(z) - \xi^2 W^2(z)) \\ \text{avec } W^0(z) &= t \cdot W(z), \quad W^1(z) = -x \cdot W(z), \quad W^2(z) = -y \cdot W(z) \end{aligned} \quad (2.26)$$

Les opérateurs $W^0(z)$, $W^1(z)$ et $W^2(z)$, générateurs infinitésimaux du petit groupe de z , satisfont aux relations de commutation⁵

$$[W^1, W^2] = -i W^0, \quad [W^0, W^1] = i W^2, \quad [W^0, W^2] = -i W^1 \quad (2.27)$$

qui définissent l'algèbre de Lie du groupe $L(2,1)$, groupe de Lorentz pour un espace-temps ne comportant que deux dimensions spatiales. Le petit groupe associé à z est donc isomorphe à $L(2,1)$. Ce résultat était prévisible puisque les transformations du petit groupe de z agissent dans le 3-espace de Minkowsky ayant une dimension temporelle et deux dimensions spatiales. L'opérateur W^0 engendre des rotations dans le 2-plan (x, y) , tandis que W^1 et W^2 engendrent des transformations de Lorentz, dans les 2-plans (t, y) et (t, x) , respectivement. On montre que la forme générale des matrices M_s du petit groupe du 4-vecteur de référence (du genre espace) $\overset{\circ}{z} = (0, 0, 0, 1)$ est

$$\begin{aligned} M_s &= \begin{pmatrix} \cosh \frac{\xi}{2} e^{-i(\theta_1 + \theta_2)/2} & -\sinh \frac{\xi}{2} e^{-i(\theta_1 - \theta_2)/2} \\ -\sinh \frac{\xi}{2} e^{i(\theta_1 - \theta_2)/2} & \cosh \frac{\xi}{2} e^{i(\theta_1 + \theta_2)/2} \end{pmatrix} \quad \text{ou encore} \\ M_s &= \begin{pmatrix} e^{-i\theta_1/2} & 0 \\ 0 & e^{i\theta_1/2} \end{pmatrix} \begin{pmatrix} \cosh \frac{\xi}{2} & \sinh \frac{\xi}{2} \\ \sinh \frac{\xi}{2} & \cosh \frac{\xi}{2} \end{pmatrix} \begin{pmatrix} e^{-i\theta_2/2} & 0 \\ 0 & e^{i\theta_2/2} \end{pmatrix} \end{aligned} \quad (2.28)$$

ξ , θ_1 et θ_2 étant des réels quelconque. Soit $[z]$ une tétrade associée au 4-vecteur du genre espace z . Si ce dernier est paramétrisé comme

$$z = (\sinh \chi, \cosh \chi \sin \theta \cos \varphi, \cosh \chi \sin \theta \sin \varphi, \cosh \chi \cos \theta)$$

on peut encore choisir (2.13) pour cette tétrade, et toute autre tétrade $[z]'$ que l'on pourrait associer au même 4-vecteur z en diffère par une matrice $[z]^{-1} [z]'$ faisant partie du petit groupe de $\overset{\circ}{z}$ et qui est donc de la forme (2.28). De même, la transformation de Wigner $[Az]^{-1} A [z]$, où A est une matrice quelconque de $SL(2, C)$, est une matrice de la forme (2.28) et ne représente plus une rotation.

5. Montrer que $W^0(z) = x_\mu y_\nu J^{\mu\nu}$, $W^1(z) = t_\mu y_\nu J^{\mu\nu}$, $W^2(z) = -t_\mu x_\nu J^{\mu\nu}$ et se servir des relations (2.2).

③ Cas où η est du genre lumière : $\eta^2 = 0$

Il est toujours possible de trouver une base $\mathcal{B}(t)$ ayant un vecteur z convenablement orienté, de telle sorte que η prenne la forme $\eta = \kappa(t + z)$, avec $\kappa = t \cdot \eta$. Relativement à cette base, les composantes de l'opérateur de Pauli-Lubanski $W(t + z)$ sont ⁶

$$\begin{aligned} W^1 &= -x \cdot W = -(t + z)_\mu y_\nu J^{\mu\nu} \quad , \quad W^2 = -y \cdot W = (t + z)_\mu x_\nu J^{\mu\nu} \\ W^0 &= t \cdot W = W^3 = x_\mu y_\nu J^{\mu\nu} \end{aligned} \quad (2.29)$$

Elles vérifient les relations de commutation

$$[W^1, W^2] = 0 \quad , \quad [W^0, W^1] = i W^2 \quad , \quad [W^0, W^2] = -i W^1 \quad (2.30)$$

Comme mentionné précédemment, cette algèbre est celle du groupe $P(2)$ des déplacements dans un 2-plan euclidien, l'opérateur W^1 jouant le rôle de $-i\partial_x$, générateur de translation suivant l'axe des x de ce plan, W^2 celui de $-i\partial_y$, générateur de translation suivant l'axe des y , et W^0 celui de $-i(x\partial_y - y\partial_x)$, générateur de rotations dans ledit plan. L'opérateur W^0 est encore le générateur infinitésimal des rotations dans le 2-plan physique (x, y) . Compte tenu de (2.1) et des relations

$$\begin{aligned} \epsilon_{\mu\nu\rho\sigma} x^\mu (t + z)^\nu &= (t + z)_\rho y_\sigma - y_\rho (t + z)_\sigma \\ \epsilon_{\mu\nu\rho\sigma} y^\mu (t + z)^\nu &= x_\rho (t + z)_\sigma - (t + z)_\rho x_\sigma \end{aligned} \quad (2.31)$$

on a

$$(W^1)_{\alpha\beta} = -i[(t + z)_\alpha y_\beta - y_\alpha (t + z)_\beta] \quad , \quad (W^2)_{\alpha\beta} = i[(t + z)_\alpha x_\beta - x_\alpha (t + z)_\beta] \quad (2.32)$$

d'où l'on déduit l'action de l'opérateur $T = e^{i(aW^1 + bW^2)}$ sur la base $\mathcal{B}(t)$:

$$\begin{aligned} T(t) &= t + bx - ay + \frac{a^2 + b^2}{2} (t + z) \quad , \quad T(z) = z - bx + ay - \frac{a^2 + b^2}{2} (t + z) \\ T(x) &= x + b(t + z) \quad , \quad T(y) = y - a(t + z) \end{aligned} \quad (2.33)$$

Les 4-vecteurs u appartenant à l'hyperplan orthogonal à η sont nécessairement de la forme $u = u^1x + u^2y + u^0(t + z)$, ($u^0 = u^3$). Pour ceux-ci, on a

$$T(u) = u + (t + z)(bu^1 - au^2) \quad (2.34)$$

et l'effet sur ces 4-vecteurs du sous-groupe abélien engendré par W^1 et W^2 est de les translater parallèlement à η ⁷. C'est pourquoi on l'appelle *groupe de jauge* de η .

Les matrices M_ℓ de $SL(2, C)$ appartenant au petit groupe du 4-vecteur du genre lumière de référence $\overset{\circ}{\eta} = (1, 0, 0, 1)$ ont pour forme générale

$$\begin{aligned} M_\ell &= \begin{pmatrix} e^{-i\psi/2} & \beta \\ 0 & e^{i\psi/2} \end{pmatrix} = \begin{pmatrix} 1 & \zeta \\ 0 & 1 \end{pmatrix} \begin{pmatrix} e^{-i\psi/2} & 0 \\ 0 & e^{i\psi/2} \end{pmatrix} = M_\ell(\zeta, e^{i\psi/2}) \\ &= \begin{pmatrix} e^{-i\psi/2} & 0 \\ 0 & e^{i\psi/2} \end{pmatrix} \begin{pmatrix} 1 & \zeta' \\ 0 & 1 \end{pmatrix}, \quad \text{avec } \zeta' = \zeta e^{-i\psi} \end{aligned} \quad (2.35)$$

où $\zeta = \beta e^{-i\psi/2}$ est un nombre complexe quelconque. Elles ont pour loi de composition

6. Comme $(t + z) \cdot W(t + z) = 0$, on a $W^0 = W^3$.
7. Et notamment $e^{(-)} = \frac{x - iy}{\sqrt{2}} \rightarrow e^{(-)} + \frac{b + ia}{\sqrt{2}} (t + z)$.

$$M_\ell(\zeta, e^{i\psi/2}) M_\ell(\zeta', e^{i\psi'/2}) = M_\ell(\zeta + \zeta' e^{i\psi}, e^{i[\psi+\psi']/2}) \quad (2.36)$$

qui est bien celle des déplacements dans le plan, assimilé au plan complexe (addition du complexe ζ , représentant une translation, suivie d'une multiplication par $e^{i\alpha}$, représentant une rotation). Notons $\overset{\circ}{\ell} = \kappa(1, 0, 0, 1)$ (κ étant réel) un 4-vecteur de référence du genre lumière, et $[\ell]$ une tétrade permettant de passer de $\overset{\circ}{\ell}$ à un autre 4-vecteur du genre lumière ℓ . Si l'on utilise la paramétrisation

$$\ell = \kappa(1, \sin\theta \cos\varphi, \sin\theta \sin\varphi, \cos\theta)$$

un exemple de telle tétrade est donné par

$$[\ell] = \sqrt{\kappa} \begin{pmatrix} e^{-i\varphi/2} & 0 \\ 0 & e^{i\varphi/2} \end{pmatrix} \begin{pmatrix} \cos\frac{\theta}{2} & -\sin\frac{\theta}{2} \\ \sin\frac{\theta}{2} & \cos\frac{\theta}{2} \end{pmatrix} \quad (2.37)$$

conduisant à la base d'espace-temps associée :

$$\begin{aligned} t(\ell) &= (1, 0, 0, 0), & x(\ell) &= (0, \cos\theta \cos\varphi, \cos\theta \sin\varphi, -\sin\theta) \\ y(\ell) &= (0, -\sin\varphi, \cos\varphi, 0), & z(\ell) &= (0, \sin\theta \cos\varphi, \sin\theta \sin\varphi, \cos\theta) \end{aligned}$$

Toute autre tétrade $[\ell]'$ associée au même 4-vecteur ℓ diffère de (2.37) d'une matrice $[\ell]^{-1}[\ell]'$ qui, appartenant au petit groupe de $\overset{\circ}{\ell}$, est nécessairement de la forme (2.35). Ici aussi, une transformation de Wigner $[A\ell]^{-1} A [\ell]$ n'est pas une rotation, mais une matrice M_ℓ du petit groupe de $\overset{\circ}{\ell}$, donc de la forme (2.35). Sous l'action de cette opération, les 4-vecteurs $e^{(\pm)}([\ell]) = \mp(0, 1, \pm i, 0)$ deviennent

$$E^{(\lambda)}([\ell]) = e^{i\lambda\psi} e^{(\lambda)}([\overset{\circ}{\ell}]) + c_\lambda \overset{\circ}{\ell} \quad (\lambda = \pm 1) \quad (2.38)$$

avec $c_+ = \frac{\zeta^*}{\sqrt{2\kappa}}$ et $c_- = -\frac{\zeta}{\sqrt{2\kappa}}$. Il s'ensuit que dans la transformation de Lorentz représentée par A , le 4-vecteur

$$e^{(\lambda)}([\ell]) = \Lambda([\ell]) e^{(\lambda)}([\overset{\circ}{\ell}]) \quad (2.39)$$

qui est vecteur propre de l'opérateur W^0 avec la valeur propre λ a pour équivalent dans la tétrade $[A\ell]$

$$\begin{aligned} e^{(\lambda)}([A\ell]) &= \Lambda([A\ell]) e^{(\lambda)}([\overset{\circ}{\ell}]) = \Lambda(A[\ell] M^{-1}) e^{(\lambda)}([\overset{\circ}{\ell}]) \\ &= \Lambda(A[\ell]) \left\{ e^{i\lambda\psi} e^{(\lambda)}([\overset{\circ}{\ell}]) + c_\lambda \overset{\circ}{\ell} \right\} = e^{i\lambda\psi} \Lambda(A) e^{(\lambda)}([\ell]) + c_\lambda (A\ell) \end{aligned} \quad (2.40)$$

Envisageons le cas d'un photon dont l'état est décrit par une onde plane. La direction de propagation de l'onde et l'énergie qu'elle transporte sont définies par le 4-vecteur énergie-quantité de mouvement ℓ du photon, du genre lumière. L'état de polarisation de l'onde se décrit quant à lui au moyen de deux 4-vecteurs $e^{(+)}$ et $e^{(-)}$, tels que $e^{(\pm)} \cdot \ell = 0$. Ces 4-vecteurs, dits *de polarisation*, représentent des ondes polarisées circulairement, à droite et à gauche, respectivement⁸. D'après (2.40), dans une transformation de Lorentz, ils subissent une translation parallèlement à $L = \Lambda(A)\ell$. Or, une propriété fondamentale des équations de Maxwell est qu'elles sont *invariantes de jauge*. Au final, cela signifie que les prévisions mesurables de la théorie sont insensibles

8. ITL, §4.7.1.

au remplacement d'un vecteur de polarisation $e^{(\lambda)}(\ell)$ par $e^{(\lambda)}(\ell) + c(\ell) \ell$, où $c(\ell)$ est un scalaire quelconque. Il s'ensuit que, dans ce cas, le terme $c_\lambda L$ est sans effet et peut être tout simplement ignoré. Tout se passe alors comme si, dans une transformation de Lorentz, les vecteurs de polarisation subissaient un simple changement de phase $e^{i\lambda\psi}$. La conséquence importante est que l'hélicité λ du photon peut être considérée comme un véritable invariant relativiste.

2.2 Les spineurs de Dirac⁹

2.2.1 Expressions générales

Les *spineurs de Dirac* sont les *bi-spineurs* de la représentation $D(\frac{1}{2}, 0) \oplus D(0, \frac{1}{2})$ de $SL(2, C)$. Dans la suite, nous ne considérerons que le cas où la particule considérée, de spin $1/2$, a une masse non nulle. Le cas éventuel de la masse nulle sera envisagé comme limite du précédent en faisant tendre m vers zéro, lorsque cela est possible¹⁰. En "représentation- p ", et dans la représentation que nous appelons "représentation initiale", un spineur de Dirac associé à un état $|\Phi\rangle$ s'exprime comme :

$$\Phi(p) = \begin{pmatrix} \phi(p) \\ \hat{\phi}(p) \end{pmatrix} \quad (2.41)$$

au moyen des amplitudes spinorielles

$$\phi_\sigma(p) = \langle p, \sigma | \Phi \rangle \quad \text{et} \quad \hat{\phi}_\sigma(p) = \langle \hat{p}, \sigma | \Phi \rangle \quad (2.42)$$

où l'indice de spin σ prend les valeurs $+1/2$ et $-1/2$. Il vérifie l'équation de Dirac :

$$\Gamma(p) \Phi(p) = m \Phi(p) \quad (2.43)$$

où $\Gamma(p)$ est la matrice 4×4 donnée par^{11,12}

$$\Gamma(p) = \begin{pmatrix} 0_2 & \not{p} \\ \not{\tilde{p}} & 0_2 \end{pmatrix} \quad \text{avec} \quad (2.44)$$

$$\not{p} = p_0 + \vec{p} \cdot \vec{\tau}, \quad \not{\tilde{p}} = p_0 - \vec{p} \cdot \vec{\tau}$$

et où 0_2 est la matrice nulle 2×2 . Sous une transformation (a, A) de $\bar{\mathcal{P}}_+$, le spineur (2.41) devient

$${}^{(a,A)}\Phi(p) = \Phi'(p) = e^{ia \cdot p} S(A) \Phi(A^{-1}p), \quad \text{avec} \quad S(A) = \begin{pmatrix} A & 0_2 \\ 0_2 & A^{\dagger-1} \end{pmatrix} \quad (2.45)$$

tandis que la matrice $\Gamma(p)$ vérifie

$$\Gamma(p) = S(A) \Gamma(A^{-1}p) S(A)^{-1} \quad (2.46)$$

9. Le lecteur trouvera dans le chapitre 7 de ITL qui leur est consacré toutes les définitions utiles concernant les spineurs et les matrices de Dirac.

10. Le cas des spineurs de Dirac associés à une particule de masse nulle est considéré dans ITL, § 7.6.

11. Rappelons que $\mathcal{D}^s(A) \equiv A$ pour $s = 1/2$.

12. $p_0 = \sqrt{m^2 + \vec{p}^2}$

ce qui fait que l'équation de Dirac (2.43) garde exactement la même forme dans tout référentiel galiléen. Si l'on pose

$$\Gamma^0 = \Gamma_0 = \begin{pmatrix} 0_2 & \tau_0 \\ \tau_0 & 0_2 \end{pmatrix}, \quad \Gamma^k = -\Gamma_k = \begin{pmatrix} 0_2 & -\tau_k \\ \tau_k & 0_2 \end{pmatrix} \quad (2.47)$$

où τ_0 est la matrice unité 2×2 et τ_k ($k = 1, 2, 3$) sont les matrices de Pauli, la matrice (2.44) peut être exprimée sous forme de produit scalaire :

$$\Gamma(p) = p_\mu \Gamma^\mu = p^\mu \Gamma_\mu = p_0 \Gamma^0 - \sum_k p^k \Gamma^k$$

En posant $q = A^{-1}p$ (ou en remplaçant A par A^{-1}), l'équation (2.46) devient

$$S(A) \Gamma(q) S(A)^{-1} = \Gamma(Aq) \quad (2.48)$$

d'où l'on déduit ($[Aq]^\nu = \Lambda^\nu{}_\mu q^\mu$, $[Aq]_\nu = [\Lambda^{-1}]^\mu{}_\nu q_\mu$ avec $\Lambda \equiv \Lambda(A)$) :

$$S(A) \Gamma_\mu S(A)^{-1} = \Lambda^\nu{}_\mu \Gamma_\nu \quad \text{et} \quad S(A) \Gamma^\mu S(A)^{-1} = [\Lambda^{-1}]^\mu{}_\nu \Gamma^\nu \quad (2.49)$$

Sous la transformation définie par $\Gamma'^\mu = S(A)^{-1} \Gamma^\mu S(A)$, les matrices Γ^μ se transforment donc comme les composantes contravariantes d'un 4-vecteur. Les matrices (2.47) vérifient les relations¹³

$$\begin{aligned} (\Gamma^0)^2 = \Gamma_0^2 = 1, \quad (\Gamma^k)^2 = \Gamma_k^2 = -1 \\ \Gamma^0 \Gamma^k = -\Gamma^k \Gamma^0, \quad \Gamma^k \Gamma^\ell = -\Gamma^\ell \Gamma^k \quad (k \neq \ell) \end{aligned} \quad (2.50)$$

que l'on résume par la relation fondamentale de définition des matrices de Dirac :

$$\Gamma^\mu \Gamma^\nu + \Gamma^\nu \Gamma^\mu = 2 g^{\mu\nu}, \quad \text{ou} \quad \Gamma_\mu \Gamma_\nu + \Gamma_\nu \Gamma_\mu = 2 g_{\mu\nu} \quad (2.51)$$

Les matrices (2.47) constituent ce que nous appelons la *représentation initiale* des matrices de Dirac, qui diffère de celle de Weyl par le signe des Γ^k . S'il existe bien une infinité de quadruplets de matrices 4×4 vérifiant la relation générale (2.51), on montre cependant que deux quadruplets possibles $\{\gamma^\mu\}$ et $\{\gamma'^\mu\}$ sont nécessairement reliés au moyen d'une matrice 4×4 inversible U via la relation¹⁴ :

$$\gamma'^\mu = U \gamma^\mu U^{-1} \quad (2.52)$$

Toutes les représentations des matrices de Dirac sont *équivalentes* et toute propriété de ces matrices démontrée dans une représentation particulière est applicable à toute autre représentation. La *représentation de Dirac* est la *représentation standard* couramment utilisée des matrices de Dirac. Elle est définie par

13. ITL, section 6.12.

14. C'est le *théorème fondamental* de W. Pauli, voir *Annales de l'I.H.P.* tome 6, n° 2 (1936), p. 109.

$$\begin{aligned}\gamma^0 = \gamma_0 &= \begin{pmatrix} \tau_0 & 0_2 \\ 0_2 & -\tau_0 \end{pmatrix} = \Gamma_5, & \gamma^k = -\gamma_k &= \begin{pmatrix} 0_2 & \tau_k \\ -\tau_k & 0_2 \end{pmatrix} = -\Gamma^k \\ \gamma_5 &= \begin{pmatrix} 0_2 & \tau_0 \\ \tau_0 & 0_2 \end{pmatrix} = \Gamma^0\end{aligned}\quad (2.53)$$

et s'obtient à partir de la représentation initiale (2.47) par la matrice inversible

$$\mathcal{U} = \frac{1}{\sqrt{2}} \begin{pmatrix} \tau_0 & \tau_0 \\ \tau_0 & -\tau_0 \end{pmatrix} = \frac{1}{\sqrt{2}} (\Gamma_0 + \Gamma_5) = \frac{1}{\sqrt{2}} (\gamma_0 + \gamma_5) = \mathcal{U}^{-1}\quad (2.54)$$

Notons ici qu'en vertu de l'équation (6.263), pour toute base d'espace-temps t, x, y, z , on a

$$\Gamma_5 = -i \Gamma(t) \Gamma(x) \Gamma(y) \Gamma(z)\quad (2.55)$$

et que par conséquent

$$\boxed{\gamma_5 = \mathcal{U} \Gamma_5 \mathcal{U}^{-1} = -i \gamma(t) \gamma(x) \gamma(y) \gamma(z)}\quad (2.56)$$

où, pour un 4-vecteur v quelconque¹⁵,

$$\gamma(v) = v^\mu \gamma_\mu = v_\mu \gamma^\mu\quad (2.57)$$

On a notamment, pour la base d'espace-temps standard,

$$\Gamma_5 = i \Gamma^0 \Gamma^1 \Gamma^2 \Gamma^3 \quad \text{et} \quad \gamma_5 = i \gamma^0 \gamma^1 \gamma^2 \gamma^3\quad (2.58)$$

D'après (6.264), les matrices Γ_5 et γ_5 anti-commutent, respectivement, avec les matrices Γ^μ et γ^μ :

$$\Gamma_5 \Gamma^\mu = -\Gamma^\mu \Gamma_5, \quad \gamma_5 \gamma^\mu = -\gamma^\mu \gamma_5\quad (2.59)$$

D'après (2.51), les matrices Γ^μ avec des indices différents anti-commutent entre elles, ce qui fait que le produit $\Gamma^\mu \Gamma^\nu \Gamma^\rho \Gamma^\sigma$ avec les quatre indices μ, ν, ρ, σ tous différents est complètement antisymétrique suivant ces indices. En introduisant le tenseur complètement antisymétrique de Levi-Civita $\epsilon_{\mu\nu\rho\sigma}$, on peut donc écrire ($\epsilon_{0123} = 1$)

$$\Gamma^0 \Gamma^1 \Gamma^2 \Gamma^3 = \epsilon_{0123} \Gamma^0 \Gamma^1 \Gamma^2 \Gamma^3 = \frac{1}{4!} \epsilon_{\mu\nu\rho\sigma} \Gamma^\mu \Gamma^\nu \Gamma^\rho \Gamma^\sigma$$

Ceci permet de représenter les matrices Γ_5 et γ_5 sous la forme de produits contractés de tenseurs

$$\boxed{\Gamma_5 = \frac{i}{4!} \epsilon_{\mu\nu\rho\sigma} \Gamma^\mu \Gamma^\nu \Gamma^\rho \Gamma^\sigma \quad \text{et} \quad \gamma_5 = \frac{i}{4!} \epsilon_{\mu\nu\rho\sigma} \gamma^\mu \gamma^\nu \gamma^\rho \gamma^\sigma}\quad (2.60)$$

15. Bien qu'en Physique des Particules on utilise couramment la notation "slash" de Feynman, $\not{v} = v^\mu \gamma_\mu$, nous utiliserons ici la notation $\gamma(v)$, pour la clarté du texte.

qui se comportent comme des scalaires sous les transformations de $SL(2, C)$. En utilisant (2.49) et en tenant compte de $\det \Lambda = 1$, on a en effet

$$\begin{aligned} S(A)^{-1} \Gamma_5 S(A) &= \frac{i}{4!} \epsilon_{\mu\nu\rho\sigma} \Lambda^\mu_{\cdot\mu'} \Lambda^\nu_{\cdot\nu'} \Lambda^\rho_{\cdot\rho'} \Lambda^\sigma_{\cdot\sigma'} \Gamma^{\mu'} \Gamma^{\nu'} \Gamma^{\rho'} \Gamma^{\sigma'} \\ &= \frac{i}{4!} (\det \Lambda) \epsilon_{\mu'\nu'\rho'\sigma'} \Gamma^{\mu'} \Gamma^{\nu'} \Gamma^{\rho'} \Gamma^{\sigma'} = \frac{i}{4!} \epsilon_{\mu'\nu'\rho'\sigma'} \Gamma^{\mu'} \Gamma^{\nu'} \Gamma^{\rho'} \Gamma^{\sigma'} = \Gamma_5 \end{aligned}$$

Dans la représentation standard, les spineurs de Dirac de la représentation- p prennent donc la forme

$$\Phi_{\text{st}}(p) = \begin{pmatrix} \phi(p) + \hat{\phi}(p) \\ \phi(p) - \hat{\phi}(p) \end{pmatrix} \quad (2.61)$$

à un facteur de normalisation près et $S(A)$ est remplacé par

$$L(A) = \mathcal{U} S(A) \mathcal{U}^{-1} = \frac{1}{2} \begin{pmatrix} A + A^{\dagger-1} & A - A^{\dagger-1} \\ A - A^{\dagger-1} & A + A^{\dagger-1} \end{pmatrix} \quad (2.62)$$

Dans la représentation standard, les spineurs de type U (énergie positive) et les spineurs de type V (énergie négative) attachés à l'état $|[p], \sigma\rangle$ sont donnés par¹⁶

$$\begin{aligned} U_\sigma([p]) &= \sqrt{\frac{m}{2}} \begin{pmatrix} \{[p] + [p]^{\dagger-1}\}_{\cdot\sigma} \\ \{[p] - [p]^{\dagger-1}\}_{\cdot\sigma} \end{pmatrix} \\ V_\sigma([p]) &= \gamma_5 U_\sigma([p]) = \sqrt{\frac{m}{2}} \begin{pmatrix} \{[p] - [p]^{\dagger-1}\}_{\cdot\sigma} \\ \{[p] + [p]^{\dagger-1}\}_{\cdot\sigma} \end{pmatrix} \end{aligned} \quad (2.63)$$

Ils vérifient les relations

$$\begin{aligned} \sum_\sigma U_\sigma \bar{U}_\sigma &= m + \gamma(p), \quad \sum_\sigma V_\sigma \bar{V}_\sigma = \gamma(p) - m, \quad \gamma(p) U = m U, \quad \gamma(p) V = -m V \\ \sum_\sigma [U_\sigma \bar{U}_\sigma - V_\sigma \bar{V}_\sigma] &= 2m, \quad \text{avec} \quad \bar{U} = U^\dagger \gamma_0, \quad \bar{V} = V^\dagger \gamma_0 \end{aligned} \quad (2.64)$$

et, conformément à l'usage, leur normalisation est telle que

$$\bar{U}_\sigma U_{\sigma'} = 2m \delta_{\sigma\sigma'}, \quad \bar{V}_\sigma V_{\sigma'} = -2m \delta_{\sigma\sigma'}, \quad \bar{U}_\sigma V_{\sigma'} = \bar{V}_\sigma U_{\sigma'} = 0 \quad (2.65)$$

Les quatre spineurs U et V ainsi définis constituent une base selon laquelle on peut développer tout vecteur unicolonne de C^4 .

• Lorsque la tétrade $[p]$ correspond à un boost le long de \vec{p} , elle prend la forme de la matrice hermitique \mathcal{H} donnée par le tableau :

16. En mettant de côté un facteur de normalisation $(2\pi)^3 2p_0 \delta(\vec{p} - \vec{p}')$ où $p_0 = \sqrt{m^2 + \vec{p}^2}$.

$$\mathcal{H} = \frac{1}{\sqrt{2m(E+m)}} \times \begin{array}{|c|c|c|} \hline & 1/2 & -1/2 \\ \hline 1/2 & E+m+p_z & p_x - ip_y \\ \hline -1/2 & p_x + ip_y & E+m-p_z \\ \hline \end{array} \quad (2.66)$$

avec $p_x = p^1, p_y = p^2, p_z = p^3, E = p_0$. On obtient alors

$$U^\uparrow(\mathcal{H}) = \frac{1}{\sqrt{E+m}} \begin{pmatrix} E+m \\ 0 \\ p_z \\ p_x + ip_y \end{pmatrix}, \quad U^\downarrow(\mathcal{H}) = \frac{1}{\sqrt{E+m}} \begin{pmatrix} 0 \\ E+m \\ p_x - ip_y \\ -p_z \end{pmatrix} \quad (2.67)$$

$$V^\uparrow(\mathcal{H}) = \frac{1}{\sqrt{E+m}} \begin{pmatrix} p_z \\ p_x + ip_y \\ E+m \\ 0 \end{pmatrix}, \quad V^\downarrow(\mathcal{H}) = \frac{1}{\sqrt{E+m}} \begin{pmatrix} p_x - ip_y \\ -p_z \\ 0 \\ E+m \end{pmatrix} \quad (2.68)$$

où les notations \uparrow (“up”) et \downarrow (“down”) se réfèrent à un indice de spin σ égal à $+1/2$ et $-1/2$, respectivement.

2.2.2 Opérateurs de spin et projecteurs

Dans la représentation standard des spineurs de Dirac, les générateurs de $SL(2, C)$ sont les matrices $\sigma_{\mu\nu} = \frac{i}{4} [\gamma_\mu, \gamma_\nu]$. Posant $t = p/m$, l’opérateur de Pauli-Lubanski associé à la 4-impulsion p s’écrit donc

$$W_\mu = \frac{1}{2} \epsilon_{\mu\alpha\beta\gamma} t^\alpha \sigma^{\beta\gamma} = i t^\nu \sigma_{\mu\nu} \gamma_5 \quad \text{soit} \\ W_\mu = -\frac{1}{4} [\gamma_\mu, \gamma_\nu] t^\nu \gamma_5 \quad (2.69)$$

Notons x, y et z les trois 4-vecteurs du genre espace associé à t dans la tétrade $[p]$ et formant avec t une base d’espace-temps orthonormée et d’orientation directe. Les générateurs du petit groupe de p (opérateurs de spin engendrant un groupe de rotations) sont représentés par les matrices¹⁷

$$S_x = -x \cdot W = \frac{1}{2} \gamma(x) \gamma(t) \gamma_5, \quad S_y = -y \cdot W = \frac{1}{2} \gamma(y) \gamma(t) \gamma_5, \\ S_z = -z \cdot W = \frac{1}{2} \gamma(z) \gamma(t) \gamma_5 \quad (2.70)$$

et, posant $U_\sigma \equiv U_\sigma([p]), V_\sigma \equiv V_\sigma([p]), S_\pm = S_x \pm iS_y$, on a

¹⁷. A l’aide de (2.56), montrer que les matrices S_x, S_y et S_z vérifient bien les relations de commutation de l’algèbre de Lie de $SU(2)$.

$$\begin{aligned}
 S_z U_\sigma &= \sigma U_\sigma, & S_z V_\sigma &= \sigma V_\sigma \\
 S_+ U^\uparrow &= 0, & S_+ U^\downarrow &= U^\uparrow, & S_+ V^\uparrow &= V^\downarrow & S_+ V^\downarrow &= 0 \\
 S_- U^\uparrow &= U^\downarrow, & S_- U^\downarrow &= 0, & S_- V^\uparrow &= V^\downarrow & S_- V^\downarrow &= 0
 \end{aligned} \tag{2.71}$$

Ces formules conduisent aussi aux suivantes :

$$\begin{aligned}
 \gamma(z) U^{\uparrow,\downarrow} &= \pm V^{\uparrow,\downarrow}, & \gamma(z) V^{\uparrow,\downarrow} &= \mp U^{\uparrow,\downarrow} \\
 \gamma(x + iy) U^\uparrow &= 0, & \gamma(x + iy) U^\downarrow &= 2V^\uparrow \\
 \gamma(x - iy) U^\downarrow &= 0, & \gamma(x - iy) U^\uparrow &= 2V^\downarrow
 \end{aligned} \tag{2.72}$$

En appliquant $\gamma(z)$ ou $\gamma(x \pm iy)$ soit sur les projecteurs soit sur la relation de fermeture de (2.64), on en déduit alors :

$$\begin{aligned}
 2m\gamma(z) &= V^\uparrow \bar{U}^\uparrow - V^\downarrow \bar{U}^\downarrow + U^\uparrow \bar{V}^\uparrow - U^\downarrow \bar{V}^\downarrow \\
 2\gamma(z)\gamma(p) &= V^\uparrow \bar{U}^\uparrow - V^\downarrow \bar{U}^\downarrow - U^\uparrow \bar{V}^\uparrow + U^\downarrow \bar{V}^\downarrow \\
 m\gamma(x + iy) &= V^\uparrow \bar{U}^\downarrow + U^\uparrow \bar{V}^\downarrow, & 2\gamma(x + iy)\gamma(p) &= V^\uparrow \bar{U}^\downarrow - U^\uparrow \bar{V}^\downarrow \\
 m\gamma(x - iy) &= V^\downarrow \bar{U}^\uparrow + U^\downarrow \bar{V}^\uparrow, & 2\gamma(x - iy)\gamma(p) &= V^\downarrow \bar{U}^\uparrow - U^\downarrow \bar{V}^\uparrow
 \end{aligned} \tag{2.73}$$

Montrons maintenant comment l'utilisation conjointe des relations (2.71) et (2.64) permet d'exprimer simplement certains projecteurs au moyen des matrices γ . En additionnant

$$S_+ U^\uparrow \bar{U}^\uparrow = 0, \text{ et } S_+ U^\downarrow \bar{U}^\downarrow = U^\uparrow \bar{U}^\downarrow, \text{ on obtient}$$

$$U^\uparrow \bar{U}^\downarrow = S_+ (U^\uparrow \bar{U}^\uparrow + U^\downarrow \bar{U}^\downarrow) = S_+ [\gamma(p) + m]$$

soit, puisque $\gamma(t) [\gamma(p) + m] = [\gamma(p) + m]$,

$$\boxed{U^\uparrow \bar{U}^\downarrow = \frac{1}{2} \gamma_5 \gamma(x + iy) [\gamma(p) + m]} \tag{2.74}$$

Suivant un procédé similaire, ou bien en opérant la conjugaison hermitique de (2.74), on obtient

$$\boxed{U^\downarrow \bar{U}^\uparrow = \frac{1}{2} \gamma_5 \gamma(x - iy) [\gamma(p) + m]} \tag{2.75}$$

Comme

$$2S_z [U^\uparrow \bar{U}^\uparrow + U^\downarrow \bar{U}^\downarrow] = U^\uparrow \bar{U}^\uparrow - U^\downarrow \bar{U}^\downarrow, \text{ et } U^\uparrow \bar{U}^\uparrow + U^\downarrow \bar{U}^\downarrow = \gamma(p) + m$$

on a

$$2U^{\uparrow,\downarrow} \bar{U}^{\uparrow,\downarrow} = [1 \pm 2S_z] [\gamma(p) + m] \text{ soit au final}$$

$$\boxed{U^{\uparrow,\downarrow} \bar{U}^{\uparrow,\downarrow} = \frac{1}{2} [1 \pm \gamma_5 \gamma(z)] [\gamma(p) + m]} \tag{2.76}$$

2.2.3 Spineurs propres de $S_z = \overrightarrow{\sigma} \cdot \overrightarrow{p} / |\overrightarrow{p}|$

Le lecteur vérifiera¹⁸ que les spineurs (2.67) sont vecteurs propres de la projection du vecteur polarisation (2.69) selon le 4-vecteur z (orthogonal à p) ayant pour composantes

$$z_0 = \frac{p_z}{m}, \quad z_x = \frac{p_z p_x}{m(E+m)}, \quad z_y = \frac{p_z p_y}{m(E+m)}, \quad z_z = 1 + \frac{p_z^2}{m(E+m)} \quad (2.77)$$

et dont la partie spatiale n'est pas colinéaire à \overrightarrow{p} . Pour obtenir une composante de spin S_z correspondant à une projection du spin selon \overrightarrow{p} , il faut préalablement effectuer une rotation amenant l'axe des z selon la direction de ce 3-vecteur. Notant respectivement θ et φ l'angle orbital et l'angle azimutal de \overrightarrow{p} , la matrice 2×2 représentant cette rotation s'écrit

$$\begin{aligned} \mathcal{R}(\theta, \varphi) &= \begin{pmatrix} \cos \frac{\theta}{2} & -\sin \frac{\theta}{2} e^{-i\varphi} \\ \sin \frac{\theta}{2} e^{i\varphi} & \cos \frac{\theta}{2} \end{pmatrix} = \mathcal{R}_z(\varphi) \mathcal{R}_y(\theta) \mathcal{R}_z^{-1}(\varphi) \quad \text{avec} \\ \mathcal{R}_y(\theta) &= \begin{pmatrix} \cos \frac{\theta}{2} & -\sin \frac{\theta}{2} \\ \sin \frac{\theta}{2} & \cos \frac{\theta}{2} \end{pmatrix}, \quad \mathcal{R}_z(\varphi) = \begin{pmatrix} e^{i\varphi/2} & 0 \\ 0 & e^{-i\varphi/2} \end{pmatrix} \end{aligned} \quad (2.78)$$

Il est facile de vérifier que l'on a bien

$$\mathcal{R}(\theta, \varphi) \tau_3 \mathcal{R}^{-1}(\theta, \varphi) = \overrightarrow{u} \cdot \overrightarrow{\tau} \quad (\overrightarrow{u} = \overrightarrow{p}/p, \quad p = \sqrt{E^2 - m^2})$$

La tétrade correspondante s'écrit

$$[p] = \mathcal{H} \mathcal{R}(\theta, \varphi) \quad (2.79)$$

et conduit à

$$\begin{aligned} \tilde{z}(p) &= [p] \tau_3 [p] = \mathcal{H} \overrightarrow{u} \cdot \overrightarrow{\tau} \mathcal{H} = \overrightarrow{u} \cdot \overrightarrow{\tau} \mathcal{H}^2 = \frac{1}{m} \overrightarrow{u} \cdot \overrightarrow{\tau} (E + \overrightarrow{p} \cdot \overrightarrow{\tau}) \quad \text{soit} \\ \tilde{z}(p) &= \frac{1}{m} (p + E \overrightarrow{u} \cdot \overrightarrow{\tau}) \end{aligned} \quad (2.80)$$

Le 4-vecteur $z(p)$ ainsi obtenu a pour composantes

$$z_0 = \frac{p}{m}, \quad \overrightarrow{z} = \frac{E}{m} \overrightarrow{u} \quad (2.81)$$

et sa partie spatiale est colinéaire à \overrightarrow{p} . On a alors

$$\begin{aligned} S_z &= \frac{1}{2m^2} \gamma_5 (p \gamma_0 - E \overrightarrow{u} \cdot \overrightarrow{\gamma}) (E \gamma_0 - \overrightarrow{p} \cdot \overrightarrow{\gamma}) = \frac{1}{2} \gamma_5 \gamma_0 \overrightarrow{u} \cdot \overrightarrow{\gamma} \quad \text{soit} \\ S_z &= \frac{1}{2} \begin{pmatrix} \overrightarrow{u} \cdot \overrightarrow{\tau} & 0_2 \\ 0_2 & \overrightarrow{u} \cdot \overrightarrow{\tau} \end{pmatrix} \equiv \frac{1}{2} \overrightarrow{p} \cdot \overrightarrow{\tau} / p \end{aligned} \quad (2.82)$$

Ce choix de tétrade correspond donc bien à la projection de spin suivant la direction du 3-vecteur \overrightarrow{p} . D'après la formule générale (2.63), et compte tenu de

18. Par exemple, en calculant $\mathcal{H} \tau_3 \mathcal{H}$.

$$\vec{u} \cdot \vec{\tau} \mathcal{R}(\theta, \varphi) = \mathcal{R}(\theta, \varphi) \tau_3 \quad \tau_3 \chi_0^{\uparrow, \downarrow} = \pm \chi_0^{\uparrow, \downarrow}, \quad \chi_0^{\uparrow} = \begin{pmatrix} 1 \\ 0 \end{pmatrix}, \quad \chi_0^{\downarrow} = \begin{pmatrix} 0 \\ 1 \end{pmatrix}$$

$$[p] + [p]^{\dagger -1} = (\mathcal{H} + \mathcal{H}^{-1}) \mathcal{R}(\theta, \varphi) = \sqrt{\frac{2}{m}} \sqrt{E+m} \mathcal{R}(\theta, \varphi),$$

$$[p] - [p]^{\dagger -1} = (\mathcal{H} + \mathcal{H}^{-1}) \mathcal{R}(\theta, \varphi) = \sqrt{\frac{2}{m}} \sqrt{E+m} \Delta \mathcal{R}(\theta, \varphi) \tau_3, \quad \text{avec} \quad \Delta = \sqrt{\frac{E-m}{E+m}}$$

les spineurs propres de type U associés sont donnés par

$$U_{\sigma} = \sqrt{E+m} \begin{pmatrix} \{\mathcal{R}(\theta, \varphi)\}_{\cdot \sigma} \\ 2 \sigma \Delta \{\mathcal{R}(\theta, \varphi)\}_{\cdot \sigma} \end{pmatrix} \quad (2.83)$$

Explicitement,

$$U^{\uparrow} = \sqrt{E+m} \begin{pmatrix} \cos \frac{\theta}{2} \\ \sin \frac{\theta}{2} e^{i\varphi} \\ \Delta \cos \frac{\theta}{2} \\ \Delta \sin \frac{\theta}{2} e^{i\varphi} \end{pmatrix}, \quad U^{\downarrow} = \sqrt{E+m} \begin{pmatrix} -\sin \frac{\theta}{2} e^{-i\varphi} \\ \cos \frac{\theta}{2} \\ \Delta \sin \frac{\theta}{2} e^{-i\varphi} \\ -\Delta \cos \frac{\theta}{2} \end{pmatrix} \quad (2.84)$$

Ces spineurs admettent des limites finies lorsque $m \rightarrow 0$ qui représentent les spineurs d'énergie positive associés à des particules de masse nulle :

$$U_0^{\uparrow} = \sqrt{E} \begin{pmatrix} \cos \frac{\theta}{2} \\ \sin \frac{\theta}{2} e^{i\varphi} \\ \cos \frac{\theta}{2} \\ \sin \frac{\theta}{2} e^{i\varphi} \end{pmatrix}, \quad U_0^{\downarrow} = \sqrt{E} \begin{pmatrix} -\sin \frac{\theta}{2} e^{-i\varphi} \\ \cos \frac{\theta}{2} \\ \sin \frac{\theta}{2} e^{-i\varphi} \\ -\cos \frac{\theta}{2} \end{pmatrix} \quad (2.85)$$

Ils correspondent, le premier, U_0^{\uparrow} , à une particule (de masse nulle) d'hélicité $+\frac{1}{2}$, le second, U_0^{\downarrow} , à une particule (elle aussi de masse nulle) d'hélicité $-\frac{1}{2}$, laquelle particule peut éventuellement être l'anti-particule de la première. Dans le cas des masses nulles, l'hélicité h est un invariant relativiste caractérisant la particule considérée et peut être représentée¹⁹ par l'opérateur $\frac{1}{2}\gamma_5$. On vérifie ici que

$$\gamma_5 U_0^{\uparrow} = +U_0^{\uparrow}, \quad \gamma_5 U_0^{\downarrow} = -U_0^{\downarrow} \quad (2.86)$$

19. ITL, Eq. 7.180.

2.2.4 Expressions “covariantes” des tétrades

Une transformation $\Lambda = \Lambda(A)$ de \mathcal{L}_+^\uparrow peut être regardée comme celle transformant une base d’espace-temps T, X, Y, Z en la base t, x, y, z . On démontre²⁰ que la matrice A de $SL(2, C)$ qui lui correspond (au signe près) peut être exprimée sous la forme

$$A = \frac{1}{2 (\text{Tr } A)^*} \begin{pmatrix} t & \tilde{T} - x & \tilde{X} - y & \tilde{Y} - z \\ \tilde{t} & \tilde{X} - x & \tilde{Y} - y & \tilde{Z} - z \end{pmatrix} \quad (2.87)$$

avec $|\text{Tr } A|^2 = \text{Tr } \Lambda$, et que la matrice $A^{\dagger-1}$ est donnée par :

$$A^{\dagger-1} = \frac{1}{2 \text{Tr } A} \begin{pmatrix} \tilde{T} & \tilde{t} - \tilde{X} & \tilde{Y} - \tilde{Z} \\ \tilde{t} & \tilde{X} - \tilde{Y} & \tilde{Z} - \tilde{Z} \end{pmatrix} \quad (2.88)$$

En posant $\text{Tr } A = \rho e^{i\theta}$ avec $\rho > 0$ et en utilisant (2.62), on trouve alors l’expressions suivante pour la représentation $L(A)$ de $\Lambda(A)$ dans l’espace des spineurs de Dirac²¹ :

$$\begin{aligned} L(A) &= \frac{1}{2\rho} [\cos \theta + i \sin \theta \gamma_5] [\gamma(t) \gamma(T) - \gamma(x) \gamma(X) - \gamma(y) \gamma(Y) - \gamma(z) \gamma(Z)] \\ &= \frac{1}{2\rho} [\cos \theta + i \sin \theta \gamma_5] \gamma^\mu \gamma^\nu \Lambda_{\mu\nu} \end{aligned} \quad (2.89)$$

Le terme en γ_5 de cette expression n’est absent que si $\text{Tr } A$ est réel. Comme

$$2 (\text{Tr } A)^* = \pm \sqrt{4 + (\text{Tr } \Lambda)^2 - \text{Tr}(\Lambda^2) + i \epsilon^{\mu\nu\rho\sigma} \Lambda_{\mu\nu} \Lambda_{\rho\sigma}} \quad (2.90)$$

ceci est réalisé pour toute transformation $\Lambda(A)$ vérifiant $\epsilon^{\mu\nu\rho\sigma} \Lambda_{\mu\nu} \Lambda_{\rho\sigma} = 0$, c’est-à-dire, si ladite transformation est *plane*. C’est le cas pour une transformation de Lorentz pure qui laisse invariants les vecteur d’un 2-plan du genre espace, ou encore celui d’une rotation laissant invariants les vecteurs d’un 2-plan du genre hyperbolique. Dans ce cas, la matrice (2.89) s’écrit simplement

$$L(A) = \frac{1}{2 \text{Tr } A} [\gamma(t) \gamma(T) - \gamma(x) \gamma(X) - \gamma(y) \gamma(Y) - \gamma(z) \gamma(Z)] \quad (2.91)$$

D’après (2.62), on a alors $\text{Tr } L(A) = 2 \text{Tr } A$ (car $\text{Tr } A^{\dagger-1} = (\text{Tr } A^{-1})^* = (\text{Tr } A)^* = \text{Tr } A$) et par suite^{22,23}

$$(\text{Tr } A)^2 = t \cdot T - x \cdot X - y \cdot Y - z \cdot Z \quad (2.92)$$

① Considérons le cas d’une rotation dans le plan (X, Y) pour laquelle $t \equiv T$, $z \equiv Z$ et

$$x = \cos \varphi X + \sin \varphi Y, \quad y = -\sin \varphi X + \cos \varphi Y$$

20. ITL, Eqs. 5.204, 7.23.

21. Voir aussi ITL, §7.3.5.

22. Pour les formules de traces de produits de matrices γ , voir ITL, Section 7.3.

23. Dans la suite, nous faisons le choix $\text{Tr } A > 0$.

Il vient

$$\gamma(x)\gamma(X) = -\cos\varphi + \sin\varphi\gamma(Y)\gamma(X) = -\gamma(y)\gamma(Y), \quad \gamma(t)\gamma(T) = -\gamma(z)\gamma(Z) = 1$$

$$\text{Tr } A = \sqrt{2(1-x \cdot X)} = 2 \cos \frac{\varphi}{2}$$

d'où

$$\boxed{L(A) = R_Z(\varphi) = \frac{1 - \gamma(x)\gamma(X)}{\sqrt{2(1-x \cdot X)}} = \cos \frac{\varphi}{2} + \sin \frac{\varphi}{2} \gamma(X)\gamma(Y)} \quad (2.93)$$

$$= \cos \frac{\varphi}{2} - 2i \sin \frac{\varphi}{2} S_Z(T)$$

Dans la dernière expression, on a fait apparaître le générateur $S_Z(T) = \frac{i}{2}\gamma(X)\gamma(Y)$ de la rotation²⁴. Par celle-ci, un spineur $U_\sigma([T])$ de la tétrade $[T]$ associée à T est transformé en un spineur $U_\sigma([t])$ de la tétrade $[t] = R_Z(\varphi)[T]$ associée à t , tel que

$$U_\sigma([t]) = R_Z(\varphi)U_\sigma([T]) = \left(\cos \frac{\varphi}{2} - 2i\sigma \sin \frac{\varphi}{2}\right) U_\sigma([T]) = e^{-i\sigma\varphi} U_\sigma([T]) \quad (2.94)$$

② Envisageons ensuite une rotation dans le plan (X, Z) pour laquelle $t \equiv T$, $y \equiv Y$ et

$$z = \cos\varphi Z + \sin\varphi X, \quad x = -\sin\varphi Z + \cos\varphi X$$

On a cette fois

$$L(A) = R_Y(\varphi) = \frac{1 - \gamma(z)\gamma(Z)}{\sqrt{2(1-z \cdot Z)}} = \cos \frac{\varphi}{2} + \sin \frac{\varphi}{2} \gamma(Z)\gamma(X) \quad (2.95)$$

$$= \cos \frac{\varphi}{2} - 2i \sin \frac{\varphi}{2} S_Y(T)$$

Comme²⁵

$$S_Y(T)U_\sigma([T]) = i\sigma U_{-\sigma}([T]) \quad (2.96)$$

il vient

$$U_\sigma([t]) = R_Y(\varphi)U_\sigma([T]) = \cos \frac{\varphi}{2} U_\sigma([T]) + 2\sigma \sin \frac{\varphi}{2} U_{-\sigma}([T]) \quad (2.97)$$

En particulier, pour $\varphi = \pi$,

$$\boxed{U_\sigma([t]) = 2\sigma U_{-\sigma}([T]) = (-1)^{\frac{1}{2}-\sigma} U_{-\sigma}([T])} \quad (2.98)$$

où ici $[t] = R_Y(\pi)[T]$.

24. Compte tenu de la relation (2.56) $\gamma_5 = i\gamma(X)\gamma(Y)\gamma(Z)\gamma(T)$ et de (2.70), on a $\gamma(X)\gamma(Y) = -i\gamma(Z)\gamma(T)\gamma_5$.

25. Voir ITL, Eq. 4.35.

③ Dans le cas d'une transformation de Lorentz pure, pour laquelle $x \equiv X$ et $y \equiv Y$ et

$$t = \cosh \alpha T + \sinh \alpha Z, \quad z = \sinh \alpha T + \cosh \alpha Z$$

on a

$$\gamma(t) \gamma(T) = \cosh \alpha + \sinh \alpha \gamma(Z) \gamma(T) = -\gamma(z) \gamma(Z), \quad \gamma(x) \gamma(X) = \gamma(y) \gamma(Y) = -1$$

$$\text{Tr } A = \sqrt{2(1+t \cdot T)} = 2 \cosh \frac{\alpha}{2}$$

et par suite,

$$L(A) = S_{T \rightarrow t} = \frac{1 + \gamma(t) \gamma(T)}{\sqrt{2(1+t \cdot T)}} = \cosh \frac{\alpha}{2} + \sinh \frac{\alpha}{2} \gamma(Z) \gamma(T) \quad (2.99)$$

Montrons que, au signe près, la matrice $\frac{i}{2} \gamma(Z) \gamma(T)$ représente le générateur de cette transformation. Cette dernière laissant X invariant doit appartenir au petit groupe de ce vecteur. Or, l'opérateur de Pauli-Lubanski associé à X est

$$W_\mu(X) = \frac{1}{2} \epsilon_{\mu\alpha\beta\gamma} X^\alpha \sigma^{\beta\gamma} = -\frac{1}{4} [\gamma_\mu, \gamma_\nu] X^\nu \gamma_5$$

et parmi les trois composantes de cet opérateur, celle qui préserve le vecteur Y est

$$N_Y(X) = -Y \cdot W(X) = -\frac{1}{2} \gamma(X) \gamma(Y) \gamma_5 = \frac{i}{2} \gamma(Z) \gamma(T)$$

On peut aussi envisager la transformation comme un élément du petit groupe de Y . Dans ce cas, on trouve pour générateur $N_X(Y) = -N_Y(X)$.

Notant que $\gamma(Z) \gamma(T) = 2S_Z(T) \gamma_5$, la matrice (2.99) transforme le spineur $U_\sigma([T])$ en un spineur $U_\sigma([t])$ associé à la tétrade $[t] = [T \rightarrow t][T]$ et tel que

$$U_\sigma([t]) = S_{T \rightarrow t} U_\sigma([T]) = \cosh \frac{\alpha}{2} U_\sigma([T]) + 2\sigma \sinh \frac{\alpha}{2} V_\sigma([T]) \quad (2.100)$$

2.3 Produits tensoriels de spineurs

Dans leurs modélisations de la structure en quarks des hadrons, certains auteurs ont utilisé des amplitudes du type $T_{\alpha\beta}$ et $T_{\alpha\beta} U_\delta$, où T est un tenseur du deuxième ordre suivant des indices de composantes d'un spineur de Dirac, construit à partir de produits de matrices de Dirac²⁶. Ces formes tensorielles doivent être considérées comme composantes d'éléments des espaces $E \otimes E$ et $E \otimes E \otimes E$ respectivement, E étant l'espace vectoriel à quatre dimensions des spineurs de Dirac. L'objet de cette section est de montrer, à l'instar de ce qui a été fait au paragraphe 3.36 pour les

26. C. H. Llewellyn Smith, Ann. Phys. (N.Y.) 53 (1969) 327; V.L. Chernyak, A.R. Zhitnitsky, Phys. Rep. 112 (1984), 173-318; C. Carimalo, "On the spinor structure of the Proton wave function", J.Math.Phys. 34, (1993), 4930-4963; LPC-92-24 App. B.; G. Eichmann, Dissertation, Université de Graz (2009), arXiv:0909.0703 [hep-ph].

projecteurs de spineurs, comment on peut exprimer ces formes tensorielles au moyen des produits tensoriels de spineurs constituant des bases de ces espaces.

Pour ce faire, nous ferons appel aux formules suivantes²⁷. Introduisons les matrices

$$\mathcal{C} = i\gamma^2\gamma_0 = -\begin{pmatrix} 0_2 & C \\ C & 0_2 \end{pmatrix} \quad \text{et} \quad \Omega_c = -\gamma_5\mathcal{C} = -\mathcal{C}\gamma_5 = \begin{pmatrix} C & 0_2 \\ 0_2 & C \end{pmatrix} \quad (2.101)$$

La matrice Ω_c a pour vertu de transformer les matrices γ en leurs transposées :

$$\Omega_c\gamma_\mu\Omega_c^{-1} = {}^t\gamma_\mu, \quad \Omega_c\gamma_5\Omega_c^{-1} = {}^t\gamma_5 = \gamma_5 \quad (2.102)$$

et est telle que

$$\Omega_c^{-1} = -\Omega_c, \quad {}^t\Omega_c = -\Omega_c, \quad \Omega_c^* = \Omega_c, \quad \Omega_c\gamma_0 = \gamma_0\Omega_c \quad (2.103)$$

Des relations

$$\begin{aligned} U^\uparrow &= \mathcal{C} {}^t\bar{V}^\downarrow = {}^t(\bar{V}^\downarrow \mathcal{C}) = -{}^t(\bar{V}^\downarrow \mathcal{C}), & U^\downarrow &= {}^t(\bar{V}^\uparrow \mathcal{C}) \\ V^\uparrow &= {}^t(\bar{U}^\downarrow \mathcal{C}), & V^\downarrow &= -{}^t(\bar{U}^\uparrow \mathcal{C}) \end{aligned} \quad (2.104)$$

où les spineurs considérés ici sont attachés à la tétrade $[p]$ d'un 4-vecteur p du genre temps pointant vers le futur, on déduit

$$U^\uparrow = -{}^t(\bar{U}^\downarrow \Omega_c), \quad U^\downarrow = {}^t(\bar{U}^\uparrow \Omega_c), \quad V^\uparrow = {}^t(\bar{V}^\downarrow \Omega_c), \quad V^\downarrow = -{}^t(\bar{V}^\uparrow \Omega_c) \quad (2.105)$$

$$\text{soit encore } U^\uparrow_\alpha = -(\bar{U}^\downarrow \Omega_c)_\alpha, \quad U^\downarrow_\alpha = (\bar{U}^\uparrow \Omega_c)_\alpha, \quad V^\uparrow_\alpha = (\bar{V}^\downarrow \Omega_c)_\alpha, \quad V^\downarrow_\alpha = -(\bar{V}^\uparrow \Omega_c)_\alpha$$

2.3.1 Produits tensoriels à 2 spineurs

Posant $W^\uparrow = V^\downarrow$, $W^\downarrow = -V^\uparrow$, considérons les trois matrices

$$\begin{aligned} \Psi^{(+)} &= U^\uparrow \bar{W}^\uparrow = U^\uparrow \bar{V}^\downarrow = -U^\uparrow \bar{U}^\downarrow \gamma_5 = -\frac{1}{\sqrt{2}} [m + \gamma(p)] \gamma(e^{(+)}) \\ \Psi^{(-)} &= U^\downarrow \bar{W}^\downarrow = -U^\downarrow \bar{V}^\uparrow = U^\downarrow \bar{U}^\uparrow \gamma_5 = -\frac{1}{\sqrt{2}} [m + \gamma(p)] \gamma(e^{(-)}) \\ \Psi^{(0)} &= \frac{1}{\sqrt{2}} [U^\uparrow \bar{W}^\downarrow + U^\downarrow \bar{W}^\uparrow] = -\frac{1}{\sqrt{2}} [U^\uparrow \bar{V}^\uparrow - U^\downarrow \bar{V}^\downarrow] = \frac{1}{\sqrt{2}} [U^\uparrow \bar{U}^\uparrow - U^\downarrow \bar{U}^\downarrow] \gamma_5 \\ &= \frac{1}{\sqrt{2}} [m + \gamma(p)] \gamma(z) \end{aligned} \quad (2.106)$$

où $e^{(\pm)} = \mp \frac{1}{\sqrt{2}}(x \pm iy)$. Il est facile de montrer qu'elles forment une représentation de $\tilde{\mathcal{L}}_+^\uparrow$ de spin 1. En effet, par transformation de Lorentz, chacune d'elle devient

$$\mathcal{L}(A)[\Psi(p)] = L(A) \Psi(A^{-1}p) L(A)^{-1} \quad (2.107)$$

27. ITL, §7.4.3.

ce qui implique notamment que l'action sur ces matrices du représentant de la composante de spin suivant z est donnée par²⁸

$$\mathcal{S}_z[\Psi(p)] = [S_z, \Psi(p)] \quad (2.108)$$

Comme $S_z U_\sigma = \sigma U_\sigma$ et que

$$\overline{W}^\uparrow S_z = -\frac{1}{2} \overline{W}^\uparrow, \quad \overline{W}^\downarrow S_z = +\frac{1}{2} \overline{W}^\downarrow \quad (2.109)$$

on trouve aisément que

$$\mathcal{S}_z[\Psi^{(+)}(p)] = +\Psi^{(+)}(p), \quad \mathcal{S}_z[\Psi^{(0)}(p)] = 0, \quad \mathcal{S}_z[\Psi^{(-)}(p)] = -\Psi^{(-)}(p) \quad (2.110)$$

Les trois matrices en question peuvent ainsi servir de base pour décrire un système particule-antiparticule de spin 1. Quant à la matrice

$$\frac{1}{\sqrt{2}} [U^\uparrow \overline{W}^\downarrow - U^\downarrow \overline{W}^\uparrow] = \frac{1}{\sqrt{2}} [m + \gamma(p)] \gamma_5 \quad (2.111)$$

qui commute avec tous les opérateurs de spin $S_k(p)$, elle peut représenter, du point de vue du contenu en spin, un système quark-antiquark de spin 0.

De (2.64) et (2.105), on tire les formules suivantes²⁹.

$$\begin{aligned} (1 \times \Omega_c)_{\alpha\beta} &= \frac{1}{2m} \left[(U^\uparrow \overline{U}^\uparrow + U^\downarrow \overline{U}^\downarrow - V^\uparrow \overline{V}^\uparrow - V^\downarrow \overline{V}^\downarrow) \Omega_c \right]_{\alpha\beta} \quad \text{soit} \\ [\Omega_c]_{\alpha\beta} &= \frac{1}{2m} [U^\uparrow U^\downarrow - U^\downarrow U^\uparrow + V^\uparrow V^\downarrow - V^\downarrow V^\uparrow]_{\alpha\beta} \end{aligned} \quad (2.112)$$

Puis, successivement,

$$\begin{aligned} [\gamma(p) \Omega_c]_{\alpha\beta} &= \frac{1}{2} [U^\uparrow U^\downarrow - U^\downarrow U^\uparrow - V^\uparrow V^\downarrow + V^\downarrow V^\uparrow]_{\alpha\beta} \\ [\gamma_5 \Omega_c]_{\alpha\beta} &= \frac{1}{2} [V^\uparrow U^\downarrow - V^\downarrow U^\uparrow + U^\uparrow V^\downarrow - U^\downarrow V^\uparrow]_{\alpha\beta} \\ [\gamma_5 \gamma(p) \Omega_c]_{\alpha\beta} &= \frac{1}{2} [V^\uparrow U^\downarrow - V^\downarrow U^\uparrow - U^\uparrow V^\downarrow + U^\downarrow V^\uparrow]_{\alpha\beta} \\ [(m + \gamma(p)) \Omega_c]_{\alpha\beta} &= [U^\uparrow U^\downarrow - U^\downarrow U^\uparrow]_{\alpha\beta} \end{aligned} \quad (2.113)$$

Utilisant les formules³⁰

$$\begin{aligned} \overline{U}^{\uparrow,\downarrow} \gamma_\mu U^{\uparrow,\downarrow} &= 2 p_\mu, \quad \overline{U}^{\uparrow,\downarrow} \gamma_\mu U^{\downarrow,\uparrow} = 0, \quad \overline{U}^{\uparrow,\downarrow} \gamma_\mu V^{\uparrow,\downarrow} = \pm 2 m z_\mu, \\ \overline{U}^{\uparrow,\downarrow} \gamma_\mu V^{\downarrow,\uparrow} &= \mp m \sqrt{2} e_\mu^{(\mp)} \end{aligned} \quad (2.114)$$

on déduit ($t_\mu = p_\mu/m$)

28. Notons ici que la définition des composantes de spin via l'opérateur de Pauli-Lubanski a pour vertu d'exclure de cette définition toute partie "orbitale" d'un moment cinétique, conférant ainsi au spin une valeur "intrinsèque". Ainsi, si l'on cherche à passer de (2.107) à (2.108) en considérant une transformation de Lorentz infinitésimale, on ne doit pas tenir compte du terme impliquant les dérivées partielles de Ψ par rapport aux composantes de p , terme dont l'apparition est usuellement attribuée à un moment cinétique "orbital".

29. Pour la clarté des formules, nous ommettons le symbole \otimes des produits tensoriels.

30. Que l'on obtient à partir des formules du paragraphe 3.36 en calculant des traces, par exemple, $\overline{U}^{\uparrow,\downarrow} \gamma_\mu U^{\uparrow,\downarrow} = \text{Tr} U^{\uparrow,\downarrow} \overline{U}^{\uparrow,\downarrow} \gamma_\mu$.

$$\begin{aligned}
 2m \gamma_\mu &= t_\mu \left\{ U^\uparrow \bar{U}^\uparrow + U^\downarrow \bar{U}^\downarrow + V^\uparrow \bar{V}^\uparrow + V^\downarrow \bar{V}^\downarrow \right\} + \\
 &\quad - z_\mu \left\{ U^\uparrow \bar{V}^\uparrow - U^\downarrow \bar{V}^\downarrow + V^\uparrow \bar{U}^\uparrow - V^\downarrow \bar{U}^\downarrow \right\} + \quad (2.115)
 \end{aligned}$$

$$\begin{aligned}
 &+ \sqrt{2} e_\mu^{(+)} \left\{ V^\downarrow \bar{U}^\uparrow + U^\downarrow \bar{V}^\uparrow \right\} - \sqrt{2} e_\mu^{(-)} \left\{ U^\uparrow \bar{V}^\downarrow + V^\uparrow \bar{U}^\downarrow \right\} \\
 2m (\gamma_\mu \Omega_c)_{\alpha\beta} &= t_\mu \left\{ U^\uparrow U^\downarrow - U^\downarrow U^\uparrow - V^\uparrow V^\downarrow + V^\downarrow V^\uparrow \right\}_{\alpha\beta} + \\
 &\quad - z_\mu \left\{ V^\uparrow U^\downarrow + V^\downarrow U^\uparrow - U^\uparrow V^\downarrow - U^\downarrow V^\uparrow \right\}_{\alpha\beta} + \quad (2.116) \\
 &+ \sqrt{2} e_\mu^{(+)} \left\{ V^\downarrow U^\downarrow - U^\downarrow V^\downarrow \right\}_{\alpha\beta} - \sqrt{2} e_\mu^{(-)} \left\{ U^\uparrow V^\uparrow - V^\uparrow U^\uparrow \right\}_{\alpha\beta}
 \end{aligned}$$

$$\gamma_\mu U^\uparrow = t_\mu U^\uparrow - z_\mu V^\uparrow + \sqrt{2} e_\mu^{(+)} V^\downarrow \quad (2.117)$$

$$\begin{aligned}
 m \left\{ \gamma(e^{(+)}) \Omega_c \right\}_{\alpha\beta} &= -\frac{1}{\sqrt{2}} \left\{ U^\uparrow V^\uparrow - V^\uparrow U^\uparrow \right\}_{\alpha\beta} \\
 m \left\{ \gamma(e^{(-)}) \Omega_c \right\}_{\alpha\beta} &= -\frac{1}{\sqrt{2}} \left\{ U^\downarrow V^\downarrow - V^\downarrow U^\downarrow \right\}_{\alpha\beta} \quad (2.118)
 \end{aligned}$$

Le développement (2.115) permet d'obtenir le commutateur :

$$\begin{aligned}
 m [\gamma_\mu, \gamma_\nu] &= -\{t_\mu z_\nu - z_\mu z_\nu\} \left\{ U^\uparrow \bar{V}^\uparrow - U^\downarrow \bar{V}^\downarrow - V^\uparrow \bar{U}^\uparrow + V^\downarrow \bar{U}^\downarrow \right\} + \\
 &\quad -\sqrt{2} \left\{ t_\mu e_\nu^{(+)} - t_\nu e_\mu^{(+)} \right\} \left\{ V^\downarrow \bar{U}^\uparrow - U^\downarrow \bar{V}^\uparrow \right\} + \\
 &\quad +\sqrt{2} \left\{ t_\mu e_\nu^{(-)} - t_\nu e_\mu^{(-)} \right\} \left\{ V^\uparrow \bar{U}^\downarrow - U^\uparrow \bar{V}^\downarrow \right\} \\
 &\quad -\sqrt{2} \left\{ z_\mu e_\nu^{(+)} - z_\nu e_\mu^{(+)} \right\} \left\{ U^\downarrow \bar{U}^\uparrow - V^\downarrow \bar{V}^\uparrow \right\} + \quad (2.119) \\
 &\quad +\sqrt{2} \left\{ z_\mu e_\nu^{(-)} - z_\nu e_\mu^{(-)} \right\} \left\{ V^\uparrow \bar{V}^\downarrow - U^\uparrow \bar{U}^\downarrow \right\} + \\
 &\quad -\left\{ e_\mu^{(+)} e_\nu^{(-)} - e_\nu^{(+)} e_\mu^{(-)} \right\} \left\{ U^\uparrow \bar{U}^\uparrow + V^\downarrow \bar{V}^\downarrow - U^\downarrow \bar{U}^\downarrow - V^\uparrow \bar{V}^\uparrow \right\}
 \end{aligned}$$

d'où

$$\begin{aligned}
 \frac{1}{2} [\gamma_\mu, \gamma_\nu] U^\uparrow &= \{t_\mu z_\nu - t_\nu z_\mu\} V^\uparrow - \left\{ e_\mu^{(+)} e_\nu^{(-)} - e_\nu^{(+)} e_\mu^{(-)} \right\} U^\uparrow + \\
 &\quad -\sqrt{2} \left\{ t_\mu e_\nu^{(+)} - t_\nu e_\mu^{(+)} \right\} V^\downarrow - \sqrt{2} \left\{ z_\mu e_\nu^{(+)} - z_\nu e_\mu^{(+)} \right\} U^\downarrow \quad (2.120)
 \end{aligned}$$

et

$$\begin{aligned}
 [\gamma_\mu, \gamma(p)] &= z_\mu \left\{ U^\uparrow \bar{V}^\uparrow - U^\downarrow \bar{V}^\downarrow - V^\uparrow \bar{U}^\uparrow + V^\downarrow \bar{U}^\downarrow \right\} + \\
 &\quad +\sqrt{2} e_\mu^{(+)} \left\{ V^\downarrow \bar{U}^\uparrow - U^\downarrow \bar{V}^\uparrow \right\} - \sqrt{2} e_\mu^{(-)} \left\{ V^\uparrow \bar{U}^\downarrow - U^\uparrow \bar{V}^\downarrow \right\} \quad (2.121)
 \end{aligned}$$

Toutes ces formules indiquent que, comme il se doit, les éléments d'une quelconque matrice 4×4 , peuvent être exprimés au moyen des tenseurs-spineurs de rang deux : UU , UV , VU et VV .

2.3.2 Produits tensoriels à 3 spineurs ³¹

A partir des formules précédentes, il est facile d'établir les suivantes concernant des tenseurs-spineurs de rang trois.

$$\begin{aligned}
 2m \{ \gamma_\mu \Omega_c \}_{\alpha\beta} \{ \gamma_\mu U^\dagger \}_\delta &= \{ U^\dagger U^\downarrow - U^\downarrow U^\dagger - V^\dagger V^\downarrow + V^\downarrow V^\dagger \}_{\alpha\beta} U^\dagger_\delta \\
 &\quad - \{ V^\dagger U^\downarrow - U^\downarrow V^\dagger - U^\dagger V^\downarrow + V^\downarrow U^\dagger \}_{\alpha\beta} V^\dagger_\delta + \\
 &\quad + 2 \{ V^\dagger U^\dagger - U^\dagger V^\dagger \}_{\alpha\beta} V^\downarrow_\delta
 \end{aligned} \tag{2.122}$$

$$\begin{aligned}
 \{ \bar{\sigma}_{\mu\nu} p^\nu \Omega_c \}_{\alpha\beta} \{ \gamma^\mu U^\dagger \}_\delta &= \{ U^\dagger V^\dagger + V^\dagger U^\dagger \}_{\alpha\beta} V^\downarrow_\delta + \\
 &\quad - \frac{1}{2} \{ U^\dagger V^\downarrow + U^\downarrow V^\dagger + V^\dagger U^\downarrow + V^\downarrow U^\dagger \}_{\alpha\beta} V^\dagger_\delta
 \end{aligned} \tag{2.123}$$

$$\begin{aligned}
 \{ \gamma_5 \bar{\sigma}_{\mu\nu} p^\nu \Omega_c \}_{\alpha\beta} \{ \gamma_5 \gamma^\mu U^\dagger \}_\delta &= \{ V^\dagger V^\dagger + U^\dagger U^\dagger \}_{\alpha\beta} U^\downarrow_\delta + \\
 &\quad - \frac{1}{2} \{ U^\dagger U^\downarrow + U^\downarrow U^\dagger + V^\dagger V^\downarrow + V^\downarrow V^\dagger \}_{\alpha\beta} U^\dagger_\delta
 \end{aligned} \tag{2.124}$$

$$\begin{aligned}
 \{ \gamma_\mu \Omega_c \}_{\alpha\beta} \{ \bar{\sigma}_{\mu\nu} p^\nu U^\dagger \}_\delta &= \{ V^\dagger U^\dagger - U^\dagger V^\dagger \}_{\alpha\beta} V^\downarrow_\delta + \\
 &\quad + \frac{1}{2} \{ U^\dagger V^\downarrow + U^\downarrow V^\dagger - V^\dagger U^\downarrow - V^\downarrow U^\dagger \}_{\alpha\beta} V^\dagger_\delta
 \end{aligned} \tag{2.125}$$

$$\begin{aligned}
 (\gamma_5 \gamma_\mu \Omega_c)_{\alpha\beta} \{ \gamma_5 \bar{\sigma}_{\mu\nu} p^\nu U^\dagger \}_\delta &= \{ U^\dagger U^\dagger - V^\dagger V^\dagger \}_{\alpha\beta} U^\downarrow_\delta + \\
 &\quad + \frac{1}{2} \{ V^\dagger V^\downarrow + V^\downarrow V^\dagger - U^\dagger U^\downarrow - U^\downarrow U^\dagger \}_{\alpha\beta} U^\dagger_\delta
 \end{aligned} \tag{2.126}$$

$$\begin{aligned}
 -m \{ \bar{\sigma}_{\mu\nu} \Omega_c \}_{\alpha\beta} \{ \bar{\sigma}^{\mu\nu} U^\dagger \}_\delta &= \{ U^\dagger U^\downarrow + U^\downarrow U^\dagger + V^\dagger V^\downarrow + V^\downarrow V^\dagger \}_{\alpha\beta} U^\dagger_\delta + \\
 &\quad + \{ U^\dagger V^\downarrow + U^\downarrow V^\dagger + V^\dagger U^\downarrow + V^\downarrow U^\dagger \}_{\alpha\beta} V^\dagger_\delta + \\
 &\quad - 2 \{ U^\dagger U^\dagger + V^\dagger V^\dagger \}_{\alpha\beta} U^\downarrow_\delta - 2 \{ V^\dagger U^\dagger + U^\dagger V^\dagger \}_{\alpha\beta} V^\downarrow_\delta
 \end{aligned} \tag{2.127}$$

où l'on a posé $\bar{\sigma}_{\mu\nu} = [\gamma_\mu, \gamma_\nu]/2$. On peut ainsi exprimer à l'aide des tenseurs de rang trois construits à partir des spineurs U et V toute forme du type $(M \Omega_c)_{\alpha\beta} (M' U)_\delta$ où M et M' sont des matrices de la base des 16 matrices de Dirac 1, γ_5 , γ_μ , $\gamma_\mu \gamma_5$, $\sigma_{\mu\nu} = \frac{i}{4} [\gamma_\mu, \gamma_\nu]$. Il est évident que le nombre de telles formes étant limité à 64, elles ne sont pas toutes indépendantes. On trouve par exemple la relation :

$$\begin{aligned}
 \{ \gamma_5 \bar{\sigma}_{\mu\nu} p^\mu \Omega_c \}_{\alpha\beta} \{ \gamma_5 \gamma^\nu U^\dagger \}_\delta + \{ \bar{\sigma}_{\mu\nu} p^\mu \Omega_c \}_{\alpha\beta} \{ \gamma^\nu U^\dagger \}_\delta \\
 = -\frac{m}{2} \{ \bar{\sigma}_{\mu\nu} \Omega_c \}_{\alpha\beta} \{ \bar{\sigma}^{\mu\nu} U^\dagger \}_\delta
 \end{aligned} \tag{2.128}$$

Inversement, tout tenseur de rang trois peut être exprimé au moyen de telles formes. Par exemple, le tenseur complètement symétrique

$$\mathcal{S} = \frac{1}{\sqrt{18}} \{ (V^\dagger V^\downarrow + V^\downarrow V^\dagger) U^\dagger + (U^\dagger V^\downarrow + V^\downarrow U^\dagger) V^\dagger +$$

31. V. Bargmann, E.P. Wigner, Proc. Nat. Acad. Sc. (USA) 34, 211 (1948); W. Rarita, J. Schwinger, Phys. Rev. 60, 61 (1941); M. D. Nykerk, "Quantizing spin 3/2 fields", rapport NIKHEF-95-002 (Jan. 1995); I. Lovas, K. Sailer, W. Greiner, "Generalized Rarita-Schwinger equations", Heavy Ion Physics 8 (1998) 237-245.

$$+ (V^\dagger U^\dagger + U^\dagger V^\dagger) V^\downarrow - 2U^\downarrow V^\dagger V^\dagger - 2V^\dagger U^\downarrow V^\dagger - 2V^\dagger V^\dagger U^\downarrow \} \quad (2.129)$$

et le tenseur complètement antisymétrique

$$\begin{aligned} \mathcal{A} = \frac{1}{\sqrt{6}} \{ & (U^\dagger V^\downarrow - V^\downarrow U^\dagger) V^\dagger - (V^\dagger V^\downarrow - V^\downarrow V^\dagger) U^\dagger + \\ & + (V^\dagger U^\dagger - U^\dagger V^\dagger) V^\downarrow \} \end{aligned} \quad (2.130)$$

s'expriment aussi comme

$$\begin{aligned} \mathcal{S}_{\alpha\beta\delta} &= \frac{2}{\sqrt{3}} \left\{ (\bar{\sigma}_{\mu\nu} p^\nu \Omega_c)_{\alpha\beta} (\gamma^\mu U^\dagger)_\delta + (\gamma^\mu \Omega_c \gamma_5)_{\alpha\beta} (\gamma_5 \bar{\sigma}_{\mu\nu} p^\nu U^\dagger)_\delta \right\} \\ \mathcal{A}_{\alpha\beta\delta} &= \frac{m}{\sqrt{6}} \left\{ (\gamma^\mu \Omega_c)_{\alpha\beta} (\gamma_\mu U^\dagger)_\delta - (\Omega_c)_{\alpha\beta} U^\dagger_\delta + (\gamma_5 \Omega_c)_{\alpha\beta} (\gamma_5 U^\dagger)_\delta \right\} \end{aligned} \quad (2.131)$$

2.4 Complément I : Amplitudes spinorielles de spin 1 et 4-potentiel³²

Il nous paraît opportun de préciser ici le lien entre la description des états d'une particule de spin 1 au moyen d'amplitudes spinorielles et celle, plus courante, à l'aide d'un 4-vecteur, appelé 4-potentiel en Electromagnétisme, s'agissant dans ce cas du photon.

☞ Pour commencer, nous supposons que la particule considérée a une masse m non nulle. Du point de vue du groupe de Poincaré, les états de cette particule appartiennent à une représentation irréductible $[m, 1, \eta]$ de ce groupe (η est la parité de la particule). L'état correspondant à une 4-impulsion donnée p et à une valeur propre σ de la composante de spin suivant un 4-vecteur $z(p)$ associé à p dans une tétrade $[p]$, est noté $|[p], \sigma\rangle$, σ pouvant prendre les valeurs $-1, 0$ ou 1 (voir Eq. 1.31 et suivantes). L'ensemble des vecteurs $|[p], \sigma\rangle$ pour différentes valeurs de p et de σ formant une base de l'espace des états de la particule³³, un état quelconque $|\phi\rangle$ de celle-ci est complètement déterminé par la donnée des amplitudes indépendantes :

$$\phi_\sigma([p]) = \langle \sigma, [p] | \phi \rangle \quad (2.132)$$

Comme signalé au paragraphe 1.3.1, les états $|[p], \sigma\rangle$ dépendent du choix de la tétrade $[p]$. Le changement de tétrade $[p] \rightarrow [p]'$ modifie les amplitudes (2.132) de la façon suivante³⁴ :

$$\phi_{\sigma'}([p]') = \mathcal{D}_{\sigma'\sigma}^1([p]'^\dagger [p]^\dagger)^{-1} \phi_\sigma([p]) = \mathcal{D}_{\sigma'\sigma}^1([p]'^{-1} [p]) \phi_\sigma([p]) \quad (2.133)$$

la sommation sur l'indice σ étant implicite. On montre que les amplitudes

$$\varphi_\sigma(p) = \mathcal{D}_{\sigma\sigma'}^1([p]) \phi_{\sigma'}([p]) \quad \text{et} \quad \hat{\varphi}_\sigma(p) = \mathcal{D}_{\sigma\sigma'}^1([p]^\dagger)^{-1} \phi_{\sigma'}([p]) \quad (2.134)$$

(avec sommation sur σ') sont indépendantes du choix de tétrade : ce sont les amplitudes spinorielles attachées à l'état $|\phi\rangle$. Les deux types d'amplitudes ne peuvent être indépendants car, la valeur de p étant fixée, il ne doit y avoir que $2s + 1 = 3$ amplitudes indépendantes. De fait, les amplitudes spinorielles sont liées entre elles par un système d'équations analogue à l'équation de Dirac :

$$\begin{aligned} \varphi_\sigma(p) &= \mathcal{D}_{\sigma\sigma'}^1(\underline{t}) \hat{\varphi}_{\sigma'}(p) \quad \text{et} \quad \hat{\varphi}_\sigma(p) = \mathcal{D}_{\sigma\sigma'}^1(\tilde{t}) \varphi_{\sigma'}(p) \\ \text{avec } t &= p/m, \quad \underline{t} = [p][p]^\dagger = t_0 + \vec{t} \cdot \vec{\tau}, \quad \tilde{t} = \underline{t}^{-1} = t_0 - \vec{t} \cdot \vec{\tau} \end{aligned} \quad (2.135)$$

Par une transformation (a, A) du groupe de Poincaré restreint, on a

$$\begin{aligned} {}^{(a,A)}\phi_\sigma([p]) &= e^{ia \cdot p} \mathcal{D}_{\sigma\sigma'}^1([p]^{-1} A [A^{-1}p]) \phi_{\sigma'}([A^{-1}p]) \\ {}^{(a,A)}\varphi_\sigma(p) &= e^{ia \cdot p} \mathcal{D}_{\sigma\sigma'}^1(A) \varphi_{\sigma'}(A^{-1}p), \quad {}^{(a,A)}\hat{\varphi}_\sigma(p) = e^{ia \cdot p} \mathcal{D}_{\sigma\sigma'}^1(A^\dagger)^{-1} \hat{\varphi}_{\sigma'}(A^{-1}p) \end{aligned} \quad (2.136)$$

Introduisant les vecteurs unicolonnes

$$\psi([p]) = \begin{pmatrix} \phi_1([p]) \\ \phi_0([p]) \\ \phi_{-1}([p]) \end{pmatrix}, \quad \varphi(p) = \begin{pmatrix} \varphi_1(p) \\ \varphi_0(p) \\ \varphi_{-1}(p) \end{pmatrix}, \quad \hat{\varphi}(p) = \begin{pmatrix} \hat{\varphi}_1(p) \\ \hat{\varphi}_0(p) \\ \hat{\varphi}_{-1}(p) \end{pmatrix} \quad (2.137)$$

32. P. Moussa, R. Stora, loc.cit, p285.

33. Pour simplifier, nous passons ici sous silence l'existence possible d'autres nombres quantiques définissant complètement la particule.

34. $R = [p]'^\dagger [p]^\dagger{}^{-1}$ étant une matrice de rotation du petit groupe de p , on a $R = R^{\dagger-1} = [p]'^{-1} [p]$.

les formules (2.133), (2.134), (2.135) et (2.136) peuvent être réécrites sous forme matricielle :

$$\begin{aligned}
 \psi([p]') &= \mathcal{D}^1([p]'^{-1}[p]) \psi([p]) \\
 \varphi(p) &= \mathcal{D}^1([p]) \psi([p]), \quad \widehat{\varphi}(p) = \mathcal{D}^1([p]^{\dagger-1}) \psi([p]) \\
 \varphi(p) &= \mathcal{D}^1(\underset{\sim}{t}) \widehat{\varphi}(p), \quad \widehat{\varphi}(p) = \mathcal{D}^1(\underset{\sim}{t}) \varphi(p) \\
 {}^{(a,A)}\psi([p]) &= e^{ia \cdot p} \mathcal{D}^1([p]^{-1}A[A^{-1}p]) \psi([A^{-1}p]) \\
 {}^{(a,A)}\varphi(p) &= e^{ia \cdot p} \mathcal{D}^1(A) \varphi(A^{-1}p), \quad {}^{(a,A)}\widehat{\varphi}(p) = e^{ia \cdot p} \mathcal{D}^1(A^{\dagger-1}) \widehat{\varphi}(A^{-1}p)
 \end{aligned} \tag{2.138}$$

Donnons ici explicitement l'expression de la matrice $\mathcal{D}^1(M)$ où M est une matrice de $SL(2, C)$:

$$M = \begin{pmatrix} \alpha & \beta \\ \gamma & \delta \end{pmatrix} \longrightarrow \mathcal{D}^1(M) = \begin{pmatrix} \alpha^2 & \sqrt{2} \alpha \beta & \beta^2 \\ \sqrt{2} \alpha \gamma & \alpha \delta + \beta \gamma & \sqrt{2} \beta \delta \\ \gamma^2 & \sqrt{2} \gamma \delta & \delta^2 \end{pmatrix} \tag{2.139}$$

Il est connu que la relation matricielle $\psi' = \mathcal{D}^1(M) \psi$, où ψ et ψ' sont des vecteurs à trois composantes et M une matrice 2×2 inversible, peut être transcrite en termes de matrices 2×2 . Représentons en effet ψ et ψ' par les matrices

$$\begin{aligned}
 \Psi &= \begin{pmatrix} \psi_0 & -\sqrt{2} \psi_1 \\ \sqrt{2} \psi_{-1} & -\psi_0 \end{pmatrix}, \quad \Psi' = \begin{pmatrix} \psi'_0 & -\sqrt{2} \psi'_1 \\ \sqrt{2} \psi'_{-1} & -\psi'_0 \end{pmatrix}; \quad \text{on a alors} \\
 \Psi' &= M \Psi M^{-1}
 \end{aligned} \tag{2.140}$$

En représentant les vecteurs $\psi([p])$, $\phi(p)$ et $\widehat{\varphi}(p)$ par les matrices

$$\begin{aligned}
 \Psi &= \begin{pmatrix} \phi_0 & -\sqrt{2} \phi_1 \\ \sqrt{2} \phi_{-1} & -\phi_0 \end{pmatrix}, \\
 \Phi &= \begin{pmatrix} \varphi_0 & -\sqrt{2} \varphi_1 \\ \sqrt{2} \varphi_{-1} & -\varphi_0 \end{pmatrix}, \quad \widehat{\Phi} = \begin{pmatrix} \widehat{\varphi}_0 & -\sqrt{2} \widehat{\varphi}_1 \\ \sqrt{2} \widehat{\varphi}_{-1} & -\widehat{\varphi}_0 \end{pmatrix},
 \end{aligned} \tag{2.141}$$

respectivement, les équations (2.133), (2.134), (2.135) et (2.136) prennent la forme³⁵ :

$$\begin{aligned}
 \Psi([p]') &= [p]'^{-1}[p] \Psi([p]) [p]^{\dagger} [p]'^{\dagger-1} \\
 \Phi(p) &= [p] \Psi([p]) [p]^{-1}, \quad \widehat{\Phi}(p) = [p]^{\dagger-1} \Psi([p]) [p]^{\dagger} \\
 \Phi(p) &= \underset{\sim}{t} \widehat{\Phi}(p) \underset{\sim}{t} \quad \text{ou} \quad \Phi(p) \underset{\sim}{t} = \underset{\sim}{t} \widehat{\Phi}(p) \\
 {}^{(a,A)}\Psi([p]) &= e^{ia \cdot p} [p]^{-1}A[A^{-1}p] \Psi([A^{-1}p]) [A^{-1}p]^{\dagger} A^{\dagger} [p]^{\dagger-1} \\
 {}^{(a,A)}\Phi(p) &= e^{ia \cdot p} A \Phi(A^{-1}p) A^{-1}, \quad {}^{(a,A)}\widehat{\Phi}(p) = e^{ia \cdot p} A^{\dagger-1} \widehat{\Phi}(A^{-1}p) A^{\dagger}
 \end{aligned} \tag{2.142}$$

Les matrices (2.141) peuvent aussi s'écrire sous forme "cartésienne" ; on a par exemple

³⁵. A la quatrième ligne, on tient compte du fait que $R_W = [p]^{-1}A[A^{-1}p]$ est une matrice de rotation : $R_W^{-1} = R_W^{\dagger} = [A^{-1}p]^{\dagger} A^{\dagger} [p]^{\dagger-1}$.

$$\Psi = \underline{V} = V^0 + \vec{V} \cdot \vec{\tau} \quad \text{avec} \quad (2.143)$$

$$V^0 = 0, \quad V^1 = V_x = \frac{\psi_{-1} - \psi_1}{\sqrt{2}}, \quad V^2 = V_y = -i \frac{\psi_{-1} + \psi_1}{\sqrt{2}}, \quad V^3 = V_z = \psi_0$$

La première des relations (2.142) montre que la matrice

$$\underline{\mathcal{A}} = \mathcal{A}^0 + \vec{\mathcal{A}} \cdot \vec{\tau} = [p] \Psi([p]) [p]^\dagger \quad (2.144)$$

est manifestement indépendante du choix de la tétrade $[p]$, tandis que la quatrième de ces relations donne sa loi de transformation :

$${}^{(a,A)}\underline{\mathcal{A}}(p) = e^{ia \cdot p} A \underline{\mathcal{A}}(A^{-1}p) A^\dagger \quad (2.145)$$

de laquelle on déduit que les quatre grandeurs $\mathcal{A}^0, \mathcal{A}^k$ ($k = 1, 2, 3$) se transforment bien comme les composantes contravariantes d'un champ de 4-vecteurs $\mathcal{A}(p)$. Notons

$$e^{(0)}([p]) \equiv z, \quad e^{(\pm)}([p]) \equiv \mp \frac{1}{\sqrt{2}} (x \pm iy) \quad (2.146)$$

la base de tri-vecteurs associés à $t = p/m$ dans la tétrade $[p]$. Comme

$$\begin{aligned} \Psi &= \phi_0 \tau_3 - \sqrt{2} \phi_1 \frac{1}{2} [\tau_1 + i\tau_2] + \sqrt{2} \frac{1}{2} \phi_{-1} [\tau_1 - i\tau_2] \\ \text{et que} \quad [p] \tau_3 [p]^\dagger &= \underline{e}^{(0)}([p]), \quad \mp [p] \frac{1}{\sqrt{2}} [\tau_1 \pm i\tau_2] [p]^\dagger = \underline{e}^{(\pm)}([p]), \end{aligned} \quad (2.147)$$

les composantes covariantes du 4-vecteur \mathcal{A} s'expriment donc sous la forme

$$\mathcal{A}_\mu(p) = \sum_{\lambda=\pm 1,0} e_\mu^{(\lambda)}([p]) \phi_\lambda([p]) \quad (2.148)$$

montrant, d'une part, que ce 4-vecteur contient toutes les informations caractérisant l'état $|\phi\rangle$ et, d'autre part, qu'il est *orthogonal* à p :

$$p_\mu \mathcal{A}^\mu(p) = 0 \quad (2.149)$$

C'est le 4-vecteur "4-potentiel" recherché dont l'utilisation pour décrire les états de spin de la particule de spin 1 est équivalente à celle fournie par les amplitudes spinorielles. A partir de là, on peut définir les tenseurs antisymétriques usuels, duaux l'un vis-à-vis de l'autre et orthogonaux à p ³⁶ :

$$F_{\mu\nu} = -i (p_\mu \mathcal{A}_\nu - p_\nu \mathcal{A}_\mu), \quad G_{\mu\nu} = \frac{1}{2} \epsilon_{\mu\nu\rho\sigma} F^{\rho\sigma} = -i \epsilon_{\mu\nu\alpha\beta} p^\alpha \mathcal{A}^\beta \quad (2.150)$$

36. A noter que le tenseur $F_{\mu\nu}(p) = -i [p_\mu \mathcal{A}_\nu - p_\nu \mathcal{A}_\mu]$ équivaut au tenseur $F_{\mu\nu} = \partial_\mu \mathcal{A}_\nu - \partial_\nu \mathcal{A}_\mu$ dans le cas d'une onde plane $\mathcal{A}_\mu(x) = e^{-ip \cdot x} \mathcal{A}_\mu(p)$.

et de plus *invariants de jauge*, c'est-à-dire, insensibles à la *transformation de jauge* consistant à effectuer le changement :

$$\boxed{\mathcal{A}_\mu \longrightarrow \mathcal{A}_\mu + c p_\mu} \quad (2.151)$$

c étant un nombre quelconque. Dans le cas où \mathcal{A} est bien orthogonal à p , on a, inversement,

$$\mathcal{A}_\mu = -\frac{i}{2m^2} \epsilon_{\mu\nu\alpha\beta} p^\nu G^{\alpha\beta} \quad (2.152)$$

et dans ce cas, on a aussi les relations

$$\underset{\sim}{\mathcal{A}}(p) = \underset{\sim}{\Phi}(p) \underset{\sim}{t} = \underset{\sim}{t} \underset{\sim}{\hat{\Phi}}(p) \quad (2.153)$$

Pour achever de montrer l'équivalence entre la description des états de la particule au moyen de bi-spinors construits au moyen d'amplitudes spinorielles, et celle utilisant un 4-vecteur, considérons le produit scalaire hermitique des tenseurs $F_{a\mu\nu}(p)$ et $F_{b\mu\nu}(p)$ respectivement associés aux états $|a\rangle$ et $|b\rangle$ de la particule :

$$F_{a\mu\nu}^* F_b^{\mu\nu} = -G_{a\mu\nu}^* G_b^{\mu\nu} = 2m^2 \mathcal{A}_a^* \cdot \mathcal{A}_b = -2m^2 \sum_\lambda \phi_{a\lambda}^* \phi_{b\lambda}$$

Dans la représentation bi-spinorielle des états de la particule³⁷, les bi-spinors à 6 composantes

$$\Phi_a = \frac{1}{\sqrt{2}} \begin{pmatrix} \hat{\phi}_a \\ \hat{\phi}_a \end{pmatrix} \quad \text{et} \quad \Phi_b = \frac{1}{\sqrt{2}} \begin{pmatrix} \hat{\phi}_b \\ \hat{\phi}_b \end{pmatrix}$$

ont pour produit scalaire invariant³⁸

$$\bar{\Phi}_a \Phi_b = \Phi_a^\dagger \Gamma_0 \Phi_b = \frac{1}{2} \left\{ \phi_a^\dagger \hat{\phi}_b + \hat{\phi}_a^\dagger \phi_b \right\} = \sum_\lambda \phi_{a\lambda}^* \phi_{b\lambda}$$

On a donc :

$$\boxed{\frac{1}{2m^2} F_{a\mu\nu}^* F_b^{\mu\nu} = \mathcal{A}_a^* \cdot \mathcal{A}_b = -\bar{\Phi}_a \Phi_b} \quad (2.154)$$

Il reste enfin à considérer le cas où l'état de la particule est lui-même un état $|[p], \sigma\rangle$, pour lequel les amplitudes spinorielles contiennent une distribution de Dirac, puisqu'alors

$$\phi_{\sigma'}([p']) = \langle \sigma', [p'] | [p], \sigma \rangle = (2\pi)^2 2p_0 \delta(\vec{p}' - \vec{p}) \delta_{\sigma, \sigma'}$$

Dans ce cas, en extrayant la distribution de Dirac et d'autres facteurs, on voit que le 4-vecteur (2.148) correspondant est simplement égal au 4-vecteur de polarisation $e^{(\sigma)}([p])$.

☞ Passons ensuite au cas d'une particule vectorielle de masse nulle, comme le photon. Du point de vue du groupe de Poincaré restreint, les états d'une telle particule n'appartiennent qu'à une seule des deux représentations irréductibles, donc *indépendantes*, $[m = 0, \lambda = +1]$ et

37. ITL, Chap. 6.

38. $\Gamma_0 = \begin{pmatrix} 0 & 1_3 \\ 1_3 & 0 \end{pmatrix}$ où 1_3 est la matrice 3×3 unité.

$[m = 0, \lambda = -1]$ où λ , l'équivalent d'une projection de spin et appelé ici hélicité de la particule, ne prend pour chacune qu'une seule valeur, invariante relativiste. Cependant, l'opération de parité changeant le signe de λ , une représentation irréductible du groupe de Poincaré complet (comprenant les symétries parité, renversement du sens du temps et réflexion totale) doit être constituée par leur somme directe. C'est pourquoi le photon, pour lequel l'opération de parité est une symétrie, possède deux états d'hélicités $\lambda = -1$ et $\lambda = +1$ opposées. Dans ce qui suit, nous noterons ℓ la 4-impulsion de la particule, avec ici $\ell^2 = 0$. Pour un état quelconque $|\phi\rangle$, il n'existe donc que deux amplitudes (2.132) :

$$\phi_1([\ell]) = \langle +1, [\ell] | \phi \rangle \quad \text{et} \quad \phi_{-1}([\ell]) = \langle -1, [\ell] | \phi \rangle \quad (2.155)$$

dont la dépendance vis-à-vis du choix de la tétrade $[\ell]$ est révélée par

$$\phi_\lambda([\ell']) = \mathcal{D}_{\lambda\lambda}^1([\ell']^{-1}[\ell]) \phi_\lambda([\ell]) \quad (2.156)$$

Les amplitudes spinorielles, indépendantes de ce choix, sont de deux types et définies par

$$\varphi_\sigma^+(\ell) = \mathcal{D}_{\sigma,+1}^1([\ell]) \phi_1([\ell]) \quad \text{et} \quad \varphi_\sigma^-(\ell) = \mathcal{D}_{\sigma,-1}^1([\ell]^{\dagger-1}) \phi_{-1}([\ell]) \quad (2.157)$$

avec $\sigma = -1, 0$ ou $+1$. Elles vérifient les équations

$$\mathcal{D}^1(\tilde{\ell}) \varphi^+(\ell) = 0, \quad \mathcal{D}^1(\tilde{\ell}) \varphi^-(\ell) = 0 \quad (2.158)$$

Toutes ces amplitudes ont pour lois de transformation

$$\begin{aligned} {}^{(a,A)}\phi_\lambda([\ell]) &= e^{ia \cdot \ell} \mathcal{D}_{\lambda\lambda}^1([\ell]^{-1}A[A^{-1}\ell]) \phi_\lambda([A^{-1}\ell]) \\ {}^{(a,A)}\varphi_\sigma^+(\ell) &= e^{ia \cdot \ell} \mathcal{D}_{\sigma\sigma'}^1(A) \varphi_{\sigma'}^+(A^{-1}\ell), \quad {}^{(a,A)}\varphi_\sigma^-(\ell) = e^{ia \cdot \ell} \mathcal{D}_{\sigma\sigma'}^1(A^{\dagger-1}) \varphi_{\sigma'}^-(A^{-1}\ell) \end{aligned} \quad (2.159)$$

(avec sommation sur σ').

Rappelons ici que le petit groupe d'un 4-vecteur du genre lumière ℓ n'est plus $SU(2)$ mais un groupe isomorphe au groupe des déplacements dans un 2-plan euclidien, $P(2)$. Agissant sur les 4-vecteurs, il comprend un sous-groupe abélien de rotations dans un 2-plan (x, y) orthogonal à ℓ et un autre sous-groupe abélien translatant parallèlement à ℓ les 4-vecteurs de ce plan (groupe de jauge de ℓ). Les matrices de $SL(2, C)$ appartenant au petit groupe du 4-vecteur isotrope de référence $\overset{\circ}{\ell} = \kappa(1, 0, 0, 1)$ sont de la forme indiquée par la formule (2.35) :

$$M(\zeta, \theta) = \begin{pmatrix} e^{-i\theta/2} & \zeta e^{i\theta/2} \\ 0 & e^{i\theta/2} \end{pmatrix}$$

ζ étant un nombre complexe quelconque. Puisque $[\ell]'^{-1}[\ell]$ appartient à ce petit groupe, on a notamment $\mathcal{D}_{mm}^j(M(\zeta, \theta)) = e^{-im\theta}$. En se reportant à (2.156), on voit qu'un changement de tétrade provoque un simple changement de phase des amplitudes (2.155).

A l'évidence, l'équivalent pour masse nulle du 4-vecteur (2.148) doit être le suivant :

$$\boxed{\mathcal{A}_\mu(\ell) = e_\mu^{(+)}([\ell]) \phi_1([\ell]) + e_\mu^{(-)}([\ell]) \phi_{-1}([\ell])} \quad (2.160)$$

qui est manifestement orthogonal à ℓ . Examinons tout d'abord sa dépendance vis-à-vis du choix de tétrade. Définissons

$$\Psi([\ell]) = \begin{pmatrix} 0 & -\sqrt{2}\phi_1([\ell]) \\ \sqrt{2}\phi_{-1}([\ell]) & 0 \end{pmatrix} \quad (2.161)$$

Compte tenu de ce que

$$\begin{aligned} \underline{e}^{(+)}([\ell]) &= -\frac{1}{\sqrt{2}}[\ell] (\tau_1 + i\tau_2) [\ell]^\dagger = -\sqrt{2}[\ell] \begin{pmatrix} 0 & 1 \\ 0 & 0 \end{pmatrix} [\ell]^\dagger \\ \underline{e}^{(-)}([\ell]) &= \frac{1}{\sqrt{2}}[\ell] (\tau_1 - i\tau_2) [\ell]^\dagger = \sqrt{2}[\ell] \begin{pmatrix} 0 & 0 \\ 1 & 0 \end{pmatrix} [\ell]^\dagger \end{aligned} \quad (2.162)$$

la transcription de (2.160) en matrices 2×2 est

$$\underline{\mathcal{A}}(\ell) = [\ell] \Psi([\ell]) [\ell]^\dagger \quad (2.163)$$

Posons alors

$$M = [\ell]'^{-1}[\ell] = \begin{pmatrix} \alpha & \beta \\ 0 & \delta \end{pmatrix} \quad \text{avec} \quad \alpha = e^{-i\theta/2} = \delta^*, \quad \beta = \zeta \delta \quad (2.164)$$

et calculons :

$$M \Psi([\ell]) M^\dagger = \sqrt{2} (-\alpha^2 \zeta^* \phi_1 + \zeta \delta^2 \phi_{-1}) \begin{pmatrix} 1 & 0 \\ 0 & 0 \end{pmatrix} + \begin{pmatrix} 0 & -\alpha^2 \sqrt{2} \phi_1 \\ \delta^2 \sqrt{2} \phi_{-1} & 0 \end{pmatrix}$$

Or, d'une part, d'après (2.156), on a $\phi_1([\ell]') = \alpha^2 \phi_1([\ell])$, $\phi_{-1}([\ell]') = \delta^2 \phi_{-1}([\ell])$; d'autre part³⁹,

$$\begin{pmatrix} 1 & 0 \\ 0 & 0 \end{pmatrix} = \frac{1}{2\kappa} \overset{\circ}{\underline{\ell}}$$

En posant $\xi = (\zeta^* \phi_1([\ell]') - \zeta \phi_{-1}([\ell]'))/(2\kappa)$, on obtient ainsi

$$M \Psi([\ell]) M^\dagger = -\xi \overset{\circ}{\underline{\ell}} + \Psi([\ell]')$$

et finalement

$$\boxed{\underline{\mathcal{A}}([\ell]') = \underline{\mathcal{A}}([\ell]) + \xi \overset{\circ}{\underline{\ell}}} \quad (2.165)$$

Ainsi, le changement de tétrade provoque une translation du vecteur \mathcal{A} parallèlement à ℓ . Ce résultat n'est pas surprenant, compte tenu des propriétés du petit groupe de ℓ rappelées plus haut. On peut définir un 4-potentiel indépendant de la tétrade en lui imposant de rester dans le 2-plan engendré par les 4-vecteurs $e^{(+)}$ et $e^{(-)}$. Comme il est déjà orthogonal à ℓ , cela équivaut à lui imposer la condition subsidiaire

$$\boxed{\mathcal{A} \cdot t = 0} \quad (2.166)$$

39. La tétrade $[\ell]$ est telle que $[\ell][\ell]^\dagger = \underline{t}$, $[\ell]\tau_3[\ell]^\dagger = \underline{z}$, $\ell = \kappa(t + z)$, $\kappa = \ell \cdot t$.

Les changements de tétrade reviennent alors à de simples rotations dans le 2-plan orthogonal à ℓ et t (qui est aussi celui orthogonal à t et z), ce qui équivaut aussi à poser $\zeta = 0$ dans la matrice correspondante (2.4). Dans cette transformation, le 4-vecteur $e^{(\lambda)}$ subit un changement de phase opposé à celui de l'amplitude ϕ_λ à laquelle il est associé, laissant ainsi le 4-vecteur \mathcal{A} inchangé.

La loi de transformation (2.159) fait intervenir la matrice $N = [\ell]^{-1} A [A^{-1}\ell]$ qui elle aussi appartient au petit groupe de $\overset{\circ}{\ell}$. En conséquence, la transformation correspondante du 4-vecteur (2.160) provoque encore une translation parallèlement à ℓ . Le lecteur vérifiera que l'on a

$$\begin{aligned} {}^{(a,A)}\underset{\sim}{\mathcal{A}}([\ell]) &= e^{ia \cdot \ell} A \underset{\sim}{\mathcal{A}}([A^{-1}\ell]) A^\dagger + \eta \underset{\sim}{\ell} \\ e_\mu^{(+)}([A\ell]) &= \Lambda_\mu^\nu(A) \left[e^{i\theta} e_\nu^{(+)}([\ell]) + \zeta^* \ell_\nu \right], \\ e_\mu^{(-)}([A\ell]) &= \Lambda_\mu^\nu(A) \left[e^{-i\theta} e_\nu^{(-)}([\ell]) + \zeta \ell_\nu \right] \end{aligned} \quad (2.167)$$

Ici encore, si l'on se restreint aux 4-vecteurs \mathcal{A} vérifiant la condition subsidiaire (2.166), on trouve pour ceux-ci la loi de transformation usuelle des 4-vecteurs :

$$\boxed{{}^{(a,A)}\underset{\sim}{\mathcal{A}}([\ell]) = e^{ia \cdot \ell} A \underset{\sim}{\mathcal{A}}([A^{-1}\ell]) A^\dagger} \quad (2.168)$$

Dans le cas de la masse nulle, on introduit aussi des tenseurs antisymétriques et invariants de jauge similaires à ceux définis en (2.150) où ℓ prend la place de p . Cependant, lorsqu'on veut réexprimer de façon unique le 4-vecteur \mathcal{A} qui y apparaît en fonction du tenseur $G_{\mu\nu}$, il ne suffit plus ici d'imposer que \mathcal{A} soit orthogonal à ℓ . En effet, comme ℓ est isotrope, la transformation de jauge $\mathcal{A}' = \mathcal{A} + \xi \ell$ conduit à un nouveau 4-vecteur \mathcal{A}' admissible, puisque $\ell \cdot \mathcal{A}' = \ell \cdot \mathcal{A} = 0$. Une condition supplémentaire doit donc être introduite. Si l'on adopte (2.166), on obtient alors⁴⁰

$$\mathcal{A}_\alpha = \frac{i}{2\kappa} \epsilon_{\alpha\beta\mu\nu} t^\beta G^{\mu\nu} \quad (2.169)$$

La transcription des formules (2.157) et (2.158) s'effectue comme suit. Posons

$$\begin{aligned} [\ell] &= \begin{pmatrix} a & b \\ c & d \end{pmatrix}, \\ K_+ &= \frac{1}{2} (1 + \tau_3) = \begin{pmatrix} 1 & 0 \\ 0 & 0 \end{pmatrix}, \quad K_- = \frac{1}{2} (1 - \tau_3) = \begin{pmatrix} 0 & 0 \\ 0 & 1 \end{pmatrix} \end{aligned} \quad (2.170)$$

D'après (2.157), on a

$$\begin{aligned} \varphi_1^+ &= a^2 \phi_1, \quad \varphi_0^+ = \sqrt{2} a c \phi_1, \quad \varphi_{-1}^+ = c^2 \phi_1 \\ \varphi_1^- &= [c^*]^2 \phi_{-1}, \quad \varphi_0^- = -\sqrt{2} a^* c^* \phi_{-1}, \quad \varphi_{-1}^- = [a^*]^2 \phi_{-1} \end{aligned}$$

ce qui se traduit par les matrices

$$\begin{aligned} \Phi^+(\ell) &= \begin{pmatrix} \varphi_0^+ & -\sqrt{2} \varphi_1^+ \\ \sqrt{2} \varphi_{-1}^+ & -\varphi_0^+ \end{pmatrix} = [\ell] K_+ \Psi K_- [\ell]^{-1} \\ \Phi^-(\ell) &= \begin{pmatrix} \varphi_0^- & -\sqrt{2} \varphi_1^- \\ \sqrt{2} \varphi_{-1}^- & -\varphi_0^- \end{pmatrix} = [\ell]^\dagger{}^{-1} K_- \Psi K_+ [\ell]^\dagger \end{aligned} \quad (2.171)$$

40. $F_{\mu\nu} = -\frac{1}{2} \epsilon_{\mu\nu\rho\sigma} G^{\rho\sigma}$.

Posant $M = [\ell]'^{-1}[\ell]$, on trouve

$$M K_+ \Psi([\ell]) K_- M^{-1} = K_+ \Psi([\ell]') K_-, \quad M^{\dagger -1} K_- \Psi([\ell]) K_+ M^{\dagger} = K_- \Psi([\ell]') K_+$$

d'où l'on déduit que les deux matrices $\Phi^+(\ell)$ et $\Phi^-(\ell)$ sont bien indépendantes du choix de la tétrade associée à ℓ . Par une transformation de Poincaré (a, A) , elles deviennent ⁴¹

$$\begin{aligned} (a,A)\Phi^+(\ell) &= e^{ia \cdot \ell} A \Phi^+(A^{-1}\ell) A^{-1} \\ (a,A)\Phi^-(\ell) &= e^{ia \cdot \ell} A^{\dagger -1} \Phi^-(A^{-1}\ell) A^{\dagger} \end{aligned} \quad (2.172)$$

En outre, comme

$$\begin{aligned} [\ell] K_+ [\ell]^{\dagger} &\underset{\sim}{=} \frac{1}{2\kappa} \underset{\sim}{\ell} \quad \text{soit} \quad [\ell]^{-1} \underset{\sim}{\ell} = 2\kappa [\ell] K_+ \quad \text{ou} \quad \underset{\sim}{\ell} [\ell]^{\dagger -1} = 2\kappa [\ell] K_+ \\ &\text{et} \quad K_+ K_- = K_- K_+ = 0 \end{aligned}$$

lesdites matrices satisfont les équations

$$\boxed{\Phi^+(\ell) \underset{\sim}{\ell} = \underset{\sim}{\ell} \Phi^-(\ell) = 0} \quad (2.173)$$

traduisant en termes de matrices les équations de Dirac (2.158) ; de plus, comme

$$[\ell] K_+ = \frac{1}{2\kappa} \underset{\sim}{\ell} [\ell]^{\dagger -1} \quad \text{ou} \quad K_+ [\ell]^{\dagger} = \frac{1}{2\kappa} [\ell]^{-1} \underset{\sim}{\ell} \quad \text{et que} \quad \tilde{\ell} \underset{\sim}{\ell} = \underset{\sim}{\ell} \tilde{\ell} = \ell^2 = 0$$

elles vérifient aussi

$$\boxed{\tilde{\ell} \Phi^+(\ell) = \Phi^-(\ell) \tilde{\ell} = 0} \quad (2.174)$$

☞ Rappelons enfin que dans les deux cas, masse non nulle et masse nulle, pour un observateur donné auquel est attaché une base d'espace-temps (n_0, n_1, n_2, n_3) , le tenseur $F_{\mu\nu}$ est décomposable en une partie “électrique” et une partie “magnétique”, égales respectivement à $n_0 \wedge E$ et $\star(n_0 \wedge B)$, les 4-vecteurs “électrique” E et “magnétique” B étant donnés par ⁴²

$$E_{\mu} = -F_{\mu\nu} n_0^{\nu}, \quad B_{\mu} = \frac{1}{2} \epsilon_{\mu\nu\rho\sigma} n_0^{\nu} F^{\rho\sigma} = G_{\mu\nu} n_0^{\nu} \quad (2.175)$$

2.4.1 Lien avec la représentation $D(\frac{1}{2}, \frac{1}{2})$ du groupe $SL(2, C)$ ⁴³

Du point de vue du groupe des rotations, la représentation $D(\frac{1}{2}, \frac{1}{2})$ de $SL(2, C)$ est décomposable en une représentation scalaire (spin 0) et une représentation vectorielle (spin 1), l'ensemble formant un 4-vecteur. Pour cette raison, elle est couramment considérée comme la représentation 4-vectorielle par excellence de $SL(2, C)$. On peut l'obtenir en effectuant le produit tensoriel de

41. Le vérifier.

42. ITL, §3.3.2.

43. ITL, §5.5.1

la représentation fondamentale $D(\frac{1}{2}, 0)$ de $SL(2, C)$ avec sa contragrédiente $D(0, \frac{1}{2})$, ou encore, avec sa représentation conjuguée, équivalente à la contragrédiente. Considérons donc les produits tensoriels

$$\Psi^{a\dot{b}} = u^a v^{\dot{b}} \quad (2.176)$$

des composantes contravariantes d'un spineur u d'ordre 1 de la représentation fondamentale (à 2 composantes avec indices non pointés) et d'un spineur v^* d'ordre 1 de la représentation conjuguée (lui aussi à 2 composantes, mais avec indices pointés), définissant les quatre composantes d'un tenseur mixte Ψ d'ordre 2 ayant un indice non pointé et un indice pointé. Si on l'écrit sous forme matricielle :

$$\Psi \equiv \begin{pmatrix} u^1 v^{\dot{1}} & u^1 v^{\dot{2}} \\ u^2 v^{\dot{1}} & u^2 v^{\dot{2}} \end{pmatrix} \quad (2.177)$$

sa loi de transformation par une matrice A de $SL(2, C)$ est

$${}^A\Psi = A \Psi A^\dagger \quad (2.178)$$

Cette matrice Ψ peut être mise en relation biunivoque avec un 4-vecteur V (de composantes a priori complexes) au moyen de la formule

$$\begin{aligned} \Psi &= \underset{\sim}{V} = V^0 + \vec{V} \cdot \vec{\tau} \quad \text{avec} \\ V^0 &= \frac{1}{2} \text{Tr} \Psi = \frac{1}{2}(u^1 v^{\dot{1}} + u^2 v^{\dot{2}}) \quad , \quad V^3 = \frac{1}{2} \text{Tr} \Psi \tau_3 = \frac{1}{2}(u^1 v^{\dot{1}} - u^2 v^{\dot{2}}) \\ V^1 &= \frac{1}{2} \text{Tr} \Psi \tau_1 = \frac{1}{2}(u^1 v^{\dot{2}} + u^2 v^{\dot{1}}) \quad , \quad V^2 = \frac{1}{2} \text{Tr} \Psi \tau_2 = \frac{i}{2}(u^1 v^{\dot{2}} - u^2 v^{\dot{1}}) \end{aligned} \quad (2.179)$$

et ce 4-vecteur V a pour propriété d'être du genre lumière. On vérifie que sa loi de transformation est bien celle d'un 4-vecteur, puisque

$${}^A V^\mu = \frac{1}{2} \text{Tr} \tau_\mu A \Psi A^\dagger = V^\nu \frac{1}{2} \text{Tr} \tau_\mu A \tau_\nu A^\dagger \equiv \Lambda_\nu^\mu V^\nu$$

où les grandeurs Λ_ν^μ sont les éléments de matrice de la transformation de Lorentz Λ associée à A .

2.5 Complément II : Symboles de Levi-Civita⁴⁴

Le *symbole de Levi-Civita* d'ordre N , noté $\epsilon_{r_1 r_2 \dots r_N}$, encore appelé *symbole indicateur de volume de Kronecker*, ou encore *tenseur dualiseur*, est donné par le déterminant

$$\epsilon_{r_1 r_2 \dots r_N} = \begin{vmatrix} \delta_{r_1,1} & \delta_{r_1,2} & \cdots & \delta_{r_1,N-1} & \delta_{r_1,N} \\ \delta_{r_2,1} & \delta_{r_2,2} & \cdots & \delta_{r_2,N-1} & \delta_{r_2,N} \\ \vdots & \vdots & \cdots & \vdots & \vdots \\ \delta_{r_{N-1},1} & \delta_{r_{N-1},2} & \cdots & \delta_{r_{N-1},N-1} & \delta_{r_{N-1},N} \\ \delta_{r_N,1} & \delta_{r_N,2} & \cdots & \delta_{r_N,N-1} & \delta_{r_N,N} \end{vmatrix} \quad (2.180)$$

$\delta_{a,b}$ étant le symbole de Kronecker. Ledit symbole est complètement antisymétrique suivant ses N indices r_1, \dots, r_N , chacun courant de 1 à N , et tel que

$$\epsilon_{12\dots N} = 1 \quad (2.181)$$

Il peut aussi s'écrire comme

$$\epsilon_{r_1 r_2 \dots r_N} = \prod_{1 \leq i < j \leq N} \text{sgn}(r_j - r_i) = \sigma(P) \quad (2.182)$$

où $\text{sgn}(a - b)$ le signe de la différence $a - b$, pris égal à 0 si $a = b$ et $\sigma(P)$ la signature de la permutation $[1, 2, \dots, N] \rightarrow [r_1, r_2, \dots, r_N]$ (soit $(-1)^p$ où p est la parité de la permutation). Par permutation de ses colonnes, le déterminant (2.180) se voit multiplié par la signature de cette permutation, et il est donc évident que l'on peut écrire

$$\begin{vmatrix} \delta_{r_1,s_1} & \delta_{r_1,s_2} & \cdots & \delta_{r_1,s_{N-1}} & \delta_{r_1,s_N} \\ \delta_{r_2,s_1} & \delta_{r_2,s_2} & \cdots & \delta_{r_2,s_{N-1}} & \delta_{r_2,s_N} \\ \vdots & \vdots & \cdots & \vdots & \vdots \\ \delta_{r_{N-1},s_1} & \delta_{r_{N-1},s_2} & \cdots & \delta_{r_{N-1},s_{N-1}} & \delta_{r_{N-1},s_N} \\ \delta_{r_N,s_1} & \delta_{r_N,s_2} & \cdots & \delta_{r_N,s_{N-1}} & \delta_{r_N,s_N} \end{vmatrix} = \epsilon_{r_1 r_2 \dots r_N} \epsilon_{s_1 s_2 \dots s_N} \quad (2.183)$$

Le symbole de Levi-Civita intervient notamment dans l'expression du déterminant d'une matrice A ($N \times N$). On a les formules suivantes, utilisant la convention de sommation d'Einstein avec des indices répétés courant chacun de 1 à N .

$$\begin{aligned} \det A &= \epsilon_{r_1 r_2 \dots r_N} A_1^{r_1} A_2^{r_2} \cdots A_N^{r_N} \\ \det A &= \frac{1}{N!} \epsilon_{r_1 r_2 \dots r_N} \epsilon_{s_1 s_2 \dots s_N} A_{s_1}^{r_1} A_{s_2}^{r_2} \cdots A_{s_N}^{r_N} \\ \det A \epsilon_{s_1 s_2 \dots s_N} &= \epsilon_{r_1 r_2 \dots r_N} A_{s_1}^{r_1} A_{s_2}^{r_2} \cdots A_{s_N}^{r_N} \end{aligned} \quad (2.184)$$

Du point de vue des transformations du groupe $GL(N, C)$ agissant sur un espace vectoriel complexe E_N de dimension N , le symbole de Levi-Civita représente un tenseur d'ordre N . La dernière formule dans (2.184) montre que sous l'effet d'une transformation de ce groupe représentée par la matrice A , ce tenseur est simplement multiplié par le déterminant de la matrice et reste même

44. G. Ricci-Curbastro et T. Levi-Civita, "Méthodes de calcul différentiel absolu et leurs applications", *Mathematische Annalen*, Springer Verlag, vol. 54, no 1-2, mars 1900, p. 125-201.

invariant si $\det A = 1$, c'est-à-dire, s'il s'agit d'une transformation du sous-groupe $SL(N, C)$. En fait, il est facile de montrer qu'à un facteur près, le tenseur de Levi-Civita est le seul tenseur d'ordre N complètement antisymétrique⁴⁵.

Développons le déterminant (2.183) suivant les éléments de sa première colonne, tout en exprimant le résultat à l'aide des symboles de Levi-Civita d'ordre $N - 1$:

$$\epsilon_{r_1 r_2 \dots r_N} \epsilon_{s_1 s_2 \dots s_N} = \left[\delta_{r_1 s_1} \epsilon_{r_2 r_3 \dots r_N} - \delta_{r_2 s_1} \epsilon_{r_1 r_3 \dots r_N} + \dots + (-1)^{N-1} \delta_{r_N s_1} \epsilon_{r_1 r_2 \dots r_{N-1}} \right] \epsilon_{s_2 s_3 \dots s_N}$$

Choisissons les indices s_k tous différents, auquel cas $\epsilon_{s_1 s_2 \dots s_N}$ et $\epsilon_{s_2 s_3 \dots s_N}$ sont différents de zéro, mais prenons tous les indices r_k dans une suite de $N - 1$ valeurs différentes. Le symbole d'ordre N $\epsilon_{r_1 r_2 \dots r_N}$ est alors nul car deux de ses indices sont certainement identiques. On en déduit la relation suivante entre symboles de Levi-Civita d'ordre $N - 1$:

$$\delta_{r_1 s_1} \epsilon_{r_2 r_3 \dots r_N} - \delta_{r_2 s_1} \epsilon_{r_1 r_3 \dots r_N} + \dots + (-1)^{N-1} \delta_{r_N s_1} \epsilon_{r_1 r_2 \dots r_{N-1}} = 0 \quad (2.185)$$

Voici quelques autres formules générales :

$$\sum_{r_1 r_2 \dots r_N=1}^N \epsilon_{r_1 r_2 \dots r_N} \epsilon_{r_1 r_2 \dots r_N} = N! \quad (2.186)$$

$$\sum_{r_1 r_2 \dots r_k=1}^N \epsilon_{r_1 r_2 \dots r_k r_{k+1} \dots r_N} \epsilon_{r_1 r_2 \dots r_k s_{k+1} \dots s_N} = k! (N - k)! \delta_{r_{k+1} \dots r_N}^{s_{k+1} \dots s_N} \quad (2.187)$$

où $\delta_{i_1 \dots i_q}^{j_1 \dots j_q}$ est un symbole de Kronecker généralisé d'ordre q donné par⁴⁶

$$\delta_{i_1 \dots i_q}^{j_1 \dots j_q} = \sum_P \sigma(P) \delta_{i_1}^{j_{P(1)}} \delta_{i_2}^{j_{P(2)}} \dots \delta_{i_q}^{j_{P(q)}} = \begin{vmatrix} \delta_{i_1}^{j_1} & \delta_{i_2}^{j_1} & \dots & \delta_{i_{q-1}}^{j_1} & \delta_{i_q}^{j_1} \\ \delta_{i_1}^{j_2} & \delta_{i_2}^{j_2} & \dots & \delta_{i_{q-1}}^{j_2} & \delta_{i_q}^{j_2} \\ \vdots & \vdots & \dots & \vdots & \vdots \\ \delta_{i_1}^{j_{q-1}} & \delta_{i_2}^{j_{q-1}} & \dots & \delta_{i_{q-1}}^{j_{q-1}} & \delta_{i_q}^{j_{q-1}} \\ \delta_{i_1}^{j_q} & \delta_{i_2}^{j_q} & \dots & \delta_{i_{q-1}}^{j_q} & \delta_{i_q}^{j_q} \end{vmatrix} \quad (2.188)$$

P étant une permutation de q éléments et $\sigma(P)$ sa signature. Ci-après, nous considérons plus particulièrement les cas $N = 3$ et $N = 4$.

① Cas de 3 dimensions euclidiennes

Comme on sait, le symbole de Levi-Civita d'ordre 3 peut s'exprimer simplement à partir d'un produit mixte. Dans une base orthonormée $\{\vec{e}_a, \vec{e}_b, \vec{e}_c\}$, on a en effet

$$\epsilon_{abc} = \vec{e}_a \cdot (\vec{e}_b \wedge \vec{e}_c) = \pm 1 \quad (2.189)$$

Cette forme met clairement en évidence l'invariance du tenseur $\{\epsilon_{abc}\}$ vis-à-vis du groupe des rotations $SO(3)$: c'est une grandeur *scalaire* vis-à-vis de ce groupe. Comme on sait, le qualificatif

45. Voir H. Bacry, loc. cit. Chap. 4.

46. Ici, on ne fait aucune distinction entre les symboles δ_{ab} et δ_a^b .

de *pseudo-scalaire* qui lui est attribué vient de son comportement dans l'opération de parité. Sous celle-ci, un vecteur ordinaire se voit changer de sens⁴⁷. Les vecteurs de base étant supposés se comporter de cette façon, leur produit mixte ϵ_{abc} change de signe dans l'opération, alors qu'un "vrai scalaire" (tel le produit scalaire de deux vrais vecteurs) ne change pas de signe.

La métrique euclidienne utilisée dans ce cas permet d'identifier les composantes contravariantes aux composantes covariantes : $\epsilon^{abc} = \epsilon_{abc}$. Dans les formules suivantes on utilise la convention de sommation d'Einstein.

$$\begin{aligned}
 \epsilon_{abc} \epsilon_{\alpha\beta\gamma} &= \delta_{a\alpha} \delta_{b\beta} \delta_{c\gamma} + \delta_{a\beta} \delta_{b\gamma} \delta_{c\alpha} + \delta_{a\gamma} \delta_{b\alpha} \delta_{c\beta} \\
 &\quad - \delta_{a\alpha} \delta_{b\gamma} \delta_{c\beta} - \delta_{a\gamma} \delta_{b\beta} \delta_{c\alpha} - \delta_{a\beta} \delta_{b\alpha} \delta_{c\gamma} \\
 \epsilon_{abs} \epsilon^{cas} + \epsilon_{bcs} \epsilon^{aas} + \epsilon_{cas} \epsilon^{bas} &= 0 \\
 \delta_{ra} \epsilon_{bcd} - \delta_{rb} \epsilon_{acd} + \delta_{rc} \epsilon_{abd} - \delta_{rd} \epsilon_{abc} &= 0 \\
 \epsilon_{abc} \epsilon^{a\beta\gamma} = \delta_b^\beta \delta_c^\gamma - \delta_b^\gamma \delta_c^\beta, \quad \epsilon_{abc} \epsilon^{ab\gamma} = 2 \delta_c^\gamma, \quad \epsilon_{abc} \epsilon^{abc} &= 6
 \end{aligned} \tag{2.190}$$

② Cas des 4 dimensions d'espace-temps

On sait que dans ce cas, la métrique pseudo-euclidienne de signature (+ - - -) est utilisée pour passer des composantes contravariantes de tenseurs à leurs composantes covariantes (ex. : $T_{\mu\nu} = g_{\mu\alpha} g_{\nu\beta} T^{\alpha\beta}$) et l'on a

$$\epsilon^{\mu\nu\rho\sigma} = -\epsilon_{\mu\nu\rho\sigma}, \quad \epsilon_{0123} = 1 = -\epsilon^{0123} \tag{2.191}$$

Des propriétés générales mentionnées plus haut, on déduit les formules suivantes

$$\begin{aligned}
 \epsilon_{\mu\nu\rho\sigma} \epsilon^{\alpha\beta\gamma\sigma} &= -\left[\delta_\mu^\alpha \delta_\nu^\beta \delta_\rho^\gamma + \delta_\nu^\alpha \delta_\rho^\beta \delta_\mu^\gamma + \delta_\rho^\alpha \delta_\mu^\beta \delta_\nu^\gamma - \delta_\mu^\alpha \delta_\rho^\beta \delta_\nu^\gamma - \delta_\nu^\alpha \delta_\mu^\beta \delta_\rho^\gamma - \delta_\rho^\alpha \delta_\nu^\beta \delta_\mu^\gamma \right] \\
 \epsilon_{\mu\nu\rho\sigma} \epsilon^{\alpha\beta\rho\sigma} &= -2 \left[\delta_\mu^\alpha \delta_\nu^\beta - \delta_\nu^\alpha \delta_\mu^\beta \right] \\
 \epsilon_{\mu\nu\rho\sigma} \epsilon^{\alpha\nu\rho\sigma} &= -6 \delta_\mu^\alpha, \quad \epsilon_{\mu\nu\rho\sigma} \epsilon^{\mu\nu\rho\sigma} = -24
 \end{aligned} \tag{2.192}$$

$$\epsilon_{\nu\rho\sigma\lambda} g_{\mu\omega} - \epsilon_{\mu\rho\sigma\lambda} g_{\nu\omega} + \epsilon_{\mu\nu\sigma\lambda} g_{\rho\omega} - \epsilon_{\mu\nu\rho\lambda} g_{\sigma\omega} + \epsilon_{\mu\nu\rho\sigma} g_{\lambda\omega} = 0 \tag{2.193}$$

La dernière relation (2.193), directement déduite de (2.185), se retrouve notamment dans le calcul de la trace d'un produit de matrices de Dirac⁴⁸.

47. Et pour cette raison est aussi appelé *vecteur vrai* ou encore *vecteur polaire*.

48. ITL, Eq. 7.56.

2.6 Complément III : Développement multipolaire d'une matrice densité de spin⁴⁹

2.6.1 Préliminaires

① Tout espace vectoriel complexe \mathcal{E} de dimension N peut être envisagé comme un espace de représentation irréductible D^j du groupe des rotations, ou plus précisément du groupe $SU(2)$, correspondant à une valeur du spin égale à $j = (N - 1)/2$. Dans la base canonique de \mathcal{E} , la matrice correspondant à la composante J_3 du spin suivant un axe de référence z n'est pas difficile à contruire : il s'agira de la matrice diagonale dont les éléments sont, dans l'ordre, $-j, -j+1, -j+2, \dots, j-1, j$. Chaque élément de la base canonique sera ainsi considéré comme un vecteur propre de J_3 , ayant pour valeur propre m avec $-j \leq m \leq j$, et pour cette raison, sera noté $|j, m\rangle$. La construction des matrices J_1 et J_2 correspondant aux composantes du spin suivant les deux autres axes x et y , formant avec z un repère cartésien, ne pose pas plus de difficulté, car on connaît parfaitement les actions des matrices $J_{\pm} = J_1 \pm i J_2$ sur les vecteurs propres de J_3 :

$$J_{\pm} |j, m\rangle = \sqrt{j(j+1) - m(m \pm 1)} |j, m \pm 1\rangle \quad (2.194)$$

On obtient ainsi 3 matrices J_1, J_2 et J_3 , hermitiques, de traces nulles, qui satisfont clairement les relations usuelles de l'algèbre de Lie $\mathfrak{su}(2)$. On a notamment

$$[J_3, J_{\pm}] = \pm J_{\pm}, \quad \vec{J}^2 = J_1^2 + J_2^2 + J_3^2 = j(j+1) \quad (2.195)$$

Par l'opération $J'_k = U J_k U^\dagger$, une matrice unitaire quelconque U transforme J_1, J_2 et J_3 en J'_1, J'_2 et J'_3 respectivement. Ces nouvelles matrices sont également hermitiques, de trace nulle, possèdent vis-à-vis de $\mathfrak{su}(2)$ les mêmes propriétés que les précédentes, mais J'_3 peut ne plus être diagonal dans la base canonique. Réciproquement, deux triplets J_1, J_2, J_3 et J'_1, J'_2, J'_3 vérifiant les relations de commutation de $\mathfrak{su}(2)$ et $J_1^2 + J_2^2 + J_3^2 = j(j+1)$ sont nécessairement reliés par une matrice unitaire⁵⁰.

② Suivant la base des $|j, m\rangle$, une matrice $N \times N$ quelconque Q peut de façon évidente être développée comme suit :

$$Q = \sum_{m=-j}^{m=+j} \sum_{m'=-j}^{m'=+j} |j, m\rangle Q_{mm'} \langle m', j| \quad \text{avec} \quad Q_{mm'} = \langle m, j| Q |j, m'\rangle \quad (2.196)$$

Soit alors $U(R)$ la matrice unitaire représentant dans \mathcal{E} la rotation R d'angle θ effectuée autour d'un axe de vecteur unitaire \vec{n} dans l'espace tri-dimensionnel. Elle s'écrit

$$U(R) = \exp \left[-i \theta \vec{n} \cdot \vec{J} \right]$$

et son action sur les vecteurs $|j, m\rangle$ ainsi que sur les matrices $N \times N$ est donnée par⁵¹

$$U(R) |j, m\rangle = \sum_{m'=-j}^{m'=+j} \mathcal{D}_{m'm}^j(R) |j, m'\rangle \quad \text{et}$$

49. Ugo Fano : "Description of States in Quantum Mechanics by Density Matrix and Operators Techniques", Rev. Mod. Phys. 29 (1957) 74.

50. Etablir cette réciproque. A noter aussi que pour $SU(2)$, toute représentation est équivalente à sa contragrédiente ainsi qu'à sa conjuguée.

51. L'expression de $\mathcal{D}^j(R)$ peut être trouvée dans ITL, chapitre 4, Eq. 4.66.

$$Q' = U(R) Q U^\dagger(R) = \sum_{m_1, m'_1} \sum_{m_2, m'_2} \mathcal{D}_{m_1 m'_1}^j(R) \left[\mathcal{D}_{m_2 m'_2}^j(R) \right]^* Q_{m_1 m_2} |j, m'_1\rangle \langle m'_2, j| \quad (2.197)$$

$$\text{soit } Q'_{m'_1 m'_2} = \langle m'_1, j | Q' | j, m'_2 \rangle = \sum_{m_1} \sum_{m_2} \mathcal{D}_{m_1 m'_1}^j(R) \left[\mathcal{D}_{m_2 m'_2}^j(R) \right]^* Q_{m_1 m_2}$$

La dernière relation met en évidence le fait que l'espace \mathcal{E}^* des matrices complexes $N \times N$ peut lui même être envisagé comme un espace de représentation de $SU(2)$, construit comme produit tensoriel de la représentation D^j et de sa représentation conjuguée D^{j*} (ou de sa contragrédiente, équivalente à cette dernière⁵²). Un tel produit tensoriel est réductible par rapport à $SU(2)$ selon le schéma bien connu

$$D^j \otimes D^{j*} = \bigoplus_{L=0}^{L=2j} D^L \quad (2.198)$$

On est ainsi conduit à envisager une matrice $N \times N$ quelconque Q comme une somme de matrices Q^L , L courant de 0 à $2j$, Q^L étant associée à la représentation irréductible D^L de $SU(2)$:

$$Q = \sum_{L=0}^{L=2j} Q^L \quad (2.199)$$

somme auquel on donne le nom de *développement multipolaire* de la matrice Q .

③ Une matrice complexe quelconque $N \times N$ est définie par N^2 nombres complexes a priori indépendants. Si la trace de la matrice est nulle, seuls $N^2 - 1$ de ces nombres restent a priori indépendants. De cette constatation on déduit qu'une base de l'espace \mathcal{E}^* des matrices complexes $N \times N$ peut être construite au moyen de $N^2 - 1$ matrices indépendantes, ayant chacune une trace nulle, auxquelles on adjoint la matrice identité. Dans la suite, nous montrons comment on peut construire une telle base de matrices tout en se conformant à la décomposition (2.198).

2.6.2 Développement multipolaire d'une matrice $N \times N$

① D'un point de vue technique, la décomposition (2.198) peut être menée en utilisant la représentation adjointe des matrices de \mathcal{E}^* . Celle-ci, agissant sur \mathcal{E}^* , est définie par l'application (Q est une matrice $N \times N$ quelconque)

$$A \longrightarrow \Delta_A : \Delta_A(Q) = [A, Q] \quad (2.200)$$

laquelle constitue un homomorphisme d'algèbre de Lie lorsque l'ensemble des matrices A envisagées forment elles-mêmes une algèbre de Lie. Ainsi, en utilisant l'identité de Jacobi

$$[A, [B, C]] + [B, [C, A]] + [C, [A, B]] = 0$$

on vérifie aisément que les opérateurs adjoints des J_k , notés \mathcal{J}_k ($k = 1, 2, 3$), satisfont les relations de commutation de $\mathfrak{su}(2)$:

$$\begin{aligned} [\mathcal{J}_a, \mathcal{J}_b](Q) &= [J_a, [J_b, Q]] - [J_b, [J_a, Q]] = [J_a, [J_b, Q]] + [J_b, [Q, J_a]] \\ &= [[J_a, J_b], Q] = i \epsilon_{abc} [J_c, Q] = i \epsilon_{abc} \mathcal{J}_c(Q) \end{aligned} \quad (2.201)$$

Une matrice Q_M^L relevant de la représentation D^L doit vérifier les équations

52. ITL, §4.3.3.

$$\begin{aligned} \overrightarrow{\mathcal{J}}^2(Q_M^L) &= \sum_{a=1}^3 [J_a [J_a, Q_M^L]] = L(L+1) Q_M^L \\ \mathcal{J}_3(Q_M^L) &= [J_3, Q_M^L] = M Q_M^L \quad \text{avec} \quad -L \leq M \leq L \end{aligned} \quad (2.202)$$

En choisissant des combinaisons linéaires adéquates de matrices dans D^L , on peut toujours trouver des matrices Q_M^L vérifiant de plus les formules standard

$$[J_{\pm}, Q_M^L] = \sqrt{L(L+1) - M(M \pm 1)} Q_{M \pm 1}^L \quad (2.203)$$

Selon la nomenclature consacrée, l'ensemble des matrices Q_M^L avec $-L \leq M \leq L$ constitue un *opérateur tensoriel irréductible*⁵³. En raison du théorème de Wigner-Eckart, l'élément de matrice $\langle m', j | Q_M^L | j, m \rangle$ est proportionnel au coefficient de Clebsch-Gordan $\langle j, -m; j, m' | L, M \rangle$, lui-même proportionnel à $\delta_{M, m' - m}$.

② Dans l'espace \mathcal{E}^* , on définit couramment le produit scalaire hermitien de deux matrices A et B par⁵⁴

$$(A, B) = \text{Tr } A^\dagger B \quad (2.204)$$

Il est facile de montrer que les opérateurs $\overrightarrow{\mathcal{J}}^2$ et \mathcal{J}_3 sont hermitiques par rapport à ce produit scalaire. On sait qu'alors deux matrices "vecteurs propres" $Q_{M_1}^{L_1}$ et $Q_{M_2}^{L_2}$ correspondant à des valeurs propres différentes de ces opérateurs sont nécessairement orthogonales selon ledit produit scalaire. Par une normalisation convenable, on peut faire en sorte que l'on ait⁵⁵

$$\text{Tr} \left[Q_{M_1}^{L_1} \right]^\dagger Q_{M_2}^{L_2} = \delta_{L_1 L_2} \delta_{M_1 M_2} \quad (2.205)$$

Chacune des représentations D^L n'apparaît qu'une seule fois dans la décomposition (2.198). Aussi, pour une base $\{Q_M^L\}$ donnée, chaque vecteur propre Q_M^L est *unique*, à un facteur de phase près⁵⁶. Or, par conjugaison hermitique, on a

$$[J_3, Q_M^L]^\dagger = -[J_3, [Q_M^L]^\dagger] = M [Q_M^L]^\dagger$$

d'où il ressort que $[Q_M^L]^\dagger$ est vecteur propre de \mathcal{J}_3 avec la valeur propre $-M$ et, d'après ce qui précède, ne peut donc différer de Q_{-M}^L que par un facteur de phase. On peut adapter celui-ci de telle sorte à avoir, conformément à la convention standard⁵⁷,

$$[Q_M^L]^\dagger = (-1)^M Q_{-M}^L \quad (2.206)$$

53. Voir par exemple A. Messiah : "Mécanique Quantique", Dunod, Paris (1964), Tome 2, Chap. XIII, §31, 32.

54. Montrer que $\text{Tr } FG = 0$ si F s'écrit sous la forme $F = [G, H]$.

55. Auquel cas, $\langle m', j | Q_M^L | j, m \rangle = A_L \langle j, m' | j, m; L, M \rangle$ où A_L , indépendant de m et M , a pour module $\sqrt{\frac{2L+1}{2j+1}}$.

56. On vérifie que $\sum_{L=0}^{2j} (2L+1) = (2j+1)^2$.

57. On a alors $A_L^* = A_L$.

Enfin, la représentation D^0 correspond manifestement à la matrice identité. L'application de (2.205) où l'une des deux matrices est proportionnelle à l'identité montre que pour $L \geq 1$, les matrices Q_M^L ont donc une trace nulle. Nous définirons $Q_0^0 = \frac{1}{\sqrt{N}}$.

③ Le but recherché est atteint : l'ensemble des matrices Q_M^L vérifiant (2.202), (2.203), (2.205) et (2.206) constitue une base de l'espace \mathcal{E}^* , orthonormée selon le produit scalaire (2.204), et telle que tous ses éléments correspondant à $L \geq 1$ sont de trace nulle. Une matrice $N \times N$ quelconque A admet ainsi le développement multipolaire⁵⁸ :

$$A = \sum_{L=0}^{L=2j} \sum_{M=-L}^{M=+L} A_M^L Q_M^L \quad \text{avec} \quad A_M^L = \text{Tr} [Q_M^L]^\dagger A \quad (2.207)$$

La norme de la matrice A , telle que définie par le produit scalaire (2.204), prend alors la forme

$$\|A\| = \sqrt{\sum_{L,M} |A_M^L|^2} \quad (2.208)$$

2.6.3 Matrice densité de spin⁵⁹

① Admettons que l'espace \mathcal{E} soit effectivement celui des vecteurs d'états de spin d'une particule massive de spin j . On sait que quel que soit l'état physique dans lequel se présente la particule, état pur ou état de mélange, en tout cas ici, état de spin, celui-ci peut toujours être décrit au moyen d'une matrice densité, ici matrice densité de spin, usuellement notée ρ . Cet opérateur, hermitique et de trace est égale à 1 permet de calculer la moyenne d'une observable ou d'un opérateur quelconque A dans ledit état physique, au moyen de la trace

$$\langle A \rangle = \text{Tr} \rho A \quad (2.209)$$

L'opérateur densité de spin n'est pas nécessairement diagonal dans la base canonique considérée précédemment. Cependant, étant hermitique, il peut être diagonalisé en prenant pour base de \mathcal{E} celle de ses vecteurs propres $|\varphi_a\rangle$:

$$\rho = \sum_a |\varphi_a\rangle p_a \langle \varphi_a| \quad (2.210)$$

Dans cette formule, p_a est la valeur propre (dégénérée ou non) de ρ correspondant au vecteur propre $|\varphi_a\rangle$. Les valeurs propres p_a sont non négatives et satisfont

$$\sum_a p_a = 1 \quad (2.211)$$

La valeur propre p_a s'interprète comme la probabilité de trouver l'état décrit par $|\varphi_a\rangle$ dans l'état physique d'écrit par ρ . Lorsque la particule se trouve dans un état pur $|\varphi\rangle$ normé à l'unité, la matrice densité correspondante est le projecteur

$$\rho = |\varphi\rangle \langle \varphi| \quad (2.212)$$

Généralement, on a, de façon évidente

58. Ainsi nommé car il s'apparente au développement d'un champ scalaire dépendant des coordonnées sphériques r, θ, φ , selon les harmoniques sphériques $Y_m^\ell(\theta, \varphi)$, les coefficients Q_m^ℓ intervenant dans ce développement étant qualifiés de *multipôles*.

59. Voir, par exemple, J. Werle, loc. cit., Chap. III §26, Chap IV, §32.

$$\boxed{\text{Tr } \rho^2 \leq 1} \quad (2.213)$$

L'égalité dans (2.213) n'est en fait réalisée que *si et seulement si* l'opérateur densité est associé à un état pur, c'est-à-dire, est de la forme (2.212)⁶⁰. L'égalité $\text{Tr } \rho^2 = 1$ représente donc un critère pour reconnaître si la particule se trouve ou non dans un état pur.

② Comme toute matrice $N \times N$, la matrice densité de spin admet le développement multipolaire :

$$\boxed{\rho = \sum_{L=0}^{L=2j} \sum_{M=-L}^{M=+L} \rho_M^L Q_M^L \quad \text{avec} \quad \rho_M^L = \text{Tr} [Q_M^L]^\dagger \rho} \quad (2.214)$$

La matrice ρ étant hermitique, on a

$$[\rho_M^L]^* = (-1)^M \rho_{-M}^L \quad (2.215)$$

Explicitons dans ce développement les termes correspondant à $L = 0$ et $L = 1$. Pour $L = 0$, il n'y a qu'un seul terme, pour lequel $Q_0^0 = 1/\sqrt{N}$, et

$$\rho_0^0 = \text{Tr } Q_0^0 \rho = \frac{1}{\sqrt{N}} \text{Tr } \rho = \frac{1}{\sqrt{N}}, \quad \text{donc} \quad \rho_0^0 Q_0^0 = \frac{1}{N}$$

Si tous les états de spin de la particule sont *équiprobables*, auquel cas la particule est dite *non polarisée*, seul ce terme est présent et l'on a donc

$$\rho_{\text{np}} = \frac{1}{N} = \frac{1}{2j+1} \quad (2.216)$$

A l'aide du développement (2.214), l'inégalité générale (2.213) prend la forme

$$\frac{1}{N} + \sum_{L=1}^{L=2j} \sum_{M=-L}^{M=+L} |\rho_M^L|^2 \leq 1 \quad \text{soit} \quad N \sum_{L=1}^{L=2j} \sum_{M=-L}^{M=+L} |\rho_M^L|^2 \leq N-1 = 2j \quad (2.217)$$

On est alors amené à définir un *degré de polarisation* par

$$\zeta = \sqrt{\frac{N}{2j} \sum_{L=1}^{L=2j} \sum_{M=-L}^{M=+L} |\rho_M^L|^2} \quad (2.218)$$

Ce paramètre est compris entre 0 et 1. Le cas $\zeta = 1$ correspond à un état pur, tandis que si $\zeta = 0$, la particule est complètement non polarisée. Si $0 < \zeta < 1$, la particule est dite *partiellement polarisée*.

Pour $L = 1$, on doit avoir $Q_1^1 \propto J_1 + iJ_2$ et $Q_0^1 \propto J_3$. On trouve les facteurs de normalisation en calculant

$$\text{Tr } J_1^2 = \text{Tr } J_2^2 = \text{Tr } J_3^2 = \frac{1}{3} \text{Tr } \overrightarrow{J}^2 = \frac{1}{3} N j(j+1)$$

60. Démontrer cette assertion.

On trouve ainsi

$$Q_1^1 = -\sqrt{\frac{3}{2Nj(j+1)}} (J_1 + iJ_2), \quad Q_{-1}^1 = -[Q_1^1]^\dagger = \sqrt{\frac{3}{2Nj(j+1)}} (J_1 - iJ_2),$$

$$Q_0^1 = \sqrt{\frac{3}{Nj(j+1)}} J_3 \quad (2.219)$$

D'où

$$\rho_1^1 = -\sqrt{\frac{3}{2Nj(j+1)}} \langle J_1 + iJ_2 \rangle, \quad \rho_0^1 = \sqrt{\frac{3}{Nj(j+1)}} \langle J_3 \rangle \quad (2.220)$$

Il vient alors

$$\sum_{M=-1}^{M=+1} \rho_M^1 Q_M^1 = \frac{3}{Nj(j+1)} \langle \vec{J} \rangle \cdot \vec{J} \quad (2.221)$$

Définissant le *vecteur de polarisation* de la particule par

$$\boxed{\vec{\xi} = \sqrt{\frac{3}{2j^2(j+1)}} \langle \vec{J} \rangle} \quad (2.222)$$

on obtient finalement

$$\sum_{M=-1}^{M=+1} \rho_M^1 Q_M^1 = \frac{1}{N} \sqrt{\frac{6}{j+1}} \vec{\xi} \cdot \vec{J} \quad \text{et} \quad \frac{N}{2j} \sum_{M=-1}^{M=+1} |\rho_M^1|^2 = |\vec{\xi}|^2 \quad (2.223)$$

et la relation (2.217) induit la contrainte

$$\boxed{|\vec{\xi}|^2 \leq 1} \quad (2.224)$$

③ On sait que l'opération de parité (ou réflexion d'espace) *commute* avec les rotations. L'espace \mathcal{E} étant supposé être un espace de représentation irréductible du groupe des rotations, l'application du lemme de Schur⁶¹ montre alors que ladite opération est représentée dans cet espace par un multiple de la matrice unité, et sa représentation *unitaire* est un simple facteur de phase. Il en résulte que tous les tenseurs irréductibles du développement (2.214) sont tous *pairs* vis-à-vis de l'opération de parité. Le tenseur de rang 1 notamment, qui représente un vecteur est en fait un *pseudo-vecteur*. Le vecteur de polarisation est donc un pseudo-vecteur.

④ Dans le cas où $j = 1/2$, le développement (2.214) ne comporte que les deux premiers termes correspondant à $L = 0$ et $L = 1$. On a ici $\vec{J} = \vec{\tau}/2$ où $\vec{\tau}$ représente l'ensemble des matrices de Pauli. La formule générale (2.222) donne ici $\vec{\xi} = \langle \vec{\tau} \rangle$ et la matrice densité correspondante s'écrit

61. I. Schur : "Untersuchungen über die Darstellung der endlichen Gruppen durch gebrochenen linearen Substitutionen", J. Reine. Angew. Math., vol. 132, 1907, p. 85-137 ; voir aussi : H. Bacry, loc. cit., p. 59.

$$\rho = \frac{1}{2} \left\{ 1 + \overrightarrow{\xi} \cdot \overrightarrow{\tau} \right\} \quad (2.225)$$

Elle est donc complètement déterminée par le vecteur de polarisation.

⑤ Il est clair qu'en effectuant les produits de divers ordres des opérateurs J_1 , J_2 et J_3 , lesquels se transforment par rotation comme les composantes d'un 3-vecteur, on peut construire des composantes d'opérateurs tensoriels irréductibles correspondant chacun à une valeur donnée de L . Ainsi, pour $L = 2$ et $j \geq 1$, on obtient⁶²

$$\begin{aligned} Q_2^2 &= \frac{1}{D} J_+^2, & Q_1^2 &= -\frac{1}{D} (J_+ J_3 + J_3 J_+), & Q_0^2 &= \sqrt{\frac{2}{3}} \frac{1}{D} [3 J_3^2 - j(j+1)], \\ \text{avec} \quad D &= \sqrt{\frac{2Nj(j+1)[4j(j+1)-3]}{15}} & & & & (2.226) \\ Q_{-1}^2 &= -Q_1^{2\dagger}, & Q_{-2}^2 &= Q_2^{2\dagger} \end{aligned}$$

En tenant compte du fait que $j(j+1) \equiv J_1^2 + J_2^2 + J_3^2$, le terme du développement de ρ correspondant à $L = 2$ s'écrit sous la forme

$$\begin{aligned} \rho^{(2)} &= \sum_{i,j=1}^3 a_{ij} J_i J_j \quad \text{avec} \\ a_{11} &= \frac{1}{D} \left[\rho_2^2 + \rho_2^{2*} - \sqrt{\frac{2}{3}} \rho_0^2 \right], & a_{22} &= -\frac{1}{D} \left[\rho_2^2 + \rho_2^{2*} + \sqrt{\frac{2}{3}} \rho_0^2 \right] \\ a_{33} &= \frac{2}{D} \rho_0^2 \sqrt{\frac{2}{3}}, & a_{12} = a_{21} &= \frac{i}{D} [\rho_2^2 - \rho_2^{2*}], & a_{13} = a_{31} &= -\frac{1}{D} [\rho_1^2 + \rho_1^{2*}] \\ a_{23} &= a_{32} = -\frac{i}{D} [\rho_1^2 - \rho_1^{2*}] \end{aligned} \quad (2.227)$$

On constate que les coefficients a_{ij} sont tous réels et symétriques suivant leurs indices i et j . En outre,

$$\sum_{i=1}^3 a_{ii} = 0 \quad (2.228)$$

On peut tout aussi bien considérer l'espace \mathcal{E} comme celui de la représentation irréductible $\mathcal{D}(j, 0)$ de $SL(2, C)$, pour laquelle les générateurs de ce groupe sont représentés par les matrices $J_{k\ell} = \epsilon_{k\ell m} J_m$ et $J^{0k} = i J_k$. Dans ce contexte, une base de spin de vecteurs $|j, m\rangle$ est nécessairement définie par rapport à une "tétrade" attachée à un 4-vecteur t donné, supposé ici du genre temps, pointant vers le futur, et unitaire. Cette tétrade est constituée en adjoignant à t trois 4-vecteurs n_1, n_2, n_3 du genre espace, formant avec lui une base d'espace-temps orthonormée et d'orientation directe, laquelle s'obtient à partir d'une base de référence au moyen d'une transformation de Lorentz représentée par une matrice de $SL(2, C)$ notée $[t]$, appelée aussi "tétrade". On est ainsi amené à poser

$$J_k \equiv -n_k \cdot W \quad (k = 1, 2, 3) \quad \text{avec} \quad W_\mu = \frac{1}{2} \epsilon_{\mu\nu\alpha\beta} t^\nu J^{\alpha\beta} \quad (2.229)$$

62. Démontrer que $\text{Tr} J_3^4 = \frac{Nj(j+1)}{15} [3j(j+1) - 1]$.

les matrices $J^{\alpha\beta}$ étant les représentants des générateurs de $SL(2, C)$, définis comme indiqué ci-dessus, et W_μ l'opérateur de polarisation approprié. L'expression de $\rho^{(2)}$ peut alors être réécrite sous la forme d'un produit scalaire⁶³

$$\rho^{(2)} = \varphi_{\mu\nu} W^\mu W^\nu \quad \text{avec} \quad \varphi_{\mu\nu} = \sum_{i,j=1}^3 a_{ij} n_{i\mu} n_{j\nu} \quad (2.230)$$

L'opérateur densité se comportant comme une grandeur scalaire sous les transformations de Lorentz :

$$U(a, A) \rho([t]) U^\dagger(a, A) = \rho([At]) \quad (2.231)$$

les $\varphi_{\mu\nu}$ sont les composantes d'un tenseur de rang 2. De par la symétrie des a_{ij} et les relations d'orthogonalité $t \cdot n_i = 0$, $n_i \cdot n_j = -\delta_{ij}$, ce tenseur est :

- réel, symétrique suivant ses deux indices μ et ν ;
- et vérifie $t^\mu \varphi_{\mu\nu} = 0$; $\varphi_\mu^\mu = \sum_i a_{ii} = 0$.

On notera que le terme de rang 1 (2.221) peut s'écrire sous une forme similaire :

$$\rho^{(1)} = \varphi_\mu W^\mu \quad \text{avec} \quad t^\mu \varphi_\mu = 0 \quad (2.232)$$

L. Michel a montré que l'on peut généraliser ce qui précède à tous les termes du développement de la matrice densité et écrire celle-ci comme^{64, 65}

$$\rho = \frac{1}{2j+1} \left\{ 1 + \varphi_\mu W^\mu + \varphi_{\mu\nu} W^\mu W^\nu + \dots + \varphi_{\mu_1\mu_2\dots\mu_{2j}} W^{\mu_1} W^{\mu_2} \dots W^{\mu_{2j}} \right\} \quad (2.233)$$

Les $2j$ tenseurs $\varphi_{\mu_1\dots\mu_q}$ ($1 \leq q \leq 2j$) intervenant dans cette somme sont tous réels, symétriques, orthogonaux à t et tels que $\varphi_{\mu\mu_3\dots\mu_q}^\mu = 0$ pour $q \geq 2$.

⊙ Ainsi que nous l'avons rappelé dans une note précédente, toute représentation irréductible D de $SU(2)$ est équivalente à sa contragrédiente ${}^t D^{-1}$, elle-même équivalente à la représentation conjuguée D^* . En effet, d'une part, dans la représentation standard introduite au début de cette section, on a $J_1^* = J_1$, $J_2^* = -J_2$, $J_3^* = J_3$; d'autre part, il est facile de montrer que l'opérateur unitaire $U = e^{i\pi J_2}$ est tel que $U J_1 U^{-1} = -J_1$, $U J_2 U^{-1} = J_2$, $U J_3 U^{-1} = -J_3$, soit $U J_k U^{-1} = -J_k^* = -{}^t J_k$. Ce résultat nous permet d'écrire :

$$\begin{aligned} \text{Tr } J_{k_1} \dots J_{k_q} &\equiv \text{Tr } J'_{k_1} \dots J'_{k_q} = (-1)^q \text{Tr } J_{k_1}^* \dots J_{k_q}^* = (-1)^q \left[\text{Tr } J_{k_1} \dots J_{k_q} \right]^* \\ &= (-1)^q \text{Tr } {}^t J_{k_1} \dots {}^t J_{k_q} = (-1)^q \text{Tr } J_{k_q} \dots J_{k_1} \end{aligned} \quad (2.234)$$

On en déduit notamment que la trace d'un produit d'un nombre *pair* de matrices J_k est *réelle*; c'est un nombre *imaginaire pur* si ce produit comprend un nombre *impair* de matrices J_k ; soit encore, la trace $\text{Tr } W_{\mu_1} \dots W_{\mu_q}$ est réelle si q est pair, imaginaire pure si q est impair.

63. Ici, nous ne considérons pas le cas plus général où dans (2.196) le ket $|j, m\rangle$ correspondrait au 4-vecteur t tandis que le bra $\langle m', j|$ correspondrait à un autre 4-vecteur t' et donc à une autre tétrade $[t']$; voir P. Moussa, R. Stora, loc. cit. p.297.

64. L. Michel : "Covariant description of Polarization", Nuovo Cimento, suppl. 14, (1959), p.95.

65. Prendre garde au fait que les composantes W_μ ne commutent pas : $[W_\mu, W_\nu] = i \epsilon_{\mu\nu\rho\sigma} t^\rho W^\sigma$.

© Nous laissons au lecteur le soin de démontrer les relations suivantes⁶⁶, où $K = \frac{1}{3} N j(j+1)$.

$$\begin{aligned}
 \text{Tr } J_k J_\ell &= K \delta_{k\ell}, & \text{Tr } W_\mu W_\nu &= K (t_\mu t_\nu - g_{\mu\nu}) \\
 \text{Tr } J_k J_\ell J_m &= i \frac{K}{2} \epsilon_{k\ell m}, & \text{Tr } W_\mu W_\nu W_\rho &= i \frac{K}{2} \epsilon_{\mu\nu\rho\sigma} t^\sigma \\
 \sum_r J_r J_k J_r &= [j(j+1) - 1] J_k \\
 \sum_r J_r J_k J_\ell J_r &= [j(j+1) - 2] J_k J_\ell - J_\ell J_k + \delta_{k\ell} j(j+1) \\
 \sum_r J_r J_k J_\ell J_m J_r &= [j(j+1) - 3] J_k J_\ell J_m - J_\ell J_k J_m - J_m J_\ell J_k - J_k J_m J_\ell \\
 &\quad + j(j+1) [\delta_{k\ell} J_m + \delta_{km} J_\ell + \delta_{\ell m} J_k] - \delta_{km} J_\ell \\
 \text{Tr } J_k J_\ell J_m J_n &= \frac{K}{10} \{ 2j(j+1) [\delta_m^k \delta_n^\ell + \delta_\ell^k \delta_n^m + \delta_n^k \delta_m^\ell] + \delta_n^k \delta_m^\ell + \delta_\ell^k \delta_n^m - 4 \delta_m^k \delta_n^\ell \} \quad (2.235) \\
 \text{Tr } J_k J_\ell J_m J_n J_p &= i \frac{K}{10} \{ j(j+1) [\delta_{k\ell} \epsilon_{mnp} + \delta_{km} \epsilon_{\ell np} + \delta_{kn} \epsilon_{\ell mp} + \delta_{kp} \epsilon_{\ell mn} \\
 &\quad + \delta_{\ell m} \epsilon_{nkp} + \delta_{\ell n} \epsilon_{mpk} + \delta_{\ell p} \epsilon_{mnk} + \delta_{mn} \epsilon_{pk\ell} + \delta_{mp} \epsilon_{nkl} + \delta_{np} \epsilon_{k\ell m}] \\
 &\quad - \delta_{km} \epsilon_{\ell np} - \delta_{kn} \epsilon_{\ell mp} - \delta_{\ell n} \epsilon_{kmp} - \delta_{\ell p} \epsilon_{kmn} - \delta_{mp} \epsilon_{k\ell n} \} \\
 \text{Tr } \left[\overrightarrow{n} \cdot \overrightarrow{J} \right]^{2p+1} &= 0 \\
 \text{Tr } \left[\overrightarrow{n} \cdot \overrightarrow{J} \right]^{2p} &= \frac{(2p)!}{p!} \left\{ \frac{d^p}{d\chi^p} \left[\frac{\sinh(\sqrt{\chi}(j + \frac{1}{2}))}{\sinh(\sqrt{\chi}/2)} \right] \right\}_{\chi=0}
 \end{aligned}$$

66. Pour calculer la trace d'un produit de q matrices J_k , on peut procéder de deux façons. La première consiste à considérer la trace de $q+1$ de ces matrices, d'utiliser leurs relations de commutation pour obtenir des traces de produits de q matrices, puis de contracter le résultat par un symbole de Levi-Civita approprié. Cependant, comme cette méthode introduit inévitablement une dissymétrie, le résultat final ne devient présentable qu'au prix d'une opération de symétrisation qui alourdit notablement le calcul lorsque le nombre q de matrices est grand. La seconde est plus méthodique, plus symétrique aussi, mais devient également compliquée à mesure que q devient grand. Elle consiste à considérer la trace d'un produit de q rotations $R_k = e^{-i\theta_k \overrightarrow{n}_k \cdot \overrightarrow{J}}$. Ce produit est aussi une rotation $R = e^{-i\psi_q \overrightarrow{N}_q \cdot \overrightarrow{J}}$ dont la trace est donnée par

$$F(\psi_q^2) = \frac{\sin(\psi_q(j + \frac{1}{2}))}{\sin(\psi_q/2)} = (2j+1)j(j+1) \left\{ 1 - \frac{\psi_q^2}{3!} + \frac{\psi_q^4}{5!} \left[j(j+1) - \frac{1}{3} \right] + \dots \right\}$$

Pour des petits angles, on a $R_k = 1 - i\theta_k \overrightarrow{n}_k \cdot \overrightarrow{J}$. On voit ainsi que la trace de R contient le terme $(-i)^q \theta_1 \dots \theta_q \text{Tr } \overrightarrow{n}_1 \cdot \overrightarrow{J} \dots \overrightarrow{n}_q \cdot \overrightarrow{J}$. L'étape suivante consiste à extraire du développement de $F(\psi_q^2)$ le terme proportionnel au produit $\theta_1 \dots \theta_q$ et d'obtenir la trace recherchée par identification. D'une part, ce calcul implique celui de $z_q = \sin(\psi_q/2) = \sqrt{1 - \cos^2(\psi_q/2)}$ que l'on peut mener à bien au moyen des formules de récurrence

$$\begin{aligned}
 \cos \frac{\psi_{k+1}}{2} &= \cos \frac{\theta_{k+1}}{2} \cos \frac{\psi_k}{2} - \sin \frac{\theta_{k+1}}{2} \sin \frac{\psi_k}{2} \overrightarrow{n}_{k+1} \cdot \overrightarrow{N}_k \\
 \sin \frac{\psi_{k+1}}{2} \overrightarrow{N}_{k+1} &= \cos \frac{\theta_k}{2} \sin \frac{\psi_k}{2} \overrightarrow{N}_k + \cos \frac{\psi_k}{2} \sin \frac{\theta_{k+1}}{2} \overrightarrow{n}_{k+1} + \sin \frac{\psi_k}{2} \sin \frac{\theta_{k+1}}{2} \overrightarrow{N}_k \wedge \overrightarrow{n}_{k+1}
 \end{aligned}$$

D'autre part, il doit tenir compte du développement

$$\frac{\psi_q}{2} = z_q + \frac{1 \cdot z_q^3}{2.3} + \frac{1.3 \cdot z_q^5}{2.4.5} + \frac{1.3.5 \cdot z_q^7}{2.4.6.7} + \dots$$

2.7 Complément IV : Matrice densité de spin du photon et son expression covariante

On sait qu'un photon (particule de masse nulle) de 4-impulsion donnée ne peut se trouver que dans deux états d'hélicité opposées, $+1$ ou -1 . Envisageons l'espace vectoriel complexe de dimension 2 engendré par ces deux états que nous noterons $|+\rangle$ et $|-\rangle$, respectivement. L'analogie avec la description des états de spin d'une particule de spin $1/2$ apparaît clairement et l'on peut utiliser ici le même formalisme bi-dimensionnel avec les matrices de Pauli pour construire la matrice densité de spin du photon. Il est ainsi évident que dans ce schéma cette matrice doit prendre la forme (2.225) :

$$\rho = \frac{1}{2} \left\{ 1 + \vec{\xi} \cdot \vec{\tau} \right\} \quad \text{avec} \quad \vec{\xi} = \text{Tr } \rho \vec{\tau} \quad (2.236)$$

Considérons le cas d'un photon décrit par un état pur $|c\rangle = c_+ |+\rangle + c_- |-\rangle$ normalisé à 1 ($|c_+|^2 + |c_-|^2 = 1$). On a

$$\begin{aligned} \rho = |c\rangle\langle c| &= \begin{pmatrix} |c_+|^2 & c_+ c_-^* \\ c_- c_+^* & |c_-|^2 \end{pmatrix} \quad \text{et} \\ \xi_1 = \langle \tau_1 \rangle &= 2 \Re[c_- c_+^*], \quad \xi_2 = \langle \tau_2 \rangle = 2 \Im[c_- c_+^*] \\ \xi_3 = \langle \tau_3 \rangle &= |c_+|^2 - |c_-|^2, \quad \vec{\xi}^2 = \xi_1^2 + \xi_2^2 + \xi_3^2 = 1 \end{aligned} \quad (2.237)$$

et l'on vérifie que $\text{Tr } \rho^2 = \frac{1}{2} \left[1 + \vec{\xi}^2 \right] = 1$. Les composantes ξ_k du vecteur de polarisation sont les *paramètres de Stokes* qui caractérisent l'état pur considéré⁶⁷.

Il est facile d'établir l'expression covariante de la matrice densité du photon en tenant compte de l'isomorphisme entre les matrices 2×2 de Pauli et les tenseurs définis en (2.23). Dans cette description covariante, la matrice densité est alors un tenseur de rang 2 dont les éléments sont

$$\rho_{\mu\nu} = \frac{1}{2} \left\{ T_{0\mu\nu} + \sum_k \xi_k T_{k\mu\nu} \right\} \quad (2.238)$$

Les expressions de la matrice densité données ci-dessus restent valables lorsqu'on a affaire à un mélange statistique d'états, mais la norme du vecteur $\vec{\xi}$ est dans ce cas inférieure à 1.

67. Voir ITL, section 4.7.

Chapitre 3

Spineurs de Dirac en couplages d'hélicité

3.1 Introduction

En Physique des particules, on a souvent à considérer des réactions élémentaires faisant intervenir, à l'état initial ou à l'état final, des particules de spin 1/2, leptons ou quarks. Considérons l'exemple simple de l'effet Compton en Electrodynamique Quantique :

$$e + \gamma \rightarrow e + \gamma \quad (3.1)$$

e représentant l'électron, γ le photon. A part des facteurs ici inessentiels, l'amplitude de transition de ce processus prend la forme

$$T_{\sigma',\lambda';\sigma,\lambda} = \epsilon_{\lambda'}^{*\mu}(k') \bar{U}_{\sigma'}(p') \mathcal{M}_{\mu\nu} U_{\sigma}(p) \epsilon_{\lambda}^{\nu}(k) \quad (3.2)$$

où $\mathcal{M}_{\mu\nu}$ est un tenseur que l'on écrit suivant les règles bien connues de Feynman et qui se présente, en toute généralité, comme une somme de produits de matrices γ de Dirac, la présence de celles-ci venant d'une part du couplage vectoriel électron-photon en γ_{δ} , et d'autre part de facteurs de propagation de l'électron, du type $m + \gamma(q)$, m étant la masse de l'électron.

Si l'on s'intéresse uniquement à la section efficace totale de cette réaction, on doit tout d'abord calculer le taux d'interaction :

$$\mathcal{T} = \sum_{\lambda'\lambda} \sum_{\sigma,\sigma'} |T_{\sigma'\sigma;\lambda'\lambda}|^2 \quad (3.3)$$

Ceci est usuellement mené à terme sans qu'il soit nécessaire de définir les états de spin des particules entrantes et sortantes, en transformant la somme dans (3.3) de façon à faire apparaître des projecteurs

$$\begin{aligned} \mathcal{T} = & \sum_{\lambda'} \epsilon_{\lambda'}^{*\mu}(k') \epsilon_{\lambda'}^{\rho}(k') \sum_{\lambda} \epsilon_{\lambda}^{\nu}(k) \epsilon_{\lambda}^{*\delta}(k) \times \\ & \times \text{Tr} \left\{ \sum_{\sigma'} U_{\sigma'}(p') \bar{U}_{\sigma'}(p') \mathcal{M}_{\mu\nu} \sum_{\sigma} U_{\sigma}(p) \bar{U}_{\sigma}(p) \bar{\mathcal{M}}_{\rho\delta} \right\} \end{aligned}$$

où $\bar{\mathcal{M}}_{\rho\delta} = \gamma_0 \mathcal{M}_{\rho\delta}^{\dagger} \gamma_0$, puis en effectuant les substitutions ¹

1. En tenant compte de l'invariance de jauge : $k'^{\mu} \bar{U}_{\sigma'}(p') \mathcal{M}_{\mu\nu} U_{\sigma}(p) = 0$, $k^{\nu} \bar{U}_{\sigma'}(p') \mathcal{M}_{\mu\nu} U_{\sigma}(p) = 0$.

$$\sum_{\lambda'} \epsilon_{\lambda'}^{*\mu}(k') \epsilon_{\lambda'}^{\rho}(k') \rightarrow -g_{\mu\rho}, \quad \sum_{\lambda} \epsilon_{\lambda}^{\nu}(k) \epsilon_{\lambda}^{*\delta}(k) \rightarrow -g_{\nu\delta}$$

$$\sum_{\sigma'} U_{\sigma'}(p') \bar{U}_{\sigma'}(p') = m + \gamma(p'), \quad \sum_{\sigma} U_{\sigma}(p) \bar{U}_{\sigma}(p) = m + \gamma(p)$$

de sorte que \mathcal{T} prenne la forme d'une trace

$$\mathcal{T} = \text{Tr} [m + \gamma(p')] \mathcal{M}^{\mu\nu} [m + \gamma(p)] \bar{\mathcal{M}}_{\mu\nu} \quad (3.4)$$

dont le calcul est une affaire de “ γ -gymnastique”². Si le nombre maximum de matrices γ impliquées n'est pas trop élevé, ce calcul se fait aisément à la main. Pour l'effet Compton considéré à l'ordre le plus bas suivant la constante électromagnétique³ $\alpha = 1/137$, il est de trois, ce qui ne pose aucune difficulté. Par contre, pour des processus plus compliqués, ce nombre peut être élevé et dans ce cas on effectue généralement le calcul sur ordinateur, à l'aide d'un logiciel de calcul symbolique (par exemple, “Mathematica”). Certes, ce moyen permet un gain indéniable en rapidité d'exécution du calcul tout en prévenant les erreurs. Cependant, l'expérience montre que ce gain est généralement contrecarré par la grande longueur et le manque de transparence du résultat ainsi obtenu, qui devient dès lors hermétique à l'interprétation physique. En effet, l'expérience montre aussi que tout calcul analytique comporte des astuces permettant des simplifications et des regroupements de termes, ce que le logiciel de calcul⁴ ignore généralement. C'est d'ailleurs la difficulté d'exploiter le résultat analytique délivré par ledit logiciel et la facilité d'un traitement informatique global, qui pourraient en partie expliquer le fait que dans les revues spécialisées, nombre d'articles traitant de tels processus ne présentent quasiment plus de formules analytiques, mais seulement des résultats numériques finals, sous forme de courbes ou de jolies représentations 3D très en vogue...

Le calcul de chacune des amplitudes telles que (3.2), s'avère nécessaire lorsqu'on recherche des effets liés aux états de spin des particules impliquées dans une réaction. D'une part, on accomplit ainsi une analyse théorique fine de celle-ci, ce qui est déjà en soi très satisfaisant, et d'autre part, par comparaison avec les mesures expérimentales, on peut vérifier plus précisément ces prévisions théoriques et éventuellement, selon la réaction considérée, de déceler plus clairement des déviations par rapport à ces prévisions, qui seraient révélatrices de nouveaux phénomènes, comme par exemple des couplages jusqu'alors inconnus entre particules. Outre qu'il soit incontournable pour ce type d'étude, un calcul pas à pas du processus, amplitude par amplitude, apparaît plus méthodique techniquement parlant, tout en se prêtant mieux à l'interprétation physique⁵, ces deux aspects se complétant dans une telle décomposition du calcul, ce qui permet aussi d'éviter des erreurs⁶.

On a souvent considéré les effets de spin comme n'apportant que des complications de calcul. Sans doute ce jugement provient-il, au moins en partie, du fait que l'on peut se trouver perplexe devant les nombreux choix possibles pour définir les états de spin des particules, ne sachant lequel pourrait être le plus judicieux. Or, comme nous l'avons esquissé au chapitre 1, et comme nous l'illustrerons dans la suite, l'utilisation des couplages d'hélicité se révèle un procédé efficace et clarificateur pour le calcul d'amplitudes envisagé. C'est pourquoi l'objet de ce chapitre est de définir les couplages d'hélicité impliquant des spineurs de Dirac et d'établir des formules utiles s'y rapportant.

Considérons un processus $1 + 2 \rightarrow 3 + 4$ (deux particules 1 et 2 entrant en collision donnant deux particules 3 et 4 à l'état final), schématisé à la figure (3.1). Les impulsions et les masses

2. ITL, section 7.3.

3. Ou constante de structure fine.

4. Ou plutôt, son concepteur !

5. Certaines amplitudes peuvent se révéler plus importantes que d'autres dans le processus étudié.

6. Ajoutons que même dans cette démarche, il est toujours possible de s'aider astucieusement d'un ordinateur !

respectives des particules 1, 2, 3 et 4 seront notées (p_1, m_1) , (p_2, m_2) , (p_3, m_3) et (p_4, m_4) . Dans un premier temps, les masses sont supposées non nulles et toutes différentes.

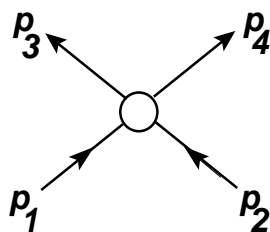


FIGURE 3.1 – Schéma d'une réaction $1 + 2 \rightarrow 3 + 4$

Le couplage le plus couramment utilisé est celui de la voie s , entre 1 et 2 d'une part, et 3 et 4 d'autre part. C'est sûrement le plus judicieux pour des processus tels que celui représenté par le diagramme de la figure (3.2), dans lequel une particule (virtuelle) est échangée dans la voie s , ou lorsqu'une résonance est formée dans cette voie.

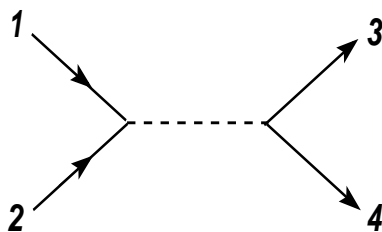


FIGURE 3.2 – Réaction avec échange de particule dans la voie s

Par contre, pour des processus répondant au schéma de la figure (3.3) (a), où une particule (virtuelle) est échangée dans la voie t , le couplage dans la voie t s'impose, entre 1 et 3 d'une part, et 2 et 4 d'autre part.

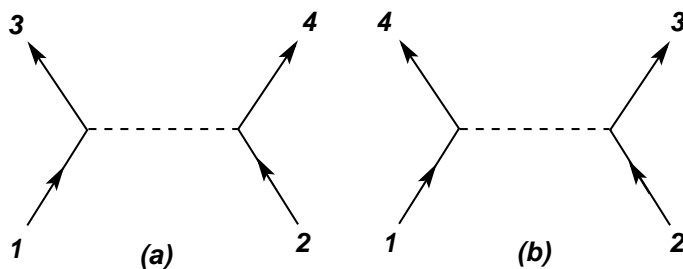


FIGURE 3.3 – (a) : Réaction avec échange de particule dans la voie t ;
(b) : diagramme d'échange $3 \leftrightarrow 4$.

Cependant, l'affaire se complique si les particules impliquées sont toutes de la même espèce, car en plus du diagramme (a), on doit considérer le diagramme (b) déduit du premier par l'échange entre les particules 3 et 4. Comme les états de spin de chaque particule doivent être définis une fois pour toutes pour le processus global, le couplage dans la voie t utilisé pour le diagramme (a) n'est plus adapté au diagramme (b). Dans ce cas, il vaut mieux utiliser le couplage dans la voie s .

Pour des raisons pratiques évidentes, les réactions (collisions) réalisées en laboratoire avec des accélérateurs se font entre deux particules entrantes uniquement. Si ces particules sont composites (hadrons constitués de quarks), les phénomènes sont généralement interprétés en termes de collisions entre deux des constituants élémentaires de ces particules (quark ou gluon). Par contre, l'état final peut contenir plus de deux particules. Il est alors préférable d'introduire un autre type de couplage d'hélicité dans cet état final⁷.

Faisons aussi la remarque suivante. Envisageons l'amplitude de transition d'un processus relevant du modèle standard électro-faible ou de la chromodynamique quantique, et impliquant des leptons ou des quarks externes. Il est connu qu'en effectuant des anti-commutations appropriées de matrices γ et en utilisant les équations de Dirac relatives aux spineurs externes, on peut faire disparaître tous les facteurs de masse des numérateurs des propagateurs internes de spineurs. On obtient alors une amplitude de transition où les matrices 4×4 "sandwichées" sont des produits de matrices γ où celles-ci interviennent en nombre impair. Fondamentalement, ceci est une conséquence de la nature du couplage γ_μ ou $\gamma_\mu \gamma_5$ entre les leptons ou les quarks, et les particules vectorielles (γ, W, Z , gluon). A titre d'illustration, considérons l'effet Compton (3.1), au plus bas ordre en α . Notons p_1 et p_2 les impulsions respectives de l'électron et du photon initiaux, p_3 et p_4 les impulsions respectives de l'électron et du photon finals. L'amplitude de transition s'écrit

$$T_{\sigma_2, \lambda_2; \sigma_1 \lambda_1} = 4\pi\alpha \epsilon_{\lambda_4}^{\mu*}(p_4) \bar{U}_{\sigma_3}(p_3) \mathcal{M}_{\mu\nu} U_{\sigma_1}(p_1) \epsilon_{\lambda_2}^\nu(p_2) \quad \text{avec}$$

$$\mathcal{M}_{\mu\nu} = \gamma_\mu \frac{m + \gamma(p_1 + p_2)}{m^2 - (p_1 + p_2)^2} \gamma_\nu + \gamma_\nu \frac{m + \gamma(p_1 - p_4)}{m^2 - (p_1 - p_4)^2} \gamma_\mu$$

où $\epsilon_{\lambda_2}(p_2)$ et $\epsilon_{\lambda_4}(p_4)$ sont les vecteurs de polarisation respectifs du photon initial et du photon final. Comme

$$[m + \gamma(p_1)] \gamma_\delta U_{\sigma_1}(p_1) = \{\gamma_\delta [m - \gamma(p_1)] + 2p_{1\delta}\} U_{\sigma_1}(p_1) \equiv 2p_{1\delta} U_{\sigma_1}(p_1)$$

on voit que $\mathcal{M}_{\mu\nu}$ peut être remplacé par

$$\mathcal{M}'_{\mu\nu} = \frac{\gamma_\mu \gamma(p_2) \gamma_\nu + 2p_{1\nu} \gamma_\mu}{m^2 - (p_1 + p_2)^2} + \frac{2p_{1\mu} \gamma_\nu - \gamma_\nu \gamma(p_4) \gamma_\mu}{m^2 - (p_1 - p_4)^2}$$

qui s'écrit bien sous la forme attendue. Projetée sur la base des 16 matrices de Dirac⁸, une telle expression n'a de composantes que sur les matrices γ_δ et $\gamma_\delta \gamma_5$:

$$\mathcal{M}'_{\mu\nu} = A_{\mu\nu\delta} \gamma^\delta + B_{\mu\nu\delta} \gamma^\delta \gamma_5 \quad (3.5)$$

Par conséquent, pour ces processus, il suffirait de savoir calculer uniquement des expressions telles que $\bar{U}_{\sigma_3}(p_3) \gamma_\delta U_{\sigma_1}(p_1)$ et $\bar{U}_{\sigma_3}(p_3) \gamma_\delta \gamma_5 U_{\sigma_1}(p_1)$. Cependant, pour des processus plus compliqués que l'effet Compton, la décomposition (3.5) peut s'avérer difficile à établir et prendre finalement plus de temps et de place qu'un calcul direct gardant $\mathcal{M}'_{\mu\nu}$ en l'état⁹. Par ailleurs, il est intéressant de connaître les expressions $\bar{U}_{\sigma_3}(p_3) \Gamma U_{\sigma_1}(p_1)$ où Γ est l'une des 16 matrices de Dirac, dans la perspective de modèles théoriques "au-delà du modèle standard", utilisant des couplages d'interaction différents des couplages vectoriels. Pour ces raisons, nous établirons aussi des formules pour tous les éléments de matrice $\bar{\Psi}_{\sigma_3}(p_3) \Gamma \Phi_{\sigma_1}(p_1)$, avec Ψ, Φ pris comme des spineurs de type U ou de type $V (= \gamma_5 U)$.

Les formules de base utilisées sont les suivantes. Au paragraphe 2.2.4, nous avons montré que dans la transformation de Lorentz pure effectuant le passage de la base (T, X, Y, Z) à la base

7. Voir Chapitre 1, §1.3.4, et C. Carimalo, "Jet-like QED Processes : On General Properties of Impact Factors" hep-ph arXiv:1401.4407.

8. Voir ITL, section 7.2.

9. En considérant aussi qu'il existe toujours des astuces de calcul.

($t, x = X, y = Y, z$), le spineur $U_\sigma([T])$ attaché à la première base devient un spineur $U_\sigma([t])$ attaché à la seconde définie par ¹⁰ $[t] = [T \rightarrow t][T]$, et l'on a

$$U_\sigma([t]) = S_{T \rightarrow t} U_\sigma([T]) \quad \text{avec} \quad S_{T \rightarrow t} = \frac{1 + \gamma(t)\gamma(T)}{\sqrt{2(1+t \cdot T)}} \quad (3.6)$$

Les relations

$$\begin{aligned} 1 + t \cdot T &= 1 + \cosh \chi = 2 \cosh^2 \frac{\chi}{2} \\ [1 + \gamma(t)\gamma(T)] U_\sigma([T]) &= [1 + \gamma(t)] U_\sigma([T]) \quad \text{car} \quad \gamma(T) U_\sigma([T]) = U_\sigma([T]) \quad \text{et} \\ [1 + \gamma(t)] U_\sigma([T]) &= [1 + \cosh \chi \gamma(T) + \sinh \chi \gamma(Z)] U_\sigma([T]) \\ &= 2 \cosh \frac{\chi}{2} \left[\cosh \frac{\chi}{2} + \sinh \frac{\chi}{2} \gamma(Z) \right] U_\sigma([T]) \end{aligned}$$

permettent de réécrire (3.6) comme

$$U_\sigma([t]) = \left[\cosh \frac{\chi}{2} + \sinh \frac{\chi}{2} \gamma(Z) \right] U_\sigma([T]) \quad (3.7)$$

ou encore, en utilisant (2.72),

$$U_\sigma([t]) = \cosh \frac{\chi}{2} U_\sigma([T]) + 2\sigma \sinh \frac{\chi}{2} V_\sigma([T]) \quad (3.8)$$

De la même manière, dans la transformation de Lorentz pure $(T, X, Y, Z) \rightarrow (t', x' = X, y' = Y, z')$, on a

$$U_\sigma([t']) = S_{T \rightarrow t'} U_\sigma([T]) \quad \text{avec} \quad S_{T \rightarrow t'} = \frac{1 + \gamma(t')\gamma(T)}{\sqrt{2(1+t' \cdot T)}} \quad \text{et} \quad [t'] = [T \rightarrow t'][T] \quad (3.9)$$

La tétrade $[T]$ peut servir de référence pour définir les spineurs attachés aux vecteurs t et t' , au moyen des formules (3.6) et (3.9) ou (3.8). Cependant, on doit prendre garde au fait que les spineurs qui y figurent doivent avoir la même normalisation, par exemple $\bar{U}U = 2$. La particularité des deux transformations précédentes est qu'elles agissent dans le même 2-plan (T, Z) . Elles peuvent être envisagées comme des rotations d'angles complexes autour de l'axe Y , conservant l'axe X . Supposons que l'on ait

$$\begin{aligned} t &= \cosh \chi T + \sinh \chi Z, & z &= \sinh \chi T + \cosh \chi Z, \\ t' &= \cosh \chi' T - \sinh \chi' Z, & z' &= -\sinh \chi' T + \cosh \chi' Z \end{aligned}$$

La transformation $(t, X, Y, z) \rightarrow (t', X, Y, z')$ est aussi une transformation de Lorentz pure agissant dans le 2-plan (T, Z) , et l'on a ¹¹

$$t' = \cosh 2\zeta^{(+)} t - \sinh 2\zeta^{(+)} z, \quad z' = -\sinh 2\zeta^{(+)} t + \cosh 2\zeta^{(+)} z, \quad \text{avec} \quad \zeta^{(+)} = \frac{\chi + \chi'}{2}$$

10. Rappelons que $[T \rightarrow t]$ est la matrice (au signe près) de $SL(2, C)$ qui représente ladite transformation de Lorentz pure.

11. Il est facile de vérifier que $S_{T \rightarrow t'} S_{T \rightarrow t}^{-1} = \frac{1 + \gamma(t)\gamma(T)}{\sqrt{2(1+t' \cdot T)}} \frac{1 + \gamma(T)\gamma(t)}{\sqrt{2(1+t \cdot T)}} = \frac{1 + \gamma(t')\gamma(t)}{\sqrt{2(1+t \cdot t')}}.$

$$U_\sigma([t']) = S_{t \rightarrow t'} U_\sigma([t]) \quad \text{avec} \quad S_{t \rightarrow t'} = \frac{1 + \gamma(t') \gamma(t)}{\sqrt{2(1 + t \cdot t')}} \quad \text{et} \quad [t'] = [t \rightarrow t'] [t] \quad (3.10)$$

$$U_\sigma([t']) = \cosh \zeta^{(+)} U_\sigma([t]) - 2\sigma \sinh \zeta^{(+)} V_\sigma([t])$$

Introduisons les 4-vecteurs

$$\mathcal{T} = \cosh \zeta^{(-)} T + \sinh \zeta^{(-)} Z, \quad \mathcal{Z} = \cosh \zeta^{(-)} Z + \sinh \zeta^{(-)} T, \quad \text{où} \quad \zeta^{(-)} = \frac{\chi - \chi'}{2}, \quad (3.11)$$

le premier du genre temps pointant vers le futur, le second du genre espace, orthogonal au premier. On vérifie aisément que

$$\begin{aligned} \mathcal{T} &= \cosh \zeta^{(+)} t - \sinh \zeta^{(+)} z = \cosh \zeta^{(+)} t' + \sinh \zeta^{(+)} z' \\ \mathcal{Z} &= \cosh \zeta^{(+)} z - \sinh \zeta^{(+)} t = \cosh \zeta^{(+)} z' + \sinh \zeta^{(+)} t' \\ \text{où} \quad \zeta^{(+)} &= \frac{\chi + \chi'}{2} \end{aligned} \quad (3.12)$$

L'ensemble $(\mathcal{T}, X, Y, \mathcal{Z})$ forme également une base orthonormée d'orientation directe et l'on a

$$\gamma(\mathcal{T}) \gamma(\mathcal{Z}) = \gamma(T) \gamma(Z) = \gamma(t) \gamma(z) = \gamma(t') \gamma(z') = 2S_Z \gamma_5 \quad (3.13)$$

On peut alors récrire la relation entre spineurs dans (3.10) comme

$$\begin{aligned} U_\sigma([t']) &= \left[\cosh \zeta^{(+)} - \sinh \zeta^{(+)} \gamma(z) \gamma(t) \right] U_\sigma([t]) \\ &= \left[\cosh \zeta^{(+)} \gamma(t) - \sinh \zeta^{(+)} \gamma(z) \right] \gamma(t) U_\sigma([t]) \quad \text{soit} \end{aligned}$$

$$U_\sigma([t']) = \gamma(\mathcal{T}) \gamma(t) U_\sigma([t]) \equiv \gamma(\mathcal{T}) U_\sigma([t]) \quad (3.14)$$

Une telle relation (3.14) sera systématiquement utilisée pour relier les spineurs de Dirac de deux particules en couplage d'hélicité. Dans celle-ci, les spineurs peuvent avoir tous deux la normalisation usuelle $\bar{U}U = 2m$. Supposons que T , t et t' soient tels que

$$T = \kappa (t + t') \quad (3.15)$$

où κ est un réel positif. On a dans ce cas $t \cdot T = t' \cdot T = \kappa (1 + t \cdot t')$, d'où $\chi = \chi'^{12}$, puis $\mathcal{T} \equiv T$, $\mathcal{Z} \equiv Z$, ce qui simplifie encore (3.10). La relation (3.15) est réalisée lorsqu'on considère deux particules de même masse m , dont on définit les états de spin par un couplage d'hélicité, dans la voie s ou dans la voie t (voir chapitre 1). En effet, dans le premier cas, la tétrade de référence est celle attachée à l'impulsion totale $P = p_1 + p_2$ où p_1 et p_2 sont les impulsions respectives des deux particules : notant $P^2 = s$, $T = P/\sqrt{s}$, $t_1 = p_1/m$, $t_2 = p_2/m$, on a $T = \frac{m}{\sqrt{s}}(t_1 + t_2)$. Dans le second cas, la tétrade de référence a pour vecteur unitaire du genre temps (voir Eqs. 1.57, 1.58)

$$T = \frac{p_1 + p_2}{\sqrt{t + 4m^2}} = \frac{m}{\sqrt{t + 4m^2}}(t_1 + t_2) \quad (3.16)$$

12. $\sqrt{2(1 + t \cdot t')} = \kappa^{-1}$ car $T^2 = 1$.

où ici $t = -(p_1 - p_2)^2 > 0$.

Faisons une dernière remarque sur l'interprétation des hélicités des particules. Supposant qu'elles soient de spin $1/2$, l'opérateur d'hélicité de la première est

$$S_{z_1}(t_1) = \frac{1}{2} \gamma_5 \gamma(z_1) \gamma(t_1)$$

Appliquant (3.13), on a

$$S_{z_1}(t_1) = S_Z(T) \quad (3.17)$$

Cette égalité est également valable pour la seconde particule dans le cas d'un couplage dans la voie t . A noter aussi qu'elle n'est vraie que pour les composantes de spin suivant les axes "z" respectifs des particules. Dans le cas du couplage dans la voie s , on sait qu'une rotation d'angle π autour de Y doit être introduite pour définir la tétrade de la seconde particule. Son opérateur d'hélicité est alors l'opposé de (3.17).

Dans le référentiel propre de T , la 3-impulsion de la particule 1 est selon le troisième axe, et (3.17) devient

$$S_{z_1}(t_1) \equiv \frac{1}{2} \tau_3 \quad (3.18)$$

autrement dit, dans ce référentiel, l'hélicité de ladite particule représente la composante de son spin suivant sa 3-impulsion¹³. S'il s'agit d'un couplage dans la voie s , le référentiel propre de T est celui du centre de masse des deux particules. Dans celui-ci, la 3-impulsion de la seconde particule est aussi selon l'axe 3, mais en sens opposé. Du fait du renversement de signe mentionné plus haut, son hélicité y représente aussi la composante de son spin suivant sa 3-impulsion. Par contre, s'il s'agit d'un couplage dans la voie t , le référentiel propre de T est le référentiel de Breit dans lequel la 3-impulsion de la seconde particule est dans le sens opposé de l'axe 3. L'hélicité de cette particule y représente alors l'opposée de la composante de son spin suivant sa 3-impulsion.

Dans la suite, sauf indication contraire, les spineurs de Dirac ont tous la même normalisation :

$$\boxed{\bar{U}U = -\bar{V}V = 2} \quad (3.19)$$

3.2 Le couplage d'hélicité dans la voie s

3.2.1 Définition des tétrades

Considérons le processus de la figure (3.1) où nous supposons dans un premier temps que les quatre particules sont toutes de spin $1/2$. Nous utiliserons les notations suivantes.

$$P = p_1 + p_2 = p_3 + p_4, \quad s = P^2 \left(\geq \text{Max} \{ (m_1 + m_2)^2, (m_3 + m_4)^2 \} \right)$$

$$t_i = \frac{p_i}{m_i}, \quad T = \frac{P}{\sqrt{s}}, \quad \cosh \chi_i = t_i \cdot T$$

$$t = -(p_1 - p_3)^2 = -(p_2 - p_4)^2, \quad u = -(p_1 - p_4)^2 = -(p_2 - p_3)^2$$

13. L'hélicité d'une particule est couramment définie comme la composante de son spin suivant sa 3-impulsion, quel que soit le référentiel considéré. Mais comme nous l'avons vu, sauf pour une particule sans masse, il ne s'agit pas d'une grandeur invariante relativiste.

Dans le référentiel du centre de masse (où $\vec{P} = \vec{0}$), les énergies et modules de 3-impulsion de chaque particule sont

$$E_1 = \frac{s + m_1^2 - m_2^2}{2\sqrt{s}} = m_1 \cosh \chi_1, \quad E_2 = \frac{s + m_2^2 - m_1^2}{2\sqrt{s}} = m_2 \cosh \chi_2$$

$$|\vec{p}_1| = |\vec{p}_2| = m_1 \sinh \chi_1 = m_2 \sinh \chi_2 = \frac{\Lambda_{12}^{\frac{1}{2}}}{2\sqrt{s}} \quad \text{avec} \quad \Lambda_{12} = \Lambda(s, m_1^2, m_2^2)$$

$$|\vec{p}_3| = |\vec{p}_4| = m_3 \sinh \chi_3 = m_4 \sinh \chi_4 = \frac{\Lambda_{34}^{\frac{1}{2}}}{2\sqrt{s}} \quad \text{avec} \quad \Lambda_{34} = \Lambda(s, m_3^2, m_4^2)$$

De par la conservation de la 4-impulsion totale, trois seulement des impulsions sont indépendantes. Pour constituer une base d'espace-temps, on peut par exemple utiliser les trois impulsions P , p_1 et p_3 . Le dernier vecteur devant compléter la base sera choisi perpendiculaire à l'hyperplan de ces trois vecteurs. C'est donc un vecteur du genre espace que l'on prendra comme axe Y , commun à toutes les tétrades. On montre que le vecteur unitaire correspondant s'écrit

$$Y_\mu = A \epsilon_{\mu\nu\rho\delta} P^\nu p_1^\rho p_3^\delta \quad \text{avec} \quad A = \frac{4\sqrt{s}}{\Lambda_{12}^{\frac{1}{2}} \Lambda_{34}^{\frac{1}{2}} \sin \theta} \quad (3.20)$$

où, dans le référentiel du centre de masse, θ est l'angle entre \vec{p}_3 et \vec{p}_1 (angle de diffusion).

En suivant ce qui a été dit au chapitre 1, les tétrades associées à chacune des particules dans ce couplage d'hélicité sont les suivantes.

① Pour la particule 1

$$t_1 = \cosh \chi_1 T + \sinh \chi_1 Z, \quad z_1 = \sinh \chi_1 T + \cosh \chi_1 Z$$

$$x_1 = X, \quad y_1 = Y, \quad \epsilon_1^{(\pm)} = E^{(\pm)} = \mp \frac{1}{\sqrt{2}} [X \pm iY]$$

Ce choix correspond bien à un couplage d'hélicité entre la tétrade (T, X, Y, Z) associée à T et celle, (t_1, x_1, y_1, z_1) , associée à t_1 car

$$Z \equiv \frac{2\sqrt{s}}{\Lambda_{12}^{\frac{1}{2}}} \left(p_1 - \frac{(p_1 \cdot P)}{s} P \right) \quad \text{et} \quad z_1 \equiv \frac{2m_1}{\Lambda_{12}^{\frac{1}{2}}} \left(-P + \frac{(p_1 \cdot P)}{m_1^2} p_1 \right)$$

On passe de la tétrade $\{[T] : (T, X, Y, Z)\}$ à la tétrade $\{[t_1]_s : (t_1, x_1, y_1, z_1)\}$ par une transformation de Lorentz pure agissant dans le 2-plan (T, Z) ($[t_1]_s = [T \rightarrow t_1][T]$). Avec ce choix, la 3-impulsion de la particule 1 dans le référentiel (T, X, Y, Z) est selon l'axe des z .

② Pour la particule 2

$$t_2 = \cosh \chi_2 T - \sinh \chi_2 Z, \quad z_2 = \sinh \chi_2 T - \cosh \chi_2 Z$$

$$x_2 = -X, \quad y_2 = Y, \quad \epsilon_2^{(\pm)} = E^{(\mp)} = \pm \frac{1}{\sqrt{2}} [X \mp iY]$$

On a ici

$$Z \equiv \frac{2\sqrt{s}}{\Lambda_{12}^{\frac{1}{2}}} \left(-p_2 + \frac{(p_2 \cdot P)}{s} P \right) \quad \text{et} \quad z_2 \equiv \frac{2m_2}{\Lambda_{12}^{\frac{1}{2}}} \left(-P + \frac{(p_2 \cdot P)}{m_2^2} p_2 \right)$$

On passe de la tétrade $[T]$ à la tétrade $\{[t_2]_s : (t_2, x_2, y_2, z_2)\}$ en effectuant d'abord une rotation de π autour de Y dans le référentiel lié à T ($R_Y(\pi)$), puis une transformation de Lorentz pure

agissant dans le 2-plan (T, Z) ($[t_2]_s = [T \rightarrow t_2] R_Y(\pi) [T]$). Dans le référentiel (T, X, Y, Z) la 3-impulsion de la particule 2 est en sens opposé à celui de l'axe des z .

③ Pour les particules 3 et 4

On effectue tout d'abord une rotation d'angle θ autour de Y , $R_Y(\theta)$, transformant X et Z en

$$X' = \cos \theta X - \sin \theta Z, \quad Z' = \cos \theta Z + \sin \theta X$$

Une nouvelle tétrade ($[T]' = R_Y(\theta) [T]$) est ainsi associée à T et la tétrade associée à la particule 3 est alors

$$t_3 = \cosh \chi_3 T + \sinh \chi_3 Z', \quad z_3 = \sinh \chi_3 T + \cosh \chi_3 Z'$$

$$x_3 = X', \quad y_3 = Y, \quad \epsilon_3^{(\pm)} = \mp \frac{1}{\sqrt{2}} [X' \pm iY]$$

$$\text{soit } \epsilon_3^{(\pm)} = \pm \frac{1}{\sqrt{2}} \sin \theta Z + \frac{1}{2} [1 + \cos \theta] E^{(\pm)} + \frac{1}{2} [1 - \cos \theta] E^{(\mp)}$$

On a donc $[t_3]_s = [T \rightarrow t_3]' [T]'$, où $[T \rightarrow t_3]'$ est une transformation de Lorentz pure agissant dans le 2-plan (T, Z') . Enfin, la tétrade associée à la particule 4 est $[t_4]_s = [T \rightarrow t_4]' R_Y(\pi) [T]'$, soit

$$t_4 = \cosh \chi_4 T - \sinh \chi_4 Z', \quad z_4 = \sinh \chi_4 T - \cosh \chi_4 Z'$$

$$x_4 = -X', \quad y_4 = Y, \quad \epsilon_4^{(\pm)} = \epsilon_3^{(\mp)} = \pm \frac{1}{\sqrt{2}} [X' \mp iY]$$

Notons U_σ et $V_\sigma = \gamma_5 U_\sigma$ les spineurs de Dirac associés à la tétrade de référence $[T]$. Dans l'espace des spineurs, les rotations $R_Y(\pi)$ et $R_Y(\theta)$ sont représentées par les matrices

$$R_Y(\pi) = \gamma(Z) \gamma(X) = -2i S_Y, \quad R_Y(\theta) = \cos \frac{\theta}{2} + \sin \frac{\theta}{2} \gamma(Z) \gamma(X)$$

et les transformations de Lorentz pures précédentes par

$$[T \rightarrow t_1] \rightarrow S_{T \rightarrow t_1} = \cosh \frac{\chi_1}{2} + \sinh \frac{\chi_1}{2} \gamma(Z) \gamma(T) \quad (\gamma(Z) \gamma(T) = 2\gamma_5 S_Z)$$

$$[T \rightarrow t_2] \rightarrow S_{T \rightarrow t_2} = \cosh \frac{\chi_2}{2} - \sinh \frac{\chi_2}{2} \gamma(Z) \gamma(T)$$

$$[T \rightarrow t_3]' \rightarrow S'_{T \rightarrow t_3} = \cosh \frac{\chi_3}{2} + \sinh \frac{\chi_3}{2} \gamma(Z') \gamma(T) \quad (\gamma(Z') \gamma(T) = 2\gamma_5 S_{Z'})$$

$$[T \rightarrow t_4]' \rightarrow S'_{T \rightarrow t_4} = \cosh \frac{\chi_4}{2} - \sinh \frac{\chi_4}{2} \gamma(Z') \gamma(T)$$

Compte tenu de la relation $S_Y U_\sigma = i\sigma U_{-\sigma}$, les spineurs associés à la tétrade $[T]'$ sont donnés par

$$U'_\sigma = R_Y(\theta) U_\sigma = \cos \frac{\theta}{2} U_\sigma + 2\sigma \sin \frac{\theta}{2} U_{-\sigma}, \quad V'_\sigma = \cos \frac{\theta}{2} V_\sigma + 2\sigma \sin \frac{\theta}{2} V_{-\sigma} \quad (3.21)$$

Appliquant sur U_σ les transformations appropriées, on obtient facilement les spineurs de Dirac associés dans ce couplage aux particules 1, 2, 3 et 4, respectivement. Ainsi :

① Particule 1

$$U_{1\sigma} = S_{T \rightarrow t_1} U_\sigma = \cosh \frac{\chi_1}{2} U_\sigma + 2\sigma \sinh \frac{\chi_1}{2} V_\sigma \quad (3.22)$$

② **Particule 2**

$$U_{2\sigma} = S_{T \rightarrow t_2} R_Y(\pi) U_\sigma = 2\sigma \left[\cosh \frac{\chi_2}{2} U_{-\sigma} + 2\sigma \sinh \frac{\chi_2}{2} V_{-\sigma} \right] \quad (3.23)$$

 ③ **Particule 3**

$$U_{3\sigma} = S'_{T \rightarrow t_3} R_Y(\theta) U_\sigma = \cosh \frac{\chi_3}{2} U'_\sigma + 2\sigma \sinh \frac{\chi_3}{2} V'_\sigma \quad (3.24)$$

 ④ **Particule 4**

$$U_{4\sigma} = S'_{T \rightarrow t_4} R_Y(\theta) R_Y(\pi) U_\sigma = 2\sigma \left[\cosh \frac{\chi_4}{2} U'_{-\sigma} + 2\sigma \sinh \frac{\chi_4}{2} V'_{-\sigma} \right] \quad (3.25)$$

Voyons comment ces spineurs peuvent être reliés les uns aux autres. Posons

$$\chi_{12}^{(+)} = \frac{\chi_1 + \chi_2}{2}, \quad \chi_{12}^{(-)} = \frac{\chi_1 - \chi_2}{2}, \quad \chi_{34}^{(+)} = \frac{\chi_3 + \chi_4}{2}, \quad \chi_{34}^{(-)} = \frac{\chi_3 - \chi_4}{2} \quad (3.26)$$

Combinant (3.22) et (3.23), on obtient

$$U_{2\sigma} = 2\sigma \left[\cosh \chi_{12}^{(+)} U_{1-\sigma} + 2\sigma \sinh \chi_{12}^{(+)} V_{1-\sigma} \right] \quad (3.27)$$

De même, à l'état final, on a

$$U_{4\sigma} = 2\sigma \left[\cosh \chi_{34}^{(+)} U_{3-\sigma} + 2\sigma \sinh \chi_{34}^{(+)} V_{3-\sigma} \right] \quad (3.28)$$

Enfin, en posant $\chi_{31}^{(-)} = \frac{\chi_3 - \chi_1}{2}$ et $\chi_{42}^{(-)} = \frac{\chi_4 - \chi_2}{2}$, on trouve

$$\begin{aligned} U_{3\sigma} &= R_Y(\theta) \left[\cosh \chi_{31}^{(-)} U_{1\sigma} + 2\sigma \sinh \chi_{31}^{(-)} V_{1\sigma} \right] \\ U_{4\sigma} &= R_Y(\theta) \left[\cosh \chi_{42}^{(-)} U_{2\sigma} + 2\sigma \sinh \chi_{42}^{(-)} V_{2\sigma} \right] \end{aligned} \quad (3.29)$$

La relation (3.27) peut être réécrite sous forme condensée en observant que $\gamma(t_1)U_1 = U_1$ et que $-2\sigma V_{1-\sigma} = \gamma(z_1)U_{1-\sigma}$. On obtient en effet

$$\begin{aligned} U_{2\sigma} &= 2\sigma \gamma(\mathcal{T}_{12}) U_{1-\sigma} \quad \text{avec} \\ \mathcal{T}_{12} &= t_1 \cosh \chi_{12}^{(+)} - z_1 \sinh \chi_{12}^{(+)} = T \cosh \chi_{12}^{(-)} + Z \sinh \chi_{12}^{(-)} \end{aligned} \quad (3.30)$$

Pour l'état final, on obtient de façon similaire

$$\begin{aligned} U_{4\sigma} &= 2\sigma \gamma(\mathcal{T}_{34}) U_{3-\sigma} \quad \text{avec} \\ \mathcal{T}_{34} &= t_3 \cosh \chi_{34}^{(+)} - z_3 \sinh \chi_{34}^{(+)} = T \cosh \chi_{34}^{(-)} + Z' \sinh \chi_{34}^{(-)} \end{aligned} \quad (3.31)$$

A l'aide des deux vecteurs \mathcal{T}_{12} et \mathcal{T}_{34} on obtient donc des formules du type (3.14). Ce sont des vecteurs du genre temps et unitaires, et les tétrades

$$\begin{aligned} \mathcal{T}_{12}, \quad \mathcal{Z}_{12} &= Z \cosh \chi_{12}^{(-)} + T \sinh \chi_{12}^{(-)}, \quad X, \quad Y \\ \mathcal{T}_{34}, \quad \mathcal{Z}_{34} &= Z' \cosh \chi_{34}^{(-)} + T \sinh \chi_{34}^{(-)}, \quad X', \quad Y \end{aligned} \quad (3.32)$$

qui leur sont respectivement associées se déduisent, la première de la tétrade (T, X, Y, Z) par la transformation de Lorentz pure de paramètre $\chi_{12}^{(-)}$ dans le 2-plan (T, Z) ; la seconde, de la tétrade (T, X', Y, Z') par la transformation de Lorentz pure de paramètre $\chi_{34}^{(-)}$ dans le 2-plan (T, Z') .

On voit alors que la tétrade (t_1, X, Y, z_1) se déduit de la tétrade $(\mathcal{T}_{12}, X, Y, \mathcal{Z}_{12})$ par la transformation de Lorentz pure L_{12} de paramètre $\chi_{12}^{(+)}$ dans le 2-plan (T, Z) , tandis que la tétrade $(t_2, -X, Y, z_2)$ est obtenue à partir de cette tétrade en effectuant d'abord une rotation de π autour de Y et en appliquant ensuite L_{12} . On a ainsi

$$\begin{aligned} t_1 &= \cosh \chi_{12}^{(+)} \mathcal{T}_{12} + \sinh \chi_{12}^{(+)} \mathcal{Z}_{12}, & t_2 &= \cosh \chi_{12}^{(+)} \mathcal{T}_{12} - \sinh \chi_{12}^{(+)} \mathcal{Z}_{12}, & \text{donc} \\ t_1 + t_2 &= 2 \cosh \chi_{12}^{(+)} \mathcal{T}_{12}, & t_1 - t_2 &= 2 \sinh \chi_{12}^{(+)} \mathcal{Z}_{12} \end{aligned} \quad (3.33)$$

Notons que lorsque $m_1 = m_2$, soit $\chi_{12}^{(-)} = 0$, (3.30) devient similaire à (3.14) :

$$U_{2\sigma} = 2\sigma \gamma(T) U_{1-\sigma} \quad (3.34)$$

et que pour $\chi_{31}^{(-)} = 0$, soit, pour le cas qui nous intéressera, $m_1 = m_3$ et $m_2 = m_4$, la relation entre U_3 et U_1 se réduit à

$$U_{3\sigma} = R_Y(\theta) U_{1\sigma} \quad (3.35)$$

3.2.2 Projecteurs $U_1 \bar{U}_2$ du couplage en voie s

Rappelons tout d'abord certaines formules

$\begin{aligned} U_\sigma \bar{U}_{\sigma'} &= \delta_{\sigma',\sigma} \frac{1}{2} [1 + (2\sigma)\gamma_5 \gamma(z)] [1 + \gamma(t)] \\ &+ \delta_{\sigma',-\sigma} \frac{1}{2} \gamma_5 (x + i(2\sigma)y) [1 + \gamma(t)] \end{aligned}$	
$\begin{aligned} \bar{U}_{\sigma'} U_\sigma &= 2\delta_{\sigma',\sigma}, & \bar{U}_{\sigma'} \gamma_5 U_\sigma &= 0, & \bar{U}_{\sigma'} \gamma_\mu U_\sigma &= 2\delta_{\sigma',\sigma} t_\mu, \\ \bar{U}_{\sigma'} \gamma_\mu \gamma_5 U_\sigma &= 2(2\sigma)\delta_{\sigma',\sigma} z_\mu + 2\delta_{\sigma',-\sigma} [x + i(2\sigma)y]_\mu \end{aligned}$	
$\begin{aligned} \bar{U}_{\sigma'} \sigma_{\mu\nu} U_\sigma &= (2\sigma)\delta_{\sigma',\sigma} [x_\mu y_\nu - x_\nu y_\mu] \\ &+ i(2\sigma)\delta_{\sigma',-\sigma} \left\{ z_\mu [x + i(2\sigma)y]_\nu - z_\nu [x + i(2\sigma)y]_\mu \right\} \end{aligned}$	(3.36)
$\begin{aligned} \bar{U}_{\sigma'} \sigma_{\mu\nu} \gamma_5 U_\sigma &= i(2\sigma)\delta_{\sigma',\sigma} [t_\mu z_\nu - t_\nu z_\mu] \\ &+ i\delta_{\sigma',-\sigma} \left\{ t_\mu [x + i(2\sigma)y]_\nu - t_\nu [x + i(2\sigma)y]_\mu \right\} \end{aligned}$	
$\begin{aligned} \gamma_5 \gamma(x + i\epsilon y) &= \epsilon \gamma(x + i\epsilon y) \gamma(z) \gamma(t) \quad (\epsilon = \pm 1) \\ \gamma(z_1) \gamma(t_1) &= \gamma(Z) \gamma(T) = \gamma(\mathcal{Z}_{12}) \gamma(\mathcal{T}_{12}) \end{aligned}$	

et rappelons aussi¹⁴ que $\gamma_\mu^\dagger = \gamma_0 \gamma_\mu \gamma_0$.

14. ITL, Chap. 7, Eq. 7.80.

① Projecteur $U_1^\uparrow \overline{U_2^\uparrow}$

D'après (3.30), on a

$$\begin{aligned} U_1^\uparrow \overline{U_2^\uparrow} &= U_1^\uparrow \overline{U_1^\downarrow} \gamma(\mathcal{T}_{12}) = \frac{1}{2} \gamma_5 \gamma(X + iY) [1 + \gamma(t_1)] \gamma(\mathcal{T}_{12}) = \frac{1}{2} [1 + \gamma(t_1)] \gamma_5 \gamma(X + iY) \gamma(\mathcal{T}_{12}) \\ &= -\frac{1}{2} [1 + \gamma(t_1)] \gamma(\mathcal{Z}_{12}) \gamma(X + iY) = \frac{1}{2} \gamma(X + iY) [1 - \gamma(t_1)] \gamma(\mathcal{Z}_{12}) \end{aligned}$$

Or, $[1 - \gamma(t_1)] \gamma(\mathcal{Z}_{12}) = \gamma(\mathcal{Z}_{12}) - \cosh \chi_{12}^{(-)} \gamma(\mathcal{T}_{12}) \gamma(\mathcal{Z}_{12}) + \sinh \chi_{12}^{(-)} = \gamma(\mathcal{Z}_{12}) [1 + \gamma(t_2)]$, d'où

$$U_1^\uparrow \overline{U_2^\uparrow} = \frac{1}{2} [1 + \gamma(t_1)] \gamma(X + iY) \gamma(\mathcal{Z}_{12}) = \frac{1}{2} \gamma(X + iY) \gamma(\mathcal{Z}_{12}) [1 + \gamma(t_2)] \quad (3.37)$$

 ② Projecteur $U_1^\downarrow \overline{U_2^\downarrow}$

Le même type de calcul conduit à

$$U_1^\downarrow \overline{U_2^\downarrow} = -\frac{1}{2} [1 + \gamma(t_1)] \gamma(X - iY) \gamma(\mathcal{Z}_{12}) = -\frac{1}{2} \gamma(X - iY) \gamma(\mathcal{Z}_{12}) [1 + \gamma(t_2)] \quad (3.38)$$

 ③ Projecteur $U_1^\downarrow \overline{U_2^\uparrow}$

$$\begin{aligned} \text{On a} \quad U_1^\downarrow \overline{U_2^\uparrow} &= U_1^\downarrow \overline{U_1^\downarrow} \gamma(\mathcal{T}_{12}) = \frac{1}{2} [1 - \gamma_5 \gamma(z_1) \gamma(t_1)] [1 + \gamma(t_1)] \gamma(\mathcal{T}_{12}) \\ &= \frac{1}{2} [1 + \gamma(t_1)] [1 - \gamma_5 \gamma(z_1) \gamma(t_1)] \gamma(\mathcal{T}_{12}) \end{aligned}$$

Mais $[1 - \gamma_5 \gamma(z_1) \gamma(t_1)] \gamma(\mathcal{T}_{12}) = [1 - \gamma_5 \gamma(\mathcal{Z}_{12}) \gamma(\mathcal{T}_{12})] \gamma(\mathcal{T}_{12}) = \gamma(\mathcal{T}_{12}) - \gamma_5 \gamma(\mathcal{Z}_{12})$ et
 $[1 + \gamma(t_1)] \gamma(\mathcal{T}_{12}) = \gamma(\mathcal{T}_{12}) [1 + \gamma(t_2)]$, $[1 - \gamma(t_1)] \gamma(\mathcal{Z}_{12}) = \gamma(\mathcal{Z}_{12}) [1 + \gamma(t_2)]$, d'où

$$U_1^\downarrow \overline{U_2^\uparrow} = \frac{1}{2} [1 + \gamma(t_1)] [\gamma(\mathcal{T}_{12}) - \gamma_5 \gamma(\mathcal{Z}_{12})] = \frac{1}{2} [\gamma(\mathcal{T}_{12}) - \gamma_5 \gamma(\mathcal{Z}_{12})] [1 + \gamma(t_2)] \quad (3.39)$$

 ④ Projecteur $U_1^\uparrow \overline{U_2^\downarrow}$

On trouve de la même manière

$$\begin{aligned} U_1^\uparrow \overline{U_2^\downarrow} &= -\frac{1}{2} [1 + \gamma(t_1)] [\gamma(\mathcal{T}_{12}) + \gamma_5 \gamma(\mathcal{Z}_{12})] \\ &= -\frac{1}{2} [\gamma(\mathcal{T}_{12}) + \gamma_5 \gamma(\mathcal{Z}_{12})] [1 + \gamma(t_2)] \end{aligned} \quad (3.40)$$

3.2.3 Formes bilinéaires $\overline{U}_{2\sigma'} \Gamma U_{1\sigma}$ et $\overline{V}_{2\sigma'} \Gamma U_{1\sigma}$ du couplage en voie s

Celles-ci se calculent aisément en les exprimant comme des traces et en utilisant les expressions précédentes des projecteurs : $\overline{U}_{2\sigma'} \Gamma U_{1\sigma} = \text{Tr} \Gamma U_{1\sigma} \overline{U}_{2\sigma'}$, $\overline{V}_{2\sigma'} \Gamma U_{1\sigma} = -\text{Tr} \gamma_5 \Gamma U_{1\sigma} \overline{V}_{2\sigma'}$. Rappelons que les traces des matrices γ ainsi que celle de γ_5 sont nulles, que $\text{Tr} \gamma_\mu \gamma_\nu \gamma_5 = 0$, et que la trace du produit d'un nombre impair de matrices γ est nul¹⁵. On tient compte également des relations d'orthogonalité entre les vecteurs de la tétrade $(\mathcal{T}_{12}, X, Y, \mathcal{Z}_{12})$.

$\boxed{\overline{U}_{2\sigma'} U_{1\sigma}} \tag{3.41}$ $\overline{U}_2^\uparrow U_1^\uparrow = \overline{U}_2^\downarrow U_1^\downarrow = \overline{V}_2^\uparrow \gamma_5 U_1^\uparrow = \overline{V}_2^\downarrow \gamma_5 U_1^\downarrow = 0$ $\overline{U}_2^\uparrow U_1^\downarrow = -\overline{U}_2^\downarrow U_1^\uparrow = -\overline{V}_2^\uparrow \gamma_5 U_1^\downarrow = \overline{V}_2^\downarrow \gamma_5 U_1^\uparrow = 2 \cosh \chi_{12}^{(+)}$
$\boxed{\overline{U}_{2\sigma'} \gamma_5 U_{1\sigma}} \tag{3.42}$ $\overline{U}_2^\uparrow \gamma_5 U_1^\uparrow = \overline{U}_2^\downarrow \gamma_5 U_1^\downarrow = \overline{V}_2^\uparrow U_1^\uparrow = \overline{V}_2^\downarrow U_1^\downarrow = 0$ $\overline{U}_2^\uparrow \gamma_5 U_1^\downarrow = \overline{U}_2^\downarrow \gamma_5 U_1^\uparrow = -\overline{V}_2^\uparrow U_1^\downarrow = -\overline{V}_2^\downarrow U_1^\uparrow = -2 \sinh \chi_{12}^{(+)}$
$\boxed{\overline{U}_{2\sigma'} \gamma_\mu U_{1\sigma}} \tag{3.43}$ $\overline{U}_2^\uparrow \gamma_\mu U_1^\uparrow = \overline{V}_2^\uparrow \gamma_\mu \gamma_5 U_1^\uparrow = 2 [X + iY]_\mu \sinh \chi_{12}^{(+)}$ $\overline{U}_2^\downarrow \gamma_\mu U_1^\downarrow = \overline{V}_2^\downarrow \gamma_\mu \gamma_5 U_1^\downarrow = 2 [X - iY]_\mu \sinh \chi_{12}^{(+)}$ $\overline{U}_2^\uparrow \gamma_\mu U_1^\downarrow = -\overline{U}_2^\downarrow \gamma_\mu U_1^\uparrow = \overline{V}_2^\uparrow \gamma_\mu \gamma_5 U_1^\downarrow = -\overline{V}_2^\downarrow \gamma_\mu \gamma_5 U_1^\uparrow = 2 \mathcal{T}_{12\mu}$
$\boxed{\overline{U}_{2\sigma'} \gamma_\mu \gamma_5 U_{1\sigma}} \tag{3.44}$ $\overline{U}_2^\uparrow \gamma_\mu \gamma_5 U_1^\uparrow = \overline{V}_2^\uparrow \gamma_\mu U_1^\uparrow = 2 [X + iY]_\mu \cosh \chi_{12}^{(+)}$ $\overline{U}_2^\downarrow \gamma_\mu \gamma_5 U_1^\downarrow = \overline{V}_2^\downarrow \gamma_\mu U_1^\downarrow = -2 [X - iY]_\mu \cosh \chi_{12}^{(+)}$ $\overline{U}_2^\uparrow \gamma_\mu \gamma_5 U_1^\downarrow = \overline{U}_2^\downarrow \gamma_\mu \gamma_5 U_1^\uparrow = \overline{V}_2^\uparrow \gamma_\mu U_1^\downarrow = \overline{V}_2^\downarrow \gamma_\mu U_1^\uparrow = -2 \mathcal{Z}_{12\mu}$

15. Pour la "γ-gymnastique", voir ITL, section 7.3.

$$\boxed{\overline{U}_{2\sigma'} \sigma_{\mu\nu} U_{1\sigma}} \quad (3.45)$$

$$\begin{aligned} \overline{U}_2^\uparrow \sigma_{\mu\nu} U_1^\uparrow &= -\overline{V}_2^\uparrow \sigma_{\mu\nu} \gamma_5 U_1^\uparrow = i \{ \mathcal{Z}_{12\mu} (X + iY)_\nu - \mathcal{Z}_{12\nu} (X + iY)_\mu \} \\ \overline{U}_2^\downarrow \sigma_{\mu\nu} U_1^\downarrow &= -\overline{V}_2^\downarrow \sigma_{\mu\nu} \gamma_5 U_1^\downarrow = i \{ \mathcal{Z}_{12\mu} (X - iY)_\nu - \mathcal{Z}_{12\nu} (X - iY)_\mu \} \\ \overline{U}_2^\uparrow \sigma_{\mu\nu} U_1^\downarrow &= -\overline{V}_2^\uparrow \gamma_\mu U_1^\downarrow = i \sinh \chi_{12}^{(+)} [\mathcal{T}_{12\mu} \mathcal{Z}_{12\nu} - \mathcal{T}_{12\nu} \mathcal{Z}_{12\mu}] \\ &\quad - \cosh \chi_{12}^{(+)} [X_\mu Y_\nu - X_\nu Y_\mu] \\ \overline{U}_2^\downarrow \sigma_{\mu\nu} U_1^\uparrow &= -\overline{V}_2^\downarrow \gamma_\mu U_1^\uparrow = -i \sinh \chi_{12}^{(+)} [\mathcal{T}_{12\mu} \mathcal{Z}_{12\nu} - \mathcal{T}_{12\nu} \mathcal{Z}_{12\mu}] \\ &\quad - \cosh \chi_{12}^{(+)} [X_\mu Y_\nu - X_\nu Y_\mu] \end{aligned}$$

$$\boxed{\overline{U}_{2\sigma'} \sigma_{\mu\nu} \gamma_5 U_{1\sigma}} \quad (3.46)$$

$$\begin{aligned} \overline{U}_2^\uparrow \sigma_{\mu\nu} \gamma_5 U_1^\uparrow &= -\overline{V}_2^\uparrow \sigma_{\mu\nu} U_1^\uparrow = i \{ \mathcal{T}_{12\mu} (X + iY)_\nu - \mathcal{T}_{12\nu} (X + iY)_\mu \} \\ \overline{U}_2^\downarrow \sigma_{\mu\nu} \gamma_5 U_1^\downarrow &= -\overline{V}_2^\downarrow \sigma_{\mu\nu} U_1^\downarrow = -i \{ \mathcal{T}_{12\mu} (X - iY)_\nu - \mathcal{T}_{12\nu} (X - iY)_\mu \} \\ \overline{U}_2^\uparrow \sigma_{\mu\nu} \gamma_5 U_1^\downarrow &= -\overline{V}_2^\uparrow \sigma_{\mu\nu} U_1^\downarrow = -i \cosh \chi_{12}^{(+)} [\mathcal{T}_{12\mu} \mathcal{Z}_{12\nu} - \mathcal{T}_{12\nu} \mathcal{Z}_{12\mu}] \\ &\quad + \sinh \chi_{12}^{(+)} [X_\mu Y_\nu - X_\nu Y_\mu] \\ \overline{U}_2^\downarrow \sigma_{\mu\nu} \gamma_5 U_1^\uparrow &= -\overline{V}_2^\downarrow \sigma_{\mu\nu} U_1^\uparrow = -i \cosh \chi_{12}^{(+)} [\mathcal{T}_{12\mu} \mathcal{Z}_{12\nu} - \mathcal{T}_{12\nu} \mathcal{Z}_{12\mu}] \\ &\quad - \sinh \chi_{12}^{(+)} [X_\mu Y_\nu - X_\nu Y_\mu] \end{aligned}$$

Pour obtenir (3.45), on a utilisé la relation $\gamma(\mathcal{T}_{12}) \gamma(\mathcal{Z}_{12}) \gamma_5 = -i\gamma(X) \gamma(Y)$. On notera les égalités

$$\begin{aligned} \mathcal{T}_{12\mu} \mathcal{Z}_{12\nu} - \mathcal{T}_{12\nu} \mathcal{Z}_{12\mu} &= T_\mu Z_\nu - T_\nu Z_\mu = t_{1\mu} z_{1\nu} - t_{1\nu} z_{1\mu} = -\epsilon_{\mu\nu\rho\delta} X^\rho Y^\delta \\ Y_\mu X_\nu - Y_\nu X_\mu &= i \left\{ E_\mu^{(+)} E_\nu^{(-)} - E_\nu^{(+)} E_\mu^{(-)} \right\} = \epsilon_{\mu\nu\rho\delta} T^\rho Z^\delta \end{aligned} \quad (3.47)$$

$$\begin{aligned} \overline{U}_{3\sigma_3} U_{4\sigma_4} &= \overline{U}_{3\sigma_3} \gamma_5 V_{4\sigma_4} = 2 (2\sigma_4) \delta_{\sigma_3, -\sigma_4} \cosh \chi_{34}^{(+)} \\ \overline{U}_{3\sigma_3} \gamma_5 U_{4\sigma_4} &= \overline{U}_{3\sigma_3} V_{4\sigma_4} = 2 \delta_{\sigma_3, -\sigma_4} \sinh \chi_{34}^{(+)} \\ \overline{U}_{3\sigma_3} \gamma_\mu U_{4\sigma_4} &= \overline{U}_{3\sigma_3} \gamma_\mu \gamma_5 V_{4\sigma_4} = 2 \delta_{\sigma_3, -\sigma_4} (2\sigma_4) \mathcal{T}_{34\mu} \\ &\quad + 2 \delta_{\sigma_3, \sigma_4} \sinh \chi_{34}^{(+)} (X' - 2i\sigma_4 Y)_\mu \\ \overline{U}_{3\sigma_3} \gamma_\mu \gamma_5 U_{4\sigma_4} &= \overline{U}_{3\sigma_3} \gamma_\mu V_{4\sigma_4} = -2 \delta_{\sigma_3, -\sigma_4} \mathcal{Z}_{34\mu} \\ &\quad + 2 (2\sigma_4) \delta_{\sigma_3, \sigma_4} \cosh \chi_{34}^{(+)} (X' - 2i\sigma_4 Y)_\mu \end{aligned} \quad (3.48)$$

Les formules pour l'état final (3, 4) sont tout à fait similaires aux précédentes, notamment celles présentées dans (3.48).

3.2.4 Formes bilinéaires $\overline{U}_{3\sigma'} \Gamma U_{1\sigma}$ et $\overline{V}_{3\sigma'} \Gamma U_{1\sigma}$ du couplage en voie s

A partir de (3.21) et (3.36) on déduit les formules

$$\begin{aligned}
 \overline{U}'_{\sigma'} U_{\sigma} &= 2 \left[\cos \frac{\theta}{2} \delta_{\sigma'\sigma} - 2\sigma \sin \frac{\theta}{2} \delta_{\sigma',-\sigma} \right], \quad \overline{U}'_{\sigma'} \gamma_5 U_{\sigma} = 0 \\
 \overline{U}'_{\sigma'} \gamma_{\mu} U_{\sigma} &= 2 T_{\mu} \left[\cos \frac{\theta}{2} \delta_{\sigma'\sigma} - 2\sigma \sin \frac{\theta}{2} \delta_{\sigma',-\sigma} \right] \\
 \overline{U}'_{\sigma'} \gamma_{\mu} \gamma_5 U_{\sigma} &= 2 \delta_{\sigma'\sigma} (2\sigma) \left[Z_{\mu} \cos \frac{\theta}{2} + \sin \frac{\theta}{2} (X + 2\sigma i Y)_{\mu} \right] \\
 &\quad + 2 \delta_{\sigma',-\sigma} \left[(X + 2\sigma i Y)_{\mu} \cos \frac{\theta}{2} - \sin \frac{\theta}{2} Z_{\mu} \right] \\
 \overline{U}'_{\sigma'} \sigma_{\mu\nu} U_{\sigma} &= \delta_{\sigma'\sigma} \left[(2\sigma) \cos \frac{\theta}{2} (X_{\mu} Y_{\nu} - X_{\nu} Y_{\mu}) + i \sin \frac{\theta}{2} \left[Z_{\mu} (X + 2i\sigma Y)_{\nu} \right. \right. \\
 &\quad \left. \left. - Z_{\nu} (X + 2i\sigma Y)_{\mu} \right] \right] + \delta_{\sigma',-\sigma} \left[(2\sigma) i \cos \frac{\theta}{2} \left[Z_{\mu} (X + 2i\sigma Y)_{\nu} \right. \right. \\
 &\quad \left. \left. - Z_{\nu} (X + 2i\sigma Y)_{\mu} \right] - \sin \frac{\theta}{2} (X_{\mu} Y_{\nu} - X_{\nu} Y_{\mu}) \right] \\
 \overline{U}'_{\sigma'} \sigma_{\mu\nu} \gamma_5 U_{\sigma} &= i \delta_{\sigma'\sigma} (2\sigma) \left[\cos \frac{\theta}{2} (T_{\mu} Z_{\nu} - T_{\nu} Z_{\mu}) + \sin \frac{\theta}{2} \left[T_{\mu} (X + 2i\sigma Y)_{\nu} \right. \right. \\
 &\quad \left. \left. - T_{\nu} (X + 2i\sigma Y)_{\mu} \right] \right] + i \delta_{\sigma',-\sigma} \left[\cos \frac{\theta}{2} \left[T_{\mu} (X + 2i\sigma Y)_{\nu} \right. \right. \\
 &\quad \left. \left. - T_{\nu} (X + 2i\sigma Y)_{\mu} \right] - \sin \frac{\theta}{2} (T_{\mu} Z_{\nu} - T_{\nu} Z_{\mu}) \right]
 \end{aligned} \tag{3.49}$$

Utilisant (3.22) et (3.24), on a

$$\begin{aligned}
 \overline{U}_{3\sigma'} \Gamma U_{1\sigma} &= \cosh \frac{\chi_3}{2} \cosh \frac{\chi_1}{2} \overline{U}'_{\sigma'} \Gamma U_{\sigma} - (2\sigma)(2\sigma') \sinh \frac{\chi_3}{2} \sinh \frac{\chi_1}{2} \overline{U}'_{\sigma'} \gamma_5 \Gamma \gamma_5 U_{\sigma} \\
 &\quad + (2\sigma) \cosh \frac{\chi_3}{2} \sinh \frac{\chi_1}{2} \overline{U}'_{\sigma'} \Gamma \gamma_5 U_{\sigma} - (2\sigma') \sinh \frac{\chi_3}{2} \cosh \frac{\chi_1}{2} \overline{U}'_{\sigma'} \gamma_5 \Gamma U_{\sigma}
 \end{aligned}$$

Nous distinguerons alors le cas où Γ commute avec γ_5 , réalisé par les matrices 1 , γ_5 , $\sigma_{\mu\nu}$, $\sigma_{\mu\nu} \gamma_5$, de celui où Γ anticommute avec γ_5 , réalisé par les matrices γ_{μ} et $\gamma_{\mu} \gamma_5$. Pour simplifier l'écriture, nous poserons $c_+ = \cosh \chi_{31}^{(+)}$, $c_- = \cosh \chi_{31}^{(-)}$, $s_+ = \sinh \chi_{31}^{(+)}$, $s_- = \sinh \chi_{31}^{(-)}$.

① Γ commute avec γ_5

$$\begin{aligned}
 \overline{U}_{3\sigma'} \Gamma U_{1\sigma} &= \delta_{\sigma',\sigma} \{ c_- \overline{U}'_{\sigma} \Gamma U_{\sigma} - (2\sigma) s_- \overline{U}'_{\sigma} \Gamma \gamma_5 U_{\sigma} \} \\
 &\quad + \delta_{\sigma',-\sigma} \{ c_+ \overline{U}'_{-\sigma} \Gamma U_{\sigma} + (2\sigma) s_+ \overline{U}'_{-\sigma} \Gamma \gamma_5 U_{\sigma} \}
 \end{aligned} \tag{3.50}$$

① Γ anticommute avec γ_5

$$\begin{aligned}\overline{U}_{3\sigma'} \Gamma U_{1\sigma} &= \delta_{\sigma',\sigma} \{c_+ \overline{U}'_{\sigma} \Gamma U_{\sigma} + (2\sigma) s_+ \overline{U}'_{\sigma} \Gamma \gamma_5 U_{\sigma}\} \\ &+ \delta_{\sigma',-\sigma} \{c_- \overline{U}'_{-\sigma} \Gamma U_{\sigma} - (2\sigma) s_- \overline{U}'_{-\sigma} \Gamma \gamma_5 U_{\sigma}\}\end{aligned}\quad (3.51)$$

On en déduit les formes bilinéaires ci-dessous, présentées de façon synthétique, comme il sera fait dorénavant.

$$\boxed{\overline{U}_{3\sigma'} U_{1\sigma}} \quad (3.52)$$

$$\begin{aligned}\overline{U}_{3\sigma'} U_{1\sigma} &= 2 \delta_{\sigma',\sigma} c_- \cos \frac{\theta}{2} - 2(2\sigma) \delta_{\sigma',-\sigma} c_+ \sin \frac{\theta}{2} \\ &= -\overline{V}_{3\sigma'} \gamma_5 U_{1\sigma} = -\overline{V}_{3\sigma'} V_{1\sigma}\end{aligned}$$

$$\boxed{\overline{U}_{3\sigma'} \gamma_5 U_{1\sigma}} \quad (3.53)$$

$$\begin{aligned}\overline{U}_{3\sigma'} \gamma_5 U_{1\sigma} &= -2 \left[\delta_{\sigma',\sigma} (2\sigma) s_- \cos \frac{\theta}{2} + \delta_{\sigma',-\sigma} s_+ \sin \frac{\theta}{2} \right] \\ &= -\overline{V}_{3\sigma'} U_{1\sigma} = \overline{U}_{3\sigma'} V_{1\sigma}\end{aligned}$$

$$\boxed{\overline{U}_{3\sigma'} \gamma_{\mu} U_{1\sigma}} \quad (3.54)$$

$$\begin{aligned}\overline{U}_{3\sigma'} \gamma_{\mu} U_{1\sigma} &= 2 \delta_{\sigma',\sigma} \left[T_{\mu} c_+ \cos \frac{\theta}{2} + s_+ \left[Z_{\mu} \cos \frac{\theta}{2} + (X + 2i\sigma Y)_{\mu} \sin \frac{\theta}{2} \right] \right] \\ &- 2(2\sigma) \delta_{\sigma',-\sigma} \left[T_{\mu} c_- \sin \frac{\theta}{2} + s_- \left[-Z_{\mu} \sin \frac{\theta}{2} + (X + 2i\sigma Y)_{\mu} \cos \frac{\theta}{2} \right] \right] \\ &= \overline{V}_{3\sigma'} \gamma_{\mu} \gamma_5 U_{1\sigma} = \overline{V}_{3\sigma'} \gamma_{\mu} V_{1\sigma} = \overline{U}_{3\sigma'} \gamma_{\mu} \gamma_5 V_{1\sigma}\end{aligned}$$

$$\boxed{\overline{U}_{3\sigma'} \gamma_{\mu} \gamma_5 U_{1\sigma}} \quad (3.55)$$

$$\begin{aligned}\overline{U}_{3\sigma'} \gamma_{\mu} \gamma_5 U_{1\sigma} &= 2 \delta_{\sigma',\sigma} (2\sigma) \left[T_{\mu} s_+ \cos \frac{\theta}{2} + c_+ \left[Z_{\mu} \cos \frac{\theta}{2} + (X + 2i\sigma Y)_{\mu} \sin \frac{\theta}{2} \right] \right] \\ &+ 2 \delta_{\sigma',-\sigma} \left[T_{\mu} s_- \sin \frac{\theta}{2} + c_- \left[-Z_{\mu} \sin \frac{\theta}{2} + (X + 2i\sigma Y)_{\mu} \cos \frac{\theta}{2} \right] \right] \\ &= \overline{V}_{3\sigma'} \gamma_{\mu} U_{1\sigma} = \overline{U}_{3\sigma'} \gamma_{\mu} V_{1\sigma} = \overline{V}_{3\sigma'} \gamma_{\mu} \gamma_5 V_{1\sigma}\end{aligned}$$

$$\boxed{\overline{U}_{3\sigma'} \sigma_{\mu\nu} U_{1\sigma}} \quad (3.56)$$

$$\begin{aligned} \overline{U}_{3\sigma'} \sigma_{\mu\nu} U_{1\sigma} &= \delta_{\sigma',\sigma} \left[c_- \left\{ (2\sigma) \cos \frac{\theta}{2} (X_\mu Y_\nu - X_\nu Y_\mu) \right. \right. \\ &\quad \left. \left. + i \sin \frac{\theta}{2} \left[Z_\mu (X + 2i\sigma Y)_\nu - Z_\nu (X + 2i\sigma Y)_\mu \right] \right\} \right. \\ &\quad \left. - i s_- \left\{ \cos \frac{\theta}{2} (T_\mu Z_\nu - T_\nu Z_\mu) + \sin \frac{\theta}{2} \left[T_\mu (X + 2i\sigma Y)_\nu - T_\nu (X + 2i\sigma Y)_\mu \right] \right\} \right] \\ &\quad + \delta_{\sigma',-\sigma} \left[c_+ \left\{ i(2\sigma) \cos \frac{\theta}{2} \left[Z_\mu (X + 2i\sigma Y)_\nu - Z_\nu (X + 2i\sigma Y)_\mu \right] \right. \right. \\ &\quad \left. \left. - \sin \frac{\theta}{2} (X_\mu Y_\nu - X_\nu Y_\mu) \right\} + (2\sigma) i s_+ \left\{ \cos \frac{\theta}{2} \left[T_\mu (X + 2i\sigma Y)_\nu - T_\nu (X + 2i\sigma Y)_\mu \right] \right. \right. \\ &\quad \left. \left. - \sin \frac{\theta}{2} (T_\mu Z_\nu - T_\nu Z_\mu) \right\} \right] \\ &= -\overline{V}_{3\sigma'} \sigma_{\mu\nu} \gamma_5 U_{1\sigma} = -\overline{V}_{3\sigma'} \sigma_{\mu\nu} V_{1\sigma} = \overline{U}_{3\sigma'} \sigma_{\mu\nu} \gamma_5 V_{1\sigma} \end{aligned}$$

$$\boxed{\overline{U}_{3\sigma'} \sigma_{\mu\nu} \gamma_5 U_{1\sigma}} \quad (3.57)$$

$$\begin{aligned} \overline{U}_{3\sigma'} \sigma_{\mu\nu} \gamma_5 U_{1\sigma} &= \delta_{\sigma',\sigma} \left[(2\sigma) i c_- \left\{ \cos \frac{\theta}{2} (T_\mu Z_\nu - X_\nu Y_\mu) \right. \right. \\ &\quad \left. \left. + \sin \frac{\theta}{2} \left[T_\mu (X + 2i\sigma Y)_\nu - T_\nu (X + 2i\sigma Y)_\mu \right] \right\} - s_- \left\{ \cos \frac{\theta}{2} (X_\mu Y_\nu - X_\nu Y_\mu) \right. \right. \\ &\quad \left. \left. + i(2\sigma) \sin \frac{\theta}{2} \left[Z_\mu (X + 2i\sigma Y)_\nu - Z_\nu (X + 2i\sigma Y)_\mu \right] \right\} \right] \\ &\quad + i \delta_{\sigma',-\sigma} \left[c_+ \left\{ \cos \frac{\theta}{2} \left[T_\mu (X + 2i\sigma Y)_\nu - T_\nu (X + 2i\sigma Y)_\mu \right] \right. \right. \\ &\quad \left. \left. - \sin \frac{\theta}{2} (T_\mu Z_\nu - T_\nu Z_\mu) \right\} + s_+ \left\{ \cos \frac{\theta}{2} \left[Z_\mu (X + 2i\sigma Y)_\nu - Z_\nu (X + 2i\sigma Y)_\mu \right] \right. \right. \\ &\quad \left. \left. + i(2\sigma) \sin \frac{\theta}{2} (X_\mu Y_\nu - X_\nu Y_\mu) \right\} \right] \\ &= -\overline{V}_{3\sigma'} \sigma_{\mu\nu} U_{1\sigma} = -\overline{V}_{3\sigma'} \sigma_{\mu\nu} \gamma_5 V_{1\sigma} = \overline{U}_{3\sigma'} \sigma_{\mu\nu} V_{1\sigma} \end{aligned}$$

A titre d'exercice, nous proposons au lecteur :

- de montrer que

$$\begin{aligned} U_{1\sigma} \overline{U}_{3\sigma'} &= \cos \frac{\theta}{2} U_{1\sigma} \overline{U}_{1\sigma'} \left[\cosh \chi_{31}^{(-)} - (2\sigma') \sinh \chi_{31}^{(-)} \gamma_5 \right] \\ &\quad + \sin \frac{\theta}{2} U_{1\sigma} \overline{U}_{1-\sigma'} \left[(2\sigma') \cosh \chi_{31}^{(+)} - \sinh \chi_{31}^{(+)} \gamma_5 \right] \end{aligned} \quad (3.58)$$

et d'utiliser ce projecteur pour retrouver les expressions des formes bilinéaires ci-dessus ;

- de montrer que

$$\begin{aligned}
 U_{2\sigma} \overline{U}_{4\sigma'} &= \cos \frac{\theta}{2} U_{2\sigma} \overline{U}_{2\sigma'} \left[\cosh \chi_{42}^{(-)} - (2\sigma') \sinh \chi_{42}^{(-)} \gamma_5 \right] \\
 &+ \sin \frac{\theta}{2} U_{2\sigma} \overline{U}_{2-\sigma'} \left[(2\sigma') \cosh \chi_{42}^{(+)} - \sinh \chi_{42}^{(+)} \gamma_5 \right]
 \end{aligned} \tag{3.59}$$

et d'utiliser ce projecteur pour établir les expressions des formes bilinéaires $\overline{U}_{4\sigma'} \Gamma U_{2\sigma}$.

3.2.5 Couplage en voie s : cas $m_1 = m_2 = m$

Puisqu'alors $\chi_{12}^{(-)} = 0$, on a $\mathcal{T}_{12} = T$, $\mathcal{Z}_{12} = Z$, $\chi_{12}^{(+)} = \chi_1 = \chi_2$. Ci-dessous nous donnons les expressions, correspondant à ce cas, du projecteur $U_{1\sigma} \overline{U}_{2\sigma'}$ et des formes bilinéaires $\overline{\Psi}_{2\sigma'} \Gamma \Psi_{1\sigma}$ ($\Psi = U, V$). On notera qu'ici $\cosh \chi_1 = \frac{\sqrt{s}}{2m}$, $\sinh \chi_1 = \frac{\sqrt{s}}{2m} \beta$ où $\beta = \sqrt{1 - \frac{4m^2}{s}}$.

Projecteur $U_{1\sigma} \overline{U}_{2\sigma'}$

$$\begin{aligned}
 U_{1\sigma} \overline{U}_{2\sigma'} &= \delta_{\sigma',\sigma} \frac{1}{2} [1 + \gamma(t_1)] \gamma(X + 2i\sigma Y) \gamma(Z) \\
 &- \delta_{\sigma',-\sigma} \frac{1}{2} [1 + \gamma(t_1)] [(2\sigma)\gamma(T) + \gamma_5 \gamma(Z)] \\
 &= \delta_{\sigma',\sigma} \frac{1}{2} \gamma(X + 2i\sigma Y) \gamma(Z) [1 + \gamma(t_2)] \\
 &- \delta_{\sigma',-\sigma} \frac{1}{2} [(2\sigma)\gamma(T) + \gamma_5 \gamma(Z)] [1 + \gamma(t_2)]
 \end{aligned} \tag{3.60}$$

$$\overline{U}_{2\sigma'} U_{1\sigma} \tag{3.61}$$

$$\overline{U}_{2\sigma'} U_{1\sigma} = -2 \cosh \chi_1 (2\sigma) \delta_{\sigma',-\sigma} = -\overline{V}_{2\sigma'} \gamma_5 U_{1\sigma} = -\overline{V}_{2\sigma'} V_{1\sigma}$$

$$\overline{U}_{2\sigma'} \gamma_5 U_{1\sigma} \tag{3.62}$$

$$\overline{U}_{2\sigma'} \gamma_5 U_{1\sigma} = -2 \sinh \chi_1 \delta_{\sigma',-\sigma} = -\overline{V}_{2\sigma'} U_{1\sigma} = -\overline{V}_{2\sigma'} \gamma_5 V_{1\sigma}$$

$$\overline{U}_{2\sigma'} \gamma_\mu U_{1\sigma} \tag{3.63}$$

$$\begin{aligned}
 \overline{U}_{2\sigma'} \gamma_\mu U_{1\sigma} &= 2 \delta_{\sigma',\sigma} \sinh \chi_1 (X + 2i\sigma Y)_\mu - 2(2\sigma) \delta_{\sigma',-\sigma} T_\mu \\
 &= \overline{V}_{2\sigma'} \gamma_\mu \gamma_5 U_{1\sigma} = \overline{U}_{2\sigma'} \gamma_\mu \gamma_5 V_{1\sigma} = \overline{V}_{2\sigma'} \gamma_\mu V_{1\sigma}
 \end{aligned}$$

$$\boxed{\overline{U}_{2\sigma'} \gamma_\mu \gamma_5 U_{1\sigma}} \quad (3.64)$$

$$\begin{aligned} \overline{U}_{2\sigma'} \gamma_\mu \gamma_5 U_{1\sigma} &= 2(2\sigma) \delta_{\sigma',\sigma} \cosh \chi_1 (X + 2i\sigma Y)_\mu - 2\delta_{\sigma',-\sigma} Z_\mu \\ &= \overline{V}_{2\sigma'} \gamma_\mu U_{1\sigma} = \overline{U}_{2\sigma'} \gamma_\mu V_{1\sigma} = \overline{V}_{2\sigma'} \gamma_\mu \gamma_5 V_{1\sigma} \end{aligned}$$

$$\boxed{\overline{U}_{2\sigma'} \sigma_{\mu\nu} U_{1\sigma}} \quad (3.65)$$

$$\begin{aligned} \overline{U}_{2\sigma'} \sigma_{\mu\nu} U_{1\sigma} &= i \delta_{\sigma',\sigma} \left[Z_\mu (X + 2i\sigma Y)_\nu - Z_\nu (X + 2i\sigma Y)_\mu \right] \\ &- \delta_{\sigma',-\sigma} \left[i(2\sigma) \sinh \chi_1 [T_\mu Z_\nu - T_\nu Z_\mu] + \cosh \chi_1 (X_\mu Y_\nu - X_\nu Y_\mu) \right] \\ &= -\overline{V}_{2\sigma'} \sigma_{\mu\nu} \gamma_5 U_{1\sigma} = \overline{U}_{2\sigma'} \sigma_{\mu\nu} \gamma_5 V_{1\sigma} = -\overline{V}_{2\sigma'} \sigma_{\mu\nu} V_{1\sigma} \end{aligned}$$

$$\boxed{\overline{U}_{2\sigma'} \sigma_{\mu\nu} \gamma_5 U_{1\sigma}} \quad (3.66)$$

$$\begin{aligned} \overline{U}_{2\sigma'} \sigma_{\mu\nu} \gamma_5 U_{1\sigma} &= i \delta_{\sigma',\sigma} (2\sigma) \left[T_\mu (X + 2i\sigma Y)_\nu - T_\nu (X + 2i\sigma Y)_\mu \right] \\ &- \delta_{\sigma',-\sigma} \left[i \cosh \chi_1 [T_\mu Z_\nu - T_\nu Z_\mu] + (2\sigma) \sinh \chi_1 (X_\mu Y_\nu - X_\nu Y_\mu) \right] \\ &= -\overline{V}_{2\sigma'} \sigma_{\mu\nu} U_{1\sigma} = \overline{U}_{2\sigma'} \sigma_{\mu\nu} V_{1\sigma} = -\overline{V}_{2\sigma'} \sigma_{\mu\nu} \gamma_5 V_{1\sigma} \end{aligned}$$

3.2.6 Couplage en voie s : cas $m_1 = m_3$ et $m_2 = m_4$ ($\chi_{31}^{(-)} = \chi_{42}^{(-)} = 0$)

$$\boxed{\overline{U}_{3\sigma'} U_{1\sigma}} \quad (3.67)$$

$$\begin{aligned} \overline{U}_{3\sigma'} U_{1\sigma} &= 2\delta_{\sigma',\sigma} \cos \frac{\theta}{2} - 2(2\sigma) \delta_{\sigma',-\sigma} \cosh \chi_1 \sin \frac{\theta}{2} \\ &= -\overline{V}_{3\sigma'} \gamma_5 U_{1\sigma} = -\overline{V}_{3\sigma'} V_{1\sigma} \end{aligned}$$

$$\boxed{\overline{U}_{3\sigma'} \gamma_5 U_{1\sigma}} \quad (3.68)$$

$$\overline{U}_{3\sigma'} \gamma_5 U_{1\sigma} = -2\delta_{\sigma',-\sigma} \sinh \chi_1 \sin \frac{\theta}{2} = -\overline{V}_{3\sigma'} U_{1\sigma} = \overline{U}_{3\sigma'} V_{1\sigma}$$

$$\boxed{\overline{U}_{3\sigma'} \gamma_\mu U_{1\sigma}} \quad (3.69)$$

$$\begin{aligned} \overline{U}_{3\sigma'} \gamma_\mu U_{1\sigma} &= 2 \delta_{\sigma',\sigma} \left[T_\mu \cosh \chi_1 \cos \frac{\theta}{2} \right. \\ &+ \left. \sinh \chi_1 \left[Z_\mu \cos \frac{\theta}{2} + (X + 2i\sigma Y)_\mu \sin \frac{\theta}{2} \right] \right] - 2(2\sigma) \delta_{\sigma',-\sigma} T_\mu \sin \frac{\theta}{2} \\ &= \overline{V}_{3\sigma'} \gamma_\mu \gamma_5 U_{1\sigma} = \overline{V}_{3\sigma'} \gamma_\mu V_{1\sigma} = \overline{U}_{3\sigma'} \gamma_\mu \gamma_5 V_{1\sigma} \end{aligned}$$

$$\boxed{\overline{U}_{3\sigma'} \gamma_\mu \gamma_5 U_{1\sigma}} \quad (3.70)$$

$$\begin{aligned} \overline{U}_{3\sigma'} \gamma_\mu \gamma_5 U_{1\sigma} &= 2 \delta_{\sigma',\sigma} (2\sigma) \left[T_\mu \sinh \chi_1 \cos \frac{\theta}{2} + \cosh \chi_1 \left[Z_\mu \cos \frac{\theta}{2} \right. \right. \\ &+ \left. \left. (X + 2i\sigma Y)_\mu \sin \frac{\theta}{2} \right] \right] + 2 \delta_{\sigma',-\sigma} \left[-Z_\mu \sin \frac{\theta}{2} + (X + 2i\sigma Y)_\mu \cos \frac{\theta}{2} \right] \\ &= \overline{V}_{3\sigma'} \gamma_\mu U_{1\sigma} = \overline{U}_{3\sigma'} \gamma_\mu V_{1\sigma} = \overline{V}_{3\sigma'} \gamma_\mu \gamma_5 V_{1\sigma} \end{aligned}$$

$$\boxed{\overline{U}_{3\sigma'} \sigma_{\mu\nu} U_{1\sigma}} \quad (3.71)$$

$$\begin{aligned} \overline{U}_{3\sigma'} \sigma_{\mu\nu} U_{1\sigma} &= \delta_{\sigma',\sigma} \left[(2\sigma) \cos \frac{\theta}{2} (X_\mu Y_\nu - X_\nu Y_\mu) + i \sin \frac{\theta}{2} \left[Z_\mu (X + 2i\sigma Y)_\nu \right. \right. \\ &- \left. \left. Z_\nu (X + 2i\sigma Y)_\mu \right] \right] + \delta_{\sigma',-\sigma} \left[\cosh \chi_1 \left\{ i(2\sigma) \cos \frac{\theta}{2} \left[Z_\mu (X + 2i\sigma Y)_\nu \right. \right. \right. \right. \\ &- \left. \left. Z_\nu (X + 2i\sigma Y)_\mu \right] - \sin \frac{\theta}{2} (X_\mu Y_\nu - X_\nu Y_\mu) \right\} \\ &+ (2\sigma) i \sinh \chi_1 \left\{ \cos \frac{\theta}{2} \left[T_\mu (X + 2i\sigma Y)_\nu - T_\nu (X + 2i\sigma Y)_\mu \right] \right. \\ &- \left. \left. \sin \frac{\theta}{2} (T_\mu Z_\nu - T_\nu Z_\mu) \right\} \right] \\ &= -\overline{V}_{3\sigma'} \sigma_{\mu\nu} \gamma_5 U_{1\sigma} = -\overline{V}_{3\sigma'} \sigma_{\mu\nu} V_{1\sigma} = \overline{U}_{3\sigma'} \sigma_{\mu\nu} \gamma_5 V_{1\sigma} \end{aligned}$$

$$\begin{aligned}
 & \boxed{\overline{U}_{3\sigma'} \sigma_{\mu\nu} \gamma_5 U_{1\sigma}} \tag{3.72} \\
 \overline{U}_{3\sigma'} \sigma_{\mu\nu} \gamma_5 U_{1\sigma} &= \delta_{\sigma',\sigma} \left[(2\sigma) i \left\{ \cos \frac{\theta}{2} (T_\mu Z_\nu - X_\nu Y_\mu) + \sin \frac{\theta}{2} \left[T_\mu (X + 2i\sigma Y)_\nu \right. \right. \right. \\
 & \quad \left. \left. \left. - T_\nu (X + 2i\sigma Y)_\mu \right] \right\} \right. \\
 & \quad \left. + i \delta_{\sigma',-\sigma} \left[\cosh \chi_1 \left\{ \cos \frac{\theta}{2} \left[T_\mu (X + 2i\sigma Y)_\nu - T_\nu (X + 2i\sigma Y)_\mu \right] \right. \right. \right. \\
 & \quad \left. \left. \left. - \sin \frac{\theta}{2} (T_\mu Z_\nu - T_\nu Z_\mu) \right\} + \sinh \chi_1 \left\{ \cos \frac{\theta}{2} \left[Z_\mu (X + 2i\sigma Y)_\nu - Z_\nu (X + 2i\sigma Y)_\mu \right] \right. \right. \right. \\
 & \quad \left. \left. \left. + i(2\sigma) \sin \frac{\theta}{2} (X_\mu Y_\nu - X_\nu Y_\mu) \right\} \right] \right] \\
 &= -\overline{V}_{3\sigma'} \sigma_{\mu\nu} U_{1\sigma} = -\overline{V}_{3\sigma'} \sigma_{\mu\nu} \gamma_5 V_{1\sigma} = \overline{U}_{3\sigma'} \sigma_{\mu\nu} V_{1\sigma}
 \end{aligned}$$

3.3 Le couplage d'hélicité dans la voie t

3.3.1 Définition des tétrades

Considérons à nouveau le processus de la figure (3.1) où nous supposons que les quatre particules sont toutes de spin 1/2. On effectue maintenant des couplages d'hélicité entre les particules 1 et 3 d'une part, et 2 et 4 d'autre part, ces deux groupes de particules ayant en commun le 4-vecteur de "transfert" du genre espace $q = p_1 - p_3 = -(p_2 - p_4)$ ("quadri-transfert"), pour lequel nous poserons $q^2 = -t < 0$. Dans le couplage de la voie t , les tétrades associées aux quatre particules ont en commun le 4-vecteur Y défini en (3.20) et le 4-vecteur $Q = q/\sqrt{t}$, ce dernier servant à définir un axe des z . Pour la commodité, les associations (p_1, p_3, q) et (p_2, p_4, q) seront respectivement appelées vertex de gauche et vertex de droite.

Les tétrades associées à chacun des vertex dans ce couplage d'hélicité sont les suivantes.

✎ Pour le vertex de gauche

- La tétrade associée à q est :

$$T_g = \frac{2\sqrt{t}}{\Lambda_g^{\frac{1}{2}}} \left(p_1 + q \frac{p_1 \cdot q}{t} \right) = \frac{2\sqrt{t}}{\Lambda_g^{\frac{1}{2}}} \left(p_3 + q \frac{p_3 \cdot q}{t} \right), \quad Z_g = Q, \quad Y, \quad \text{avec } \Lambda_g = \Lambda(-t, m_1^2, m_3^2),$$

$$\text{et } X_{g\mu} = \epsilon_{\mu\nu\rho\sigma} T_g^\nu Y^\rho Z_g^\sigma;$$

- celle associée à p_1 est ¹⁶

$$\begin{aligned}
 t_1 &= \frac{p_1}{m_1} = \cosh \xi_1 T_g + \sinh \xi_1 Z_g, \\
 z_1 &= \frac{2m_1}{\Lambda_g^{\frac{1}{2}}} \left(q - p_1 \frac{p_1 \cdot q}{m_1^2} \right) = \sinh \xi_1 T_g + \cosh \xi_1 Z_g
 \end{aligned}$$

16. Bien que les mêmes lettres soient utilisées pour les définir, les 4-vecteurs introduits ici ne doivent pas être confondus avec ceux du couplage de la voie s !

$$\text{avec } \cosh \xi_1 = \frac{\Lambda_g^{\frac{1}{2}}}{2m_1\sqrt{t}}, \quad \sinh \xi_1 = \frac{t + m_3^2 - m_1^2}{2m_1\sqrt{t}} \quad (-2p_1 \cdot q = t + m_3^2 - m_1^2)$$

$$x_1 = X_g, \quad y_1 = Y, \quad \epsilon_1^{(\pm)} = E_g^{(\pm)} = \mp \frac{1}{\sqrt{2}} [X_g \pm iY];$$

• et celle associée à p_3 est :

$$t_3 = \frac{p_3}{m_3} = \cosh \xi_3 T_g - \sinh \xi_3 Z_g,$$

$$z_3 = \frac{2m_3}{\Lambda_g^{\frac{1}{2}}} \left(q - p_3 \frac{p_3 \cdot q}{m_3^2} \right) = -\sinh \xi_3 T_g + \cosh \xi_3 Z_g$$

$$\text{avec } \cosh \xi_3 = \frac{\Lambda_g^{\frac{1}{2}}}{2m_3\sqrt{t}}, \quad \sinh \xi_3 = \frac{t + m_1^2 - m_3^2}{2m_3\sqrt{t}} \quad (2p_3 \cdot q = t + m_1^2 - m_3^2)$$

$$x_3 = X_g, \quad y_3 = Y, \quad \epsilon_3^{(\pm)} = \epsilon_1^{(\pm)} = \mp \frac{1}{\sqrt{2}} [X_g \pm iY];$$

Dans le référentiel (T_g, X_g, Y, Z_g) , les 3-vecteurs \vec{p}_1 , \vec{q} et \vec{p}_3 sont tous les trois selon l'axe des z , dans le sens positif pour les deux premiers, dans le sens négatif pour le troisième. On passe de la tétrade $\{[T_g] : (T_g, X_g, Y, Z_g)\}$ aux tétrades $\{[t_1]_t : (t_1, x_1, y_1, z_1)\}$ et $\{[t_3]_t : (t_3, x_3, y_3, z_3)\}$ au moyen des transformations de Lorentz pures $[T_g \rightarrow t_1]$ et $[T_g \rightarrow t_3]$ respectivement :

$$[t_1]_t = [T_g \rightarrow t_1][T_g], \quad [t_3]_t = [T_g \rightarrow t_3][T_g]$$

lesquelles s'effectuent dans le 2-plan (T_g, Z_g) orthogonal au 2-plan (X_g, Y) et dont les représentations agissant dans l'espace des spineurs de Dirac sont

$$S_{T_g \rightarrow t_1} = \cosh \frac{\xi_1}{2} + \sinh \frac{\xi_1}{2} \gamma(Z_g) \gamma(T_g) \quad \text{et} \quad S_{T_g \rightarrow t_3} = \cosh \frac{\xi_3}{2} - \sinh \frac{\xi_3}{2} \gamma(Z_g) \gamma(T_g) \quad (3.73)$$

On notera que

$$\gamma(Z_g) \gamma(T_g) = \gamma(z_1) \gamma(t_1) = \gamma(z_3) \gamma(t_3) = 2 S_{z_g} \gamma_5 \quad (3.74)$$

Notons $U_{g\sigma}$ et $V_{g\sigma} = \gamma_5 U_{g\sigma}$ les spineurs de Dirac associés à la tétrade $[T_g]$, prise comme référence pour le vertex de gauche. Ces spineurs sont supposés normalisés selon $\bar{U}U = 2$. Les spineurs de Dirac correspondant aux tétrades $[t_1]_t$ et $[t_3]_t$ s'en déduisent en utilisant (3.73) et (3.74) :

① pour la particule 1

$$U_{1\sigma} = S_{T_g \rightarrow t_1} U_{g\sigma} = \cosh \frac{\xi_1}{2} U_{g\sigma} + (2\sigma) \sinh \frac{\xi_1}{2} V_{g\sigma} \quad (3.75)$$

② pour la particule 3

$$U_{3\sigma} = S_{T_g \rightarrow t_3} U_{g\sigma} = \cosh \frac{\xi_3}{2} U_{g\sigma} - (2\sigma) \sinh \frac{\xi_3}{2} V_{g\sigma} \quad (3.76)$$

Les deux tétrades $[t_1]_t$ et $[t_3]_t$ peuvent être directement reliées par la transformation de Lorentz pure $[T_g \rightarrow t_3][T_g \rightarrow t_1]^{-1}$ s'effectuant dans le même 2-plan (T_g, Z) . Exprimons sa représentation sur les spineurs de Dirac. Compte tenu de (3.74), on a

$$\begin{aligned}
 S_{t_1 \rightarrow t_3} &= S_{T_g \rightarrow t_3} S_{T_g \rightarrow t_1}^{-1} = \left[\cosh \frac{\xi_3}{2} - \sinh \frac{\xi_3}{2} \gamma(z_1) \gamma(t_1) \right] \left[\cosh \frac{\xi_1}{2} - \sinh \frac{\xi_1}{2} \gamma(z_1) \gamma(t_1) \right] \\
 &= \cosh \xi_{13}^{(+)} - \sinh \xi_{13}^{(+)} \gamma(z_1) \gamma(t_1)
 \end{aligned}$$

où l'on a posé $\xi_{13}^{(+)} = \frac{\xi_1 + \xi_3}{2}$. Cette expression peut être réécrite comme

$$\begin{aligned}
 S_{t_1 \rightarrow t_3} &= \gamma(\mathcal{T}_{13}) \gamma(t_1) \quad \text{avec} \\
 \mathcal{T}_{13} &= \cosh \xi_{13}^{(+)} t_1 - \sinh \xi_{13}^{(+)} z_1 = \cosh \xi_{13}^{(-)} T_g + \sinh \xi_{13}^{(-)} Z_g \quad \text{où} \\
 \xi_{13}^{(-)} &= \frac{\xi_1 - \xi_3}{2}
 \end{aligned} \tag{3.77}$$

Puisque $\gamma(t_1) U_1 = U_1$, les deux spineurs (3.76) et (3.75) sont donc simplement reliés par :

$$U_{3\sigma} = \gamma(\mathcal{T}_{13}) U_{1\sigma} \tag{3.78}$$

☞ Pour le vertex de droite

Pour le vertex de droite, le 4-transfert est $q' = p_2 - p_4 = -q$. Cependant, nous garderons le même 4-vecteur q pour définir la tétrade de référence associée à ce vertex. Bien que cela induise une certaine dissymétrie entre les deux vertex, revenant à inverser les rôles de la particule entrante 2 et de la particule sortante 4, on en tire l'avantage que les tétrades de référence des deux vertex sont alors reliées par une simple transformation de Lorentz dans le 2-plan orthogonal au 2-plan (Q, Y) . Compte tenu de ce choix, les tétrades du vertex de droite seront définies comme suit.

- La tétrade associée à q est :

$$\begin{aligned}
 T_d &= \frac{2\sqrt{t}}{\Lambda_d^{\frac{1}{2}}} \left(p_2 + q \frac{p_2 \cdot q}{t} \right) = \frac{2\sqrt{t}}{\Lambda_d^{\frac{1}{2}}} \left(p_4 + q \frac{p_4 \cdot q}{t} \right), \quad Z_d = Z_g = Q, \quad Y, \\
 &\text{avec } \Lambda_d = \Lambda(-t, m_2^2, m_4^2), \quad \text{et } X_{d\mu} = \epsilon_{\mu\nu\rho\sigma} T_d^\nu Y^\rho Z_d^\sigma
 \end{aligned}$$

Elle sera prise comme référence pour le vertex de droite.

- La tétrade associée à p_2 est

$$\begin{aligned}
 t_2 &= \frac{p_2}{m_2} = \cosh \xi_2 T_d - \sinh \xi_2 Z_d, \\
 z_2 &= \frac{2m_2}{\Lambda_d^{\frac{1}{2}}} \left(-q + p_2 \frac{p_2 \cdot q}{m_2^2} \right) = -\sinh \xi_2 T_d + \cosh \xi_2 Z_d \\
 \text{avec } \cosh \xi_2 &= \frac{\Lambda_d^{\frac{1}{2}}}{2m_2\sqrt{t}}, \quad \sinh \xi_2 = \frac{t + m_4^2 - m_2^2}{2m_2\sqrt{t}} \quad (2p_2 \cdot q = t + m_4^2 - m_2^2) \\
 x_2 &= X_d, \quad y_2 = Y, \quad \epsilon_2^{(\pm)} = E_d^{(\pm)} = \mp \frac{1}{\sqrt{2}} [X_d \pm iY];
 \end{aligned}$$

• et celle associée à p_4 est :

$$\begin{aligned}
 t_4 &= \frac{p_4}{m_4} = \cosh \xi_4 T_d + \sinh \xi_4 Z_d, \\
 z_4 &= \frac{2m_4}{\Lambda_d^{\frac{1}{2}}} \left(-q + p_4 \frac{p_4 \cdot q}{m_4^2} \right) = \sinh \xi_4 T_d + \cosh \xi_4 Z_d \\
 \text{avec } \cosh \xi_4 &= \frac{\Lambda_d^{\frac{1}{2}}}{2m_4 \sqrt{t}}, \quad \sinh \xi_4 = \frac{t + m_2^2 - m_4^2}{2m_4 \sqrt{t}} \quad (-2p_4 \cdot q = t + m_2^2 - m_4^2) \\
 x_4 &= X_d, \quad y_4 = Y, \quad \epsilon_4^{(\pm)} = \epsilon_2^{(\pm)} = \mp \frac{1}{\sqrt{2}} [X_d \pm iY];
 \end{aligned}$$

Dans le référentiel (T_d, X_d, Y, Z_d) , les 3-vecteurs \vec{p}_4 , \vec{q} et \vec{p}_2 sont tous les trois selon l'axe des z , dans le sens positif pour les deux premiers, dans le sens négatif pour le troisième. On passe de la tétrade $\{[T_d] : (T_d, X_d, Y, Z_d)\}$ aux tétrades $\{[t_2]_t : (t_2, x_2, y_2, z_2)\}$ et $\{[t_4]_t : (t_4, x_4, y_4, z_4)\}$ au moyen des transformations de Lorentz pures $[T_d \rightarrow t_2]$ et $[T_d \rightarrow t_4]$ respectivement :

$$[t_2]_t = [T_2 \rightarrow t_2][T_d], \quad [t_4]_t = [T_d \rightarrow t_4][T_d]$$

lesquelles s'effectuent dans le 2-plan (T_d, Z_d) orthogonal au 2-plan (X_d, Y) et dont les représentations agissant dans l'espace des spineurs de Dirac sont

$$S_{T_d \rightarrow t_2} = \cosh \frac{\xi_2}{2} - \sinh \frac{\xi_2}{2} \gamma(Z_d) \gamma(T_d) \quad \text{et} \quad S_{T_d \rightarrow t_4} = \cosh \frac{\xi_4}{2} + \sinh \frac{\xi_4}{2} \gamma(Z_d) \gamma(T_d) \quad (3.79)$$

On notera la relation symétrique de (3.74) :

$$\gamma(Z_d) \gamma(T_d) = \gamma(z_2) \gamma(t_2) = \gamma(z_4) \gamma(t_4) = 2 S_{z_d} \gamma_5 \quad (3.80)$$

Notons $U_{d\sigma}$ et $V_{d\sigma} = \gamma_5 U_{d\sigma}$ les spineurs de Dirac associés à la tétrade $[T_d]$, prise comme référence pour le vertex de droite, dont notera bien qu'elle est différente de la tétrade de référence du vertex de gauche. Ces spineurs sont aussi supposés normalisés selon $\bar{U}U = 2$. Les spineurs de Dirac correspondant aux tétrades $[t_2]_t$ et $[t_4]_t$ se déduisent de ces spineurs de référence en utilisant (3.79) et (3.80) :

① pour la particule 2

$$U_{2\sigma} = S_{T_d \rightarrow t_2} U_{d\sigma} = \cosh \frac{\xi_2}{2} U_{d\sigma} - (2\sigma) \sinh \frac{\xi_2}{2} V_{d\sigma} \quad (3.81)$$

② pour la particule 4

$$U_{4\sigma} = S_{T_d \rightarrow t_4} U_{d\sigma} = \cosh \frac{\xi_4}{2} U_{d\sigma} + (2\sigma) \sinh \frac{\xi_4}{2} V_{d\sigma} \quad (3.82)$$

Comme dans le cas du vertex de gauche, les deux tétrades $[t_2]_t$ et $[t_4]_t$ peuvent aussi être directement reliées par une transformation de Lorentz pure, à savoir $[T_d \rightarrow t_4][T_d \rightarrow t_2]^{-1}$, laquelle s'effectue dans 2-plan (T_d, Z') . Compte tenu de (3.80), on a

$$S_{t_2 \rightarrow t_4} = S_{T_d \rightarrow t_4} S_{T_d \rightarrow t_2}^{-1} = \left[\cosh \frac{\xi_4}{2} + \sinh \frac{\xi_4}{2} \gamma(z_2) \gamma(t_2) \right] \left[\cosh \frac{\xi_2}{2} + \sinh \frac{\xi_2}{2} \gamma(z_2) \gamma(t_2) \right]$$

$$= \cosh \xi_{24}^{(+)} + \sinh \xi_{24}^{(+)} \gamma(z_2) \gamma(t_2)$$

où l'on a posé $\xi_{24}^{(+)} = \frac{\xi_2 + \xi_4}{2}$. Cette expression peut être réécrite comme

$$\begin{aligned} S_{t_2 \rightarrow t_4} &= \gamma(\mathcal{T}_{24}) \gamma(t_2) \quad \text{avec} \\ \mathcal{T}_{24} &= \cosh \xi_{24}^{(+)} t_2 + \sinh \xi_{24}^{(+)} z_2 = \cosh \xi_{24}^{(-)} T_d - \sinh \xi_{24}^{(-)} Z_d \quad \text{où} \\ \xi_{24}^{(-)} &= \frac{\xi_2 - \xi_4}{2} \end{aligned} \quad (3.83)$$

Puisque $\gamma(t_2) U_2 = U_2$, les deux spineurs (3.81) et (3.82) sont simplement reliés par :

$$U_{4\sigma} = \gamma(\mathcal{T}_{24}) U_{2\sigma} \quad (3.84)$$

3.3.2 Projecteurs $U_1 \bar{U}_3$ et $U_2 \bar{U}_4$ du couplage en voie t

Définissons tout d'abord

$$\begin{aligned} \mathcal{Z}_{13} &= \cosh \xi_{13}^{(-)} Z + \sinh \xi_{13}^{(-)} T_g = \cosh \xi_{13}^{(+)} z_1 - \sinh \xi_{13}^{(+)} t_1 \\ &= \cosh \xi_{13}^{(+)} z_3 + \sinh \xi_{13}^{(+)} t_3 \quad \text{et} \\ \mathcal{Z}_{24} &= \cosh \xi_{24}^{(-)} Z_d - \sinh \xi_{24}^{(-)} T_d = \cosh \xi_{24}^{(+)} z_2 + \sinh \xi_{24}^{(+)} t_2 \\ &= \cosh \xi_{24}^{(+)} z_4 - \sinh \xi_{24}^{(+)} t_4 \end{aligned} \quad (3.85)$$

On vérifie que

$$\gamma(\mathcal{Z}_{13}) \gamma(\mathcal{T}_{13}) = \gamma(z_1) \gamma(t_1) = \gamma(z_3) \gamma(t_3), \quad \gamma(\mathcal{Z}_{24}) \gamma(\mathcal{T}_{24}) = \gamma(z_2) \gamma(t_2) = \gamma(z_4) \gamma(t_4) \quad (3.86)$$

Rappelons que pour une base quelconque (T, X, Y, Z) , on a

$$\gamma_5 \gamma(X + i(2\sigma)Y) = (2\sigma) \gamma(X + i(2\sigma)Y) \gamma(Z) \gamma(T)$$

Combinant alors (3.78) et

$$U_{1\sigma} \bar{U}_{1\sigma'} = \delta_{\sigma',\sigma} \frac{1}{2} [1 + (2\sigma) \gamma_5 \gamma(z_1)] [1 + \gamma(t_1)] + \delta_{\sigma',-\sigma} \frac{1}{2} \gamma_5 \gamma(X_g + (2\sigma)iY) [1 + \gamma(t_1)] \quad (3.87)$$

il n'est pas difficile de déduire les projecteurs $U_1 \bar{U}_3$:

$$\begin{aligned}
 U_{1\sigma} \overline{U}_{3\sigma'} &= U_{1\sigma} \overline{U}_{1\sigma'} \gamma(\mathcal{T}_{13}) = \delta_{\sigma',\sigma} \frac{1}{2} [1 + \gamma(t_1)] [\gamma(\mathcal{T}_{13}) + (2\sigma)\gamma_5 \gamma(\mathcal{Z}_{13})] \\
 &\quad + \delta_{\sigma',-\sigma} (2\sigma) \frac{1}{2} [1 + \gamma(t_1)] \gamma(X_g + (2\sigma)iY) \gamma(\mathcal{Z}_{13}) \\
 &= \gamma(\mathcal{T}_{13}) U_{3\sigma} \overline{U}_{3\sigma'} = \delta_{\sigma',\sigma} \frac{1}{2} [\gamma(\mathcal{T}_{13}) + (2\sigma)\gamma_5 \gamma(\mathcal{Z}_{13})] [1 + \gamma(t_3)] \\
 &\quad + \delta_{\sigma',-\sigma} (2\sigma) \frac{1}{2} \gamma(X_g + (2\sigma)iY) \gamma(\mathcal{Z}_{13}) [1 + \gamma(t_3)]
 \end{aligned} \tag{3.88}$$

Symétriquement, on a

$$\begin{aligned}
 U_{2\sigma} \overline{U}_{4\sigma'} &= U_{2\sigma} \overline{U}_{2\sigma'} \gamma(\mathcal{T}_{24}) = \delta_{\sigma',\sigma} \frac{1}{2} [1 + \gamma(t_2)] [\gamma(\mathcal{T}_{24}) + (2\sigma)\gamma_5 \gamma(\mathcal{Z}_{24})] \\
 &\quad + \delta_{\sigma',-\sigma} (2\sigma) \frac{1}{2} [1 + \gamma(t_2)] \gamma(X_d + (2\sigma)iY) \gamma(\mathcal{Z}_{24}) \\
 &= \gamma(\mathcal{T}_{24}) U_{4\sigma} \overline{U}_{4\sigma'} = \delta_{\sigma',\sigma} \frac{1}{2} [\gamma(\mathcal{T}_{24}) + (2\sigma)\gamma_5 \gamma(\mathcal{Z}_{24})] [1 + \gamma(t_4)] \\
 &\quad + \delta_{\sigma',-\sigma} (2\sigma) \frac{1}{2} \gamma(X_d + (2\sigma)iY) \gamma(\mathcal{Z}_{24}) [1 + \gamma(t_4)]
 \end{aligned} \tag{3.89}$$

3.3.3 Formes bilinéaires $\overline{U}_{3\sigma'} \Gamma U_{1\sigma}$ du couplage en voie t

Nous laissons au lecteur le soin de vérifier les formules ci-dessous.

Vertex de gauche

$$\boxed{\overline{U}_{3\sigma'} U_{1\sigma}} \tag{3.90}$$

$$\begin{aligned}
 \overline{U}_{3\sigma'} U_{1\sigma} &= 2 \delta_{\sigma',\sigma} \cosh \xi_{13}^{(+)} \\
 \overline{U}_{3\sigma'} \gamma_5 V_{1\sigma} &= -\overline{V}_{3\sigma'} \gamma_5 U_{1\sigma} = -\overline{V}_{3\sigma'} V_{1\sigma}
 \end{aligned}$$

$$\boxed{\overline{U}_{3\sigma'} \gamma_5 U_{1\sigma}} \tag{3.91}$$

$$\begin{aligned}
 \overline{U}_{3\sigma'} \gamma_5 U_{1\sigma} &= 2 (2\sigma) \delta_{\sigma',\sigma} \sinh \xi_{13}^{(+)} \\
 \overline{U}_{3\sigma'} V_{1\sigma} &= -\overline{V}_{3\sigma'} U_{1\sigma} = -\overline{V}_{3\sigma'} \gamma_5 V_{1\sigma}
 \end{aligned}$$

$$\boxed{\overline{U}_{3\sigma'} \gamma_\mu U_{1\sigma}} \quad (3.92)$$

$$\begin{aligned} \overline{U}_{3\sigma'} \gamma_\mu U_{1\sigma} &= 2 \delta_{\sigma',\sigma} \mathcal{T}_{13\mu} + 2(2\sigma) \delta_{\sigma',-\sigma} \sinh \xi_{13}^{(+)} (X_g + i(2\sigma)Y)_\mu \\ &= \overline{V}_{3\sigma'} \gamma_\mu \gamma_5 U_{1\sigma} = \overline{V}_{3\sigma'} \gamma_\mu V_{1\sigma} = \overline{U}_{3\sigma'} \gamma_\mu \gamma_5 V_{1\sigma} \end{aligned}$$

$$\boxed{\overline{U}_{3\sigma'} \gamma_\mu \gamma_5 U_{1\sigma}} \quad (3.93)$$

$$\begin{aligned} \overline{U}_{3\sigma'} \gamma_\mu \gamma_5 U_{1\sigma} &= 2 \delta_{\sigma',\sigma} (2\sigma) \mathcal{Z}_{13\mu} + 2 \delta_{\sigma',-\sigma} \cosh \xi_{13}^{(+)} (X_g + i(2\sigma)Y)_\mu \\ &= \overline{V}_{3\sigma'} \gamma_\mu U_{1\sigma} = \overline{U}_{3\sigma'} \gamma_\mu V_{1\sigma} = \overline{V}_{3\sigma'} \gamma_\mu \gamma_5 V_{1\sigma} \end{aligned}$$

$$\boxed{\overline{U}_{3\sigma'} \sigma_{\mu\nu} U_{1\sigma}} \quad (3.94)$$

$$\begin{aligned} \overline{U}_{3\sigma'} \sigma_{\mu\nu} U_{1\sigma} &= \delta_{\sigma',\sigma} \left[i \sinh \xi_{13}^{(+)} [\mathcal{T}_{13\mu} \mathcal{Z}_{13\nu} - \mathcal{T}_{13\nu} \mathcal{Z}_{13\mu}] \right. \\ &+ (2\sigma) \cosh \xi_{13}^{(+)} [X_{g\mu} Y_\nu - X_{g\nu} Y_\mu] \left. \right] + i(2\sigma) \delta_{\sigma',-\sigma} \left[\mathcal{Z}_{13\mu} (X_g + i(2\sigma)Y)_\nu \right. \\ &\quad \left. - \mathcal{Z}_{13\nu} (X_g + i(2\sigma)Y)_\mu \right] \\ &= -\overline{V}_{3\sigma'} \sigma_{\mu\nu} \gamma_5 U_{1\sigma} = -\overline{V}_{3\sigma'} \sigma_{\mu\nu} V_{1\sigma} = \overline{U}_{3\sigma'} \sigma_{\mu\nu} \gamma_5 V_{1\sigma} = -\overline{V}_{3\sigma'} \sigma_{\mu\nu} V_{1\sigma} \end{aligned}$$

$$\boxed{\overline{U}_{3\sigma'} \sigma_{\mu\nu} \gamma_5 U_{1\sigma}} \quad (3.95)$$

$$\begin{aligned} \overline{U}_{3\sigma'} \sigma_{\mu\nu} \gamma_5 U_{1\sigma} &= \delta_{\sigma',\sigma} \left[i(2\sigma) \cosh \xi_{13}^{(+)} (\mathcal{T}_{13\mu} \mathcal{Z}_{13\nu} - \mathcal{T}_{13\nu} \mathcal{Z}_{13\mu}) \right. \\ &\quad \left. + \sinh \xi_{13}^{(+)} (X_\mu Y_\nu - X_\nu Y_\mu) \right] + i \delta_{\sigma',-\sigma} \left[\mathcal{T}_{13\mu} (X_g + i(2\sigma)Y)_\nu \right. \\ &\quad \left. - \mathcal{T}_{13\nu} (X_g + i(2\sigma)Y)_\mu \right] \\ &= -\overline{V}_{3\sigma'} \sigma_{\mu\nu} U_{1\sigma} = -\overline{V}_{3\sigma'} \sigma_{\mu\nu} \gamma_5 V_{1\sigma} = \overline{U}_{3\sigma'} \sigma_{\mu\nu} V_{1\sigma} = -\overline{V}_{3\sigma'} \sigma_{\mu\nu} \gamma_5 V_{1\sigma} \end{aligned}$$

$$\text{Note : } \mathcal{T}_{13\mu} \mathcal{Z}_{13\nu} - \mathcal{T}_{13\nu} \mathcal{Z}_{13\mu} = t_{1\mu} z_{1\nu} - t_{1\nu} z_{1\mu} = t_{3\mu} z_{3\nu} - t_{3\nu} z_{3\mu} \quad (3.96)$$

☞ Vertex de droite

$$\boxed{\overline{U}_{4\sigma'} U_{2\sigma}} \quad (3.97)$$

$$\begin{aligned} \overline{U}_{4\sigma'} U_{2\sigma} &= 2 \delta_{\sigma',\sigma} \cosh \xi_{24}^{(+)} \\ \overline{U}_{4\sigma'} \gamma_5 V_{2\sigma} &= -\overline{V}_{4\sigma'} \gamma_5 U_{2\sigma} = -\overline{V}_{4\sigma'} V_{2\sigma} \end{aligned}$$

$$\boxed{\overline{U}_{4\sigma'} \gamma_5 U_{2\sigma}} \quad (3.98)$$

$$\begin{aligned} \overline{U}_{4\sigma'} \gamma_5 U_{2\sigma} &= -2 (2\sigma) \delta_{\sigma',\sigma} \sinh \xi_{24}^{(+)} \\ \overline{U}_{4\sigma'} V_{2\sigma} &= -\overline{V}_{4\sigma'} U_{2\sigma} = -\overline{V}_{4\sigma'} \gamma_5 V_{2\sigma} \end{aligned}$$

$$\boxed{\overline{U}_{4\sigma'} \gamma_\mu U_{2\sigma}} \quad (3.99)$$

$$\begin{aligned} \overline{U}_{4\sigma'} \gamma_\mu U_{2\sigma} &= 2 \delta_{\sigma',\sigma} \mathcal{T}_{24\mu} - 2 (2\sigma) \delta_{\sigma',-\sigma} \sinh \xi_{24}^{(+)} (X_d + i(2\sigma)Y)_\mu \\ &= \overline{V}_{4\sigma'} \gamma_\mu \gamma_5 U_{2\sigma} = \overline{V}_{4\sigma'} \gamma_\mu V_{2\sigma} = \overline{U}_{4\sigma'} \gamma_\mu \gamma_5 V_{2\sigma} \end{aligned}$$

$$\boxed{\overline{U}_{4\sigma'} \gamma_\mu \gamma_5 U_{2\sigma}} \quad (3.100)$$

$$\begin{aligned} \overline{U}_{4\sigma'} \gamma_\mu \gamma_5 U_{2\sigma} &= 2 \delta_{\sigma',\sigma} (2\sigma) \mathcal{Z}_{24\mu} + 2 \delta_{\sigma',-\sigma} \cosh \xi_{24}^{(+)} (X_d + i(2\sigma)Y)_\mu \\ &= \overline{V}_{4\sigma'} \gamma_\mu U_{2\sigma} = \overline{U}_{4\sigma'} \gamma_\mu V_{2\sigma} = \overline{V}_{4\sigma'} \gamma_\mu \gamma_5 V_{2\sigma} \end{aligned}$$

$$\boxed{\overline{U}_{4\sigma'} \sigma_{\mu\nu} U_{2\sigma}} \quad (3.101)$$

$$\begin{aligned} \overline{U}_{4\sigma'} \sigma_{\mu\nu} U_{2\sigma} &= \delta_{\sigma',\sigma} \left[-i \sinh \xi_{24}^{(+)} [\mathcal{T}_{24\mu} \mathcal{Z}_{24\nu} - \mathcal{T}_{24\nu} \mathcal{Z}_{24\mu}] \right. \\ &+ (2\sigma) \cosh \xi_{24}^{(+)} [X_{d\mu} Y_\nu - X_{d\nu} Y_\mu] \left. \right] + i(2\sigma) \delta_{\sigma',-\sigma} \left[\mathcal{Z}_{24\mu} (X_d + i(2\sigma)Y)_\nu \right. \\ &\quad \left. - \mathcal{Z}_{24\nu} (X_d + i(2\sigma)Y)_\mu \right] \\ &= -\overline{V}_{4\sigma'} \sigma_{\mu\nu} \gamma_5 U_{2\sigma} = -\overline{V}_{4\sigma'} \sigma_{\mu\nu} V_{2\sigma} = \overline{U}_{4\sigma'} \sigma_{\mu\nu} \gamma_5 V_{2\sigma} = -\overline{V}_{4\sigma'} \sigma_{\mu\nu} V_{2\sigma} \end{aligned}$$

$$\text{Note : } \mathcal{T}_{24\mu} \mathcal{Z}_{24\nu} - \mathcal{T}_{24\nu} \mathcal{Z}_{24\mu} = t_{2\mu} z_{2\nu} - t_{2\nu} z_{2\mu} = t_{4\mu} z_{4\nu} - t_{4\nu} z_{4\mu} \quad (3.102)$$

$$\boxed{\overline{U}_{4\sigma'} \sigma_{\mu\nu} \gamma_5 U_{2\sigma}} \quad (3.103)$$

$$\begin{aligned}
 \overline{U}_{4\sigma'} \sigma_{\mu\nu} \gamma_5 U_{2\sigma} &= \delta_{\sigma',\sigma} \left[i(2\sigma) \cosh \xi_{24}^{(+)} (\mathcal{T}_{24\mu} \mathcal{Z}_{24\nu} - \mathcal{T}_{24\nu} \mathcal{Z}_{24\mu}) \right. \\
 &\quad \left. - \sinh \xi_{24}^{(+)} (X_{d\mu} Y_\nu - X_{d\nu} Y_\mu) \right] + i\delta_{\sigma',-\sigma} \left[\mathcal{T}_{24\mu} (X_d + i(2\sigma)Y)_\nu \right. \\
 &\quad \left. - \mathcal{T}_{24\nu} (X_d + i(2\sigma)Y)_\mu \right] \\
 &= -\overline{V}_{4\sigma'} \sigma_{\mu\nu} U_{2\sigma} = -\overline{V}_{4\sigma'} \sigma_{\mu\nu} \gamma_5 V_{2\sigma} = \overline{U}_{4\sigma'} \sigma_{\mu\nu} V_{2\sigma} = -\overline{V}_{4\sigma'} \sigma_{\mu\nu} \gamma_5 V_{2\sigma}
 \end{aligned}$$

3.3.4 Couplage en voie t : cas $m_1 = m_3 = m$ (ou $m_2 = m_4 = m$)

On a alors $\xi_{13}^{(+)} = \xi_1 = \xi_3$ avec

$$\boxed{\cosh \xi_1 = \frac{\sqrt{t+4m^2}}{2m}, \quad \sinh \xi_1 = \frac{\sqrt{t}}{2m}} \quad (3.104)$$

et $\mathcal{T}_{13} = T_d$, $\mathcal{Z}_{13} = Z_g$. On a maintenant $U_{3\sigma} = S_{T_g \rightarrow t_1}^{-1} U_{g\sigma} = S_{T_g \rightarrow t_1}^{-2} U_{1\sigma}$. Les formes bilinéaires du précédent paragraphe prennent alors les expressions ci-dessous.

☞ Vertex de gauche

$$\boxed{\overline{U}_{3\sigma'} U_{1\sigma}} \quad (3.105)$$

$$\begin{aligned}
 \overline{U}_{3\sigma'} U_{1\sigma} &= 2 \delta_{\sigma',\sigma} \cosh \xi_1 \\
 \overline{U}_{3\sigma'} \gamma_5 V_{1\sigma} &= -\overline{V}_{3\sigma'} \gamma_5 U_{1\sigma} = -\overline{V}_{3\sigma'} V_{1\sigma}
 \end{aligned}$$

$$\boxed{\overline{U}_{3\sigma'} \gamma_5 U_{1\sigma}} \quad (3.106)$$

$$\begin{aligned}
 \overline{U}_{3\sigma'} \gamma_5 U_{1\sigma} &= 2 \delta_{\sigma',\sigma} (2\sigma) \sinh \xi_1 \\
 \overline{U}_{3\sigma'} V_{1\sigma} &= -\overline{V}_{3\sigma'} U_{1\sigma} = -\overline{V}_{3\sigma'} \gamma_5 V_{1\sigma}
 \end{aligned}$$

$$\boxed{\overline{U}_{3\sigma'} \gamma_\mu U_{1\sigma}} \quad (3.107)$$

$$\begin{aligned}
 \overline{U}_{3\sigma'} \gamma_\mu U_{1\sigma} &= 2 \delta_{\sigma',\sigma} T_{g\mu} + 2(2\sigma) \delta_{\sigma',-\sigma} \sinh \xi_1 (X_g + i(2\sigma)Y)_\mu \\
 &= \overline{V}_{3\sigma'} \gamma_\mu \gamma_5 U_{1\sigma} = \overline{V}_{3\sigma'} \gamma_\mu V_{1\sigma} = \overline{U}_{3\sigma'} \gamma_\mu \gamma_5 V_{1\sigma}
 \end{aligned}$$

$$\boxed{\overline{U}_{3\sigma'} \gamma_\mu \gamma_5 U_{1\sigma}} \quad (3.108)$$

$$\begin{aligned} \overline{U}_{3\sigma'} \gamma_\mu \gamma_5 U_{1\sigma} &= 2 \delta_{\sigma',\sigma} (2\sigma) Z_{g\mu} + 2 \delta_{\sigma',-\sigma} \cosh \xi_1 (X_g + i(2\sigma)Y)_\mu \\ &= \overline{V}_{3\sigma'} \gamma_\mu U_{1\sigma} = \overline{U}_{3\sigma'} \gamma_\mu V_{1\sigma} = \overline{V}_{3\sigma'} \gamma_\mu \gamma_5 V_{1\sigma} \end{aligned}$$

$$\boxed{\overline{U}_{3\sigma'} \sigma_{\mu\nu} U_{1\sigma}} \quad (3.109)$$

$$\begin{aligned} \overline{U}_{3\sigma'} \sigma_{\mu\nu} U_{1\sigma} &= \delta_{\sigma',\sigma} \left[i \sinh \xi_1 [T_{g\mu} Z_{g\nu} - T_{g\nu} Z_{g\mu}] \right. \\ &+ (2\sigma) \cosh \xi_1 [X_{g\mu} Y_\nu - X_{g\nu} Y_\mu] \left. \right] + i(2\sigma) \delta_{\sigma',-\sigma} \left[Z_{g\mu} (X_g + i(2\sigma)Y)_\nu \right. \\ &\quad \left. - Z_{g\nu} (X_g + i(2\sigma)Y)_\mu \right] \\ &= -\overline{V}_{3\sigma'} \sigma_{\mu\nu} \gamma_5 U_{1\sigma} = -\overline{V}_{3\sigma'} \sigma_{\mu\nu} V_{1\sigma} = \overline{U}_{3\sigma'} \sigma_{\mu\nu} \gamma_5 V_{1\sigma} = -\overline{V}_{3\sigma'} \sigma_{\mu\nu} V_{1\sigma} \end{aligned}$$

$$\boxed{\overline{U}_{3\sigma'} \sigma_{\mu\nu} \gamma_5 U_{1\sigma}} \quad (3.110)$$

$$\begin{aligned} \overline{U}_{3\sigma'} \sigma_{\mu\nu} \gamma_5 U_{1\sigma} &= \delta_{\sigma',\sigma} \left[i(2\sigma) \cosh \xi_1 (T_{g\mu} Z_{g\nu} - T_{g\nu} Z_{g\mu}) \right. \\ &+ \sinh \xi_1 (X_{g\mu} Y_\nu - X_{g\nu} Y_\mu) \left. \right] + i \delta_{\sigma',-\sigma} \left[T_{g\mu} (X_g + i(2\sigma)Y)_\nu \right. \\ &\quad \left. - T_{g\nu} (X_g + i(2\sigma)Y)_\mu \right] \\ &= -\overline{V}_{3\sigma'} \sigma_{\mu\nu} U_{1\sigma} = -\overline{V}_{3\sigma'} \sigma_{\mu\nu} \gamma_5 V_{1\sigma} = \overline{U}_{3\sigma'} \sigma_{\mu\nu} V_{1\sigma} = -\overline{V}_{3\sigma'} \sigma_{\mu\nu} \gamma_5 V_{1\sigma} \end{aligned}$$

☞ Vertex de droite

$$\boxed{\overline{U}_{4\sigma'} U_{2\sigma}} \quad (3.111)$$

$$\begin{aligned} \overline{U}_{4\sigma'} U_{2\sigma} &= 2 \delta_{\sigma',\sigma} \cosh \xi_1 \\ \overline{U}_{4\sigma'} \gamma_5 V_{2\sigma} &= -\overline{V}_{4\sigma'} \gamma_5 U_{2\sigma} = -\overline{V}_{4\sigma'} V_{2\sigma} \end{aligned}$$

$$\boxed{\overline{U}_{4\sigma'} \gamma_5 U_{2\sigma}} \quad (3.112)$$

$$\begin{aligned} \overline{U}_{4\sigma'} \gamma_5 U_{2\sigma} &= -2 \delta_{\sigma',\sigma} (2\sigma) \sinh \xi_1 \\ \overline{U}_{4\sigma'} V_{2\sigma} &= -\overline{V}_{4\sigma'} U_{2\sigma} = -\overline{V}_{4\sigma'} \gamma_5 V_{2\sigma} \end{aligned}$$

$$\boxed{\overline{U}_{4\sigma'} \gamma_\mu U_{2\sigma}} \quad (3.113)$$

$$\begin{aligned} \overline{U}_{4\sigma'} \gamma_\mu U_{2\sigma} &= 2 \delta_{\sigma',\sigma} T_{d\mu} - 2 (2\sigma) \delta_{\sigma',-\sigma} \sinh \xi_1 (X_d + i(2\sigma)Y)_\mu \\ &= \overline{V}_{4\sigma'} \gamma_\mu \gamma_5 U_{2\sigma} = \overline{V}_{4\sigma'} \gamma_\mu V_{2\sigma} = \overline{U}_{4\sigma'} \gamma_\mu \gamma_5 V_{2\sigma} \end{aligned}$$

$$\boxed{\overline{U}_{4\sigma'} \gamma_\mu \gamma_5 U_{2\sigma}} \quad (3.114)$$

$$\begin{aligned} \overline{U}_{4\sigma'} \gamma_\mu \gamma_5 U_{2\sigma} &= 2 \delta_{\sigma',\sigma} (2\sigma) Z_{d\mu} + 2 \delta_{\sigma',-\sigma} \cosh \xi_1 (X_d + i(2\sigma)Y)_\mu \\ &= \overline{V}_{3\sigma'} \gamma_\mu U_{1\sigma} = \overline{U}_{3\sigma'} \gamma_\mu V_{1\sigma} = \overline{V}_{3\sigma'} \gamma_\mu \gamma_5 V_{1\sigma} \end{aligned}$$

$$\boxed{\overline{U}_{4\sigma'} \sigma_{\mu\nu} U_{2\sigma}} \quad (3.115)$$

$$\begin{aligned} \overline{U}_{4\sigma'} \sigma_{\mu\nu} U_{2\sigma} &= \delta_{\sigma',\sigma} \left[-i \sinh \xi_1 [T_{d\mu} Z_{d\nu} - T_{d\nu} Z_{d\mu}] \right. \\ &+ (2\sigma) \cosh \xi_1 [X_{d\mu} Y_\nu - X_{d\nu} Y_\mu] \left. \right] + i(2\sigma) \delta_{\sigma',-\sigma} \left[Z_{d\mu} (X_d + i(2\sigma)Y)_\nu \right. \\ &\quad \left. - Z_{d\nu} (X_d + i(2\sigma)Y)_\mu \right] \\ &= -\overline{V}_{3\sigma'} \sigma_{\mu\nu} \gamma_5 U_{1\sigma} = -\overline{V}_{3\sigma'} \sigma_{\mu\nu} V_{1\sigma} = \overline{U}_{3\sigma'} \sigma_{\mu\nu} \gamma_5 V_{1\sigma} = -\overline{V}_{3\sigma'} \sigma_{\mu\nu} V_{1\sigma} \end{aligned}$$

$$\boxed{\overline{U}_{4\sigma'} \sigma_{\mu\nu} \gamma_5 U_{2\sigma}} \quad (3.116)$$

$$\begin{aligned} \overline{U}_{4\sigma'} \sigma_{\mu\nu} \gamma_5 U_{2\sigma} &= \delta_{\sigma',\sigma} \left[i(2\sigma) \cosh \xi_1 (T_{d\mu} Z_{d\nu} - T_{d\nu} Z_{d\mu}) \right. \\ &- \sinh \xi_1 (X_{d\mu} Y_\nu - X_{d\nu} Y_\mu) \left. \right] + i \delta_{\sigma',-\sigma} \left[T_{d\mu} (X_d + i(2\sigma)Y)_\nu \right. \\ &\quad \left. - T_{d\nu} (X_d + i(2\sigma)Y)_\mu \right] \\ &= -\overline{V}_{4\sigma'} \sigma_{\mu\nu} U_{2\sigma} = -\overline{V}_{4\sigma'} \sigma_{\mu\nu} \gamma_5 V_{2\sigma} = \overline{U}_{4\sigma'} \sigma_{\mu\nu} V_{2\sigma} = -\overline{V}_{4\sigma'} \sigma_{\mu\nu} \gamma_5 V_{2\sigma} \end{aligned}$$

3.3.5 Relations entre vertex de gauche et vertex de droite

Ayant les deux vecteurs Y et Q en commun, les tétrades de référence (T_g, X_g, Y, Q) et (T_d, X_d, Y, Q) des vertex de gauche et de droite, respectivement, sont reliées par une tranformation de Lorentz pure agissant dans le 2-plan orthogonal au 2-plan (Y, Q) . Soit Θ son paramètre, tel que $T_g \cdot T_d = \cosh \Theta$. Exprimons cette grandeur¹⁷. Compte tenu de $T_d \cdot q = 0$, on a

$$\begin{aligned}
 T_g \cdot T_d &= \frac{4}{\Lambda_{13}^{\frac{1}{2}} \Lambda_{24}^{\frac{1}{2}}} p_1 \cdot [t p_2 + q (p_2 \cdot q)] \\
 &= \frac{1}{\Lambda_{13}^{\frac{1}{2}} \Lambda_{24}^{\frac{1}{2}}} [2t(s - m_1^2 - m_2^2) - (t + m_3^2 - m_1^2)(t + m_4^2 - m_2^2)] \quad \text{soit} \\
 \cosh \Theta &= \frac{1}{\Lambda_{13}^{\frac{1}{2}} \Lambda_{24}^{\frac{1}{2}}} [t(2s - t - \Sigma) - (m_3^2 - m_1^2)(m_4^2 - m_2^2)] \\
 &\quad \text{où } \Sigma = m_1^2 + m_2^2 + m_3^2 + m_4^2
 \end{aligned} \tag{3.117}$$

On montre que

$$\begin{aligned}
 \sinh^2 \Theta &= \frac{4s t (t - t_{\min})(t_{\max} - t)}{\Lambda_{13} \Lambda_{24}} \quad \text{où} \\
 t_{\max} &= \frac{1}{2} \left[s - \Sigma + \frac{(m_2^2 - m_1^2)(m_4^2 - m_3^2)}{s} + \frac{\Lambda_{12}^{\frac{1}{2}} \Lambda_{34}^{\frac{1}{2}}}{s} \right] \\
 t_{\min} &= \frac{1}{2} \left[s - \Sigma + \frac{(m_2^2 - m_1^2)(m_4^2 - m_3^2)}{s} - \frac{\Lambda_{12}^{\frac{1}{2}} \Lambda_{34}^{\frac{1}{2}}}{s} \right]
 \end{aligned} \tag{3.118}$$

les grandeurs t_{\max} et t_{\min} sont, respectivement, les valeurs maximum et minimum du transfert t , imposées par la cinématique de la réaction $1 + 2 \rightarrow 3 + 4$. Utilisant les variables relatives au référentiel du centre de masse, on a

$$t = -m_1^2 - m_3^2 + 2E_1 E_3 - 2p_i p_f \cos \theta \quad \text{avec } p_i = \frac{\Lambda_{12}^{\frac{1}{2}}}{2\sqrt{s}}, \quad p_f = \frac{\Lambda_{34}^{\frac{1}{2}}}{2\sqrt{s}},$$

et t_{\max} et t_{\min} correspondent en fait à $\cos \theta = -1$ et $\cos \theta = +1$ respectivement, ce qui donne

$$(t - t_{\min})(t_{\max} - t) = 4p_i^2 p_f^2 \sin^2 \theta$$

d'où cette autre expression :

$$\sinh \Theta = \frac{4\sqrt{s} t p_i p_f \sin \theta}{\Lambda_{13}^{\frac{1}{2}} \Lambda_{24}^{\frac{1}{2}}} \tag{3.119}$$

Calculons maintenant :

$$T_d \cdot X_g = \epsilon_{\mu\nu\rho\pi} T_d^\mu T_g^\nu Y^\rho Q^\pi = \frac{4t}{\Lambda_{13}^{\frac{1}{2}} \Lambda_{24}^{\frac{1}{2}}} p_2^\mu p_1^\nu \epsilon_{\mu\nu\rho\pi} Y^\rho Q^\pi$$

Or, dans la base (T, X, Y, Z) attachée au référentiel du centre de masse de la réaction, on a $p_1 = E_1 T + p_i Z$, $p_2 = E_2 - p_i Z$ (avec $E_1 + E_2 = \sqrt{s}$) et donc

¹⁷. Voir : C. Carimalo et al. "Nuclei as Generators of Quasireal Photons", Phys.Rev. D10 (1974) 1561; C. Carimalo, "Les noyaux comme générateurs de photons quasi-réels", Thèse d'Etat, UPMC, Paris, 1977.

$$p_2^\mu p_1^\nu \epsilon_{\mu\nu\rho\pi} Y^\rho = p_i \sqrt{s} \epsilon_{\mu\nu\rho\pi} T^\mu Z^\nu Y^\rho = p_i \sqrt{s} X_\pi$$

et comme $\sqrt{t} X \cdot Q = X \cdot (p_1 - p_3) = -X \cdot p_3 = p_f \sin \theta$, on en déduit

$$T_d \cdot X_g = + \sinh \Theta$$

En conclusion,

$$T_d = \cosh \Theta T_g - \sinh \Theta X_g \quad (3.120)$$

Enfin, puisque

$$X_{d\mu} = \epsilon_{\mu\nu\rho\pi} T_d^\nu Y^\rho Q^\pi = \cosh \Theta \epsilon_{\mu\nu\rho\pi} T_g^\nu Y^\rho Q^\pi - \sinh \Theta \epsilon_{\mu\nu\rho\pi} X_d^\nu Y^\rho Q^\pi$$

$$\text{et puisque } X_{g\mu} = \epsilon_{\mu\nu\rho\pi} T_g^\nu Y^\rho Q^\pi, \quad T_{g\mu} = \epsilon_{\mu\nu\rho\pi} X_d^\nu Y^\rho Q^\pi$$

on a aussi

$$X_d = \cosh \Theta X_g - \sinh \Theta T_g \quad (3.121)$$

Les relations (3.120) et (3.121) définissent la transformation de Lorentz entre les deux vertex, laquelle est, pour ce couplage de la voie t , l'analogie de la rotation $R_Y(\theta)$ pour le couplage dans la voie s . Sa représentation spinorielle est

$$S_{T_d \rightarrow T_g} = \cosh \frac{\Theta}{2} - \sinh \frac{\Theta}{2} \gamma(X_g) \gamma(T_g) \quad (3.122)$$

Compte tenu des relations générales $\gamma(X) \gamma(T) = 2S_x \gamma_5$ et $S_x U_\sigma = \frac{1}{2} U_{-\sigma}$, le spineur de référence U_d du vertex de droite se déduit ainsi de celui U_g du vertex de gauche par la relation

$$U_{d\sigma} = S_{T_d \rightarrow T_g} U_{g\sigma} = \cosh \frac{\Theta}{2} U_{g\sigma} - \sinh \frac{\Theta}{2} V_{g-\sigma} \quad (3.123)$$

On remarquera que puisque $\gamma(Y_g) \gamma(Z_g) = \gamma(Y_d) \gamma(Z_d) = \gamma(Y) \gamma(Q)$, c'est la composante suivant l'axe "x" du spin associé à T_d ou à T_g qui est conservée dans le passage d'un vertex à l'autre :

$$\gamma(X_d) \gamma(T_d) = \gamma(X_g) \gamma(T_g), \quad \text{donc } S_{dx} = S_{gx} \quad (3.124)$$

Notons que l'opérateur (3.122) peut être mis sous la forme

$$S_{T_d \rightarrow T_g} = \gamma(\mathcal{T}_{gd}) \gamma(T_g) \quad \text{où } \mathcal{T}_{gd} = \cosh \frac{\Theta}{2} T_g - \sinh \frac{\Theta}{2} X_g$$

de sorte que la relation entre U_d et U_g peut être exprimée comme

$$U_{d\sigma} = \gamma(\mathcal{T}_{gd}) \gamma(T_g) U_{g\sigma} \equiv \gamma(\mathcal{T}_{gd}) U_{g\sigma} \quad (3.125)$$

A partir de (3.123), ou de (3.125), et de (3.36), on déduit les formes bilinéaires $\overline{U_{d\sigma'}} \Gamma U_{g\sigma}$:

$$\begin{aligned}
 \overline{U}_{d\sigma'} U_{g\sigma} &= 2 \delta_{\sigma',\sigma} \cosh \frac{\Theta}{2}, & \overline{U}_{d\sigma'} \gamma_5 U_{g\sigma} &= 2 \delta_{\sigma',-\sigma} \sinh \frac{\Theta}{2} \\
 \overline{U}_{d\sigma'} \gamma_\mu U_{g\sigma} &= 2 \delta_{\sigma',\sigma} \left[\cosh \frac{\Theta}{2} T_{g\mu} - \sinh \frac{\Theta}{2} [X_g + i(2\sigma)Y]_\mu \right] \\
 &\quad - (2\sigma) 2 \delta_{\sigma',-\sigma} Z_{g\mu} \\
 \overline{U}_{d\sigma'} \gamma_\mu \gamma_5 U_{g\sigma} &= 2 \delta_{\sigma',\sigma} (2\sigma) \cosh \frac{\Theta}{2} Z_{g\mu} + 2 \delta_{\sigma',-\sigma} \left[\cosh \frac{\Theta}{2} [X_g + i(2\sigma)Y]_\mu \right. \\
 &\quad \left. - \sinh \frac{\Theta}{2} T_{g\mu} \right] \\
 \overline{U}_{d\sigma'} \sigma_{\mu\nu} U_{g\sigma} &= \delta_{\sigma',\sigma} \left[(2\sigma) \cosh \frac{\Theta}{2} [X_{g\mu} Y_\nu - X_{g\nu} Y_\mu] \right. \\
 &\quad \left. + i \sinh \frac{\Theta}{2} \{ T_{g\mu} [X_g + i(2\sigma)Y]_\nu - T_{g\nu} [X_g + i(2\sigma)Y]_\mu \} \right] \\
 + i(2\sigma) \delta_{\sigma',-\sigma} &\left[\cosh \frac{\Theta}{2} \{ Z_{g\mu} [X_g + i(2\sigma)Y]_\nu - Z_{g\nu} [X_g + i(2\sigma)Y]_\mu \} \right. \\
 &\quad \left. + \sinh \frac{\Theta}{2} \{ T_{g\mu} Z_{g\nu} - T_{g\nu} Z_{g\mu} \} \right] \\
 \overline{U}_{d\sigma'} \sigma_{\mu\nu} \gamma_5 U_{g\sigma} &= i(2\sigma) \delta_{\sigma',\sigma} \left[\cosh \frac{\Theta}{2} [T_{g\mu} Z_{g\nu} - T_{g\nu} Z_{g\mu}] \right. \\
 &\quad \left. + \sinh \frac{\Theta}{2} \{ Z_{g\mu} [X_g + i(2\sigma)Y]_\nu - Z_{g\nu} [X_g + i(2\sigma)Y]_\mu \} \right] \\
 + i \delta_{\sigma',-\sigma} &\left[\cosh \frac{\Theta}{2} \{ T_{g\mu} [X_g + i(2\sigma)Y]_\nu - T_{g\nu} [X_g + i(2\sigma)Y]_\mu \} \right. \\
 &\quad \left. + (2\sigma) \sinh \frac{\Theta}{2} [X_{g\mu} Y_\nu - X_{g\nu} Y_\mu] \right]
 \end{aligned} \tag{3.126}$$

3.3.6 Formes bilinéaires $\overline{U}_{2\sigma'} \Gamma U_{1\sigma}$ du couplage en voie t

Pour exprimer ces formes, nous procéderons comme au paragraphe 3.2.4. Ecrivons :

$$\begin{aligned}
 \overline{U}_{2\sigma'} \Gamma U_{1\sigma} &= \cosh \frac{\xi_2}{2} \cosh \frac{\xi_1}{2} \overline{U}_{d\sigma'} \Gamma U_{g\sigma} + (2\sigma)(2\sigma') \sinh \frac{\xi_2}{2} \sinh \frac{\xi_1}{2} \overline{U}_{d\sigma'} \gamma_5 \Gamma \gamma_5 U_{g\sigma} \\
 &\quad + (2\sigma) \cosh \frac{\xi_2}{2} \sinh \frac{\xi_1}{2} \overline{U}_{d\sigma'} \Gamma \gamma_5 U_{g\sigma} + (2\sigma') \sinh \frac{\xi_2}{2} \cosh \frac{\xi_1}{2} \overline{U}_{d\sigma'} \gamma_5 \Gamma U_{g\sigma}
 \end{aligned}$$

et distinguons le cas où Γ commute avec γ_5 de celui où Γ anticommute avec γ_5 . Pour simplifier l'écriture, nous poserons ici encore $c_+ = \cosh \xi_{12}^{(+)}$, $c_- = \cosh \xi_{12}^{(-)}$, $s_+ = \sinh \xi_{12}^{(+)}$, $s_- = \sinh \xi_{12}^{(-)}$ avec les définitions

$$\xi_{12}^{(+)} = \frac{\xi_1 + \xi_2}{2}, \quad \xi_{12}^{(-)} = \frac{\xi_1 - \xi_2}{2} \tag{3.127}$$

① Γ commute avec γ_5

$$\begin{aligned} \overline{U}_{2\sigma'} \Gamma U_{1\sigma} &= \delta_{\sigma',\sigma} \{c_+ \overline{U}_{d\sigma} \Gamma U_{g\sigma} + (2\sigma) s_+ \overline{U}_{d\sigma} \Gamma \gamma_5 U_{g\sigma}\} \\ &+ \delta_{\sigma',-\sigma} \{c_- \overline{U}_{d-\sigma} \Gamma U_{g\sigma} + (2\sigma) s_- \overline{U}_{d-\sigma} \Gamma \gamma_5 U_{g\sigma}\} \end{aligned} \quad (3.128)$$

 ② Γ anticommute avec γ_5

$$\begin{aligned} \overline{U}_{2\sigma'} \Gamma U_{1\sigma} &= \delta_{\sigma',\sigma} \{c_- \overline{U}_{d\sigma} \Gamma U_{g\sigma} + (2\sigma) s_- \overline{U}_{d\sigma} \Gamma \gamma_5 U_{g\sigma}\} \\ &+ \delta_{\sigma',-\sigma} \{c_+ \overline{U}_{d-\sigma} \Gamma U_{g\sigma} + (2\sigma) s_+ \overline{U}_{d-\sigma} \Gamma \gamma_5 U_{g\sigma}\} \end{aligned} \quad (3.129)$$

D'où les formes bilinéaires cherchées :

$$\boxed{\overline{U}_{2\sigma'} U_{1\sigma}} \quad (3.130)$$

$$\overline{U}_{2\sigma'} U_{1\sigma} = 2 \delta_{\sigma',\sigma} c_+ \cosh \frac{\Theta}{2} + 2 (2\sigma) \delta_{\sigma',-\sigma} s_- \sinh \frac{\Theta}{2}$$

$$\boxed{\overline{U}_{2\sigma'} \gamma_5 U_{1\sigma}} \quad (3.131)$$

$$\overline{U}_{2\sigma'} \gamma_5 U_{1\sigma} = 2 \delta_{\sigma',\sigma} (2\sigma) s_+ \cosh \frac{\Theta}{2} + 2 \delta_{\sigma',-\sigma} c_- \sinh \frac{\Theta}{2}$$

$$\boxed{\overline{U}_{2\sigma'} \gamma_\mu U_{1\sigma}} \quad (3.132)$$

$$\begin{aligned} \overline{U}_{2\sigma'} \gamma_\mu U_{1\sigma} &= 2 \delta_{\sigma',\sigma} \left[c_- \left\{ \cosh \frac{\Theta}{2} T_{g\mu} - \sinh \frac{\Theta}{2} [X_g + i(2\sigma)Y]_\mu \right\} \right. \\ &+ s_- \cosh \frac{\Theta}{2} Z_{g\mu} \left. \right] + 2 (2\sigma) \delta_{\sigma',-\sigma} \left[s_+ \left\{ \cosh \frac{\Theta}{2} [X_g + i(2\sigma)Y]_\mu \right. \right. \\ &\left. \left. - \sinh \frac{\Theta}{2} T_{g\mu} \right\} - c_+ Z_{g\mu} \right] \end{aligned}$$

$$\boxed{\overline{U}_{2\sigma'} \gamma_\mu \gamma_5 U_{1\sigma}} \quad (3.133)$$

$$\begin{aligned} \overline{U}_{2\sigma'} \gamma_\mu \gamma_5 U_{1\sigma} &= 2 (2\sigma) \delta_{\sigma',\sigma} \left[c_- \cosh \frac{\Theta}{2} Z_{g\mu} + s_- \left\{ \cosh \frac{\Theta}{2} T_{g\mu} \right. \right. \\ &\left. \left. - \sinh \frac{\Theta}{2} [X_g + i(2\sigma)Y]_\mu \right\} \right] + 2 \delta_{\sigma',-\sigma} \left[c_+ \left\{ \cosh \frac{\Theta}{2} [X_g + i(2\sigma)Y]_\mu \right. \right. \\ &\left. \left. - \sinh \frac{\Theta}{2} T_{g\mu} \right\} - s_+ Z_{g\mu} \right] \end{aligned}$$

$$\boxed{\overline{U}_{2\sigma'} \sigma_{\mu\nu} U_{1\sigma}} \quad (3.134)$$

$$\begin{aligned} \overline{U}_{2\sigma'} \sigma_{\mu\nu} U_{1\sigma} = & \delta_{\sigma',\sigma} \left[c_+ \left\{ (2\sigma) \cosh \frac{\Theta}{2} [X_{g\mu} Y_\nu - X_{g\nu} Y_\mu] \right. \right. \\ & \left. \left. + i \sinh \frac{\Theta}{2} [T_{g\mu} [X_g + i(2\sigma)Y]_\nu - T_{g\nu} [X_g + i(2\sigma)Y]_\mu] \right\} \right. \\ & \left. + i s_+ \left\{ \cosh \frac{\Theta}{2} [T_{g\mu} Z_{g\nu} - T_{g\nu} Z_{g\mu}] + \sinh \frac{\Theta}{2} [Z_{g\mu} [X_g + i(2\sigma)Y]_\nu \right. \right. \\ & \left. \left. - Z_{g\nu} [X_g + i(2\sigma)Y]_\mu] \right\} \right] + i(2\sigma) \delta_{\sigma',-\sigma} \left[c_- \left\{ \cosh \frac{\Theta}{2} [Z_{g\mu} [X_g + i(2\sigma)Y]_\nu \right. \right. \\ & \left. \left. - Z_{g\nu} [X_g + i(2\sigma)Y]_\mu] + \sinh \frac{\Theta}{2} [T_{g\mu} Z_{g\nu} - T_{g\nu} Z_{g\mu}] \right\} \right. \\ & \left. + s_- \left\{ (2\sigma) \cosh \frac{\Theta}{2} [T_{g\mu} [X_g + i(2\sigma)Y]_\nu - T_{g\nu} [X_g + i(2\sigma)Y]_\mu] \right. \right. \\ & \left. \left. + \sinh \frac{\Theta}{2} [X_{g\mu} Y_\nu - X_{g\nu} Y_\mu] \right\} \right] \end{aligned}$$

$$\boxed{\overline{U}_{2\sigma'} \sigma_{\mu\nu} \gamma_5 U_{1\sigma}} \quad (3.135)$$

$$\begin{aligned} \overline{U}_{2\sigma'} \sigma_{\mu\nu} \gamma_5 U_{1\sigma} = & (2\sigma) \delta_{\sigma',\sigma} \left[i c_+ \left\{ \cosh \frac{\Theta}{2} [T_{g\mu} Z_{g\nu} - T_{g\nu} Z_{g\mu}] \right. \right. \\ & \left. \left. + \sinh \frac{\Theta}{2} [Z_{g\mu} [X_g + i(2\sigma)Y]_\nu - Z_{g\nu} [X_g + i(2\sigma)Y]_\mu] \right\} \right. \\ & \left. + s_+ \left\{ (2\sigma) \cosh \frac{\Theta}{2} [X_{g\mu} Y_\nu - X_{g\nu} Y_\mu] + i \sinh \frac{\Theta}{2} [T_{g\mu} [X_g + i(2\sigma)Y]_\nu \right. \right. \\ & \left. \left. - T_{g\nu} [X_g + i(2\sigma)Y]_\mu] \right\} \right] + i \delta_{\sigma',-\sigma} \left[c_- \left\{ \cosh \frac{\Theta}{2} [T_{g\mu} [X_g + i(2\sigma)Y]_\nu \right. \right. \\ & \left. \left. - T_{g\nu} [X_g + i(2\sigma)Y]_\mu] + (2\sigma) \sinh \frac{\Theta}{2} [X_{g\mu} Y_\nu - X_{g\nu} Y_\mu] \right\} \right. \\ & \left. + s_- \left\{ \cosh \frac{\Theta}{2} [Z_{g\mu} [X_g + i(2\sigma)Y]_\nu - Z_{g\nu} [X_g + i(2\sigma)Y]_\mu] \right. \right. \\ & \left. \left. + \sinh \frac{\Theta}{2} [T_{g\mu} Z_{g\nu} - T_{g\nu} Z_{g\mu}] \right\} \right] \end{aligned}$$

3.4 Cas où toutes les masses sont égales, puis nulles

Considérons maintenant le cas où les quatre particules de spin 1/2 qui participent à la réaction $1 + 2 \rightarrow 3 + 4$ ont la même masse m , masse que nous ferons tendre vers zéro par la suite. Tout d'abord, précisons encore les notations qui seront utilisées. Dans le couplage en voie s , la base de référence de l'état initial est

$$T = \frac{p_1 + p_2}{\sqrt{s}}, \quad Z_i = \frac{p_1 - p_2}{\beta \sqrt{s}}, \quad \text{avec } s = (p_1 + p_2)^2, \quad \beta = \sqrt{1 - \frac{4m^2}{s}}$$

$$Y_\mu \propto \epsilon_{\mu\nu\rho\omega} p_1^\nu p_2^\nu p_3^\omega, \quad X_{i\mu} = \epsilon_{\mu\nu\rho\omega} T^\nu Y^\rho Z_i^\omega \quad (3.136)$$

Le vecteur Y étant en fait défini comme en (3.20). Dans ce même couplage, la base de référence de l'état final est

$$T = \frac{p_3 + p_4}{\sqrt{s}}, \quad Z_f = \frac{p_3 - p_4}{\beta \sqrt{s}}, \quad Y, \quad X_f = \epsilon_{\mu\nu\rho\omega} T^\nu Y^\rho Z_f^\omega, \quad \text{et l'on a}$$

$$Z_f = Z_i \cos \theta + \sin \theta X_i, \quad X_f = -Z_i \sin \theta + \cos \theta X_i \quad (3.137)$$

Cette base (3.137) s'obtient à partir de la première (3.136) par une rotation d'angle θ autour de l'axe Y . Rappelons que

$$t_1 = T \cosh \chi + Z_i \sinh \chi, \quad z_1^{(s)} = T \sinh \chi + Z_i \cosh \chi,$$

$$t_2 = T \cosh \chi - Z_i \sinh \chi, \quad z_2^{(s)} = T \sinh \chi - Z_i \cosh \chi,$$

$$t_3 = T \cosh \chi + Z_f \sinh \chi, \quad z_3^{(s)} = T \sinh \chi + Z_f \cosh \chi, \quad (3.138)$$

$$t_4 = T \cosh \chi - Z_f \sinh \chi, \quad z_4^{(s)} = T \sinh \chi - Z_f \cosh \chi,$$

$$\text{où } \cosh \chi = \frac{\sqrt{s}}{2m}, \quad \sinh \chi = \beta \frac{\sqrt{s}}{2m}$$

Dans le couplage en voie t , la base de référence du vertex de gauche est

$$T_g = \frac{p_1 + p_3}{\sqrt{t + 4m^2}}, \quad Z_g = \frac{p_1 - p_3}{\sqrt{t}}, \quad Y, \quad X_{g\mu} = \epsilon_{\mu\nu\rho\omega} T_g^\nu Y^\rho Z_g^\omega, \quad \text{avec}$$

$$t = -(p_1 - p_3)^2 = s\beta^2 \sin^2 \frac{\theta}{2} \quad (3.139)$$

Celle du vertex de droite est

$$T_d = \frac{p_2 + p_4}{\sqrt{t + 4m^2}}, \quad Z_d = \frac{p_4 - p_2}{\sqrt{t}} = Z_d, \quad Y, \quad X_{d\mu} = \epsilon_{\mu\nu\rho\omega} T_d^\nu Y^\rho Z_d^\omega \quad (3.140)$$

Et l'on écrit

$$t_1 = T_g \cosh \xi + Z_g \sinh \xi, \quad z_1^{(t)} = T_g \sinh \xi + Z_g \cosh \xi,$$

$$t_3 = T_g \cosh \xi - Z_g \sinh \xi, \quad z_3^{(t)} = -T_g \sinh \xi + Z_g \cosh \xi,$$

$$t_2 = T_d \cosh \xi - Z_d \sinh \xi, \quad z_2^{(t)} = -T_d \sinh \xi + Z_d \cosh \xi, \quad (3.141)$$

$$t_4 = T_d \cosh \xi + Z_d \sinh \xi, \quad z_4^{(t)} = T_d \sinh \xi + Z_d \cosh \xi,$$

$$\text{où } \cosh \xi = \frac{\sqrt{t + 4m^2}}{2m}, \quad \sinh \xi = \frac{\sqrt{t}}{2m}$$

Bien entendu, nous excluons ici les situations où $\theta = 0$ ou bien $\theta = \pi$. Sous cette condition, on trouve les décompositions

$$\begin{aligned} T_g &= T \cosh \Upsilon + \sinh \Upsilon \left[Z_i \cos \frac{\theta}{2} + X_i \sin \frac{\theta}{2} \right], \\ X_g &= T \sinh \Upsilon + \cosh \Upsilon \left[Z_i \cos \frac{\theta}{2} + X_i \sin \frac{\theta}{2} \right], \\ T_d &= T \cosh \Upsilon - \sinh \Upsilon \left[Z_i \cos \frac{\theta}{2} + X_i \sin \frac{\theta}{2} \right], \\ X_d &= -T \sinh \Upsilon + \cosh \Upsilon \left[Z_i \cos \frac{\theta}{2} + X_i \sin \frac{\theta}{2} \right], \\ Z_g &= Z_d = Z_i \sin \frac{\theta}{2} - X_i \cos \frac{\theta}{2}, \end{aligned} \quad (3.142)$$

$$\text{avec } \cosh \Upsilon = \sqrt{\frac{s}{t + 4m^2}}, \quad \sinh \Upsilon = \beta \cos \frac{\theta}{2} \sqrt{\frac{s}{t + 4m^2}}$$

desquelles il ressort que la tétrade $\{[T_g] : T_g, X_g, Y, Z_g\}$ se déduit de la tétrade $\{[T]_i : T, X_i, Y, Z_i\}$ par une transformation de Lorentz pure de rapidité Υ dans le 2-plan (T, X) , suivie d'une rotation d'angle $\psi = \frac{\theta - \pi}{2}$ autour de l'axe Y . On remarque que

$$\begin{aligned} \cosh \Upsilon &= \frac{\cosh \chi}{\cosh \xi} \quad \text{que} \\ \sqrt{\frac{t + 4m^2}{s}} X_g &= T \beta \cos \frac{\theta}{2} + Z_i \cos \frac{\theta}{2} + X_i \sin \frac{\theta}{2} \end{aligned} \quad (3.143)$$

et que $\Upsilon = \Theta/2$ où Θ est le paramètre défini en (3.117), où les masses sont prises toutes égales à m .

Les tétrades associées, par exemple à la particule 1, dans les deux types de couplage, en voie s et en voie t , ont en commun les deux vecteurs t_1 et Y . On doit donc passer de l'une à l'autre par une rotation autour de l'axe Y , dans le 2-plan orthogonal au 2-plan (t_1, Y) . Les formules ci-après permettent d'obtenir, à 2π près, l'angle de cette rotation. On a

$$\begin{aligned} z_1^{(t)} \cdot X_i &= -\sinh \xi \sinh \Upsilon \sin \frac{\theta}{2} = \frac{2m}{\sqrt{s}} \cosh \Upsilon \cos \frac{\theta}{2} \\ z_1^{(t)} \cdot z_1^{(s)} &= \sinh \chi \sinh \xi \cosh \Upsilon - \cos \frac{\theta}{2} \cosh \chi \sinh \xi - \sin \frac{\theta}{2} \cosh \chi \cosh \xi = -\sin \frac{\theta}{2} \cosh \Upsilon, \quad \text{et} \\ X_g \cdot X_i &= -\sin \frac{\theta}{2} \cosh \Upsilon, \quad X_g \cdot z_1^{(s)} = -\frac{2m}{\sqrt{s}} \cosh \Upsilon \cos \frac{\theta}{2} \end{aligned}$$

On peut donc écrire ($x_1^{(s)} = X_i$)

$$\begin{aligned} z_1^{(t)} &= z_1^{(s)} \cos \psi_1 + x_1^{(s)} \sin \psi_1, \quad x_1^{(t)} = X_g = -z_1^{(s)} \sin \psi_1 + x_1^{(s)} \cos \psi_1, \quad \text{avec} \\ \cos \psi_1 &= \sin \frac{\theta}{2} \cosh \Upsilon, \quad \sin \psi_1 = -\frac{2m}{\sqrt{s}} \cosh \Upsilon \cos \frac{\theta}{2} \end{aligned} \quad (3.144)$$

On trouve de même

$$\begin{aligned} z_3^{(t)} &= -z_3^{(s)} \cos \psi_1 + x_3^{(s)} \sin \psi_1, \quad x_3^{(t)} = X_g = -z_3^{(s)} \sin \psi_1 - x_3^{(s)} \cos \psi_1, \\ \text{soit } \psi_3 &= \pi - \psi_1, \end{aligned}$$

puis $(x_2^{(s)} = -X_i, x_4^{(s)} = -X_f)$

$$\begin{aligned} z_2^{(t)} &= -z_2^{(s)} \cos \psi_1 - x_2^{(s)} \sin \psi_1, & x_2^{(t)} &= X_d = z_2^{(s)} \sin \psi_1 - x_2^{(s)} \cos \psi_1, \\ & \text{soit } \psi_2 = \pi + \psi_1, \\ z_4^{(t)} &= z_4^{(s)} \cos \psi_1 - x_4^{(s)} \sin \psi_1, & x_4^{(t)} &= X_d = z_4^{(s)} \sin \psi_1 + x_4^{(s)} \cos \psi_1, \\ & \text{soit } \psi_4 = 2\pi - \psi_1, \end{aligned}$$

et l'on observe les relations (à 2π près)

$$\psi_2 - \psi_1 = \psi_4 - \psi_3 = \pi, \quad \psi_2 + \psi_3 = \psi_1 + \psi_4 = 2\pi$$

Lesdites rotations étant planes, on peut évidemment utiliser la formule (2.91) du chapitre 2 pour exprimer, au signe près, les matrices qui les représentent, par exemple,

$$\begin{aligned} L_1 = L([t_1]_t [t_1]_s^{-1}) &= \frac{1}{\text{Tr}([t_1]_t [t_1]_s^{-1})} \left[\gamma(t_1) \gamma(t_1) - \gamma(x_1^{(s)}) \gamma(x_1^{(t)}) - \gamma(Y) \gamma(Y) \right. \\ & \left. - \gamma(z_1^{(s)}) \gamma(z_1^{(t)}) \right] = \pm \left[\cos \frac{\psi_1}{2} + \sin \frac{\psi_1}{2} \gamma(z_1^{(s)}) \gamma(x_1^{(s)}) \right] \end{aligned} \quad (3.145)$$

D'un autre côté, on a

$$\begin{aligned} [t_1]_t &= [T_g \rightarrow t_\xi^{(t)}] [T_g], \quad [t_1]_s = [T \rightarrow t_\chi^{(s)}] [T], \quad \text{et} \\ [t_1]_t [t_1]_s^{-1} &= [T_g \rightarrow t_\xi^{(t)}] L [T \rightarrow t_\chi^{(s)}]^{-1} \quad \text{avec } L = [T_g] [T]^{-1}, \\ t_\xi^{(t)} &= T_g \cosh \xi + Z_g \sinh \xi, \quad t_\chi^{(s)} = T \cosh \chi + Z \sinh \chi \end{aligned}$$

On a

$$L^{-1} [T_g \rightarrow t_\xi^{(t)}] L = [T \rightarrow t_\chi^{(s)}], \quad \text{et donc } [t_1]_t [t_1]_s^{-1} = L [T \rightarrow t_\chi^{(s)}]$$

Comme expliqué plus haut, la transformation L est le produit d'une transformation Lorentz pure dans le 2-plan (T, X) et d'une rotation autour de l'axe Y . En représentation spinorielle de Dirac, on a donc

$$\begin{aligned} L_1 &= \left[\cos \frac{\psi}{2} + \sin \frac{\psi}{2} \gamma(Z) \gamma(X) \right] \left[\cosh \frac{\Upsilon}{2} + \sinh \frac{\Upsilon}{2} \gamma(X) \gamma(T) \right] \times \\ & \times \left[\cosh \frac{\chi - \xi}{2} - \sinh \frac{\chi - \xi}{2} \gamma(Z) \gamma(T) \right] \end{aligned} \quad (3.146)$$

Il est instructif, bien que fastidieux, de montrer que l'expression (3.146) est équivalente à l'expression (3.145). Ceci est fait en appendice.

Le fait important ici est que lorsque $m \rightarrow 0$, $\psi_1 \rightarrow 0$, $\psi_2 \rightarrow \pi$, $\psi_3 \rightarrow \pi$, $\psi_4 \rightarrow 2\pi$, à 2π près. Par conséquent, à la limite des masses nulles, on a, *aux signes près*, les équivalences

$$\boxed{U_{1\sigma}^{(t)} \simeq U_{1\sigma}^{(s)}, \quad U_{2\sigma}^{(t)} \simeq (2\sigma) U_{2-\sigma}^{(s)}, \quad U_{3\sigma}^{(t)} \simeq (2\sigma) U_{3-\sigma}^{(s)}, \quad U_{4\sigma}^{(t)} \simeq U_{4\sigma}^{(s)}} \quad (3.147)$$

Il en résulte que, pour obtenir les formes bilinéaires dans les deux types de couplage lorsque $m = 0$, il suffit de considérer uniquement les formules établies dans le couplage en voie s ¹⁸. A cette fin, il faut tout d'abord utiliser des spineurs normalisés selon $\bar{U}U = 2m$ puis poser $m = 0$ dans les expressions obtenues pour les projecteurs ou les formes bilinéaires. On trouve ainsi les expressions ci-après.

$$\begin{aligned}
 \bar{U}_{2\sigma'} U_{1\sigma} &= -\sqrt{s} (2\sigma) \delta_{\sigma', -\sigma} = (2\sigma) \bar{U}_{2\sigma'} \gamma_5 U_{1\sigma} \\
 \bar{U}_{2\sigma'} \gamma_\mu U_{1\sigma} &= \delta_{\sigma', \sigma} \sqrt{s} (X + 2i\sigma Y)_\mu = (2\sigma) \bar{U}_{2\sigma'} \gamma_\mu \gamma_5 U_{1\sigma} \\
 \bar{U}_{2\sigma'} \sigma_{\mu\nu} U_{1\sigma} &= -\delta_{\sigma', -\sigma} \frac{\sqrt{s}}{2} \left[i(2\sigma) [T_\mu Z_\nu - T_\nu Z_\mu] + (X_\mu Y_\nu - X_\nu Y_\mu) \right] \\
 &= (2\sigma) \bar{U}_{2\sigma'} \sigma_{\mu\nu} \gamma_5 U_{1\sigma}
 \end{aligned} \tag{3.148}$$

Le tableau (3.148) indique qu'à la limite $m = 0$, on a la relation $\bar{U}_{2\sigma'} \Gamma \gamma_5 U_{1\sigma} = (2\sigma) \bar{U}_{2\sigma'} \Gamma U_{1\sigma}$. Ce résultat mérite une explication. Considérons une particule de spin 1/2, de 4-impulsion p et de masse m . Il est toujours possible de définir une base de référence $\{T, X, Y, Z\}$ telle que la tétrade $\{[t] : t, x, y, z\}$ associée à p puisse s'écrire

$$\begin{aligned}
 t &= \frac{p}{m} = T \cosh \chi + Z \sinh \chi, \quad z = T \sinh \chi + Z \cosh \chi, \quad x = X, \quad y = Y \\
 \text{où } \cosh \chi &= \frac{E}{m}, \quad \sinh \chi = \frac{E}{m} \beta, \quad \text{avec } \beta = \sqrt{1 - \frac{m^2}{E^2}} \\
 \text{soit } e^\chi &= \frac{E}{m} (1 + \beta), \quad e^{-\chi} = \frac{m}{E} \frac{1}{1 + \beta}
 \end{aligned} \tag{3.149}$$

Les spineurs U_σ de ladite particule vérifiant

$$S_z U_\sigma = \frac{1}{2} \gamma_5 \gamma(z) \gamma(t) U_\sigma = \sigma U_\sigma, \quad \gamma(t) U_\sigma = U_\sigma,$$

on a

$$\gamma(t \pm z) U_\sigma = e^{\pm \chi} \gamma(T + Z) U_\sigma = [1 \pm (2\sigma) \gamma_5] U_\sigma \tag{3.150}$$

d'où l'on déduit qu'à la limite $m = 0$ ($e^{-\chi} \rightarrow 0$), les spineurs deviennent vecteurs propres de la chiralité γ_5 :

$$\gamma_5 U_\sigma \simeq (2\sigma) U_\sigma \tag{3.151}$$

ce qui se traduit aussi par la relation $V_\sigma \simeq (2\sigma) U_\sigma$, d'où le résultat en question.

18. On notera le changement du signe de l'hélicité des particules 2 et 3 d'un couplage à l'autre.

$$\begin{aligned}
 \overline{U}_{3\sigma'} U_{1\sigma} &= -(2\sigma) \delta_{\sigma',-\sigma} \sqrt{t} = (2\sigma) \overline{U}_{3\sigma'} \gamma_5 U_{1\sigma} \\
 \overline{U}_{3\sigma'} \gamma_\mu U_{1\sigma} &= \delta_{\sigma',\sigma} \sqrt{t} \left[[T_\mu + Z_\mu] \cot \frac{\theta}{2} + (X + 2i\sigma Y)_\mu \right] \\
 &= (2\sigma) \overline{U}_{3\sigma'} \gamma_\mu \gamma_5 U_{1\sigma} \\
 \overline{U}_{3\sigma'} \sigma_{\mu\nu} U_{1\sigma} &= \delta_{\sigma',-\sigma} \frac{\sqrt{t}}{2} \left[i(2\sigma) \cot \frac{\theta}{2} \left[(T + Z)_\mu (X + 2i\sigma Y)_\nu \right. \right. \\
 &\quad \left. \left. - (T + Z)_\nu (X + 2i\sigma Y)_\mu \right] - (X_\mu Y_\nu - X_\nu Y_\mu) - (2\sigma) i(T_\mu Z_\nu - T_\nu Z_\mu) \right] \\
 &= (2\sigma) \overline{U}_{3\sigma'} \sigma_{\mu\nu} \gamma_5 U_{1\sigma}
 \end{aligned} \tag{3.152}$$

Dans les deux tableaux (3.148) et (3.152), la forme bilinéaire vectorielle s'exprime uniquement à l'aide des vecteurs de polarisations circulaires correspondant au couplage d'hélicité qui apparaît le plus naturel entre les deux particules considérées. Ainsi, pour les particules 1 et 2, couplées naturellement en voie s , lesdits vecteurs de polarisation sont

$$\begin{aligned}
 \epsilon_{(s)}^{(\lambda)} &= -\lambda \frac{1}{\sqrt{2}} [X + i\lambda Y], \quad \text{et l'on a} \\
 \overline{U}_{2\sigma'} \gamma_\mu U_{1\sigma} &= -(2\sigma) \delta_{\sigma',\sigma} \sqrt{2s} \left[\epsilon_{(s)}^{(2\sigma)} \right]_\mu
 \end{aligned} \tag{3.153}$$

Pour les particules 1 et 3, couplées naturellement en voie t , les vecteurs de polarisation font intervenir X_g . Or, d'après (4.94), pour $m = 0$ on a

$$\begin{aligned}
 X_g &= X + \cot \frac{\theta}{2} (T + Z), \quad \text{et} \\
 X_g + i(2\sigma)Y &= \cot \frac{\theta}{2} (T + Z) + X + i(2\sigma)Y = -(2\sigma) \epsilon_{(t)}^{(2\sigma)}, \quad \text{d'où} \\
 \overline{U}_{3\sigma'} \gamma_\mu U_{1\sigma} &= -(2\sigma) \delta_{\sigma',\sigma} \sqrt{2t} \left[\epsilon_{(t)}^{(2\sigma)} \right]_\mu
 \end{aligned} \tag{3.154}$$

Le lecteur vérifiera que l'on a un résultat similaire pour les formes bilinéaires vectorielles $\overline{U}_{4\sigma'} \gamma_\mu U_{1\sigma}$ et $\overline{U}_{3\sigma'} \gamma_\mu U_{2\sigma}$, pour lesquelles on a cette fois une réminiscence de couplage "en voie u ". Ainsi,

$$\begin{aligned}
 \overline{U}_{4\sigma'} \gamma_\mu U_{1\sigma} &= -(2\sigma) \delta_{\sigma',\sigma} \sqrt{2u} \left[\epsilon_{(u)}^{(2\sigma)} \right]_\mu, \quad \overline{U}_{3\sigma'} \gamma_\mu U_{2\sigma} = -(2\sigma) \delta_{\sigma',\sigma} \sqrt{2u} \left[\epsilon'_{(u)}^{(2\sigma)} \right]_\mu, \\
 \text{avec} \quad -\sqrt{2} (2\sigma) \epsilon_{(u)}^{(2\sigma)} &= X_u + i(2\sigma)Y, \quad X_u = X - \tan \frac{\theta}{2} (T + Z), \\
 -\sqrt{2} (2\sigma) \epsilon'_{(u)}^{(2\sigma)} &= X'_u + i(2\sigma)Y, \quad X'_u = X + \tan \frac{\theta}{2} (T - Z), \\
 u &= s \cos^2 \frac{\theta}{2}
 \end{aligned} \tag{3.155}$$

3.5 Couplage symétrique

Lorsque le nombre de particules apparaissant dans l'état final d'une réaction est supérieur à deux, il est préférable d'utiliser un couplage d'hélicité plus symétrique pour cet état final. Notons ici encore T, X, Y, Z les vecteurs de base définissant le référentiel du centre de masse de la réaction. Relativement à cette base, l'impulsion p d'une particule de masse m participant à la réaction s'écrit

$$p = TE + qZ \cos \theta + q \sin \theta (X \cos \varphi + Y \sin \varphi) \quad (3.156)$$

avec $q = \sqrt{E^2 - m^2}$. Associons à T la triade de 4-vecteurs du genre espace X', Y', Z' définis par

$$\begin{aligned} X' &= -Z \sin \theta + \cos \theta (X \cos \varphi + Y \sin \varphi), & Y' &= -X \sin \varphi + Y \cos \varphi \\ Z' &= Z \cos \theta + \sin \theta (X \cos \varphi + Y \sin \varphi) \end{aligned} \quad (3.157)$$

On réalise un couplage d'hélicité entre T et p en associant à p la base :

$$\begin{aligned} t &= \frac{p}{m}, & x &= X', & y &= Y', & z &= T \sinh \chi + Z' \cosh \chi, & \text{où} \\ \cosh \chi &= \frac{E}{m}, & \sinh \chi &= \frac{q}{m} = \beta \frac{E}{m}, & \text{avec } \beta &= \sqrt{1 - \frac{m^2}{E^2}} \end{aligned} \quad (3.158)$$

Ce couplage, du type couplage en voie s , est complètement symétrique vis-à-vis des particules de l'état final. Le choix du référentiel du centre de masse comme référence garantit la propriété de covariance qui est requise pour la définition d'une hélicité invariante. Le cas d'un état final à 3 particules a été abordé au chapitre 1. La transformation de Lorentz \mathcal{L} permettant de passer de ladite base de référence (T, X, Y, Z) à la base d'hélicité (t, x, y, z) est le produit de trois transformations : une transformation de Lorentz pure $\mathcal{H}_Z(\chi)$ de rapidité χ le long de l'axe Z , suivie d'une rotation $\mathcal{R}_Y(\theta)$ d'angle θ autour de l'axe Y , elle-même suivie d'une rotation $\mathcal{R}_Z(\varphi)$ d'angle φ autour de l'axe Z . En représentation spinorielle de Dirac :

$$\begin{aligned} \mathcal{L} &= \mathcal{R}_Z(\varphi) \mathcal{R}_Y(\theta) \mathcal{H}_Z(\chi), & \text{avec} \\ \mathcal{R}_Z(\varphi) &= \cos \frac{\varphi}{2} - 2i \sin \frac{\varphi}{2} S_Z = \cos \frac{\varphi}{2} + \sin \frac{\varphi}{2} \gamma(X) \gamma(Y), \\ \mathcal{R}_Y(\theta) &= \cos \frac{\theta}{2} - 2i \sin \frac{\theta}{2} S_Y = \cos \frac{\theta}{2} + \sin \frac{\theta}{2} \gamma(Z) \gamma(X), \\ \mathcal{H}_Z(\chi) &= \cosh \frac{\chi}{2} + 2 \sinh \frac{\chi}{2} \gamma_5 S_Z = \cosh \frac{\chi}{2} + \sinh \frac{\chi}{2} \gamma(Z) \gamma(T) \end{aligned} \quad (3.159)$$

Dans la représentation spinorielle à deux dimensions, ces transformations sont décrites par les matrices

$$\begin{aligned} \mathcal{R}_Z^{(2)}(\varphi) &= \cos \frac{\varphi}{2} - i \sin \frac{\varphi}{2} Z \tilde{T}, & \mathcal{R}_Y^{(2)}(\theta) &= \cos \frac{\theta}{2} - i \sin \frac{\theta}{2} Y \tilde{T}, \\ \mathcal{H}_Z^{(2)}(\chi) &= \cosh \frac{\chi}{2} + \sinh \frac{\chi}{2} Z \tilde{T} \end{aligned} \quad (3.160)$$

et la trace de leur produit $\mathcal{L}^{(2)}$ est calculée comme suit :

$$\begin{aligned} \text{Tr } \mathcal{L}^{(2)} &= 2a_0 = \text{Tr}[T][T]^{-1} \mathcal{R}_Z^{(2)}(\varphi) \mathcal{R}_Y^{(2)}(\theta) \mathcal{H}_Z^{(2)}(\chi) \\ &= \text{Tr} \left[\cos \frac{\varphi}{2} - i \sin \frac{\varphi}{2} \tau_3 \right] \left[\cos \frac{\theta}{2} - i \sin \frac{\theta}{2} \tau_2 \right] \left[\cosh \frac{\chi}{2} + \sinh \frac{\chi}{2} \tau_3 \right] \end{aligned}$$

$$= 2 \cos \frac{\theta}{2} \left[\cosh \frac{\chi}{2} \cos \frac{\varphi}{2} - i \sinh \frac{\chi}{2} \sin \frac{\varphi}{2} \right]$$

On a donc

$$\begin{aligned} a_0 &= \cos \frac{\theta}{2} \left[\cosh \frac{\chi}{2} \cos \frac{\varphi}{2} - i \sinh \frac{\chi}{2} \sin \frac{\varphi}{2} \right] \quad \text{et} \\ 2|a_0|^2 &= \cos^2 \frac{\theta}{2} [\cosh \chi + \cos \varphi] \end{aligned} \quad (3.161)$$

La transformation $(T, X, Y, Z) \rightarrow (t, x, y, z)$ n'est pas plane et c'est pourquoi le paramètre a_0 possède une partie imaginaire. Pour $\chi \neq 0$, cette partie imaginaire est imputable à la rotation $\mathcal{R}_Z(\varphi)$ ¹⁹. Utilisant la formule (7.98) de I.T.L, la matrice \mathcal{L} dans (3.159) peut être réécrite sous la forme²⁰

$$\begin{aligned} \mathcal{L} &= \frac{\cosh \frac{\chi}{2} \cos \frac{\varphi}{2} - i \sinh \frac{\chi}{2} \sin \frac{\varphi}{2} \gamma_5}{2 \cos \frac{\theta}{2} [\cosh \chi + \cos \varphi]} \times \\ &\times \left[\gamma(t)\gamma(T) - \gamma(x)\gamma(X) - \gamma(y)\gamma(Y) - \gamma(z)\gamma(Z) \right] \end{aligned} \quad (3.162)$$

Notons U_σ les spineurs de Dirac associés à la tétrade d'hélicité $[t]$ de p et ayant la normalisation $\overline{U}_{\sigma'} U_\sigma = 2 \delta_{\sigma', \sigma}$. On les obtient en appliquant la matrice \mathcal{L} aux spineurs de Dirac associés au référentiel de référence (tétrade $[T]$), notés $U_{0\sigma}$ et normalisés de la même façon : $U_\sigma = \mathcal{L} U_{0\sigma}$. On peut aussi les relier plus simplement aux spineurs de Dirac U'_σ associés à la tétrade d'hélicité $\{[T]': T, X', Y', Z'\}$, définis par

$$\begin{aligned} U'_\sigma &= \mathcal{R}_Z(\varphi) \mathcal{R}_Y(\theta) U_{0\sigma} \\ &= \cos \frac{\theta}{2} e^{-i\sigma\varphi} U_{0\sigma} + (2\sigma) \sin \frac{\theta}{2} e^{i\sigma\varphi} U_{0-\sigma}, \quad \text{et l'on a} \\ U_\sigma &= \cosh \frac{\chi}{2} U'_\sigma + (2\sigma) \sinh \frac{\chi}{2} V'_\sigma \end{aligned} \quad (3.163)$$

Si la particule considérée est de spin 1/2, ses spineurs sont définis comme ci-dessus. S'il s'agit d'un photon réel ou d'un gluon, sa 4-impulsion k est du genre lumière et de la forme $k = E(T + Z')$. Ses vecteurs de polarisations circulaires sont

$$\epsilon^{(\lambda)} = -\frac{1}{\sqrt{2}} (\lambda x + iy) \quad (3.164)$$

x et y étant définis comme dans (3.158). Notons ici la relation

$$x = X \cos \varphi + Y \sin \varphi - (Z + Z') \tan \frac{\theta}{2} \quad (3.165)$$

qui permet de récrire ces vecteurs comme

$$\begin{aligned} \epsilon^{(\lambda)} &= E^{(\lambda)} \exp(-i\lambda\varphi) + \frac{\lambda}{\sqrt{2}} \tan \frac{\theta}{2} [(T + Z') - (T - Z)] \quad \text{où} \\ E^{(\lambda)} &= -\frac{1}{\sqrt{2}} [\lambda X + iY] \end{aligned} \quad (3.166)$$

19. A ce propos, le lecteur vérifiera que la transformation $[t_3]_s [t_1]_s^{-1}$ est plane.

20. En explicitant les 4-vecteurs dans (3.162), le lecteur vérifiera aussi, en usant abondamment de la relation $\gamma_5 = i\gamma(X)\gamma(Y)\gamma(Z)\gamma(T)$, que l'expression obtenue coïncide bien avec le développement du produit (3.159).

Si l'on considère des amplitudes issues de la théorie électro-faible ou de la Chromodynamique Quantique, celles-ci étant invariantes de jauge vis-à-vis du photon ou du gluon, on peut ignorer le terme $\propto (T+Z') \propto k$ dans l'expression ci-dessus et redéfinir les vecteurs de polarisations circulaires par

$$\begin{aligned}\epsilon^{(\lambda)} &= \exp(-i\lambda\varphi) \left[E^{(\lambda)} + \xi(T-Z) \right], \quad \text{où} \\ \xi &= -\frac{\lambda}{\sqrt{2}} \tan \frac{\theta}{2} \exp(i\lambda\varphi)\end{aligned}\tag{3.167}$$

Il est facile de vérifier que ces nouveaux vecteurs sont encore orthogonaux à la fois à k et à $T-Z$.

Pour les applications dans le domaine dit "ultra-relativiste", celui des très hautes énergies pour lesquelles $E \gg m$, il peut être utile de pouvoir distinguer nettement, parmi les composantes de spineurs, celles qui sont les plus importantes dans ce domaine (les "grandes composantes") de celles pouvant y être négligées (les "petites composantes"). Comme nous allons le voir, l'utilisation conjointe de la paramétrisation (3.163) et de *projecteurs de chiralité* permet d'effectuer une telle distinction, où la rapidité χ , définie en (3.158), est déterminante; et ce, tout en évitant d'avoir à donner une représentation explicite des spineurs, en donnant de surcroît la possibilité de contrôler efficacement les approximations effectuées.

Au spineur (3.163), appliquons le projecteur de chiralité $\frac{1}{2}[1 + \eta\gamma_5]$ où $\eta = \pm 1$. On obtient

$$\frac{1}{2}[1 + \eta\gamma_5] U_\sigma = \frac{1}{2}[1 + \eta\gamma_5] \left[\cosh \frac{\chi}{2} + \eta(2\sigma) \sinh \frac{\chi}{2} \right] U'_\sigma$$

Choisissons $\eta = \pm(2\sigma)$ et posons $P_\sigma^{(\pm)} = \frac{1}{2}[1 \pm (2\sigma)\gamma_5]$. Il vient

$$P_\sigma^{(+)} U_\sigma = e^{\chi/2} P_\sigma^{(+)} U'_\sigma, \quad P_\sigma^{(-)} U_\sigma = e^{-\chi/2} P_\sigma^{(-)} U'_\sigma$$

Pour $E \gg m$, on a clairement $e^{\chi/2} \gg e^{-\chi/2}$, et l'on voit que la décomposition d'un spineur en spineurs propres de la chiralité, qui revient à une décomposition de Weyl dans la représentation initiale des spineurs, permet de faire une distinction claire entre composantes, dans leurs comportements à très haute énergie. Dorénavant, nous utiliserons des spineurs normalisés selon $\bar{U}U = 2m$, tout en gardant pour les spineurs U' la normalisation $\bar{U}'U' = 2$. Nous poserons

$$\begin{aligned}U_\sigma^{(\pm)} &= P_\sigma^{(\pm)} U_\sigma = \sqrt{m} e^{\pm\chi/2} P_\sigma^{(\pm)} U'_\sigma, \quad \text{et} \\ U_\sigma &= U_\sigma^{(+)} + U_\sigma^{(-)}\end{aligned}\tag{3.168}$$

Manifestement, les spineurs $U^{(\pm)}$ ne dépendent de l'énergie E que par les facteurs $\sqrt{m} e^{\pm\chi/2}$. On a

$$\begin{aligned}e^\chi &= \cosh \chi + \sinh \chi = \frac{E}{m}(1 + \beta), \quad \text{et} \\ \sqrt{m} e^{\chi/2} &= \sqrt{E(1 + \beta)}, \quad \sqrt{m} e^{-\chi/2} = \frac{m}{\sqrt{E(1 + \beta)}}\end{aligned}\tag{3.169}$$

Du point de vue de leurs dépendances vis-à-vis de l'énergie, il y a donc un rapport m/E entre $U^{(-)}$ et $U^{(+)}$, le premier spineur portant ainsi les petites composantes du spineur U , tandis que le second en porte les grandes. Il est aussi intéressant de noter le fait suivant. On a

$$\begin{aligned}U_\sigma^{(\pm)} &= \sqrt{m} e^{\pm\chi/2} P_\sigma^{(\pm)} U'_\sigma = \sqrt{m} e^{\pm\chi/2} \mathcal{R}_Z(\varphi) \mathcal{R}_Y(\theta) P_\sigma^{(\pm)} U_{0\sigma}, \quad \text{et} \\ P_\sigma^{(\pm)} U_{0\sigma} &= \frac{1}{2}[1 \pm 2\gamma_5 S_Z] U_{0\sigma} \equiv \frac{1}{2} \gamma(T \pm Z) U_{0\sigma}; \quad \text{or,}\end{aligned}$$

$$\mathcal{R}_Y(\theta)\gamma(T \pm Z) = \cos \frac{\theta}{2} \gamma(T \pm Z) - \sin \frac{\theta}{2} \gamma(T \mp Z) 2iS_Y, \quad \text{de sorte que}$$

$$U_\sigma^{(\pm)} = \frac{1}{2} \sqrt{m} e^{\pm \chi/2} \mathcal{R}_Z(\varphi) \left\{ \cos \frac{\theta}{2} \gamma(T \pm Z) U_{0\sigma} + (2\sigma) \sin \frac{\theta}{2} \gamma(T \mp Z) U_{0-\sigma} \right\} \quad (3.170)$$

On voit alors qu'en appliquant $\gamma(T \pm Z)$ aux spineurs "chiraux" $U^{(\pm)}$, on peut sélectionner d'autres termes dans les spineurs. On a en effet :

$$\begin{aligned} \gamma(T - Z) U_\sigma^{(+)} &= \sqrt{E(1 + \beta)} \mathcal{R}_Z(\varphi) \cos \frac{\theta}{2} [1 - (2\sigma)\gamma_5] U_{0\sigma} \\ \gamma(T + Z) U_\sigma^{(+)} &= (2\sigma) \sqrt{E(1 + \beta)} \mathcal{R}_Z(\varphi) \sin \frac{\theta}{2} [1 - (2\sigma)\gamma_5] U_{0-\sigma} \\ \gamma(T + Z) U_\sigma^{(-)} &= \frac{m}{\sqrt{E(1 + \beta)}} \mathcal{R}_Z(\varphi) \cos \frac{\theta}{2} [1 + (2\sigma)\gamma_5] U_{0\sigma} \\ \gamma(T - Z) U_\sigma^{(-)} &= (2\sigma) \frac{m}{\sqrt{E(1 + \beta)}} \mathcal{R}_Z(\varphi) \sin \frac{\theta}{2} [1 + (2\sigma)\gamma_5] U_{0-\sigma} \end{aligned}$$

Dans une configuration de haute énergie et de petit angle de diffusion θ , les projections ci-dessus se classent respectivement en terme d'ordre zéro pour la première, termes d'ordre 1 pour la seconde et la troisième²¹.

Etant donné deux particules de spin 1/2 étiquetées par les indices (i) et (j), considérons les formes bilinéaires $F = \overline{U}_{j\sigma_j}^{(\epsilon_j)} \Gamma U_{i\sigma_i}^{(\epsilon_i)}$. Comme

$$\gamma_5 U_{i\sigma_i}^{(\epsilon_i)} = \epsilon_i (2\sigma_i) U_{i\sigma_i}^{(\epsilon_i)}, \quad \text{il vient} \quad \epsilon_i (2\sigma_i) F = \overline{U}_{j\sigma_j}^{(\epsilon_j)} \Gamma \gamma_5 U_{i\sigma_i}^{(\epsilon_i)} = -\epsilon \epsilon_j (2\sigma_j) F$$

avec $\epsilon = +1$ ou $\epsilon = -1$, selon que Γ commute ou anti-commute avec γ_5 , respectivement. La forme bilinéaire considérée est donc a priori non nulle si $\epsilon_i (2\sigma_i) = -\epsilon \epsilon_j (2\sigma_j)$, soit

$$\boxed{\sigma_j = -\epsilon \epsilon_i \epsilon_j \sigma_i} \quad (3.171)$$

Si l'on a envisagé un régime ultra-relativiste où $U_\sigma \approx U_\sigma^{(+)}$, on sera plutôt enclin à considérer principalement le cas $\epsilon_i = \epsilon_j = 1$. La relation (3.171) indique alors que pour $\Gamma = 1, \gamma_5, \sigma_{\mu\nu}$, ($\epsilon = +1$), la forme bilinéaire correspondante n'est a priori non nulle que si $\sigma_j = -\sigma_i$; tandis que les formes bilinéaires correspondant à $\Gamma = \gamma_\mu, \gamma_\mu \gamma_5$, ($\epsilon = -1$), ne sont a priori non nulles que si $\sigma_j = \sigma_i$. On retrouve ici le fait que pour les théories du modèle standard, qui reposent sur des couplages vectoriels entre particules, l'hélicité se conserve. Dans cette même perspective, calculons explicitement la forme bilinéaire correspondant à $\Gamma = \gamma_\mu$; celle avec $\Gamma = \gamma_\mu \gamma_5$ s'en déduit facilement, puisque $\gamma_5 U_{i\sigma}^{(+)} = (2\sigma) U_{i\sigma}^{(+)}$. On a

$$U_\sigma^{(+)} = \frac{1}{2} \sqrt{E(1 + \beta)} [1 + (2\sigma)\gamma_5] \left[e^{-i\sigma\varphi} \cos \frac{\theta}{2} U_{0\sigma} + (2\sigma) e^{i\sigma\varphi} \sin \frac{\theta}{2} U_{0-\sigma} \right] \quad \text{et}$$

$$\overline{U}_{j\sigma'}^{(+)} \gamma_\mu U_{i\sigma}^{(+)} = \sqrt{E_j E_i (1 + \beta_j)(1 + \beta_i)} G, \quad \text{avec}$$

21. A ce sujet, voir par exemple, C. Carimalo, hep-ph arXiv:1401.4407

$$G = \frac{1}{4} \left[e^{i\sigma'\varphi_j} \cos \frac{\theta_j}{2} \overline{U}_{0\sigma'} + (2\sigma') e^{-i\sigma'\varphi_j} \sin \frac{\theta_j}{2} \overline{U}_{0-\sigma'} \right] [1 - (2\sigma')\gamma_5] \gamma_\mu [1 + (2\sigma)\gamma_5] \times \\ \times \left[e^{-i\sigma\varphi_i} \cos \frac{\theta_i}{2} U_{0\sigma} + (2\sigma) e^{i\sigma\varphi_i} \sin \frac{\theta_i}{2} U_{0-\sigma} \right]$$

Comme $[1 - (2\sigma')\gamma_5] \gamma_\mu [1 + (2\sigma)\gamma_5] = \gamma_\mu [1 + (2\sigma')\gamma_5] [1 + (2\sigma)\gamma_5] = 2\delta_{\sigma,\sigma'} \gamma_\mu [1 + (2\sigma)\gamma_5]$, il vient $G = \delta_{\sigma',\sigma} G'$, où

$$G' = \frac{1}{2} \left[e^{i\sigma\varphi_j} \cos \frac{\theta_j}{2} \overline{U}_{0\sigma} + (2\sigma) e^{-i\sigma\varphi_j} \sin \frac{\theta_j}{2} \overline{U}_{0-\sigma} \right] \gamma_\mu [1 + (2\sigma)\gamma_5] \times \\ \times \left[e^{-i\sigma\varphi_i} \cos \frac{\theta_i}{2} U_{0\sigma} + (2\sigma) e^{i\sigma\varphi_i} \sin \frac{\theta_i}{2} U_{0-\sigma} \right]$$

Rappelons que

$$\overline{U}_{0\sigma'} \gamma_\mu U_{0\sigma} = 2\delta_{\sigma',\sigma} T_\mu, \quad \overline{U}_{0\sigma'} \gamma_\mu \gamma_5 U_{0\sigma} = 2(2\sigma) \delta_{\sigma',\sigma} Z_\mu + 2\delta_{\sigma',-\sigma} [X + i(2\sigma)Y]_\mu, \quad \text{donc} \\ \overline{U}_{0\sigma'} \gamma_\mu [1 + \eta(2\sigma)\gamma_5] U_{0\sigma} = 2\delta_{\sigma',\sigma} [T + \eta Z]_\mu + 2(2\sigma) \eta \delta_{\sigma',-\sigma} [X + i(2\sigma)Y]_\mu \quad (\eta = \pm 1)$$

Pour $\Gamma = \gamma_\mu$, on en déduit

$$G'_\mu = e^{i\sigma(\varphi_j - \varphi_i)} \cos \frac{\theta_j}{2} \cos \frac{\theta_i}{2} [T + Z]_\mu + e^{-i\sigma(\varphi_j - \varphi_i)} \sin \frac{\theta_j}{2} \sin \frac{\theta_i}{2} [T - Z]_\mu \\ + e^{-i\sigma(\varphi_j + \varphi_i)} \sin \frac{\theta_j}{2} \cos \frac{\theta_i}{2} [X + i(2\sigma)Y]_\mu + e^{i\sigma(\varphi_j + \varphi_i)} \cos \frac{\theta_j}{2} \sin \frac{\theta_i}{2} [X - i(2\sigma)Y]_\mu \quad (3.172)$$

Il est facile de vérifier que

$$[G']^2 = 0, \quad G' \cdot [G']^* = -[1 - \cos \theta_{ji}], \quad \text{où} \\ \cos \theta_{ji} = \cos \theta_j \cos \theta_i + \sin \theta_j \sin \theta_i \cos(\varphi_j - \varphi_i) \quad (3.173)$$

Le vecteur G' , isotrope et tel que $G' \cdot [G']^* < 0$, s'apparente à un vecteur de polarisation circulaire. Ceci nous amène à poser

$$\epsilon_{ji}^{(2\sigma)} = -(2\sigma) \frac{G'}{\sqrt{2} \left| \sin \frac{\theta_{ji}}{2} \right|}, \quad \text{de sorte que} \\ \overline{U}_{j\sigma'}^{(+)} \gamma_\mu U_{i\sigma}^{(+)} = (2\sigma) \overline{U}_{j\sigma'}^{(+)} \gamma_\mu V_{i\sigma}^{(+)} \\ = -(2\sigma) \delta_{\sigma',\sigma} \sqrt{\frac{(1 + \beta_j)(1 + \beta_i)}{4}} \sqrt{2Q_{ji}} \left[\epsilon_{ji}^{(2\sigma)} \right]_\mu \quad \text{où} \\ Q_{ji} = 2E_j E_i (1 - \cos \theta_{ji}) \quad (3.174)$$

L'expression de la forme bilinéaire présentée dans (3.174) est tout à fait similaire à celles dans (3.154) et (3.155), lorsque les masses des particules peuvent être négligées. En effet, dans ces conditions, la grandeur Q_{ji} peut tout aussi bien être interprétée comme le carré $M_{ji}^2 = (p_j + p_i)^2$ de la masse invariante du système des deux particules (j) et (i) si celles-ci sont toutes deux dans l'état final²², que comme le transfert $\Delta_{ji} = -(p_i - p_j)^2$, si la particule (j) est dans l'état final tandis que la particule (i) est dans l'état initial; de plus, $(1 + \beta_j)(1 + \beta_i)/4 \simeq 1$. Le vecteur $\epsilon_{ji}^{(2\sigma)}$ doit donc représenter un vecteur de polarisation circulaire d'un couplage en voie s ou en voie t . Pour mettre ce fait en évidence, prenons $m_j = m_i = 0$ et définissons

$$T_{ji} = \frac{p_j + p_i}{\sqrt{Q_{ji}}}, \quad X_{ji} = -(2\sigma)\sqrt{2} \Re \left\{ \epsilon_{ji}^{(2\sigma)} \right\}, \quad Y_{ji} = -\sqrt{2} \Im \left\{ \epsilon_{ji}^{(2\sigma)} \right\} \quad (3.175)$$

C'est un excellent exercice formateur que de démontrer la relation

$$\boxed{\begin{aligned} \epsilon_{\mu\nu\rho\delta} X_{ji}^\rho Y_{ji}^\delta &= -[T_{ji}]_\mu [Z_{ji}]_\nu + [T_{ji}]_\nu [Z_{ji}]_\mu, \quad \text{où} \\ Z_{ji} &= \frac{p_i - p_j}{\sqrt{Q_{ji}}} \end{aligned}} \quad (3.176)$$

qui montre que les quatre vecteurs $T_{ji}, X_{ji}, Y_{ji}, Z_{ji}$ forment une base orthonormée et d'orientation directe, et que cette base est associée à un couplage d'hélicité entre les deux particules concernées, en voie s ou en voie t selon la position des particules dans la réaction²³. Ceci généralise les observations faites à la fin du précédent paragraphe.

Examinons maintenant le projecteur $P_{ij}^{(+)}(\sigma, \sigma') = U_{i\sigma}^{(+)} \overline{U}_{j\sigma'}^{(+)}$ (avec $m \neq 0$). Comme toute matrice 4×4 , il peut être décomposé sur la base des 16 matrices de Dirac, dont les coefficients sont les formes bilinéaires considérées plus haut.

$$P_{ij}^{(+)}(\sigma, \sigma') = S + P \gamma_5 + V^\mu \gamma_\mu + A^\mu \gamma_\mu \gamma_5 + T^{\mu\nu} \sigma_{\mu\nu}, \quad \text{avec} \\ \text{Tr} \left[\Gamma_\alpha P_{ij}^{(+)}(\sigma, \sigma') \right] = \overline{U}_{j\sigma'}^{(+)} \Gamma_\alpha U_{i\sigma}^{(+)}$$

Il est avantageux de décomposer préalablement le projecteur comme suit

$$P_{ij}^{(+)}(\sigma, \sigma') = \delta_{\sigma', \sigma} P_{ij}^{(+)}(\sigma, \sigma) + \delta_{\sigma', -\sigma} P_{ij}^{(+)}(\sigma, -\sigma)$$

D'après ce qui précède, la partie $P_{ij}^{(+)}(\sigma, \sigma)$ du projecteur n'a de composantes que sur les matrices γ_μ et $\gamma_\mu \gamma_5$, tandis que l'autre partie $P_{ij}^{(+)}(\sigma, -\sigma)$ se décompose uniquement sur les matrices $1, \gamma_5$ et $\sigma_{\mu\nu}$. On a

$$\begin{aligned} P_{ij}^{(+)}(\sigma, \sigma) &= \frac{1}{4} \left[\gamma_\mu \overline{U}_{j\sigma}^{(+)} \gamma^\mu U_{i\sigma}^{(+)} - \gamma_\mu \gamma_5 \overline{U}_{j\sigma}^{(+)} \gamma^\mu \gamma_5 U_{i\sigma}^{(+)} \right] \\ &= \frac{1}{4} \gamma_\mu [1 - (2\sigma)\gamma_5] \overline{U}_{j\sigma}^{(+)} \gamma^\mu U_{i\sigma}^{(+)} \end{aligned} \quad (3.177)$$

où la forme $\overline{U}_{j\sigma}^{(+)} \gamma^\mu U_{i\sigma}^{(+)}$ peut être exprimée selon (3.174). Calculons ensuite

22. Auquel cas, la particule (i) est une anti-particule, plutôt représentée par le spineur $V_{i\sigma}^{(+)} = \gamma_5 U_{i\sigma}^{(+)}$.

23. A noter qu'à la limite des masses nulles, on a $\gamma(p_i) U_i^{(+)} = \gamma(p_j) U_j^{(+)} = 0$ et par conséquent $p_i \cdot \epsilon_{ji}^{(2\sigma)} = p_j \cdot \epsilon_{ji}^{(2\sigma)} = 0$, soit encore, $p_i \cdot X_{ji} = p_j \cdot X_{ji} = p_i \cdot Y_{ji} = p_j \cdot Y_{ji} = 0$, conformément à un couplage d'hélicité.

$$\begin{aligned} \overline{U}_{j-\sigma}^{(+)} U_{i\sigma}^{(+)} &= (2\sigma) \overline{U}_{j-\sigma}^{(+)} \gamma_5 U_{i\sigma}^{(+)} = \sqrt{E_j E_i (1 + \beta_j)(1 + \beta_i)} F_{ji}^\sigma \\ \text{où } F_{ji}^\sigma &= \frac{1}{2} \left[e^{-i\sigma\varphi_j} \cos \frac{\theta_j}{2} \overline{U}_{0-\sigma} - (2\sigma) e^{i\sigma\varphi_j} \sin \frac{\theta_j}{2} \overline{U}_{0\sigma} \right] [1 + (2\sigma)\gamma_5] \times \\ &\quad \times \left[e^{-i\sigma\varphi_i} \cos \frac{\theta_i}{2} U_{0\sigma} + (2\sigma) e^{i\sigma\varphi_i} \sin \frac{\theta_i}{2} U_{0-\sigma} \right], \text{ soit} \\ \boxed{F_{ji}^\sigma} &= (2\sigma) \left[e^{-i\sigma(\varphi_j - \varphi_i)} \cos \frac{\theta_j}{2} \sin \frac{\theta_i}{2} - e^{i\sigma(\varphi_j - \varphi_i)} \sin \frac{\theta_j}{2} \cos \frac{\theta_i}{2} \right] \end{aligned} \quad (3.178)$$

et l'on a

$$\boxed{|F_{ji}^\sigma|^2 = \sin^2 \frac{\theta_{ji}}{2}} \quad (3.179)$$

Puis

$$\begin{aligned} \overline{U}_{j-\sigma}^{(+)} \sigma_{\mu\nu} U_{i\sigma}^{(+)} &= \sqrt{E_j E_i (1 + \beta_j)(1 + \beta_i)} [T_{ji}^\sigma]_{\mu\nu} \\ \text{où } [T_{ji}^\sigma]_{\mu\nu} &= \frac{1}{2} \left[e^{-i\sigma\varphi_j} \cos \frac{\theta_j}{2} \overline{U}_{0-\sigma} - (2\sigma) e^{i\sigma\varphi_j} \sin \frac{\theta_j}{2} \overline{U}_{0\sigma} \right] [1 + (2\sigma)\gamma_5] \sigma_{\mu\nu} \times \\ &\quad \times \left[e^{-i\sigma\varphi_i} \cos \frac{\theta_i}{2} U_{0\sigma} + (2\sigma) e^{i\sigma\varphi_i} \sin \frac{\theta_i}{2} U_{0-\sigma} \right], \text{ soit} \\ [T_{ji}^\sigma]_{\mu\nu} &= \frac{1}{2} i (2\sigma) \left[e^{-i\sigma(\varphi_j + \varphi_i)} \cos \frac{\theta_j}{2} \cos \frac{\theta_i}{2} \left[(T + Z)_\mu (X + i(2\sigma)Y)_\nu \right. \right. \\ &\quad \left. \left. - (T + Z)_\mu (X + i(2\sigma)Y)_\nu \right] + \left[e^{i\sigma(\varphi_j - \varphi_i)} \sin \frac{\theta_j}{2} \cos \frac{\theta_i}{2} + e^{-i\sigma(\varphi_j - \varphi_i)} \cos \frac{\theta_j}{2} \sin \frac{\theta_i}{2} \right] \times \right. \\ &\quad \times \left[T_\mu Z_\nu - T_\nu Z_\mu - i(2\sigma) [X_\mu Y_\nu - X_\nu Y_\mu] \right] - e^{i\sigma(\varphi_j + \varphi_i)} \sin \frac{\theta_j}{2} \sin \frac{\theta_i}{2} \times \\ &\quad \left. \times \left[(T - Z)_\mu (X - i(2\sigma)Y)_\nu - (T - Z)_\nu (X - i(2\sigma)Y)_\mu \right] \right] \end{aligned}$$

et finalement

$$P_{ij}^{(+)}(\sigma, -\sigma) = \sqrt{E_j E_i (1 + \beta_j)(1 + \beta_i)} \left[\frac{1}{4} [1 + (2\sigma)\gamma_5] F_{ji}^\sigma + \frac{1}{2} \sigma_{\mu\nu} T_{ji}^{\mu\nu} \right] \quad (3.180)$$

Dans un premier temps, supposons non nulles, et toutes deux égales à m pour simplifier, les masses des particules (i) et (j). Couplons les deux particules en hélicité, avec pour base de référence

$$T_{ji} = \frac{p_j + p_i}{\sqrt{s_{ji}}}, \quad Z_{ji} = \frac{p_j - p_i}{\sqrt{s_{ji}}}, \quad X_{ji}, \quad Y_{ji}, \quad \text{avec } s_{ji} = 2m^2 + 2p_j \cdot p_i \quad (3.181)$$

et où les vecteurs X_{ji} et Y_{ji} ne coïncident avec ceux définis en (3.175) que lorsque $m = 0$. Soit $[t_i]'$ la tétrade associée à t_i dans ce couplage, similaire à celles étudiées dans le couplage en voie t . Comme cette tétrade et la tétrade $[t_i]$ définie dans le couplage symétrique ont le vecteur t_i en commun, on passe de l'une à l'autre par une rotation. Prenons ensuite $m = 0$. Dans ce cas, la

tétrade de référence (3.181) devient exactement celle définie dans (3.175). Nous invitons alors le lecteur à établir²⁴ et à interpréter²⁵ les relations

$$\begin{aligned}
 X_{ji} + i(2\sigma)Y_{ji} &= e^{i\Psi_s} [X_i + i(2\sigma)Y_i] + e^{i\Psi_c} (T + Z_i) \left| \cot \frac{\theta_{ji}}{2} \right| \\
 &= -e^{-i\Psi_s} [X_j - i(2\sigma)Y_j] + e^{i\Psi_c} (T + Z_j) \left| \cot \frac{\theta_{ji}}{2} \right|, \quad \text{où} \\
 e^{i\Psi_s} &= \frac{1}{\left| \sin \frac{\theta_{ji}}{2} \right|} \left[\sin \frac{\theta_j}{2} \cos \frac{\theta_i}{2} e^{-i\sigma(\varphi_j - \varphi_i)} - \cos \frac{\theta_j}{2} \sin \frac{\theta_i}{2} e^{i\sigma(\varphi_j - \varphi_i)} \right], \\
 e^{i\Psi_c} &= \frac{1}{\left| \cos \frac{\theta_{ji}}{2} \right|} \left[\cos \frac{\theta_j}{2} \cos \frac{\theta_i}{2} e^{i\sigma(\varphi_j - \varphi_i)} + \sin \frac{\theta_j}{2} \sin \frac{\theta_i}{2} e^{-i\sigma(\varphi_j - \varphi_i)} \right]
 \end{aligned} \tag{3.182}$$

Nous invitons également le lecteur à vérifier que dans ce couplage d'hélicité symétrique, l'hélicité d'une particule, considérée dans le référentiel du centre de masse de la réaction, y est représentée par la projection de son spin sur le vecteur unitaire de sa 3-impulsion.

Pour terminer, notons que le choix des axes spatiaux X, Y, Z du référentiel du centre de masse est généralement dicté par des considérations pratiques. Par exemple, l'axe de collision des deux particules de l'état initial est pris de façon naturelle comme axe Z . Cependant, comme nous l'avons déjà remarqué, il peut être judicieux de choisir les vecteurs spatiaux de la base de référence de l'état final en fonction de leurs propriétés au regard du groupe des permutations des particules composant cet état. La nouvelle base ainsi choisie se déduit alors de celle de l'état initial par une simple rotation.

24. Et, en l'occurrence, à vérifier.

25. Revoir le paragraphe 2.1.1, ③.

3.6 Appendice : équivalence entre (3.146) et (3.145)

Le développement du produit de matrices (3.146), donne une expression du type

$$L_1 = a_1 + a_2\gamma(X)\gamma(T) + a_3\gamma(Z)\gamma(T) + a_4\gamma(X)\gamma(Z)$$

Il est inutile d'explicitier ici les coefficients a_i , car cette expression doit être transformée en exprimant les vecteurs T et Z en fonction de t_1 et $z_1^{(s)}$, de manière à faire apparaître le générateur $\gamma(z_1^{(s)})\gamma(X)$ de la rotation attendue. Cette opération conduit à

$$L_1 = A_1 + A_2\gamma(z_1^{(s)})\gamma(X) + A_3\gamma(X)\gamma(t_1) + A_4\gamma(z_1^{(s)})\gamma(t_1), \quad \text{où}$$

$$A_1 = \cos \frac{\psi}{2} \cosh \frac{\Upsilon}{2} \cosh \frac{\chi - \xi}{2} + \sin \frac{\psi}{2} \sinh \frac{\Upsilon}{2} \sinh \frac{\chi - \xi}{2}$$

$$A_2 = \cos \frac{\psi}{2} \sinh \frac{\Upsilon}{2} \sinh \frac{\chi + \xi}{2} + \sin \frac{\psi}{2} \cosh \frac{\Upsilon}{2} \cosh \frac{\chi + \xi}{2}$$

$$A_3 = \cos \frac{\psi}{2} \sinh \frac{\Upsilon}{2} \cosh \frac{\chi + \xi}{2} + \sin \frac{\psi}{2} \cosh \frac{\Upsilon}{2} \sinh \frac{\chi + \xi}{2}$$

$$-A_4 = \cos \frac{\psi}{2} \cosh \frac{\Upsilon}{2} \sinh \frac{\chi - \xi}{2} + \sin \frac{\psi}{2} \sinh \frac{\Upsilon}{2} \cosh \frac{\chi - \xi}{2}$$

Il reste maintenant à montrer que cette expression peut être mise sous la forme (3.145), et notamment à montrer en premier lieu que $A_3 = A_4 = 0$. Pour la commodité d'écriture, nous poserons ici $c = \cos \frac{\theta}{2}$, $s = \sin \frac{\theta}{2}$, $r = \sqrt{1 - \beta^2 c^2}$. Une première étape consiste à exprimer des fonctions hyperboliques et trigonométriques, comme il est fait ci-après.

$$\begin{aligned} (1) \quad 1 + \cosh(\chi - \xi) &= 1 + \cosh \chi \cosh \xi - \sinh \chi \sinh \xi = \frac{1}{1 - \beta^2} [r + 1 - \beta^2(s + 1)] \\ &= \frac{1}{1 - \beta^2} \frac{1 - r}{1 - r} [r + 1 - \beta^2(s + 1)] = \frac{\beta^2}{1 - \beta^2} (1 + s) \frac{r - s}{1 - r} \\ &= \frac{(1 + s)(1 + r)}{r + s} = 2 \cosh^2 \left(\frac{\chi - \xi}{2} \right) \end{aligned}$$

$$\begin{aligned} (2) \quad \cosh(\chi - \xi) - 1 &= \frac{1}{1 - \beta^2} [r - 1 + \beta^2(1 - s)] = \frac{1}{1 - \beta^2} \frac{1 + r}{1 + r} [r - 1 + \beta^2(1 - s)] \\ &= \frac{\beta^2}{1 - \beta^2} (1 - s) \frac{r - s}{1 + r} = \frac{(1 - s)(1 - r)}{r + s} = 2 \sinh^2 \left(\frac{\chi - \xi}{2} \right) \end{aligned}$$

Le passage de $\chi - \xi$ à $\chi + \xi$ équivaut à changer s en $-s$. Donc

$$(3) \quad 2 \cosh^2 \left(\frac{\chi + \xi}{2} \right) = \frac{(1 - s)(1 + r)}{r - s}, \quad 2 \sinh^2 \left(\frac{\chi + \xi}{2} \right) = \frac{(1 + s)(1 - r)}{r - s}$$

$$(4) \quad 2 \cosh^2 \frac{\Upsilon}{2} = \frac{1 + r}{r}, \quad 2 \sinh^2 \frac{\Upsilon}{2} = \frac{1 - r}{r}$$

$$(5) \quad \cos \frac{\psi}{2} = \frac{1}{\sqrt{2}} \left[\cos \frac{\theta}{4} + \sin \frac{\theta}{4} \right] = \sqrt{\frac{1 + s}{2}}, \quad \sin \frac{\psi}{2} = \frac{1}{\sqrt{2}} \left[\sin \frac{\theta}{4} - \cos \frac{\theta}{4} \right] = -\sqrt{\frac{1 - s}{2}}$$

Utilisant ces expressions, on trouve

$$A_3 = \frac{1}{2\sqrt{2r(r-s)}} \left[\sqrt{1+s}\sqrt{1-r}\sqrt{(1-s)(1+r)} - \sqrt{1-s}\sqrt{1+r}\sqrt{(1+s)(1-r)} \right] = 0$$

$$-A_4 = \frac{1}{2\sqrt{2r(r+s)}} \left[\sqrt{1+s}\sqrt{1+r}\sqrt{(1-s)(1-r)} - \sqrt{1-s}\sqrt{1-r}\sqrt{(1+s)(1+r)} \right] = 0$$

Puis

$$\begin{aligned} A_1 &= \frac{1}{2\sqrt{2r(r+s)}} \left[\sqrt{1+s}\sqrt{1+r}\sqrt{(1+s)(1+r)} - \sqrt{1-s}\sqrt{1-r}\sqrt{(1-s)(1-r)} \right] \\ &= \frac{1}{2\sqrt{2r(r+s)}} \times 2(r+s) = \frac{1}{\sqrt{2}} \sqrt{1 + \frac{s}{r}} = \cos \frac{\psi_1}{2}, \quad (\cos \psi_1 = \frac{s}{r} > 0) \end{aligned}$$

et

$$\begin{aligned} A_2 &= \frac{1}{2\sqrt{2r(r-s)}} \left[\sqrt{1+s}\sqrt{1-r}\sqrt{(1+s)(1-r)} - \sqrt{1-s}\sqrt{1+r}\sqrt{(1-s)(1+r)} \right] \\ &= \frac{1}{2\sqrt{2r(r-s)}} \times 2(s-r) = -\frac{1}{\sqrt{2}} \sqrt{1 - \frac{s}{r}} = \sin \frac{\psi_1}{2} \quad (\sin \psi_1 < 0). \end{aligned}$$

En conclusion, le produit matriciel (3.146) a bien la forme (3.145) attendue.

Chapitre 4

Applications

4.1 Amplitudes d'hélicité de la diffusion Compton, avec couplage d'hélicité dans la voie s

L'exemple typique d'une réaction où, de façon naturelle, on couple en hélicité une particule de spin 1/2, lepton ou quark, et une particule vectorielle de masse nulle¹, photon pour un lepton, ou photon ou gluon pour un quark, ces particules étant bien sûr toutes deux entrantes ou sortantes, est celui de l'effet Compton $e^- + \gamma \rightarrow e^- + \gamma$ vers lequel nous revenons maintenant. Le calcul des amplitudes d'hélicité de ce processus servira de test des formules établies au chapitre 3 et fournira l'occasion de présenter certaines astuces de calcul. Pour ne pas perturber le lecteur, nous garderons les mêmes notations que celles de la figure (3.1).

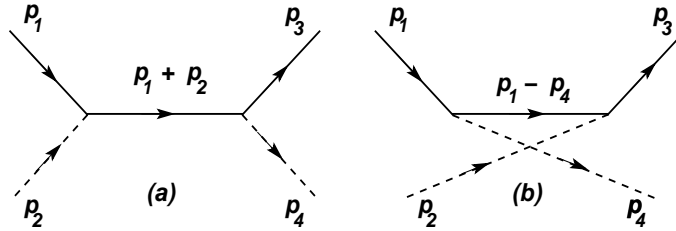


FIGURE 4.1 – Diagrammes de Feynman décrivant l'effet Compton

Au plus bas ordre suivant la constante α , l'effet est décrit par les deux diagrammes de Feynman de la figure (4.1), où la ligne en trait plein est une ligne d'électron et les lignes en tirets sont des lignes de photons. L'amplitude générique correspondante s'écrit

$$\mathcal{M} = 4\pi\alpha T_c, \quad \text{avec} \quad T_c = \overline{U}_3 \left[\gamma(\epsilon_4^*) \frac{m + \gamma(p_1 + p_2)}{m^2 - (p_1 + p_2)^2} \gamma(\epsilon_2) + \gamma(\epsilon_2) \frac{m + \gamma(p_1 - p_4)}{m^2 - (p_1 - p_4)^2} \gamma(\epsilon_4^*) \right] U_1 \quad (4.1)$$

où : U_1 et U_3 sont les spineurs de Dirac respectifs des électrons entrant et sortant, p_1 et p_3 leurs 4-impulsions respectives, m leur masse; ϵ_2 et ϵ_4 sont les vecteurs de polarisation respectifs des photons entrant et sortant, p_2 et p_4 leurs 4-impulsions respectives. Nous avons ici $p_1^2 = p_3^2 = m^2$, $p_2^2 = p_4^2 = 0$. Nous poserons $s = (p_1 + p_2)^2 = (p_3 + p_4)^2$, $u = -(p_1 - p_4)^2 = -(p_2 - p_3)^2$. En couplage d'hélicité entre 1 et 2 d'une part, 3 et 4 d'autre part, on a

1. Dénommée ci-dessus "photon réel" pour la simplicité.

$$p_1 \cdot \epsilon_2 = p_2 \cdot \epsilon_2 = 0, \quad p_3 \cdot \epsilon_4 = p_4 \cdot \epsilon_4 = 0$$

En tenant compte de l'équation de Dirac $[m - \gamma(p_1)] U_1 = 0$ et après quelques anti-commutations de matrices γ , on obtient

$$T_c = \overline{U_3} \left[\left[-\frac{\gamma(\epsilon_4^*) \gamma(p_2) \gamma(\epsilon_2)}{s - m^2} + \frac{1}{u + m^2} \left\{ \gamma(\epsilon_4^*) \gamma(p_4) \gamma(\epsilon_2) + 2 p_1 \cdot \epsilon_4^* \gamma(\epsilon_2) - 2 p_4 \cdot \epsilon_2 \gamma(\epsilon_4^*) + 2 \epsilon_2 \cdot \epsilon_4^* \gamma(p_4) \right\} \right] \right] U_1$$

On voit alors que le calcul nécessite de connaître des expressions telles que $\gamma(\epsilon_2) U_1$ et $\gamma(p_2) U_1$. Notons T, X, Y, Z la base associée au référentiel du centre de masse. En couplage d'hélicité dans la voie s , on choisit Z de telle sorte que

$$p_1 = ET + pZ, \quad p_2 = p(T - Z), \quad \epsilon_1^{(\lambda_1)} = E^{(\lambda_1)} = -\frac{1}{\sqrt{2}} (\lambda_1 X + iY), \quad \epsilon_2^{(\lambda_2)} = \epsilon_1^{(-\lambda_2)}$$

et, comme préconisé précédemment, l'axe Y est orthogonal aux 4-impulsions de toutes les particules. Pour l'état final, on a

$$p_3 = ET + pZ', \quad p_4 = p(T - Z'), \quad \epsilon_3^{(\lambda_3)} = -\frac{1}{\sqrt{2}} (\lambda_3 X' + iY), \quad \epsilon_4^{(\lambda_4)} = \epsilon_3^{(-\lambda_4)}$$

avec $Z' = Z \cos \theta + X \sin \theta, \quad X' = X \cos \theta - Z \sin \theta$

θ étant, dans ledit référentiel, l'angle de diffusion de l'électron émergeant, par rapport à la direction de propagation Z de l'électron initial; dans ce même référentiel, les deux électrons (initial et final) ont la même énergie E et le même module p de quantité de mouvement :

$$E = \frac{s + m^2}{2\sqrt{s}}, \quad p = \frac{s - m^2}{2\sqrt{s}}$$

tandis que les deux photons (initial et final) ont la même énergie, égale à p et égale aux modules de leurs quantités de mouvement.

☞ On a

$$\gamma(p_2) \gamma(p_1) = p(E + p) [1 - \gamma(Z) \gamma(T)] = p\sqrt{s} [1 - \gamma(z_1) \gamma(t_1)]$$

où l'on a tenu compte du fait qu'en couplage d'hélicité, $\gamma(Z) \gamma(T) = \gamma(z_1) \gamma(t_1)$. Or, d'une part, $\gamma(z_1) \gamma(t_1) = 2\gamma_5 S_{z_1}$ et, d'autre part, $\gamma(p_1) U_1 = m U_1$. Appliquant $\gamma(p_2) \gamma(p_1)$ à $U_{1\sigma_1}$, on en déduit

$$\boxed{\gamma(p_2) U_{1\sigma_1} = \frac{p\sqrt{s}}{m} [1 - (2\sigma_1) \gamma_5] U_{1\sigma_1}} \quad (4.2)$$

☞ Rappelons que

$$S_{x_1} U_{1\sigma_1} = \frac{1}{2} \gamma_5 \gamma(X) \gamma(t_1) U_{1\sigma_1} = \frac{1}{2} \gamma_5 \gamma(X) U_{1\sigma_1} = \frac{1}{2} U_{1-\sigma_1}$$

$$S_{y_1} U_{1\sigma_1} = \frac{1}{2} \gamma_5 \gamma(Y) \gamma(t_1) U_{1\sigma_1} = \frac{1}{2} \gamma_5 \gamma(Y) U_{1\sigma_1} = i\sigma_1 U_{1-\sigma_1}$$

d'où l'on tire aisément que

$$\gamma(\epsilon_1^{(\lambda)}) U_{1\sigma_1} = \delta_{\lambda, -2\sigma_1} \sqrt{2} (2\sigma_1) \gamma_5 U_{1-\sigma_1} \quad (4.3)$$

soit encore

$$\gamma(\epsilon_2^{(\lambda_2)}) U_{1\sigma_1} = \delta_{\lambda_2, 2\sigma_1} \sqrt{2} (2\sigma_1) \gamma_5 U_{1-\sigma_1} \quad (4.4)$$

Combinant (4.5) et (4.4), il vient

$$\gamma(p_2) \gamma(\epsilon_2^{(\lambda_2)}) U_{1\sigma_1} = -\delta_{\lambda_2, 2\sigma_1} \sqrt{2} (2\sigma_1) \frac{p\sqrt{s}}{m} [\gamma_5 + (2\sigma_1)] U_{1-\sigma_1} \quad (4.5)$$

Les mêmes types de relations valent également pour l'état final :

$$\begin{aligned} \gamma(p_4) U_{3\sigma_3} &= \frac{p\sqrt{s}}{m} [1 - (2\sigma_3)\gamma_5] U_{3\sigma_3} \\ \gamma(\epsilon_4^{(\lambda_4)}) U_{3\sigma_3} &= \delta_{\lambda_4, 2\sigma_4} \sqrt{2} (2\sigma_3) \gamma_5 U_{3-\sigma_3} \\ \gamma(p_4) \gamma(\epsilon_4^{(\lambda_4)}) U_{3\sigma_3} &= -\delta_{\lambda_4, 2\sigma_3} \sqrt{2} (2\sigma_3) \frac{p\sqrt{s}}{m} [\gamma_5 + (2\sigma_3)] U_{3-\sigma_3} \end{aligned} \quad (4.6)$$

Calculons alors²

$$A = \overline{U}_{3\sigma_3} \gamma(\epsilon_4^{(\lambda_4)*}) \gamma(p_2) \gamma(\epsilon_2^{(\lambda_2)}) U_{1\sigma_1} = 2 \delta_{\lambda_2, 2\sigma_1} \delta_{\lambda_4, 2\sigma_3} \lambda_2 \lambda_4 \frac{p\sqrt{s}}{m} \overline{U}_{3-\sigma_3} [1 + (2\sigma_1) \gamma_5] U_{1-\sigma_1}$$

Les spineurs étant ici normalisés selon $\overline{U}U = 2m$, les formules (3.67) et (3.68) donnent

$$\begin{aligned} \overline{U}_{3\sigma_3} U_{1\sigma_1} &= 2m \left\{ \delta_{\sigma_3, \sigma_1} \cos \frac{\theta}{2} - (2\sigma_1) \delta_{\sigma_3, -\sigma_1} \cosh \chi_1 \sin \frac{\theta}{2} \right\} \\ \overline{U}_{3\sigma_3} \gamma_5 U_{1\sigma_1} &= -2m \delta_{\sigma_3, -\sigma_1} \sinh \chi_1 \sin \frac{\theta}{2} \\ \text{avec } \cosh \chi_1 &= \frac{E}{m}, \quad \sinh \chi_1 = \frac{p}{m} \end{aligned}$$

Les appliquant à A , on trouve ($|\lambda_2| = |\lambda_4| = 1$)

$$\begin{aligned} A &= 2(s - m^2) \lambda_2 \lambda_4 \delta_{\lambda_2, 2\sigma_1} \delta_{\lambda_4, 2\sigma_3} \left\{ \delta_{\sigma_3, \sigma_1} \cos \frac{\theta}{2} \right. \\ &+ (2\sigma_1) \delta_{\sigma_3, -\sigma_1} (\cosh \chi_1 - \sinh \chi_1) \sin \frac{\theta}{2} \left. \right\} = 2(s - m^2) \delta_{\lambda_2, 2\sigma_1} \delta_{\lambda_4, 2\sigma_3} \left\{ \delta_{\sigma_3, \sigma_1} \cos \frac{\theta}{2} \right. \\ &\left. - (2\sigma_1) \delta_{\sigma_3, -\sigma_1} (\cosh \chi_1 - \sinh \chi_1) \sin \frac{\theta}{2} \right\} \end{aligned} \quad (4.7)$$

². On prendra garde au fait que la matrice γ_5 anti-commute avec la matrice γ_0 intervenant dans la définition de \overline{U} .

On trouve de même que

$$B = \overline{U}_{3\sigma_3} \gamma(\epsilon_4^{(\lambda_4)^*}) \gamma(p_4) \gamma(\epsilon_2^{(\lambda_2)}) U_{1\sigma_1} \equiv A \quad (4.8)$$

Remarquons que cette égalité n'est pas fortuite. D'une part, les masses vérifiant les égalités $m_1 = m_3 = m$ et $m_2 = m_4 (= 0)$, la tétrade associée à p_3 se déduit de celle associée à p_1 par une simple rotation $R_Y(\theta)$ d'angle θ autour de Y (Eq. 3.35), et l'on a

$$\begin{aligned} U_{3\sigma_3} &= R_Y(\theta) U_{1\sigma_3}, & R_Y(\theta) \gamma(p_1) R_Y(\theta)^{-1} &= \gamma(p_3), & R_Y(\theta) \gamma(p_2) R_Y(\theta)^{-1} &= \gamma(p_4), \\ & & R_Y(\theta) \gamma(\epsilon_2^{(\lambda_2)}) R_Y(\theta)^{-1} &= \gamma(\epsilon_4^{(\lambda_2)}) \end{aligned}$$

On peut donc écrire³

$$\begin{aligned} A(\sigma_1, \sigma_3; \lambda_2, \lambda_4) &= \overline{U}_{1\sigma_3} R_Y(\theta)^{-1} \gamma(\epsilon_4^{(\lambda_4)^*}) R_Y(\theta) R_Y(\theta)^{-1} \gamma(p_2) R_Y(\theta) \times \\ &R_Y(\theta) \gamma(\epsilon_2^{(\lambda_2)}) R(\theta)^{-1} U_{3\sigma_1} = \overline{U}_{1\sigma_3} \gamma(\epsilon_2^{(\lambda_4)^*}) \gamma(p_4) \gamma(\epsilon_4^{(\lambda_2)}) U_{3\sigma_1} \\ &= \left[\overline{U}_{3\sigma_1} \gamma(\epsilon_4^{(\lambda_2)^*}) \gamma(p_4) \gamma(\epsilon_2^{(\lambda_4)}) U_{1\sigma_3} \right]^* = B^*(\sigma_1, \sigma_3; \lambda_4, \lambda_2) \\ &\text{soit} \quad B(\sigma_1, \sigma_3; \lambda_2, \lambda_4) = A^*(\sigma_3, \sigma_1; \lambda_4, \lambda_2) \end{aligned}$$

D'autre part⁴, en prenant le complexe conjugué de A et en utilisant la matrice $U_c = i\gamma^2 \gamma_5$ telle que

$$U_c U_\sigma = -(2\sigma) U_{-\sigma}^* \quad \text{et} \quad U_c \gamma_\mu U_c^{-1} = \gamma_\mu^*$$

on obtient, compte tenu de $\epsilon^{(\lambda^*)} = -\epsilon^{(-\lambda)}$,

$$\begin{aligned} A^*(\sigma_1, \sigma_3; \lambda_2, \lambda_4) &= {}^t U_{3\sigma_3} \gamma_0 \gamma^*(\epsilon_4^{(\lambda_4)}) \gamma^*(p_2) \gamma^*(\epsilon_2^{(\lambda_2)^*}) U_{1\sigma_1}^* \\ &= (2\sigma_3) (2\sigma_1) \overline{U}_{3-\sigma_3} \gamma(\epsilon_4^{(-\lambda_4)^*}) \gamma(p_2) \gamma(\epsilon_2^{(-\lambda_2)}) U_{1-\sigma_1} = (2\sigma_1)(2\sigma_3) A(-\sigma_1, -\sigma_3; -\lambda_2, -\lambda_4) \end{aligned}$$

On en déduit

$$B(\sigma_1, \sigma_3; \lambda_2, \lambda_4) = (2\sigma_1)(2\sigma_3) A(-\sigma_3, -\sigma_1; -\lambda_4, -\lambda_2)$$

d'où l'égalité $B = A$, compte tenu de la forme de A .

✎ Puis

$$2p_1 \cdot \epsilon_4^* = \sqrt{2} \lambda_4 p \sin \theta, \quad 2p_4 \cdot \epsilon_2 = \sqrt{2} \lambda_2 p \sin \theta, \quad \epsilon_2 \cdot \epsilon_4^* = -\frac{1}{2} (1 + \lambda_2 \lambda_4 \cos \theta)$$

$$\overline{U}_3 \gamma(\epsilon_2) U_1 = \delta_{\lambda_2, 2\sigma_1} \sqrt{2} \left(-2m \delta_{\sigma_3, \sigma_1} \sinh \chi_1 \sin \frac{\theta}{2} \right)$$

$$\overline{U}_3 \gamma(\epsilon_4^*) U_1 = \delta_{\lambda_4, 2\sigma_3} \sqrt{2} \left(2m \delta_{\sigma_3, \sigma_1} \sinh \chi_1 \sin \frac{\theta}{2} \right)$$

$$\overline{U}_3 \gamma(p_4) U_1 = (s - m^2) \left\{ \delta_{\sigma_3, \sigma_1} \cos \frac{\theta}{2} - (2\sigma_1) \delta_{\sigma_3, -\sigma_1} (\cosh \chi_1 - \sinh \chi_1) \sin \frac{\theta}{2} \right\}$$

3. On rappelle que $\gamma_\mu^\dagger = \gamma_0 \gamma_\mu \gamma_0$, voir ITL, §7.3.4, Eq. 7.80.

4. Voir ITL, §7.3.4 et §7.4.3.

☞ Collectant tous ces résultats, il vient

$$\begin{aligned}
 T_c = T_c(\sigma_1, \sigma_3; \lambda_2, \lambda_4) &= 2 \lambda_2 \lambda_4 \delta_{\lambda_2, 2\sigma_1} \delta_{\lambda_4, 2\sigma_3} \left[-1 + \frac{s - m^2}{u + m^2} \right] \left[\delta_{\sigma_3, \sigma_1} \cos \frac{\theta}{2} \right. \\
 &+ (2\sigma_1) \delta_{\sigma_3, -\sigma_1} \frac{m}{\sqrt{s}} \sin \frac{\theta}{2} \left. \right] - \frac{(s - m^2)^2}{s(u + m^2)} \sin \theta \sin \frac{\theta}{2} \lambda_2 \lambda_4 [\delta_{\lambda_2, 2\sigma_1} + \delta_{\lambda_4, 2\sigma_3}] \delta_{\sigma_3, \sigma_1} \\
 &- (1 + \lambda_2 \lambda_4 \cos \theta) \frac{s - m^2}{u + m^2} \left[\delta_{\sigma_3, \sigma_1} \cos \frac{\theta}{2} - (2\sigma_1) \delta_{\sigma_3, -\sigma_1} \frac{m}{\sqrt{s}} \sin \frac{\theta}{2} \right]
 \end{aligned}$$

soit, en remplaçant le produit $\lambda_2 \lambda_4$ par 1 lorsqu'il est en facteur de $\delta_{\lambda_2, 2\sigma_1} \delta_{\lambda_4, 2\sigma_3} \delta_{\sigma_3, \sigma_1}$ et par -1 lorsqu'il est en facteur de $\delta_{\lambda_2, 2\sigma_1} \delta_{\lambda_4, 2\sigma_3} \delta_{\sigma_3, -\sigma_1}$

$$\begin{aligned}
 T_c = \delta_{\sigma_3, \sigma_1} &\left[2 \delta_{\lambda_2, 2\sigma_1} \delta_{\lambda_4, 2\sigma_3} \cos \frac{\theta}{2} \left[-1 + \frac{s - m^2}{u + m^2} \right] \right. \\
 &- \frac{(s - m^2)^2}{s(u + m^2)} \sin \theta \sin \frac{\theta}{2} \lambda_2 \lambda_4 [\delta_{\lambda_2, 2\sigma_1} + \delta_{\lambda_4, 2\sigma_3}] - (1 + \lambda_2 \lambda_4 \cos \theta) \frac{s - m^2}{u + m^2} \cos \frac{\theta}{2} \left. \right] \\
 + \delta_{\sigma_3, -\sigma_1} (2\sigma_1) &\frac{m}{\sqrt{s}} \sin \frac{\theta}{2} \left[(1 + \lambda_2 \lambda_4 \cos \theta) \frac{s - m^2}{u + m^2} - 2 \delta_{\lambda_2, 2\sigma_1} \delta_{\lambda_4, 2\sigma_3} \left[-1 + \frac{s - m^2}{u + m^2} \right] \right]
 \end{aligned}$$

Simplifions encore cette expression en explicitant u en fonction de θ :

$$u + m^2 = 2p_1 \cdot p_4 = 2p [E + p \cos \theta] = (s - m^2) \left[1 - \beta' \sin^2 \frac{\theta}{2} \right] \quad \text{où} \quad \beta' = \frac{s - m^2}{s}$$

On prendra garde à ne pas confondre β' avec $\beta = \frac{p}{E} = \frac{s - m^2}{s + m^2}$. Tous calculs effectués, on obtient :

$$\begin{aligned}
 T_c(\sigma_1, \sigma_3; \lambda_2, \lambda_4) &= \delta_{\sigma_3, \sigma_1} \frac{\cos \frac{\theta}{2}}{1 - \beta' \sin^2 \frac{\theta}{2}} \left[2\beta' \sin^2 \frac{\theta}{2} \delta_{\lambda_2, 2\sigma_1} \delta_{\lambda_4, 2\sigma_3} \right. \\
 &- (1 + \lambda_2 \lambda_4 \cos \theta) - 2\beta' \sin^2 \frac{\theta}{2} \lambda_2 \lambda_4 [\delta_{\lambda_2, 2\sigma_1} + \delta_{\lambda_4, 2\sigma_3}] \left. \right] \\
 + (2\sigma_1) \delta_{\sigma_3, -\sigma_1} &\frac{m}{\sqrt{s}} \frac{\sin \frac{\theta}{2}}{1 - \beta' \sin^2 \frac{\theta}{2}} \left[(1 + \lambda_2 \lambda_4 \cos \theta) - 2\beta' \sin^2 \frac{\theta}{2} \delta_{\lambda_2, 2\sigma_1} \delta_{\lambda_4, 2\sigma_3} \right]
 \end{aligned} \tag{4.9}$$

On remarque immédiatement que les amplitudes avec changement d'hélicité de l'électron sont proportionnelles à m/\sqrt{s} . Il s'ensuit qu'à très haute énergie, soit plus précisément pour $\sqrt{s} \gg m$, ces amplitudes ont une très faible contribution : à très haute énergie, l'hélicité de l'électron se conserve. En fait, il s'agit là d'un résultat général pour les processus de l'Electrodynamique Quantique ou ceux de la Chromodynamique Quantique, pour lesquels les masses peuvent être négligées. En effet, dans ces conditions, les amplitudes font intervenir des produits de nombres impairs de matrices γ , se développant uniquement sur les matrices γ_μ et $\gamma_\mu \gamma_5$. Les spineurs étant normalisés selon $\bar{U}U = 2m$, les formules (3.69) et (3.70) montrent qu'en faisant tendre m vers zéro, seuls subsistent des termes conservant l'hélicité :

$$\overline{U}_{3\sigma'} \gamma_\mu U_{1\sigma} \approx (2\sigma) \overline{U}_{3\sigma'} \gamma_\mu \gamma_5 U_{1\sigma} \approx \sqrt{s} \delta_{\sigma',\sigma} \left[(T + Z)_\mu \cos \frac{\theta}{2} + (X + i(2\sigma)Y)_\mu \sin \frac{\theta}{2} \right] \quad (4.10)$$

Les tableaux ci-après donnent les expressions explicites des 16 amplitudes d'hélicité de l'effet Compton, tirées de (4.9), dans le cas $m \neq 0$ et dans le cas $m = 0$. On remarque aussi que les amplitudes avec changement d'hélicité du photon sont défavorisées à haute énergie par au moins un facteur m^2/s : à très haute énergie, l'hélicité du photon est donc aussi conservée. Cela implique que dans ce domaine et pour ce processus, l'hélicité totale est conservée⁵.

$$\begin{aligned} T_c(\uparrow, \uparrow; +, +) &= T_c(\downarrow, \downarrow; -, -) = -\frac{2 \cos \frac{\theta}{2}}{1 - \beta' \sin^2 \frac{\theta}{2}} \left[1 - \frac{m^2}{s} \sin^2 \frac{\theta}{2} \right] \\ T_c(\uparrow, \uparrow; -, -) &= T_c(\downarrow, \downarrow; +, +) = -\frac{2 \cos^3 \frac{\theta}{2}}{1 - \beta' \sin^2 \frac{\theta}{2}} \\ T_c(\uparrow, \uparrow; +, -) &= T_c(\uparrow, \uparrow; -, +) = T_c(\downarrow, \downarrow; +, -) = T_c(\downarrow, \downarrow; -, +) = -\frac{m^2}{s} \frac{2 \cos \frac{\theta}{2} \sin^2 \frac{\theta}{2}}{1 - \beta' \sin^2 \frac{\theta}{2}} \\ T_c(\uparrow, \downarrow; +, +) &= T_c(\uparrow, \downarrow; -, -) = -T_c(\downarrow, \uparrow; +, +) = -T_c(\downarrow, \uparrow; -, -) = \frac{m}{\sqrt{s}} \frac{2 \cos^2 \frac{\theta}{2} \sin \frac{\theta}{2}}{1 - \beta' \sin^2 \frac{\theta}{2}} \\ T_c(\uparrow, \downarrow; +, -) &= T_c(\uparrow, \downarrow; -, +) = -T_c(\downarrow, \uparrow; +, -) = -T_c(\downarrow, \uparrow; -, +) = \frac{m^3}{s^{3/2}} \frac{2 \sin^3 \frac{\theta}{2}}{1 - \beta' \sin^2 \frac{\theta}{2}} \end{aligned}$$

Tableau I - Amplitudes d'hélicité de la diffusion Compton

$$\begin{aligned} T_c(\uparrow, \uparrow; +, +) &= T_c(\downarrow, \downarrow; -, -) = -\frac{2}{\cos \frac{\theta}{2}} \\ T_c(\uparrow, \uparrow; -, -) &= T_c(\downarrow, \downarrow; +, +) = -2 \cos \frac{\theta}{2} \end{aligned}$$

Tableau II - Amplitudes d'hélicité non nulles de la diffusion Compton pour $m = 0$

5. A noter que les hélicités de l'état initial et de l'état final sont respectivement $\sigma_1 - \lambda_2$ et $\sigma_3 - \lambda_4$.

4.2 Amplitudes d'hélicité de la diffusion Compton avec couplage dans la voie t

Il est intéressant de comparer le calcul précédent avec celui où l'on effectue un couplage d'hélicité de voie t entre les particules, bien que ce dernier couplage soit plutôt inhabituel pour ce type de processus. Bien entendu, les amplitudes obtenues avec le couplage en voie t ne sont pas directement comparables à celles du couplage en voie s , car les hélicités des particules étant définies par rapport à d'autres axes sont différentes, sauf peut-être pour ce qui concerne les photons. Précisons ce dernier point. Comme au chapitre 3, appelons "vertex de gauche" l'association (1,3) des deux électrons et "vertex de droite" celle, (2,4), des deux photons. On a

$$X_{d\mu} = \epsilon_{\mu\nu\rho\omega} T_d^\nu Y^\rho Z_d^\omega = \frac{2}{\Lambda_d^{\frac{1}{2}}} \epsilon_{\mu\nu\rho\omega} p_2^\nu Y^\rho p_4^\omega, \quad \text{avec ici } p_2 = p(T-Z), \quad p_4 = p(T-Z'), \quad \text{et}$$

$$\Lambda_d^{\frac{1}{2}} = t = 2p^2(1 - \cos\theta), \quad \text{d'où } X_{d\mu} = \frac{1}{1 - \cos\theta} \epsilon_{\mu\nu\rho\omega} [-T^\nu Y^\rho Z'^\omega - Z^\nu Y^\rho T^\omega + Z^\nu Y^\rho Z'^\omega]$$

$$= \frac{1}{1 - \cos\theta} [-X'_\mu + X_\mu - T_\mu \sin\theta], \quad \text{soit } X_d = X - (T-Z) \cot \frac{\theta}{2} = -X' - (T-Z') \cot \frac{\theta}{2}$$

Il s'ensuit que

$$\epsilon_d^{(\lambda)} = \epsilon^{(\lambda)} + \frac{\lambda}{\sqrt{2}}(T-Z) \cot \frac{\theta}{2} = \epsilon'^{(-\lambda)} + \frac{\lambda}{\sqrt{2}}(T-Z') \cot \frac{\theta}{2} \quad (4.11)$$

On voit ainsi que le vecteur de polarisation d'un photon en voie t ne diffère de celui en voie s que par un terme proportionnel à la 4-impulsion de ce photon. Or, ce terme ne contribue pas, du fait de l'invariance de jauge de l'amplitude tensorielle générique ($p_2^\mu T_{\mu\nu} = 0$ ou $T_{\mu\nu} p_4^\nu = 0$). Les hélicités λ'_2 et λ'_4 des photons dans la voie t sont ainsi reliées à celles, λ_2 et λ_4 de la voie s par $\lambda'_2 = -\lambda_2$, $\lambda'_4 = \lambda_4$.

Un avantage apparent du couplage en voie t est que les photons y ont les mêmes vecteurs de polarisation, ce qui peut apporter des simplifications. Cependant, une difficulté apparaît concernant le cas limite $\theta = 0$. En effet, les photons étant sans masse, on a $t = 2p^2(1 - \cos\theta)$, soit $t = t_{\min} = 0$ pour $\theta = 0$. Pour cette valeur du transfert, la transformation de Lorentz permettant de passer du vertex de gauche au vertex de droite perd toute signification. Pour $t \neq 0$, le paramètre Θ de cette transformation est tel que

$$\cosh \Theta = \frac{2(s - m^2) - t}{\sqrt{t(t + 4m^2)}}, \quad \sinh \Theta = 2\sqrt{\frac{[(s - m^2)^2 - st]}{t(t + 4m^2)}} \quad (4.12)$$

et, selon ces formules, tend vers l'infini lorsqu'on fait tendre t tend vers zéro. Or, comme le montre le calcul avec le couplage en voie s , aucune divergence ne doit apparaître dans les amplitudes pour $\theta = 0$, même si $m = 0$. On veillera donc à ce que les fonctions hyperboliques (4.12), qui sont utilisées naturellement dans le couplage en voie t , n'induisent aucune divergence des amplitudes lorsque t tend vers zéro, attention qui peut en l'occurrence constituer un fil conducteur du calcul : comme $\sqrt{t} \cosh \Theta$ et $\sqrt{t} \sinh \Theta \rightarrow (s - m^2)/m$, ces fonctions devront apparaître au moins multipliées par un facteur \sqrt{t} , et éventuellement par un facteur m supplémentaire, car, comme le montre le tableau II, les amplitudes doivent également rester finies pour $m \rightarrow 0$, tant que $\theta \neq \pi$. Écrivons l'amplitude générique sous la forme

$$T_c = \overline{U}_3 \left[\frac{1}{m^2 - s} \left[(2p_1 \cdot \epsilon_2) \gamma(\epsilon_4^*) + \gamma(\epsilon_4^*) \gamma(p_2) \gamma(\epsilon_2) \right] \right. \\ \left. + \frac{1}{u + m^2} \left[(2p_3 \cdot \epsilon_2) \gamma(\epsilon_4^*) - \gamma(\epsilon_2) \gamma(p_2) \gamma(\epsilon_4^*) \right] \right] U_1 \quad (4.13)$$

avec cette fois

$$\begin{aligned}
 \epsilon_2 = \epsilon_d^{(\lambda_2)} &= -\frac{1}{\sqrt{2}} [\lambda_2 X_d + iY], \quad \epsilon_4 = \epsilon_d^{(\lambda_4)} = -\frac{1}{\sqrt{2}} [\lambda_4 X_d + iY], \quad (\lambda_{2,4} = \pm 1) \\
 T_d &= T_g \cosh \Theta - X_g \sinh \Theta, \quad X_d = X_g \cosh \Theta - T_g \sinh \Theta \\
 \overline{U}_{3\sigma_3} \gamma_\mu U_{1\sigma_1} &= 2m \delta_{\sigma_3, \sigma_1} T_{g\mu} + 2m (2\sigma_1) \delta_{\sigma_3, -\sigma_1} \sinh \xi (X_g + i(2\sigma_1)Y)_\mu \\
 \overline{U}_{3\sigma_3} \gamma_\mu \gamma_5 U_{1\sigma_1} &= 2m \delta_{\sigma_3, \sigma_1} (2\sigma_1) Z_{g\mu} + 2m \delta_{\sigma_3, -\sigma_1} \cosh \xi (X_g + i(2\sigma_1)Y)_\mu \\
 \cosh \xi &= \frac{\sqrt{t+4m^2}}{2m}, \quad \sinh \xi = \frac{\sqrt{t}}{2m} \\
 T_d &= \frac{p_2 + p_4}{\sqrt{t}}, \quad Z_d = \frac{p_4 - p_2}{\sqrt{t}}, \quad p_2 = \frac{\sqrt{t}}{2} [T_d - Z_d] = p [T - Z], \\
 p_4 &= \frac{\sqrt{t}}{2} [T_d + Z_d] = p [T - Z']
 \end{aligned}$$

$$\begin{aligned}
 \text{On a } \quad \gamma(\epsilon_4^*) \gamma(p_2) \gamma(\epsilon_2) &= -\gamma(p_2) \gamma(\epsilon_4^*) \gamma(\epsilon_2) = -\gamma(p_2) \frac{1}{2} [-1 - \lambda_2 \lambda_4 - i(\lambda_2 + \lambda_4) \gamma(X_d) \gamma(Y)] \\
 &= \delta_{\lambda_2, \lambda_4} \gamma(p_2) [1 + i\lambda_2 \gamma(X_d) \gamma(Y)] \\
 &= \delta_{\lambda_2, \lambda_4} \gamma(p_2) [1 - \lambda_2 \gamma_5] \quad \text{car } \gamma(t-z) \gamma_5 = i\gamma(t-z) \gamma(x) \gamma(y)
 \end{aligned}$$

$$\text{De même} \quad \gamma(\epsilon_2) \gamma(p_2) \gamma(\epsilon_4^*) = \delta_{\lambda_2, \lambda_4} \gamma(p_2) [1 + \lambda_2 \gamma_5]$$

$$\text{Puis} \quad p_1 \cdot \epsilon_2 = p_3 \cdot \epsilon_2 = m \frac{\lambda_2}{\sqrt{2}} \cosh \xi \sinh \Theta$$

Dans un premier temps, on obtient donc

$$\begin{aligned}
 T_c &= m \sqrt{2} \lambda_2 \cosh \xi \sinh \Theta \left[\frac{1}{u+m^2} - \frac{1}{s-m^2} \right] \overline{U}_3 \gamma(\epsilon_4^*) U_1 \\
 -\delta_{\lambda_2, \lambda_4} &\left[\frac{1}{s-m^2} \overline{U}_3 \gamma(p_2) [1 - \lambda_2 \gamma_5] U_1 + \frac{1}{u+m^2} \overline{U}_3 \gamma(p_2) [1 + \lambda_2 \gamma_5] U_1 \right] \quad (4.14)
 \end{aligned}$$

Comme

$$\begin{aligned}
 T_g \cdot \epsilon_4^* &= -\frac{\lambda_4}{\sqrt{2}} T_g \cdot X_d = \frac{\lambda_4}{\sqrt{2}} \sinh \Theta \\
 (X_g + i(2\sigma_1)Y) \cdot \epsilon_4^* &= -\frac{1}{\sqrt{2}} [\lambda_4 X_d \cdot X_g - (2\sigma_1)] = \frac{1}{\sqrt{2}} [\lambda_4 \cosh \Theta + (2\sigma_1)], \quad \text{il vient}
 \end{aligned}$$

$$\begin{aligned}
 \overline{U}_3 \gamma(\epsilon_4^*) U_1 &= 2m \delta_{\sigma_3, \sigma_1} T_g \cdot \epsilon_4^* + 2m (2\sigma_1) \delta_{\sigma_3, -\sigma_1} \sinh \xi (X_g + i(2\sigma_1)Y) \cdot \epsilon_4^* \\
 &= m\sqrt{2} \delta_{\sigma_3, \sigma_1} \lambda_4 \sinh \Theta + m\sqrt{2} \delta_{\sigma_3, -\sigma_1} \sinh \xi [1 + \lambda_4 (2\sigma_1) \cosh \Theta]
 \end{aligned}$$

Puis

$$\begin{aligned}
 \overline{U}_{3\sigma_3} \gamma(p_2) U_{1\sigma_1} &= 2m \delta_{\sigma_3, \sigma_1} T_g \cdot p_2 + 2m (2\sigma_1) \delta_{\sigma_3, -\sigma_1} \sinh \xi (X_g + i(2\sigma_1)Y) \cdot p_2 \\
 &= m \sqrt{t} \delta_{\sigma_3, \sigma_1} \cosh \Theta + m \sqrt{t} \delta_{\sigma_3, -\sigma_1} (2\sigma_1) \sinh \xi \sinh \Theta
 \end{aligned}$$

$$\overline{U}_{3\sigma_3} \gamma(p_2) \gamma_5 U_{1\sigma_1} = 2m \delta_{\sigma_3, \sigma_1} (2\sigma_1) Z_g \cdot p_2 + 2m \delta_{\sigma_3, -\sigma_1} \cosh \xi (X_g + i(2\sigma_1)Y) \cdot p_2$$

$$\begin{aligned}
 &= m \sqrt{t} \delta_{\sigma_3, \sigma_1} (2\sigma_1) + m \sqrt{t} \delta_{\sigma_3, -\sigma_1} \cosh \xi \sinh \Theta \\
 \overline{U}_{3\sigma_3} \gamma(p_2) [1 \pm \lambda_2 \gamma_5] U_{1\sigma_1} &= m \sqrt{t} \left[\delta_{\sigma_3, \sigma_1} [\cosh \Theta \pm \lambda_2 (2\sigma_1)] \right. \\
 &\quad \left. + \delta_{\sigma_3, -\sigma_1} \sinh \Theta [(2\sigma_1) \sinh \xi \pm \lambda_2 \cosh \xi] \right]
 \end{aligned}$$

L'amplitude (4.14) peut être réécrite sous la forme

$$\begin{aligned}
 T_c &= \delta_{\sigma_3, \sigma_1} T_+ + \delta_{\sigma_3, -\sigma_1} T_- \quad \text{avec} \\
 T_+ &= 2m^2 \lambda_2 \lambda_4 \cosh \xi \sinh^2 \Theta \left[\frac{1}{u+m^2} - \frac{1}{s-m^2} \right] - \delta_{\lambda_2, \lambda_4} m \sqrt{t} \cosh \Theta \left[\frac{1}{s-m^2} + \frac{1}{u+m^2} \right] \\
 &\quad - \delta_{\lambda_2, \lambda_4} m \sqrt{t} \lambda_2 (2\sigma_1) \left[\frac{1}{u+m^2} - \frac{1}{s-m^2} \right], \quad (4.15) \\
 T_- &= 2m^2 \lambda_2 \cosh \xi \sinh \xi \sinh \Theta [1 + \lambda_4 (2\sigma_1) \cosh \Theta] \left[\frac{1}{u+m^2} - \frac{1}{s-m^2} \right] \\
 &\quad - \delta_{\lambda_2, \lambda_4} m \sqrt{t} \sinh \Theta \left[\frac{(2\sigma_1) \sinh \xi - \lambda_2 \cosh \xi}{s-m^2} + \frac{(2\sigma_1) \sinh \xi + \lambda_2 \cosh \xi}{u+m^2} \right]
 \end{aligned}$$

De la relation $s = t + u + 2m^2$, on tire

$$\begin{aligned}
 s - m^2 - (u + m^2) &= t, \\
 s - m^2 + u + m^2 &= s + u = 2(s - m^2) - t = \sqrt{t(t + 4m^2)} \cosh \Theta
 \end{aligned}$$

Explicitons alors T_+ et T_- :

$$\begin{aligned}
 T_+ &= \frac{mt}{(s-m^2)(u+m^2)} \left[\sqrt{t+4m^2} [\lambda_2 \lambda_4 \sinh^2 \Theta - \delta_{\lambda_2, \lambda_4} \cosh^2 \Theta] \right. \\
 &\quad \left. - \delta_{\lambda_2, \lambda_4} \sqrt{t} \lambda_2 (2\sigma_1) \right]
 \end{aligned}$$

$$\begin{aligned}
 \text{Or, } \lambda_2 \lambda_4 \sinh^2 \Theta - \delta_{\lambda_2, \lambda_4} \cosh^2 \Theta &= -\delta_{\lambda_2, \lambda_4} + [\lambda_2 \lambda_4 - \delta_{\lambda_2, \lambda_4}] \sinh^2 \Theta \\
 &= -\delta_{\lambda_2, \lambda_4} - \delta_{\lambda_2, -\lambda_4} \sinh^2 \Theta, \\
 \text{car } \lambda_2 \lambda_4 - \delta_{\lambda_2, \lambda_4} &= -\delta_{\lambda_2, -\lambda_4}, \quad \text{d'où}
 \end{aligned}$$

$$\begin{aligned}
 T_+ &= -\frac{m}{(s-m^2)(u+m^2)} \left[t \delta_{\lambda_2, \lambda_4} \left[\sqrt{t+4m^2} + \lambda_2 (2\sigma_1) \sqrt{t} \right] \right. \\
 &\quad \left. + 4 \delta_{\lambda_2, -\lambda_4} \frac{(s-m^2)^2 - st}{\sqrt{t+4m^2}} \right]
 \end{aligned}$$

Puis,

$$\begin{aligned}
 T_- &= \frac{t \sinh \Theta}{2(s-m^2)(u+m^2)} \left[\lambda_2 \sqrt{t(t+4m^2)} [1 - \delta_{\lambda_2, \lambda_4} + \lambda_4 (2\sigma_1) \cosh \Theta] \right. \\
 &\quad \left. - \delta_{\lambda_2, \lambda_4} (2\sigma_1) (s+u) \right] \\
 &= \frac{t \sinh \Theta}{2(s-m^2)(u+m^2)} \left[\lambda_2 \delta_{\lambda_2, -\lambda_4} \sqrt{t(t+4m^2)} + (2\sigma_1) (s+u) [\lambda_2 \lambda_4 - \delta_{\lambda_2, \lambda_4}] \right]
 \end{aligned}$$

$$= \delta_{\lambda_2, -\lambda_4} \frac{t \sinh \Theta}{2(s-m^2)(u+m^2)} \left[\lambda_2 \sqrt{t(t+4m^2)} - (2\sigma_1)(s+u) \right]$$

On obtient finalement

$$\boxed{\begin{aligned} T_c = & -\delta_{\sigma_3, \sigma_1} \frac{m}{(s-m^2)(u+m^2)} \left[t \delta_{\lambda_2, \lambda_4} \left[\sqrt{t+4m^2} + \lambda_2(2\sigma_1)\sqrt{t} \right] \right. \\ & \left. + 4 \delta_{\lambda_2, -\lambda_4} \frac{(s-m^2)^2 - st}{\sqrt{t+4m^2}} \right] \\ & + \delta_{\sigma_3, -\sigma_1} \delta_{\lambda_2, -\lambda_4} \frac{t \sinh \Theta}{2(s-m^2)(u+m^2)} \left[\lambda_2 \sqrt{t(t+4m^2)} - (2\sigma_1)(s+u) \right] \end{aligned}} \quad (4.16)$$

On remarque que dans ce schéma, ce sont les amplitudes sans changement d'hélicité qui sont défavorisées dans le domaine cinématique où la masse m peut être prise égale à zéro. Bien sûr, cela provient encore de la nature vectorielle du couplage électromagnétique puisqu'alors

$$\overline{U}_{3\sigma_3} \gamma_\mu U_{1\sigma_1} \approx (2\sigma_1) \overline{U}_{3\sigma_3} \gamma_\mu \gamma_5 U_{1\sigma_1} \approx \sqrt{t} (2\sigma_1) \delta_{\sigma_3, -\sigma_1} (X_g + i(2\sigma_1)Y)_\mu$$

De même, on observe dans ce domaine un changement de signe de l'hélicité du photon. Ces résultats ne sont pas en contradiction avec ceux du couplage en voie s , en raison des changements de signe des hélicités, expliqués ailleurs, lorsqu'on passe du couplage en voie s à celui en voie t .

Lorsque $m \rightarrow 0$ tandis que t reste fini, on a $t \approx s \sin^2 \frac{\theta}{2}$, $u \approx s \cos^2 \frac{\theta}{2}$, $\sinh \Theta \approx 2 \frac{\sqrt{su}}{t}$, et

$$\begin{aligned} T_c & \approx \delta_{\sigma_3, -\sigma_1} \delta_{\lambda_2, -\lambda_4} \frac{1}{\sqrt{su}} [\lambda_2 t - (2\sigma_1)(s+u)] \\ & \approx -2(2\sigma_1) \delta_{\sigma_3, -\sigma_1} \delta_{\lambda_2, -\lambda_4} \left[\delta_{\lambda_2, 2\sigma_1} \sqrt{\frac{u}{s}} + \delta_{\lambda_2, -2\sigma_1} \sqrt{\frac{s}{u}} \right] \\ & = -2(2\sigma_1) \delta_{\sigma_3, -\sigma_1} \delta_{\lambda_2, -\lambda_4} \left[\delta_{\lambda_2, 2\sigma_1} \cos \frac{\theta}{2} + \delta_{\lambda_2, -2\sigma_1} \frac{1}{\cos \frac{\theta}{2}} \right] \end{aligned}$$

On trouve alors des amplitudes similaires à celles du tableau II.

4.3 Amplitudes d'hélicité de $\gamma + \gamma \rightarrow e^- + e^+$

La production d'une paire particule-antiparticule $e^- e^+$ par collision de deux photons réels est l'un des deux processus "croisés" de la diffusion Compton, le dernier étant la production d'une paire de photons par annihilation d'une paire $e^- e^+$. Ce processus donne un exemple de couplage d'hélicité en voie s d'un système particule-antiparticule de spin 1/2 d'une part, et de deux photons (ici réels) d'autre part. Les diagrammes de Feynman décrivant ce processus au plus bas ordre en α sont représentés à la figure (4.2). Après extraction de la constante de couplage $4\pi\alpha$, l'amplitude générique correspondante s'écrit

$$T = \overline{U}_3 \left[\gamma(\epsilon_1) \frac{m + \gamma(p_3 - p_1)}{m^2 - (p_1 - p_3)^2} \gamma(\epsilon_2) + \gamma(\epsilon_2) \frac{m + \gamma(p_3 - p_2)}{m^2 - (p_2 - p_3)^2} \gamma(\epsilon_1) \right] V_4 \quad (4.17)$$

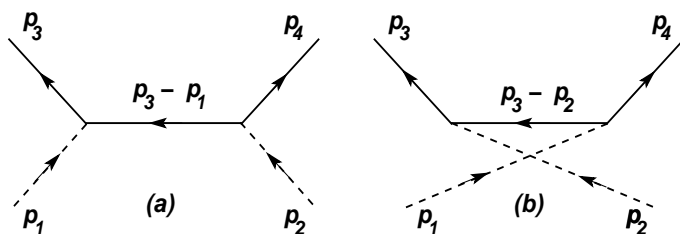


FIGURE 4.2 – Diagrammes de Feynman pour $\gamma + \gamma \rightarrow e^- + e^+$

Les notations sont les suivantes. L'électron final est représenté par le spineur $U_{3\sigma_3}$ d'hélicité σ_3 et $p_3 = ET + pZ'$ est sa 4-impulsion ; le positron final est représenté par le spineur $V_{4\sigma_4} = \gamma_5 U_{4\sigma_4}$ d'hélicité σ_4 et $p_4 = ET - pZ'$ est sa 4-impulsion ; un premier photon initial a pour vecteur de polarisation $\epsilon_1^{(\lambda_1)} = -\frac{1}{\sqrt{2}}(\lambda_1 X + iY)$ et a pour 4-impulsion $p_1 = E(T + Z)$; le second photon initial a pour vecteur de polarisation $\epsilon_2^{(\lambda_2)} = \epsilon_1^{(-\lambda_2)} = -\frac{1}{\sqrt{2}}(-\lambda_2 X + iY)$ et a pour 4-impulsion $p_2 = E(T - Z)$. On pose $s = (p_1 + p_2)^2 = (p_3 + p_4)^2$, $t = -(p_1 - p_3)^2 = -(p_2 - p_4)^2$, $u = -(p_2 - p_3)^2 = -(p_1 - p_4)^2$, et l'on a ici $E = \frac{\sqrt{s}}{2}$, $p = \beta E$ avec $\beta = \sqrt{1 - \frac{4m^2}{s}}$, m étant la masse de l'électron (ou du positron!).

Utilisant l'équation de Dirac pour l'électron, l'amplitude devient

$$T = \overline{U}_3 \left\{ \frac{1}{m^2 + t} \left[2p_3 \cdot \epsilon_1 \gamma(\epsilon_2) - \gamma(\epsilon_1) \gamma(p_1) \gamma(\epsilon_2) \right] + \frac{1}{m^2 + u} \left[2p_3 \cdot \epsilon_2 \gamma(\epsilon_1) - \gamma(\epsilon_2) \gamma(p_2) \gamma(\epsilon_1) \right] \right\} V_4$$

On a

$$\begin{aligned} -\gamma(\epsilon_1) \gamma(p_1) \gamma(\epsilon_2) &= \gamma(p_1) \gamma(\epsilon_1) \gamma(\epsilon_2), \quad \gamma(\epsilon_1) \gamma(\epsilon_2) = \frac{1}{2} [1 + \lambda_1 \lambda_2 + i(\lambda_1 + \lambda_2) \gamma(X) \gamma(Y)] \\ &= \delta_{\lambda_1, \lambda_2} [1 + i\lambda_1 \gamma(X) \gamma(Y)] \quad \text{car } \lambda_1 \lambda_2 = \pm 1 \end{aligned}$$

Or, de $\gamma_5 = i \gamma(X) \gamma(Y) \gamma(Z) \gamma(T)$, on tire

$$\gamma(X) \gamma(Y) \gamma(T + \epsilon Z) = i \epsilon \gamma(T + \epsilon Z) \gamma_5, \quad \text{avec } \epsilon = \pm 1, \quad \text{d'où}$$

$$\gamma(p_1)\gamma(X)\gamma(Y) = i\gamma(p_1)\gamma_5, \quad \gamma(p_2)\gamma(X)\gamma(Y) = -i\gamma(p_2)\gamma_5 \quad (4.18)$$

Il vient ainsi

$$\begin{aligned} -\gamma(\epsilon_1)\gamma(p_1)\gamma(\epsilon_2) &= \delta_{\lambda_1, \lambda_2}\gamma(p_1)[1 - \lambda_1\gamma_5] \quad \text{et} \\ -\gamma(\epsilon_2)\gamma(p_2)\gamma(\epsilon_1) &= \delta_{\lambda_1, \lambda_2}\gamma(p_2)[1 - \lambda_1\gamma_5] \end{aligned} \quad (4.19)$$

✎ Exprimons ci-dessous quelques produits scalaires :

comme $p_3 = E(T + \beta Z')$, il vient

$$p_3 \cdot \epsilon_1 = E\beta Z' \cdot \epsilon_1 = -\frac{E\beta\lambda_1}{\sqrt{2}}Z' \cdot X = \frac{E\beta\lambda_1}{\sqrt{2}}\sin\theta, \quad p_3 \cdot \epsilon_2 = -\frac{E\beta\lambda_2}{\sqrt{2}}\sin\theta;$$

puis

$$p_1 \cdot [X' - i(2\sigma_3)Y] = p_1 \cdot X' = E\sin\theta = -p_2 \cdot [X' - i(2\sigma_3)Y], \quad p_1 \cdot Z' = -E\cos\theta$$

$$\epsilon_1 \cdot [X' - i(2\sigma_3)Y] = \frac{1}{\sqrt{2}}[\lambda_1\cos\theta + (2\sigma_3)], \quad \epsilon_2 \cdot [X' - i(2\sigma_3)Y] = \frac{1}{\sqrt{2}}[-\lambda_2\cos\theta + (2\sigma_3)]$$

$$\epsilon_1 \cdot Z' = \frac{\lambda_1}{\sqrt{2}}\sin\theta, \quad \epsilon_2 \cdot Z' = -\frac{\lambda_2}{\sqrt{2}}\sin\theta$$

✎ Adaptant (3.48) à l'état final e^-e^+ , on a les formules

$$\begin{aligned} \overline{U}_{3\sigma_3}\gamma_\mu V_{4\sigma_4} &= 2m \left[(2\sigma_3)\delta_{\sigma_4, \sigma_3} \cosh\chi (X' - 2i\sigma_3 Y)_\mu - \delta_{\sigma_4, -\sigma_3} Z'_\mu \right] \\ \overline{U}_{3\sigma_3}\gamma_\mu\gamma_5 V_{4\sigma_4} &= 2m \left[\delta_{\sigma_4, \sigma_3} \sinh\chi (X' - 2i\sigma_3 Y)_\mu - (2\sigma_3)\delta_{\sigma_4, -\sigma_3} T_\mu \right] \end{aligned} \quad (4.20)$$

avec $2m \cosh\chi = \sqrt{s}$, $2m \sinh\chi = \beta\sqrt{s}$. On en déduit

$$\overline{U}_{3\sigma_3}\gamma(\epsilon_1)V_{4\sigma_4} = (2\sigma_3)\sqrt{s}\delta_{\sigma_4, \sigma_3}\frac{1}{\sqrt{2}}[\lambda_1\cos\theta + (2\sigma_3)] - (2m)\delta_{\sigma_4, -\sigma_3}\frac{\lambda_1}{\sqrt{2}}\sin\theta$$

$$\overline{U}_{3\sigma_3}\gamma(\epsilon_2)V_{4\sigma_4} = (2\sigma_3)\sqrt{s}\delta_{\sigma_4, \sigma_3}\frac{1}{\sqrt{2}}[-\lambda_2\cos\theta + (2\sigma_3)] + (2m)\delta_{\sigma_4, -\sigma_3}\frac{\lambda_2}{\sqrt{2}}\sin\theta$$

$$\overline{U}_{3\sigma_3}\gamma(p_1)V_{4\sigma_4} = -\overline{U}_{3\sigma_3}\gamma(p_2)V_{4\sigma_4} = (2\sigma_3)\delta_{\sigma_4, \sigma_3}\frac{s}{2}\sin\theta + \delta_{\sigma_4, -\sigma_3}m\sqrt{s}\cos\theta$$

$$\overline{U}_{3\sigma_3}\gamma(p_1)\gamma_5 V_{4\sigma_4} = \beta\frac{s}{2}\delta_{\sigma_4, \sigma_3}\sin\theta - (2\sigma_3)\delta_{\sigma_4, -\sigma_3}m\sqrt{s}$$

$$\overline{U}_{3\sigma_3}\gamma(p_2)\gamma_5 V_{4\sigma_4} = -\beta\frac{s}{2}\delta_{\sigma_4, \sigma_3}\sin\theta - (2\sigma_3)\delta_{\sigma_4, -\sigma_3}m\sqrt{s}$$

puis

$$-\overline{U}_3\gamma(\epsilon_1)\gamma(p_1)\gamma(\epsilon_2)V_{4\sigma_4} = \delta_{\lambda_1, \lambda_2} \left[\delta_{\sigma_4, \sigma_3}\frac{s}{2}\sin\theta [(2\sigma_3) - \lambda_1\beta] + \delta_{\sigma_4, -\sigma_3}m\sqrt{s}[\cos\theta + (2\sigma_3)\lambda_1] \right]$$

$$-\overline{U}_3\gamma(\epsilon_2)\gamma(p_2)\gamma(\epsilon_1)V_{4\sigma_4} = -\delta_{\lambda_1, \lambda_2} \left[\delta_{\sigma_4, \sigma_3}\frac{s}{2}\sin\theta [(2\sigma_3) - \lambda_1\beta] + \delta_{\sigma_4, -\sigma_3}m\sqrt{s}[\cos\theta - (2\sigma_3)\lambda_1] \right]$$

✎ Collectant tous ces résultats, et explicitant $t + m^2 = \frac{s}{2}[1 - \beta\cos\theta]$, $u + m^2 = \frac{s}{2}[1 + \beta\cos\theta]$, on trouve

$$\begin{aligned}
 T = T(\lambda_1, \lambda_2; \sigma_3, \sigma_4) = & \frac{1}{1 - \beta \cos \theta} \left[\beta \lambda_1 \sin \theta \left\{ [1 - (2\sigma_3)\lambda_2 \cos \theta] \delta_{\sigma_4, \sigma_3} \right. \right. \\
 & \left. \left. + \frac{2m}{\sqrt{s}} \lambda_2 \sin \theta \delta_{\sigma_4, -\sigma_3} \right\} + \delta_{\lambda_1, \lambda_2} \left\{ \delta_{\sigma_4, \sigma_3} \sin \theta [(2\sigma_3) - \lambda_1 \beta] \right. \right. \\
 & \left. \left. + \frac{2m}{\sqrt{s}} \delta_{\sigma_4, -\sigma_3} [\cos \theta + (2\sigma_3)\lambda_1] \right\} \right] \\
 & - \frac{1}{1 + \beta \cos \theta} \left[\beta \lambda_2 \sin \theta \left\{ [1 + (2\sigma_3)\lambda_1 \cos \theta] \delta_{\sigma_4, \sigma_3} - \frac{2m}{\sqrt{s}} \lambda_1 \sin \theta \delta_{\sigma_4, -\sigma_3} \right\} \right. \\
 & \left. \left. + \delta_{\lambda_1, \lambda_2} \left\{ \delta_{\sigma_4, \sigma_3} \sin \theta [(2\sigma_3) - \lambda_1 \beta] + \frac{2m}{\sqrt{s}} \delta_{\sigma_4, -\sigma_3} [\cos \theta - (2\sigma_3)\lambda_1] \right\} \right] \right] \quad (4.21)
 \end{aligned}$$

Les tableaux ci-après donnent les expressions explicites des 16 amplitudes d'hélicité du processus, tirées de (4.21), dans le cas $m \neq 0$ et dans le cas $m = 0$.

$$\begin{aligned}
 T(+, +; \uparrow, \uparrow) &= T(+, +; \downarrow, \downarrow) = T(-, -; \uparrow, \uparrow) = T(-, -; \downarrow, \downarrow) = 0 \\
 T(+, -; \uparrow, \uparrow) &= -T(-, +; \downarrow, \downarrow) = \frac{2\beta \sin \theta (1 + \cos \theta)}{1 - \beta^2 \cos^2 \theta} \\
 T(+, -; \downarrow, \downarrow) &= -T(-, +; \uparrow, \uparrow) = \frac{2\beta \sin \theta (1 - \cos \theta)}{1 - \beta^2 \cos^2 \theta} \\
 T(+, +; \uparrow, \downarrow) &= T(-, -; \downarrow, \uparrow) = \frac{4m\beta}{\sqrt{s}} \frac{1 + \beta}{1 - \beta^2 \cos^2 \theta} \\
 T(-, -; \uparrow, \downarrow) &= T(+, +; \downarrow, \uparrow) = -\frac{4m\beta}{\sqrt{s}} \frac{1 - \beta}{1 - \beta^2 \cos^2 \theta} \\
 T(+, -; \uparrow, \downarrow) &= T(-, +; \uparrow, \downarrow) = T(+, -; \downarrow, \uparrow) = T(-, +; \downarrow, \uparrow) = -\frac{4m\beta}{\sqrt{s}} \frac{\sin^2 \theta}{1 - \beta^2 \cos^2 \theta}
 \end{aligned}$$

Tableau III - Amplitudes d'hélicité de $\gamma + \gamma \rightarrow e^- + e^+$

$$\begin{aligned}
 T(+, -; \uparrow, \uparrow) &= -T(-, +; \downarrow, \downarrow) = 2 \cot \frac{\theta}{2} \\
 T(+, -; \downarrow, \downarrow) &= -T(-, +; \uparrow, \uparrow) = 2 \tan \frac{\theta}{2}
 \end{aligned}$$

Tableau IV - Amplitudes d'hélicité non nulles de $\gamma + \gamma \rightarrow e^- + e^+$ pour $m = 0$

Ici aussi, on observe que certaines amplitudes s'annulent pour $m = 0$ (en fait, pour $\sqrt{s} \gg m$) : celles pour lesquelles les hélicités de l'électron et du positron sont *opposées*, phénomène similaire à celui observé pour la diffusion Compton, et qui résulte, comme déjà indiqué, de la nature vectorielle de l'interaction électromagnétique.

4.4 Amplitudes d'hélicité de $\gamma^* + \gamma^* \rightarrow e^- + e^+$

Le processus envisagé ici diffère de celui du paragraphe précédent en ce que les deux photons entrant en collision sont maintenant supposés *virtuels*, cette appellation signifiant que ces photons sont en fait des intermédiaires décrivant une interaction électromagnétique entre deux vertex d'un diagramme de Feynman, comme par exemple ceux des diagrammes des figures (1.4) et (1.5) du chapitre 1, et que de ce fait, ils ne sont pas observables. Nous supposons qu'ils sont du genre espace et poserons $p_1^2 = -t_1 < 0$, $p_2^2 = -t_2 < 0$. Leur tétrades d'hélicité respectives dans un couplage en voie s sont définies comme au paragraphe 1.5.3 :

① photon 1

$$\epsilon_1^{(0)} = \frac{2\sqrt{t_1}}{\Lambda^{\frac{1}{2}}} \left(P + p_1 \frac{P \cdot p_1}{t_1} \right) = \frac{2\sqrt{t_1}}{\Lambda^{\frac{1}{2}}} \left(p_2 + p_1 \frac{p_2 \cdot p_1}{t_1} \right) = T_1$$

avec $P = p_1 + p_2$, $P^2 = s$, $\Lambda = \Lambda(s, -t_1, -t_2)$

$$z_1 = \frac{p_1}{\sqrt{t_1}}, \quad \epsilon_1^{(\pm)} = \mp \frac{1}{\sqrt{2}} (X \pm iY) = \epsilon^{(\pm)}$$

② photon 2

$$\epsilon_2^{(0)} = \frac{2\sqrt{t_2}}{\Lambda^{\frac{1}{2}}} \left(P + p_2 \frac{P \cdot p_2}{t_2} \right) = T_2, \quad z_2 = \frac{p_2}{\sqrt{t_2}}, \quad \epsilon_2^{(\pm)} = \epsilon_1^{(\mp)}$$

Notons que

$$\begin{aligned} T_1 &= \cosh \eta_1 T + \sinh \eta_1 Z, & z_1 &= \cosh \eta_1 Z + \sinh \eta_1 T \\ T_2 &= \cosh \eta_2 T - \sinh \eta_2 Z, & z_2 &= -\cosh \eta_2 Z + \sinh \eta_2 T \\ T_1 &= \cosh \eta T_2 - \sinh \eta z_2, & z_1 &= -\cosh \eta z_2 + \sinh \eta T_2 \\ T_2 &= \cosh \eta T_1 - \sinh \eta z_1, & z_2 &= -\cosh \eta z_1 + \sinh \eta T_1 \end{aligned}$$

avec

$$\begin{aligned} \cosh \eta_1 &= \frac{\Lambda^{\frac{1}{2}}}{2\sqrt{st_1}}, & \sinh \eta_1 &= \frac{s + t_2 - t_1}{2\sqrt{st_1}}, & \cosh \eta_2 &= \frac{\Lambda^{\frac{1}{2}}}{2\sqrt{st_2}}, & \sinh \eta_2 &= \frac{s + t_1 - t_2}{2\sqrt{st_2}} \\ \eta &= \eta_1 + \eta_2, & \cosh \eta &= \frac{s + t_1 + t_2}{2\sqrt{t_1 t_2}}, & \sinh \eta &= \frac{\Lambda^{\frac{1}{2}}}{2\sqrt{t_1 t_2}} \end{aligned}$$

et que, inversement,

$$\begin{aligned} T &= \cosh \eta_1 T_1 - \sinh \eta_1 z_1 = \cosh \eta_2 T_2 - \sinh \eta_2 z_2 \\ Z &= \cosh \eta_1 z_1 - \sinh \eta_1 T_1 = -\cosh \eta_2 z_2 + \sinh \eta_2 T_2 \end{aligned}$$

Les photons virtuels disposent chacun de trois états de polarisation : $\epsilon_1^{(0)}$, $\epsilon_1^{(\pm)}$ pour le premier, $\epsilon_2^{(0)}$, $\epsilon_2^{(\pm)}$ pour le second, correspondant aux indices d'hélicité 0 et ± 1 , ce qui conduit à déterminer 36 amplitudes d'hélicité pour ce processus. Nous écrirons son amplitude générique sous la forme

$$T = \overline{U}_3 \left\{ \frac{1}{a} \left[2p_3 \cdot \epsilon_1 \gamma(\epsilon_2) - \gamma(\epsilon_1) \gamma(p_1) \gamma(\epsilon_2) \right] + \frac{1}{b} \left[2p_3 \cdot \epsilon_2 \gamma(\epsilon_1) - \gamma(\epsilon_2) \gamma(p_2) \gamma(\epsilon_1) \right] \right\} V_4$$

$$\text{avec } a = m^2 - (p_3 - p_1)^2 = m^2 + t, \quad b = m^2 - (p_3 - p_2)^2 = m^2 + u$$

Exprimons ici les dénominateurs a et b en fonction de θ :

$$a = t_1 + 2p_1 \cdot p_3 = t_1 + \sqrt{st_1} (\sinh \eta_1 - \beta \cosh \eta_1 \cos \theta) = t_1 + \frac{1}{2} (s + t_2 - t_1) - \frac{1}{2} \beta \Lambda^{\frac{1}{2}} \cos \theta \text{ soit}$$

$$a = \sqrt{t_1 t_2} (\cosh \eta - \beta \sinh \eta \cos \theta) \text{ et de même } b = \sqrt{t_1 t_2} (\cosh \eta + \beta \sinh \eta \cos \theta)$$

Nous déterminerons séparément les amplitudes $T(0, 0; \sigma_3, \sigma_4)$, $T(0, \lambda_2; \sigma_3, \sigma_4)$, $T(\lambda_1, 0; \sigma_3, \sigma_4)$ et $T(\lambda_1, \lambda_2; \sigma_3, \sigma_4)$, avec ici $\lambda_1, \lambda_2 = \pm 1$.

• **Amplitudes** $T(0, 0; \sigma_3, \sigma_4)$

Pour ces amplitudes, $\epsilon_1 = T_1$, $\epsilon_2 = T_2$. On a

$$\gamma(\epsilon_1^{(0)}) \gamma(p_1) \gamma(\epsilon_2^{(0)}) = \sqrt{t_1} \gamma(T_1) \gamma(z_1) \gamma(T_2) \text{ et comme } \gamma(T_1) \gamma(z_1) = -\gamma(T_2) \gamma(z_2), \text{ il vient}$$

$$\gamma(\epsilon_1^{(0)}) \gamma(p_1) \gamma(\epsilon_2^{(0)}) = \sqrt{t_1} \gamma(T_1) \gamma(z_1) \gamma(T_2) = -\sqrt{t_1} \gamma(T_2) \gamma(z_2) \gamma(T_2) = \sqrt{t_1} \gamma(z_2) = \sqrt{\frac{t_1}{t_2}} \gamma(p_2)$$

$$\text{De même, } \gamma(\epsilon_2^{(0)}) \gamma(p_2) \gamma(\epsilon_1^{(0)}) = \sqrt{t_2} \gamma(z_1) = \sqrt{\frac{t_2}{t_1}} \gamma(p_1)$$

Il est judicieux d'utiliser ici l'équation $P^\mu \overline{U}_3 \gamma_\mu V_4 = 0$, qui résulte de la conservation d'un courant et qui permet d'écrire

$$\overline{U}_3 \gamma(p_2) V_4 = -\overline{U}_3 \gamma(p_1) V_4, \quad \overline{U}_3 \gamma(T_1) V_4 = \frac{\sinh \eta_1}{\cosh \eta_1} \overline{U}_3 \gamma(z_1) V_4 = \frac{\sinh \eta_1}{\sqrt{t_1} \cosh \eta_1} \overline{U}_3 \gamma(p_1) V_4$$

$$\overline{U}_3 \gamma(T_2) V_4 = \frac{\sinh \eta_2}{\cosh \eta_2} \overline{U}_3 \gamma(z_2) V_4 = \frac{\sinh \eta_2}{\sqrt{t_2} \cosh \eta_2} \overline{U}_3 \gamma(p_2) V_4 = -\frac{\sinh \eta_2}{\sqrt{t_2} \cosh \eta_2} \overline{U}_3 \gamma(p_1) V_4$$

On obtient ainsi

$$T(0, 0; \sigma_3, \sigma_4) = \overline{U}_3 \gamma(p_1) V_4 \times A \text{ avec}$$

$$A = \frac{1}{a} \left\{ -2p_3 \cdot T_1 \frac{\sinh \eta_2}{\sqrt{t_2} \cosh \eta_2} + \sqrt{\frac{t_1}{t_2}} \right\} + \frac{1}{b} \left\{ 2p_3 \cdot T_2 \frac{\sinh \eta_1}{\sqrt{t_1} \cosh \eta_1} - \sqrt{\frac{t_2}{t_1}} \right\}$$

Comme $2p_3 \cdot T_1 = \sqrt{s} (\cosh \eta_1 - \beta \sinh \eta_1 \cos \theta)$, $2p_3 \cdot T_2 = \sqrt{s} (\cosh \eta_2 + \beta \sinh \eta_2 \cos \theta)$, $\sqrt{t_1} \cosh \eta_1 = \sqrt{t_2} \cosh \eta_2 = \sqrt{\frac{t_1 t_2}{s}} \sinh \eta$, les coefficients respectifs A_1 et B_1 de $1/a$ et $1/b$ s'écrivent

$$A_1 = -\sqrt{s} \frac{\sinh \eta_2}{\sqrt{t_2} \cosh \eta_2} (\cosh \eta_1 - \beta \sinh \eta_1 \cos \theta) + \sqrt{\frac{t_1}{t_2}} = \frac{s\beta \sinh \eta_2 \sinh \eta_1 \cos \theta}{\sqrt{t_1 t_2} \sinh \eta} + \sqrt{\frac{t_1}{t_2}} - \frac{1}{2\sqrt{t_1 t_2}} (s + t_1 - t_2), \text{ soit}$$

$$\begin{aligned}
 A_1 &= \frac{s\beta \sinh \eta_2 \sinh \eta_1 \cos \theta}{\sqrt{t_1 t_2} \sinh \eta} - \frac{1}{2\sqrt{t_1 t_2}}(s - t_1 - t_2); \\
 B_1 &= \sqrt{s} \frac{\sinh \eta_1}{\sqrt{t_1} \cosh \eta_1} (\cosh \eta_2 + \beta \sinh \eta_2 \cos \theta) - \sqrt{\frac{t_2}{t_1}} \\
 &= \frac{s\beta \sinh \eta_1 \sinh \eta_2 \cos \theta}{\sqrt{t_1 t_2} \sinh \eta} + \frac{1}{2\sqrt{t_1 t_2}}(s - t_1 - t_2)
 \end{aligned}$$

Ainsi,

$$\begin{aligned}
 ab A &= \frac{s\beta \sinh \eta_1 \sinh \eta_2 \cos \theta}{\sqrt{t_1 t_2} \sinh \eta} (a+b) + \frac{1}{2\sqrt{t_1 t_2}}(s-t_1-t_2)(a-b) = \beta \cos \theta \left\{ \frac{2s \sinh \eta_1 \sinh \eta_2 \cosh \eta}{\sinh \eta} \right. \\
 &\quad \left. - \sinh \eta (s - t_1 - t_2) \right\} = \frac{\beta \cos \theta}{2\sqrt{t_1 t_2} \Lambda^{\frac{1}{2}}} \left[(s+t_2-t_1)(s+t_1-t_2)(s+t_1+t_2) - (s-t_1-t_2)\Lambda \right], \text{ soit} \\
 A &= \frac{4s \sqrt{t_1 t_2} \beta \cos \theta}{ab \Lambda^{\frac{1}{2}}}
 \end{aligned}$$

Calculons ensuite

$$\begin{aligned}
 \overline{U}_3 \gamma(p_1) V_4 &= 2m \left[(2\sigma_3) \delta_{\sigma_4, \sigma_3} \cosh \chi p_1 \cdot X' - \delta_{\sigma_4, -\sigma_3} p_1 \cdot Z' \right] \\
 &= \sqrt{t_1} \cosh \eta_1 \left[(2\sigma_3) \delta_{\sigma_4, \sigma_3} \sqrt{s} \sin \theta + 2m \delta_{\sigma_4, -\sigma_3} \cos \theta \right] \\
 &= \frac{\Lambda^{\frac{1}{2}}}{2} \left[(2\sigma_3) \delta_{\sigma_4, \sigma_3} \sin \theta + \frac{2m}{\sqrt{s}} \delta_{\sigma_4, -\sigma_3} \cos \theta \right]
 \end{aligned}$$

Les amplitudes cherchées ont donc pour expression générale

$$T(0, 0; \sigma_3, \sigma_4) = \frac{2s \sqrt{t_1 t_2} \beta \cos \theta}{ab} \left[(2\sigma_3) \delta_{\sigma_4, \sigma_3} \sin \theta + \frac{2m}{\sqrt{s}} \delta_{\sigma_4, -\sigma_3} \cos \theta \right] \quad (4.22)$$

soit, explicitement,

$$\begin{aligned}
 T(0, 0; \uparrow, \uparrow) &= -T(0, 0; \downarrow, \downarrow) = \frac{2s \sqrt{t_1 t_2} \beta \cos \theta \sin \theta}{ab} \\
 T(0, 0; \uparrow, \downarrow) &= T(0, 0; \downarrow, \uparrow) = \frac{4m \sqrt{s t_1 t_2} \beta \cos^2 \theta}{ab}
 \end{aligned} \quad (4.23)$$

• **Amplitudes** $T(0, \lambda_2; \sigma_3, \sigma_4)$

Pour calculer ces amplitudes, il apparaît plus avantageux d'exprimer leur forme générique comme

$$T = \overline{U}_3 \left\{ \frac{1}{a} \left[2p_3 \cdot \epsilon_1 \gamma(\epsilon_2) - \gamma(\epsilon_1) \gamma(p_1) \gamma(\epsilon_2) \right] + \frac{1}{b} \left[-2p_4 \cdot \epsilon_1 \gamma(\epsilon_2) + \gamma(\epsilon_2) \gamma(p_1) \gamma(\epsilon_1) \right] \right\} V_4$$

En effet, on a maintenant ($\lambda_2 = \pm 1$)

$$\begin{aligned} \gamma(\epsilon_1)\gamma(p_1)\gamma(\epsilon_2) &= \sqrt{t_1}\gamma(T_1)\gamma(z_1)\gamma(\epsilon_1^{(-\lambda_2)}) = \lambda_2\sqrt{t_1}\gamma(\epsilon_1^{(-\lambda_2)})\gamma_5 \\ 2p_3 \cdot T_1 &= \sqrt{s}(\cosh \eta_1 - \beta \sinh \eta_1 \cos \theta), \quad 2p_4 \cdot T_1 = \sqrt{s}(\cosh \eta_1 + \beta \sinh \eta_1 \cos \theta) \end{aligned}$$

de sorte que

$$\begin{aligned} abT &= \overline{U}_3\gamma(\epsilon_2)V_4\left\{\sqrt{s}\cosh \eta_1(b-a) - \sinh \eta_1\sqrt{s}\beta\cos \theta(a+b)\right\} \\ &+ \overline{U}_3\gamma(\epsilon_2)\gamma_5V_4\left\{\lambda_2\sqrt{t_1}(a+b)\right\} = 2\sqrt{s t_1 t_2}\beta\cos \theta\sinh \eta_2\overline{U}_3\gamma(\epsilon_2)V_4 \\ &+ 2\lambda_2 t_1\sqrt{t_2}\cosh \eta\overline{U}_3\gamma(\epsilon_2)\gamma_5V_4, \quad \text{soit} \end{aligned}$$

$$T = \frac{\sqrt{t_1}}{ab}\left\{(s+t_1-t_2)\beta\cos \theta\overline{U}_3\gamma(\epsilon_2)V_4 + \lambda_2(s+t_1+t_2)\overline{U}_3\gamma(\epsilon_2)\gamma_5V_4\right\}$$

Or,

$$\begin{aligned} \overline{U}_3\gamma(\epsilon_2)V_4 &= \delta_{\sigma_3,\sigma_4}\sqrt{\frac{s}{2}}\left[1 - \lambda_2(2\sigma_3)\cos \theta\right] + \frac{2m}{\sqrt{2}}\lambda_2\sin \theta\delta_{\sigma_3,-\sigma_4} \\ \overline{U}_3\gamma(\epsilon_2)\gamma_5V_4 &= \delta_{\sigma_3,\sigma_4}(2\sigma_3)\beta\sqrt{\frac{s}{2}}\left[1 - \lambda_2(2\sigma_3)\cos \theta\right] \end{aligned}$$

d'où l'amplitude

$$\begin{aligned} T(0, \lambda_2; \sigma_3, \sigma_4) &= \sqrt{\frac{s t_1}{2}}\frac{\beta}{ab}\left\{\delta_{\sigma_3,\sigma_4}\left[1 - \lambda_2(2\sigma_3)\cos \theta\right]\left[(s+t_1-t_2)\cos \theta\right. \right. \\ &\left. \left. + (2\sigma_3)\lambda_2(s+t_1+t_2)\right] + \delta_{\sigma_3,-\sigma_4}\frac{2m}{\sqrt{s}}\lambda_2(s+t_1-t_2)\sin \theta\right\} \end{aligned} \quad (4.24)$$

Explicitement,

$$\begin{aligned} T(0, +; \uparrow, \uparrow) &= T(0, -; \downarrow, \downarrow) = \sqrt{\frac{s t_1}{2}}\frac{\beta}{ab}\left[1 - \cos \theta\right]\left[(s+t_1-t_2)\cos \theta\right. \\ &\left. + (s+t_1+t_2)\right] \\ T(0, +; \downarrow, \downarrow) &= T(0, -; \uparrow, \uparrow) = \sqrt{\frac{s t_1}{2}}\frac{\beta}{ab}\left[1 + \cos \theta\right]\left[(s+t_1-t_2)\cos \theta\right. \\ &\left. - (s+t_1+t_2)\right] \\ T(0, +; \uparrow, \downarrow) &= T(0, +; \downarrow, \uparrow) = -T(0, -; \uparrow, \downarrow) = -T(0, -; \downarrow, \uparrow) \\ &= \frac{m\beta\sqrt{2}t_1}{ab}(s+t_1-t_2)\sin \theta\cos \theta \end{aligned} \quad (4.25)$$

• **Amplitudes** $T(\lambda_1, 0; \sigma_3, \sigma_4)$

Symétriquement au cas précédent, l'amplitude générique sera ici présentée sous la forme

$$T = \overline{U}_3 \left\{ \frac{1}{a} \left[-2p_4 \cdot \epsilon_2 \gamma(\epsilon_1) + \gamma(\epsilon_1) \gamma(p_2) \gamma(\epsilon_2) \right] + \frac{1}{b} \left[2p_3 \cdot \epsilon_2 \gamma(\epsilon_1) - \gamma(\epsilon_2) \gamma(p_2) \gamma(\epsilon_1) \right] \right\} V_4$$

où $\epsilon_2 = T_2$, $\epsilon_1 = \epsilon_1^{(\lambda_1)}$, $\lambda_1 = \pm 1$. Ensuite, on utilise les identités $\gamma(\epsilon_1) \gamma(p_2) \gamma(T_2) = \sqrt{t_2} \lambda_1 \gamma(\epsilon_1) \gamma_5$, $2p_3 \cdot T_2 = \sqrt{s} (\cosh \eta_2 - \beta \sinh \eta_2 \cos \theta)$, $2p_4 \cdot T_2 = \sqrt{s} (\cosh \eta_2 + \beta \sinh \eta_2 \cos \theta)$, pour obtenir

$$\begin{aligned} abT &= \sqrt{t_2} \lambda_1 \overline{U}_3 \gamma(\epsilon_1) \gamma_5 V_4 (a+b) + \sqrt{s} \overline{U}_3 \gamma(\epsilon_1) V_4 \left[\cosh \eta_2 (a-b) + \beta \sinh \eta_2 \cos \theta (a+b) \right] \\ &= \sqrt{t_2} \left[\lambda_1 (s+t_1+t_2) \overline{U}_3 \gamma(\epsilon_1) \gamma_5 V_4 - (s+t_2-t_1) \beta \cos \theta \overline{U}_3 \gamma(\epsilon_1) V_4 \right] \end{aligned}$$

Les remplacements

$$\begin{aligned} \overline{U}_3 \gamma(\epsilon_1) V_4 &= \delta_{\sigma_3, \sigma_4} \sqrt{\frac{s}{2}} \left[1 + \lambda_1 (2\sigma_3) \cos \theta \right] - \frac{2m}{\sqrt{2}} \lambda_1 \sin \theta \delta_{\sigma_3, -\sigma_4} \\ \overline{U}_3 \gamma(\epsilon_1) \gamma_5 V_4 &= \delta_{\sigma_3, \sigma_4} (2\sigma_3) \beta \sqrt{\frac{s}{2}} \left[1 + \lambda_1 (2\sigma_3) \cos \theta \right] \end{aligned}$$

conduisent enfin à l'expression

$$\begin{aligned} T(\lambda_1, 0; \sigma_3, \sigma_4) &= \sqrt{\frac{s t_2}{2}} \frac{\beta}{ab} \left\{ \delta_{\sigma_3, \sigma_4} \left[1 + \lambda_1 (2\sigma_3) \cos \theta \right] \left[- (s+t_2-t_1) \cos \theta \right. \right. \\ &\quad \left. \left. + (2\sigma_3) \lambda_1 (s+t_1+t_2) \right] + \delta_{\sigma_3, -\sigma_4} \frac{2m}{\sqrt{s}} \lambda_2 (s+t_2-t_1) \sin \theta \right\} \end{aligned} \quad (4.26)$$

et explicitement aux amplitudes

$$\begin{aligned} T(+, 0; \uparrow, \uparrow) &= T(-, 0; \downarrow, \downarrow) = \sqrt{\frac{s t_2}{2}} \frac{\beta}{ab} \left[1 + \cos \theta \right] \left[- (s+t_2-t_1) \cos \theta \right. \\ &\quad \left. + (s+t_1+t_2) \right] \\ T(+, 0; \downarrow, \downarrow) &= T(-, 0; \uparrow, \uparrow) = -\sqrt{\frac{s t_2}{2}} \frac{\beta}{ab} \left[1 - \cos \theta \right] \left[(s+t_2-t_1) \cos \theta \right. \\ &\quad \left. + (s+t_1+t_2) \right] \\ T(+, 0; \uparrow, \downarrow) &= T(+, 0; \downarrow, \uparrow) = -T(-, 0; \uparrow, \downarrow) = -T(-, 0; \downarrow, \uparrow) \\ &= \frac{m\beta \sqrt{2} t_2}{ab} (s+t_2-t_1) \sin \theta \cos \theta \end{aligned} \quad (4.27)$$

• **Amplitudes** $T(\lambda_1, \lambda_2; \sigma_3, \sigma_4)$, $(\lambda_1, \lambda_2 = \pm 1)$

Ecrivons l'amplitude générique sous la forme

$$T = \overline{U}_3 \left\{ \frac{1}{a} \left[2p_3 \cdot \epsilon_2 \gamma(\epsilon_2) - \gamma(\epsilon_1) \gamma(p_1) \gamma(\epsilon_2) \right] + \frac{1}{b} \left[-2p_4 \cdot \epsilon_1 \gamma(\epsilon_2) + \gamma(\epsilon_2) \gamma(p_1) \gamma(\epsilon_1) \right] \right\} V_4$$

avec $\epsilon_1 = \frac{1}{\sqrt{2}}(-\lambda_1 X - iY)$, $\epsilon_2 = \frac{1}{\sqrt{2}}(\lambda_2 X - iY)$. On a $2p_3 \cdot \epsilon_1 = -2p_4 \cdot \epsilon_1 = \lambda_1 \sqrt{\frac{s}{2}} \beta \sin \theta$, et de $\gamma(\epsilon_1) \gamma(\epsilon_2) = \delta_{\lambda_1, \lambda_2} [1 - \lambda_1 \gamma(T_1) \gamma(z_1) \gamma_5]$, $\gamma(\epsilon_2) \gamma(\epsilon_1) = \delta_{\lambda_1, \lambda_2} [1 + \lambda_1 \gamma(T_1) \gamma(z_1) \gamma_5]$, on tire

$$\gamma(\epsilon_1) \gamma(p_1) \gamma(\epsilon_2) = \sqrt{t_1} \delta_{\lambda_1, \lambda_2} [\gamma(z_1) - \lambda_1 \gamma(T_1) \gamma_5]$$

$$\gamma(\epsilon_2) \gamma(p_1) \gamma(\epsilon_1) = \sqrt{t_1} \delta_{\lambda_1, \lambda_2} [\gamma(z_1) + \lambda_1 \gamma(T_1) \gamma_5]$$

D'où

$$\begin{aligned} abT &= (a+b) \left\{ \beta \lambda_1 \sqrt{\frac{s}{2}} \sin \theta \overline{U}_3 \gamma(\epsilon_2) V_4 - \delta_{\lambda_1, \lambda_2} \sqrt{t_1} \overline{U}_3 \gamma(T_1) \gamma_5 V_4 \right\} \\ &+ \delta_{\lambda_1, \lambda_2} \sqrt{t_1} (b-a) \overline{U}_3 \gamma(z_1) V_4 = (s+t_1+t_2) \left\{ \beta \lambda_1 \sqrt{\frac{s}{2}} \sin \theta \overline{U}_3 \gamma(\epsilon_2) V_4 - \delta_{\lambda_1, \lambda_2} \sqrt{t_1} \overline{U}_3 \gamma(T_1) \gamma_5 V_4 \right\} \\ &+ \delta_{\lambda_1, \lambda_2} \sqrt{t_1} \beta \cos \theta \Lambda^{\frac{1}{2}} \overline{U}_3 \gamma(z_1) V_4 \end{aligned}$$

Exprimons les formes bilinéaires :

$$\begin{aligned} \overline{U}_3 \gamma(\epsilon_2) V_4 &= \frac{1}{\sqrt{2}} \left[\delta_{\sigma_3, \sigma_4} \sqrt{s} [1 - \lambda_2 (2\sigma_3) \cos \theta] + 2m \lambda_2 \delta_{\sigma_3, -\sigma_4} \sin \theta \right] \\ \overline{U}_3 \gamma(T_1) \gamma_5 V_4 &= \delta_{\sigma_3, \sigma_4} \beta \sqrt{s} \sin \theta \sinh \eta_1 - 2m (2\sigma_3) \delta_{\sigma_3, -\sigma_4} \cosh \eta_1 \cos \theta \\ &= \frac{1}{2\sqrt{st_1}} \left[(s+t_2-t_1) \delta_{\sigma_3, \sigma_4} \beta \sqrt{s} \sin \theta - 2m (2\sigma_3) \delta_{\sigma_3, -\sigma_4} \Lambda^{\frac{1}{2}} \cos \theta \right] \\ \overline{U}_3 \gamma(z_1) V_4 &= \cosh \eta_1 \left[(2\sigma_3) \sqrt{s} \delta_{\sigma_3, \sigma_4} \sin \theta + 2m \delta_{\sigma_3, -\sigma_4} \cos \theta \right] \\ &= \frac{\Lambda^{\frac{1}{2}}}{2\sqrt{st_1}} \left[(2\sigma_3) \sqrt{s} \delta_{\sigma_3, \sigma_4} \sin \theta + 2m \delta_{\sigma_3, -\sigma_4} \cos \theta \right] \end{aligned}$$

Posant $Z = s + t_1 + t_2$ et $X = s + t_2 - t_1$, on en déduit l'amplitude générique

$$\begin{aligned} T(\lambda_1, \lambda_2; \sigma_3, \sigma_4) &= \delta_{\sigma_3, \sigma_4} \frac{\beta \sin \theta}{2ab} \left\{ \lambda_1 s Z [1 - \lambda_2 (2\sigma_3) \cos \theta] \right. \\ &\quad \left. - \delta_{\lambda_1, \lambda_2} \lambda_1 X Z + \delta_{\lambda_1, \lambda_2} (2\sigma_3) \Lambda \cos \theta \right\} \\ &+ \delta_{\sigma_3, -\sigma_4} \frac{m}{ab\sqrt{s}} \left\{ \lambda_1 \lambda_2 s \beta Z \sin^2 \theta + \lambda_1 (2\sigma_3) \delta_{\lambda_1, \lambda_2} Z \Lambda^{\frac{1}{2}} \right. \\ &\quad \left. + \delta_{\lambda_1, \lambda_2} \beta \Lambda \cos^2 \theta \right\} \end{aligned} \tag{4.28}$$

et explicitement les 16 amplitudes suivantes :

$$\begin{aligned}
 T(+, +; \uparrow, \uparrow) &= -T(-, -; \downarrow, \downarrow) = \frac{\beta \sin \theta}{2ab} \left\{ sZ(1 - \cos \theta) + \Lambda \cos \theta - XZ \right\} \\
 T(+, +; \downarrow, \downarrow) &= -T(-, -; \uparrow, \uparrow) = \frac{\beta \sin \theta}{2ab} \left\{ sZ(1 + \cos \theta) - \Lambda \cos \theta - XZ \right\} \\
 T(+, +; \uparrow, \downarrow) &= T(-, -; \downarrow, \uparrow) = \frac{m}{ab\sqrt{s}} \left\{ s\beta Z \sin^2 \theta + \beta\Lambda \cos^2 \theta + Z\Lambda^{\frac{1}{2}} \right\} \\
 T(+, +; \downarrow, \uparrow) &= T(-, -; \uparrow, \downarrow) = \frac{m}{ab\sqrt{s}} \left\{ s\beta Z \sin^2 \theta + \beta\Lambda \cos^2 \theta - Z\Lambda^{\frac{1}{2}} \right\} \\
 T(+, -; \uparrow, \uparrow) &= -T(-, +; \downarrow, \downarrow) = \frac{sZ\beta \sin \theta}{2ab} (1 + \cos \theta) \\
 T(+, -; \downarrow, \downarrow) &= -T(-, +; \uparrow, \uparrow) = \frac{sZ\beta \sin \theta}{2ab} (1 - \cos \theta) \\
 T(+, -; \uparrow, \downarrow) &= T(+, -; \downarrow, \uparrow) = T(-, +; \uparrow, \downarrow) = T(-, +; \downarrow, \uparrow) \\
 &= -\frac{m\beta Z \sqrt{s} \sin^2 \theta}{ab}
 \end{aligned} \tag{4.29}$$

4.5 Amplitudes d'hélicité de $\gamma^* + \gamma^* \rightarrow \pi^- + \pi^+$

A titre de comparaison avec les amplitudes d'hélicité du paragraphe précédent, il nous paraît intéressant de calculer celles correspondant à la production, par collision de deux photons virtuels, d'une paire de particules sans spin, telles que les pions π^- et π^+ . Les pions étant des particules hadroniques, leur interaction électromagnétique est certainement plus compliquée que celle obtenue en appliquant naïvement le principe de couplage minimum au lagrangien libre d'un pion chargé. Cependant, dans notre optique de comparaison, il nous suffira de considérer l'amplitude de Born dudit processus, déduite de ce principe. Utilisant les mêmes notations, elle s'écrit

$$A(\lambda_1, \lambda_2) = 4\pi\alpha \epsilon_1^\mu \epsilon_2^\nu T_{\mu\nu} \quad \text{avec}$$

$$T_{\mu\nu} = -2g_{\mu\nu} + \frac{1}{a} (2p_3 - p_1)_\mu (2p_4 - p_2)_\nu + \frac{1}{b} (2p_4 - p_1)_\mu (2p_3 - p_2)_\nu$$

• Amplitude $T(0, 0)$

En tenant compte du fait que $p_1^\mu T_{\mu\nu} = T_{\mu\nu} p_2^\nu = 0$, on obtient

$$T(0, 0) = \frac{4\sqrt{t_1 t_2}}{\Lambda^{\frac{1}{2}}} P^\mu P^\nu T_{\mu\nu} = \frac{4\sqrt{t_1 t_2}}{\Lambda^{\frac{1}{2}}} \left[-2s + 4(P \cdot p_3)(P \cdot p_4) \left(\frac{1}{a} + \frac{1}{b} \right) \right] \quad \text{soit}$$

$$\boxed{
 T(0, 0) = \frac{4s\sqrt{t_1 t_2}}{\Lambda^{\frac{1}{2}}} \left[\frac{sZ}{ab} - 2 \right]
 } \tag{4.30}$$

• **Amplitudes** $T(\lambda_1, 0)$, $(\lambda_1 = \pm 1)$

$$\begin{aligned} T(\lambda_1, 0) &= \frac{2\sqrt{t_2}}{\Lambda^{\frac{1}{2}}} \left[\frac{4}{a} (\epsilon_1 \cdot p_3)(P \cdot p_4) + \frac{4}{b} (\epsilon_1 \cdot p_4)(P \cdot p_3) \right] = \frac{8\sqrt{t_2}}{\Lambda^{\frac{1}{2}}} (\epsilon_1 \cdot p_3)(P \cdot p_4) \left[\frac{1}{a} - \frac{1}{b} \right] \\ &= \frac{2s\sqrt{t_2}}{\Lambda^{\frac{1}{2}}} \left[\lambda_1 \sqrt{\frac{s}{2}} \beta \sin \theta \right] \left[\frac{1}{a} - \frac{1}{b} \right] \quad \text{soit} \end{aligned}$$

$$T(\lambda_1, 0) = \lambda_1 \frac{s\sqrt{2st_2} \beta^2 \sin \theta \cos \theta}{ab} \quad (4.31)$$

• **Amplitudes** $T(0, \lambda_2)$, $(\lambda_2 = \pm 1, \epsilon_2 = \epsilon_1^{(-\lambda_2)})$

$$\begin{aligned} T(0, \lambda_2) &= \frac{2\sqrt{t_1}}{\Lambda^{\frac{1}{2}}} \left[\frac{4}{a} (P \cdot p_3)(\epsilon_2 \cdot p_4) + \frac{4}{b} (P \cdot p_4)(\epsilon_2 \cdot p_3) \right] = \frac{8\sqrt{t_1}}{\Lambda^{\frac{1}{2}}} (P \cdot p_3)(\epsilon_2 \cdot p_4) \left[\frac{1}{a} - \frac{1}{b} \right] \\ &= \frac{2s\sqrt{t_1}}{\Lambda^{\frac{1}{2}}} \left[\lambda_2 \sqrt{\frac{s}{2}} \beta \sin \theta \right] \left[\frac{1}{a} - \frac{1}{b} \right] \quad \text{soit} \end{aligned}$$

$$T(0, \lambda_2) = \lambda_2 \frac{s\sqrt{2st_1} \beta^2 \sin \theta \cos \theta}{ab} \quad (4.32)$$

• **Amplitudes** $T(\lambda_1, \lambda_2)$, $(\lambda_1, \lambda_2 = \pm 1)$

$$\begin{aligned} T(\lambda_1, \lambda_2) &= -2\delta_{\lambda_2, \lambda_1} + \frac{4(\epsilon_1 \cdot p_3)(\epsilon_2 \cdot p_4)}{a} + \frac{4(\epsilon_1 \cdot p_4)(\epsilon_2 \cdot p_3)}{b} = -2\delta_{\lambda_2, \lambda_1} \\ &\quad + \lambda_1 \lambda_2 s \beta^2 \sin^2 \theta \left[\frac{1}{a} + \frac{1}{b} \right] \quad \text{soit} \end{aligned}$$

$$T(\lambda_1, \lambda_2) = -2\delta_{\lambda_2, \lambda_1} + \lambda_1 \lambda_2 \frac{sZ \beta^2 \sin^2 \theta}{ab} \quad (4.33)$$

4.6 Amplitudes d'hélicité de $e^- + e^- \rightarrow e^- + e^-$

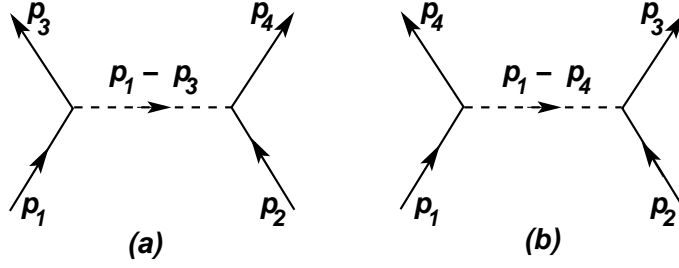


FIGURE 4.3 – (a) : Diagrammes de Feynman de la diffusion Møller.

Dans ce processus, appelé diffusion Møller⁶, les particules initiales et finales sont toutes identiques et donc de même masse m . Les notations sont celles de la figure (3.1). Au plus bas ordre en α , elle est représentée par les deux diagrammes de Feynman de la figure (4.3) et son amplitude, divisée par $4\pi\alpha$ s'écrit⁷

$$T_m = \frac{1}{t} \overline{U}_3 \gamma_\mu U_1 \overline{U}_4 \gamma^\mu U_2 - \frac{1}{u} \overline{U}_4 \gamma_\mu U_1 \overline{U}_3 \gamma^\mu U_2 \quad (4.34)$$

$$t = -(p_1 - p_3)^2, \quad u = -(p_1 - p_4)^2$$

Les facteurs $X_1 = \overline{U}_{3\sigma_3} \gamma_\mu U_{1\sigma_1} \overline{U}_{4\sigma_4} \gamma^\mu U_{2\sigma_2}$ et $X_2 = \overline{U}_{4\sigma_4} \gamma_\mu U_{1\sigma_1} \overline{U}_{3\sigma_3} \gamma^\mu U_{2\sigma_2}$ peuvent être calculés facilement en utilisant des formules du type (3.69), avec des spineurs normalisés selon $\overline{U}U = 2m$. En effet, prenant

$$\begin{aligned} \overline{U}_{3\sigma_3} \gamma_\mu U_{1\sigma_1} &= 2m \delta_{\sigma_3, \sigma_1} \left[\left[T_\mu \cosh \chi \cos \frac{\theta}{2} \right. \right. \\ &+ \left. \left. \sinh \chi \left[Z_\mu \cos \frac{\theta}{2} + (X + 2i\sigma_1 Y)_\mu \sin \frac{\theta}{2} \right] \right] \right] - 2m (2\sigma_1) \delta_{\sigma_3, -\sigma_1} T_\mu \sin \frac{\theta}{2} \\ \overline{U}_{4\sigma_4} \gamma_\mu U_{2\sigma_2} &= 2m \delta_{\sigma_4, \sigma_2} \left[\left[T_\mu \cosh \chi \cos \frac{\theta}{2} \right. \right. \\ &+ \left. \left. \sinh \chi \left[-Z_\mu \cos \frac{\theta}{2} + (-X + 2i\sigma_2 Y)_\mu \sin \frac{\theta}{2} \right] \right] \right] - 2(2\sigma_2) m \delta_{\sigma_4, -\sigma_2} T_\mu \sin \frac{\theta}{2} \\ \overline{U}_{3\sigma_3} \gamma_\mu U_{2\sigma_2} &= 2m \delta_{\sigma_3, \sigma_2} \left[\left[T_\mu \cosh \chi \sin \frac{\theta}{2} \right. \right. \\ &+ \left. \left. \sinh \chi \left[-Z_\mu \sin \frac{\theta}{2} + (X - 2i\sigma_2 Y)_\mu \sin \frac{\theta}{2} \right] \right] \right] + 2(2\sigma_2) m \delta_{\sigma_3, -\sigma_2} T_\mu \cos \frac{\theta}{2} \\ \overline{U}_{4\sigma_4} \gamma_\mu U_{1\sigma_1} &= -2m \delta_{\sigma_4, \sigma_1} \left[\left[T_\mu \cosh \chi \sin \frac{\theta}{2} \right. \right. \\ &+ \left. \left. \sinh \chi \left[Z_\mu \sin \frac{\theta}{2} - (X + 2i\sigma_1 Y)_\mu \sin \frac{\theta}{2} \right] \right] \right] - 2(2\sigma_1) m \delta_{\sigma_4, -\sigma_1} T_\mu \cos \frac{\theta}{2} \end{aligned}$$

et effectuant les produits scalaires appropriés tout en tenant compte de $1 + 4\sigma_1\sigma_2 = 2\delta_{\sigma_2, \sigma_1}$, on trouve

6. C. Møller, Ann. d. Physik 14, 568 (1932).

7. Le signe “-” entre les deux termes de l’amplitude provient du fait que le passage de l’un à l’autre implique l’échange de deux fermions.

$$\begin{aligned}
 X_1 &= 4m^2 \left[\cosh \chi \cos \frac{\theta}{2} \delta_{\sigma_3, \sigma_1} - (2\sigma_1) \delta_{\sigma_3, -\sigma_1} \sin \frac{\theta}{2} \right] \left[\cosh \chi \cos \frac{\theta}{2} \delta_{\sigma_4, \sigma_2} \right. \\
 &\quad \left. - (2\sigma_2) \delta_{\sigma_4, -\sigma_2} \sin \frac{\theta}{2} \right] + 4m^2 \delta_{\sigma_3, \sigma_1} \delta_{\sigma_4, \sigma_2} \sinh^2 \chi \left[\cos^2 \frac{\theta}{2} + 2 \delta_{\sigma_2, \sigma_1} \sin^2 \frac{\theta}{2} \right] \\
 X_2 &= -4m^2 \left[\cosh \chi \sin \frac{\theta}{2} \delta_{\sigma_4, \sigma_1} + (2\sigma_1) \delta_{\sigma_4, -\sigma_1} \cos \frac{\theta}{2} \right] \left[\cosh \chi \sin \frac{\theta}{2} \delta_{\sigma_3, \sigma_2} \right. \\
 &\quad \left. + (2\sigma_2) \cos \frac{\theta}{2} \delta_{\sigma_3, \sigma_2} \right] - 4m^2 \delta_{\sigma_4, \sigma_1} \delta_{\sigma_3, \sigma_2} \sinh^2 \chi \left[\sin^2 \frac{\theta}{2} + 2 \delta_{\sigma_2, \sigma_1} \cos^2 \frac{\theta}{2} \right]
 \end{aligned} \tag{4.35}$$

On en déduit les expressions des amplitudes $T_m(\sigma_1, \sigma_2, ;, \sigma_3, \sigma_4)$ du tableau V.

$$\begin{aligned}
 T_m(\uparrow, \uparrow; \uparrow, \uparrow) &= T_m(\downarrow, \downarrow; \downarrow, \downarrow) = \frac{4}{\beta^2} \left[\frac{1 + \beta^2}{\sin^2 \theta} - \frac{2m^2}{s} \right] \\
 T_m(\uparrow, \uparrow; \downarrow, \downarrow) &= T_m(\downarrow, \downarrow; \uparrow, \uparrow) = \frac{8m^2}{s\beta^2} \\
 T_m(\uparrow, \uparrow; \uparrow, \downarrow) &= T_m(\uparrow, \uparrow; \downarrow, \uparrow) = -T_m(\uparrow, \downarrow; \uparrow, \uparrow) = -T_m(\downarrow, \uparrow; \uparrow, \uparrow) \\
 &= -T_m(\downarrow, \downarrow; \downarrow, \uparrow) = -T_m(\downarrow, \downarrow; \uparrow, \downarrow) = T_m(\downarrow, \uparrow; \downarrow, \downarrow) = T_m(\uparrow, \downarrow; \downarrow, \downarrow) \\
 &= -\frac{4m}{\sqrt{s}\beta^2} \frac{\cos \theta}{\sin \theta} \\
 T_m(\uparrow, \downarrow; \downarrow, \uparrow) &= T_m(\downarrow, \uparrow; \uparrow, \downarrow) = \frac{1}{\beta^2} \left[\frac{1 + \beta^2}{\sin^2 \frac{\theta}{2}} - 2 \right] \\
 T_m(\uparrow, \downarrow; \uparrow, \downarrow) &= T_m(\downarrow, \uparrow; \downarrow, \uparrow) = \frac{1}{\beta^2} \left[\frac{1 + \beta^2}{\cos^2 \frac{\theta}{2}} - 2 \right]
 \end{aligned} \tag{4.36}$$

Tableau V - Amplitudes d'hélicité de la diffusion Møller

A titre de vérification de ces formules, nous proposons au lecteur de retrouver l'expression bien connue⁸ de la somme des carrés des amplitudes T_m (obtenue par un calcul ordinaire de trace) :

$$\sum_{\sigma_i} |T_m|^2 = 16 \left(\frac{1 + \beta^2}{\beta^2} \right)^2 \left\{ \frac{4}{\sin^4 \theta} - \frac{3}{\sin^2 \theta} + \left(\frac{\beta^2}{1 + \beta^2} \right)^2 \left[1 + \frac{4}{\sin^2 \theta} \right] \right\} \tag{4.37}$$

8. Voir par exemple, V. Berestetski, E. Lifchitz, L. Pitayevski, "Electrodynamique Quantique", Cours de Physique Théorique de L. Landau et E. Lifchitz, Tome 4, § 81, Ed. Librairie du Globe et Ed. Mir (1989).

4.7 Amplitudes d'hélicité de $\gamma + e^- \rightarrow e^- + \mu^- + \mu^+$

Ce processus de production de trois leptons (“trident”) par collision électron-photon, dont une paire muon μ^- – anti-muon μ^+ , sera ici envisagé du seul point de vue de l’Electrodynamique Quantique, excluant ainsi un échange possible de la particule Z ou la production de particule (hormis un photon) ou de résonance se désintégrant ensuite en une paire $\mu^- \mu^+$. Considéré à l’ordre le plus bas vis-à-vis de la constante électromagnétique α , il est décrit par les diagrammes de Feynman de la figure 4.4. Cette figure contient deux séries de diagrammes, représentant chacune une voie possible pour ce processus. La première série (a) se rapporte à “l’émission” par l’électron d’un photon virtuel du genre espace, conduisant au sous-processus $\gamma + \gamma^* \rightarrow \mu^- + \mu^+$. Dans la seconde série (b) apparaît, comme sous-processus, une diffusion Compton virtuelle $\gamma + e \rightarrow \gamma^* + e$, où le photon virtuel émis est cette fois du genre temps, ce photon “lourd” se “désintégrant” par la suite en une paire $\mu^- \mu^+$.

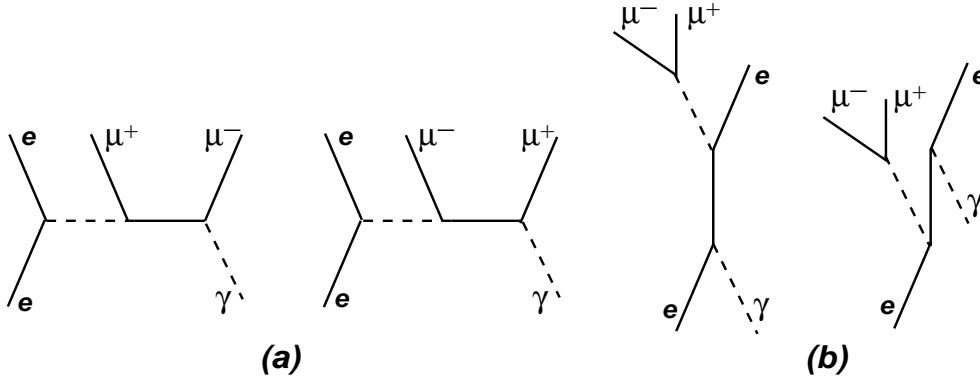


FIGURE 4.4 – Diagrammes de Feynman pour $\gamma + e^- \rightarrow e^- + \mu^- + \mu^+$, sans échange de Z , ni production de résonance vectorielle

Dans ce qui suit, les amplitudes d’hélicité dudit processus seront calculées uniquement dans le cas des masses nulles, en utilisant le couplage d’hélicité symétrique pour l’état final et le couplage en voie s pour l’état initial. L’amplitude générique est la somme des amplitudes correspondant aux diagrammes (a) et (b) respectivement :

$$\begin{aligned}
 T_{\text{trident}} &= \epsilon_2^\mu [T_\mu^a + T_\mu^b], \quad \text{avec} \\
 T_\mu^a &= -\frac{\bar{U}_3 \gamma^\nu U_1}{(p_1 - p_3)^2} \bar{U}_4 T_{\mu\nu}^a V_5, \quad T_\mu^b = -\frac{\bar{U}_4 \gamma^\nu V_5}{(p_4 + p_5)^2} \bar{U}_3 T_{\mu\nu}^b U_1, \quad \text{où} \\
 T_{\mu\nu}^a &= \left[\frac{p_{4\mu}}{p_2 \cdot p_4} - \frac{p_{5\mu}}{p_2 \cdot p_5} \right] \gamma_\nu - \frac{1}{2p_2 \cdot p_4} \gamma_\mu \gamma(p_2) \gamma_\nu + \frac{1}{2p_2 \cdot p_5} \gamma_\nu \gamma(p_2) \gamma_\mu, \\
 T_{\mu\nu}^b &= \left[\frac{p_{3\mu}}{p_2 \cdot p_3} - \frac{p_{1\mu}}{p_2 \cdot p_1} \right] \gamma_\nu - \frac{1}{2p_2 \cdot p_3} \gamma_\mu \gamma(p_2) \gamma_\nu - \frac{1}{2p_2 \cdot p_1} \gamma_\nu \gamma(p_2) \gamma_\mu
 \end{aligned} \tag{4.38}$$

La constante de couplage $e^3 = (4\pi\alpha)^{3/2}$ a été extraite. Les indices sont attribués ainsi : indice 1 pour l’électron incident, indices 2 et μ pour le photon réel incident, indice 3 pour l’électron émergent, indice 4 pour le muon μ^- , indice 5 pour son anti-particule μ^+ . L’électron incident est supposé se propager selon l’axe Z du référentiel du centre de masse de la réaction, et le photon incident, en sens inverse. Par conséquent, on a

$$p_1 = \frac{\sqrt{s}}{2} [T + Z], \quad p_2 = \frac{\sqrt{s}}{2} [T - Z], \quad \epsilon_2^{(\lambda)} = \frac{1}{\sqrt{2}} [\lambda X - iY], \quad \text{où}$$

$$s = (p_1 + p_2)^2 = (p_3 + p_4 + p_5)^2$$

Nous utiliserons la décomposition

$$\gamma_\mu \gamma_\alpha \gamma_\nu = g_{\mu\alpha} \gamma_\nu - g_{\mu\nu} \gamma_\alpha + g_{\alpha\nu} \gamma_\mu - i \epsilon_{\mu\alpha\nu\omega} \gamma^\omega \gamma_5$$

pour exprimer les tenseurs (4.38) sous la forme

$$T_{\mu\nu}^a = A_{\mu\nu\alpha}^a \gamma^\alpha + i B_{\mu\nu\alpha}^a \gamma^\alpha \gamma_5, \quad T_{\mu\nu}^b = A_{\mu\nu\alpha}^b \gamma^\alpha + i B_{\mu\nu\alpha}^b \gamma^\alpha \gamma_5, \quad \text{avec}$$

$$A_{\mu\nu\alpha}^a = \left[\frac{p_{4\mu}}{p_2 \cdot p_4} - \frac{p_{5\mu}}{p_2 \cdot p_5} \right] g_{\nu\alpha} + \frac{1}{2} \left[\frac{1}{p_2 \cdot p_5} - \frac{1}{p_2 \cdot p_4} \right] [p_{2\mu} g_{\nu\alpha} - g_{\mu\nu} p_{2\alpha} + p_{2\nu} g_{\mu\alpha}]$$

$$B_{\mu\nu\alpha}^a = \frac{1}{2} \left[\frac{1}{p_2 \cdot p_5} + \frac{1}{p_2 \cdot p_4} \right] \epsilon_{\mu\nu\alpha\omega} p_2^\omega$$

$$A_{\mu\nu\alpha}^b = \left[\frac{p_{3\mu}}{p_2 \cdot p_3} - \frac{p_{1\mu}}{p_2 \cdot p_1} \right] g_{\nu\alpha} - \frac{1}{2} \left[\frac{1}{p_2 \cdot p_1} + \frac{1}{p_2 \cdot p_3} \right] [p_{2\mu} g_{\nu\alpha} - g_{\mu\nu} p_{2\alpha} + p_{2\nu} g_{\mu\alpha}]$$

$$B_{\mu\nu\alpha}^b = \frac{1}{2} \left[\frac{1}{p_2 \cdot p_3} - \frac{1}{p_2 \cdot p_1} \right] \epsilon_{\mu\nu\alpha\omega} p_2^\omega$$

Supposant nulles les masses des leptons, on peut utiliser les formules suivantes⁹

$$V_5 = \gamma_5 U_5 = (2\sigma_5) U_5$$

$$\bar{U}_\ell \gamma^\mu U_k = \delta_{\sigma_\ell \sigma_k} \sqrt{(2E_\ell)(2E_k)} G_{\ell k}^\mu(\sigma_k), \quad \text{avec}$$

$$G_{\ell k}^\mu(\sigma) = e^{i\sigma(\varphi_\ell - \varphi_k)} \cos \frac{\theta_\ell}{2} \cos \frac{\theta_k}{2} [T + Z]^\mu + e^{-i\sigma(\varphi_\ell - \varphi_k)} \sin \frac{\theta_\ell}{2} \sin \frac{\theta_k}{2} [T - Z]^\mu \\ + e^{-i\sigma(\varphi_\ell + \varphi_k)} \sin \frac{\theta_\ell}{2} \cos \frac{\theta_k}{2} [X + i(2\sigma)Y]^\mu + e^{i\sigma(\varphi_\ell + \varphi_k)} \cos \frac{\theta_\ell}{2} \sin \frac{\theta_k}{2} [X - i(2\sigma)Y]^\mu$$

On notera que

$$G_{nm}(\sigma') \cdot G_{\ell k}(\sigma) = 2 \delta_{\sigma', \sigma} H_{n\ell}(\sigma) H_{mk}^*(\sigma) + 2 \delta_{\sigma', -\sigma} H_{m\ell}(\sigma) H_{nk}^*(\sigma), \quad \text{où} \\ H_{n\ell}(\sigma) = e^{i\sigma(\varphi_n - \varphi_\ell)} \cos \frac{\theta_n}{2} \sin \frac{\theta_\ell}{2} - e^{-i\sigma(\varphi_n - \varphi_\ell)} \sin \frac{\theta_n}{2} \cos \frac{\theta_\ell}{2} = -H_{\ell n}(\sigma), \quad \text{avec} \\ |H_{n\ell}(\sigma)|^2 = \sin^2 \frac{\theta_{n\ell}}{2}$$

① Amplitudes relatives à la série de diagrammes (a)

Ecrivons

$$T^a = \epsilon_2^\mu T_\mu^a = \frac{1}{2p_1 \cdot p_3} \sqrt{(2E_1)(2E_3)(2E_4)(2E_5)} \delta_{\sigma_3, \sigma_1} \delta_{\sigma_4, \sigma_5} (2\sigma_4) X_a, \quad (4.39)$$

$$\text{avec} \quad X_a = \epsilon_2^\mu G_{31}^\nu(\sigma_1) G_{45}^\alpha(\sigma_4) [A_{\mu\nu\alpha}^a + i(2\sigma_4) B_{\mu\nu\alpha}^a],$$

9. Voir section 3.5.

$$\begin{aligned} \text{soit } X_a &= \left[\frac{\epsilon_2 \cdot p_4}{p_2 \cdot p_4} - \frac{\epsilon_2 \cdot p_5}{p_2 \cdot p_5} \right] G_{45}(\sigma_4) \cdot G_{31}(\sigma_1) + \\ &+ \frac{1}{2} \left[\frac{1}{p_2 \cdot p_5} - \frac{1}{p_2 \cdot p_4} \right] [p_2 \cdot G_{31}(\sigma_1) \epsilon_2 \cdot G_{45}(\sigma_4) - \epsilon_2 \cdot G_{31}(\sigma_1) p_2 \cdot G_{45}(\sigma_4)] \\ &+ (2\sigma_4) \frac{i}{2} \epsilon_{\mu\nu\alpha\omega} \epsilon_2^\mu p_2^\omega G_{31}^\nu(\sigma_1) G_{45}^\alpha(\sigma_4) \left[\frac{1}{p_2 \cdot p_4} + \frac{1}{p_2 \cdot p_5} \right] \end{aligned}$$

Comme

$$\epsilon_{\mu\nu\alpha\omega} \epsilon_2^\mu p_2^\omega = -i\lambda [p_{2\nu} \epsilon_{2\alpha} - p_{2\alpha} \epsilon_{2\nu}]$$

X_a peut être récrit sous la forme

$$\begin{aligned} X_a &= \left[\frac{\epsilon_2 \cdot p_4}{p_2 \cdot p_4} - \frac{\epsilon_2 \cdot p_5}{p_2 \cdot p_5} \right] G_{45}(\sigma_4) \cdot G_{31}(\sigma_1) \\ &+ [p_2 \cdot G_{31}(\sigma_1) \epsilon_2 \cdot G_{45}(\sigma_4) - \epsilon_2 \cdot G_{31}(\sigma_1) p_2 \cdot G_{45}(\sigma_4)] \left[\frac{\delta_{\lambda, 2\sigma_4}}{p_2 \cdot p_5} - \frac{\delta_{\lambda, -2\sigma_4}}{p_2 \cdot p_4} \right] \end{aligned}$$

Compte tenu du fait que $\theta_1 = 0$, $\varphi_1 = 0$, $\sigma_3 = \sigma_1$, on a

$$p_2 \cdot G_{31}(\sigma_1) = \sqrt{s} \cos \frac{\theta_3}{2} e^{i\sigma_1 \varphi_3}, \quad \epsilon_2 \cdot G_{31}(\sigma_1) = -\sqrt{2} \lambda \delta_{\lambda, 2\sigma_1} \sin \frac{\theta_3}{2} e^{-i\sigma_1 \varphi_3}$$

Puis

$$\begin{aligned} p_2 \cdot G_{45}(\sigma_4) &= \sqrt{s} \cos \frac{\theta_4}{2} \cos \frac{\theta_5}{2} e^{i\sigma_4(\varphi_4 - \varphi_5)}, \\ \epsilon_2 \cdot G_{45}(\sigma_4) &= -\sqrt{2} \lambda \left[e^{-i\sigma_4(\varphi_4 + \varphi_5)} \sin \frac{\theta_4}{2} \cos \frac{\theta_5}{2} \delta_{\lambda, 2\sigma_4} + e^{i\sigma_4(\varphi_4 + \varphi_5)} \cos \frac{\theta_4}{2} \sin \frac{\theta_5}{2} \delta_{\lambda, -2\sigma_4} \right], \\ \epsilon_2 \cdot p_k &= -\frac{\lambda}{\sqrt{2}} E_k \sin \theta_k e^{-i\lambda \varphi_k}, \quad p_2 \cdot p_k = \sqrt{s} E_k \cos^2 \frac{\theta_k}{2} \end{aligned}$$

Calculons alors

$$\begin{aligned} Q_1 &= p_2 \cdot G_{31}(\sigma_1) \epsilon_2 \cdot G_{45}(\sigma_4) - \epsilon_2 \cdot G_{31}(\sigma_1) p_2 \cdot G_{45}(\sigma_4) = -\lambda \sqrt{2s} \cos \frac{\theta_3}{2} e^{i\sigma_1 \varphi_3} \times \\ &\times \left[e^{-i\sigma_4(\varphi_4 + \varphi_5)} \sin \frac{\theta_4}{2} \cos \frac{\theta_5}{2} \delta_{\lambda, 2\sigma_4} + e^{i\sigma_4(\varphi_4 + \varphi_5)} \cos \frac{\theta_4}{2} \sin \frac{\theta_5}{2} \delta_{\lambda, -2\sigma_4} \right] + \lambda \sqrt{2s} \times \\ &\times \delta_{\lambda, 2\sigma_1} \sin \frac{\theta_3}{2} e^{-i\sigma_1 \varphi_3} \cos \frac{\theta_4}{2} \cos \frac{\theta_5}{2} e^{i\sigma_4(\varphi_4 - \varphi_5)} \end{aligned}$$

Utilisant la décomposition

$$Q_1 = \delta_{\sigma_4, \sigma_1} Q_1(\sigma_4 = \sigma_1) + \delta_{\sigma_4, -\sigma_1} Q_1(\sigma_4 = -\sigma_1),$$

on trouve

$$\begin{aligned} Q_1 &= -\lambda \sqrt{2s} \left[\delta_{\sigma_4, \sigma_1} \left\{ \cos \frac{\theta_3}{2} e^{i\sigma_1 \varphi_3} \left[e^{-i\sigma_1(\varphi_4 + \varphi_5)} \sin \frac{\theta_4}{2} \cos \frac{\theta_5}{2} \delta_{\lambda, 2\sigma_1} \right. \right. \right. \\ &+ \left. \left. \left. e^{i\sigma_1(\varphi_4 + \varphi_5)} \cos \frac{\theta_4}{2} \sin \frac{\theta_5}{2} \delta_{\lambda, -2\sigma_1} \right] - \delta_{\lambda, 2\sigma_1} \sin \frac{\theta_3}{2} e^{-i\sigma_1 \varphi_3} \cos \frac{\theta_4}{2} \cos \frac{\theta_5}{2} e^{i\sigma_1(\varphi_4 - \varphi_5)} \right\} \right. \\ &+ \left. \delta_{\sigma_4, -\sigma_1} \left\{ \cos \frac{\theta_3}{2} e^{i\sigma_1 \varphi_3} \left[e^{i\sigma_1(\varphi_4 + \varphi_5)} \sin \frac{\theta_4}{2} \cos \frac{\theta_5}{2} \delta_{\lambda, -2\sigma_1} + e^{-i\sigma_1(\varphi_4 + \varphi_5)} \cos \frac{\theta_4}{2} \sin \frac{\theta_5}{2} \delta_{\lambda, 2\sigma_1} \right] \right\} \right] \end{aligned}$$

$$\begin{aligned}
 & \left. -\delta_{\lambda,2\sigma_1} \sin \frac{\theta_3}{2} e^{-i\sigma_1\varphi_3} \cos \frac{\theta_4}{2} \cos \frac{\theta_5}{2} e^{-i\sigma_1(\varphi_4-\varphi_5)} \right\} \Bigg], \text{ soit} \\
 Q_1 = & -\lambda \sqrt{2s} \left[\left[\delta_{\sigma_4,\sigma_1} \left\{ \delta_{\lambda,-2\sigma_1} \cos \frac{\theta_3}{2} \cos \frac{\theta_4}{2} \sin \frac{\theta_5}{2} e^{i\sigma_1(\varphi_3+\varphi_4+\varphi_5)} \right. \right. \right. \\
 & \left. \left. - \delta_{\lambda,2\sigma_1} \cos \frac{\theta_5}{2} e^{-i\sigma_1\varphi_5} H_{43}(\sigma_1) \right\} + \delta_{\sigma_4,-\sigma_1} \left\{ \delta_{\lambda,-2\sigma_1} \cos \frac{\theta_3}{2} \cos \frac{\theta_5}{2} \sin \frac{\theta_4}{2} e^{i\sigma_1(\varphi_3+\varphi_4+\varphi_5)} \right. \right. \\
 & \left. \left. - \delta_{\lambda,2\sigma_1} \cos \frac{\theta_4}{2} e^{-i\sigma_1\varphi_4} H_{53}(\sigma_1) \right\} \right] \Bigg]
 \end{aligned}$$

Puis

$$\begin{aligned}
 Q_1 \left[\frac{\delta_{\lambda,2\sigma_4}}{p_2 \cdot p_5} - \frac{\delta_{\lambda,-2\sigma_4}}{p_2 \cdot p_4} \right] = & -\lambda \sqrt{2s} \left[\frac{1}{p_2 \cdot p_5} \left[\delta_{\sigma_4,-\sigma_1} \delta_{\lambda,-2\sigma_1} \cos \frac{\theta_3}{2} \cos \frac{\theta_5}{2} \sin \frac{\theta_4}{2} e^{i\sigma_1(\varphi_3+\varphi_4+\varphi_5)} \right. \right. \\
 & \left. \left. - \delta_{\sigma_4,\sigma_1} \delta_{\lambda,2\sigma_1} \cos \frac{\theta_5}{2} e^{-i\sigma_1\varphi_5} H_{43}(\sigma_1) \right] - \frac{1}{p_2 \cdot p_4} \left[\delta_{\sigma_4,\sigma_1} \delta_{\lambda,-2\sigma_1} \cos \frac{\theta_3}{2} \cos \frac{\theta_4}{2} \sin \frac{\theta_5}{2} e^{i\sigma_1(\varphi_3+\varphi_4+\varphi_5)} \right. \right. \\
 & \left. \left. - \delta_{\sigma_4,-\sigma_1} \delta_{\lambda,2\sigma_1} \cos \frac{\theta_4}{2} e^{-i\sigma_1\varphi_4} H_{53}(\sigma_1) \right] \right] = Q'_1 \quad (4.40)
 \end{aligned}$$

Calculons ensuite

$$\begin{aligned}
 Q_2 = & \left[\frac{\epsilon_2 \cdot p_4}{p_2 \cdot p_4} - \frac{\epsilon_2 \cdot p_5}{p_2 \cdot p_5} \right] G_{45}(\sigma_4) \cdot G_{31}(\sigma_1) = \lambda \sqrt{2} \left[\frac{E_4 \sin \theta_4 e^{-i\lambda\varphi_4}}{p_2 \cdot p_4} - \frac{E_5 \sin \theta_5 e^{-i\lambda\varphi_5}}{p_2 \cdot p_5} \right] \times \\
 & \times \left[\delta_{\sigma_4,\sigma_1} \sin \frac{\theta_5}{2} e^{i\sigma_1\varphi_5} H_{43}(\sigma_1) + \delta_{\sigma_4,-\sigma_1} \sin \frac{\theta_4}{2} e^{i\sigma_1\varphi_4} H_{53}(\sigma_1) \right]
 \end{aligned}$$

On a

$$\begin{aligned}
 \frac{E_4 \sin \theta_4 e^{-i\lambda\varphi_4}}{p_2 \cdot p_4} - \frac{E_5 \sin \theta_5 e^{-i\lambda\varphi_5}}{p_2 \cdot p_5} = & \frac{2}{\sqrt{s}} \left[\tan \frac{\theta_4}{2} e^{-i\lambda(\varphi_4-\varphi_5)/2} - \tan \frac{\theta_5}{2} e^{i\lambda(\varphi_4-\varphi_5)/2} \right] \times \\
 & \times e^{-i\lambda(\varphi_4+\varphi_5)/2} = -\frac{2}{\sqrt{s}} e^{-i\lambda(\varphi_4+\varphi_5)/2} \frac{H_{45}(\lambda/2)}{\cos \frac{\theta_4}{2} \cos \frac{\theta_5}{2}}, \text{ d'où} \\
 Q_2 = & -\frac{2\lambda\sqrt{2}}{\sqrt{s}} \frac{e^{-i\lambda(\varphi_4+\varphi_5)/2}}{\cos \frac{\theta_4}{2} \cos \frac{\theta_5}{2}} \left[\delta_{\lambda,2\sigma_1} H_{45}(\sigma_1) + \delta_{\lambda,-2\sigma_1} H_{45}^*(\sigma_1) \right] \times \\
 & \times \left[\delta_{\sigma_4,\sigma_1} \sin \frac{\theta_5}{2} e^{i\sigma_1\varphi_5} H_{43}(\sigma_1) + \delta_{\sigma_4,-\sigma_1} \sin \frac{\theta_4}{2} e^{i\sigma_1\varphi_4} H_{53}(\sigma_1) \right] \quad (4.41)
 \end{aligned}$$

Pour simplifier l'écriture, nous poserons $x_i = \frac{2E_i}{\sqrt{s}}$, $c_i = \cos \frac{\theta_i}{2}$, $s_i = \sin \frac{\theta_i}{2}$, pour $i = 3, 4, 5$.
Compte tenu des expressions (4.40) et (4.41), l'amplitude X_a sera écrite sous la forme

$$X_a = \frac{2\sqrt{2}(2\sigma_1)}{\sqrt{s}} X'_a, \text{ avec}$$

$$X'_a = \delta_{\sigma_4,\sigma_1} \delta_{\lambda,2\sigma_1} X_1 + \delta_{\sigma_4,-\sigma_1} \delta_{\lambda,2\sigma_1} X_2 + \delta_{\sigma_4,\sigma_1} \delta_{\lambda,-2\sigma_1} X_3 + \delta_{\sigma_4,-\sigma_1} \delta_{\lambda,-2\sigma_1} X_4 \quad (4.42)$$

On trouve

$$\begin{aligned}
 X_1 &= \frac{e^{-i\sigma_1\varphi_5}}{x_5 c_5 c_4} H_{43}(\sigma_1) \left[c_4 - x_5 s_5 e^{i\sigma_1(\varphi_5-\varphi_4)} H_{45}(\sigma_1) \right] \\
 X_2 &= -\frac{e^{-i\sigma_1\varphi_4}}{x_4 c_4 c_5} H_{53}(\sigma_1) \left[c_5 + x_4 s_4 e^{i\sigma_1(\varphi_4-\varphi_5)} H_{45}(\sigma_1) \right] \\
 X_3 &= -\frac{s_5 e^{i\sigma_1(\varphi_3+\varphi_4+\varphi_5)}}{x_4 c_4 c_5} \left[c_3 c_5 - x_4 e^{i\sigma_1(\varphi_5-\varphi_3)} H_{45}^*(\sigma_1) H_{43}(\sigma_1) \right] \\
 X_4 &= \frac{s_4 e^{i\sigma_1(\varphi_3+\varphi_4+\varphi_5)}}{x_5 c_5 c_4} \left[c_3 c_4 + x_5 e^{i\sigma_1(\varphi_4-\varphi_3)} H_{45}^*(\sigma_1) H_{53}(\sigma_1) \right]
 \end{aligned} \tag{4.43}$$

② Amplitudes relatives à la série de diagrammes (b)

A part quelques petites variantes, le calcul des amplitudes des diagrammes (b) est similaire au précédent. Ecrivant

$$T^b = \epsilon_2^\mu T_\mu^b = -\frac{1}{2p_4 \cdot p_5} \sqrt{(2E_1)(2E_3)(2E_4)(2E_5)} \delta_{\sigma_3, \sigma_1} \delta_{\sigma_4, \sigma_5} (2\sigma_4) X_b, \tag{4.44}$$

$$\text{où } X_b = \epsilon_2^\mu G_{31}^\alpha(\sigma_1) G_{45}^\nu(\sigma_4) [A_{\mu\nu\alpha}^b + i(2\sigma_1) B_{\mu\nu\alpha}^b],$$

$$\begin{aligned}
 \text{soit } X_b &= \frac{\epsilon_2 \cdot p_3}{p_2 \cdot p_3} G_{45}(\sigma_4) \cdot G_{31}(\sigma_1) + \\
 &+ \frac{1}{2} \left[\frac{1}{p_2 \cdot p_3} + \frac{1}{p_2 \cdot p_1} \right] [p_2 \cdot G_{31}(\sigma_1) \epsilon_2 \cdot G_{45}(\sigma_4) - \epsilon_2 \cdot G_{31}(\sigma_1) p_2 \cdot G_{45}(\sigma_4)] \\
 &+ (2\sigma_1) \frac{i}{2} \epsilon_{\mu\nu\alpha\omega} \epsilon_2^\mu p_2^\omega G_{31}^\alpha(\sigma_1) G_{45}^\nu(\sigma_4) \left[\frac{1}{p_2 \cdot p_3} - \frac{1}{p_2 \cdot p_1} \right]
 \end{aligned}$$

ou encore

$$\begin{aligned}
 X_b &= \frac{\epsilon_2 \cdot p_3}{p_2 \cdot p_3} G_{45}(\sigma_4) \cdot G_{31}(\sigma_1) + \\
 &+ \left[\frac{\delta_{\lambda, 2\sigma_1}}{p_2 \cdot p_1} + \frac{\delta_{\lambda, -2\sigma_1}}{p_2 \cdot p_3} \right] [p_2 \cdot G_{31}(\sigma_1) \epsilon_2 \cdot G_{45}(\sigma_4) - \epsilon_2 \cdot G_{31}(\sigma_1) p_2 \cdot G_{45}(\sigma_4)]
 \end{aligned}$$

on obtient X_b sous la forme

$$X_b = \frac{2\sqrt{2}(2\sigma_1)}{\sqrt{s}} X'_b, \quad \text{avec}$$

$$X'_b = \delta_{\sigma_4, \sigma_1} \delta_{\lambda, 2\sigma_1} Y_1 + \delta_{\sigma_4, -\sigma_1} \delta_{\lambda, 2\sigma_1} Y_2 + \delta_{\sigma_4, \sigma_1} \delta_{\lambda, -2\sigma_1} Y_3 + \delta_{\sigma_4, -\sigma_1} \delta_{\lambda, -2\sigma_1} Y_4 \tag{4.45}$$

et

$$\begin{aligned}
 Y_1 &= \frac{e^{-i\sigma_1\varphi_5}}{c_3} H_{43}(\sigma_1) \left[c_3 c_5 + s_3 s_5 e^{2i\sigma_1(\varphi_5-\varphi_3)} \right] \\
 Y_2 &= \frac{e^{-i\sigma_1\varphi_4}}{c_3} H_{53}(\sigma_1) \left[c_3 c_4 + s_3 s_4 e^{2i\sigma_1(\varphi_4-\varphi_5)} \right] \\
 Y_3 &= \frac{s_5 e^{i\sigma_1(\varphi_3+\varphi_4+\varphi_5)}}{x_3 c_3} \left[c_4 - x_3 s_3 e^{i\sigma_1(\varphi_3-\varphi_4)} H_{43}(\sigma_1) \right] \\
 Y_4 &= \frac{s_4 e^{i\sigma_1(\varphi_3+\varphi_4+\varphi_5)}}{x_3 c_3} \left[c_5 - x_3 s_3 e^{i\sigma_1(\varphi_3-\varphi_5)} H_{53}(\sigma_1) \right]
 \end{aligned} \tag{4.46}$$

③ Formules de cinématique

Les variables énergies et angles des particules finales (de masses nulles) considérées ici sont relatives au référentiel (T, X, Y, Z) du centre de masse de la réaction. Elles satisfont les relations

$$\begin{aligned}
 \sqrt{s} &= E_3 + E_4 + E_5 \\
 0 &= E_3 \cos \theta_3 + E_4 \cos \theta_4 + E_5 \cos \theta_5 \\
 0 &= E_3 \sin \theta_3 \cos \varphi_3 + E_4 \sin \theta_4 \cos \varphi_4 + E_5 \sin \theta_5 \cos \varphi_5 \\
 0 &= E_3 \sin \theta_3 \sin \varphi_3 + E_4 \sin \theta_4 \sin \varphi_4 + E_5 \sin \theta_5 \sin \varphi_5
 \end{aligned} \tag{4.47}$$

qui montrent que les énergies des particules doivent s'exprimer en fonctions des variables angulaires. Dans ledit référentiel, les 3-impulsions des particules finales sont dans un même plan. Notant $\theta_{k\ell}$ l'angle, inférieur à π , entre les 3-impulsions des particules k et ℓ , on a $\theta_{34} + \theta_{35} + \theta_{45} = 2\pi$, on trouve ($x_k = 2E_k/\sqrt{s}$)

$$x_3 = 1 - \cot \frac{\theta_{34}}{2} \cot \frac{\theta_{35}}{2}, \quad x_4 = 1 - \cot \frac{\theta_{34}}{2} \cot \frac{\theta_{45}}{2}, \quad x_5 = 1 - \cot \frac{\theta_{35}}{2} \cot \frac{\theta_{45}}{2} \tag{4.48}$$

Il est utile de rappeler que

$$\cos \theta_{k\ell} = \cos \theta_k \cos \theta_\ell + \sin \theta_k \sin \theta_\ell \cos(\varphi_k - \varphi_\ell) \tag{4.49}$$

Combinant les deux premières relations de (4.47), on trouve aussi

$$\begin{aligned}
 x_3 c_3^2 + x_4 c_4^2 + x_5 c_5^2 &= 1, \quad x_3 s_3^2 + x_4 s_4^2 + x_5 s_5^2 = 1, \quad \text{et} \\
 x_3 + x_4 + x_5 &= 2
 \end{aligned} \tag{4.50}$$

Les carrés des masses invariantes $W_{k\ell}^2 = (p_k + p_\ell)^2$ et le transfert $t = -(p_1 - p_3)^2$ s'expriment comme suit

$$\begin{aligned}
 t &= s x_3 s_3^2, \quad W_{34}^2 = s x_3 x_4 \sin^2 \frac{\theta_{34}}{2} = s(1 - x_5), \\
 W_{35}^2 &= s x_3 x_5 \sin^2 \frac{\theta_{35}}{2} = s(1 - x_4), \quad W_{45}^2 = s x_4 x_5 \sin^2 \frac{\theta_{45}}{2} = s(1 - x_3)
 \end{aligned} \tag{4.51}$$

④ **Taux d'interaction**

L'amplitude totale du processus s'écrit

$$T = T_a + T_b = 2\sqrt{2}s(2\sigma_4)(2\sigma_1) \delta_{\sigma_3, \sigma_1} \delta_{\sigma_5, \sigma_4} \sqrt{x_3 x_4 x_5} \left[\frac{X'_a}{t} - \frac{X'_b}{W_{45}^2} \right]$$

et le taux d'interaction correspondant est

$$\mathcal{I} = \sum_{\sigma_k, \lambda} |T|^2 = 16s \sum_{i=1}^4 |Z_i|^2, \quad \text{avec} \quad Z_i = x_3 x_4 x_5 \left[\frac{X_i}{t} - \frac{Y_i}{W_{45}^2} \right]$$

En utilisant les formules de cinématique établies précédemment, on trouve

$$\begin{aligned} x_3 x_4 x_5 |X_1|^2 &= \frac{1}{x_4 c_4^2 x_5 c_5^2} x_3 s_3^2 (1-x_5)^2 \\ x_3 x_4 x_5 |X_2|^2 &= \frac{1}{x_4 c_4^2 x_5 c_5^2} x_3 s_3^2 (1-x_4)^2 \\ x_3 x_4 x_5 |X_3|^2 &= \frac{1}{x_4 c_4^2 x_5 c_5^2} x_3 s_3^2 x_5^2 s_5^4 \\ x_3 x_4 x_5 |X_4|^2 &= \frac{1}{x_4 c_4^2 x_5 c_5^2} x_3 s_3^2 x_4^2 s_4^4, \\ x_3 x_4 x_5 |Y_1|^2 &= \frac{1}{x_3 c_3^2} (1-x_3)(1-x_5)^2 \\ x_3 x_4 x_5 |Y_2|^2 &= \frac{1}{x_3 c_3^2} (1-x_3)(1-x_4)^2 \\ x_3 x_4 x_5 |Y_3|^2 &= \frac{1}{x_3 c_3^2} (1-x_3) x_5^2 s_5^4 \\ x_3 x_4 x_5 |Y_4|^2 &= \frac{1}{x_3 c_3^2} (1-x_3) x_4^2 s_4^4 \end{aligned} \tag{4.52}$$

On en déduit les taux d'interaction correspondant aux diagrammes (a) et (b) pris séparément :

$$\begin{aligned} \mathcal{I}_a &= \frac{16}{t^2} \times t [(1-x_4)^2 + (1-x_5)^2 + x_4^2 s_4^4 + x_5^2 s_5^4] \times \frac{1}{x_4 c_4^2 x_5 c_5^2} \\ \mathcal{I}_b &= \frac{16}{W_{45}^4} \times W_{45}^2 [(1-x_4)^2 + (1-x_5)^2 + x_4^2 s_4^4 + x_5^2 s_5^4] \times \frac{1}{x_3 c_3^2} \end{aligned} \tag{4.53}$$

Nous ferons ici trois commentaires. D'après (4.53), le taux \mathcal{I}_a est proportionnel à $1/t$ et non pas à $1/t^2$. Ceci pouvait être prévu en considérant la formule de factorisation (1.139) du chapitre 1. En effet, pour un vertex leptonique et dans le cas des masses nulles, on trouve $L = 8m^2 = 0$ et $T = 2t$, ce qui fait tomber une puissance de t au dénominateur de la formule (1.142). Ensuite, on observe une grande similarité entre \mathcal{I}_a et \mathcal{I}_b . Ceci n'est pas étonnant car les deux séries de diagrammes ont la même structure et l'on passe des premiers aux seconds en effectuant les substitutions (compte tenu des masses nulles, donc égales) des 4-vecteurs :

$$p_1 \rightarrow -p_5, \quad p_2 \rightarrow p_2, \quad p_3 \rightarrow p_4, \quad p_4 \rightarrow p_3, \quad p_5 \rightarrow -p_1 \quad (4.54)$$

Or, le taux d'interaction des diagrammes (a), exprimé en fonction des invariants de la réaction, admet un prolongement analytique, et celui-ci peut être mis en oeuvre pour obtenir \mathcal{I}_b par ladite substitution. On obtient ainsi

$$\begin{aligned} \mathcal{I}_a &= \frac{8}{(p_1 \cdot p_3)(p_2 \cdot p_4)(p_2 \cdot p_5)} [(p_3 \cdot p_5)^2 + (p_3 \cdot p_4)^2 + (p_1 \cdot p_4)^2 + (p_1 \cdot p_5)^2] \\ &\rightarrow \frac{8}{(p_5 \cdot p_4)(p_2 \cdot p_3)(p_2 \cdot p_1)} [(p_4 \cdot p_1)^2 + (p_4 \cdot p_3)^2 + (p_5 \cdot p_3)^2 + (p_5 \cdot p_1)^2] \\ &= \frac{16}{W_{45}^2 x_3 c_3^2} [x_4^2 s_4^4 + (1 - x_5)^2 + (1 - x_4)^2 + x_5^2 s_5^4] = \mathcal{I}_b \end{aligned}$$

On note en passant que ce prolongement montre que \mathcal{I}_b est proportionnel à $1/W_{45}^2$ et non pas à $1/W_{45}^4$, ce qui pouvait aussi être prévu au regard d'une formule de factorisation concernant les processus à échange d'un photon du genre temps.

Enfin, on vérifie que l'expression de \mathcal{I}_a est bien conforme à la formule (4.94) du Complément I. Dans cette formule, faisons d'abord les changements $1 \rightarrow 2$, tout en posant $p_2^2 = -t_1 \neq 0$, $3 \rightarrow 4$, $4 \rightarrow 5$, $t_2 = t$. Puis prenons $F_{\mu\rho} = -\left[g_{\mu\rho} + \frac{p_{2\mu}p_{2\rho}}{t_1}\right]$, $G_{\nu\sigma} = \text{Tr}\gamma(p_1)\gamma_\nu\gamma(p_3)\gamma_\sigma$ et posons finalement $t_1 = 0$, $m = 0$. On obtient

$$X_G = -4G \left\{ ab \left(\frac{1}{a^2} + \frac{1}{b^2} \right) - \frac{2tW_{45}^2}{ab} \right\} + \frac{16t}{ab} [G_{44} + G_{55}]$$

Or, $G = -4t$, $G_{44} = 8(p_1 \cdot p_4)(p_3 \cdot p_4) = 2s^2 x_4 s_4^2 (1 - x_5)$, $G_{55} = 8(p_1 \cdot p_5)(p_3 \cdot p_5) = 2s^2 x_5 s_5^2 (1 - x_4)$, $a = s x_4 c_4^2$, $b = s x_5 c_5^2$. D'où

$$\frac{1}{t^2} X_G = \frac{16}{t x_4 c_4^2 x_5 c_5^2} [x_4^2 c_4^2 + x_5^2 c_5^4 - 2x_3 s_3^2 (1 - x_3) + 2x_4 s_4^2 (1 - x_5) + 2x_5 s_5^2 (1 - x_4)]$$

Mais

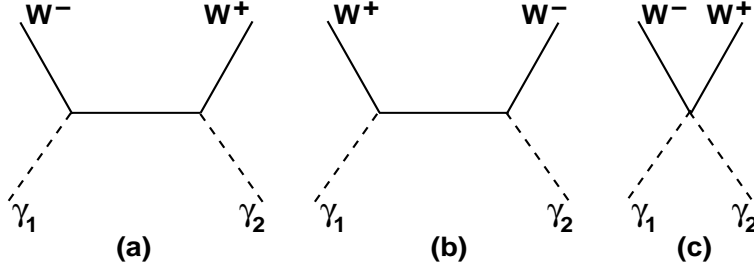
$$\begin{aligned} &x_4^2 c_4^2 + x_5^2 c_5^4 - 2x_3 s_3^2 (1 - x_3) + 2x_4 s_4^2 (1 - x_5) + 2x_5 s_5^2 (1 - x_4) = x_4^2 s_4^4 - 2x_4^2 c_4^2 + x_4^2 + x_5^2 s_5^4 \\ &\quad - 2x_5^2 s_5^2 + x_5^2 - 2x_3 s_3^2 (1 - x_3) + 2x_4 s_4^2 (1 - x_5) + 2x_5 s_5^2 (1 - x_4) \\ &= x_4^2 s_4^4 + x_5^2 s_5^4 - 2x_3 s_3^2 (1 - x_3) + 2x_4 s_4^2 (1 - x_5 - x_4) + 2x_5 s_5^2 (1 - x_4 - x_5) + x_4^2 + x_5^2 \\ &\quad = x_4^2 s_4^4 + x_5^2 s_5^4 - 2(1 - x_3)[x_3 s_3^2 + x_4 s_4^2 + x_5 s_5^2] + x_4^2 + x_5^2 \\ &= x_4^2 s_4^4 + x_5^2 s_5^4 - 2(1 - x_3) + x_4^2 + x_5^2 = x_4^2 s_4^4 + x_5^2 s_5^4 + 1 - 2x_4 + 1 - 2x_5 + x_4^2 + x_5^2 \\ &\quad = x_4^2 s_4^4 + x_5^2 s_5^4 + (1 - x_4)^2 + (1 - x_5)^2 \end{aligned}$$

et l'on a bien $X_G/t^2 = \mathcal{I}_a$.

Disons quelques mots sur le terme d'interférence $\mathcal{I}_{ab} = \sum T_a T_b^*$ entre les amplitudes des diagrammes (a) et (b). Il apparaît que ce terme est antisymétrique dans l'échange des particules 4 (μ^-) et 5 (μ^+), même en tenant compte de leur masse. La conséquence est qu'il donne une contribution nulle à la section efficace totale du processus, car l'intégration sur les variables des dites particules est symétrique vis-à-vis de cet échange. Ce fait était prévisible pour la raison suivante. Le taux d'interaction total peut tout aussi bien être calculé comme la somme des carrés

des amplitudes correspondant chacune à un état du système particule-antiparticule $(4, 5)$ associé à un moment orbital L et à un spin total S donnés. Un tel état, neutre en charge, a une C-parité bien définie, égale à $C = (-1)^{L+S}$. Or, dans les diagrammes (a), la paire $(4, 5)$ est produite par un système de deux photons dont la C-parité totale est $(-1)(-1) = +1$, tandis que dans les diagrammes (b), elle est issue d'un photon virtuel de C-parité égale à -1 . La C-parité étant une grandeur conservée, les états (L, S) impliqués respectivement dans les amplitudes (a) et dans les amplitudes (b) sont donc différents, et l'interférence totale entre les deux séries de diagrammes est donc nulle.

4.8 Amplitudes d'hélicité de $\gamma + \gamma \rightarrow W^- + W^+$


 FIGURE 4.5 – Diagrammes de Feynman pour $\gamma + \gamma \rightarrow W^- + W^+$

A l'ordre le plus bas suivant α , l'amplitude générique du processus de production d'une paire $W^- W^+$ de bosons vecteurs lourds W par collision photon-photon, décrite principalement par les diagrammes de la figure (4.5), est donnée par

$$\mathcal{M} = 4\pi\alpha \epsilon_3^{*\rho} \epsilon_4^{*\sigma} T_{\rho,\sigma;\mu,\nu} \epsilon_1^\mu \epsilon_2^\nu,$$

Elle fait intervenir le tenseur de rang 4 :

$$\begin{aligned} T_{\rho,\sigma;\mu,\nu} &= A_{\rho,\sigma;\mu,\nu} + B_{\rho,\sigma;\mu,\nu} + C_{\rho,\sigma;\mu,\nu}, \quad \text{où} \\ A_{\rho,\sigma;\mu,\nu} &= \left[\left[A_{1\ \mu\rho\omega} + (\kappa - 1) [p_{1\rho} g_{\omega\mu} - p_{1\omega} g_{\rho\mu}] \right] a^{\omega\gamma} \times \right. \\ &\quad \left. \times \left[A_{2\ \nu\sigma\gamma} + (\kappa - 1) [p_{2\sigma} g_{\gamma\nu} - p_{2\gamma} g_{\sigma\nu}] \right] \right], \\ B_{\rho,\sigma;\mu,\nu} &= \left[\left[B_{1\ \mu\sigma\omega} + (\kappa - 1) [p_{1\sigma} g_{\omega\mu} - p_{1\omega} g_{\sigma\mu}] \right] b^{\omega\gamma} \times \right. \\ &\quad \left. \times \left[B_{2\ \nu\rho\gamma} + (\kappa - 1) [p_{2\rho} g_{\gamma\nu} - p_{2\gamma} g_{\rho\nu}] \right] \right], \\ A_{1\ \mu\rho\omega} &= [2p_3 - p_1]_\mu g_{\rho\omega} + [p_1 - p_3]_\omega g_{\rho\mu} + 2 [p_{1\rho} g_{\omega\mu} - p_{1\omega} g_{\rho\mu}], \\ A_{2\ \nu\sigma\gamma} &= [2p_4 - p_2]_\nu g_{\sigma\gamma} + [p_2 - p_4]_\gamma g_{\sigma\nu} + 2 [p_{2\sigma} g_{\gamma\nu} - p_{2\gamma} g_{\sigma\nu}], \\ B_{1\ \mu\sigma\omega} &= [2p_4 - p_1]_\mu g_{\sigma\omega} + [p_1 - p_4]_\omega g_{\sigma\mu} + 2 [p_{1\sigma} g_{\omega\mu} - p_{1\omega} g_{\sigma\mu}], \\ B_{2\ \nu\rho\gamma} &= [2p_3 - p_2]_\nu g_{\rho\gamma} + [p_2 - p_3]_\gamma g_{\rho\nu} + 2 [p_{2\rho} g_{\gamma\nu} - p_{2\gamma} g_{\rho\nu}], \\ C_{\rho,\sigma;\mu,\nu} &= g_{\rho\mu} g_{\sigma\nu} + g_{\rho\nu} g_{\sigma\mu} - 2 g_{\rho\sigma} g_{\mu\nu}, \\ a^{\beta\gamma} &= \frac{1}{m^2 - p^2} \left[g^{\beta\gamma} - \frac{p^\beta p^\gamma}{m^2} \right], \quad p = p_1 - p_3 = p_4 - p_2, \\ b^{\beta\gamma} &= \frac{1}{m^2 - p'^2} \left[g^{\beta\gamma} - \frac{p'^\beta p'^\gamma}{m^2} \right], \quad p' = p_1 - p_4 = p_3 - p_2. \end{aligned} \tag{4.55}$$

10. J-F Loiseau, "Photoproduction de paires de bosons lourds dans le champ électromagnétique des noyaux", Thèse de 3ème cycle, UPMC, Paris, juin 1973 ; M. Baillargeon, G. Bélanger, F. Boudjema, "Effects of nonstandard trilinear couplings in photon-photon collisions : 1. $\gamma + \gamma \rightarrow W^- + W^+$ ", Nucl. Phys. B500 (1997) 224.

La 4-impulsion et la polarisation de chacune des particules sont :

- $p_1, \epsilon_{1\mu}$ avec l'indice d'hélicité $\lambda_1 = \pm 1$ pour le photon 1 ;
- $p_2, \epsilon_{2\nu}$ avec l'indice d'hélicité $\lambda_2 = \pm 1$ pour le photon 2 ;
- $p_3, \epsilon_{3\rho}$ avec l'indice d'hélicité $\lambda_3 = 0, \pm 1$ pour le boson W^- ;
- $p_4, \epsilon_{4\sigma}$ avec l'indice d'hélicité $\lambda_4 = 0, \pm 1$ pour le boson W^+ ;

Etant massif, le boson vectoriel W dispose d'un troisième état d'hélicité correspondant à $\lambda = 0$. Nous poserons $\epsilon_3^{(0)} = z_3, \epsilon_4^{(0)} = z_4$. Le couplage d'hélicité utilisé est celui de la voie s .

$$\begin{aligned}
 p_1 &= \frac{\sqrt{s}}{2} [T + Z], \quad p_2 = \frac{\sqrt{s}}{2} [T - Z] \\
 \epsilon_1 &= \frac{1}{\sqrt{2}} [-\lambda_1 X - iY], \quad \epsilon_2 = \frac{1}{\sqrt{2}} [\lambda_2 X - iY], \quad \epsilon_1 \cdot \epsilon_2 = \frac{1}{2} [1 + \lambda_1 \lambda_2] = \delta_{\lambda_2, \lambda_1} \\
 p_3 &= \frac{\sqrt{s}}{2} [T + \beta Z'], \quad p_4 = \frac{\sqrt{s}}{2} [T - \beta Z'], \quad Z' = Z \cos \theta + X \sin \theta \\
 \text{Pour } \lambda_{3,4} = \pm 1 : \quad \epsilon_3 &= \frac{1}{\sqrt{2}} [-\lambda_3 X' - iY], \quad \epsilon_4 = \frac{1}{\sqrt{2}} [\lambda_4 X' - iY], \\
 X' &= X \cos \theta - Z \sin \theta \\
 \epsilon_1 \cdot p_3 &= -\epsilon_1 \cdot p_4 = \frac{\lambda_1}{2\sqrt{2}} \beta \sqrt{s} \sin \theta, \quad \epsilon_2 \cdot p_3 = -\epsilon_2 \cdot p_4 = -\frac{\lambda_2}{2\sqrt{2}} \beta \sqrt{s} \sin \theta \\
 p_1 \cdot \epsilon_3^* &= -p_2 \cdot \epsilon_3^* = -\frac{\lambda_3}{2\sqrt{2}} \sqrt{s} \sin \theta, \quad p_1 \cdot \epsilon_4^* = -p_2 \cdot \epsilon_4^* = \frac{\lambda_4}{2\sqrt{2}} \sqrt{s} \sin \theta \\
 \epsilon_1 \cdot \epsilon_3^* &= -\frac{1}{2} [1 + \lambda_1 \lambda_3 \cos \theta], \quad \epsilon_1 \cdot \epsilon_4^* = -\frac{1}{2} [1 - \lambda_1 \lambda_4 \cos \theta] \\
 \epsilon_2 \cdot \epsilon_3^* &= -\frac{1}{2} [1 - \lambda_2 \lambda_3 \cos \theta], \quad \epsilon_2 \cdot \epsilon_4^* = -\frac{1}{2} [1 + \lambda_2 \lambda_4 \cos \theta] \\
 \text{Pour } \lambda_{3,4} = 0 : \quad \epsilon_3^{(0)} &= z_3 = \frac{\sqrt{s}}{2m} [\beta T + Z'], \quad \epsilon_4^{(0)} = z_4 = \frac{\sqrt{s}}{2m} [\beta T - Z'] \\
 z_3 \cdot z_4 &= \frac{s}{4m^2} (1 + \beta^2) \\
 p_1 \cdot z_3 &= p_2 \cdot z_4 = \frac{s}{4m} [\beta - \cos \theta], \quad p_1 \cdot z_4 = p_2 \cdot z_3 = \frac{s}{4m} [\beta + \cos \theta] \\
 \epsilon_1 \cdot z_3 &= -\epsilon_1 \cdot z_4 = \frac{\lambda_1}{\sqrt{2}} \frac{\sqrt{s}}{2m} \sin \theta, \quad \epsilon_2 \cdot z_3 = -\epsilon_2 \cdot z_4 = -\frac{\lambda_2}{\sqrt{2}} \frac{\sqrt{s}}{2m} \sin \theta \\
 a &= m^2 - (p_1 - p_3)^2 = 2(p_1 \cdot p_3) = 2(p_2 \cdot p_4) = \frac{s}{2} [1 - \beta \cos \theta] \\
 b &= m^2 - (p_1 - p_4)^2 = 2(p_1 \cdot p_4) = 2(p_2 \cdot p_3) = \frac{s}{2} [1 + \beta \cos \theta]
 \end{aligned} \tag{4.56}$$

Bien avant la découverte expérimentale du W en 1983, de nombreux théoriciens avaient déjà étudié certains processus offrant la possibilité de mettre en évidence cette particule, notamment des réactions où apparaissent, en tant que sous-processus, l'effet Compton $\gamma + W^\pm \rightarrow \gamma + W^\pm$ ou même $\gamma + \gamma \rightarrow W^- + W^+$.

Cependant, il semblerait que les amplitudes d'hélicité de $\gamma + \gamma \rightarrow W^- + W^+$ aient été calculées pour la première fois par J-F Loiseau dans sa thèse, soutenue à Paris en 1973¹¹. Dans ce travail, l'auteur a déduit l'amplitude générique en appliquant, selon l'usage, le principe de couplage électromagnétique minimum au Lagrangien libre du boson chargé W , tout en envisageant pour cette particule un moment magnétique anomal κ , ce qui conduit à l'amplitude (4.55) écrite plus haut. Il a montré en particulier que la valeur $\kappa = 1$, qui est en fait celle assignée par la théorie électro-faible actuelle, prémunit la section efficace de toute divergence à très haute énergie¹². C'est cette valeur de κ que nous retenons dans la suite. Outre l'intérêt physique certain que présente ledit processus¹³, le calcul de ses amplitudes d'hélicité est un excellent exercice de manipulation de 4-vecteurs de polarisation et de leurs produits scalaires ! Une liste de définitions et de formules utiles au calcul est donnée dans (4.56).

Le lecteur s'assurera que le tenseur $T_{\rho,\sigma;\mu,\nu}$ est compatible avec l'invariance de jauge, c'est-à-dire qu'il vérifie bien les équations $p_1^\mu T_{\rho,\sigma;\mu,\nu} = 0$, $p_2^\nu T_{\rho,\sigma;\mu,\nu} = 0$, mais à la condition qu'on le projette préalablement sur les polarisations des bosons W^- et W^+ .

La première étape du calcul peut paraître rébarbative mais s'avère rentable. Elle consiste à effectuer les développements des produits tensoriels $A_{1\mu\rho\omega} a^{\omega\gamma} A_{2\nu\sigma\gamma}$ et $B_{1\mu\sigma\omega} b^{\omega\gamma} B_{2\nu\rho\gamma}$, tout en éliminant dans le résultat les termes proportionnels à $p_{1\mu}$, $p_{2\nu}$, $p_{3\rho}$ ou encore $p_{4\sigma}$, car ils ont des projections nulles sur les polarisations des particules vectorielles, celles-ci étant associées aux indices μ , ν , ρ et σ , respectivement¹⁴. Dans cette opération, les tenseurs $g_{\rho\mu} g_{\sigma\nu}$ et $g_{\rho\nu} g_{\sigma\mu}$ du "terme de contact" $C_{\rho,\sigma;\mu,\nu}$ disparaissent, et les termes proportionnels à $1/m^2$ provenant des propagateurs de W disparaissent aussi. Tenant compte de $p_4 \cdot \epsilon_{1,2} = -p_3 \cdot \epsilon_{1,2}$, on aboutit ainsi à une forme "simplifiée" de l'amplitude générique :

$$\begin{aligned}
 T(\lambda_3, \lambda_4; \lambda_1, \lambda_2) &= 4 \left(\frac{1}{a} + \frac{1}{b} \right) \left[- (p_3 \cdot \epsilon_1)(p_3 \cdot \epsilon_2)(\epsilon_3^* \cdot \epsilon_4^*) + (p_3 \cdot \epsilon_1) \left[(p_2 \cdot \epsilon_4^*)(\epsilon_2 \cdot \epsilon_3^*) \right. \right. \\
 &\quad \left. \left. - (p_2 \cdot \epsilon_3^*)(\epsilon_2 \cdot \epsilon_4^*) \right] + (p_3 \cdot \epsilon_2) \left[(p_1 \cdot \epsilon_4^*)(\epsilon_1 \cdot \epsilon_3^*) - (p_1 \cdot \epsilon_3^*)(\epsilon_1 \cdot \epsilon_4^*) \right] \right] \\
 &\quad + \frac{4}{a} \left[(p_1 \cdot \epsilon_3^*)(p_2 \cdot \epsilon_4^*)(\epsilon_1 \cdot \epsilon_2) + (p_1 \cdot p_2)(\epsilon_1 \cdot \epsilon_3^*)(\epsilon_2 \cdot \epsilon_4^*) \right] \\
 &\quad + \frac{4}{b} \left[(p_1 \cdot \epsilon_4^*)(p_2 \cdot \epsilon_3^*)(\epsilon_1 \cdot \epsilon_2) + (p_1 \cdot p_2)(\epsilon_1 \cdot \epsilon_4^*)(\epsilon_2 \cdot \epsilon_3^*) \right] \\
 &\quad - 2(\epsilon_3^* \cdot \epsilon_4^*)(\epsilon_1 \cdot \epsilon_2)
 \end{aligned} \tag{4.57}$$

plus adaptée aux étapes suivantes du calcul.

• Amplitudes $T(0, 0; \lambda_1, \lambda_2)$

On trouve :

$$E = -(p_3 \cdot \epsilon_1)(p_3 \cdot \epsilon_2)(\epsilon_3^* \cdot \epsilon_4^*) + (p_3 \cdot \epsilon_1) \left[(p_2 \cdot \epsilon_4^*)(\epsilon_2 \cdot \epsilon_3^*) - (p_2 \cdot \epsilon_3^*)(\epsilon_2 \cdot \epsilon_4^*) \right]$$

11. Plus précisément, ce sont plutôt les amplitudes avec des polarisations rectilignes que l'on trouve dans cette thèse.

12. Pour $s \rightarrow \infty$, la section efficace correspondant à $\kappa = 1$ tend vers la constante $\frac{128\pi\alpha^2}{m^2}$.

13. Voir M. Baillargeon, G. Bélanger, F. Boudjema, loc. cit.

14. En intermédiaire, il est utile de poser $p = p_1 - p_3 = p_4 - p_2$, $p' = p_1 - p_4 = p_3 - p_2$.

$$\begin{aligned}
 & +(p_3 \cdot \epsilon_2) \left[(p_1 \cdot \epsilon_4^*)(\epsilon_1 \cdot \epsilon_3^*) - (p_1 \cdot \epsilon_3^*)(\epsilon_1 \cdot \epsilon_4^*) \right] \\
 & = \frac{\lambda_1 \lambda_2 \beta^2 s^2 \sin^2 \theta}{32m^2} [-4 + (1 + \beta^2)]
 \end{aligned}$$

$$\begin{aligned}
 F & = (p_1 \cdot \epsilon_3^*)(p_2 \cdot \epsilon_4^*)(\epsilon_1 \cdot \epsilon_2) + (p_1 \cdot p_2)(\epsilon_1 \cdot \epsilon_3^*)(\epsilon_2 \cdot \epsilon_4^*) \\
 & = \frac{s^2}{16m^2} [\delta_{\lambda_1, \lambda_2} (\beta - \cos \theta)^2 + \lambda_1 \lambda_2 \sin^2 \theta]
 \end{aligned}$$

$$\begin{aligned}
 G & = (p_1 \cdot \epsilon_4^*)(p_2 \cdot \epsilon_3^*)(\epsilon_1 \cdot \epsilon_2) + (p_1 \cdot p_2)(\epsilon_1 \cdot \epsilon_4^*)(\epsilon_2 \cdot \epsilon_3^*) \\
 & = \frac{s^2}{16m^2} [\delta_{\lambda_1, \lambda_2} (\beta + \cos \theta)^2 + \lambda_1 \lambda_2 \sin^2 \theta]
 \end{aligned}$$

$$H = -2(\epsilon_3^* \cdot \epsilon_4^*)(\epsilon_1 \cdot \epsilon_2) = -2 \delta_{\lambda_1, \lambda_2} \frac{s}{4m^2} (1 + \beta^2)$$

D'où

$$\begin{aligned}
 T(0, 0; \lambda_1, \lambda_2) & = \frac{s}{2m^2(1 - \beta^2 \cos^2 \theta)} \left[\lambda_1 \lambda_2 \beta^2 \sin^2 \theta [-4 + (1 + \beta^2)] \right. \\
 & + (1 + \beta \cos \theta) [\delta_{\lambda_1, \lambda_2} (\beta - \cos \theta)^2 + \lambda_1 \lambda_2 \sin^2 \theta] + (1 - \beta \cos \theta) [\delta_{\lambda_1, \lambda_2} (\beta + \cos \theta)^2 + \lambda_1 \lambda_2 \sin^2 \theta] \\
 & \left. - \delta_{\lambda_1, \lambda_2} (1 + \beta^2)(1 - \beta^2 \cos^2 \theta) \right] = \frac{2}{1 - \beta^2 \cos^2 \theta} \left[\lambda_1 \lambda_2 \sin^2 \theta (2 - \beta^2) + \delta_{\lambda_1, \lambda_2} \times \right. \\
 & \left. \times [1 - \beta^2 - \sin^2 \theta (2 - \beta^2)] \right]
 \end{aligned}$$

Notant que $\lambda_1 \lambda_2 = \delta_{\lambda_1, \lambda_2} - \delta_{\lambda_1, -\lambda_2}$ (puisque $\lambda_{1,2} = \pm 1$), on aboutit à

$$\boxed{T(0, 0; \lambda_1, \lambda_2) = \frac{2}{1 - \beta^2 \cos^2 \theta} \left[\delta_{\lambda_1, \lambda_2} (1 - \beta^2) - \delta_{\lambda_1, -\lambda_2} \sin^2 \theta (2 - \beta^2) \right]} \quad (4.58)$$

• **Amplitudes** $T(0, \lambda_4; \lambda_1, \lambda_2)$, avec $\lambda_4 = \pm 1$

On a maintenant $\epsilon_3 \cdot \epsilon_4 = 0$, et donc $H = 0$. Il vient

$$\begin{aligned}
 E & = \frac{s\sqrt{s}\beta \sin \theta}{16m\sqrt{2}} \left[\lambda_1 (\beta + \cos \theta)(1 + \lambda_2 \lambda_4 \cos \theta) - \lambda_2 (\beta - \cos \theta)(1 - \lambda_1 \lambda_4 \cos \theta) \right] \\
 F & = -\frac{s\sqrt{s} \sin \theta}{8m\sqrt{2}} \left[\lambda_4 \delta_{\lambda_1, \lambda_2} (\beta - \cos \theta) + \lambda_1 (1 + \lambda_2 \lambda_4 \cos \theta) \right] \\
 G & = \frac{s\sqrt{s} \sin \theta}{8m\sqrt{2}} \left[\lambda_4 \delta_{\lambda_1, \lambda_2} (\beta + \cos \theta) + \lambda_2 (1 - \lambda_1 \lambda_4 \cos \theta) \right]
 \end{aligned}$$

D'où

$$\begin{aligned}
 T(0, \lambda_4; \lambda_1, \lambda_2) & = \frac{\sqrt{s} \sin \theta}{m\sqrt{2}(1 - \beta^2 \cos^2 \theta)} \left[\lambda_1 \{ \beta(\beta + \cos \theta) - (1 + \beta \cos \theta) \} \right. \\
 & \left. + \lambda_2 (1 - \lambda_1 \lambda_4 \cos \theta) \{ 1 - \beta \cos \theta - \beta(\beta - \cos \theta) \} + \lambda_4 \delta_{\lambda_1, \lambda_2} \{ (\beta + \cos \theta)(1 - \beta \cos \theta) \} \right]
 \end{aligned}$$

$$- (\beta - \cos \theta)(1 + \beta \cos \theta) \}} = \frac{2m\sqrt{2} \sin \theta}{\sqrt{s}(1 - \beta^2 \cos^2 \theta)} \left[\lambda_2(1 - \lambda_1 \lambda_4 \cos \theta) - \lambda_1(1 + \lambda_2 \lambda_4 \cos \theta) + 2\lambda_4 \delta_{\lambda_1, \lambda_2} \cos \theta \right]$$

Or, $\lambda_2(1 - \lambda_1 \lambda_4 \cos \theta) - \lambda_1(1 + \lambda_2 \lambda_4 \cos \theta) + 2\lambda_4 \delta_{\lambda_1, \lambda_2} \cos \theta = \lambda_2 - \lambda_1 + 2\lambda_4 \cos \theta (\delta_{\lambda_1, \lambda_2} - \lambda_1 \lambda_2)$
et

$$\lambda_2 - \lambda_1 = -2\lambda_1 \delta_{\lambda_1, -\lambda_2}, \quad \delta_{\lambda_1, \lambda_2} - \lambda_1 \lambda_2 = \delta_{\lambda_1, -\lambda_2}$$

d'où il ressort que

$$\begin{aligned} \lambda_2 - \lambda_1 + 2\lambda_4 \cos \theta (\delta_{\lambda_1, \lambda_2} - \lambda_1 \lambda_2) &= 2\delta_{\lambda_1, -\lambda_2} [-\lambda_1 + \lambda_4 \cos \theta] = -2\lambda_1 \delta_{\lambda_1, -\lambda_2} [1 - \lambda_1 \lambda_4 \cos \theta] \\ &\equiv (\lambda_2 - \lambda_1)(1 - \lambda_1 \lambda_4 \cos \theta) \equiv (\lambda_2 - \lambda_1)(1 + \lambda_2 \lambda_4 \cos \theta) \end{aligned}$$

et finalement

$$T(0, \lambda_4; \lambda_1, \lambda_2) = \frac{2m\sqrt{2} \sin \theta}{\sqrt{s}(1 - \beta^2 \cos^2 \theta)} [\lambda_2 - \lambda_1] [1 - \lambda_1 \lambda_4 \cos \theta] \quad (4.59)$$

• **Amplitudes** $T(\lambda_3, 0; \lambda_1, \lambda_2)$, avec $\lambda_3 = \pm 1$

Le lecteur vérifiera que

$$T(\lambda_3, 0; \lambda_1, \lambda_2) = \frac{2m\sqrt{2} \sin \theta}{\sqrt{s}(1 - \beta^2 \cos^2 \theta)} [\lambda_1 - \lambda_2] [1 + \lambda_1 \lambda_3 \cos \theta] \quad (4.60)$$

• **Amplitudes** $T(\lambda_3, \lambda_4; \lambda_1, \lambda_2)$, avec $\lambda_{3,4} = \pm 1$

On a cette fois

$$\begin{aligned} E &= \frac{s\beta \sin^2 \theta}{16} \left[2\beta \lambda_1 \lambda_2 \delta_{\lambda_3, \lambda_4} + (\lambda_1 + \lambda_2)(\lambda_3 + \lambda_4) \right] \\ F &= \frac{s}{8} \left[\lambda_3 \lambda_4 \delta_{\lambda_1, \lambda_2} \sin^2 \theta + (1 + \lambda_1 \lambda_3 \cos \theta)(1 + \lambda_2 \lambda_4 \cos \theta) \right] \\ G &= \frac{s}{8} \left[\lambda_3 \lambda_4 \delta_{\lambda_1, \lambda_2} \sin^2 \theta + (1 - \lambda_1 \lambda_4 \cos \theta)(1 - \lambda_2 \lambda_3 \cos \theta) \right] \end{aligned}$$

$$H = -2 \delta_{\lambda_3, \lambda_4} \delta_{\lambda_1, \lambda_2}$$

d'où

$$\begin{aligned} T(\lambda_3, \lambda_4; \lambda_1, \lambda_2) &= \frac{1}{1 - \beta^2 \cos^2 \theta} \left[2\beta^2 \sin^2 \theta \lambda_1 \lambda_2 \delta_{\lambda_3, \lambda_4} + \beta \sin^2 \theta (\lambda_1 + \lambda_2)(\lambda_3 + \lambda_4) \right. \\ &\quad \left. + 2\lambda_3 \lambda_4 \sin^2 \theta \delta_{\lambda_1, \lambda_2} + (1 + \beta \cos \theta)(1 + \lambda_1 \lambda_3 \cos \theta)(1 + \lambda_2 \lambda_4 \cos \theta) \right. \\ &\quad \left. + (1 - \beta \cos \theta)(1 - \lambda_1 \lambda_4 \cos \theta)(1 - \lambda_2 \lambda_3 \cos \theta) - 2 \delta_{\lambda_3, \lambda_4} \delta_{\lambda_1, \lambda_2} (1 - \beta^2 \cos^2 \theta) \right] \end{aligned}$$

$$= \frac{1}{1 - \beta^2 \cos^2 \theta} \left[2\beta^2 \sin^2 \theta \lambda_1 \lambda_2 \delta_{\lambda_3, \lambda_4} + 2 \lambda_3 \lambda_4 \sin^2 \theta \delta_{\lambda_1, \lambda_2} + 2 + 2\lambda_1 \lambda_2 \lambda_3 \lambda_4 \cos^2 \theta \right. \\ \left. - 2 \delta_{\lambda_3, \lambda_4} \delta_{\lambda_1, \lambda_2} (1 - \beta^2 \cos^2 \theta) + \beta(\lambda_1 + \lambda_2)(\lambda_3 + \lambda_4) + (\lambda_1 - \lambda_2)(\lambda_3 - \lambda_4) \cos \theta \right]$$

En faisant usage des relations

$$\delta_{\lambda_1, \lambda_2} + \delta_{\lambda_1, -\lambda_2} = 1, \quad \lambda_1 \lambda_2 = \delta_{\lambda_1, \lambda_2} + \delta_{\lambda_1, -\lambda_2}, \quad \lambda_1 + \lambda_2 = 2\lambda_1 \delta_{\lambda_1, \lambda_2}, \quad \lambda_1 - \lambda_2 = 2\lambda_1 \delta_{\lambda_1, -\lambda_2} \\ 1 + x^2 + 2\lambda_1 \lambda_3 x = [1 + \lambda_1 \lambda_3 x]^2 \quad (\text{car } |\lambda_i| = 1)$$

on aboutit à la formule¹⁵

$$\boxed{T(\lambda_3, \lambda_4; \lambda_1, \lambda_2) = \frac{2}{1 - \beta^2 \cos^2 \theta} \left[\delta_{\lambda_1, \lambda_2} \delta_{\lambda_3, \lambda_4} [1 + \lambda_1 \lambda_3 \beta]^2 \right. \\ \left. + \delta_{\lambda_1, -\lambda_2} \delta_{\lambda_3, \lambda_4} (1 - \beta^2) \sin^2 \theta + \delta_{\lambda_1, -\lambda_2} \delta_{\lambda_3, -\lambda_4} [1 + \lambda_1 \lambda_3 \cos \theta]^2 \right]} \quad (4.61)$$

On remarque que l'amplitude correspondant à $\lambda_1 = \lambda_2$, $\lambda_3 = -\lambda_4$ est nulle, que celle correspondant à $\lambda_1 = -\lambda_2$, $\lambda_3 = \lambda_4$ est défavorisée à très haute énergie ($\beta \rightarrow 1$) par le facteur $(1 - \beta^2) \sin^2 \theta$, et que celle correspondant à $\lambda_1 = \lambda_2 = -\lambda_3 = -\lambda_4$ est elle aussi défavorisée dans ce domaine par le facteur $(1 - \beta)^2$.

15. A titre d'exercice, nous proposons au lecteur de comparer les formules des amplitudes établies ici à celles données dans l'appendice A de l'article de Baillargeon et. al., loc. cit.

4.9 Amplitudes d'hélicité de $\gamma + \gamma \rightarrow e^{*-} + e^+$

L'éventuelle existence de quarks ou de leptons "excités" a fait l'objet de nombreuses études théoriques, portant à la fois sur leur spectroscopie vis-à-vis du groupe $SU(2) \times U(1)$ de la théorie électro-faible, et sur les possibilités de les mettre en évidence dans certaines réactions¹⁶. Nous considérons ici la production d'une paire {électron excité (e^{*-}) - positron (e^+)} par collision de deux photons réels de suffisamment haute énergie. Dans l'état actuel des techniques, une telle réaction n'est pas réalisable avec deux photons strictement réels, mais seulement avec des photons "quasi réels" se trouvant, par exemple, dans le champ électromagnétique intense d'ions lourds ultra-relativistes¹⁷.

Nous utiliserons un modèle, couramment suggéré, pour lequel le couplage γ - e^* - e est décrit par le Lagrangien

$$L_1 = \sqrt{4\pi\alpha} f_{\gamma e^* e} \{e^* \sigma_{\mu\nu} (1 - \gamma_5) e \partial^\mu A^\nu + \text{h.c.}\} \quad (4.62)$$

$f_{\gamma e^* e}$ étant une constante de couplage¹⁸, $\sigma_{\mu\nu} = \frac{i}{4} [\gamma_\mu, \gamma_\nu]$, tandis que le couplage γ - e^* - e^* est décrit par le Lagrangien

$$L_2 = -\sqrt{4\pi\alpha} \bar{e}^* \left\{ \gamma_\mu A^\mu + \frac{\kappa}{M} \sigma_{\mu\nu} \partial^\mu A^\nu \right\} e^* \quad (4.63)$$

κ étant un moment magnétique, M la masse du lepton excité. Cette masse, ainsi que l'énergie totale de la réaction dans le référentiel de son centre de masse sont supposées très grandes devant la masse du positron, et pour cette raison, nous négligerons cette dernière.

Les constantes de couplage étant mises à part, l'amplitude tensorielle du processus, invariante de jauge, est

$$\begin{aligned} T_{\mu\nu} = & -i\bar{U}_4 \left[\left[\sigma_{\mu\rho} q_1^\rho (1 - \gamma_5) \frac{\gamma(q_2 - p_3)}{2q_2 \cdot p_3} \gamma_\nu + \sigma_{\nu\omega} q_2^\omega (1 - \gamma_5) \frac{\gamma(q_1 - p_3)}{2q_1 \cdot p_3} \gamma_\mu \right. \right. \\ & + \left[\gamma_\mu + i \frac{\kappa}{M} \sigma_{\mu\rho} q_1^\rho \right] \frac{M + \gamma(p_4 - q_1)}{M^2 - (p_4 - q_1)^2} \sigma_{\nu\omega} q_2^\omega (1 - \gamma_5) \\ & \left. \left. + \left[\gamma_\nu + i \frac{\kappa}{M} \sigma_{\nu\omega} q_2^\omega \right] \frac{M + \gamma(p_4 - q_2)}{M^2 - (p_4 - q_2)^2} \sigma_{\mu\rho} q_1^\rho (1 - \gamma_5) \right] \right] V_3 \end{aligned} \quad (4.64)$$

Les notations sont les suivantes : (q_1, μ) , (q_2, ν) sont les 4-impulsions et les indices de Lorentz respectifs des photons initiaux 1 et 2 ; $(p_3, V_3 = \gamma_5 U_3)$, (p_4, U_4) sont les 4-impulsions et les spineurs respectifs du positron 3 et de l'électron excité 4. Les deux premiers termes correspondent aux diagrammes (a) de la figure 4.6 où un électron virtuel est échangé, tandis que les deux derniers termes correspondent aux diagrammes (b) de cette figure, où un électron excité virtuel est échangé. Pour ce calcul, nous utiliserons encore le couplage d'hélicité de la voie s . Notant

16. F.M. Renard, Phys. Lett. 139B, 449 (1982) ; N. Cabibbo, L. Maiani, Y. Srivastava, Phys. Lett. 139B, 459 (1984) ; A. De Rujula, L. Maiani, R. Petronzio, Phys. Lett. 140B, 253 (1984) ; G. Pancheri, Y. Srivastava, Phys. Lett. 146B, 87 (1984) ; J. Kühn, P. Zerwas, Phys. Lett. 147B, 189 (1984) ; J. Kühn, H.D. Tholl, P.M. Zerwas, Phys. Lett. 158B, 270 (1985) ; K. Hagiwara, S. Komamiya, D. Zeppenfeld, Z. Phys. C29, 115 (1985) ; F. Boudjema, A. Djouadi, Phys. Lett. B240, 485 (1990) ; U. Baur, M. Spira, P.M. Zerwas, Phys. Rev. D42, 815 (1990) ; I.F. Ginzburg, D.Yu. Ivanov, Phys. Lett. B276, 214 (1992) ; Y.A. Coutinho, J.A. Martins Simoões, C.M. Porto, P.P. Queiroz Filho, Phys. Rev. D57, 6975 (1998) ; O.J.P. Éboli, S.M. Lietti, Prakash Mathews, Phys. Rev. D65 (2002) 075003.

17. Voir à ce sujet : C. Carimalo et al. : "Nuclei as Generators of Quasi-real Photons", Phys. Rev. D10, 1561 (1974) ; G. Baur, C.A. Bertulani, Nucl. Phys. A505, 835 (1989) ; N. Baron, G. Baur, Phys. Rev. C, 1999 (1993) ; K. Hencken, D. Trautmann, G. Baur, Z. Phys. C, 473 (1995) ; G. Baur, K. Hencken, D. Trautmann, Prog. Part. Nucl. Phys. 42, 357 (1999).

18. h.c. = conjugué hermitique, $\alpha = 1/137$, A^μ est le champ du photon...

$s = (q_1 + q_2)^2 = 2q_1 \cdot q_2$, $T = \frac{q_1 + q_2}{\sqrt{s}}$, $Z = \frac{q_1 - q_2}{\sqrt{s}}$, on a $q_1 = \frac{\sqrt{s}}{2}(T + Z)$, $q_2 = \frac{\sqrt{s}}{2}(T - Z)$. Dans le référentiel du centre de masse, l'axe Y est encore pris selon $\vec{q}_1 \wedge \vec{p}_3$, et l'axe X perpendiculaire à \vec{q}_1 , dans le plan (\vec{q}_1, \vec{p}_3) : $Y_\mu \propto \epsilon_{\mu\nu\rho\omega} q_1^\nu q_2^\rho p_3^\omega$, $X_\mu = \epsilon_{\mu\nu\rho\omega} T^\nu Y^\rho Z^\omega$.

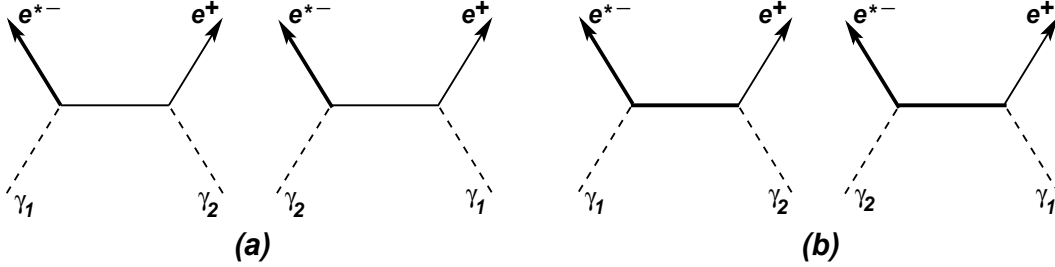


FIGURE 4.6 – Diagrammes de Feynman pour $\gamma + \gamma \rightarrow e^{*-} + e^+$

Les vecteurs de polarisation des deux photons (1) et (2) sont respectivement définis par

$$\epsilon_1^{(\lambda)} = -\frac{1}{\sqrt{2}}[\lambda X + iY], \quad \epsilon_2^{(\lambda)} = \epsilon_1^{(-\lambda)}$$

Par rapport aux calculs précédents, celui envisagé ici présente les différences suivantes. Tout d'abord, les spineurs V_3 et U_4 sont associés à des masses très différentes, dont l'une est en outre prise égale à zéro. Ensuite, après avoir fait disparaître, par des anticommutations appropriées, la masse de l'électron excité du numérateur des propagateurs, la matrice sandwichée apparaissant finalement dans l'amplitude (4.64) est une somme de produits de matrices γ , certains comptant un nombre pair de ces matrices, d'autres en comptant un nombre impair. Enfin, on note la présence du projecteur de chiralité $(1 - \gamma_5)/2$.

Considérons tout d'abord des spineurs associés à des masses non nulles et normalisés selon $\bar{U}U = 2$, et posons $\epsilon = \pm 1$. A partir des formules établies au paragraphe 3.2.3, on déduit :

$$\begin{aligned} \bar{U}_{4\sigma'} [1 + \epsilon\gamma_5] V_{3\sigma} &= -2\delta_{\sigma', -\sigma} \left[\delta_{\epsilon, 2\sigma} e^{\chi_{34}^+} - \delta_{\epsilon, -2\sigma} e^{-\chi_{34}^+} \right] \\ \bar{U}_{4\sigma'} \gamma_\mu [1 + \epsilon\gamma_5] V_{3\sigma} &= 2\delta_{\epsilon, 2\sigma} \left[\delta_{\sigma', \sigma} (2\sigma) e^{\chi_{34}^+} [X' + i(2\sigma)Y]_\mu - \delta_{\sigma', -\sigma} e^{\chi_{34}^+} [T + Z']_\mu \right] \\ &\quad + 2\delta_{\epsilon, -2\sigma} \left[\delta_{\sigma', \sigma} (2\sigma) e^{-\chi_{34}^+} [X' + i(2\sigma)Y]_\mu + \delta_{\sigma', -\sigma} e^{-\chi_{34}^+} [T - Z']_\mu \right] \\ \bar{U}_{4\sigma'} \sigma_{\mu\nu} [1 + \epsilon\gamma_5] V_{3\sigma} &= \delta_{\epsilon, 2\sigma} \left[i \delta_{\sigma', \sigma} (2\sigma) e^{\chi_{34}^+} \left[[T + Z']_\mu [X' + i(2\sigma)Y]_\nu \right. \right. \\ &\quad \left. \left. - [T + Z']_\nu [X' + i(2\sigma)Y]_\mu \right] - \delta_{\sigma', -\sigma} e^{\chi_{34}^+} \left[i [T_\mu Z'_\nu - T_\nu Z'_\mu] + (2\sigma) [X'_\mu Y_\nu - X'_\nu Y_\mu] \right] \right] \\ &\quad + \delta_{\epsilon, -2\sigma} \left[i \delta_{\sigma', \sigma} (2\sigma) e^{-\chi_{34}^+} \left[[T - Z']_\mu [X' + i(2\sigma)Y]_\nu \right. \right. \\ &\quad \left. \left. - [T - Z']_\nu [X' + i(2\sigma)Y]_\mu \right] - \delta_{\sigma', -\sigma} e^{-\chi_{34}^+} \left[i [T_\mu Z'_\nu - T_\nu Z'_\mu] - (2\sigma) [X'_\mu Y_\nu - X'_\nu Y_\mu] \right] \right] \end{aligned}$$

Des définitions $\cosh \chi_3 = \frac{E_3}{m_3}$, $\cosh \chi_4 = \frac{E_4}{m_4}$, on tire ($m_3 = m_{e^+}$, $m_4 = M$)

$$\cosh 2\chi_{34}^+ = \cosh(\chi_3 + \chi_4) = \frac{1}{m_3 m_4} [E_3 E_4 + p_3 p_4] = \frac{p_3 \cdot p_4}{m_3 m_4}$$

Lorsque $m_3 \rightarrow 0$,

$$e^{\chi_3/2} = \sqrt{e^{\chi_3}} = \sqrt{\cosh \chi_3 + \sinh \chi_3} \simeq \sqrt{\frac{2E_3}{m_3}}, \text{ donc}$$

$$\sqrt{m_3} e^{\chi_3/2} \simeq \sqrt{2E_3}, \quad \sqrt{m_3} e^{-\chi_3/2} \simeq \frac{m_3}{\sqrt{2E_3}} \rightarrow 0$$

et, revenant aux spineurs normalisés selon $\bar{U}U = 2m$, les relations précédentes conduisent finalement à

$$\begin{aligned} \bar{U}_{4\sigma'} [1 + \epsilon\gamma_5] V_{3\sigma} &= -2\delta_{\sigma',-\sigma} \delta_{2\sigma,\epsilon} \sqrt{2p_3 \cdot p_4} \\ \bar{U}_{4\sigma'} \gamma_\mu [1 + \epsilon\gamma_5] V_{3\sigma} &= 2\delta_{2\sigma,\epsilon} \left[\delta_{\sigma',\sigma} (2\sigma) \sqrt{2p_3 \cdot p_4} [X' + i(2\sigma)Y]_\mu \right. \\ &\quad \left. - \delta_{\sigma',-\sigma} \frac{2M}{\sqrt{2p_3 \cdot p_4}} p_{3\mu} \right] \\ \bar{U}_{4\sigma'} \sigma_{\mu\nu} [1 + \epsilon\gamma_5] V_{3\sigma} &= \delta_{2\sigma,\epsilon} \left[i \delta_{\sigma',\sigma} (2\sigma) \frac{2M}{\sqrt{2p_3 \cdot p_4}} \left[p_{3\mu} [X' + i(2\sigma)Y]_\nu \right. \right. \\ &\quad \left. \left. - p_{3\nu} [X' + i(2\sigma)Y]_\mu \right] - \delta_{\sigma',-\sigma} \sqrt{2p_3 \cdot p_4} \left[i [T_\mu Z'_\nu - T_\nu Z'_\mu] \right. \right. \\ &\quad \left. \left. + (2\sigma) [X'_\mu Y_\nu - X'_\nu Y_\mu] \right] \right] \\ \text{avec } T_\mu Z'_\nu - T_\nu Z'_\mu &= -\frac{p_{3\mu} p_{4\nu} - p_{3\nu} p_{4\mu}}{p_3 \cdot p_4} \end{aligned} \tag{4.65}$$

En utilisant systématiquement la relation $\gamma_5 = i\gamma(X)\gamma(Y)\gamma(Z)\gamma(T)$, valable pour toute base T, X, Y, Z orthonormée et d'orientation directe, on montre les relations (très) utiles suivantes.

$$\gamma(\lambda X + iY) \gamma(T + \eta Z) (1 + \epsilon\gamma_5) [1 - \epsilon\eta\lambda] = 0 \tag{4.66}$$

où $\lambda, \eta, \epsilon = \pm 1$, d'où l'on déduit notamment

$$\gamma(\epsilon(\pm))\gamma(q_1)(1 \mp \gamma_5) = 0, \quad \gamma(\epsilon(\pm))\gamma(q_2)(1 \pm \gamma_5) = 0 \tag{4.67}$$

Notant que

$$\begin{aligned}
 \gamma(\epsilon_1)\gamma(\epsilon_2) &= \delta_{\lambda_1, \lambda_2} [1 + \lambda_1\gamma(Z)\gamma(T)\gamma_5], & \gamma(\epsilon_2)\gamma(\epsilon_1) &= \delta_{\lambda_1, \lambda_2} [1 - \lambda_1\gamma(Z)\gamma(T)\gamma_5] \\
 \gamma(q_1)\gamma(q_2) &= \frac{s}{2} [1 + \gamma(Z)\gamma(T)], & \gamma(q_2)\gamma(q_1) &= \frac{s}{2} [1 - \gamma(Z)\gamma(T)]
 \end{aligned} \tag{4.68}$$

on déduit aussi

$$\begin{aligned}
 \gamma(\epsilon_1)\gamma(\epsilon_2)\gamma(T + \eta Z) [1 + \epsilon\gamma_5] &= \delta_{\lambda_2, \lambda_1} (1 - \lambda_1\eta\epsilon)\gamma(T + \eta Z) [1 + \epsilon\gamma_5] \\
 &= 2\delta_{\lambda_2, \lambda_1}\delta_{\lambda_1\eta\epsilon, -1}\gamma(T + \eta Z) [1 + \epsilon\gamma_5] \\
 \gamma(\epsilon_2)\gamma(\epsilon_1)\gamma(T + \eta Z) [1 + \epsilon\gamma_5] &= \delta_{\lambda_2, \lambda_1} (1 + \lambda_1\eta\epsilon)\gamma(T + \eta Z) [1 + \epsilon\gamma_5] \\
 &= 2\delta_{\lambda_2, \lambda_1}\delta_{\lambda_1\eta\epsilon, 1}\gamma(T + \eta Z) [1 + \epsilon\gamma_5] \\
 \gamma(\epsilon_1)\gamma(\epsilon_2)\gamma(q_1)\gamma(q_2) [1 + \epsilon\gamma_5] &= s\delta_{\lambda_1, \lambda_2}\delta_{\lambda_1, \epsilon} [1 + \gamma(Z)\gamma(T)] [1 + \epsilon\gamma_5] \\
 \gamma(\epsilon_2)\gamma(\epsilon_1)\gamma(q_2)\gamma(q_1) [1 + \epsilon\gamma_5] &= s\delta_{\lambda_1, \lambda_2}\delta_{\lambda_1, \epsilon} [1 - \gamma(Z)\gamma(T)] [1 + \epsilon\gamma_5] \\
 \gamma(\lambda X + iY)\gamma(q_1)\gamma(q_2) [1 + \epsilon\gamma_5] &= s\delta_{\lambda, -\epsilon}\gamma(\lambda X + iY) [1 + \epsilon\gamma_5] \\
 \gamma(\lambda X + iY)\gamma(q_2)\gamma(q_1) [1 + \epsilon\gamma_5] &= s\delta_{\lambda, \epsilon}\gamma(\lambda X + iY) [1 + \epsilon\gamma_5]
 \end{aligned} \tag{4.69}$$

Rappelons enfin que dans le cas $m_3 = 0$, on a $\gamma_5 V_3 = (2\sigma_3) V_3$. Il en résulte que, dans cette approximation, la présence de la matrice $(1 - \gamma_5)$ fait que les huit amplitudes pour lesquelles $\sigma_3 = +1/2$ sont nulles.

Les relations (4.67) montrent aussi que les amplitudes pour lesquelles $\epsilon_1 = \epsilon^{(+)}$ et $\epsilon_2 = \epsilon_2^{(+)} = \epsilon^{(-)}$ sont également nulles. En effet, compte tenu de $q_1 \cdot \epsilon^{(+)} = 0$, on a par exemple $\sigma_{\mu\rho}\epsilon_1^\mu q_1^\rho (1 - \gamma_5) = \frac{i}{2}\gamma(\epsilon^{(+)})\gamma(q_1)(1 - \gamma_5) = 0$. Au final, il ne reste donc que six amplitudes à calculer.

On a

$$\begin{aligned}
 T(\sigma_4, \sigma_3; \lambda_1, \lambda_2) &= \frac{1}{2} \overline{U}_{4\sigma_4} \left[\gamma(\epsilon_1)\gamma(q_1)(1 - \gamma_5) \frac{\gamma(q_2 - p_3)}{2q_2 \cdot p_3} \gamma(\epsilon_2) \right. \\
 &\quad \left. + \gamma(\epsilon_2)\gamma(q_2)(1 - \gamma_5) \frac{\gamma(q_1 - p_3)}{2q_1 \cdot p_3} \gamma(\epsilon_1) \right. \\
 &\quad \left. + \left[\gamma(\epsilon_1) - \frac{\kappa}{2M} \gamma(\epsilon_1)\gamma(q_1) \right] \frac{M + \gamma(p_4 - q_1)}{M^2 - (p_4 - q_1)^2} \gamma(\epsilon_2)\gamma(q_2)(1 - \gamma_5) \right. \\
 &\quad \left. + \left[\gamma(\epsilon_2) - \frac{\kappa}{2M} \gamma(\epsilon_2)\gamma(q_2) \right] \frac{M + \gamma(p_4 - q_2)}{M^2 - (p_4 - q_2)^2} \gamma(\epsilon_1)\gamma(q_1)(1 - \gamma_5) \right] V_{3\sigma_3} \\
 &= \frac{1}{2} \overline{U}_{4\sigma_4} \left[\left[\frac{1}{2q_2 \cdot p_3} + \frac{1 + \kappa}{2q_1 \cdot p_4} \right] \gamma(\epsilon_1)\gamma(\epsilon_2)\gamma(q_1)\gamma(q_2)(1 - \gamma_5) \right. \\
 &\quad \left. + \left[\frac{1}{2q_1 \cdot p_3} + \frac{1 + \kappa}{2q_2 \cdot p_4} \right] \gamma(\epsilon_2)\gamma(\epsilon_1)\gamma(q_2)\gamma(q_1)(1 - \gamma_5) \right]
 \end{aligned}$$

$$\begin{aligned}
 & + \left[\frac{\epsilon_2 \cdot p_4}{q_2 \cdot p_4} - \frac{\epsilon_2 \cdot p_3}{q_2 \cdot p_3} \right] \gamma(\epsilon_1) \gamma(q_1) (1 - \gamma_5) + \left[\frac{\epsilon_1 \cdot p_4}{q_1 \cdot p_4} - \frac{\epsilon_1 \cdot p_3}{q_1 \cdot p_3} \right] \gamma(\epsilon_2) \gamma(q_2) (1 - \gamma_5) \\
 & - \frac{\kappa}{2M} \left[\frac{\epsilon_1 \cdot p_4}{q_1 \cdot p_4} \gamma(\epsilon_2) \gamma(q_1) \gamma(q_2) (1 - \gamma_5) + \frac{\epsilon_2 \cdot p_4}{q_2 \cdot p_4} \gamma(\epsilon_1) \gamma(q_2) \gamma(q_1) (1 - \gamma_5) \right. \\
 & \quad \left. + \gamma(\epsilon_1) \gamma(\epsilon_2) \gamma(q_2) (1 - \gamma_5) + \gamma(\epsilon_2) \gamma(\epsilon_1) \gamma(q_1) (1 - \gamma_5) \right] \Big] V_{3\sigma_3}
 \end{aligned}$$

Calculons :

$$① \quad \overline{U}_{4\sigma_4} \gamma(\epsilon_1) \gamma(\epsilon_2) \gamma(q_1) \gamma(q_2) (1 - \gamma_5) V_{3\sigma_3} = s \delta_{\lambda_2, \lambda_1} \delta_{\lambda_1, -1} \overline{U}_{4\sigma_4} [1 + \gamma(Z) \gamma(T)] [1 - \gamma_5] V_{3\sigma_3}$$

Comme $T \cdot Z = 0$, on peut écrire

$$\begin{aligned}
 \overline{U}_{4\sigma_4} \sigma_{\mu\nu} Z^\mu T^\nu [1 - \gamma_5] V_{3\sigma_3} &= \frac{i}{2} \overline{U}_{4\sigma_4} \gamma(Z) \gamma(T) [1 - \gamma_5] V_{3\sigma_3} \\
 &= \delta_{2\sigma, -1} \left[-i \delta_{\sigma_4, \sigma_3} \frac{2M}{\sqrt{2p_3 \cdot p_4}} [-p_3 \cdot T X' \cdot Z] - \delta_{\sigma_4, -\sigma_3} \sqrt{2p_3 \cdot p_4} [-i Z' \cdot Z] \right] \\
 &= i \delta_{2\sigma, -1} \left[\delta_{\sigma_4, \sigma_3} \frac{2ME_3}{\sqrt{2p_3 \cdot p_4}} \sin \theta - \delta_{\sigma_4, -\sigma_3} \sqrt{2p_3 \cdot p_4} \cos \theta \right]
 \end{aligned}$$

où θ est l'angle de diffusion du positron dans le référentiel du centre de masse de la réaction. Compte tenu de la relation $2\sqrt{s}E_3 = 2p_3 \cdot (p_3 + p_4) = 2p_3 \cdot p_4 = s - M^2$, il vient

$$\overline{U}_{4\sigma_4} \gamma(Z) \gamma(T) [1 - \gamma_5] V_{3\sigma_3} = 2\delta_{2\sigma_3, -1} \sqrt{2p_3 \cdot p_4} \left[\delta_{\sigma_4, \sigma_3} \frac{M}{\sqrt{s}} \sin \theta - \delta_{\sigma_4, -\sigma_3} \cos \theta \right]$$

Par suite,

$$\begin{aligned}
 & \overline{U}_{4\sigma_4} \gamma(\epsilon_1) \gamma(\epsilon_2) \gamma(q_1) \gamma(q_2) (1 - \gamma_5) V_{3\sigma_3} = \\
 & s \delta_{\lambda_2, \lambda_1} \delta_{\lambda_1, -1} \delta_{2\sigma_3, -1} \sqrt{s - M^2} \left[\delta_{\sigma_4, \sigma_3} \frac{M}{\sqrt{s}} \sin \theta - \delta_{\sigma_4, -\sigma_3} [1 + \cos \theta] \right]
 \end{aligned}$$

$$② \quad \overline{U}_{4\sigma_4} \gamma(\epsilon_2) \gamma(\epsilon_1) \gamma(q_2) \gamma(q_1) (1 - \gamma_5) V_{3\sigma_3} = s \delta_{\lambda_2, \lambda_1} \delta_{\lambda_1, -1} \overline{U}_{4\sigma_4} [1 - \gamma(Z) \gamma(T)] [1 - \gamma_5] V_{3\sigma_3}$$

$$= -2s \delta_{\lambda_2, \lambda_1} \delta_{\lambda_1, -1} \delta_{2\sigma_3, -1} \sqrt{s - M^2} \left[\delta_{\sigma_4, \sigma_3} \frac{M}{\sqrt{s}} \sin \theta + \delta_{\sigma_4, -\sigma_3} [1 - \cos \theta] \right]$$

$$③ \quad \overline{U}_{4\sigma_4} \gamma(\epsilon_1) \gamma(q_1) (1 - \gamma_5) V_{3\sigma_3} = -2i \overline{U}_{4\sigma_4} \sigma_{\mu\nu} \epsilon_1^\mu q_1^\nu (1 - \gamma_5) V_{3\sigma_3}$$

$$\begin{aligned}
 &= -2i \delta_{2\sigma_3, -1} \left[-i \delta_{\sigma_4, \sigma_3} \frac{2M}{\sqrt{2p_3 \cdot p_4}} \left[\epsilon_1 \cdot p_3 q_1 \cdot X' - q_1 \cdot p_3 \epsilon_1 \cdot (X' - iY) \right] \right. \\
 & \quad \left. - \delta_{\sigma_4, -\sigma_3} \sqrt{2p_3 \cdot p_4} [-iq_1 \cdot T \epsilon_1 \cdot Z' + q_1 \cdot X' \epsilon_1 \cdot Y] \right]
 \end{aligned}$$

Tenant compte de

$$\begin{aligned}
 q_1 \cdot X' &= \frac{\sqrt{s}}{2} \sin \theta, \quad q_1 \cdot p_3 = \frac{E_3 \sqrt{s}}{2} (1 - \cos \theta), \quad \epsilon_1 \cdot Z' = \frac{\lambda_1}{\sqrt{2}} \sin \theta, \quad \epsilon_1 \cdot X' = \frac{\lambda_1}{\sqrt{2}} \cos \theta, \\
 \epsilon_1 \cdot p_3 &= \frac{E_3 \lambda_1}{\sqrt{2}} \sin \theta, \quad \epsilon_1 \cdot Y = \frac{i}{\sqrt{2}}, \quad \lambda_1 - 1 = -2\delta_{\lambda_1, -1},
 \end{aligned}$$

il vient

$$\overline{U}_{4\sigma_4} \gamma(\epsilon_1) \gamma(q_1) (1 - \gamma_5) V_{3\sigma_3} = -\delta_{2\sigma_3, -1} \delta_{\lambda_1, -1} \sqrt{2s} \sqrt{s - M^2} \left[\delta_{\sigma_4, -\sigma_3} \sin \theta - \delta_{\sigma_4, \sigma_3} \frac{M}{\sqrt{s}} [1 - \cos \theta] \right]$$

$$\textcircled{4} \quad \overline{U}_{4\sigma_4} \gamma(\epsilon_2) \gamma(q_2) (1 - \gamma_5) V_{3\sigma_3} = \delta_{2\sigma_3, -1} \delta_{\lambda_2, -1} \sqrt{2s} \sqrt{s - M^2} \left[\delta_{\sigma_4, -\sigma_3} \sin \theta + \delta_{\sigma_4, \sigma_3} \frac{M}{\sqrt{s}} [1 + \cos \theta] \right]$$

⑤ De la relation

$$\gamma(\epsilon_2) \gamma(q_1) \gamma(q_2) = \frac{s}{2} \gamma(\epsilon_2) [1 + \lambda_2 \gamma_5] \quad (4.70)$$

on déduit

$$\gamma(\epsilon_2) \gamma(q_1) \gamma(q_2) [1 - \gamma_5] = s \delta_{\lambda_2, -1} \gamma(\epsilon_2) [1 - \gamma_5]$$

$$\begin{aligned} \text{d'où} \quad & \overline{U}_{4\sigma_4} \gamma(\epsilon_2) \gamma(q_1) \gamma(q_2) (1 - \gamma_5) V_{3\sigma_3} = s \delta_{\lambda_2, -1} \overline{U}_{4\sigma_4} \gamma(\epsilon_2) [1 - \gamma_5] V_{3\sigma_3} \\ & = 2s \delta_{\lambda_2, -1} \delta_{2\sigma_3, -1} \left[-\delta_{\sigma_4, \sigma_3} \sqrt{2p_3 \cdot p_4} \epsilon_2 \cdot (X' - iY) - \delta_{\sigma_4, -\sigma_3} \frac{2M}{\sqrt{2p_3 \cdot p_4}} \epsilon_2 \cdot p_3 \right] \\ & = -s\sqrt{2} \sqrt{s - M^2} \delta_{2\sigma_3, -1} \delta_{\lambda_2, -1} \left[\delta_{\sigma_4, \sigma_3} [1 + \cos \theta] + \delta_{\sigma_4, -\sigma_3} \frac{M}{\sqrt{s}} \sin \theta \right] \end{aligned}$$

⑥ De même, la relation

$$\gamma(\epsilon_1) \gamma(q_2) \gamma(q_1) = \frac{s}{2} \gamma(\epsilon_1) [1 + \lambda_1 \gamma_5] \quad (4.71)$$

conduit à

$$\begin{aligned} \overline{U}_{4\sigma_4} \gamma(\epsilon_1) \gamma(q_2) \gamma(q_1) (1 - \gamma_5) V_{3\sigma_3} & = s \delta_{\lambda_1, -1} \overline{U}_{4\sigma_4} \gamma(\epsilon_1) [1 - \gamma_5] V_{3\sigma_3} \\ & = -s\sqrt{2} \sqrt{s - M^2} \delta_{2\sigma_3, -1} \delta_{\lambda_1, -1} \left[\delta_{\sigma_4, \sigma_3} [1 - \cos \theta] - \delta_{\sigma_4, -\sigma_3} \frac{M}{\sqrt{s}} \sin \theta \right] \end{aligned}$$

$$\begin{aligned} \textcircled{7} \quad & \overline{U}_{4\sigma_4} \gamma(\epsilon_1) \gamma(\epsilon_2) \gamma(q_2) (1 - \gamma_5) V_{3\sigma_3} = 2\delta_{\lambda_2, \lambda_1} \delta_{\lambda_1, -1} \overline{U}_{4\sigma_4} \gamma(q_2) (1 - \gamma_5) V_{3\sigma_3} \\ & = 4\delta_{\lambda_2, \lambda_1} \delta_{\lambda_1, -1} \delta_{2\sigma_3, -1} \left[-\delta_{\sigma_4, \sigma_3} \sqrt{2p_3 \cdot p_4} q_2 \cdot X' - \delta_{\sigma_4, -\sigma_3} \frac{2M}{\sqrt{2p_3 \cdot p_4}} q_2 \cdot p_3 \right] \\ & = 2\sqrt{s} \sqrt{s - M^2} \delta_{\lambda_2, \lambda_1} \delta_{\lambda_1, -1} \delta_{2\sigma_3, -1} \left[\delta_{\sigma_4, \sigma_3} \sin \theta - \delta_{\sigma_4, -\sigma_3} \frac{M}{\sqrt{s}} [1 + \cos \theta] \right] \end{aligned}$$

$$\begin{aligned} \textcircled{8} \quad & \overline{U}_{4\sigma_4} \gamma(\epsilon_2) \gamma(\epsilon_1) \gamma(q_1) (1 - \gamma_5) V_{3\sigma_3} = 2\delta_{\lambda_2, \lambda_1} \delta_{\lambda_1, -1} \overline{U}_{4\sigma_4} \gamma(q_1) (1 - \gamma_5) V_{3\sigma_3} \\ & = -2\sqrt{s} \sqrt{s - M^2} \delta_{\lambda_2, \lambda_1} \delta_{\lambda_1, -1} \delta_{2\sigma_3, -1} \left[\delta_{\sigma_4, \sigma_3} \sin \theta + \delta_{\sigma_4, -\sigma_3} \frac{M}{\sqrt{s}} [1 - \cos \theta] \right] \end{aligned}$$

On a $E_4 = \sqrt{s} - E_3 = \frac{s + M^2}{2\sqrt{s}}$. Nous poserons $\beta^* = \frac{E_3}{E_4} = \frac{s - M^2}{s + M^2}$. On a

$$2q_{1,2} \cdot p_4 = 2\sqrt{s}E_4(1 \pm \beta^* \cos \theta) = 2\sqrt{s}E_3(1 \pm \beta^* \cos \theta)/\beta^*$$

$$\epsilon_1 \cdot p_3 = -\epsilon_1 \cdot p_4 = \frac{\lambda_1 E_3}{\sqrt{2}} \sin \theta, \quad \epsilon_2 \cdot p_3 = -\epsilon_2 \cdot p_4 = -\frac{\lambda_2 E_3}{\sqrt{2}} \sin \theta$$

Rassemblant toutes ces expressions, on aboutit aux formules des six amplitudes d'hélicité non nulles $T_{\lambda_1, \lambda_2}^{\sigma_4, \sigma_3}$ listées dans le tableau VI et dont nous laissons la vérification au lecteur.

$T_{+,-}^{\uparrow, \downarrow} = -\sqrt{s-M^2} [1 + \cos \theta] \left\{ 1 + \beta^* \left(1 + \frac{\kappa}{2} \right) \frac{1 - \cos \theta}{1 + \beta^* \cos \theta} \right\}$	(4.72)
$T_{+,-}^{\downarrow, \downarrow} = -\frac{M\sqrt{s-M^2}}{\sqrt{s}} \frac{\sin \theta [1 + \cos \theta]}{1 - \cos \theta} \left\{ 1 + \beta^* \left(1 + \frac{\kappa s}{2M^2} \right) \frac{1 - \cos \theta}{1 + \beta^* \cos \theta} \right\}$	
$T_{-,+}^{\uparrow, \downarrow} = -\sqrt{s-M^2} [1 - \cos \theta] \left\{ 1 + \beta^* \left(1 + \frac{\kappa}{2} \right) \frac{1 + \cos \theta}{1 - \beta^* \cos \theta} \right\}$	
$T_{-,+}^{\downarrow, \downarrow} = \frac{M\sqrt{s-M^2}}{\sqrt{s}} \frac{\sin \theta [1 - \cos \theta]}{1 + \cos \theta} \left\{ 1 + \beta^* \left(1 + \frac{\kappa s}{2M^2} \right) \frac{1 + \cos \theta}{1 - \beta^* \cos \theta} \right\}$	
$T_{-,-}^{\uparrow, \downarrow} = -\sqrt{s-M^2} \frac{1 + \beta^*}{\beta^*} \left[2 + \beta^* \kappa \frac{1 - \beta^* \cos^2 \theta}{1 - \beta^{*2} \cos^2 \theta} \right]$	
$T_{-,-}^{\downarrow, \downarrow} = -\frac{M}{\sqrt{s}} \sqrt{s-M^2} \cot \theta \left[2 \frac{1 - \beta^*}{\beta^*} + \frac{\beta^* \sin^2 \theta [4\beta^* + \kappa(1 + \beta^*)]}{1 - \beta^{*2} \cos^2 \theta} \right]$	

Tableau VI - Amplitudes d'hélicité non nulles pour $\gamma + \gamma \rightarrow e^{*-} + e^+$ ($m_{e^+} = 0$)

4.10 Amplitudes d'hélicité de $e^- + e^+ \rightarrow W^- + W^+$ via l'échange de leptons excités

Dans le cadre du modèle standard électro-faible, cette réaction s'effectue, à l'ordre le plus bas suivant les constantes de couplage, selon l'un ou l'autre des deux processus décrits par les diagrammes de la figure 4.7. Le premier, (a), procède de l'échange dans la voie t d'un neutrino électronique, et le second, (b), de l'échange dans la voie s d'un photon ou d'un Z .

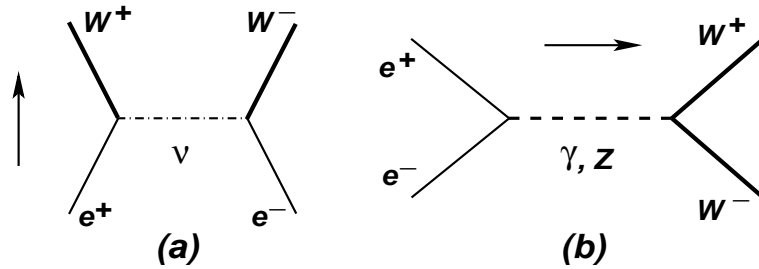


FIGURE 4.7 – Diagrammes de Feynman du modèle standard pour $e^- + e^+ \rightarrow W^- + W^+$

Cependant, si l'on imagine que les leptons actuellement observés sont en réalité des états liés de particules plus fondamentales, appelées “préons” dans les modèles de “compositeness”, et qui restent à découvrir, on peut envisager, à l’instar de ce qui est observé dans le secteur hadronique, des multiplets d’isospin faible de leptons excités; et si l’on suppose en outre que ces leptons excités peuvent être couplés aux leptons usuels par les particules de jauge γ, W, Z , d’autres voies de réalisation de réactions telles que celle considérée ici peuvent être imaginées¹⁹. Ainsi, dans le secteur d’isospin et d’hypercharge $I_W = \frac{3}{2}, Y = -1$ on peut avoir quatre électrons excités (E^+, E^0, E^-, E^{--}) (de spin 1/2), dont un neutre et un doublement chargé négativement, ces derniers étant susceptibles d’intervenir dans la production d’une paire W^-W^+ par collisions e^-e^+ , via les processus décrits par les diagrammes de la figure 4.8, qui procèdent par échange dans la voie t d’un E^{--} , diagramme (a), ou d’un E^0 , diagramme (b).

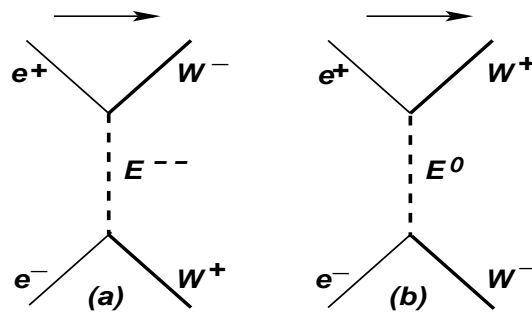


FIGURE 4.8 – Diagrammes de Feynman pour $e^- + e^+ \rightarrow W^- + W^+$ via l'échange de leptons excités

Le couplage qui nous intéresse ici entre ces électrons excités et l'électron usuel est supposé de type magnétique²⁰ et décrit par le Lagrangien effectif suivant

¹⁹. Voir par exemple les récentes publications suivantes, dans lesquelles le lecteur trouvera de nombreuses références : S. Biondini, *Frascati Phys. Ser.* 55 (2012) 7-12; S. Biondini, O. Panella, G. Pancheri, Y. Srivastava, *Phys. Rev. D* 85 (2012) 095018; *Nuovo Cim.* C037, (2014) 02, 91-97; S. Biondini, O. Panella, *Phys. Rev. D* 92 (2015) 015023; S. Biondini, O. Panella, *Frascati Phys. Ser.* 61 (2016) 141-146.

²⁰. Ce qui garantit l'invariance de jauge.

$$\mathcal{L} = C \left\{ \bar{e} \sigma_{\mu\nu} \partial^\mu W^{(+)\nu} [1 + \gamma_5] E^{--} + \overline{E^{--}} \sigma_{\mu\nu} \partial^\mu W^{(-)\nu} [1 - \gamma_5] e \right. \\ \left. + \frac{1}{\sqrt{3}} \bar{e} \sigma_{\mu\nu} \partial^\mu W^{(-)\nu} [1 + \gamma_5] E^0 + \frac{1}{\sqrt{3}} \overline{E^0} \sigma_{\mu\nu} \partial^\mu W^{(+)\nu} [1 - \gamma_5] e \right\} \quad (4.73)$$

où C est une constante de couplage dont la valeur est ici sans importance et où, ici encore, $\sigma_{\mu\nu} = \frac{i}{4} [\gamma_\mu, \gamma_\nu]$. Avec ce Lagrangien, les amplitudes correspondant aux diagrammes (a) et (b) de la figure 4.8 sont respectivement

$$\mathcal{A}_a = \frac{1}{D_a} \overline{V_2} \sigma_{\mu\nu} p_3^\mu \epsilon_3^{*\nu} [1 + \gamma_5] [M_a + \gamma(Q_a)] \sigma_{\rho\omega} p_4^\rho \epsilon_4^{*\omega} [1 - \gamma_5] U_1 \\ \text{avec } Q_a = p_1 - p_4, \quad D_a = M_a^2 - Q_a^2, \\ \mathcal{A}_b = \frac{1}{3D_b} \overline{V_2} \sigma_{\mu\nu} p_4^\mu \epsilon_4^{*\nu} [1 + \gamma_5] [M_b + \gamma(Q_b)] \sigma_{\rho\omega} p_3^\rho \epsilon_3^{*\omega} [1 - \gamma_5] U_1 \\ \text{avec } Q_b = p_1 - p_3, \quad D_b = M_b^2 - Q_b^2$$

après division par C^2 . Les notations sont les suivantes : (U_1, p_1) et (V_2, p_2) sont les spineurs et 4-impulsions respectives de l'électron et du positron incidents; (ϵ_3, p_3) et (ϵ_4, p_4) sont les vecteurs de polarisation et les 4-impulsions respectives du W^- et du W^+ finals; M_a et M_b sont les masses respectives de E^{--} et de E^0 , que l'on peut supposer égales, conformément à la symétrie supposée. Ces masses sont supposées très grandes devant la masse de l'électron, de sorte que nous négligerons cette dernière²¹. Dans le référentiel du centre de masse de la réaction, l'électron incident se propage selon l'axe Z et le positron en sens inverse, tandis que le W^- sortant est émis avec l'angle θ par rapport à Z . Dans ce référentiel, l'axe Y est choisi selon $\vec{p}_1 \wedge \vec{p}_3$ et l'on a

$$p_1 = \frac{\sqrt{s}}{2} [T + Z], \quad p_2 = \frac{\sqrt{s}}{2} [T - Z], \quad \text{avec } s = (p_1 + p_2)^2, \\ p_3 = \frac{\sqrt{s}}{2} [T + \beta Z'], \quad p_4 = \frac{\sqrt{s}}{2} [T - \beta Z'], \quad \text{avec } \beta = \sqrt{1 - \frac{4M_W^2}{s}}, \\ Z' = Z \cos \theta + X \sin \theta, \quad X' = X \cos \theta - Z \sin \theta \\ \epsilon_3^{(\lambda)} = -\frac{1}{\sqrt{2}} [\lambda X' + iY], \quad \epsilon_4^{(\lambda)} = \epsilon_3^{(-\lambda)} \quad \text{pour } \lambda = \pm 1, \\ \epsilon_3^{(0)} = \frac{\sqrt{s}}{2M_W} [Z' + \beta T], \quad \epsilon_4^{(0)} = \frac{\sqrt{s}}{2M_W} [-Z' + \beta T]$$

De par la forme magnétique du couplage et la présence des matrices $(1 + \gamma_5)$ et $(1 - \gamma_5)$, les amplitudes "réduites" $T_a = 4D_a \mathcal{A}_a$, $T_b = 12D_b \mathcal{A}_b$ s'expriment comme

$$T_a = -\overline{V_2} [1 + \gamma_5] \gamma(p_3) \gamma(\epsilon_3^*) \gamma(Q_a) \gamma(p_4) \gamma(\epsilon_4^*) [1 - \gamma_5] U_1 \quad \text{et} \\ T_b = -\overline{V_2} [1 + \gamma_5] \gamma(p_4) \gamma(\epsilon_4^*) \gamma(Q_b) \gamma(p_3) \gamma(\epsilon_3^*) [1 - \gamma_5] U_1 \quad (4.74)$$

La masse de l'électron étant négligée, on a²²

21. Compte tenu du fait qu'on a aussi $M_W \gg m_e$...

22. A démontrer!

$$\begin{aligned}
 U_{1\sigma_1} \overline{V}_{2\sigma_2} &= \frac{1}{2\sqrt{s}} \delta_{\sigma_2, -\sigma_1} \gamma(p_1) \gamma(p_2) [1 + (2\sigma_1)\gamma_5] \\
 &+ (2\sigma_1) \frac{\sqrt{s}}{4} \delta_{\sigma_2, \sigma_1} \gamma(X + i(2\sigma_1)Y) [1 - (2\sigma_1)\gamma_5]
 \end{aligned} \tag{4.75}$$

et

$$[1 - \gamma_5] U_{1\sigma_1} \overline{V}_{2\sigma_2} [1 + \gamma_5] = -\sqrt{s} \delta_{\sigma_2, \sigma_1} \delta_{2\sigma_1, -1} \gamma(X - iY) [1 + \gamma_5] \tag{4.76}$$

Comme on pouvait le prévoir, seules les hélicités $\sigma_2 = \sigma_1 = -1/2$ contribuent. On en déduit

$$\begin{aligned}
 T_a &= \sqrt{s} \delta_{\sigma_2, \sigma_1} \delta_{2\sigma_1, -1} X_a \quad \text{avec} \\
 X_a &= \text{Tr} \gamma(p_3) \gamma(\epsilon_3^*) \gamma(Q_a) \gamma(p_4) \gamma(\epsilon_4^*) \gamma(X - iY) [1 + \gamma_5]
 \end{aligned}$$

De façon évidente, T_b se déduit de T_a en échangeant les rôles de W^- et W^+ . Il suffit donc de déterminer uniquement les amplitudes T_a .

☞ Commençons par l'évaluation de la trace X_a pour des polarisations uniquement circulaires. On a

$$\begin{aligned}
 X_a(\lambda_1, \lambda_2) &= \text{Tr} \gamma(p_3) \gamma(\epsilon^{(-\lambda_1)}) \gamma(Q_a) \gamma(p_4) \gamma(\epsilon^{(\lambda_2)}) \gamma(X - iY) [1 + \gamma_5] \\
 &= \delta_{\lambda_2, \lambda_1} \text{Tr} \gamma(p_3) \gamma(\epsilon^{(-\lambda_1)}) \gamma(Q_a) \gamma(p_4) \gamma(\epsilon^{(\lambda_1)}) \gamma(X - iY) [1 + \gamma_5] \\
 &+ \delta_{\lambda_2, -\lambda_1} \text{Tr} \gamma(p_3) \gamma(\epsilon^{(-\lambda_1)}) \gamma(Q_a) \gamma(p_4) \gamma(\epsilon^{(-\lambda_1)}) \gamma(X - iY) [1 + \gamma_5] \\
 \text{et } Q_a &= \frac{\sqrt{s}}{2} [Z + \beta Z'], \quad Z = Z' \cos \theta - \frac{\sin \theta}{\sqrt{2}} [\epsilon^{(-)} - \epsilon^{(+)}]
 \end{aligned}$$

① Comme les vecteurs de polarisation circulaire sont isotropes, il vient

$$\begin{aligned}
 &\text{Tr} \gamma(p_3) \gamma(\epsilon^{(-\lambda_1)}) \gamma(Q_a) \gamma(p_4) \gamma(\epsilon^{(\lambda_1)}) \gamma(X - iY) [1 + \gamma_5] \\
 &= \frac{\sqrt{s}}{2} [\cos \theta + \beta] \text{Tr} \gamma(p_3) \gamma(\epsilon^{(-\lambda_1)}) \gamma(Z') \gamma(p_4) \gamma(\epsilon^{(\lambda_1)}) \gamma(X - iY) [1 + \gamma_5] \\
 &= \frac{s\sqrt{s}}{8} [\cos \theta + \beta] \text{Tr} \gamma(T + \beta Z') \gamma(\epsilon^{(-\lambda_1)}) \gamma(Z') \gamma(T - \beta Z') \gamma(\epsilon^{(\lambda_1)}) \gamma(X - iY) [1 + \gamma_5] \\
 &= \frac{s\sqrt{s}}{8} [\cos \theta + \beta] \text{Tr} \gamma(T + \beta Z') \gamma(T + \beta Z') \gamma(\epsilon^{(-\lambda_1)}) \gamma(Z') \gamma(\epsilon^{(\lambda_1)}) \gamma(X - iY) [1 + \gamma_5] \\
 &= M_W^2 \frac{\sqrt{s}}{2} [\cos \theta + \beta] \text{Tr} \gamma(\epsilon^{(-\lambda_1)}) \gamma(Z') \gamma(\epsilon^{(\lambda_1)}) \gamma(X - iY) [1 + \gamma_5]
 \end{aligned}$$

Mais

$$\begin{aligned}
 \gamma(\epsilon^{(-\lambda_1)}) \gamma(\epsilon^{(\lambda_1)}) &= 1 - i\lambda_1 \gamma(X') \gamma(Y) = 1 - \lambda_1 \gamma(Z') \gamma(T) \gamma_5, \quad \text{et} \\
 \text{Tr} \gamma(\epsilon^{(-\lambda_1)}) \gamma(Z') \gamma(\epsilon^{(\lambda_1)}) \gamma(X - iY) [1 + \gamma_5] &= -\text{Tr} [\gamma(Z') - \lambda_1 \gamma(T) \gamma_5] \gamma(X - iY) [1 + \gamma_5] \\
 &= -4Z' \cdot X = 4 \sin \theta
 \end{aligned}$$

Ainsi,

$$\text{Tr } \gamma(p_3)\gamma(\epsilon^{(-\lambda_1)})\gamma(Q_a)\gamma(p_4)\gamma(\epsilon^{(\lambda_1)})\gamma(X - iY) [1 + \gamma_5] = 2M_W^2\sqrt{s} \sin \theta [\cos \theta + \beta]$$

$$\begin{aligned} \textcircled{2} \quad & \text{Tr } \gamma(p_3)\gamma(\epsilon^{(-\lambda_1)})\gamma(Q_a)\gamma(p_4)\gamma(\epsilon^{(-\lambda_1)})\gamma(X - iY) [1 + \gamma_5] \\ &= -\frac{\sqrt{s}}{2}\text{Tr } \gamma(p_3)\gamma(\epsilon^{(-\lambda_1)})\gamma(Z)\gamma(\epsilon^{(-\lambda_1)})\gamma(p_4)\gamma(X - iY) [1 + \gamma_5] \\ &= -\sqrt{s} Z \cdot \epsilon^{(-\lambda_1)} \text{Tr } \gamma(p_3)\gamma(\epsilon^{(-\lambda_1)})\gamma(p_4)\gamma(X - iY) [1 + \gamma_5] \end{aligned}$$

Or,

$$\boxed{\gamma(p_3)\gamma(\epsilon^{(-\lambda_1)})\gamma(p_4) = -\frac{s}{4}\gamma(\epsilon^{(-\lambda_1)}) [1 - \lambda_1\beta\gamma_5]^2} \quad (4.77)$$

donc

$$\begin{aligned} \text{Tr } \gamma(p_3)\gamma(\epsilon^{(-\lambda_1)})\gamma(p_4)\gamma(X - iY) [1 + \gamma_5] &= -\frac{s}{4} (1 + \lambda_1\beta)^2 \text{Tr } \gamma(\epsilon^{(-\lambda_1)})\gamma(X - iY) [1 + \gamma_5] \\ &= -s(1 + \lambda_1\beta)^2 \epsilon^{(-\lambda_1)} \cdot (X - iY) = -\frac{s}{\sqrt{2}}(1 + \lambda_1\beta)^2 [1 - \lambda_1 \cos \theta] \end{aligned}$$

Comme $Z \cdot \epsilon^{(-\lambda_1)} = \frac{\lambda_1}{\sqrt{2}} \sin \theta$, on aboutit à

$$\begin{aligned} & \text{Tr } \gamma(p_3)\gamma(\epsilon^{(-\lambda_1)})\gamma(Q_a)\gamma(p_4)\gamma(\epsilon^{(-\lambda_1)})\gamma(X - iY) [1 + \gamma_5] \\ &= \lambda_1 \frac{s\sqrt{s}}{2} (1 + \lambda_1\beta)^2 \sin \theta [1 - \lambda_1 \cos \theta] \end{aligned}$$

Finalement, pour $|\lambda_1| = |\lambda_2| = 1$, on obtient

$$X_a(\lambda_1, \lambda_2) = \frac{s\sqrt{s}}{2} \sin \theta \left[\delta_{\lambda_1, \lambda_2} (1 - \beta^2) [\cos \theta + \beta] + \delta_{\lambda_2, -\lambda_1} \lambda_1 (1 + \lambda_1\beta)^2 [1 - \lambda_1 \cos \theta] \right]$$

$$\boxed{X_a(\lambda_1, \lambda_2) = \frac{s\sqrt{s}}{2} \sin \theta \left[\delta_{\lambda_1, \lambda_2} (1 - \beta^2) [\cos \theta + \beta] + \delta_{\lambda_2, -\lambda_1} \lambda_1 (1 + \lambda_1\beta)^2 [1 - \lambda_1 \cos \theta] \right]}, \quad |\lambda_1| = |\lambda_2| = 1} \quad (4.78)$$

☞ Prenons maintenant $\lambda_1 = 0, |\lambda_2| = 1$. Ici, $\epsilon_3^{(0)} \equiv z_3$ et, dans le couplage d'hélicité en voie s , $\gamma(p_3)\gamma(\epsilon_3^{(0)}) = M_W\gamma(t_3)\gamma(z_3) = M_W\gamma(T)\gamma(Z')$. Donc²³

$$\begin{aligned} X_a(0, \lambda_2) &= -M_W \frac{s}{4} \text{Tr } \gamma(T)\gamma(Z')\gamma(Z + \beta Z')\gamma(T - \beta Z')\gamma(\epsilon^{(\lambda_2)})\gamma(X - iY) [1 + \gamma_5] \\ &= M_W \frac{s}{4} \text{Tr } \gamma(T) [\cos \theta + \beta + \sin \theta \gamma(Z')\gamma(X')] \gamma(T - \beta Z')\gamma(\epsilon^{(\lambda_2)})\gamma(X - iY) [1 + \gamma_5] \\ &= M_W \frac{s}{4} \text{Tr } [\cos \theta + \beta + \sin \theta \gamma(Z')\gamma(X')] [1 + \beta \gamma(Z')\gamma(T)] \gamma(\epsilon^{(\lambda_2)})\gamma(X - iY) [1 + \gamma_5] \end{aligned}$$

23. Rappelons que $\epsilon_2^* = [\epsilon_1^{(-\lambda_2)}]^* = -\epsilon^{(\lambda_2)}$.

Or, d'une part, $\gamma(Z')\gamma(X') = \gamma(Z)\gamma(X)$, et, d'autre part,

$$\boxed{[1 + \beta\gamma(Z')\gamma(T)]\gamma(\epsilon^{(\lambda_2)}) = \gamma(\epsilon^{(\lambda_2)})[1 - \lambda_2\beta\gamma_5]} \quad (4.79)$$

On a ainsi

$$\begin{aligned} X_a(0, \lambda_2) &= M_W \frac{s}{4} [1 + \lambda_2\beta] \text{Tr} \gamma(X - iY) [\cos \theta + \beta + \sin \theta \gamma(Z)\gamma(X)] \gamma(\epsilon^{(\lambda_2)}) [1 - \gamma_5] \\ &= M_W \frac{s}{4} [1 + \lambda_2\beta] \text{Tr} \left\{ [\cos \theta + \beta] \gamma(X - iY) + \sin \theta \gamma(Z) + \sin \theta \gamma(T)\gamma_5 \right\} \gamma(\epsilon^{(\lambda_2)}) [1 - \gamma_5] \\ &= M_W s [1 + \lambda_2\beta] \left\{ [\cos \theta + \beta] (X - iY) + \sin \theta Z \right\} \cdot \epsilon^{(\lambda_2)} \end{aligned}$$

soit, tous calculs effectués,

$$\boxed{X_a(0, \lambda_2) = \frac{M_W s}{\sqrt{2}} [1 + \lambda_2\beta] [1 + \lambda_2 \cos \theta] [\beta - \lambda_2 + 2 \cos \theta],} \quad (4.80)$$

$$|\lambda_2| = 1$$

☞ Le lecteur vérifiera que l'on obtient de façon similaire :

$$\boxed{X_a(\lambda_1, 0) = -\frac{M_W s}{\sqrt{2}} [1 - \lambda_1\beta] [1 - \lambda_1 \cos \theta] [\beta + \lambda_1 + 2 \cos \theta],} \quad (4.81)$$

$$|\lambda_1| = 1$$

☞ Prenons maintenant $\lambda_1 = \lambda_2 = 0$. On a alors $\gamma(p_3)\gamma(\epsilon_3^{(0)}) = -\gamma(p_4)\gamma(\epsilon_4^{(0)}) = M_W \gamma(T)\gamma(Z')$, et

$$\begin{aligned} X_a(0, 0) &= -M_W^2 \frac{\sqrt{s}}{2} \text{Tr} \gamma(T)\gamma(Z')\gamma(Z + \beta Z')\gamma(T)\gamma(Z')\gamma(X - iY) [1 + \gamma_5] \\ &= M_W^2 \frac{\sqrt{s}}{2} \text{Tr} \left\{ [\cos \theta + \beta] \gamma(Z') + \sin \theta \gamma(X') \right\} \gamma(X - iY) [1 + \gamma_5] \\ &= 2M_W^2 \sqrt{s} [(\cos \theta + \beta) Z' \cdot X + \sin \theta X' \cdot X], \text{ soit} \end{aligned}$$

$$\boxed{X_a(0, 0) = -2M_W^2 \sqrt{s} \sin \theta [\beta + \cos \theta]} \quad (4.82)$$

4.11 Amplitudes d'hélicité de $g + g \rightarrow g + g$

La diffusion de deux gluons, $g + g \rightarrow g + g$, est un processus de pure Chromodynamique Quantique. A l'ordre le plus bas selon la constante de couplage forte $\sqrt{4\pi\alpha_s}$, il est décrit par les diagrammes de la figure (4.9)

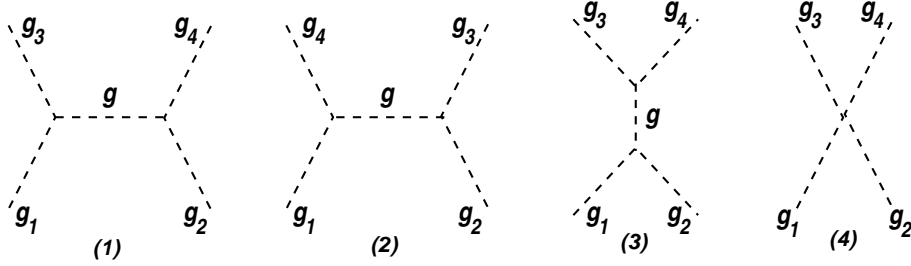


FIGURE 4.9 – Diagrammes de Feynman pour $g + g \rightarrow g + g$

correspondant respectivement aux amplitudes tensorielles suivantes (obtenues après division par $4\pi\alpha_s$) :

$$A_1 = -\frac{1}{(p_1 - p_3)^2} f_{\alpha\gamma a} f_{\beta\delta a} \left\{ g_{\mu\rho}(p_1 + p_3)_\omega + g_{\rho\omega}(p_1 - 2p_3)_\mu - g_{\mu\omega}(2p_1 - p_3)_\rho \right\} g^{\omega\pi} \times \\ \left\{ g_{\nu\sigma}(p_4 + p_2)_\pi + g_{\nu\pi}(p_4 - 2p_2)_\sigma - g_{\sigma\pi}(2p_4 - p_2)_\nu \right\}$$

$$A_2 = -\frac{1}{(p_1 - p_4)^2} f_{\alpha\delta a} f_{\beta\gamma a} \left\{ g_{\mu\sigma}(p_1 + p_4)_\omega + g_{\sigma\omega}(p_1 - 2p_4)_\mu - g_{\mu\omega}(2p_1 - p_4)_\sigma \right\} g^{\omega\pi} \times \\ \left\{ g_{\nu\rho}(p_3 + p_2)_\pi + g_{\nu\pi}(p_3 - 2p_2)_\rho - g_{\rho\pi}(2p_3 - p_2)_\nu \right\}$$

$$A_3 = \frac{1}{(p_1 + p_2)^2} f_{\alpha\beta a} f_{\gamma\delta a} \left\{ g_{\mu\nu}(p_1 - p_2)_\omega + g_{\nu\omega}(p_1 + 2p_2)_\mu - g_{\mu\omega}(2p_1 + p_2)_\nu \right\} g^{\omega\pi} \times \\ \left\{ g_{\rho\sigma}(p_3 - p_4)_\pi + g_{\sigma\pi}(p_3 + 2p_4)_\rho - g_{\rho\pi}(2p_3 + p_4)_\sigma \right\}$$

$$A_4 = f_{\alpha\beta a} f_{\gamma\delta a} \left\{ g_{\mu\sigma} g_{\nu\rho} - g_{\mu\rho} g_{\nu\sigma} \right\} + f_{\alpha\gamma a} f_{\delta\beta a} \left\{ g_{\mu\nu} g_{\rho\sigma} - g_{\mu\sigma} g_{\rho\nu} \right\} \\ + f_{\gamma\beta a} f_{\alpha\delta a} \left\{ g_{\rho\sigma} g_{\nu\mu} - g_{\rho\mu} g_{\nu\sigma} \right\}$$

Dans ces expressions, les grandeurs $f_{\alpha\beta a}$, etc, sont les constantes de structure de l'algèbre de Lie $su(3)$, et une sommation sur l'indice a y est implicite. Ces constantes ne sont pas indépendantes car elles satisfont l'identité de Jacobi

$$f_{\alpha\beta a} f_{a\gamma\delta} + f_{\beta\gamma a} f_{a\alpha\delta} + f_{\gamma\alpha a} f_{a\beta\delta} = 0 \quad (4.83)$$

(avec sommation sur a), soit

$$f_{\alpha\beta a} f_{\gamma\delta a} = f_{\alpha\gamma a} f_{\beta\delta a} - f_{\alpha\delta a} f_{\beta\gamma a} \quad (4.84)$$

Cette dernière relation permet des regroupements de termes dans l'amplitude totale. Mais avant de les effectuer, précisons les notations. Le référentiel du centre de masse de la réaction a pour base (T, X, Y, Z) . Les gluons sont des particules vectorielles de masse nulle et n'ont donc que des polarisations circulaires. Leurs 4-impulsions, indices de Lorentz, indices de couleur, 4-vecteurs de polarisation sont les suivants :

- ✓ $(p_1, \mu, \alpha, \epsilon_1)$ et $(p_2, \nu, \beta, \epsilon_2)$ pour les gluons initiaux, avec $p_1 = \frac{\sqrt{s}}{2} [T + Z]$, $p_2 = \frac{\sqrt{s}}{2} [T - Z]$,
 $\epsilon_1 = -\frac{1}{\sqrt{2}} [\lambda_1 X + iY]$, $\epsilon_2 = -\frac{1}{\sqrt{2}} [-\lambda_2 X + iY]$;
- ✓ $(p_3, \rho, \gamma, \epsilon_3)$ et $(p_4, \sigma, \delta, \epsilon_4)$ pour les gluons finals, avec $p_3 = \frac{\sqrt{s}}{2} [T + Z']$, $p_4 = \frac{\sqrt{s}}{2} [T - Z']$,
 $\epsilon_3 = -\frac{1}{\sqrt{2}} [\lambda_3 X' + iY]$, $\epsilon_4 = -\frac{1}{\sqrt{2}} [-\lambda_4 X' + iY]$, $Z' = Z \cos \theta + X \sin \theta$, $X' = X \cos \theta - Z \sin \theta$;
- ✓ enfin : $s = 2p_1 \cdot p_2 = 2p_3 \cdot p_4$, $t = 2p_1 \cdot p_3 = 2p_2 \cdot p_4$, $u = 2p_1 \cdot p_4 = 2p_2 \cdot p_3$, et l'on a $s = t + u$.

En couplage d'hélicité dans la voie s , les 4-impulsions p_1 et p_2 sont toutes deux orthogonales à la fois à ϵ_1 et ϵ_2 ; de même, les 4-impulsions p_3 et p_4 sont toutes deux orthogonales à la fois à ϵ_3 et ϵ_4 . En conséquence, nous éliminerons dans l'amplitude tensorielle les termes proportionnels à $p_{1\mu}, p_{1\nu}, p_{2\mu}, p_{2\nu}, p_{3\rho}, p_{3\sigma}, p_{4\rho}, p_{4\sigma}$, dont les contributions sont finalement nulles²⁴. Tenant compte aussi du fait que $(p_1 + p_2)_{\mu\text{ou}\nu} = (p_3 + p_4)_{\mu\text{ou}\nu} \equiv 0$ et $(p_3 + p_4)_{\rho\text{ou}\sigma} = (p_1 + p_2)_{\rho\text{ou}\sigma} \equiv 0$, on obtient ainsi l'amplitude tensorielle "effective" suivante

$$\begin{aligned}
 T &= 2 f_{\alpha\gamma a} f_{\beta\delta a} T_1 + 2 f_{\alpha\delta a} f_{\beta\gamma a} T_2, \quad \text{où} \\
 T_1 &= g_{\mu\sigma} g_{\nu\rho} + \frac{u}{t} g_{\mu\rho} g_{\nu\sigma} - \frac{u}{s} g_{\mu\nu} g_{\rho\sigma} + \frac{2}{t} \left\{ p_{1\rho} [p_{3\mu} g_{\nu\sigma} - p_{3\nu} g_{\mu\sigma}] \right. \\
 &\quad \left. + p_{1\sigma} [p_{3\nu} g_{\mu\rho} - p_{3\mu} g_{\nu\rho}] - p_{1\rho} p_{1\sigma} g_{\mu\nu} - p_{3\mu} p_{3\nu} g_{\rho\sigma} \right\} \\
 T_2 &= g_{\mu\rho} g_{\nu\sigma} + \frac{t}{u} g_{\mu\sigma} g_{\nu\rho} - \frac{t}{s} g_{\mu\nu} g_{\rho\sigma} + \frac{2}{u} \left\{ -p_{1\sigma} [p_{3\mu} g_{\nu\rho} - p_{3\nu} g_{\mu\rho}] \right. \\
 &\quad \left. - p_{1\rho} [p_{3\nu} g_{\mu\sigma} - p_{3\mu} g_{\nu\sigma}] - p_{1\rho} p_{1\sigma} g_{\mu\nu} - p_{3\mu} p_{3\nu} g_{\rho\sigma} \right\}
 \end{aligned} \tag{4.85}$$

Clairement, on obtient T_2 à partir de T_1 en échangeant entre eux soit les gluons finals, soit les gluons initiaux²⁵. Pour le calcul des amplitudes d'hélicité, qui est ici encore un excellent exercice de manipulation des 4-vecteurs de polarisation et de leurs indices de spin, les formules suivantes sont utiles :

$$\begin{aligned}
 \epsilon_1 \cdot \epsilon_2 &= \delta_{\lambda_2, \lambda_1} = \frac{1}{2} (1 + \lambda_1 \lambda_2), \quad \epsilon_3 \cdot \epsilon_4 = \delta_{\lambda_3, \lambda_4} = \frac{1}{2} (1 + \lambda_3 \lambda_4), \\
 \epsilon_1 \cdot \epsilon_3^* &= -\frac{1}{2} [1 + \lambda_1 \lambda_3 \cos \theta], \quad \epsilon_1 \cdot \epsilon_4^* = -\frac{1}{2} [1 - \lambda_1 \lambda_4 \cos \theta], \\
 \epsilon_2 \cdot \epsilon_3^* &= -\frac{1}{2} [1 - \lambda_2 \lambda_3 \cos \theta], \quad \epsilon_2 \cdot \epsilon_4^* = -\frac{1}{2} [1 + \lambda_2 \lambda_4 \cos \theta], \\
 p_1 \cdot \epsilon_3^* &= -\lambda_3 \frac{\sqrt{s}}{2\sqrt{2}} \sin \theta, \quad p_1 \cdot \epsilon_4^* = \lambda_4 \frac{\sqrt{s}}{2\sqrt{2}} \sin \theta, \\
 p_3 \cdot \epsilon_1 &= \lambda_1 \frac{\sqrt{s}}{2\sqrt{2}} \sin \theta, \quad p_3 \cdot \epsilon_2 = -\lambda_2 \frac{\sqrt{s}}{2\sqrt{2}} \sin \theta
 \end{aligned}$$

24. Notons ici que l'amplitude tensorielle est invariante de jauge relativement à chacun des indices μ, ν, ρ et σ , à la condition que les autres indices soient contractés avec les vecteurs de polarisation qui leur sont respectivement attachés.

25. Notons aussi que les facteurs de couleur associés respectivement à T_1 et à T_2 sont indépendants et que de ce fait, T_1 et T_2 sont séparément invariants de jauge, sous la condition mentionnée dans la note précédente.

$$\cos \theta = 1 - \frac{2t}{s} = \frac{2u}{s} - 1, \quad \sin^2 \theta = \frac{4ut}{s^2}$$

☞ Pour simplifier l'écriture, posons $c = \cos \theta$ puis calculons :

$$\begin{aligned} T_{1\lambda_1 \lambda_2 \lambda_3 \lambda_4} &= (\epsilon_1 \cdot \epsilon_4^*)(\epsilon_2 \cdot \epsilon_3^*) + \frac{u}{t}(\epsilon_1 \cdot \epsilon_3^*)(\epsilon_2 \cdot \epsilon_4^*) - \frac{u}{s}(\epsilon_1 \cdot \epsilon_2)(\epsilon_3^* \cdot \epsilon_4^*) \\ &\quad + \frac{2}{t} \left[(p_1 \cdot \epsilon_3^*) \left[(p_3 \cdot \epsilon_1)(\epsilon_2 \cdot \epsilon_4^*) - (p_3 \cdot \epsilon_2)(\epsilon_1 \cdot \epsilon_4^*) \right] \right. \\ &\quad \left. + (p_1 \cdot \epsilon_4^*) \left[(p_3 \cdot \epsilon_2)(\epsilon_1 \cdot \epsilon_3^*) - (p_3 \cdot \epsilon_1)(\epsilon_2 \cdot \epsilon_3^*) \right] \right. \\ &\quad \left. - (p_1 \cdot \epsilon_3^*)(p_1 \cdot \epsilon_4^*)(\epsilon_1 \cdot \epsilon_2) - (p_3 \cdot \epsilon_1)(p_3 \cdot \epsilon_2)(\epsilon_3^* \cdot \epsilon_4^*) \right] \\ &= \frac{1}{4} [1 - \lambda_1 \lambda_4 c] [1 - \lambda_2 \lambda_3 c] + \frac{u}{4t} [1 + \lambda_1 \lambda_3 c] [1 + \lambda_2 \lambda_4 c] - \frac{u}{s} \delta_{\lambda_2, \lambda_1} \delta_{\lambda_4, \lambda_3} \\ &\quad + \frac{1}{4t} \left[\frac{\sqrt{s}}{2\sqrt{2}} \sin \theta \right]^2 \left\{ \frac{\lambda_3}{2} [\lambda_1 [1 + \lambda_2 \lambda_4 c] + \lambda_2 [1 - \lambda_1 \lambda_3 c]] \right. \\ &\quad \left. + \frac{\lambda_4}{2} [\lambda_2 [1 + \lambda_1 \lambda_3 c] + \lambda_1 [1 - \lambda_2 \lambda_3 c]] + \lambda_3 \lambda_4 \delta_{\lambda_2, \lambda_1} + \lambda_1 \lambda_2 \delta_{\lambda_4, \lambda_3} \right\} \\ &= \frac{1}{4} [1 - \lambda_1 \lambda_4 c] [1 - \lambda_2 \lambda_3 c] + \frac{s-t}{4t} [1 + \lambda_1 \lambda_3 c] [1 + \lambda_2 \lambda_4 c] \\ &\quad + \frac{u}{4s} \left\{ -4\delta_{\lambda_2, \lambda_1} \delta_{\lambda_4, \lambda_3} + \frac{1}{2} [\lambda_1 + \lambda_2] [\lambda_3 + \lambda_4] + \lambda_3 \lambda_4 \delta_{\lambda_2, \lambda_1} + \lambda_1 \lambda_2 \delta_{\lambda_4, \lambda_3} \right\} \\ &= -\frac{1}{4} [\lambda_1 + \lambda_2] [\lambda_3 + \lambda_4] \left[\frac{2u}{s} - 1 \right] + \frac{s}{4t} \left[1 + [\lambda_1 \lambda_3 + \lambda_2 \lambda_4] \left[1 - \frac{2t}{s} \right] \right. \\ &\quad \left. + \lambda_1 \lambda_2 \lambda_3 \lambda_4 \left[1 - \frac{4ut}{s^2} \right] \right] + \frac{u}{4s} \{ \dots \} \end{aligned}$$

Remplaçant ensuite $4\delta_{\lambda, \lambda'}$ par $1 + \lambda\lambda'$, on trouve finalement

$$T_{1\lambda_1 \lambda_2 \lambda_3 \lambda_4} = \frac{s}{4t} [1 + \lambda_1 \lambda_3] [1 + \lambda_2 \lambda_4] - \frac{u}{4s} [1 - \lambda_1 \lambda_2] [1 - \lambda_3 \lambda_4] - \frac{1}{4} [\lambda_1 - \lambda_2] [\lambda_3 - \lambda_4]$$

puis

$$T_{2\lambda_1 \lambda_2 \lambda_3 \lambda_4} = \frac{s}{4u} [1 + \lambda_1 \lambda_4] [1 + \lambda_2 \lambda_3] - \frac{t}{4s} [1 - \lambda_1 \lambda_2] [1 - \lambda_3 \lambda_4] - \frac{1}{4} [\lambda_1 - \lambda_2] [\lambda_4 - \lambda_3]$$

L'amplitude générique totale s'écrit donc (somme implicite sur a)

$$\begin{aligned} T_{\lambda_1 \lambda_2 \lambda_3 \lambda_4}^{\alpha\beta\gamma\delta} &= \frac{1}{2} \left[f_{\alpha\gamma a} f_{\beta\delta a} X_1 + f_{\alpha\delta a} f_{\beta\gamma a} X_2 \right] \quad \text{avec} \\ X_1 &= \frac{s}{t} [1 + \lambda_1 \lambda_3] [1 + \lambda_2 \lambda_4] - \frac{u}{s} [1 - \lambda_1 \lambda_2] [1 - \lambda_3 \lambda_4] - [\lambda_1 - \lambda_2] [\lambda_3 - \lambda_4], \\ X_2 &= \frac{s}{u} [1 + \lambda_1 \lambda_4] [1 + \lambda_2 \lambda_3] - \frac{t}{s} [1 - \lambda_1 \lambda_2] [1 - \lambda_3 \lambda_4] - [\lambda_1 - \lambda_2] [\lambda_4 - \lambda_3] \end{aligned} \quad (4.86)$$

Dix amplitudes sont nulles indépendamment des facteurs de couleur $f_{\alpha\gamma a} f_{\beta\delta a}$ et $f_{\alpha\delta a} f_{\beta\gamma a}$:

$$T_{++++}^{\dots} = T_{+--+}^{\dots} = T_{+-++}^{\dots} = T_{-+++}^{\dots} = T_{----+}^{\dots} = T_{---+-}^{\dots} = T_{-+--}^{\dots} = T_{+----}^{\dots} = 0$$

$$T_{++--}^{\dots} = T_{--++}^{\dots} = 0$$

et les six restantes, nulles ou non selon les valeurs des facteurs de couleur, sont listées dans le tableau VII :

$T_{++++}^{\alpha\beta\gamma\delta} = T_{----}^{\alpha\beta\gamma\delta} = 2 \left[f_{\alpha\gamma a} f_{\beta\delta a} \frac{s}{t} + f_{\alpha\delta a} f_{\beta\gamma a} \frac{s}{u} \right]$	(4.87)
$T_{+--+}^{\alpha\beta\gamma\delta} = T_{-++-}^{\alpha\beta\gamma\delta} = 2 \left[f_{\alpha\gamma a} f_{\beta\delta a} \frac{u^2}{st} + f_{\alpha\delta a} f_{\beta\gamma a} \frac{u}{s} \right]$	
$T_{+-++}^{\alpha\beta\gamma\delta} = T_{-+-+}^{\alpha\beta\gamma\delta} = 2 \left[f_{\alpha\gamma a} f_{\beta\delta a} \frac{t}{s} + f_{\alpha\delta a} f_{\beta\gamma a} \frac{t^2}{su} \right]$	

Tableau VII - Amplitudes d'hélicité de $g + g \rightarrow g + g$

Utilisant les relations

$$\sum_{\alpha\gamma} f_{\alpha\gamma a} f_{\alpha\gamma b} = 3\delta_{ab}, \quad \sum_{\alpha\alpha\delta} f_{\alpha\gamma a} f_{\beta\delta a} f_{\alpha\delta b} = -\sum_{\alpha\alpha\delta} f_{\delta\beta a} f_{a\gamma\alpha} f_{\alpha\delta b} = \frac{3}{2} f_{\beta\gamma b},$$

on déduit ensuite le taux d'interaction²⁶

$$\sum |T|^2 = 128 \times 9 \times \left[3 + \frac{st}{u^2} + \frac{su}{t^2} - \frac{ut}{s^2} \right] \quad (4.88)$$

²⁶. B.L. Combridge, J. Kripfganz, J. Ranft, Phys. Lett. 70B (1977) 234. Attention, dans cette référence t et u sont les variables de Mandelstam, opposées à t et u définis ici, lesquels sont positifs.

4.12 Complément I : Obtention du taux d'interaction de $\gamma^* + \gamma^* \rightarrow e^- + e^+$ par un calcul de trace ; amplitudes $F_{m\bar{m}; n\bar{n}}$

Pour bien comprendre un calcul, il est toujours bon de l'aborder de différentes façons afin de cerner ses difficultés et de rechercher des astuces permettant de contourner celles-ci. Ainsi, à titre de comparaison avec le calcul d'amplitudes d'hélicité et pour compléter l'étude du processus virtuel $\gamma^* + \gamma^* \rightarrow e^- + e^+$, nous présentons le calcul du tenseur

$$\begin{aligned}
 X_{\mu\rho;\nu\sigma} &= \sum_{\text{pol.}} T_{\mu\nu} T_{\nu\sigma}^*, \quad \text{avec } T_{\mu\nu} = \bar{U}_3 X_{\mu\nu} V_4, \quad T_{\rho\sigma}^* = \bar{V}_4 \bar{X}_{\rho\sigma} U_3, \\
 X_{\mu\nu} &= 2 \left[\frac{p_{3\mu}}{a} - \frac{p_{4\mu}}{b} \right] \gamma_\nu - \frac{1}{a} \gamma_\mu \gamma(p_1) \gamma_\nu + \frac{1}{b} \gamma_\nu \gamma(p_1) \gamma_\mu, \\
 \bar{X}_{\rho\sigma} &= 2 \left[\frac{p_{3\rho}}{a} - \frac{p_{4\rho}}{b} \right] \gamma_\sigma - \frac{1}{a} \gamma_\rho \gamma(p_1) \gamma_\sigma + \frac{1}{b} \gamma_\sigma \gamma(p_1) \gamma_\rho,
 \end{aligned} \tag{4.89}$$

où $\sum_{\text{pol.}}$ est la somme sur tous les états de spin de l'électron et du positron, que nous effectuerons en calculant la trace

$$X_{\mu\rho;\nu\sigma} = \text{Tr} [\gamma(p_3) + m] X_{\mu\nu} [\gamma(p_4) - m] \bar{X}_{\rho\sigma}$$

Pour s'épargner le fastidieux calcul d'une trace d'un produit de huit matrices γ , nous utiliserons préalablement la décomposition suivante d'un produit de trois de ces matrices²⁷ :

$$\gamma_\mu \gamma_\alpha \gamma_\nu = g_{\mu\alpha} \gamma_\nu - g_{\mu\nu} \gamma_\alpha + g_{\alpha\nu} \gamma_\mu - i \epsilon_{\mu\alpha\nu\omega} \gamma^\omega \gamma_5$$

pour écrire les tenseurs $X_{\mu\nu}$ et $\bar{X}_{\rho\sigma}$ sous la forme

$$\begin{aligned}
 X_{\mu\nu} &= A_{\mu\nu\alpha} \gamma^\alpha + i B_{\mu\nu\alpha} \gamma^\alpha \gamma_5, \quad \bar{X}_{\rho\sigma} = A_{\rho\sigma\beta} \gamma^\beta - i B_{\rho\sigma\beta} \gamma^\beta \gamma_5, \quad \text{avec} \\
 A_{\mu\nu\alpha} &= 2 \left[\frac{p_{3\mu}}{a} - \frac{p_{4\mu}}{b} \right] g_{\nu\alpha} + \left(\frac{1}{b} - \frac{1}{a} \right) \left[p_{1\mu} g_{\nu\alpha} - p_{1\alpha} g_{\mu\nu} + p_{1\nu} g_{\mu\alpha} \right] \\
 B_{\mu\nu\alpha} &= \epsilon_{\mu\nu\alpha\omega} p_1^\omega \left(\frac{1}{a} + \frac{1}{b} \right)
 \end{aligned}$$

et obtenir "simplement" :

$$\begin{aligned}
 \frac{1}{4} X_{\mu\nu;\rho\sigma} &= \left\{ A_{\mu\nu\alpha} A_{\rho\sigma\beta} + B_{\mu\nu\alpha} B_{\rho\sigma\beta} \right\} L^{\alpha\beta} \\
 + g^{\alpha\beta} &\left\{ (m^2 - p_3 \cdot p_4) B_{\mu\nu\alpha} B_{\rho\sigma\beta} - (m^2 + p_3 \cdot p_4) A_{\mu\nu\alpha} A_{\rho\sigma\beta} \right\} \\
 + \left\{ B_{\mu\nu\alpha} A_{\rho\sigma\beta} - A_{\mu\nu\alpha} B_{\rho\sigma\beta} \right\} &\epsilon^{\alpha\beta\omega\pi} p_{3\omega} p_{4\pi}, \quad \text{où} \\
 L^{\alpha\beta} &= p_3^\alpha p_4^\beta + p_4^\alpha p_3^\beta
 \end{aligned} \tag{4.90}$$

L'étape suivante, la plus longue, consiste à effectuer les contractions des tenseurs dans (4.90). Observons tout d'abord que la symétrie entre les deux photons virtuels a été égarée lorsque le tenseur $X_{\mu\nu}$ a été présenté sous la forme (4.89), résultant d'un souci naturel de simplification. Pour tenter de la retrouver et exploiter au mieux l'expression (4.90), nous projeterons cette dernière sur deux tenseurs $F^{\mu\rho}$ et $G^{\nu\sigma}$, le premier orthogonal à p_1 suivant ses deux indices, le second orthogonal à p_2 suivant ses deux indices. Nous noterons $p_{i\mu} p_{j\rho} F^{\mu\rho} = F(p_i, p_j) = F_{ij}$, et utiliserons le même type de notation pour les contractions des tenseurs $G^{\nu\sigma}$ et $L^{\alpha\beta}$.

²⁷. Voir ITL, Eq, 7.59.

① Calcul de $Q_1 = A_{\mu\nu\alpha}A_{\rho\sigma\beta}L^{\alpha\beta}F^{\mu\rho}G^{\nu\sigma}$

$$\bullet Q_{11} = 4 \left[\frac{p_{3\mu}}{a} - \frac{p_{4\mu}}{b} \right] \left[\frac{p_{3\rho}}{a} - \frac{p_{4\rho}}{b} \right] F^{\mu\rho} G_{\alpha\beta} L^{\alpha\beta} = 4 \left[\frac{F_{33}}{a^2} + \frac{F_{44}}{b^2} - \frac{[F_{34} + F_{43}]}{ab} \right] [G_{34} + G_{43}]$$

$$\bullet Q_{12} = \frac{2}{a} p_{3\mu} \left(\frac{1}{b} - \frac{1}{a} \right) g_{\nu\alpha} [p_{1\sigma} g_{\rho\beta} - p_{1\beta} g_{\rho\sigma}] F^{\mu\rho} G^{\nu\sigma} L^{\alpha\beta} = \frac{2}{a} \left(\frac{1}{b} - \frac{1}{a} \right) [F_{33} G_{41} + F_{34} G_{31}] \\ - \frac{2}{a} \left(\frac{1}{b} - \frac{1}{a} \right) [p_1 \cdot p_4 H_{33} + p_1 \cdot p_3 H_{34}], \quad \text{où } H^{\mu\nu} = g_{\rho\sigma} F^{\mu\rho} G^{\nu\sigma}$$

$$\bullet Q_{13} = -\frac{2}{b} p_{4\mu} \left(\frac{1}{b} - \frac{1}{a} \right) g_{\nu\alpha} [p_{1\sigma} g_{\rho\beta} - p_{1\beta} g_{\rho\sigma}] F^{\mu\rho} G^{\nu\sigma} L^{\alpha\beta} = -\frac{2}{b} \left(\frac{1}{b} - \frac{1}{a} \right) [F_{43} G_{41} + F_{44} G_{31}] \\ + \frac{2}{b} \left(\frac{1}{b} - \frac{1}{a} \right) [p_1 \cdot p_4 H_{43} + p_1 \cdot p_3 H_{44}]$$

$$\bullet Q_{14} = \frac{2}{a} p_{3\rho} \left(\frac{1}{b} - \frac{1}{a} \right) g_{\sigma\beta} [p_{1\nu} g_{\mu\alpha} - p_{1\alpha} g_{\mu\nu}] F^{\mu\rho} G^{\nu\sigma} L^{\alpha\beta} = \frac{2}{a} \left(\frac{1}{b} - \frac{1}{a} \right) [F_{33} G_{14} + F_{43} G_{13}] \\ - \frac{2}{a} \left(\frac{1}{b} - \frac{1}{a} \right) [p_1 \cdot p_4 K_{33} + p_1 \cdot p_3 K_{34}], \quad \text{où } K^{\rho\sigma} = g_{\mu\nu} F^{\mu\rho} G^{\nu\sigma}$$

$$\bullet Q_{15} = -\frac{2}{b} p_{4\rho} \left(\frac{1}{b} - \frac{1}{a} \right) g_{\sigma\beta} [p_{1\nu} g_{\mu\alpha} - p_{1\alpha} g_{\mu\nu}] F^{\mu\rho} G^{\nu\sigma} L^{\alpha\beta} = -\frac{2}{b} \left(\frac{1}{b} - \frac{1}{a} \right) [F_{34} G_{14} + F_{44} G_{13}] \\ + \frac{2}{b} \left(\frac{1}{b} - \frac{1}{a} \right) [p_1 \cdot p_4 K_{43} + p_1 \cdot p_3 K_{44}]$$

$$\bullet Q_{16} = \left(\frac{1}{b} - \frac{1}{a} \right)^2 [p_{1\nu} g_{\mu\alpha} - p_{1\alpha} g_{\mu\nu}] [p_{1\sigma} g_{\rho\beta} - p_{1\beta} g_{\rho\sigma}] F^{\mu\rho} G^{\nu\sigma} L^{\alpha\beta} \\ = \left(\frac{1}{b} - \frac{1}{a} \right)^2 \left\{ [F_{34} + F_{43}] G_{11} - p_1 \cdot p_3 H_{41} - p_1 \cdot p_4 H_{31} \right. \\ \left. - p_1 \cdot p_3 K_{41} - p_1 \cdot p_4 K_{31} + 2(p_1 \cdot p_3)(p_1 \cdot p_4)H \right\}, \quad \text{où } H = g_{\mu\nu} H^{\mu\nu}$$

② Calcul de $Q_2 = B_{\mu\nu\alpha}B_{\rho\sigma\beta}L^{\alpha\beta}F^{\mu\rho}G^{\nu\sigma}$

Le produit $\epsilon_{\mu\nu\alpha\rho} \epsilon_{\rho\sigma\beta s}$ ne permet pas d'effectuer immédiatement des produits scalaires. On peut lui trouver une forme adaptée en utilisant la formule (2.183) du chapitre 2, reposant sur la définition du tenseur de Levi-Civita. Compte tenu de la métrique de Minkowski, ledit produit s'exprime selon la longue formule (4.91) ci-dessous (développement d'un déterminant 4×4).

$$\bullet Q_{21} = t_1 \left(\frac{1}{b} + \frac{1}{a} \right)^2 \left[F G L + M_{34} + M_{43} + N_{34} + N_{43} - F [G_{34} + G_{43}] - G [F_{34} + F_{43}] - M L \right]$$

$$\text{où } F = g_{\mu\rho} F^{\mu\rho}, \quad G = g_{\nu\sigma} G^{\nu\sigma}, \quad M^{\rho\nu} = g_{\mu\sigma} F^{\mu\rho} G^{\nu\sigma}, \quad N^{\mu\sigma} = g_{\nu\rho} F^{\mu\rho} G^{\nu\sigma},$$

$$L = g_{\alpha\beta} L^{\alpha\beta} = 2 p_3 \cdot p_4, \quad M = g_{\rho\nu} M^{\rho\nu} = N = g_{\mu\sigma} N^{\mu\sigma}$$

$$\begin{aligned}
 \epsilon_{\mu\nu\alpha\tau} \epsilon_{\rho\sigma\beta s} &= -g_{rs} \left[g_{\mu\rho} g_{\nu\sigma} g_{\alpha\beta} + g_{\mu\sigma} g_{\nu\beta} g_{\alpha\rho} + g_{\mu\beta} g_{\nu\rho} g_{\alpha\sigma} - g_{\mu\rho} g_{\nu\beta} g_{\alpha\sigma} \right. \\
 &\quad \left. - g_{\mu\beta} g_{\nu\sigma} g_{\alpha\rho} - g_{\mu\sigma} g_{\nu\rho} g_{\alpha\beta} \right] + g_{r\beta} \left[g_{\mu s} g_{\nu\rho} g_{\alpha\sigma} + g_{\mu\rho} g_{\nu\sigma} g_{\alpha s} + g_{\mu\sigma} g_{\nu s} g_{\alpha\rho} \right. \\
 &\quad \left. - g_{\mu s} g_{\nu\sigma} g_{\alpha\rho} - g_{\mu\sigma} g_{\nu\rho} g_{\alpha s} - g_{\mu\rho} g_{\nu s} g_{\alpha\sigma} \right] - g_{r\sigma} \left[g_{\mu\beta} g_{\nu s} g_{\alpha\rho} + g_{\mu s} g_{\nu\rho} g_{\alpha\beta} \right. \\
 &\quad \left. + g_{\mu\rho} g_{\nu\beta} g_{\alpha s} - g_{\mu\beta} g_{\nu\rho} g_{\alpha s} - g_{\mu\rho} g_{\nu s} g_{\alpha\beta} - g_{\mu s} g_{\nu\beta} g_{\alpha\rho} \right] + g_{r\rho} \left[g_{\mu\sigma} g_{\nu\beta} g_{\alpha s} \right. \\
 &\quad \left. + g_{\mu\beta} g_{\nu s} g_{\alpha\sigma} + g_{\mu s} g_{\nu\sigma} g_{\alpha\beta} - g_{\mu\sigma} g_{\nu s} g_{\alpha\beta} - g_{\mu s} g_{\nu\beta} g_{\alpha\sigma} - g_{\mu\beta} g_{\nu\sigma} g_{\alpha s} \right] \\
 &= g_{rs} \epsilon_{\lambda\mu\nu\alpha} \epsilon_{\lambda\rho\sigma\beta} - g_{r\beta} \epsilon_{\lambda\mu\nu\alpha} \epsilon_{\lambda s\rho\sigma} + g_{r\sigma} \epsilon_{\lambda\mu\nu\alpha} \epsilon_{\lambda\beta s\rho} - g_{r\rho} \epsilon_{\lambda\mu\nu\alpha} \epsilon_{\lambda\sigma\beta s}
 \end{aligned} \tag{4.91}$$

- $Q_{22} = \left(\frac{1}{b} + \frac{1}{a}\right)^2 \left[F G L_{11} + p_1 \cdot p_4 M_{31} + p_1 \cdot p_3 M_{41} - M L_{11} - F [p_1 \cdot p_4 G_{13} + p_1 \cdot p_3 G_{14}] \right]$
- $Q_{23} = -\left(\frac{1}{b} + \frac{1}{a}\right)^2 \left[G_{11} [F_{34} + F_{43}] + F [p_1 \cdot p_3 G_{41} + p_1 \cdot p_4 G_{31}] \right. \\ \left. - p_1 \cdot p_3 N_{41} - p_1 \cdot p_4 N_{31} - F L G_{11} \right]$

③ Calcul de $Q_3 = (m^2 - p_3 \cdot p_4) B_{\mu\nu\alpha} B_{\rho\sigma\beta} g^{\alpha\beta} F^{\mu\rho} G^{\nu\sigma}$

- $Q_3 = -(m^2 - p_3 \cdot p_4) \left(\frac{1}{b} + \frac{1}{a}\right)^2 p_1^r p_1^s F^{\mu\rho} G^{\nu\sigma} \left[g_{\mu\rho} g_{\nu\sigma} g_{rs} + g_{\mu\sigma} g_{\nu s} g_{r\rho} + g_{\mu s} g_{\nu\rho} g_{r\sigma} \right. \\ \left. - g_{\mu\rho} g_{\nu s} g_{r\sigma} - g_{\mu s} g_{\nu\sigma} g_{r\rho} - g_{\mu\sigma} g_{\nu\rho} g_{rs} \right] = -(m^2 - p_3 \cdot p_4) \left(\frac{1}{b} + \frac{1}{a}\right)^2 \left[-t_1 F G \right. \\ \left. - F G_{11} + t_1 M \right]$

④ Calcul de $Q_4 = -(m^2 + p_3 \cdot p_4) A_{\mu\nu\alpha} A_{\rho\sigma\beta} g^{\alpha\beta} F^{\mu\rho} G^{\nu\sigma}$

$$\begin{aligned}
 Q_4 &= -(m^2 + p_3 \cdot p_4) \left\{ 4G \left[\frac{F_{33}}{a^2} + \frac{F_{44}}{b^2} - \frac{[F_{34} + F_{43}]}{ab} \right] + 2 \left(\frac{1}{b} - \frac{1}{a} \right) \left[\frac{H_{41} + K_{41}}{b} \right. \right. \\
 &\quad \left. \left. - \frac{M_{41} + N_{41}}{b} - \frac{H_{31} + K_{31}}{a} + \frac{M_{31} + N_{31}}{a} \right] + \left(\frac{1}{b} - \frac{1}{a} \right)^2 [-t_1 H + F G_{11}] \right\}
 \end{aligned}$$

⑤ Calcul de $Q_5 = B_{\mu\nu\alpha} A_{\rho\sigma\beta} \epsilon^{\alpha\beta\omega\pi} p_{3\omega} p_{4\pi} F^{\mu\rho} G^{\nu\sigma}$

$$\begin{aligned}
 \bullet \quad Q_5 &= - \left(\frac{1}{b} + \frac{1}{a} \right) F^{\mu\rho} G^{\nu\sigma} \left[\delta_\mu^\beta p_{3\nu} p_1 \cdot p_4 + p_{3\mu} p_{4\nu} p_1^\beta + p_{4\mu} \delta_\nu^\beta p_1 \cdot p_3 - \delta_\mu^\beta p_{4\nu} p_1 \cdot p_3 \right. \\
 &\quad \left. - p_{4\mu} p_{3\nu} p_1^\beta - p_{3\mu} \delta_\nu^\beta p_1 \cdot p_4 \right] \left\{ 2 \left[\frac{p_{3\rho}}{a} - \frac{p_{4\rho}}{b} \right] g_{\sigma\beta} + \left(\frac{1}{b} - \frac{1}{a} \right) [p_{1\sigma} g_{\rho\beta} - p_{1\beta} g_{\rho\sigma}] \right\} \\
 &= - \left(\frac{1}{b} + \frac{1}{a} \right) \left[\frac{2}{a} [p_1 \cdot p_4 M_{33} + G_{41} F_{33} + p_1 \cdot p_3 G F_{43} - p_1 \cdot p_3 M_{34} - G_{31} F_{43} - p_1 \cdot p_4 G F_{33}] \right. \\
 &\quad \left. - \frac{2}{b} [p_1 \cdot p_4 M_{43} + G_{41} F_{34} + p_1 \cdot p_3 G F_{44} - p_1 \cdot p_3 M_{44} - G_{31} F_{44} - p_1 \cdot p_4 G F_{34}] \right. \\
 &\quad \left. + \left(\frac{1}{b} - \frac{1}{a} \right) [p_1 \cdot p_4 F G_{31} + t_1 H_{34} + p_1 \cdot p_3 N_{41} - p_1 \cdot p_3 H_{41} - p_1 \cdot p_3 F G_{41} \right. \\
 &\quad \left. - t_1 H_{43} - p_1 \cdot p_4 N_{31} + p_1 \cdot p_4 H_{31}] \right]
 \end{aligned}$$

⑥ Calcul de $Q_6 = -A_{\mu\nu\alpha} B_{\rho\sigma\beta} \epsilon^{\alpha\beta\omega\pi} p_{3\omega} p_{4\pi} F^{\mu\rho} G^{\nu\sigma}$

$$\begin{aligned}
 Q_6 &= - \left(\frac{1}{b} + \frac{1}{a} \right) \left[\frac{2}{a} [p_1 \cdot p_4 N_{33} + G_{14} F_{33} + p_1 \cdot p_3 G F_{34} - p_1 \cdot p_3 N_{34} - G_{13} F_{34} \right. \\
 &\quad \left. - p_1 \cdot p_4 G F_{33}] - \frac{2}{b} [p_1 \cdot p_4 N_{43} + G_{14} F_{43} + p_1 \cdot p_3 G F_{44} - p_1 \cdot p_3 N_{44} \right. \\
 &\quad \left. - G_{13} F_{44} - p_1 \cdot p_4 G F_{43}] + \left(\frac{1}{b} - \frac{1}{a} \right) [p_1 \cdot p_4 F G_{13} + t_1 K_{34} + p_1 \cdot p_3 M_{41} \right. \\
 &\quad \left. - p_1 \cdot p_3 K_{41} - p_1 \cdot p_3 F G_{14} - t_1 K_{43} - p_1 \cdot p_4 M_{31} + p_1 \cdot p_4 K_{31}] \right]
 \end{aligned}$$

Nous ordonnerons ensuite les termes de la façon suivante : facteur de FG , facteur de F , facteur de G , facteurs des $F_{ij}G_{k\ell}$, puis le reste.

① Facteur de FG

$$\begin{aligned}
 R_1 &= \left(\frac{1}{b} + \frac{1}{a} \right)^2 \left[t_1 L + L_{11} - t_1(p_3 \cdot p_4 - m^2) \right], \quad \text{et} \\
 t_1 L + L_{11} - t_1(p_3 \cdot p_4 - m^2) &= \frac{1}{2} t_1 W^2 + \frac{1}{2} (a + t_1)(b + t_1) \quad \text{où} \\
 W^2 &= (p_3 + p_4)^2 = 2m^2 + 2p_3 \cdot p_4 = (p_1 + p_2)^2 = a + b - t_1 - t_2, \quad \text{d'où} \\
 R_1 &= \frac{1}{2} \left(\frac{1}{b} + \frac{1}{a} \right)^2 (ab - t_1 t_2)
 \end{aligned}$$

Pour éviter des confusions, le carré de la masse invariante de la paire e^-e^+ est ici noté W^2 plutôt que s comme dans les formules de la section 4.4, car le processus *virtuel* $\gamma^* + \gamma^* \rightarrow e^- + e^+$ est un sous-processus d'un processus global dont le carré de la masse invariante est généralement noté s .

② Facteur de F

$$R_2 = \left(\frac{1}{b} + \frac{1}{a} \right)^2 \left\{ -t_1 [G_{34} + G_{43}] - p_1 \cdot p_4 [G_{13} + G_{31}] - p_1 \cdot p_3 [G_{14} + G_{41}] + L G_{11} \right\}$$

$$\begin{aligned}
 & -G_{11}(p_3 \cdot p_4 - m^2) \} - (p_3 \cdot p_4 + m^2) \left(\frac{1}{b} - \frac{1}{a} \right)^2 G_{11} \\
 & + \left(\frac{1}{a^2} - \frac{1}{b^2} \right) \{ p_1 \cdot p_4 [G_{31} + G_{13}] - p_1 \cdot p_3 [G_{14} + G_{41}] \} \\
 & = \frac{2}{a^2} t_1 G_{44} + \frac{2}{b^2} t_1 G_{33} - \frac{2}{ab} [t_1 [G_{34} + G_{43}] + t_2 G_{11}]
 \end{aligned}$$

Pour arriver à ce résultat, nous avons effectué, d'une part, les simplifications qui résultent de $G^{\nu\sigma} p_{2\nu} = G^{\nu\sigma} p_{2\sigma} = 0$, et qui permettent d'écrire, par exemple, $G_{31} = G_{33} + G_{34}$, puisque $p_1 = p_3 + p_4 - p_2$, et, d'autre part, tenu compte de la relation $W^2 = 2(p_3 \cdot p_4 + m^2) = a + b - t_1 - t_2$.

③ Facteur de G

En écrivant $F_{22} = F_{33} + F_{44} + F_{34} + F_{43}$, on trouve

$$R_3 = \frac{2}{a^2} t_2 F_{33} + \frac{2}{b^2} t_2 F_{44} - \frac{2}{ab} [t_2 [F_{34} + F_{43}] + t_1 F_{22}]$$

③ Facteur de H

$$R_4 = \frac{1}{2} \left(\frac{1}{b} - \frac{1}{a} \right)^2 (ab - t_1 t_2)$$

③ Facteur de M

$$R_5 = -\frac{1}{2} \left(\frac{1}{b} + \frac{1}{a} \right)^2 (ab - t_1 t_2)$$

④ Termes du type $F_{ij} G_{k\ell}$

$$\begin{aligned}
 R_6 = & -\frac{2}{a^2} \{ 4 F_{33} G_{44} + [F_{34} - F_{43}] [G_{34} - G_{43}] \} - \frac{2}{b^2} \{ 4 F_{44} G_{33} + [F_{34} - F_{43}] [G_{34} - G_{43}] \} \\
 & - \frac{4}{ab} [F_{34} + F_{43}] [G_{34} + G_{43}]
 \end{aligned}$$

⑤ Terme proportionnel à $H_{34} + K_{34}$: $R_7 = \frac{4}{a} [H_{34} + K_{34}]$.

⑥ Terme proportionnel à $H_{43} + K_{43}$: $R_7 = \frac{4}{b} [H_{43} + K_{43}]$.

⑦ Termes restants :

$$R_8 = -\Delta_{34} \left[\frac{2(t_1 + t_2)}{ab} + \frac{W^2}{a} \left(\frac{1}{a} + \frac{1}{b} \right) \right] - \Delta_{43} \left[\frac{2(t_1 + t_2)}{ab} + \frac{W^2}{b} \left(\frac{1}{a} + \frac{1}{b} \right) \right]$$

où l'on a posé $\Delta_{34} = H_{34} + K_{34} - M_{34} - N_{34}$, $\Delta_{43} = H_{43} + K_{43} - M_{43} - N_{43}$.

Finalement, on aboutit à la formule (4.92) suivante, où l'on retrouve toutes les symétries souhaitées (entre les photons initiaux d'une part, et entre les leptons finals d'autre part) :

$$\begin{aligned}
 X_{\mu\rho;\nu\sigma} F^{\mu\rho} G^{\nu\sigma} &= X_{FG} = \\
 &2FG \left(\frac{1}{b} + \frac{1}{a} \right)^2 (ab - t_1 t_2) \\
 &+ 8F \left\{ \frac{t_1}{a^2} G_{44} + \frac{t_1}{b^2} G_{33} - \frac{1}{ab} \left[t_1 [G_{34} + G_{43}] + t_2 G_{11} \right] \right\} \\
 &+ 8G \left\{ \frac{t_2}{b^2} F_{44} + \frac{t_2}{a^2} F_{33} - \frac{1}{ab} \left[t_2 [F_{34} + F_{43}] + t_1 F_{22} \right] \right\} \\
 &+ 2(ab - t_1 t_2) \left\{ H \left(\frac{1}{b} - \frac{1}{a} \right)^2 - M \left(\frac{1}{b} + \frac{1}{a} \right)^2 \right\} \\
 &- \frac{8}{a^2} \left\{ 4F_{33} G_{44} + [F_{34} - F_{43}] [G_{34} - G_{43}] \right\} \\
 &- \frac{8}{b^2} \left\{ 4F_{44} G_{33} + [F_{34} - F_{43}] [G_{34} - G_{43}] \right\} \\
 &- \frac{16}{ab} [F_{34} + F_{43}] [G_{34} + G_{43}] \\
 &+ \frac{16}{a} [H_{34} + K_{34}] + \frac{16}{b} [H_{43} + K_{43}] \\
 &- 4\Delta_{34} \left[\frac{2(t_1 + t_2)}{ab} + \frac{W^2}{a} \left(\frac{1}{a} + \frac{1}{b} \right) \right] - 4\Delta_{43} \left[\frac{2(t_1 + t_2)}{ab} + \frac{W^2}{b} \left(\frac{1}{a} + \frac{1}{b} \right) \right]
 \end{aligned} \tag{4.92}$$

Dans les cas courants, les tenseurs $F^{\mu\nu}$ et $G^{\nu\sigma}$ utilisés sont symétriques et l'expression (4.92) se simplifie considérablement, puisqu'alors $H_{\omega\pi} = K_{\omega\pi} = M_{\omega\pi} = N_{\omega\pi}$, $\Delta_{34} = \Delta_{43} = 0$:

$$\begin{aligned}
 X_{FG} &= 2FG \left(\frac{1}{b} + \frac{1}{a} \right)^2 (ab - t_1 t_2) - 8H \frac{(ab - t_1 t_2)}{ab} \\
 &+ 8F \left\{ \frac{t_1}{a^2} G_{44} + \frac{t_1}{b^2} G_{33} - \frac{1}{ab} \left[2t_1 G_{34} + t_2 G_{11} \right] \right\} \\
 &+ 8G \left\{ \frac{t_2}{b^2} F_{44} + \frac{t_2}{a^2} F_{33} - \frac{1}{ab} \left[2t_2 F_{34} + t_1 F_{22} \right] \right\} \\
 &- \frac{32}{a^2} F_{33} G_{44} - \frac{32}{b^2} F_{44} G_{33} - \frac{64}{ab} F_{34} G_{34} + \frac{32}{a} H_{34} + \frac{32}{b} H_{43}
 \end{aligned} \tag{4.93}$$

Prenons par exemple $F^{\mu\rho} = g^{\mu\rho} + \frac{p_1^\mu p_1^\rho}{t_1}$. On obtient ²⁸

$$\begin{aligned}
 X_G = 4G \left\{ 2m^2 t_2 \left(\frac{1}{a} + \frac{1}{b} \right)^2 + (ab - t_1 t_2) \left(\frac{1}{a^2} + \frac{1}{b^2} \right) - \frac{2t_2 W^2}{ab} \right\} \\
 + 16(t_1 - 2m^2) \left\{ \frac{G_{33}}{b^2} + \frac{G_{44}}{a^2} - \frac{2G_{34}}{ab} \right\} - \frac{16t_2}{ab} [G_{33} + G_{44}]
 \end{aligned} \tag{4.94}$$

et si, de plus, $G^{\nu\sigma} = g^{\nu\sigma} + \frac{p_2^\nu p_2^\sigma}{t_2}$, cette expression devient

$$\begin{aligned}
 X_T = 8(ab - t_1 t_2) \left(\frac{1}{a^2} + \frac{1}{b^2} \right) - \frac{16(t_1 + t_2)W^2}{ab} - 32m^4 \left(\frac{1}{a} + \frac{1}{b} \right)^2 \\
 + 16m^2 \left[(t_1 + t_2) \left(\frac{1}{a} + \frac{1}{b} \right)^2 + \frac{2W^2}{ab} \right]
 \end{aligned} \tag{4.95}$$

Puis, prenant $F^{\mu\rho} = q^\mu q^\rho$ avec $q = r + p_1 \frac{p_1 \cdot r}{t_1}$ où r est un 4-vecteur quelconque, (4.92) prend la forme

$$\begin{aligned}
 X_r = G \left\{ 2r^2 \left(\frac{1}{a} + \frac{1}{b} \right)^2 (ab - t_1 t_2) \right. \\
 \left. + 8t_2 \left[\frac{1}{b} \left(r \cdot p_4 - \frac{r \cdot p_1}{2} \right) - \frac{1}{a} \left(r \cdot p_3 - \frac{r \cdot p_1}{2} \right) \right]^2 \right. \\
 \left. - 2t_2 (r \cdot p_1)^2 \left(\frac{1}{a} + \frac{1}{b} \right)^2 - \frac{8}{ab} [t_1 (r \cdot p_2)^2 + r \cdot p_1 (a + b)] \right\} - 8G_{rr} \frac{ab - t_1 t_2}{ab} \\
 + \frac{16G_{3r}}{ab} [a[2r \cdot p_4 - r \cdot p_1] + t_2 r \cdot p_1] + \frac{16G_{4r}}{ab} [b[2r \cdot p_3 - r \cdot p_1] + t_2 r \cdot p_1] \\
 + \frac{8G_{33}}{b^2} \left\{ 4(r \cdot p_4) [r \cdot p_1 - r \cdot p_4] + r^2 t_1 - r^2 t_2 \frac{b}{a} \right\} \\
 + \frac{8G_{44}}{a^2} \left\{ 4(r \cdot p_3) [r \cdot p_1 - r \cdot p_3] + r^2 t_1 - r^2 t_2 \frac{a}{b} \right\} \\
 - \frac{16G_{34}}{ab} \left\{ (2r \cdot p_3 - r \cdot p_1)(2r \cdot p_4 - r \cdot p_1) + (r \cdot p_1)^2 + r^2 [t_1 + t_2] \right\}
 \end{aligned} \tag{4.96}$$

²⁸. Dans le calcul menant de (4.93) à (4.94), tous les termes en $1/t_1$ ou en $1/t_1^2$, qui pourraient être cause de divergence lorsque $t_1 \rightarrow 0$, disparaissent. C'est, en fait, une conséquence de l'invariance de jauge du tenseur complet $X_{\mu\rho;\nu\sigma}$. Cette remarque s'applique aussi au calcul de (4.96).

Ci-dessous sont présentées certaines combinaisons d'amplitudes

$$F_{m\bar{m}; n\bar{n}} = [\epsilon_1^m]^\mu [\epsilon_1^{\bar{m}}]^{*\rho} X_{\mu\rho; \nu\sigma} [\epsilon_2^n]^\nu [\epsilon_1^{\bar{n}}]^{*\sigma} = \sum_{\text{pol}} T_{mn} T_{\bar{m}\bar{n}}^*$$

intervenant dans le taux d'interaction de la production d'une paire e^-e^+ par échange de deux photons virtuels, selon le processus décrit au paragraphe 1.5.3 du chapitre 1²⁹. On peut les obtenir en sommant des amplitudes d'hélicité calculées dans la section 4.4 (avec le changement $s \rightarrow W^2$), ou bien en utilisant directement la formule (4.93).

$$\begin{aligned}
 F_{+++; ++} + F_{+++; --} &= \frac{4}{a^2b^2} \left\{ [ab - t_1t_2] [Z^2 - 2ab] - 4\eta^4 Z^2 \right. \\
 &\quad \left. + 2\eta^2 Z [2ab - Z(t_1 + t_2)] \right\} \\
 F_{+++; +-} &= \frac{4Z\eta^2}{a^2b^2} \left\{ 2[Z\eta^2 - ab] + Zt_1 \right\} \\
 F_{+-; ++} &= \frac{4Z\eta^2}{a^2b^2} \left\{ 2[Z\eta^2 - ab] + Zt_2 \right\} \\
 F_{+-; +-} &= \frac{8}{a^2b^2} \left\{ abt_1t_2 - [ab - Z\eta^2]^2 \right\}, \quad F_{+-; -+} = -\frac{8Z^2\eta^4}{a^2b^2} \\
 F_{+++; 0-} - F_{+++; +0} &= \frac{8}{a^2b^2} \sqrt{\frac{2t_2}{W^2}} \eta \zeta X_1 \left\{ ab - Z[2\eta^2 + t_1] \right\} \\
 F_{+0; ++} - F_{0-; ++} &= \frac{8}{a^2b^2} \sqrt{\frac{2t_1}{W^2}} \eta \zeta X_2 \left\{ ab - Z[2\eta^2 + t_2] \right\} \\
 F_{+-; 0-} - F_{+-; +0} &= \frac{16}{a^2b^2} \sqrt{\frac{2t_2}{W^2}} \eta \zeta X_1 \left\{ Z\eta^2 - ab \right\} \\
 F_{+0; +-} - F_{0-; +-} &= \frac{16}{a^2b^2} \sqrt{\frac{2t_1}{W^2}} \eta \zeta X_2 \left\{ Z\eta^2 - ab \right\} \\
 F_{0+; +-} - F_{-0; +-} &= \frac{16}{a^2b^2} \sqrt{\frac{2t_1}{W^2}} \eta^3 \zeta X_2 Z \\
 F_{+++; 00} &= \frac{2t_2}{W^2} \left\{ [2\eta^2 + t_1] [W^2 Z^2 - 4X_1^2 \zeta^2] - 4t_1 W^2 ab \right\} \\
 F_{00; ++} &= \frac{2t_1}{W^2} \left\{ [2\eta^2 + t_2] [W^2 Z^2 - 4X_2^2 \zeta^2] - 4t_2 W^2 ab \right\} \\
 F_{+-; 00} &= \frac{4t_2\eta^2}{a^2b^2 W^2} \left\{ 4X_1^2 \zeta^2 - Z^2 W^2 \right\} \\
 F_{+0; 00} &= \frac{8t_2}{a^2b^2} \sqrt{\frac{2t_1}{W^2}} \eta \zeta \left\{ ZW^2 - 4X_1 \zeta^2 \right\}, \quad F_{00; 00} = \frac{32t_1t_2}{a^2b^2} \zeta^2 [W^2 - 4\zeta^2]
 \end{aligned} \tag{4.97}$$

29. Voir, par exemple, N. Arteaga, C. Carimalo, P. Kessler, S. Ong, O. Panella, Phys. Rev. 52, 4920 (1995).

avec les notations suivantes :

$$Z = W^2 + t_1 + t_2 = a + b, \quad X_1 = W^2 - t_1 + t_2, \quad X_2 = W^2 + t_1 - t_2,$$
$$\eta = \frac{W}{2}\beta \sin \theta, \quad \zeta = \frac{W}{2}\beta \cos \theta, \quad \beta = \sqrt{1 - \frac{4m^2}{W^2}}$$

Dans les formules (4.92) à (4.96), le taux d'interaction est exprimé à l'aide des invariants de la réaction et les expressions correspondantes sont directement utilisables pour obtenir, par un prolongement analytique approprié, le taux d'interaction de la diffusion Compton virtuelle, avec des photons virtuels du genre espace ou du genre temps.

4.13 Complément II : La conjugaison de charge

Du point de vue du groupe de Lorentz, la conjugaison de charge est l'opération qui transforme l'état d'une particule correspondant à une 4-impulsion p et une composante de spin σ données en l'état de son anti-particule correspondant à ces mêmes grandeurs. Pour ce même état $|[p], \sigma\rangle$, notons $a_\sigma([p])$ et $b_\sigma([p])$ les opérateurs d'annihilation de la particule et de son anti-particule, respectivement. Agissant sur ces opérateurs, la conjugaison de charge est représentée par un opérateur $U(C)$, *linéaire et unitaire*³⁰, tel que

$$U(C) a_\sigma([p]) U(C)^{-1} = \eta_c b_\sigma([p]), \quad U(C) a_\sigma^\dagger([p]) U(C)^{-1} = \eta_c^* b_\sigma^\dagger([p]) \quad (4.98)$$

avec $\eta_c \eta_c^* = 1$

On doit avoir symétriquement

$$U(C) b_\sigma([p]) U(C)^{-1} = \eta'_c a_\sigma([p]), \quad \text{avec } \eta'_c \eta_c^* = 1 \quad (4.99)$$

ce qui implique que

$$U(C)^2 = \eta_c \eta'_c \times \text{id.} \quad (4.100)$$

où id. est l'opérateur identité dans l'espace de Fock. Considérons le champ de spineurs

$$\Psi(x) = \int d\rho(p) \sum_\sigma [e^{-ip \cdot x} U_\sigma([p]) a_\sigma([p]) + e^{ip \cdot x} W_\sigma([p]) b_\sigma^\dagger([p])] \quad (4.101)$$

où $d\rho(p) = \frac{d^3p}{(2\pi)^3 2E}$ avec $E = \sqrt{m^2 + \vec{p}^2}$. L'analogie de ce champ qui correspondrait à un univers où anti-particule et particule auraient échangé leurs rôles s'écrit

$$\Psi^c(x) = \int d\rho(p) \sum_\sigma [e^{-ip \cdot x} U_\sigma([p]) b_\sigma([p]) + e^{ip \cdot x} W_\sigma([p]) a_\sigma^\dagger([p])] \quad (4.102)$$

et ladite conjugaison de charge doit permettre de passer de l'un à l'autre :

$$U(C) \Psi(x) U(C)^{-1} = \eta \Psi^c(x) \quad \text{où } |\eta| = 1 \quad (4.103)$$

Or,

$$U(C) \Psi(x) U(C)^{-1} = \int d\rho(p) \sum_\sigma [\eta_c e^{-ip \cdot x} U_\sigma([p]) b_\sigma([p]) + \eta_c^* e^{ip \cdot x} W_\sigma([p]) a_\sigma^\dagger([p])] \quad (4.104)$$

et l'on est donc amené à poser $\eta_c^* = \eta_c = \eta$. Cependant, le champ $\Psi(x)$ étant supposé être l'unique grandeur décrivant à la fois les particules et les anti-particules de l'espèce considérée, son transformé $\Psi^c(x)$ doit pouvoir être exprimé en fonction de celui-ci. Comparant (4.104) et (4.101), on voit que cela nécessite une conjugaison hermitique et une transposition des spineurs :

$${}^t\Psi^\dagger(x) = \int d\rho(p) \sum_\sigma [e^{-ip \cdot x} {}^tW_\sigma^\dagger([p]) b_\sigma([p]) + e^{ip \cdot x} {}^tU_\sigma^\dagger([p]) a_\sigma^\dagger([p])] \quad (4.105)$$

puis une transformation linéaire permettant d'exprimer ${}^tU_\sigma^\dagger([p])$ et ${}^tW_\sigma^\dagger([p])$ en fonction de $W_\sigma([p])$ et $U_\sigma([p])$, c'est-à-dire, telle que

³⁰. Par conjugaison de charge, le nombre d'anti-particules finales doit être égal au nombre de particules initiales.

$$L_c {}^t W_\sigma^\dagger([p]) = \eta \eta_c U_\sigma([p]) \quad \text{et} \quad L_c {}^t U_\sigma^\dagger([p]) = \eta \eta_c^* W_\sigma([p]) \quad (4.105)$$

afin d'obtenir

$$L_c {}^t \Psi^\dagger(x) = \eta \Psi^c(x) \quad (4.106)$$

Du point de vue des fonctions d'onde spinorielles et des facteurs $e^{\pm ip \cdot x}$, le passage de $\Psi(x)$ à $\Psi^c(x)$ apparaît donc comme une opération *anti-linéaire*. En fait, on peut considérer que (4.105) est la définition appropriée du spineur W conduisant à (4.106). Pour la suite, nous renvoyons le lecteur à la section 6.9 et au paragraphe 7.4.3 de notre cours ITL. Nous y montrons que le spineur à énergie négative

$$W_\sigma([p]) = (-1)^{1/2-\sigma} V_{-\sigma}([p]) \quad (V = \gamma_5 U) \quad (4.107)$$

est tel que

$$\begin{aligned} U_\sigma([p]) &= \mathcal{C} {}^t \overline{W}_\sigma([p]), & W_\sigma([p]) &= \mathcal{C} {}^t \overline{U}_\sigma([p]) \\ \text{où } \mathcal{C} &= i \gamma^2 \gamma_0 \end{aligned} \quad (4.108)$$

Prenant cette définition du spineur W , on obtient alors

$$U(C) \Psi(x) U(C)^{-1} = \Psi^c(x) = \mathcal{C} {}^t \overline{\Psi}(x) \quad (4.109)$$

Notons en passant que les relations simples

$$W^\dagger = V^\dagger, \quad W^\downarrow = -V^\dagger$$

justifient l'utilisation systématique des spineurs V pour représenter les états spinoriels d'une anti-particule de spin 1/2. La matrice \mathcal{C} a les propriétés suivantes :

$$\mathcal{C}^* = \mathcal{C} = -\mathcal{C}^{-1}, \quad \mathcal{C} \gamma_\mu \mathcal{C}^{-1} = -{}^t \gamma_\mu, \quad \mathcal{C} \gamma_5 \mathcal{C}^{-1} = \gamma_5 \quad (4.110)$$

Considérons alors la forme $X(\sigma', \sigma) = \overline{U}'_{\sigma'} \Gamma U_\sigma$ où Γ est le produit de n matrices γ_μ , ne comportant aucune matrice γ_5 : $\Gamma = \gamma_1 \cdots \gamma_n$. Considérons son conjugué complexe :

$$\begin{aligned} X^*(\sigma', \sigma) &= \overline{U}_\sigma \gamma_n \cdots \gamma_1 U'_{\sigma'} = {}^t U'_{\sigma'} {}^t \gamma_1 \cdots {}^t \gamma_n {}^t \overline{U}_\sigma = \overline{W}'_{\sigma'} \mathcal{C}^{-1} {}^t \gamma_1 \cdots {}^t \gamma_n \mathcal{C}^{-1} W_\sigma \\ &= -(-1)^n \overline{W}'_{\sigma'} \gamma_1 \cdots \gamma_n W_\sigma = (-1)^n (-1)^{1-\sigma'-\sigma} \overline{U}'_{-\sigma'} \gamma_5 \gamma_1 \cdots \gamma_n \gamma_5 U_{-\sigma} \\ &= (-1)^{1-\sigma'-\sigma} X(-\sigma', -\sigma) = (2\sigma)(2\sigma') X(-\sigma', -\sigma) \end{aligned} \quad (4.111)$$

Si Γ comporte une matrice γ_5 ³¹, du fait que $\gamma_0 {}^t \gamma_5 \gamma_0 = \gamma_0 \gamma_5 \gamma_0 = -\gamma_5$, un signe “-” supplémentaire s'introduit et l'on a dans ce cas

$$X^*(\sigma', \sigma) = (-1)^{\sigma'+\sigma} X_{-\sigma', -\sigma} = -(2\sigma)(2\sigma') X_{-\sigma', -\sigma} \quad (4.112)$$

31. Le cas d'un nombre impair supérieur à 1 de matrices γ_5 présentes dans le produit Γ se ramène, par anti-commutations successives, à celui d'une seule matrice γ_5 présente.

Envisageons alors des amplitudes d'hélicité relatives à des processus relevant de l'Electrodynamique Quantique ou de la Chromodynamique Quantique, impliquant des leptons ou des quarks. Prenons comme premier exemple la diffusion Møller. Son amplitude générique comporte des formes du type $X(\sigma', \sigma)$ où chacune des matrices Γ "sandwichées" ne comporte aucune matrice γ_5 . Les spineurs impliqués dans ce processus étant au nombre de 4, on en déduit la propriété suivante des amplitudes d'hélicité :

$$T_{\sigma_3, \sigma_4; \sigma_1, \sigma_2}^* = (-1)^{\sum \sigma_i} T_{-\sigma_3, -\sigma_4; -\sigma_1, -\sigma_2}$$

ce qui se vérifie aisément sur les formules de la section 4.6. Considérons ensuite le processus $\gamma^* + \gamma^* \rightarrow e^- + e^+$. Le positron étant décrit par un spineur V , une matrice γ_5 est présente dans l'amplitude générique de type $X(\sigma', \sigma)$. Les fonctions d'onde des photons sont des vecteurs de polarisation vérifiant $\epsilon_\lambda^* = (-1)^\lambda \epsilon_{-\lambda}$. Pour ce processus, on a donc

$$T_{\lambda_1, \lambda_2; \sigma_3, \sigma_4}^* = (-1)^{\lambda_1 + \lambda_2 + \sigma_3 + \sigma_4} T_{-\lambda_1, -\lambda_2; -\sigma_3, -\sigma_4}$$

ce qui se vérifie tout aussi aisément sur les formules de la section 4.4.

This figure "arbra-jpg.jpg" is available in "jpg" format from:

<http://arxiv.org/ps/1804.02886v1>

This figure "arreb-jpg.jpg" is available in "jpg" format from:

<http://arxiv.org/ps/1804.02886v1>